



Universidad Autónoma de Querétaro
 Facultad de Ingeniería
 Doctorado en Ingeniería

**ANÁLISIS COMPARATIVO DE MÉTODOS
 PARA EL ESTUDIO DE BANDA ANCHA DEL ELECTROENCEFALOGRAMA**

TESIS

Que como parte de los requisitos para obtener el grado de

Doctor en Ingeniería

Presenta:

Verónica Saavedra Gastélum

Dirigido por:

Dr. Víctor Manuel Castaño Meneses

SINODALES

Dr. Víctor Manuel Castaño Meneses
 Presidente

Dra. Thalia Fernández Harmony
 Secretario

Dr. Eduardo Castaño Tostado
 Vocal

Dra. Ana Leonor Rivera López
 Suplente

Dr. Gilberto Herrera Ruiz
 Suplente

Dr. Gilberto Herrera Ruiz
 Director de la Facultad

Castaño
 Firma

Thalia Fernández Harmony
 Firma

[Signature]
 Firma

[Signature]
 Firma

[Signature]
 Firma

Dr. Luis Gerardo Hernández Sandoval
 Director de Investigación y Posgrado

RESUMEN

La presente investigación tiene como objetivo comparar la Transformada Rápida de Fourier y la Transformada de Ondeleta en el análisis de banda ancha del Electroencefalograma (EEG) vía cuero cabelludo. Los sujetos se dividieron en tres grupos: Niños Sanos, Niños que presentaron Trastorno de Aprendizaje (T. A.) (ambos grupos con edades entre 6 y 11 años) y Adultos Jóvenes Sanos (entre 18 y 24 años). Los EEGs se tomaron de acuerdo al Sistema Internacional 10/20. A partir de los EEGs se buscaron segmentos de manera visual por el experto en neurofisiología que contuvieran actividad Delta [1-3.5Hz], Theta (3.5-7.5Hz), Alfa (7.5-12.5Hz) y Beta [12.5-19Hz] bien definida y se realizó la Transformada de Ondeleta mediante la función base "Symlet 8". El vector de coeficientes de ondeleta de detalle "d6" tuvo mayor energía con Delta predominante, el vector de coeficientes de detalle de ondeleta "d5" tuvo mayor energía para señales con Theta predominante y el vector de coeficientes de detalle de ondeleta "d4" tuvo mayor energía para señales con Alfa predominante. No se encontró ningún sujeto con actividad Beta predominante. Estas bandas de frecuencias son importantes en discriminar un paciente sano de uno enfermo. Para los tres grupos se tomaron 24 segmentos de 2.56 segundos. Se analizó el contenido de energía en los tres grupos, para cada sujeto y todos los segmentos en las derivaciones C3, C4, P3, P4, Cz y Pz, mostrando que los Niños Sanos y los Adultos Sanos tuvieron en la mayoría de sus segmentos mayor contenido de energía en el coeficiente de ondeleta "d4", lo que implica mayor actividad Alfa; Algunos Niños T. A. tuvieron en algunas derivaciones mayor contenido de energía en el coeficiente de detalle de ondeleta "d5", lo que implica mayor actividad Theta, en general no fue posible determinar un patrón. Los Adultos Sanos presentaron un mayor contenido en el vector de coeficientes suave "s6" lo que implica la presencia de una actividad de base predominante. Las entropías mostraron que los Niños Sanos y Adultos Sanos tienen un EEG más parecido a un proceso aleatorio, mientras que los Niños T. A. tuvieron entropía menor, síntoma de pérdida de aleatoriedad.

(Palabras clave: Electroencefalograma, Transformada Rápida de Fourier, Transformada de Ondeleta, energía, entropía)

SUMMARY

The main objective of this research work is to compare the Fast Fourier Transform with the Wavelet Transform by the wide-bandwidth analysis of the Electroencephalogram (EEG) via scalp. The subjects analyzed were divided into three groups: healthy children; children with learning disabilities (LD) (both groups between six and eleven years old); and healthy young adults (between 18 and 24 years old). The EEG were recorded based upon the International System 10/20. To begin with, the EEG were used to visually search for segments with well defined Delta [1-3.5Hz), Theta [3.5-7.5), Alpha [7.5-12.5), and Beta [12.5-19 Hz) activities, by a Neurophysiological expert. The Wavelet transform was used by the Mother Wavelet "Symlet 8". Detailed wavelet vector of coefficients "d6" was found to be the one with the largest energy content when Delta activity was predominant. Meanwhile "d5" was the largest when Theta activity was predominant. On the other hand, "d4" was the largest one when Alpha activity was predominant. None of the subjects showed Beta activity. These bandwidths are useful to discriminate between healthy and unhealthy subjects. For the groups 24 segments were taken of 2.56 seconds each. The energy content was analyzed for the 3 groups, for every subject and every segment in the channels C3, C4, P3, P4, CZ and Pz, showing that for healthy children and healthy adults the majority of their segments in all channels "d4" detailed wavelet coefficient was the one with largest energy content, which means a greater Alpha activity. Even tough Some LD children had on some channels a larger energy content in the detail wavelet coefficient "d5", which means a higher Theta activity, generally speaking it was not possible to determine a pattern. The healthy adults showed a larger energy content in the smooth vector of coefficients "s6", which means that there is a predominant base activity present. Entropy analysis showed that Healthy Children and Healthy adults have an EEG more similar to a random process, while LD children had a smaller entropy, symptom of lack of randomness.

(Key words: Electroencephalogram, Fast Fourier Transform, Wavelet Transform, energy, entropy)

**A mi esposo Luisarturo y mis hijos Cristina y Santiago
que son mi vida entera**

**A mi papá, mi mamá⁺, hermanos, sobrinos
y todos los que han estado conmigo siempre**

A la Universidad Autónoma de Querétaro

AGRADECIMIENTOS

A mis asesores por su apoyo y paciencia.

A la Dra. Talía Fernández Harmony por haber sido co-asesora del presente trabajo doctoral y por su invaluable apoyo y ayuda, sobretodo en la parte neurofisiológica.

Al Dr. Eduardo Castaño Tostado por haber sido co-asesor del presente trabajo doctoral y por su invaluable ayuda en la parte estadística y matemática del proyecto.

A la Dra. Ana Leonor Rivera López por su invaluable apoyo y ayuda en la realización de este trabajo doctoral.

Mi mayor agradecimiento a CONACYT por el apoyo brindado para esta investigación.

Al Instituto de Neurobiología de la Universidad Nacional Autónoma de México en particular a la Maestra Fabiola García Martínez por su participación en el registro de los electroencefalogramas.

A la Dra. Lourdes Díaz Comas por su apoyo en la realización del programa para conversión a formato ASCII.

A Rodrigo Silva Fernández por el apoyo en la edición de los electroencefalogramas.

A la Universidad Autónoma de Querétaro por todo lo aprendido y todo el apoyo recibido para la realización de este trabajo doctoral.

A todas las personas que participaron en la muestra.

INDICE

	Página
Resumen	i
Summary	ii
Dedicatorias	iii
Agradecimientos	iv
Indice	v
Indice de cuadros	vi
Indice de figuras	xii
I. INTRODUCCION	1
II. ANTECEDENTES	6
Análisis Espectral del EEG	7
III. MÉTODO	17
Sujetos	17
Criterios de Inclusión	17
Criterios de exclusión	21
Condiciones del muestreo	21
Transformada de Fourier	26
Transformada de Ondeleta	29
Elementos básicos de la transformada de ondeleta	30
Energía	35
Entropía	36
IV. RESULTADOS Y DISCUSION	37
Análisis de señales representativas	43
Análisis temporal	46
Análisis espectral vía Transformada de Ondeleta	62
Análisis de la energía	92
Análisis de la entropía	156
Conclusiones	183
LITERATURA CITADA	188
APENDICE	195

ÍNDICE DE CUADROS

Cuadro		Página
3.1	Edades de los Sujetos de estudio.	17
4.1	Porcentaje de energía capturada por los coeficientes de ondeleta de la serie original y la serie modificada.	41
4.2	Porcentaje de energía contenida en los coeficientes de ondeleta (Sym8) en los segmentos mostrados en las Figuras 4.7, 4.8, 4.9 y 4.10. Los sombreados fuertes tienen la máxima energía y los sombreados claros tienen la siguiente energía máxima.	45
4.3	Porcentaje de energía en un segmento del EEG en la derivación Cz para Niños Sanos y Adultos Sanos.	65
4.4	Porcentaje de energía en un segmento del EEG en la derivación Cz para Niños Sanos y Niños T. A.	66
4.5	Porcentaje de energía de los coeficientes de ondeleta en un segmento del EEG en todas las derivaciones para el Sujeto 1 Niños Sanos.	68
4.6	Porcentaje de energía de los coeficientes de ondeleta en un segmento del EEG en todas las derivaciones para el Sujeto 2 Niños Sanos.	70
4.7	Porcentaje de energía de los coeficientes de ondeleta en un segmento del EEG en todas las derivaciones para el Sujeto 3 Niños Sanos.	72
4.8	Porcentaje de energía de los coeficientes de ondeleta en un segmento del EEG en todas las derivaciones para el Sujeto 4 Niños Sanos.	74
4.9	Porcentaje de energía de los coeficientes de ondeleta en un segmento del EEG en todas las derivaciones para el Sujeto 1 Adultos Sanos.	76
4.10	Porcentaje de energía de los coeficientes de ondeleta en un segmento del EEG en todas las derivaciones para el Sujeto 2 Adultos Sanos.	78
4.11	Porcentaje de energía de los coeficientes de ondeleta en un segmento del EEG en todas las derivaciones para el Sujeto 3 Adultos Sanos.	80
4.12	Porcentaje de energía de los coeficientes de ondeleta en un segmento del EEG en todas las derivaciones para el Sujeto 4 Adultos Sanos.	82
4.13	Porcentaje de energía de los coeficientes de ondeleta en un segmento del EEG en todas las derivaciones para el Sujeto 1 Niños T. A.	84

4.14	Porcentaje de energía de los coeficientes de ondeleta en un segmento del EEG en todas las derivaciones para el Sujeto 2 Niños T. A.	86
4.15	Porcentaje de energía de los coeficientes de ondeleta en un segmento del EEG en todas las derivaciones para el Sujeto 3 Niños T. A.	88
4.16	Porcentaje de energía de los coeficientes de ondeleta en un segmento del EEG en todas las derivaciones para el Sujeto 4 Niños T. A.	90
4.17	Porcentaje de segmentos con la mayor energía en los coeficientes de ondeleta de detalle, sujeto 1 Niños Sanos.	92
4.18	Porcentaje de segmentos con la mayor energía en los coeficientes de ondeleta de detalle, sujeto 2 Niños Sanos.	93
4.19	Porcentaje de segmentos con la mayor energía en los coeficientes de ondeleta de detalle, sujeto 3 Niños Sanos.	93
4.20	Porcentaje de segmentos con la mayor energía en los coeficientes de ondeleta de detalle, sujeto 4 Niños Sanos.	93
4.21	Estadísticas Descriptivas del Porcentaje de Energía en el Coeficiente de Ondeleta "d3" del EEG Sujeto 1 Niños Sanos.	94
4.22	Estadísticas Descriptivas del Porcentaje de Energía en el Coeficiente de Ondeleta "d4" del EEG Sujeto 1 Niños Sanos.	95
4.23	Estadísticas Descriptivas del Porcentaje de Energía en el Coeficiente de Ondeleta "d5" del EEG Sujeto 1 Niños Sanos.	96
4.24	Estadísticas Descriptivas del Porcentaje de Energía en el Coeficiente de Ondeleta "d6" del EEG Sujeto 1 Niños Sanos.	98
4.25	Estadísticas Descriptivas del Porcentaje de Energía en el Coeficiente de Ondeleta "d3" del EEG Sujeto 2 Niños Sanos.	99
4.26	Estadísticas Descriptivas del Porcentaje de Energía en el Coeficiente de Ondeleta "d4" del EEG Sujeto 2 Niños Sanos.	100
4.27	Estadísticas Descriptivas del Porcentaje de Energía en el Coeficiente de Ondeleta "d5" del EEG Sujeto 2 Niños Sanos.	102
4.28	Estadísticas Descriptivas del Porcentaje de Energía en el Coeficiente de Ondeleta "d6" del EEG Sujeto 2 Niños Sanos.	103
4.29	Estadísticas Descriptivas del Porcentaje de	104

	Energía en el Coeficiente de Ondeleta "d3" del EEG Sujeto 3 Niños Sanos.	
4.30	Estadísticas Descriptivas del Porcentaje de Energía en el Coeficiente de Ondeleta "d4" del EEG Sujeto 3 Niños Sanos.	106
4.31	Estadísticas Descriptivas del Porcentaje de Energía en el Coeficiente de Ondeleta "d5" del EEG Sujeto 3 Niños Sanos.	107
4.32	Estadísticas Descriptivas del Porcentaje de Energía en el Coeficiente de Ondeleta "d6" del EEG Sujeto 3 Niños Sanos.	108
4.33	Porcentaje de segmentos con la mayor energía en los coeficientes de ondeleta de detalle, sujeto 1 Adultos Sanos.	110
4.34	Porcentaje de segmentos con la mayor energía en los coeficientes de ondeleta de detalle, sujeto 2 Adultos Sanos.	110
4.35	Porcentaje de segmentos con la mayor energía en los coeficientes de ondeleta de detalle, sujeto 3 Adultos Sanos.	110
4.36	Porcentaje de segmentos con la mayor energía en los coeficientes de ondeleta de detalle, sujeto 4 Adultos Sanos.	111
4.37	Estadísticas Descriptivas del Porcentaje de Energía en el Coeficiente de Ondeleta "d3" del EEG Sujeto 1 Adultos Sanos.	111
4.38	Estadísticas Descriptivas del Porcentaje de Energía en el Coeficiente de Ondeleta "d4" del EEG Sujeto 1 Adultos Sanos.	113
4.39	Estadísticas Descriptivas del Porcentaje de Energía en el Coeficiente de Ondeleta "d5" del EEG Sujeto 1 Adultos Sanos.	114
4.40	Estadísticas Descriptivas del Porcentaje de Energía en el Coeficiente de Ondeleta "d6" del EEG Sujeto 1 Adultos Sanos.	115
4.41	Estadísticas Descriptivas del Porcentaje de Energía en el Coeficiente de Ondeleta "d3" del EEG Sujeto 2 Adultos Sanos.	116
4.42	Estadísticas Descriptivas del Porcentaje de Energía en el Coeficiente de Ondeleta "d4" del EEG Sujeto 2 Adultos Sanos.	117
4.43	Estadísticas Descriptivas del Porcentaje de Energía en el Coeficiente de Ondeleta "d5" del EEG Sujeto 2 Adultos Sanos.	119
4.44	Estadísticas Descriptivas del Porcentaje de Energía en el Coeficiente de Ondeleta "d6" del EEG Sujeto 2 Adultos Sanos.	120

4.45	Estadísticas Descriptivas del Porcentaje de Energía en el Coeficiente de Ondeleta "d3" del EEG Sujeto 3 Adultos Sanos.	121
4.46	Estadísticas Descriptivas del Porcentaje de Energía en el Coeficiente de Ondeleta "d4" del EEG Sujeto 3 Adultos Sanos.	123
4.47	Estadísticas Descriptivas del Porcentaje de Energía en el Coeficiente de Ondeleta "d5" del EEG Sujeto 3 Adultos Sanos.	124
4.48	Estadísticas Descriptivas del Porcentaje de Energía en el Coeficiente de Ondeleta "d6" del EEG Sujeto 3 Adultos Sanos.	125
4.49	Estadísticas Descriptivas del Porcentaje de Energía en el Coeficiente de Ondeleta "d3" del EEG Sujeto 4 Adultos Sanos.	126
4.50	Estadísticas Descriptivas del Porcentaje de Energía en el Coeficiente de Ondeleta "d4" del EEG Sujeto 4 Adultos Sanos.	128
4.51	Estadísticas Descriptivas del Porcentaje de Energía en el Coeficiente de Ondeleta "d5" del EEG Sujeto 4 Adultos Sanos.	129
4.52	Estadísticas Descriptivas del Porcentaje de Energía en el Coeficiente de Ondeleta "d6" del EEG Sujeto 4 Adultos Sanos.	130
4.53	Porcentaje de segmentos con la mayor energía en los coeficientes de ondeleta de detalle, sujeto 1 Niños T. A.	131
4.54	Porcentaje de segmentos con la mayor energía en los coeficientes de ondeleta de detalle, sujeto 2 Niños T. A.	132
4.55	Porcentaje de segmentos con la mayor energía en los coeficientes de ondeleta de detalle, sujeto 3 Niños T. A.	132
4.56	Porcentaje de segmentos con la mayor energía en los coeficientes de ondeleta de detalle, sujeto 4 Niños T. A.	133
4.57	Estadísticas Descriptivas del Porcentaje de Energía en el Coeficiente de Ondeleta "d3" del EEG Sujeto 1 Niños T. A.	133
4.58	Estadísticas Descriptivas del Porcentaje de Energía en el Coeficiente de Ondeleta "d4" del EEG Sujeto 1 Niños T. A.	135
4.59	Estadísticas Descriptivas del Porcentaje de Energía en el Coeficiente de Ondeleta "d5" del EEG Sujeto 1 Niños T. A.	136
4.60	Estadísticas Descriptivas del Porcentaje de Energía en el Coeficiente de Ondeleta "d6" del	137

	EEG Sujeto 1 Niños T. A.	
4.61	Estadísticas Descriptivas del Porcentaje de Energía en el Coeficiente de Ondeleta "d3" del EEG Sujeto 2 Niños T. A.	138
4.62	Estadísticas Descriptivas del Porcentaje de Energía en el Coeficiente de Ondeleta "d4" del EEG Sujeto 2 Niños T. A.	140
4.63	Estadísticas Descriptivas del Porcentaje de Energía en el Coeficiente de Ondeleta "d5" del EEG Sujeto 2 Niños T. A.	141
4.64	Estadísticas Descriptivas del Porcentaje de Energía en el Coeficiente de Ondeleta "d6" del EEG Sujeto 2 Niños T. A.	142
4.65	Estadísticas Descriptivas del Porcentaje de Energía en el Coeficiente de Ondeleta "d3" del EEG Sujeto 3 Niños T. A.	144
4.66	Estadísticas Descriptivas del Porcentaje de Energía en el Coeficiente de Ondeleta "d4" del EEG Sujeto 3 Niños T. A.	145
4.67	Estadísticas Descriptivas del Porcentaje de Energía en el Coeficiente de Ondeleta "d5" del EEG Sujeto 3 Niños T. A.	146
4.68	Estadísticas Descriptivas del Porcentaje de Energía en el Coeficiente de Ondeleta "d6" del EEG Sujeto 3 Niños T. A.	147
4.69	Estadísticas Descriptivas del Porcentaje de Energía en el Coeficiente de Ondeleta "d3" del EEG Sujeto 4 Niños T. A.	149
4.70	Estadísticas Descriptivas del Porcentaje de Energía en el Coeficiente de Ondeleta "d4" del EEG Sujeto 4 Niños T. A.	150
4.71	Estadísticas Descriptivas del Porcentaje de Energía en el Coeficiente de Ondeleta "d5" del EEG Sujeto 4 Niños T. A.	151
4.72	Estadísticas Descriptivas del Porcentaje de Energía en el Coeficiente de Ondeleta "d6" del EEG Sujeto 4 Niños T. A.	152
4.73	Valores Z de acuerdo a Normas por edad en la Derivación Cz para los tres grupos: Niños Sanos, Niños T. A. y Adultos Sanos.	155
4.74	Valores de los porcentajes de energía en los coeficientes de ondeleta correspondiente a los datos aberrantes de Entropía en la Derivación C3.	163
4.75	Valores de los porcentajes de energía en los coeficientes de ondeleta correspondiente a los datos aberrantes de Entropía en la Derivación	166

	C4.	
4.76	Valores de los porcentajes de energía en los coeficientes de ondeleta correspondiente a los datos aberrantes de Entropía en la Derivación P3.	169
4.77	Valores de los porcentajes de energía en los coeficientes de ondeleta correspondiente a los datos aberrantes de Entropía en la Derivación P4.	172
4.78	Valores de los porcentajes de energía en los coeficientes de ondeleta correspondiente a los datos aberrantes de Entropía en la Derivación Cz.	175
4.79	Valores de los porcentajes de energía en los coeficientes de ondeleta correspondiente a los datos aberrantes de Entropía en la Derivación Pz.	178
4.80	Estadística descriptiva de las Entropías Niños Sanos.	180
4.81	Estadística descriptiva de las Entropías Niños T. A.	181
4.82	Estadística descriptiva de las Entropías Adultos Sanos.	182

ÍNDICE DE FIGURAS

Figura		Página
1.1	Cuadrícula tiempo-Frecuencia para: i. Dominio del Tiempo, ii. Dominio de la Frecuencia, iii. STFT y iv. WT.	10
1.2	Ritmo Alfa presente en un EEG.	12
1.3	Ritmo Beta presente en un EEG.	12
1.4	Ritmo Theta presente en un EEG.	13
1.5	Ritmo Delta presente en un EEG.	13
3.1	Sistema Internacional 10/20 para la colocación de Electroodos.	22
3.2	Electrodos utilizados para grabar la señal del EEG.	23
3.3	Niño con gorra Electrocap durante un registro de EEG.	23
3.4	Representación del Amplificador Diferencial	24
3.5	Artefacto por mala conexión o desconexión del electrodo 12, correspondiente a la derivación F8. Del lado izquierdo se muestran las derivaciones; los pulsos inferiores corresponden a 1 s.	25
3.6	Análisis de Multirresolución de un segmento del sujeto 1 de Niños Sanos en Cz, izquierda función base “Daubechies 4”, derecha función base “Daubechies 20”.	31
3.7	Ejemplo de ondeleta Daub4 al contraer o dilatar y trasladar la función base.	33
4.1	Serie original simulada.	37
4.2	Periodograma y Espectrograma de la serie original.	38
4.3	Serie original modificada en algunos términos.	39
4.4	Periodograma y Espectrograma de la serie modificada.	39
4.5	DWT de las series: arriba, serie original; abajo, serie modificada.	40
4.6	Periodograma en la Derivación Cz del EEG del Sujeto 4 Niño T. A.	42
4.7	MRD en la Derivación Cz del EEG del Sujeto 4 Niño T. A.	42
4.8	MRD con Sym8 de un segmento del EEG en la Derivación F4 de un paciente con un tumor cerebral frontal con alto contenido de Delta.	43
4.9	MRD con Sym8 de un segmento del EEG en la Derivación F4 de un Niño Sano con alto contenido de Theta.	44

4.10	MRD con Sym8 de un segmento del EEG en la Derivación O2 del Sujeto 1 Niños Sanos con alto contenido de Alfa 1.	44
4.11	MRD con Sym8 de un segmento del EEG en la Derivación O2 del Sujeto 3 Niños Sanos con alto contenido de Alfa 2.	45
4.12	Un segmento del EEG en la derivación "Cz" en el dominio del tiempo, izquierda Niños Sanos, derecha Adultos Sanos.	47
4.13	Un segmento del EEG en la derivación "Cz" en el dominio del tiempo, izquierda Niños Sanos, derecha Niños T. A.	48
4.14	Un segmento del EEG en las derivaciones: C3, C4, P3, P4, Cz y Pz del Sujeto 1 Niños Sanos.	50
4.15	Un segmento del EEG en las derivaciones: C3, C4, P3, P4, Cz y Pz del Sujeto 2 Niños Sanos.	51
4.16	Un segmento del EEG en las derivaciones: C3, C4, P3, P4, Cz y Pz del Sujeto 3 Niños Sanos.	52
4.17	Un segmento del EEG en las derivaciones: C3, C4, P3, P4, Cz y Pz del Sujeto 4 Niños Sanos.	53
4.18	Un segmento del EEG en las derivaciones: C3, C4, P3, P4, Cz y Pz del Sujeto 1 Adultos Sanos.	54
4.19	Un segmento del EEG en las derivaciones: C3, C4, P3, P4, Cz y Pz del Sujeto 2 Adultos Sanos.	55
4.20	Un segmento del EEG en las derivaciones: C3, C4, P3, P4, Cz y Pz del Sujeto 3 Adultos Sanos.	56
4.21	Un segmento del EEG en las derivaciones: C3, C4, P3, P4, Cz y Pz del Sujeto 4 Adultos Sanos.	57
4.22	Un segmento del EEG en las derivaciones: C3, C4, P3, P4, Cz y Pz del Sujeto 1 Niño T. A.	58
4.23	Un segmento del EEG en las derivaciones: C3, C4, P3, P4, Cz y Pz del Sujeto 2 Niño T. A.	59
4.24	Un segmento del EEG en las derivaciones: C3, C4, P3, P4, Cz y Pz del Sujeto 3 Niños T. A.	60
4.25	Un segmento del EEG en las derivaciones: C3, C4, P3, P4, Cz y Pz del Sujeto 4 Niños T. A.	61
4.26	Ondeleta Daub4	62
4.27	Ondeleta Sym8: arriba a la izquierda la original y las demás ejemplos de Sym8 trasladadas y escaladas.	63
4.28	DWT de un segmento del EEG en la derivación Cz en los sujetos sanos, izquierda niños y derecha Adultos jóvenes.	64
4.29	MRD de un segmento del EEG en la derivación Cz; izquierda niños Sanos y derecha Adultos Sanos.	65
4.30	DWT de un segmento del EEG en la derivación	66

4.31	Cz; izquierda Niños Sanos y derecha Niños T. A. MRD de un segmento del EEG en la derivación Cz de los niños, izquierda Sanos y derecha T. A.	67
4.32	DWT de un segmento del EEG en las derivaciones: C3, C4, P3, P4, Cz y Pz del Sujeto 1 Niños Sanos.	68
4.33	MRD de un segmento del EEG en las derivaciones: C3, C4, P3, P4, Cz y Pz del Sujeto 1 Niños Sanos.	69
4.34	DWT de un segmento del EEG en las derivaciones: C3, C4, P3, P4, Cz y Pz del Sujeto 2 Niños Sanos.	70
4.35	MRD de un segmento del EEG en las derivaciones: C3, C4, P3, P4, Cz y Pz del Sujeto 2 Niños Sanos.	71
4.36	DWT de un segmento del EEG en las derivaciones: C3, C4, P3, P4, Cz y Pz del Sujeto 3 Niños Sanos.	72
4.37	MRD de un segmento del EEG en las derivaciones: C3, C4, P3, P4, Cz y Pz del Sujeto 3 Niños Sanos.	73
4.38	DWT de un segmento del EEG en las derivaciones: C3, C4, P3, P4, Cz y Pz del Sujeto 4 Niños Sanos.	74
4.39	MRD de un segmento del EEG en las derivaciones: C3, C4, P3, P4, Cz y Pz del Sujeto 4 Niños Sanos.	75
4.40	DWT de un segmento del EEG en las derivaciones: C3, C4, P3, P4, Cz y Pz del Sujeto 1 Adultos Sanos.	76
4.41	MRD de un segmento del EEG en las derivaciones: C3, C4, P3, P4, Cz y Pz del Sujeto 1 Adultos Sanos.	77
4.42	DWT de un segmento del EEG en las derivaciones: C3, C4, P3, P4, Cz y Pz del Sujeto 2 Adultos Sanos.	78
4.43	MRD de un segmento del EEG en las derivaciones: C3, C4, P3, P4, Cz y Pz del Sujeto 2 Adultos Sanos.	79
4.44	DWT de un segmento del EEG en las derivaciones: C3, C4, P3, P4, Cz y Pz del Sujeto 3 Adultos Sanos.	80
4.45	MRD de un segmento del EEG en las derivaciones: C3, C4, P3, P4, Cz y Pz del Sujeto 3 Adultos Sanos.	81
4.46	DWT de un segmento del EEG en las derivaciones: C3, C4, P3, P4, Cz y Pz del Sujeto	82

	4 Adultos Sanos.	
4.47	MRD de un segmento del EEG en las derivaciones: C3, C4, P3, P4, Cz y Pz del Sujeto 4 Adultos Sanos.	83
4.48	DWT de un segmento del EEG en la derivación en las derivaciones: C3, C4, P3, P4, Cz y Pz del Sujeto 1 con Trastorno de aprendizaje.	84
4.49	MRD de un segmento del EEG en la derivación en las derivaciones: C3, C4, P3, P4, Cz y Pz del Sujeto 1 con Trastorno de aprendizaje.	85
4.50	DWT de un segmento del EEG en la derivación en las derivaciones: C3, C4, P3, P4, Cz y Pz del Sujeto 2 Niños T. A.	86
4.51	MRD de un segmento del EEG en la derivación en las derivaciones: C3, C4, P3, P4, Cz y Pz del Sujeto 2 Niños T. A.	87
4.52	DWT de un segmento del EEG en la derivación en las derivaciones: C3, C4, P3, P4, Cz y Pz del Sujeto 3 con Niños T. A.	88
4.53	MRD de un segmento del EEG en la derivación en las derivaciones: C3, C4, P3, P4, Cz y Pz del Sujeto 3 Niños T. A.	89
4.54	DWT de un segmento del EEG en la derivación en las derivaciones: C3, C4, P3, P4, Cz y Pz del Sujeto 4 Niños T. A.	90
4.55	MRD de un segmento del EEG en la derivación en las derivaciones: C3, C4, P3, P4, Cz y Pz del Sujeto 4 Niños T. A.	91
4.56	Porcentaje Medio de Energía en el Coeficiente de Ondeleta "d3" del EEG Sujeto 1 Niños Sanos.	94
4.57	Porcentaje Medio de Energía en el Coeficiente de Ondeleta "d4" del EEG Sujeto 1 Niños Sanos.	96
4.58	Porcentaje Medio de Energía en el Coeficiente de Ondeleta "d5" del EEG Sujeto 1 Niños Sanos.	97
4.59	Porcentaje Medio de Energía en el Coeficiente de Ondeleta "d6" del EEG Sujeto 1 Niños Sanos.	98
4.60	Porcentaje Medio de Energía en el Coeficiente de Ondeleta "d3" del EEG Sujeto 2 Niños Sanos.	99
4.61	Porcentaje Medio de Energía en el Coeficiente de Ondeleta "d4" del EEG Sujeto 2 Niños Sanos.	101
4.62	Porcentaje Medio de Energía en el Coeficiente de Ondeleta "d5" del EEG Sujeto 2 Niños Sanos.	102
4.63	Porcentaje Medio de Energía en el Coeficiente de Ondeleta "d6" del EEG Sujeto 2 Niños Sanos.	104
4.64	Porcentaje Medio de Energía en el Coeficiente de Ondeleta "d3" del EEG Sujeto 3 Niños Sanos.	105
4.65	Porcentaje Medio de Energía en el Coeficiente de	106

4.66	Ondeleta "d4" del EEG Sujeto 3 Niños Sanos. Porcentaje Medio de Energía en el Coeficiente de	107
4.67	Ondeleta "d5" del EEG Sujeto 3 Niños Sanos. Porcentaje Medio de Energía en el Coeficiente de	109
4.68	Ondeleta "d6" del EEG Sujeto 3 Niños Sanos. Porcentaje Medio de Energía en el Coeficiente de	112
4.69	Ondeleta "d3" del EEG Sujeto 1 Adultos Sanos. Porcentaje Medio de Energía en el Coeficiente de	113
4.70	Ondeleta "d4" del EEG Sujeto 1 Adultos Sanos. Porcentaje Medio de Energía en el Coeficiente de	114
4.71	Ondeleta "d5" del EEG Sujeto 1 Adultos Sanos. Porcentaje Medio de Energía en el Coeficiente de	115
4.72	Ondeleta "d6" del EEG Sujeto 1 Adultos Sanos. Porcentaje Medio de Energía en el Coeficiente de	117
4.73	Ondeleta "d3" del EEG Sujeto 2 Adultos Sanos. Porcentaje Medio de Energía en el Coeficiente de	118
4.74	Ondeleta "d4" del EEG Sujeto 2 Adultos Sanos. Porcentaje Medio de Energía en el Coeficiente de	119
4.75	Ondeleta "d5" del EEG Sujeto 2 Adultos Sanos. Porcentaje Medio de Energía en el Coeficiente de	120
4.76	Ondeleta "d6" del EEG Sujeto 2 Adultos Sanos. Porcentaje Medio de Energía en el Coeficiente de	122
4.77	Ondeleta "d3" del EEG Sujeto 3 Adultos Sanos. Porcentaje Medio de Energía en el Coeficiente de	123
4.78	Ondeleta "d4" del EEG Sujeto 3 Adultos Sanos. Porcentaje Medio de Energía en el Coeficiente de	124
4.79	Ondeleta "d5" del EEG Sujeto 3 Adultos Sanos. Porcentaje Medio de Energía en el Coeficiente de	126
4.80	Ondeleta "d6" del EEG Sujeto 3 Adultos Sanos. Porcentaje Medio de Energía en el Coeficiente de	127
4.81	Ondeleta "d3" del EEG Sujeto 4 Adultos Sanos. Porcentaje Medio de Energía en el Coeficiente de	128
4.82	Ondeleta "d4" del EEG Sujeto 4 Adultos Sanos. Porcentaje Medio de Energía en el Coeficiente de	129
4.83	Ondeleta "d5" del EEG Sujeto 4 Adultos Sanos. Porcentaje Medio de Energía en el Coeficiente de	130
4.84	Ondeleta "d6" del EEG Sujeto 4 Adultos Sanos. Porcentaje Medio de Energía en el Coeficiente de	134
4.85	Ondeleta "d3" del EEG Sujeto 1 Niños T. A. Porcentaje Medio de Energía en el Coeficiente de	135
4.86	Ondeleta "d4" del EEG Sujeto 1 Niños T. A. Porcentaje Medio de Energía en el Coeficiente de	136
4.87	Ondeleta "d5" del EEG Sujeto 1 Niños T. A. Porcentaje Medio de Energía en el Coeficiente de	138
4.88	Ondeleta "d6" del EEG Sujeto 1 Niños T. A. Porcentaje Medio de Energía en el Coeficiente de	139
	Ondeleta "d3" del EEG Sujeto 2 Niños T. A.	

4.89	Porcentaje Medio de Energía en el Coeficiente de Ondeleta "d4" del EEG Sujeto 2 Niños T. A.	140
4.90	Porcentaje Medio de Energía en el Coeficiente de Ondeleta "d5" del EEG Sujeto 2 Niños T. A.	142
4.91	Porcentaje Medio de Energía en el Coeficiente de Ondeleta "d6" del EEG Sujeto 2 Niños T. A.	143
4.92	Porcentaje Medio de Energía en el Coeficiente de Ondeleta "d3" del EEG Sujeto 3 Niños T. A.	144
4.93	Porcentaje Medio de Energía en el Coeficiente de Ondeleta "d4" del EEG Sujeto 3 Niños T. A.	145
4.94	Porcentaje Medio de Energía en el Coeficiente de Ondeleta "d5" del EEG Sujeto 3 Niños T. A.	147
4.95	Porcentaje Medio de Energía en el Coeficiente de Ondeleta "d6" del EEG Sujeto 3 Niños T. A.	148
4.96	Porcentaje Medio de Energía en el Coeficiente de Ondeleta "d3" del EEG Sujeto 4 Niños T. A.	149
4.97	Porcentaje Medio de Energía en el Coeficiente de Ondeleta "d4" del EEG Sujeto 4 Niños T. A.	150
4.98	Porcentaje Medio de Energía en el Coeficiente de Ondeleta "d5" del EEG Sujeto 4 Niños T. A.	152
4.99	Porcentaje Medio de Energía en el Coeficiente de Ondeleta "d6" del EEG Sujeto 4 Niños T. A.	153
4.100	Histogramas de la Entropía del EEG en la Derivación C3 arriba izquierda Niños Sanos, arriba derecha Niños con T. A., abajo Adultos Sanos.	156
4.101	Histogramas de la Entropía del EEG en la Derivación C4 arriba izquierda Niños Sanos, arriba derecha Niños con T. A., abajo Adultos Sanos.	157
4.102	Histogramas de la Entropía del EEG en la Derivación P3 arriba izquierda Niños Sanos, arriba derecha Niños con T. A., abajo Adultos Sanos.	158
4.103	Histogramas de la Entropía del EEG en la Derivación P4 arriba izquierda Niños Sanos, arriba derecha Niños con T. A., abajo Adultos Sanos.	159
4.104	Histogramas de la Entropía del EEG en la Derivación Cz arriba izquierda Niños Sanos, arriba derecha Niños con T. A., abajo Adultos Sanos.	160
4.105	Histogramas de la Entropía del EEG en la Derivación Pz arriba izquierda Niños Sanos, arriba derecha Niños con T. A., abajo Adultos Sanos	161

4.106	Diagramas de Caja de la Entropía del EEG en la Derivación C3 arriba izquierda Niños Sanos, arriba derecha Niños con T. A., abajo Adultos Sanos.	162
4.107	Diagramas de Caja de la Entropía del EEG en la Derivación C4 arriba izquierda Niños Sanos, arriba derecha Niños con T. A., abajo Adultos Sanos	165
4.108	Diagramas de Caja de la Entropía del EEG en la Derivación P3 arriba izquierda Niños Sanos, arriba derecha Niños con T. A., abajo Adultos Sanos.	168
4.109	Diagramas de Caja de la Entropía del EEG en la Derivación P4 arriba izquierda Niños Sanos, arriba derecha Niños con T. A., abajo Adultos Sanos.	171
4.110	Diagramas de Caja de la Entropía del EEG en la Derivación Cz arriba izquierda Niños Sanos, arriba derecha Niños con T. A., abajo Adultos Sanos.	174
4.111	Diagramas de Caja de la Entropía del EEG en la Derivación Pz arriba izquierda Niños Sanos, arriba derecha Niños con T. A., abajo Adultos Sanos.	177

I. INTRODUCCIÓN

El electroencefalograma (EEG por ElectroEncefaloGramma) es una gráfica del voltaje en función del tiempo que representa la actividad eléctrica cerebral en diferentes regiones del cuero cabelludo. Puede describirse como una actividad eléctrica de base, que se caracteriza por la existencia de ritmos u ondas de forma y duración similares, con aparición regular recurrente. Desde los inicios, Hans Berger (Evans, 1999) notó que la mayor parte de las ondas del EEG en el adulto normal en estado de vigilia con los ojos cerrados, tenían frecuencias entre los 8 y 13 Hz. A esta actividad la llamó “actividad de primer orden” o actividad Alfa. Igualmente notó que hacia las regiones frontales, el EEG tenía componentes más rápidos, de frecuencias entre los 14 y 30 Hz, a los que denominó “actividad de segundo orden” o actividad Beta. Posteriormente fueron identificados otros dos ritmos: Delta y Theta, que se caracterizaban por tener una menor frecuencia. Debido a que existe una relación bastante estrecha entre estos ritmos, caracterizados de manera importante por su frecuencia, y determinadas características conductuales, al hacer un análisis cuantitativo del EEG, quedaron constituidas las bandas clásicas de frecuencia del EEG como: Delta [1.5Hz,3.5Hz], Theta (3.5Hz,7.5Hz], Alfa (7.5Hz,12.5] y Beta (12.5Hz,19Hz] (Evans, 1999).

El EEG por su naturaleza queda definido como una serie de tiempo. Las series de tiempo se pueden definir como una sucesión de variables aleatorias en el tiempo (Guerrero, 1991). Una serie de tiempo puede analizarse en el dominio del tiempo, en el dominio de las frecuencias o en el espacio fase (Cohen, 1995). El análisis espectral permite describir el comportamiento de la señal en el dominio de las frecuencias, que en el caso del EEG, hace posible analizar de manera cuantitativa la señal y permite calcular las bandas de frecuencia del EEG.

El método más común para describir la señal en el dominio de las frecuencias, es realizar el análisis espectral de la serie a través de la Transformada de Fourier (FT) para obtener el espectro de potencias (Evans,

1999), el cual puede ser útil al realizar el diagnóstico neurológico o psiquiátrico de un sujeto. El análisis de frecuencias del EEG ha hecho posible la detección de anomalías en el funcionamiento cerebral de una persona, en el sentido de que puede discriminarse entre un paciente sano y uno con daño cerebral, sobretodo en los casos de actividad lenta.

Sin embargo, no es posible utilizar la FT cuando el EEG presenta picos o algún tipo de actividad paroxística, primero porque Fourier no logra detectar los picos o las espigas y segundo porque el supuesto de estacionariedad de la serie se quebranta. Esto repercute de manera directa en la evaluación de un sujeto, ya que no le permite al neurofisiólogo obtener medidas cuantitativas del EEG, quedándose sólo con el análisis visual del EEG. Por otro lado, la FT no permite conocer en qué instante de tiempo ha ocurrido una determinada frecuencia.

En el campo de la ingeniería biomédica, la comparación de métodos permite tomar mejores decisiones en la elección de procedimientos para realizar un proyecto específico. Es importante contar con un método que ayude en la discriminación de sujetos para poder clasificarlos, por ejemplo, en dos grupos. En nuestro caso, se busca analizar un método que nos permita encontrar la mejor manera matemática de discriminar entre un paciente sano y uno con algún tipo de trastorno cerebral sin quebrantar los supuestos matemáticos. En particular en este trabajo se utilizaron sujetos con Trastorno de Aprendizaje (niños de 6 a 11 años), comparando sus EEG's con los de Niños Sanos en el mismo rango de edad. Asimismo se compararon Adultos Sanos (entre 18 y 24 años) con los Niños Sanos para diferenciar el desarrollo neurológico que se presenta a través de la edad.

Para poder discriminar entre un paciente sano y uno con algún tipo de trastorno cerebral de manera cuantitativa, es útil realizar el análisis espectral. En la práctica la mayoría de los especialistas en neurofisiología utilizan la Transformada Rápida de Fourier (FFT por sus siglas en inglés Fast Fourier Transform) debido a que reduce el número de operaciones para calcular la FT. La FFT, al igual que la

FT, presenta problemas cuando la señal no cumple con los supuestos matemáticos requeridos para la aplicación de dicha transformación. Motivo por el cual la señal se edita y se “escoge” para que dicha metodología sea factible en su aplicación, sin embargo se ha demostrado que aún cuando la señal sea seccionada para cubrir el supuesto de estacionariedad, este supuesto no se cumple (Akin, 2002, Rosso, 2006). Si la edición del EEG en sujetos normales se realiza de acuerdo a los requerimientos de Harmony, donde se establece que para que un proceso sea considerado estacionario es necesario tomar varios intervalos de la señal no mayores de 12s que en total sumen más de 60s (Harmony, 1984), entonces es posible considerar la serie como estacionaria, sin embargo sólo es válida para este tipo de edición.

Por tales motivos algunos autores han propuesto el uso de otras transformaciones que permitan analizar series no-estacionarias y que además permitan tener una representación en frecuencia-tiempo, misma que no es posible obtener con el uso de la FFT. Se ha demostrado que la Transformada de Ondeleta (WT por sus siglas en inglés Wavelet Transform) ha representado de manera satisfactoria el comportamiento del EEG en pacientes con epilepsia durante crisis convulsivas (Adeli et al., 2003, Gutiérrez, et al., 2001, Khan y Gotman, 2003, Latka et al., 2003, entre otros); en este caso, la no-estacionariedad de la serie es evidente. Sin embargo, los EEGs de pacientes sanos no muestran a simple vista, evidencia de no estacionalidad. Rosso et al. 2001 y Akin en 2002, asumen que la señal del EEG es no estacionaria por naturaleza. En la actualidad la señal se considera como estacionaria y se aplica para su estudio la FFT (Bosch, 2000) basados en el trabajo de Harmony (Harmony, 1984).

Las series de tiempo no-estacionarias no pueden ser modeladas con Transformada de Fourier (FT), debido a que la FT tiene como supuestos principales la no-estacionariedad de la serie al menos de segundo orden (Basar, 1980). Por tal motivo se pretende probar que el método de WT es una herramienta mucho más poderosa en el modelado de señales cerebrales, aun en el caso en los

que la no-estacionariedad de la serie no es tan evidente como es el caso del EEG en pacientes sanos y para otro tipo de edición a la propuesta por Harmony (1984). En otras palabras, una vez realizado el análisis espectral bajo WT, la discriminación entre un paciente sano y otro con algún tipo de trastorno cerebral es mejor en el sentido matemático y provee mucho más información, al permitir conocer el tiempo en que ocurren las frecuencias.

El presente trabajo pretende mostrar un método alternativo para poder analizar las señales derivadas por el EEG de sujetos normales bajo cualquier edición del EEG y aún más, poder analizar el EEG de sujetos con Trastorno de aprendizaje en los que existen picos y segmentos con evidencia de no-estacionariedad a través del análisis espectral vía Transformada de Ondeleta. Con la finalidad de discriminar entre ambos grupos a través de la descomposición del EEG en los Coeficientes de Ondeleta y de sus energías. Adicionalmente se presenta un análisis de la entropía de las señales producidas por el EEG en ambos grupos.

En el capítulo dos se presentan los antecedentes del EEG, el surgimiento del análisis cuantitativo del EEG, así como los métodos que se han utilizado para realizar el análisis espectral. Se presentan también las medidas que se deben tomar previo al análisis propio de las señales.

En el capítulo tres se presenta las características de la muestra, los criterios de inclusión y exclusión de los sujetos, se definen conceptos necesarios para el lector como son las derivaciones: Fp1, Fp2, F3, F4, C3, C4, P3, P4, O1, O2, F7, F8, T3, T4, T5, T6, Fz, Cz y Pz, y los artefactos. Además de definen los conceptos matemáticos de la FFT y la WT, y la forma de calcular las energías y la entropía de Shannon.

En el capítulo cuatro se presenta la aplicación del método a las señales del EEG en tres grupos, Niños Sanos, niños con Trastorno de Aprendizaje y Adultos Sanos. En el cual se puede ver el quebranto de los supuestos de estacionariedad y el análisis espectral vía la descomposición en coeficientes de ondeleta y analizarlos a través del tiempo. Se presentan las energías de los coeficientes en los tres grupos y el comportamiento de las entropías. Además se resumen los resultados obtenidos y describen las ventajas que provee el análisis espectral vía WT. Por un lado las ventajas matemáticas y por el otro nos da la oportunidad de conocer el tiempo en que ocurren las frecuencias.

II. ANTECEDENTES

El esfuerzo por describir y analizar las señales del cerebro se remonta al año 1848, cuando se logró observar por primera vez la señal eléctrica producida por el sistema nervioso por investigadores como Dubai-Reymond, quienes reportaron la presencia de señales eléctricas en el nervio periférico. Estos descubrimientos revelaron que la conducción del nervio periférico involucraba electricidad. En 1875 Caton logró observar señales eléctricas cerebrales en monos y conejos, según explica Cantor (Evans, 1999).

No fue sino hasta 1929, cuando Hans Berger (Berger, 1929) publicó un artículo donde describió un patrón de actividad eléctrica oscilante registrado a través del cuero cabelludo humano conocido como ritmo alfa (α) (Rowan, 2004); demostrando la relación que existía entre la actividad eléctrica y las funciones cerebrales. Publicó además numerosos artículos en los que realizó un recuento de todos sus casos patológicos y normales (Evans, 1999).

Según Cantor (Evans, 1999), Berger propuso que si el electroencefalograma (EEG), como su técnica fue conocida, podía ser utilizado para medir y definir de manera más precisa las marcas biológicas que corresponderían a los comportamientos humanos, por lo cual la técnica podría ser útil en el diagnóstico y en la terapia; en esta última, a través de la medición del impacto de las intervenciones.

A partir de 1930, según Cantor (Evans, 1999), el EEG se convirtió en un objeto de interés en el campo de la psiquiatría y las ciencias neurológicas para investigadores tales como Gibbs, Holwell, Davis, Donald Linsey, Grey Walters y Herver Jasper (Evans, 1999). Estos estudios sugirieron la presencia de

diferenciación de EEG en poblaciones clínicas comparadas con individuos normales (Cambier, et al., 2000). En consecuencia, surgió la creencia de que el EEG era la mejor herramienta que podía utilizarse para la confirmación de desórdenes clínicos como la epilepsia y el trauma cerebral.

Debido al poco avance tecnológico de la época, el EEG reveló poco acerca del continuo neuroanatómico, neurofisiológico y, todavía menos, acerca de las sutilezas del comportamiento y la cognición humana. Gracias al desarrollo de las computadoras digitales a partir de 1960, se hizo posible determinar y cuantificar con más precisión los parámetros del EEG de lo que lo hacía la inspección visual de ondas crudas del EEG realizada por expertos. Estos desarrollos dieron origen al campo del EEG Cuantitativo (QEEG por sus siglas en inglés), el cual permitió restringir la subjetividad que genera el análisis visual de las señales cerebrales. John y sus colaboradores en 1977, introdujeron un método neurométrico que permitía el análisis de la frecuencia (John, et al., 1977). Poco después, Duffy y sus colaboradores en 1981 (Duffy et al., 1981) fueron de los primeros investigadores que desarrollaron técnicas para extraer información significativa de los volúmenes de datos generados por las técnicas del QEEG, analizando mapas topográficos del espectro del EEG a través de un mapeo de significancias en probabilidad.

Análisis Espectral del EEG

Debido a la complejidad inherente al EEG, algunas formas de análisis de series de tiempo deben ser utilizadas para obtener medidas cuantificables. El análisis espectral es un método eficiente para transformar series de tiempo en frecuencias (i.e. Hz o ciclos por segundo) (Blackman & Tukey, 1958). Esto hace posible analizar aspectos importantes de la actividad eléctrica del cerebro que no es posible visualizar en el dominio del tiempo. En general, el análisis espectral descompone una onda compleja en una suma lineal de componentes elementales de onda. Dicha transformación puede realizarse mediante el análisis de Fourier y el análisis de Ondeleta, entre otros.

En el caso del análisis de Fourier las ondas elementales son senos y cosenos (Schumway, 2000), esto presenta una desventaja debido a que no permite representar capturar picos en la señal. Además, los supuestos fundamentales: 1) la no-estacionaridad de la serie y 2) la no-diferenciabilidad de la serie, en general no se cumplen en los sujetos patológicos. En el caso de sujetos sanos el EEG se considera un proceso aleatorio estacionario siempre y cuando se tomen varios intervalos de señal no mayores de 12 segundos y que en total sumen más de 60 segundos (Harmony, 1984). Esto limita el análisis de la señal a un tipo específico de edición, que elimina cualquier tipo de picos que no quedan comprendidos dentro del análisis cuantitativo del EEG. Otra desventaja que presenta la transformada de Fourier es que no es posible conocer la evolución en el tiempo de los patrones de frecuencia.

La transformada de Fourier Corta (STFT por sus siglas en inglés *Short Time Fourier Transform*) (Cohen, 1995) se creó tratando de solventar los problemas con series no estacionarias. La STFT consiste en seccionar la señal en ventanas fijas y aplicar la Transformada de Fourier a cada ventana.

El principio de Incertidumbre de Heisenberg (Cohen, 1995) establece que es imposible conocer al mismo tiempo la frecuencia y el instante de tiempo en que ocurre; por tal motivo la STFT pretende conocer las bandas de frecuencias que existen en un intervalo de tiempo. La mayor desventaja con la STFT es que las ventanas seleccionadas son de ancho fijo, lo que genera un problema de resolución. Si se toma un ancho de ventana estrecho para asegurar la estacionariedad de la serie, entonces se tendrá una resolución pobre en frecuencia. Si el ancho de ventana se amplía, entonces se tendrá una mejor resolución en frecuencia pero una resolución en el tiempo pobre. Además de que al aumentar el ancho de ventana se puede violar el supuesto de estacionariedad.

Por lo tanto la selección del ancho de ventana dependerá del tipo de análisis y comprometerá en su caso la resolución temporal o la resolución en frecuencia. Una vez que el ancho de la ventana sea seleccionado, las resoluciones en tiempo y frecuencia quedarán fijas para todas las frecuencias y todos los tiempos.

En el caso del análisis de ondeleta, los componentes principales son *ondeletas*. Las ondeletas son un descubrimiento relativamente nuevo en las matemáticas aplicadas. Deben su nombre a los trabajos de Morlet et al. (Morlet et al., 1982), Grossman y Morlet (Grossman y Morlet, 1984) y los trabajos de Daubechies (Daubechies, 1988). El interés por las ondeletas ha crecido en las últimas dos décadas debido a que proveen una herramienta matemática muy sencilla con una gran variedad de aplicaciones. Por ejemplo, en el análisis de señales de sonido e imagen se pueden encontrar a Kronland-Martinet, Morlet y Grossmann (1987), Mallat (1989) y en análisis numérico a Beylkin, Coifman y Rokhlin (1991) (Daubechies, 2004). La transformada de ondeleta aparece, entonces, como una necesidad de analizar funciones no estacionarias en su escala de frecuencia-tiempo. Para el caso particular de las investigaciones realizadas en la Universidad Autónoma de Querétaro, la Transformada de Ondeleta se utilizó con éxito en el análisis de daño en estructuras (Vázquez, 2004).

La transformada de ondeleta es una función matemática que permite seccionar los datos en pequeños componentes en escala frecuencia-tiempo y analizarlos cada uno por separado. Su mayor ventaja sobre la transformada de Fourier es que las ondeletas permiten trabajar con datos que presentan discontinuidades o picos. El concepto de ondeleta surgió de manera independiente en diversas áreas como son la física cuántica, las matemáticas, la ingeniería eléctrica, etc. La idea fundamental de las ondeletas es analizar de acuerdo al escalamiento. La transformada de ondeleta (WT, por su nombre en inglés Wavelet Transform) es una función que satisface ciertos requerimientos matemáticos que se utilizan para representar datos o funciones. En la WT la escala juega un papel

muy importante, dicho proceso analiza los datos en diferentes escalas o resoluciones. La transformada de ondeleta provee una representación en frecuencia y tiempo simultáneamente, corta la señal de interés en varias partes y analiza cada una de ellas por separado. Las frecuencias altas o contraídas pueden ser mejor localizadas en el tiempo y las frecuencias bajas o dilatadas en la frecuencia. La ventaja de la WT sobre la STFT es que el ancho de ventana es variable, lo que permite tomar ventanas estrechas para las frecuencias altas y ventanas anchas para analizar frecuencias pequeñas. Esto es conocido como Análisis de Multirresolución, en el que la señal es analizada a diferentes resoluciones en diferentes escalas, i.e., las resoluciones de tiempo y frecuencia varían en el plano frecuencia-tiempo sin violar el Principio de Incertidumbre de Heisenberg.

La Figura 1.1 muestra el plano frecuencia-tiempo de acuerdo al ventaneo de STFT y WT.

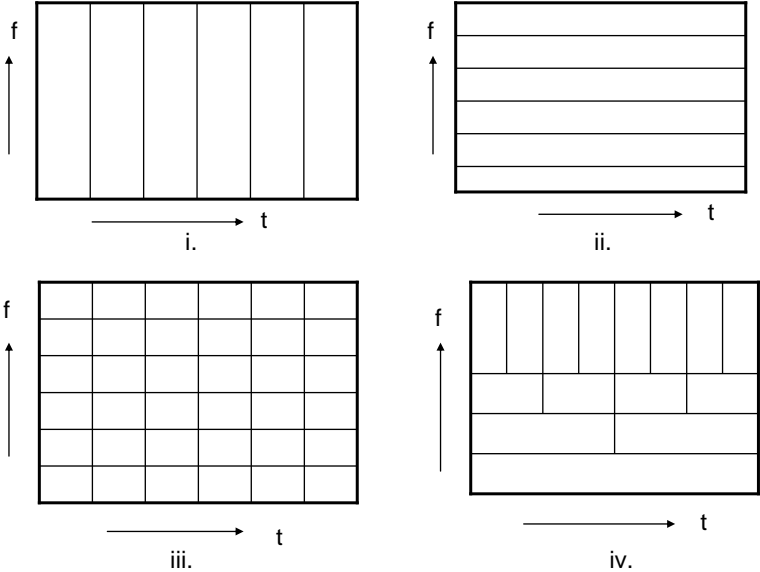


Figura 1.1 Cuadrícula tiempo-Frecuencia para: i. Dominio del Tiempo, ii. Dominio de la Frecuencia, iii. STFT y iv. WT

La WT utiliza ondas elementales que son referidas como funciones base con la importancia matemática de la ortonormalidad. Las funciones base pueden ser establecidas y se pueden realizar translaciones simples entre el dominio del tiempo y las frecuencias gracias a la propiedad de ortonormalidad. La WT, al igual que la transformada de Fourier, es una transformación reversible, es decir, permite ir de la señal original a la transformada, y viceversa, cuando se requiera.

En los últimos años la WT se ha aplicado con éxito al EEG en pacientes con epilepsia que presentan crisis convulsivas con la finalidad de modelar el EEG y tratar de predecir el momento en que podría presentarse otra crisis convulsiva (Schiff et al., 1994; et al.; Unser, 1996; Amir B. Geva, 1998).

A través de los años se han establecido bandas de frecuencia debido a que estas bandas corresponden aproximadamente a los rangos de frecuencia de los ritmos electroencefalográficos, los cuales tienen una alta relación con la conducta. Estas bandas son: Delta [1.5Hz,3.5Hz], Theta (3.5Hz,7.5Hz], Alfa (7.5Hz,12.5] y Beta (12.5Hz,19Hz]. Los ritmos electroencefalográficos quedan descritos a continuación:

- El ritmo Alfa, descrito por primera vez por Hans Berger en 1929 (Evans, 1999), es el ritmo más frecuente en los Adultos en estado de vigilia en reposo. Se aprecia mejor con ojos cerrados y bajo condición de relajación física e inactividad mental relativa. Se localiza principalmente en occipitales con una frecuencia entre los 8 y los 13 Hz y una amplitud menor a $50\mu\text{V}$ para el caso de los Adultos. Se atenúa o bloquea con apertura de ojos o actividad mental y tiene una forma sinusoidal modulado en amplitud de manera fusiforme (Figura 1.2) (Harmony, 1984).

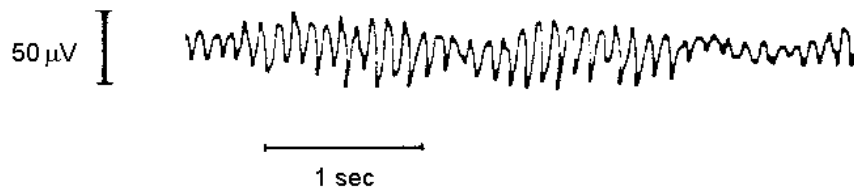


Figura 1.2 Ritmo Alfa presente en un EEG

- El ritmo Beta conocido como ondas de segundo orden, también descrito por Hans Berger (Evans, 1999), se observa frecuentemente en Adultos normales despiertos. Se localiza principalmente en regiones centrales y frontales, pero también se puede observar en regiones posteriores. Tiene una frecuencia entre los 13 y los 20 Hz y una amplitud menor a $30\mu\text{V}$ para el caso de los Adultos. Su morfología es variada e irregular (Figura 1.3) (Harmony, 1984).

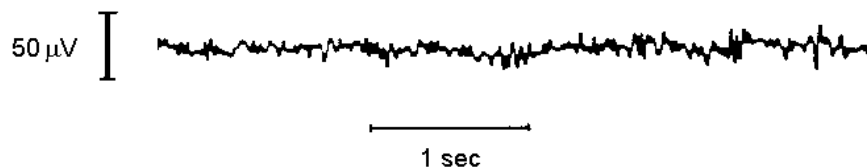


Figura 1.3 Ritmo Beta presente en un EEG

- El ritmo Theta descrito por Waltey y Dovey en 1944 (Harmony, 1984), se observa frecuentemente en la niñez, normalmente se presenta en estado de vigilia después de los 3 años. Existe una correlación negativa entre el monto de actividad Theta y la edad. El ritmo Theta de niños entre 1 y 5 años se observa en regiones posteriores y con una gran amplitud. Es la actividad dominante en niños de 4 a 6 años en regiones centrales, temporales y occipito-parietales. Conforme aumenta la edad el monto de actividad Theta disminuye. En el adulto normal no hay ritmo Theta en vigilia, aunque hay quienes consideran normal la presencia de

Theta temporal. Tiene una frecuencia entre los 4 y los 7 Hz y una amplitud de $100\mu\text{V}$. Su morfología es regular parecida al ritmo Alfa lento sin modulación y se reactiva en niños con la apertura de ojos (Figura 1.4) (Harmony, 1984).

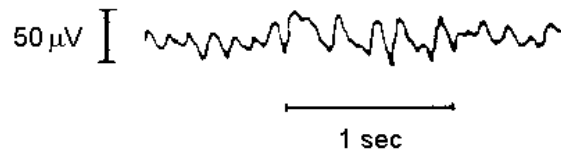


Figura 1.4 Ritmo Theta presente en un EEG

- El ritmo Delta descrito por Grey Walter en 1936 (Harmony, 1984), constituye la actividad dominante en todas las derivaciones en los primeros dos años de vida. A partir de esa edad tiende a desaparecer, primero en regiones occipitales y centrales y después en regiones frontales y temporales. Tiene una frecuencia menor a los 4 Hz, y una amplitud entre los $150\text{-}200\mu\text{V}$ y es muy simétrico. Se localiza durante sueño lento, en toda la cabeza. (Figura 1.5) (Harmony, 1984).

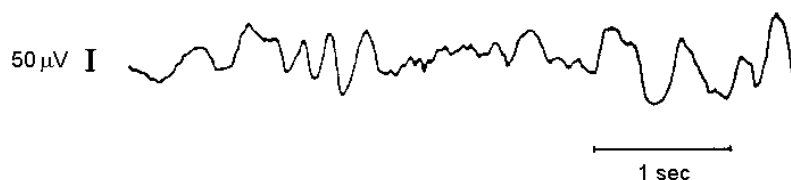


Figura 1.5 Ritmo Delta presente en un EEG

El uso de la transformada de Fourier como método de análisis espectral permitió seccionar la señal en estas bandas de frecuencia y así obtener una medida cuantitativa.

El análisis espectral permite evaluar por separado la varianza asociada con cada periodicidad de interés; donde la varianza es una medida de variabilidad que se utiliza para medir las desviaciones a partir de la media (Devore, 2005). Al comportamiento de la varianza sobre la frecuencia se le conoce como espectro de potencia. El espectro de potencia provee la proporción de potencia de una señal (energía por unidad de tiempo) que cae en una frecuencia determinada. Por ejemplo, si la señal varía lentamente, entonces su potencia quedará concentrada en las frecuencias bajas; si la señal es rítmica, su potencia quedará concentrada en la frecuencia fundamental de su ritmo o en sus frecuencias armónicas y si la señal no tiene ritmo, entonces la potencia quedará distribuida a lo largo de todo el rango de frecuencias (Schumway, 2000).

El problema principal que se ha presentado en el análisis cuantitativo del EEG es la suposición de estacionariedad de la serie, la cual se quebranta cuando la señal no cumple con estos supuestos lo cual ocurre frecuentemente en poblaciones que presentan alguna patología neurológica o psiquiátrica. Para minimizar el efecto de la no-estacionariedad, en el proceso de edición del EEG se quitan grafoelementos de la señal que implícitamente suponen no estacionariedad, quedándose sólo con segmentos de la señal que a manera visual presupondrían estacionariedad (Bosch, 2000), perdiendo así información importante de la actividad eléctrica cerebral inherente al sujeto.

En un esfuerzo por analizar la potencia de la señal, varios autores han utilizado el análisis de la energía a través de la WT, poniendo especial atención en la entropía de ondeleta, basándose en Shannon (1948). La entropía de Ondeleta de Shannon (SWE) cuantifica el grado de orden-desorden de una señal, es decir, cuantifica qué tan dispersa o concentrada está la energía de una señal. La SWE al utilizar la WT, puede ser utilizada en series no estacionarias, y permite conocer su desempeño a través del tiempo.

Rosso et al. (2001) utilizaron con éxito las entropías de ondeleta en los EEGs de pacientes epilépticos tónico-clónicos para predecir el momento en que ocurrirían crisis convulsivas. Sin embargo Rosso et al. no realizaron análisis de las energía a través de sus coeficientes y sólo tomaron un segmento de la señal en una sola derivación.

En 2003 Al-Nashash et al. (Al-Nashash et al., 2003) utilizaron también la SWE en pacientes en recuperación de isquemia cerebral, demostrando que la potencia relativa calculada por Fourier no reveló el orden de la actividad explosiva asociada con la recuperación, mientras que la SWE permitió detectar y delinear periodos explosivos iniciales en cada subbanda. De nuevo, Al-Nashash y sus colaboradores no exploran los coeficientes de ondeleta de la señal ni la energía asociada a la misma.

En 2006 Rosso et al. (Rosso et al. 2006) volvieron a utilizar las entropías de ondeleta para caracterizar la sincronización en microestados de corta duración del EEG, así como la sincronización en potenciales evocados y su evolución temporal en pacientes epilépticos tónicos-clónicos. La investigación se centró en calcular las entropías de: Shannon, Tsallis, escora-Tsallis y Rényi y las medidas de distancia: Euclidiana, Wooters, Fullback, q-Kullback, Jensen y q-Jensen. De nuevo su propósito fue tratar de predecir crisis convulsivas, encontrando que en el periodo previo a la crisis convulsiva predominaban ritmos bajos. El trabajo realizado por Rosso et al. no realiza Análisis por MultiResolución, ni analizan las energías a través de los coeficientes de ondeleta, sólo utilizan la energía para el cálculo de las entropías. Además sólo fue utilizado para caracterizar estados previos a crisis convulsivas en pacientes tónicos-clónicos, es decir, sólo en ese tipo de patología. Rosso et al. no presentan ninguna comparación con sujetos normales, ni con ningún tipo de patología distinta a los pacientes tónicos-clónicos.

En la literatura no se encontró ninguna investigación que utilice transformada de ondeleta del EEG en sujetos con trastorno de aprendizaje ni en sujetos sanos. Tampoco se encontró un significado neurofisiológico de las energías de los coeficientes de ondeleta. Rosso et al. (2006), proponen una equivalencia de los coeficientes de ondeleta con las bandas de frecuencias utilizando la Transformada Ondeleta Discreta Ortogonal en pacientes con epilepsia.

III. MÉTODO

Sujetos

Se seleccionaron tres grupos conformados tanto por mujeres como por hombres; los dos primeros grupos incluyen niños entre 6 y 10 años y el tercer grupo, Adultos jóvenes entre 18 y 24 años. El primer grupo está integrado por Niños Sanos, el segundo grupo está constituido por niños diagnosticados con Trastorno de Aprendizaje y el tercer grupo por Adultos Sanos. La Tabla 3.1 Muestra las edades de los sujetos de los tres grupos.

Grupo	Sujeto	Edad
Niños T. A.	Sujeto 1	6.825
Niños T. A.	Sujeto 2	7.650
Niños T. A.	Sujeto 3	7.287
Niños T. A.	Sujeto 4	8.055
Niños Sanos	Sujeto 1	9.251
Niños Sanos	Sujeto 2	7.424
Niños Sanos	Sujeto 3	10.732
Niños Sanos	Sujeto 4	10.639
Adultos Sanos	Sujeto 1	24.743
Adultos Sanos	Sujeto 2	20.292
Adultos Sanos	Sujeto 3	19.639
Adultos Sanos	Sujeto 4	19.224

Tabla 3.1 Edades de los Sujetos de estudio.

Los diagnósticos fueron verificados por profesionistas en su área, quienes utilizaron todas las herramientas necesarias para establecer dicho diagnóstico, mismas que se mencionan a continuación.

Criterios de inclusión

Los criterios de inclusión se tomaron en cuenta para cada grupo, uno para los Niños Sanos, otro para niños con Trastorno de Aprendizaje y un tercero para

los Adultos Sanos. Dentro de los criterios de inclusión para los Adultos Sanos se consideraron los siguientes:

1. Los sujetos asistieron voluntariamente a la realización del electroencefalograma y firmaron un consentimiento informado.
2. Edad entre 18 y 24 años al momento de la realización del estudio.
3. Mexicanos, de cualquier raza o sexo.
4. Para el caso de mujeres, no estaban embarazadas, ni en su periodo menstrual, ni lactando.
5. De las respuestas al cuestionario previo (ANEXO 1) se concluyó que satisfacían las siguientes características:
 - a. No tener antecedentes familiares con problemas neurológicos o psiquiátricos.
 - b. No haber presentado problemas perinatales severos.
 - c. No tener problemas de drogadicción ni de alcoholismo.
 - d. 48 horas previas sin consumo de alcohol.
 - e. No haber presentado ninguna de las siguientes patologías: crisis convulsivas, cáncer, migraña, hipotiroidismo, hipertiroidismo, meningitis, diabetes, desórdenes alimenticios, enfermedades de transferencia sexual, desordenes psiquiátricos o cualquier enfermedad que pudiera introducir alteraciones en el electroencefalograma.

Dentro de los criterios de inclusión para los Niños Sanos se consideraron los siguientes:

1. Asistir voluntariamente a la realización del electroencefalograma y presentar una carta de consentimiento informado firmada por los padres.
2. Edad entre 6 y 11 años al momento de la realización del estudio.
3. Mexicanos, de cualquier raza o sexo.
4. Cuestionario previo (ANEXO 1) respondido por los padres, verificando que satisficieran las siguientes características:
 - a. No tener antecedentes familiares con problemas neurológicos o psiquiátricos.
 - b. No haber presentado problemas perinatales severos.
 - c. No tener problemas de drogadicción ni de alcoholismo.
 - d. No haber presentado ninguna de las siguientes patologías: crisis convulsivas, cáncer, migraña, hipotiroidismo, hipertiroidismo, meningitis, diabetes, desórdenes alimenticios, enfermedades de transferencia sexual, desordenes psiquiátricos o cualquier enfermedad que pudiera introducir alteraciones en el electroencefalograma.
5. Coeficiente intelectual superior a 70 para descartar Retraso Mental en la prueba WISC-R.
6. Valores normales en las pruebas de Lecto-escritura y Aritmética de la Batería ENI.
7. Evaluación normal en la prueba de la Figura Humana.

Dentro de los criterios de inclusión para los niños con Trastorno de Aprendizaje se consideraron los siguientes:

1. Asistir voluntariamente a la realización del electroencefalograma y presentar una carta de consentimiento informado firmada por los padres.
2. Edad entre 6 y 11 años al momento de la realización del estudio.
3. Mexicanos, de cualquier raza o sexo.
4. Cuestionario previo (ANEXO 1) contestado por los padres verificando que satisficieran las siguientes características:
 - a. No tener antecedentes familiares con problemas neurológicos o psiquiátricos.
 - b. No haber presentado problemas perinatales severos.
 - c. No tener problemas de drogadicción ni de alcoholismo.
 - d. No haber presentado ninguna de las siguientes patologías: crisis convulsivas, cáncer, migraña, hipotiroidismo, hipertiroidismo, meningitis, diabetes, desórdenes alimenticios, enfermedades de transferencia sexual, desordenes psiquiátricos o cualquier enfermedad que pudiera introducir alteraciones en el electroencefalograma.
5. Coeficiente intelectual superior a 70 para descartar Retraso Mental en la prueba WISC-R.
6. Valores por debajo de lo normal en las pruebas de Lecto-escritura y Aritmética de la Batería ENI.

En el caso de los niños, las pruebas: WISC-R, La prueba de Lectoescritura y Aritmética de la Batería ENI y la prueba de la Figura Humana fueron evaluadas por los expertos para verificar su diagnóstico. En el caso particular de los Niños con Trastorno de Aprendizaje, la prueba de la Figura Humana mostró un retraso en la maduración de entre 1 y 2 años de edad que, aunque no fue un criterio de inclusión, vale la pena recalcar.

Criterios de exclusión

Todos aquellos que no cumplan los criterios de inclusión.

Condiciones del muestreo

Los datos generados por los EEGs fueron proporcionados por el Laboratorio de Psicofisiología del Instituto de Neurobiología de la Universidad Nacional Autónoma de México.

El control de calidad es esencial para la creación de un grupo control, los procedimientos que se siguieron fueron los mismos que se utilizan para la creación de una base de datos de referencia del QEEG definidos por Thatcher (1998). Esto es, los amplificadores del EEG se calibraron cuidadosamente para asegurar su estabilidad, y se emplearon los mismos parámetros y procedimientos de adquisición en todos los individuos incluidos en el estudio.

Dado que existen diferencias electroencefalográficas en los distintos momentos del día (Evans, 1999), todos los registros de EEG se realizaron en la mañana, estableciendo las siguientes condiciones previas:

1. Cabeza limpia libre de acondicionador, gel o cualquier otro producto que pueda dificultar la conducción de la señal.

2. Desayuno ligero, para evitar somnolencia.
3. Descansados, es decir que no se hubieran desvelado la noche anterior.

Los EEGs fueron registrados con los sujetos en reposo, con los ojos cerrados, pidiendo al sujeto tratar de mantenerse relajado pero sin dormirse.

El EEG se registró en el cuero cabelludo de los sujetos en 19 sitios (derivaciones) monopolares de acuerdo al Sistema Internacional 10/20 propuesto por Jasper (1958) en: Fp1, Fp2, F3, F4, C3, C4, P3, P4, O1, O2, F7, F8, T3, T4, T5, T6, Fz, Cz y Pz, usando como referencia dos electrodos cortocircuitados, A1 y A2, situados en los lóbulos de las orejas.

Las derivaciones reciben su nombre de acuerdo a su localización, los números pares indican que el electrodo está localizado en el hemisferio derecho del cerebro, los números nones indican que está en el hemisferio izquierdo y la letra “z” indica que está en la línea media. Fp1 y Fp2 corresponden a la región Prefrontal; F3, F4, F7, F8 y Fz corresponden a la región Frontal; C3, C4 y Cz corresponden a la región Central; P3, P4 y Pz a la región Parietal; O1 y O2 a la región Occipital y T3, T4, T5 y T6 al área Temporal. (Figura 3.1)

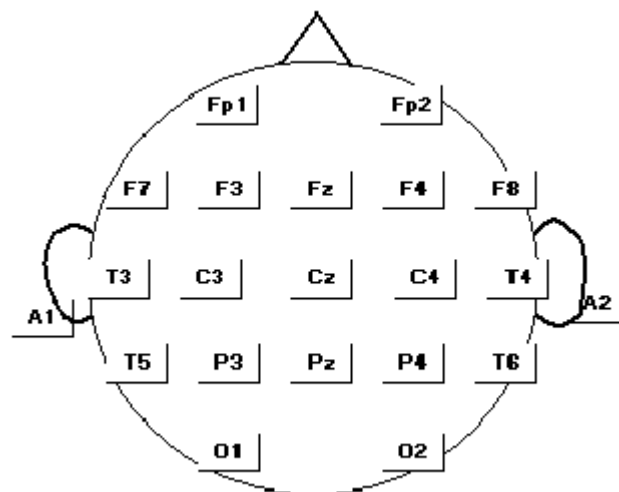


Figura 3.1. Sistema Internacional 10/20 para la colocación de Electrodos.

Los electrodos son pequeñas piezas de metal de 7-8 mm, pueden ser de diferentes metales como plata, oro, estaño, entre otros (Figura 3.2). Reciben el nombre de acuerdo a su localización (Fp1, Fp2, F3, F4, C3, C4, P3, P4, O1, O2, F7, F8, T3, T4, T5, T6, Fz, Cz, Pz).



Figura 3.2. Electrodoos utilizados para grabar la señal del EEG

Para el caso particular de esta investigación se utilizaron gorras especiales de la marca Electrocap con electrodos hechos de plata clorurada. En cada localización se aplicó gel Electrocap en el cuero cabelludo de los sujetos a través de los orificios de la gorra utilizando una jeringa con aguja de punta roma, con la finalidad de conseguir la transmisión de las ondas cerebrales desde el cuero cabelludo hasta los amplificadores diferenciales a través de los cables que están implantados en el gorro (Figura 3.3).



Figura 3.3 Niño con gorra Electrocap durante un registro de EEG.

En cada amplificador diferencial entran dos señales: una, la señal de la derivación en cuestión y otra, la señal de la referencia A1-A2; la salida del amplificador es la diferencia de la señal activa menos la referencia (Figura 3.4). En general, en el caso particular de toma de señales electroencefalográficas, es aceptado que la resistencia del electrodo sea menor a 1/100 de la salida de la resistencia del amplificador (Harmony, 1984).

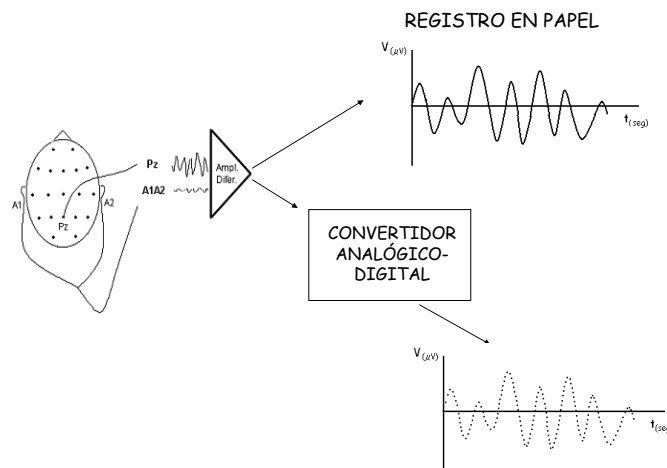


Figura 3.4 Representación del Amplificador Diferencial

Los registros de EEG de los sujetos fueron obtenidos usando el programa Track Walker del sistema MEDICID IV. Las especificaciones de los amplificadores de este sistema son: ganancia de 20,000 dB, con un filtro pasa-bandas de 0.5 a 30 Hz, filtro Notch a 60 Hz, ruido 2 mV RMS, con un periodo de muestreo de 5 milisegundos, mismo que según los expertos en neurofisiología es suficiente para no perder información importante de la actividad eléctrica cerebral. Se entiende por periodo de muestreo (PM) el intervalo de tiempo que transcurre entre la adquisición de un valor de la señal y el siguiente. Se exigió que la impedancia estuviera por debajo de 10 K Ω en todas las derivaciones. Se verificó el estado técnico de la gorra y de la tierra del equipo.

Previo al uso de los procedimientos de cuantificación computarizada es importante realizar un análisis cualitativo de la señal; lo cual permitirá analizar la señal de manera visual para poder identificar grafoelementos que representan alteraciones obvias en la actividad eléctrica cerebral, tales como “puntas”, “ondas agudas” u otra actividad paroxística típica de la epilepsia, o artefactos, entendiendo por artefacto cualquier actividad cuyo origen no es cerebral. Dichos artefactos deberán quitarse de la señal que se desea analizar. Es importante subrayar que desde el punto de vista diagnóstico de la Neurofisiología Clínica, el análisis cuantitativo complementa los métodos visuales, no los sustituye.

La eliminación de artefactos del EEG representa un aspecto importante en el control de calidad de los datos. Dentro de los artefactos más comunes generados por actividad extracerebral se encuentran: el movimiento lateral de ojos, el parpadeo, sudor de la cabeza, movimiento, contracción de los músculos maxilares, temporales o del cuello, electrocardiograma (EKG), pulso, y falso contacto de algún electrodo, entre otros. La Figura 3.5 muestra un artefacto en la derivación F8, causado por la desconexión del electrodo.

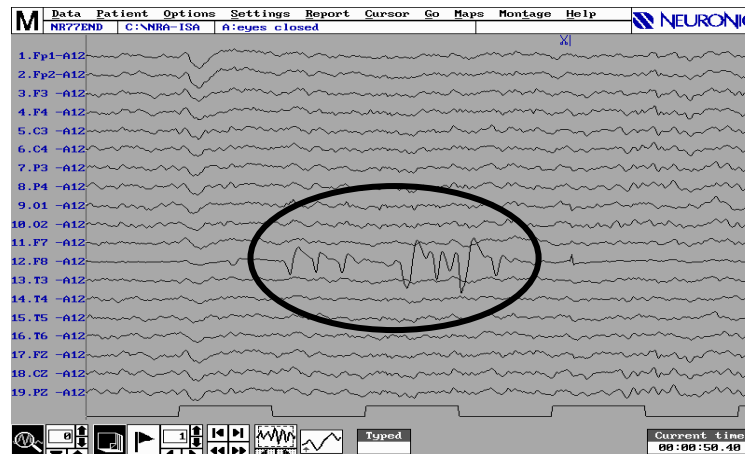


Figura 3.5 Artefacto por mala conexión o desconexión del electrodo 12, correspondiente a la derivación F8. Del lado izquierdo se muestran las derivaciones; los pulsos inferiores corresponden a 1 s.

Además de los artefactos generados por actividad extracerebral, deben eliminarse otros tipos de actividad cerebral, como por ejemplo la actividad asociada a somnolencia, o la actividad de reposo con ojos abiertos (durante el registro se le pide al sujeto en varias ocasiones que abra y cierre los ojos con el fin de evaluar la reactividad del ritmo alfa a la entrada de estímulos sensoriales). En fin, toda la actividad asociada a condiciones de registro diferentes a un estado de reposo con ojos cerrados debe ser excluida.

Muchos factores no controlables influyen en la frecuencia del espectro del EEG. Por ejemplo, el tiempo entre la adquisición del EEG y la hora de comida (Fishbein et al., 1990), el contenido de comida consumida (Cantor et al., 1986; Fishbein et al., 1990), las horas de sueño en la noche previa, el interés personal, el involucramiento del sujeto, etc. Para el caso de este estudio, se trató en lo posible de minimizar los efectos de algunos de estos factores dando instrucciones previas a los sujetos; la variabilidad introducida por otros factores puede quedar cubierta por la aleatoriedad, la cual es utilizada para manejar estos factores no-controlables.

Una vez que la señal fue editada por un experto en el área, quien eliminó artefactos y señales provenientes de condiciones diferentes al reposo con ojos cerrados, se procedió a la digitalización de la misma en formato tipo texto (ASCII); dicho programa fue realizado por la Dra. Lourdes Díaz Comas del Centro de Neurociencias de Cuba. Finalmente, la base de datos quedó conformada por 24 segmentos de 2.56 segundos cada uno, lo que resulta en un tiempo total de 61.44 segundos en cada sujeto, para todos los sujetos de los tres grupos.

Transformada de Fourier

La Transformada de Fourier (FT, por sus siglas en inglés) es un método matemático que permite descomponer una señal en dos componentes fundamentales, senos y cosenos (Schumway, 2000). Dicha transformación permite

llevar la señal del dominio del tiempo, t , al dominio de la frecuencia, u . La FT para una señal continua $x(t)$ está dada por:

$$\hat{f}(u) = \int x(t) \exp(-iut) dt \quad (1)$$

$$= \int x(t) \cos(ut) dt + i \int x(t) \text{sen}(ut) dt \quad (2)$$

El EEG es una señal continua en el tiempo, sin embargo al ser digitalizada ésta se convierte en una señal discreta. En el caso discreto, la FT se obtiene por:

$$\hat{f}(u) = \sum x(t) \exp(-iut) \quad (3)$$

$$= \sum x(t) \cos(ux) + i \sum x(t) \text{sen}(ux) \quad (4)$$

$$= D_x + iE_x \quad (5)$$

donde la magnitud está dada por:

$$F_x = \sqrt{D_x^2 + E_x^2} \quad (6)$$

y la fase por

$$\tan^{-1} \left(\frac{D_x}{E_x} \right) \quad (7)$$

Para poder analizar el contenido de frecuencia dentro de la señal, es necesario obtener la densidad espectral la cual se obtiene aplicando la FT a la función de autocovarianza (ACF por sus siglas en inglés) de la serie original (Basar, 1980). Es decir:

$$\hat{f}(u) = \sum_{h=-(n-1)}^{n-1} \hat{\rho}(h) \exp\{-2\pi i u h\} \quad (8)$$

$$\hat{\rho}(h) = n^{-1} \sum_{t=1}^{n-h} (x_{t+h} - \bar{x})(x_t - \bar{x}) \quad (9)$$

donde h corresponde al retraso y u a la frecuencia.

En su aplicación, la señal no puede ser grabada en un tiempo infinito, por lo que es necesario digitalizarla, considerando un PM que satisfaga la Ley de Nyquist (Bosch, 2000): Sea f la frecuencia máxima del EEG. Entonces la frecuencia de muestreo debe ser al menos $2f$; por lo tanto, el período de muestreo debe ser al menos $1/2f$.

Al realizar la edición del EEG, es necesario remover partes de la señal, dejando como resultado varios segmentos. El análisis cuantitativo de la señal se realiza para cada uno de los segmentos. Se define el número de puntos (NP) del segmento, como el número de observaciones que contiene cada segmento. Por lo que el tiempo total (TT) registrado en el segmento es el producto de NP por PM, es decir $TT=NP*PM$. Esto permite obtener las frecuencias fundamentales mediante $u_k = \frac{1}{TT}$ y sus armónicos $1*u_k, 2*u_k, \dots$

Mediante la estimación de la densidad espectral queda implícito que el espectro es esencialmente la varianza en una frecuencia dada, por lo que es importante poder conocer la magnitud de la varianza aislando el componente de frecuencia. Aplicando la fórmula de Euler (Thomas, 1992), la densidad espectral se puede reescribir para la frecuencia fundamental u_k como:

$$\begin{aligned} X_C(u_k) &= n^{-1/2} \sum_{t=1}^n x_t \cos(2\pi u_k t) \\ X_S(u_k) &= n^{-1/2} \sum_{t=1}^n x_t \text{sen}(2\pi u_k t) \end{aligned} \tag{10}$$

Las funciones seno y coseno son necesarias para detectar la aparición de frecuencias a diferentes retrasos; pueden tomar tanto valores positivos como negativos. Si se toma el cuadrado de la función, entonces es posible tener una

medida de la potencia o varianza de la serie en la frecuencia u_k (Schumway, 2000). A esto se le conoce como Periodograma y queda definido por:

$$I(u_k) = X_C^2(u_k) + X_S^2(u_k) \quad (11)$$

Se puede interpretar el Periodograma como una medida de la energía de la señal contenida en una cierta frecuencia.

Debido al gran número de operaciones requeridas para el cálculo de la FT, en 1965, Cooley y Tukey desarrollaron la Transformada Rápida de Fourier (FFT por sus siglas en inglés) la cual reduce el número de operaciones de N^2 a $N \log_2 N$. En la actualidad se utiliza la FFT para el análisis espectral del EEG (ANEXO 2).

Transformada De Ondeleta

La Transformada de Ondeleta es una función matemática que permite seccionar los datos en pequeños componentes en escala-tiempo y analizarlos cada uno por separado (Saavedra, et al. 2006). Su mayor ventaja sobre la transformada de Fourier es que las ondeletas permiten trabajar con datos que presentan discontinuidades o picos. El concepto de ondeleta surgió de manera independiente en diversas áreas como son la física cuántica, matemáticas, ingeniería eléctrica, etc. La idea fundamental de las ondeletas es analizar de acuerdo al escalamiento. La transformada de ondeleta (WT, por su nombre en inglés Wavelet Transform) es una función que satisface ciertos requerimientos matemáticos que se utilizan para representar datos o funciones. En la WT la escala juega un papel muy importante, dicho proceso analiza los datos en diferentes escalas o resoluciones.

La transformada de ondeleta trabaja en el espacio fase, lo que significa que se usa un espacio conformado, simultáneamente, por coordenadas de tiempo y frecuencia, las cuales están canónicamente conjugadas. Esto nos permite hacer operaciones mediante desplazamientos en coordenadas, en vez de trabajar con ecuaciones diferenciales o ecuaciones algebraicas (Ramírez-Niño, et al., 1998).

Elementos básicos de la transformada de ondeleta

La transformada de ondeleta, vista como un proceso matemático, es una operación lineal que descompone una señal compleja en bloques elementales que aparecen en diferentes escalas o resoluciones. Dichos bloques pueden ser generados de una forma muy sencilla, lo cual simplifica su análisis, permitiendo a su vez, limpiar la señal de interferencia externa.

La selección de la mejor ondeleta depende de las características propias de la señal de estudio. A esta función se le conoce como ondeleta madre o función base o kernel.

La función base seleccionada contiene información sustancial acerca de la señal. Si esta función base es eficiente en la descripción de la señal, entonces sólo serán necesarios algunos términos en la expansión para representar la señal completa. Como ejemplo se utilizaron las funciones base Daubechies 4 (Daub4) y la Symlet 8 (Sym8), aplicadas a un segmento de EEG en la derivación Cz del sujeto 1 del grupo de Niños Sanos, las cuales se muestran en la Figura 3.6. Como se puede observar, Daub4 no es una buena selección de ondeleta madre, ya que la descomposición de ondeleta a través de sus coeficientes no permite recuperar la señal original, mientras que la Sym8 la recupera aceptablemente.

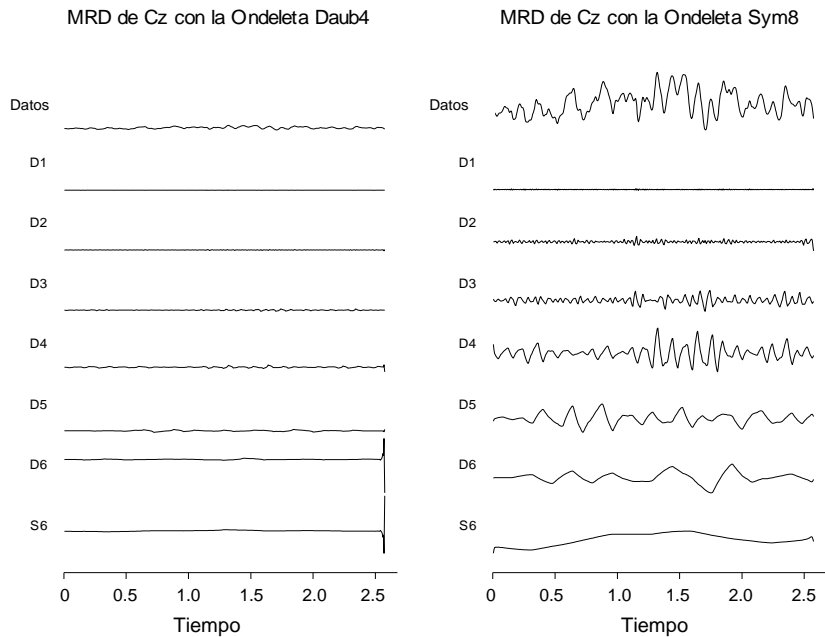


Figura 3.6 Análisis de Multirresolución de un segmento del sujeto 1 de Niños Sanos en Cz, izquierda función base “Daub4”, derecha función base “Sym8”

Por lo tanto, sólo aquellas funciones que satisfagan las dos condiciones siguientes deben ser consideradas como ondeleta madre o función base:

- Ser oscilatoria (área total igual a cero).
- Decaer a cero rápidamente.

La segunda propiedad hace posible quitar el efecto de las oscilaciones de Gibbs, generadas por el corte brusco de la señal (Daubechies, 1992). En el caso FFT la señal se filtra para llevar los valores en los extremos de la señal suavemente a cero y en general se utiliza la función de Hanning (Bosch, 2000).

La transformada de ondeleta de una señal continua está definida por (Ramírez-Niño, et al., 1998):

$$CWT_{\psi} x(a, b) = W_x(a, b) = \int_{-\infty}^{\infty} x(t) \psi_{a,b}^*(t) dt \quad (12)$$

y

$$\psi_{a,b}(t) = |a|^{-1/2} \psi\left(\frac{t-b}{a}\right) \quad (13)$$

donde la señal $x(t)$ es transformada por la ondeleta madre $\psi(t)$. El factor $|a|^{-1/2}$ es utilizado para normalizar la energía. El parámetro a controla la dilatación o la contracción de la función en las escalas del tiempo y de la amplitud, y el parámetro b controla la traslación de la función en el tiempo. Desde el punto de vista neurofisiológico a contiene información sobre el voltaje y la frecuencia.

La función $\psi(t)$ se dice que es una ondeleta, sí y sólo si, su transformada de Fourier $\hat{\psi}(w)$ satisface:

$$\int_{-\infty}^{\infty} \frac{|\hat{\psi}(w)|^2}{|w|} C_{\psi} < \infty \quad (14)$$

La condición de admisibilidad implica que:

$$\int_{-\infty}^{\infty} \psi(t) dt = 0 \quad (15)$$

lo que significa que $\psi(t)$ es oscilatoria y su área total es cero.

Una vez seleccionada la función base, el procedimiento consiste en adoptar la función prototipo de ondeleta y, por dilatación o contracción, descomponer la señal en distintas escalas con diferentes niveles de resolución (Figura 3.7). Éstas últimas se irán comparando con la señal electroencefalográfica a través del tiempo.

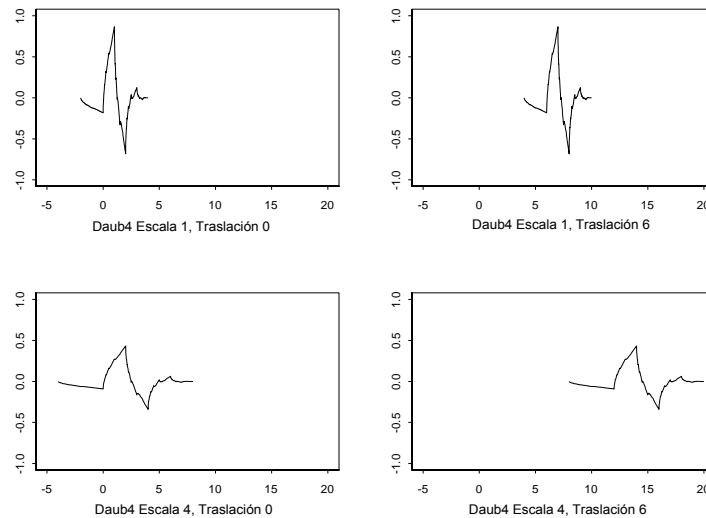


Figura 3.7 Ejemplo de ondeleta Daub4 al contraer o dilatar y trasladar la función base

Como la transformación es alcanzada a partir de dilatar y trasladar la ondeleta madre continuamente sobre los números reales, se genera información redundante. Por lo tanto, para quitar dicha información, la ondeleta madre puede ser dilatada y trasladada de manera discreta haciendo $a = 2^j$ y $b = k2^j$, con $k, j \in Z$ (Z conjunto de enteros positivos). Entonces la ondeleta madre discreta dada por:

$$\psi_{j,k}(t) = 2^{-j/2} \psi\left(\frac{t - k2^j}{2^j}\right) \quad (16)$$

constituye una base ortonormal y su correspondiente transformada de ondeleta se convierte en:

$$DWT_{\psi} x(j, k) = \int_{-\infty}^{\infty} x(t) \psi_{j,k}^*(t) dt \quad (17)$$

Si la señal $x(t)$ es una señal discreta (ANEXO 2), entonces la ecuación (17) queda definida por:

$$DWT[j, k] = \sum_t x[t] \psi_{j,k}(t) \quad (18)$$

Una vez que la Transformada Discreta de Ondeleta (DWT) es completada, el resultado es un conjunto de señales a diferentes escalas o resoluciones. A esto se le conoce como Análisis de Multirresolución (MRA). Con la MRA es posible reconstruir la señal sumando la señal suavizada y las señales de detalle como sigue:

$$x(t) = A^J + D^J + D^{J-1} + \dots + D^1 \quad (19)$$

donde J es el número de componentes en multirresolución (o escalas), A^J es la J-ésima señal suavizada, y D^J, D^{J-1}, \dots, D^1 son las señales de detalle (ANEXO 2). Esto puede hacerse siempre y cuando la señal sea divisible k veces por 2. A partir de (19) se obtiene:

$$x(t) \approx \sum_k s_{J,k} \phi_{J,k}(t) + \sum_k d_{J,k} \psi_{J,k}(t) + \sum_k d_{J-1,k} \psi_{J-1,k}(t) + \dots + \sum_k d_{1,k} \psi_{1,k}(t) \quad (20)$$

donde $s_{J,k}$ es el k-ésimo coeficiente suavizado y $d_{J,k}, d_{J-1,k}, \dots, d_{1,k}$ son los coeficientes de detalle.

La frecuencia, en términos de la Transformada de Ondeleta, corresponde al inverso de la escala. Cuando es válido aplicar la transformada de Fourier se pueden comparar directamente la frecuencia de ondeleta con la frecuencia de Fourier. Es importante notar que la FT es un caso particular de la WT, cuando la función base seleccionada está dada por senos y cosenos, y queda limitada para los casos en los que la FT es válida (Cohen, 1989 y Rioul y Vetterli, 1991).

Energía

El porcentaje de energía de los coeficientes de ondeleta está dada por (Bruce, 1996):

$$E_j^d = \frac{1}{E} \sum_{k=1}^{n/2^j} d_{j,k}^2, \quad j = 1, \dots, J \quad (21)$$

$$E_J^s = \frac{1}{E} \sum_{k=1}^{n/2^J} s_{J,k}^2 \quad (22)$$

donde $E = \sum_{k=1}^n x_k^2$ es la energía total de la señal.

Entropía

La entropía de Shannon (Shannon, 1948) permite analizar y comparar funciones de distribución de probabilidad. Es una medida que provee información acerca de cualquier distribución. Basados en lo propuesto por Shannon en 1948, Blanco et al. (1998) definieron la Entropía Total de Ondeleta (S_{WT}) como:

$$S_{WT} = -\sum_j E_j^d \ln[E_j^d] \quad (23)$$

La S_{WT} es una medida del grado de orden-desorden de una señal, lo cual permite obtener información acerca del proceso dinámico esencial asociado a la señal (Rosso et al., 2006). Considerando los casos extremos, en el caso de una señal periódica de mono-frecuencia, la representación por ondeletas estará dada por un solo nivel de resolución, es decir, todas las energías serán cercanas a cero excepto por el coeficiente de ondeleta que represente la frecuencia de esa señal; en consecuencia, la S_{WT} será cercana a cero. Por el contrario, para una señal correspondiente a un proceso aleatorio, considerada como desordenada, la energía relativa será casi idéntica para todos los coeficientes de ondeleta en todos los niveles de resolución y por lo tanto la S_{WT} tomará valores máximos.

IV. RESULTADOS Y DISCUSIÓN

Para entender los métodos de análisis de señales a través de las transformadas de Fourier y de ondeletas se comenzará analizando una señal periódica, la cual es suave y de comportamiento conocido, simulada mediante la siguiente función:

$$f(x) = \text{sen}(2\pi(.05)x + 1) + \text{cos}(2\pi(.05)x + 1) \quad (24)$$

La gráfica de esta función de x se muestra en la Figura 4.1.

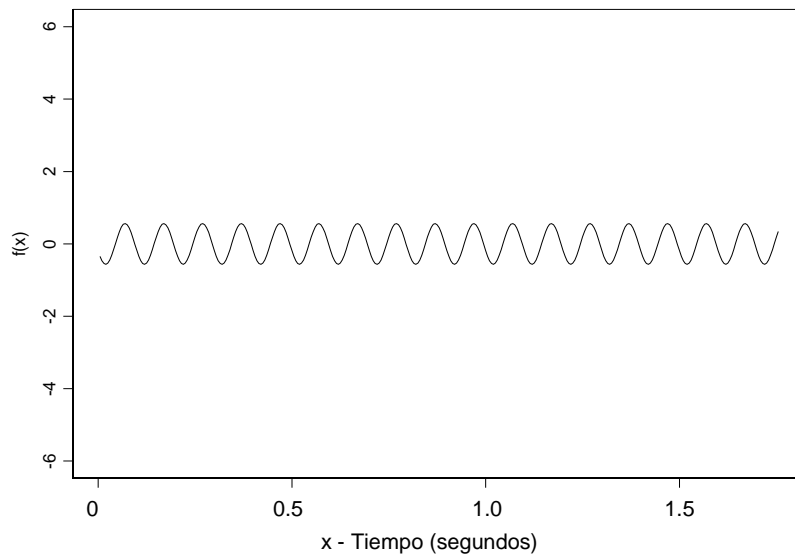


Figura 4.1 Serie original simulada

Al calcular el espectro con el paquete S-plus 6.1 vía FFT y WT con la ondeleta Daubechies D4, se puede notar que dichos espectros son similares en su forma, pero el espectro calculado mediante FFT tiene mayor ruido, como se muestra en la Figura 4.2.

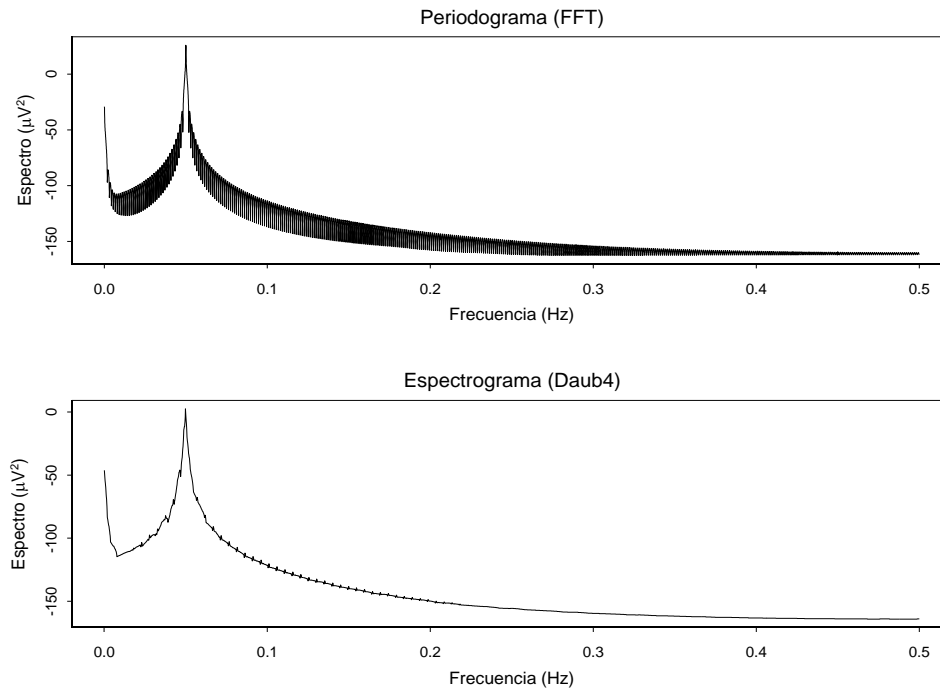


Figura 4.2 Periodograma y Espectrograma de la serie original

Sin embargo, al modificar la función (24) en algunas observaciones ($x=0.105, 1.115, 0.365, 0.845, 1.73$ segundos), simulando actividad paroxística en el EEG (Figura 4.3), el espectro generado por WT muestra variaciones que no son tan notorias con el espectro calculado por FFT (Figura 4.4).

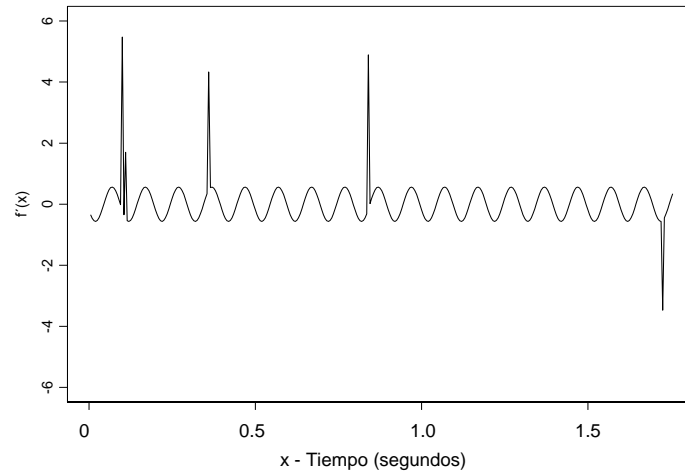


Figura 4.3 Serie original modificada en algunos términos.

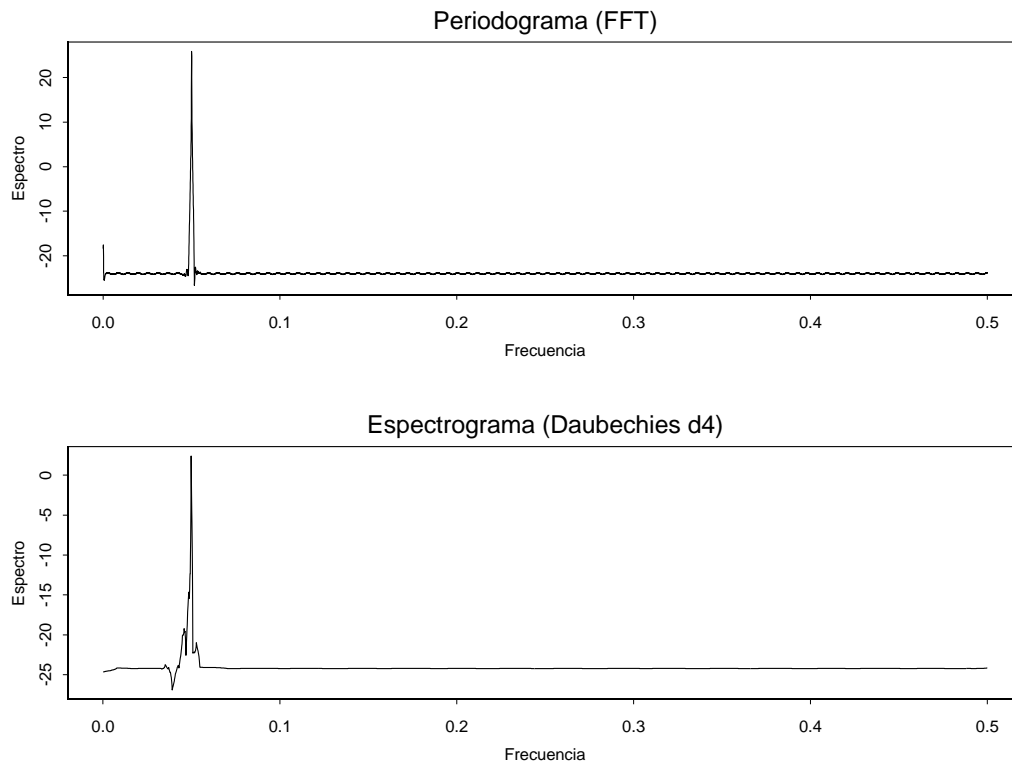


Figura 4.4 Periodograma y Espectrograma de la serie modificada

Al analizar DWT, representada por la Figura 4.5, la serie modificada muestra picos en el coeficiente de ondeleta “d1” exactamente en los instantes de tiempo en los que se simularon los paroxismos; en contraste, la serie original muestra un comportamiento suave, en ella no se observa ningún pico en “d1”.

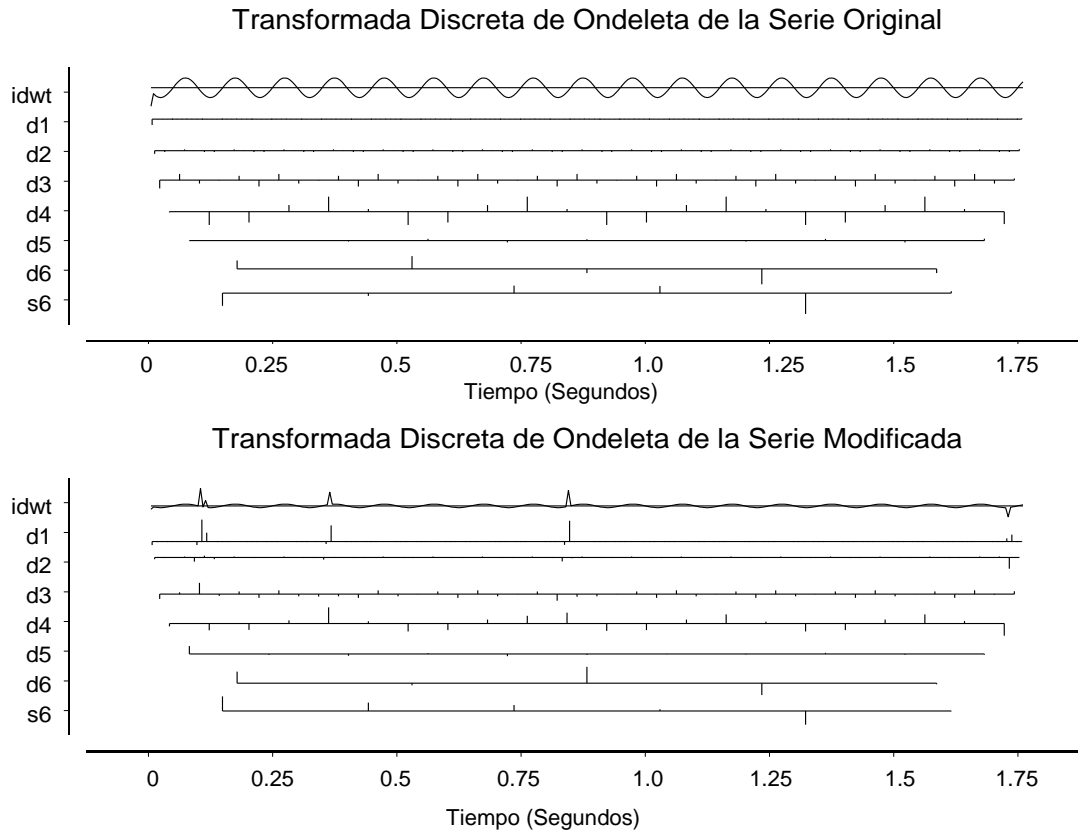


Figura 4.5 DWT de las series: arriba, serie original; abajo, serie modificada.

Es importante notar que tanto la serie original como la serie modificada tienen una frecuencia de 10Hz, la cual es una frecuencia que corresponde a la banda Alfa definida para el EEG (en particular es el límite superior de Alfa1). Al analizar la energía capturada por los coeficientes de ondeleta, como lo muestra la Tabla 4.1, se puede observar que la mayor concentración de energía de la serie original se ubica en el coeficiente de ondeleta “d4”, aún más, la serie original captura el 94.39% de su energía tan solo con los coeficientes “d4 y “d3”, mientras

que la serie modificada presenta el mayor porcentaje de energía en el coeficiente de detalle “d1” (Figura 4.5), seguido de “d4” y “d3”. En el caso de la serie modificada el porcentaje de energía concentrado en “d4” y “d1” sólo alcanza el 75.32% de la energía capturada por la señal.

% de Energía		
Coeficiente de Ondeleta	Serie Original	Serie Modificada
s6	0.0011	0.0056
d6	0.0099	0.0066
d5	0.0052	0.0223
d4	0.6667	0.3604
d3	0.2772	0.1512
d2	0.0281	0.0611
d1	0.0118	0.3928

Tabla 4.1 Porcentaje de energía capturada por los coeficientes de ondeleta de la serie original y la serie modificada.

Al analizar la entropía de las series se obtuvo 0.8516 para la serie original y 1.3110 para la serie modificada. Como era de esperarse, la entropía de la serie modificada resultó mayor que la de la serie original debido a que la señal modificada presenta mayor desorden.

Cabe aclarar que la señal presentada en la ecuación (24) es una función suave y bien organizada por lo que se espera que la entropía sea menor. En el caso del EEG, éste es considerado como un proceso aleatorio por lo que al calcular su entropía se espera encontrar valores mayores de entropía.

Una vez realizadas las pruebas con la señal simulada, se procedió al análisis de los datos reales. A continuación se presenta una descomposición por Multiresolución (MRD) (Figura 4.6), utilizando la ondeleta Sym8 y FFT, de un segmento del EEG grabado en la derivación Cz del Sujeto 4 con T. A., el cual presentó actividad paroxística.

El paroxismo presente en este segmento es lento, por lo que es posible analizarlo mediante la FFT (Figura 4.6). Claramente se nota que existe un cambio en frecuencia.

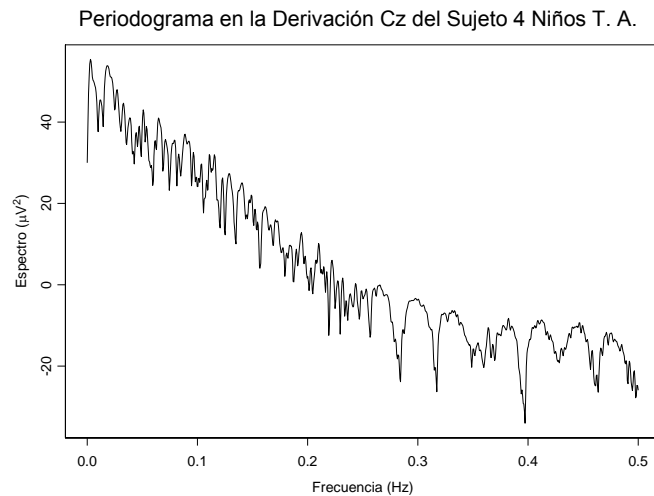


Figura 4.6 Periodograma en la Derivación Cz del EEG del Sujeto 4 Niño T. A.

Sin embargo al analizar la señal de este segmento mediante la MRD (Figura 4.7), es posible conocer el instante de tiempo en el que ocurrió dicha actividad paroxística.

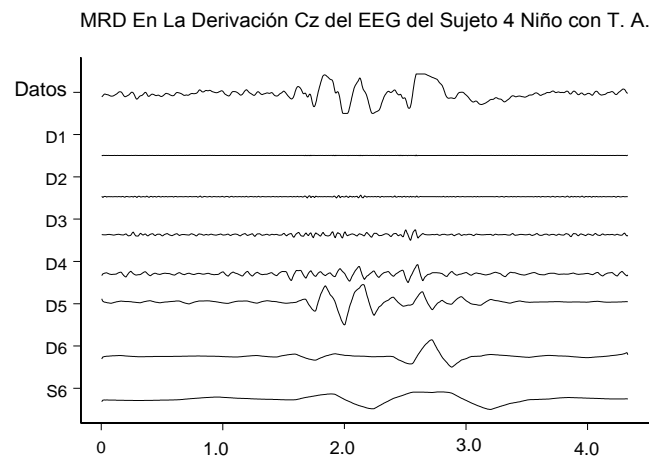


Figura 4.7 MRD en la Derivación Cz del EEG del Sujeto 4 Niño T. A.

Análisis de señales representativas

Con la finalidad de caracterizar las señales de acuerdo al nivel de energía de sus coeficientes de ondeleta se analizaron 4 segmentos con las siguientes características:

- Segmento 1 con alto contenido de ritmo Delta [1.5 Hz, 3.5 Hz] en la derivación P4 (Figura 4.8).
- Segmento 2 con alto contenido de ritmo Theta (3.5 Hz, 7.5 Hz], en la derivación F4 (Figura 4.10).
- Segmento 3 con alto contenido de actividad Alfa conocida como Alfa1 (7.5Hz Hz, 10.0 Hz], en la derivación O2 (Figura 4.8).
- Segmento 4 con alto contenido de actividad Alfa conocido como Alfa2 (10.0 Hz,12.5 Hz], en la derivación O2 (Figura 4.9).

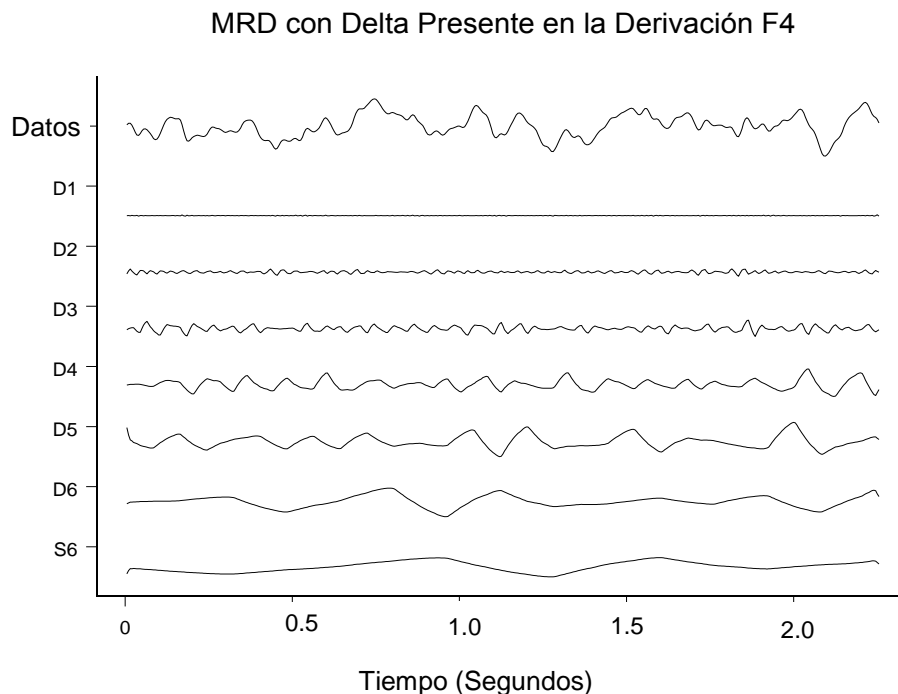


Figura 4.8 MRD con Sym8 de un segmento del EEG en la Derivación F4 de un paciente con un tumor cerebral frontal con alto contenido de Delta

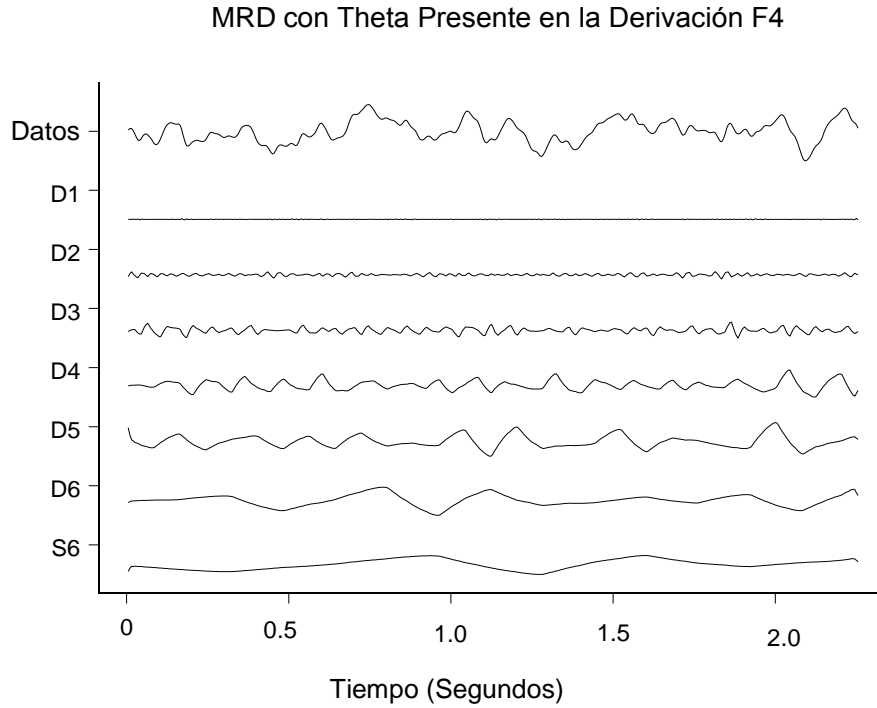


Figura 4.9 MRD con Sym8 de un segmento del EEG en la Derivación F4 de un Niño Sano con alto contenido de Theta

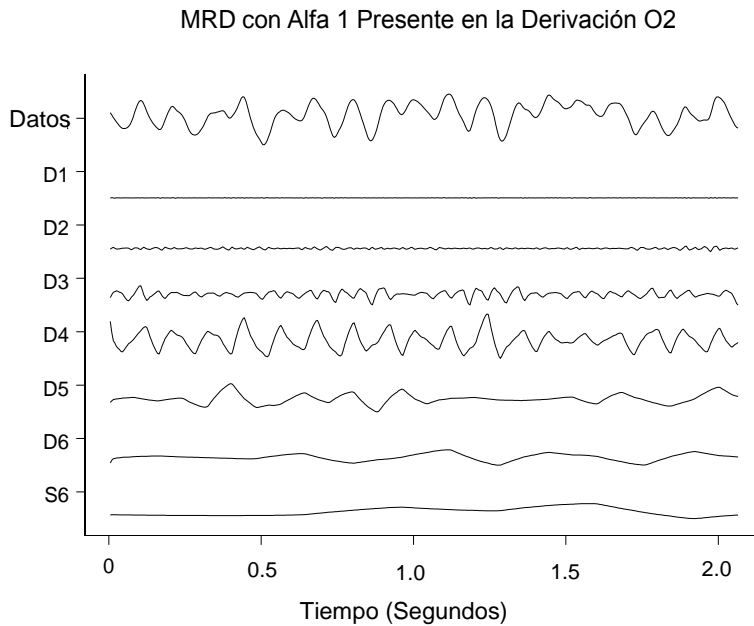


Figura 4.10 MRD con Sym8 de un segmento del EEG en la Derivación O2 del Sujeto 1 Niños Sanos con alto contenido de Alfa 1

MRD con Alfa 2 Presente en la Derivación O2

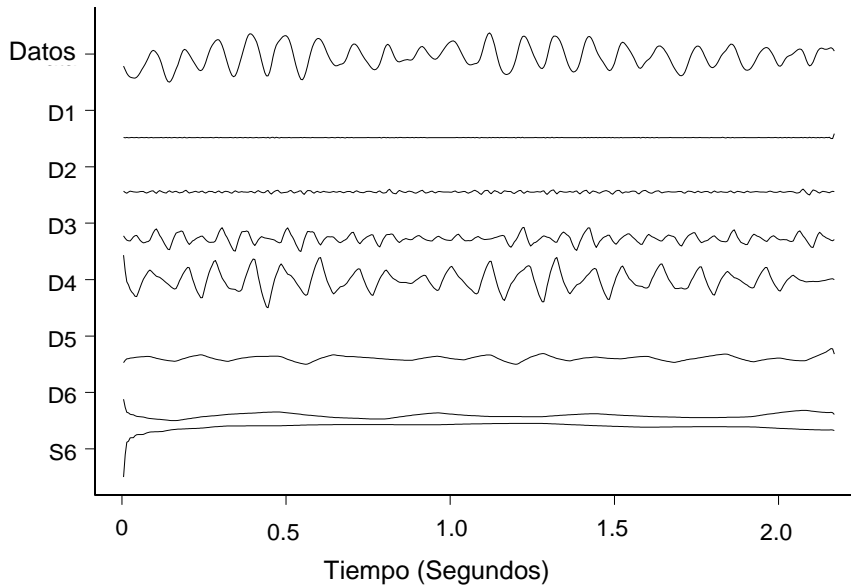


Figura 4.11 MRD con Sym8 de un segmento del EEG en la Derivación O2 del Sujeto 3 Niños Sanos con alto contenido de Alfa 2

Se calcularon las energías para cada uno de los segmentos, los cuales se muestran en la Tabla 4.2. Como se aprecia, si se toma en cuenta sólo a los coeficientes de detalle, el mayor porcentaje de los ritmos Alfa1 y Alfa2 está contenido en el coeficiente de ondeleta “d4”, pero la señal con frecuencia Alfa2 tiene al coeficiente “d3” como segundo coeficiente con mayor energía mientras que para la señal con frecuencia Alfa1 el segundo coeficiente con mayor energía es “d5”, lo que era de esperarse al tener Alfa1 una frecuencia menor que Alfa2.

Porcentaje de Energía							
ritmos	s6	d6	d5	d4	d3	d2	d1
δ	0.611	0.199	0.085	0.038	0.052	0.013	0.002
θ	0.337	0.141	0.280	0.203	0.032	0.006	0
α_1	0.172	0.083	0.151	0.523	0.068	0.003	0
α_2	0.199	0.031	0.035	0.604	0.125	0.005	0

Tabla 4.2 Porcentaje de energía contenida en los coeficientes de ondeleta (Sym8) en los segmentos mostrados en las Figuras 4.7, 4.8, 4.9 y 4.10. Los sombreados fuertes tienen la máxima energía y los sombreados claros tienen la siguiente energía máxima.

Por otro lado el ritmo Theta presenta un mayor contenido de energía en el coeficiente de ondeleta “d5”, de nuevo al tener menor frecuencia que el ritmo Alfa, se esperaría que su energía se concentrara en un coeficiente con una escala mayor. En particular este segmento tenía un voltaje pequeño.

El ritmo Delta presenta un mayor contenido de energía en el coeficiente de ondeleta “d6”, de nuevo al tener menor frecuencia que el ritmo Theta, se esperaría que su energía se concentrara en un coeficiente con una escala mayor.

En resumen podemos decir que la actividad rápida tendrá su energía concentrada en coeficientes de mayor detalle mientras que los ritmos lentos concentran su energía en coeficientes de menor detalle, lo cual se puede entender ya que como vimos anteriormente la escala está relacionada con el inverso de la frecuencia; en una gráfica de MRD las actividades rápidas corresponden a “D1” y al irse lentificando, van correspondiendo a “D2”, “D3”, “D4”, “D5” y así, las más lentas corresponderán a “D6”.

Análisis temporal

Inicialmente se realizó un análisis visual en el dominio del tiempo de las señales de EEG para los tres grupos: Niños Sanos, Adultos Sanos y niños con Trastorno de Aprendizaje (Niños T. A.) con la finalidad de tener una idea del comportamiento de las mismas. Como ejemplo, se presenta un segmento de EEG para cada grupo. Se realizó una comparación entre los niños y los adultos sanos con el objetivo de comparar los cambios que ocurren con la edad. La Figura 4.12 muestra un segmento de EEG generado por los sujetos sanos en la derivación “Cz”. La Figura 4.12 muestra un segmento de la derivación “Cz” en los sujetos sanos, del lado izquierdo se muestran los Niños Sanos y del lado derecho los Adultos Sanos.

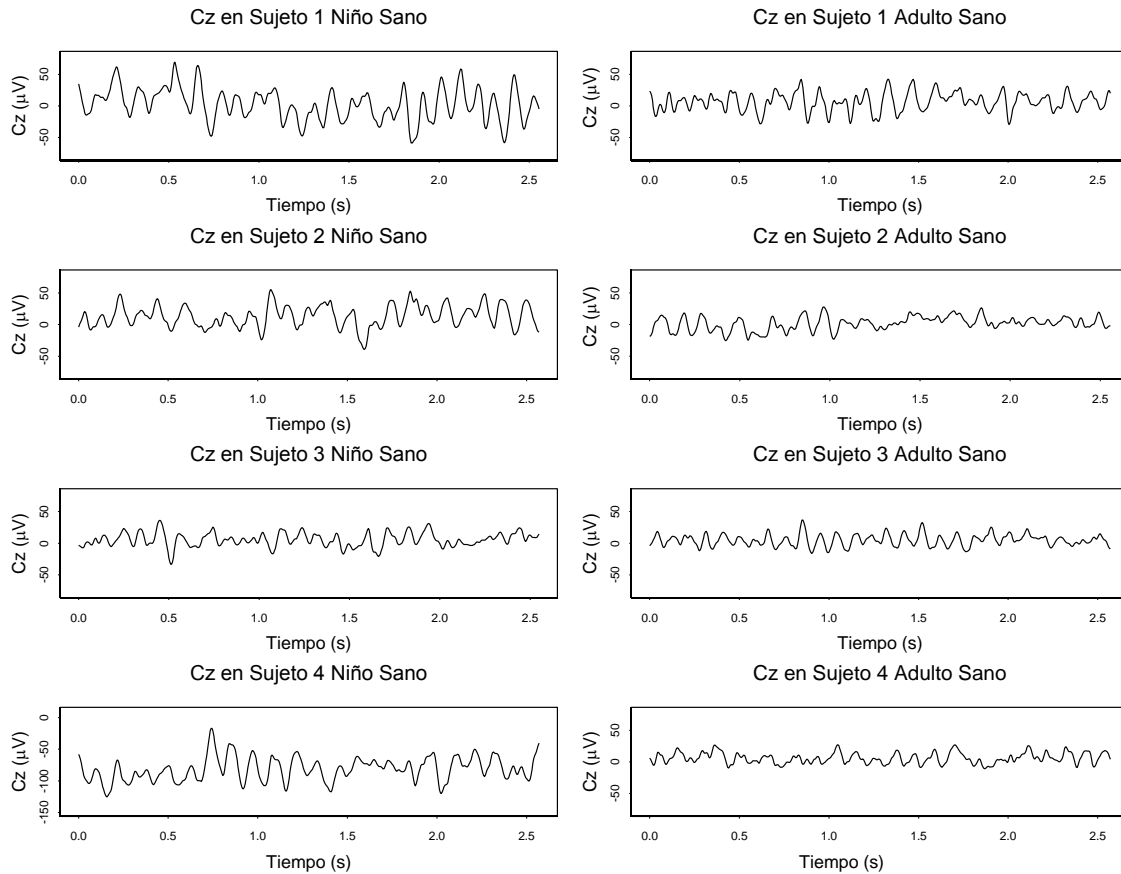


Figura 4.12 Un segmento del EEG en la derivación “Cz” en el dominio del tiempo, izquierda Niños Sanos, derecha Adultos Sanos.

Como se puede apreciar, los Adultos Sanos presentan una menor amplitud de onda y una frecuencia mayor. Esto es consistente con el hecho de que durante el desarrollo, a medida que aumenta la edad aumenta la frecuencia del EEG (Matousek y Petersén, 1973; John et al., 1977) y disminuye su voltaje.

Se realizó la comparación entre Niños con T.A y Niños Sanos. La Figura 4.13 muestra un segmento de EEG generado por los sujetos sanos en la derivación “Cz”. En el lado izquierdo de la figura se muestran los Niños Sanos y en el lado derecho se localizan los Niños T. A.

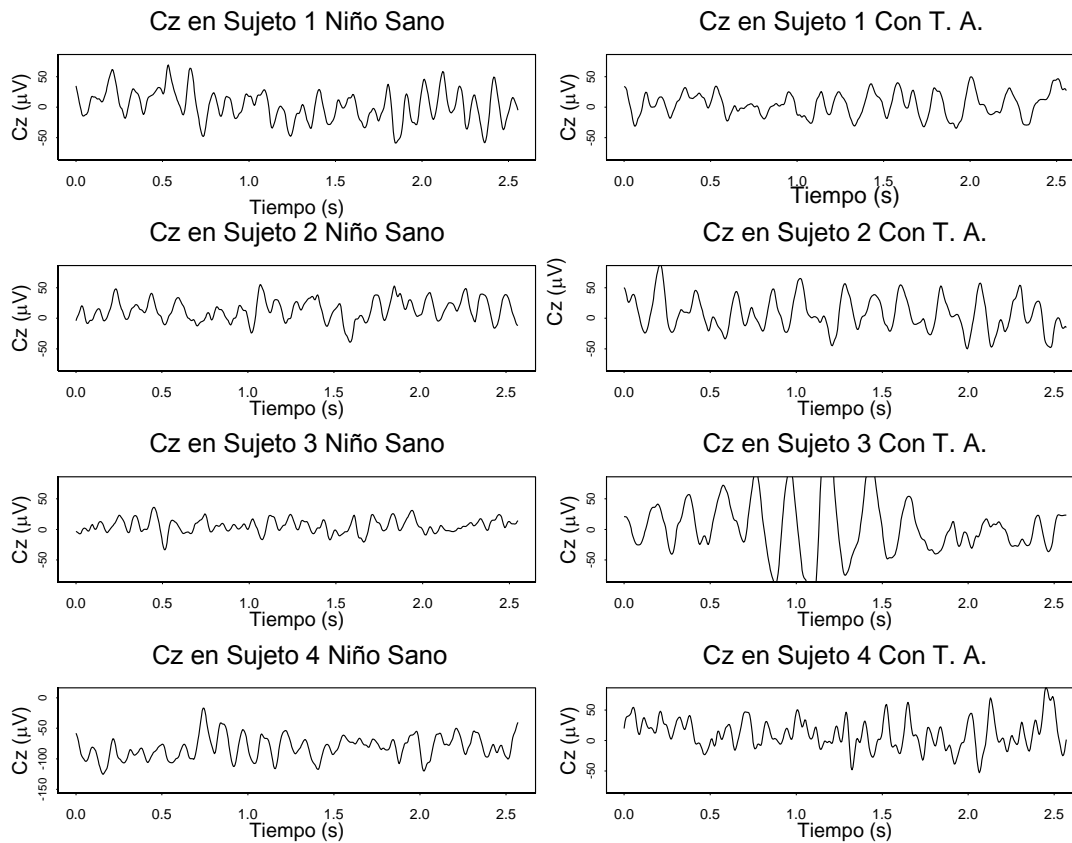


Figura 4.13 Un segmento del EEG en la derivación “Cz” en el dominio del tiempo, izquierda Niños Sanos, derecha Niños T. A.

Al analizar las señales mostradas en la Figura 4.13, en los Niños T. A. salta a la vista el comportamiento del Sujeto 3, quien presenta una actividad más lenta y de mayor amplitud, hecho que se observa en sujetos con Trastorno de Aprendizaje con mayor frecuencia que en sujetos sanos. También los Sujetos 1 y 2 del grupo de Niños T. A. presentan actividad más lenta, pero es similar entre ellos.

Debido a que con el desarrollo se incrementa la frecuencia del EEG, se ha propuesto que los niños con T.A. presentan un retraso en la maduración electroencefalográfica (Harmony et al., 1990), ya que frecuentemente su EEG es más lento que lo que corresponde a su edad.

Es importante resaltar que en regiones frontales, frecuentemente se introduce electrooculograma (EOG, producido por movimientos oculares) y en regiones temporales y occipitales hay más riesgo de electromiograma (EMG, actividad producida por el músculo). Por ello, en esta tesis sólo se consideraron las derivaciones C3, C4, P3, P4, Cz y Pz, ya que, según la recomendación del experto, en estas localizaciones se minimiza el sesgo de medición provocado por los artefactos.

A continuación se presenta el análisis gráfico y visual de un segmento de EEG en el dominio del tiempo, para todos los sujetos, en las derivaciones C3, C4, P3, P4, Cz y Pz, aunque en esta tesis analizamos todos los segmentos en estas derivaciones. Todos los segmentos están tomados en la misma escala y el mismo tiempo.

La Figura 4.14 muestra un segmento del Sujeto 1 de los Niños Sanos en las derivaciones C3, C4, P3, P4, Cz y Pz. Las regiones izquierdas del cerebro correspondientes a C3 y a P3 presentan un comportamiento similar. En C4 se ve actividad lenta al igual que en P4. Por otro lado las regiones P3, Cz y Pz presentan dos oscilaciones con una amplitud mayor alrededor de 0.5 segundos, mismos que se notan con menos amplitud en C3 y P4.

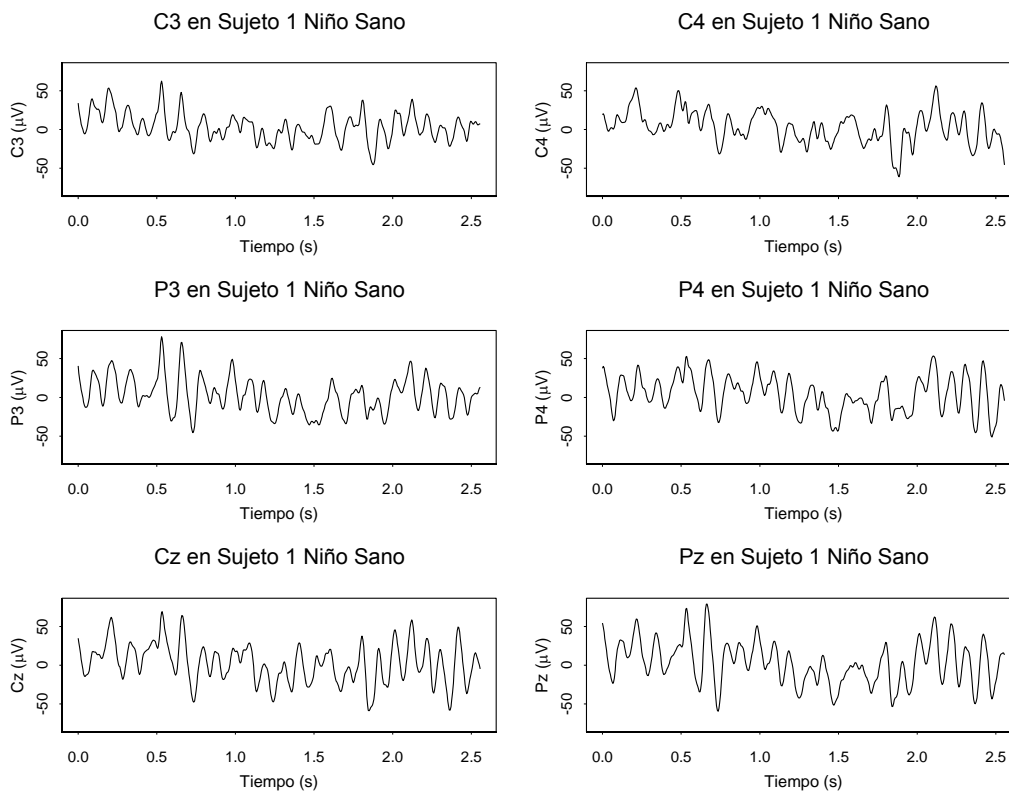


Figura 4.14 Un segmento del EEG en las derivaciones: C3, C4, P3, P4, Cz y Pz del Sujeto 1 Niños Sanos.

La Figura 4.15 muestra un segmento del Sujeto 2 de los Niños Sanos en las derivaciones C3, C4, P3, P4, Cz y Pz. En las derivaciones P4 y Pz (parietal derecho y central) se nota un cambio de nivel a partir del segundo 1, cuando se incrementa la amplitud de la señal; se nota cierta actividad lenta del segundo 1.0 al 1.5. Esta lentificación se puede ver también en C3, C4, P3 y Cz, pero en estas regiones a partir del segundo 1.5 la actividad regresa al comportamiento anterior, contrario a lo que sucede en P4 y Pz. Es muy clara la actividad alfa posterior, principalmente en el hemisferio derecho, entre los 1.5 y los 2.5 segundos.

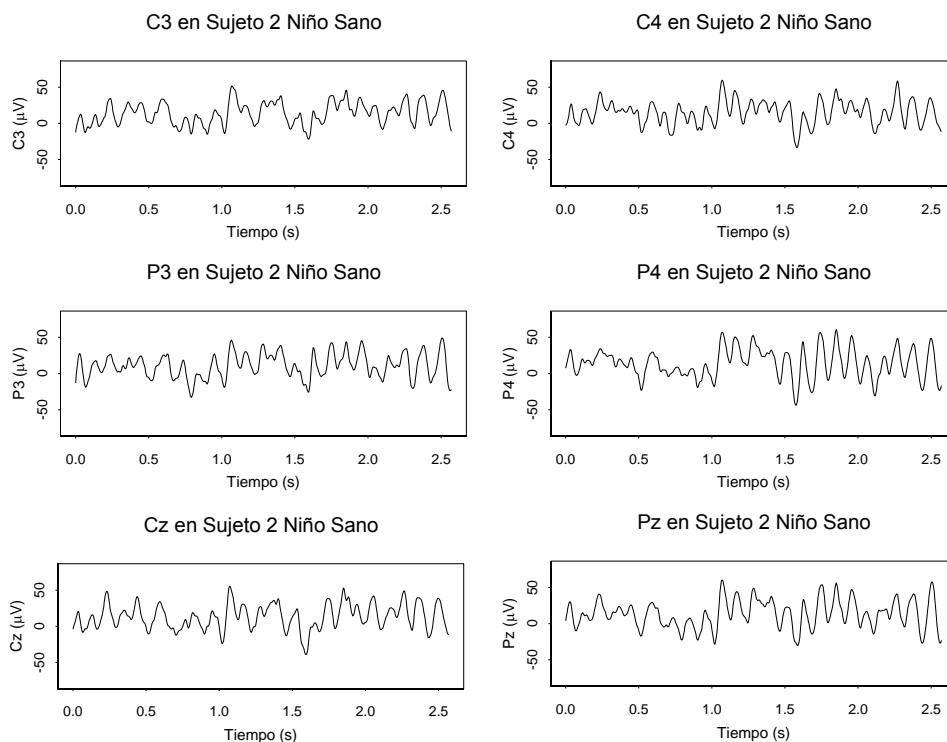


Figura 4.15 Un segmento del EEG en las derivaciones: C3, C4, P3, P4, Cz y Pz del Sujeto 2 Niños Sanos.

La Figura 4.16 muestra un segmento del Sujeto 3 de los Niños Sanos en las derivaciones C3, C4, P3, P4, Cz y Pz. Como se puede apreciar la magnitud de onda en todas las derivaciones es pequeña. A partir del segundo 0.5 en todas las derivaciones se nota un cambio de actividad, al igual que después del segundo 2.0. Es clara la actividad alfa posterior en los primeros 500 milisegundos.

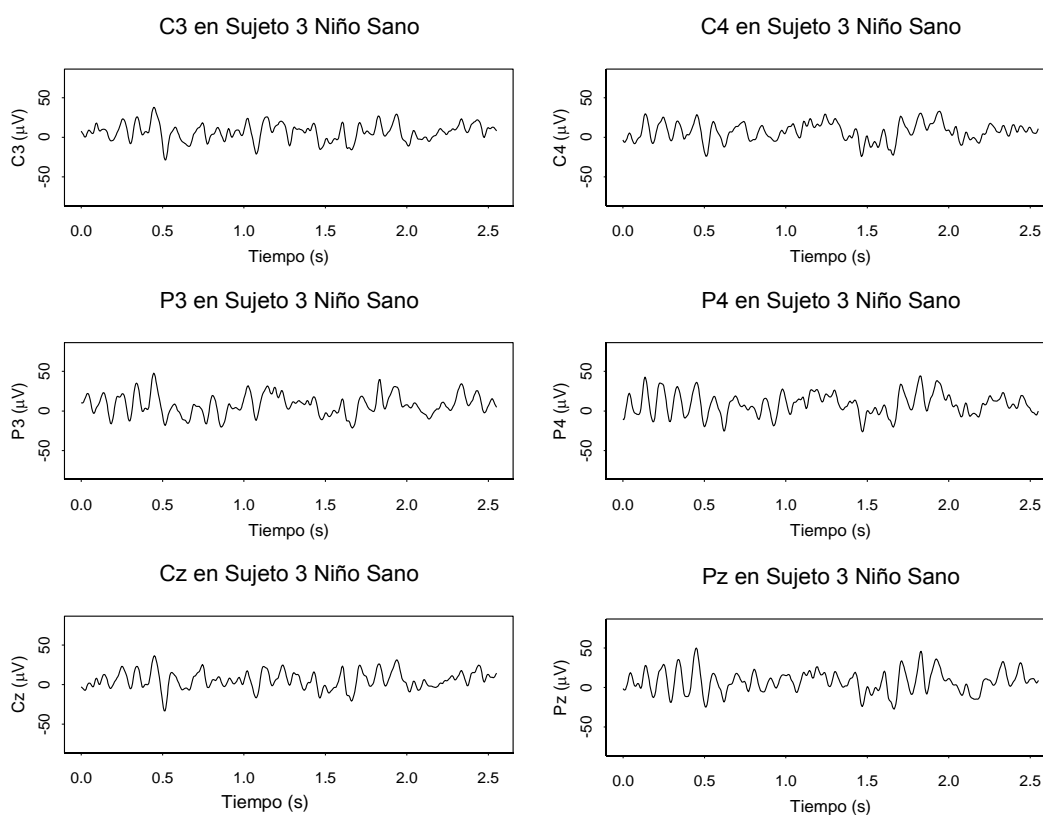


Figura 4.16 Un segmento del EEG en las derivaciones: C3, C4, P3, P4, Cz y Pz del Sujeto 3 Niños Sanos.

La Figura 4.17 muestra un segmento del Sujeto 4 de los Niños Sanos en las derivaciones C3, C4, P3, P4, Cz y Pz. En general el Sujeto 4 presenta el mismo comportamiento en todas sus derivaciones, comienza con dos ciclos completos muy lentos y luego aumenta la frecuencia y disminuye el voltaje hasta el tiempo 0.7 segundos donde aumenta el voltaje y la señal se vuelve más lenta. Alrededor del tiempo 2.0 segundos aparece un pico muy lento. Se observa actividad alfa con predominio derecho.

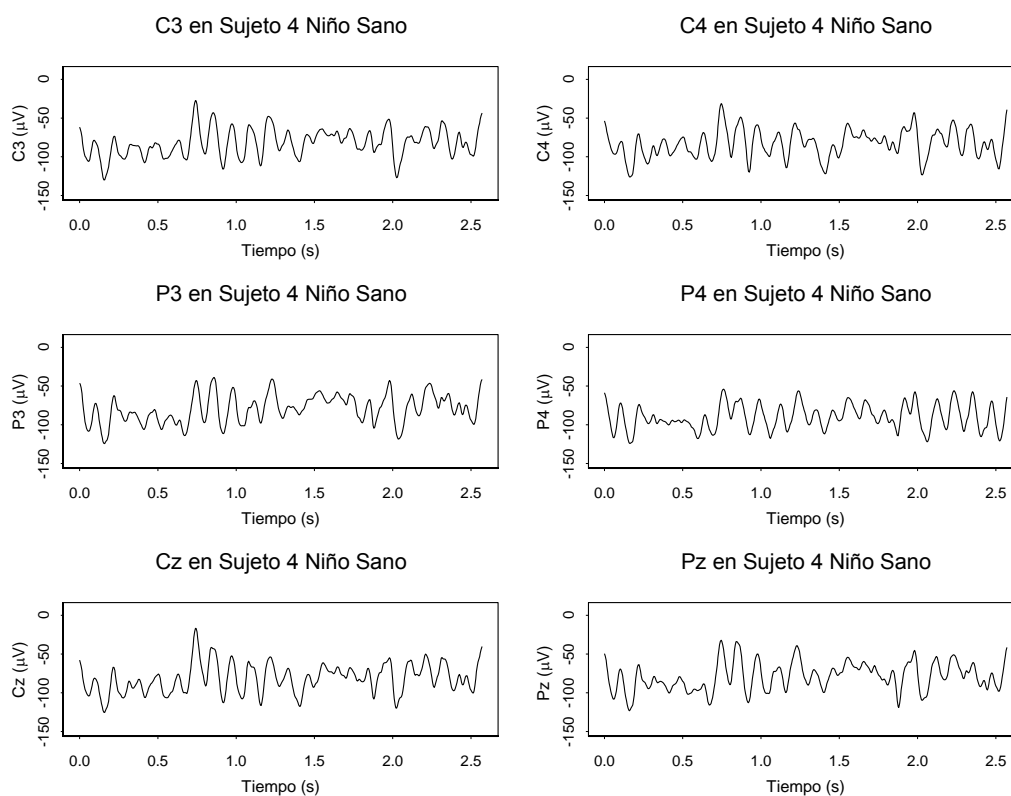


Figura 4.17 Un segmento del EEG en las derivaciones: C3, C4, P3, P4, Cz y Pz del Sujeto 4 Niños Sanos.

La Figura 4.18 muestra un segmento del Sujeto 1 de los Adultos Sanos en las derivaciones C3, C4, P3, P4, Cz y Pz. Como se puede apreciar la magnitud de onda es menor que en los Niños Sanos. Alrededor del segundo 1.25 presenta actividad lenta en todas las derivaciones, la cual es más notoria en las regiones centrales y parietal derecha (C3, C4, Cz y P4). A simple vista se nota la mayor madurez de este electroencefalograma, evidente en el ritmo alfa y su modulación.

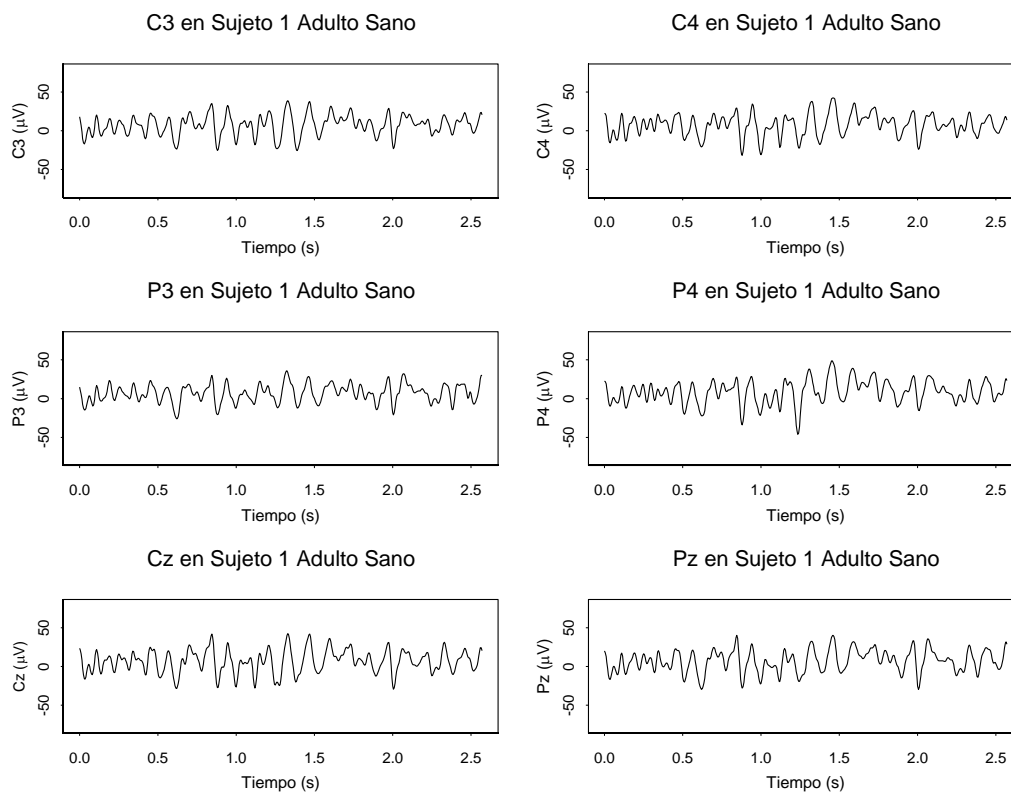


Figura 4.18 Un segmento del EEG en las derivaciones: C3, C4, P3, P4, Cz y Pz del Sujeto 1 Adultos Sanos.

La Figura 4.19 muestra un segmento del Sujeto 2 de los Adultos Sanos en las derivaciones C3, C4, P3, P4, Cz y Pz. Muestra un voltaje más pequeño en todas las derivaciones, en especial, en las derivaciones C3, P3 y Cz. De manera rigurosa se puede detectar actividad lenta en los primeros 0.25 segundos. En C4 a partir de los 1.8 segundos la magnitud de onda disminuye considerablemente. También en este EEG se ponen de manifiesto rasgos que lo acreditan como un EEG de mayor madurez.

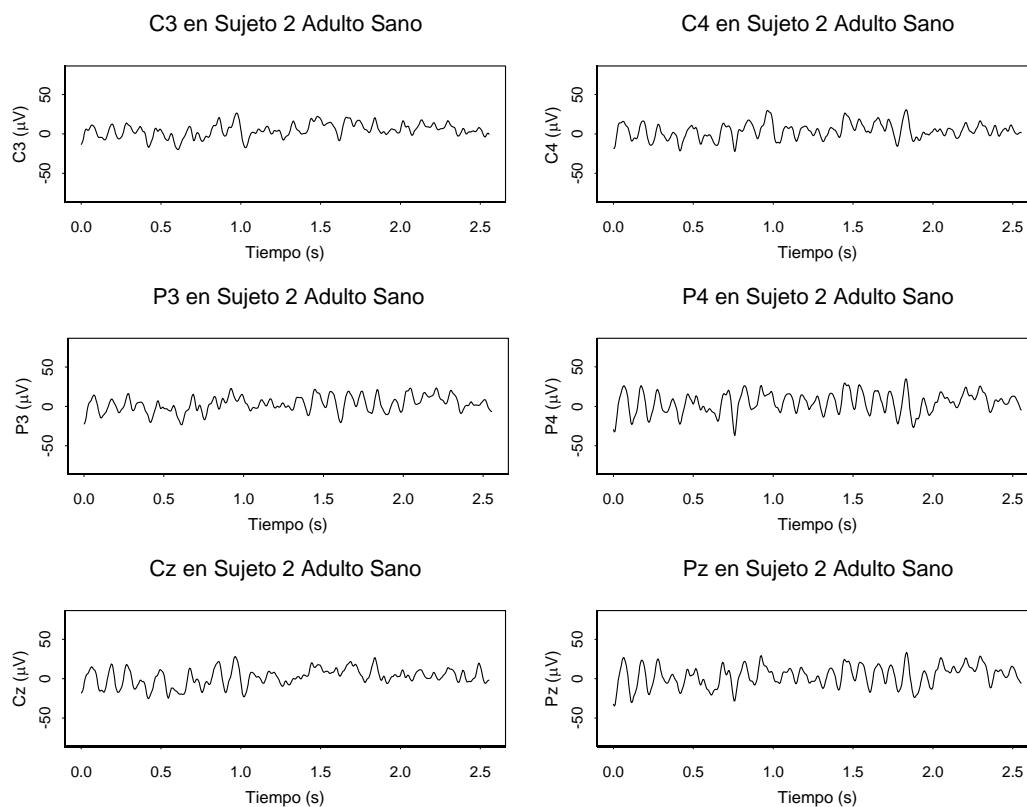


Figura 4.19 Un segmento del EEG en las derivaciones: C3, C4, P3, P4, Cz y Pz del Sujeto 2 Adultos Sanos.

La Figura 4.20 muestra un segmento del Sujeto 3 de los Adultos Sanos en las derivaciones C3, C4, P3, P4, Cz y Pz. Como se puede apreciar, el Sujeto 4 presenta un comportamiento muy similar en todas las derivaciones. Su EEG se comporta de una manera muy estable siguiendo un patrón oscilatorio durante todo el segmento en todas las derivaciones que parece tratarse de actividad alfa de 10-11 Hz, lo cual también evidencia que se trata de un adulto.

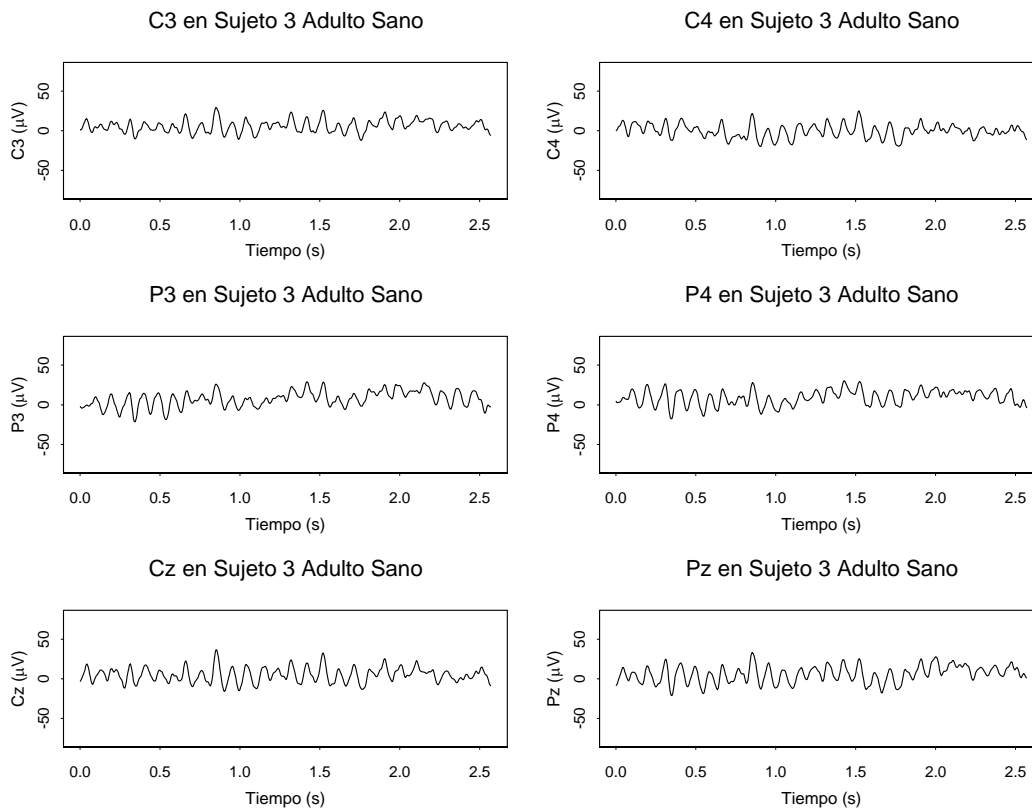


Figura 4.20 Un segmento del EEG en las derivaciones: C3, C4, P3, P4, Cz y Pz del Sujeto 3 Adultos Sanos.

La Figura 4.21 muestra un segmento del Sujeto 4 de los Adultos Sanos en las derivaciones C3, C4, P3, P4, Cz y Pz. Como era de esperarse el Sujeto 4 tiene una frecuencia mayor a la de los niños por la condición de su edad. El comportamiento a través del tiempo en todas las derivaciones es similar. Se nota un pequeño pico de lentitud en el tiempo 1.65 segundos que después de varios ciclos se estabiliza. Cabe destacar que la presencia de actividad alfa con predominio derecho caracterizan a este EEG como el de un sujeto adulto sano.

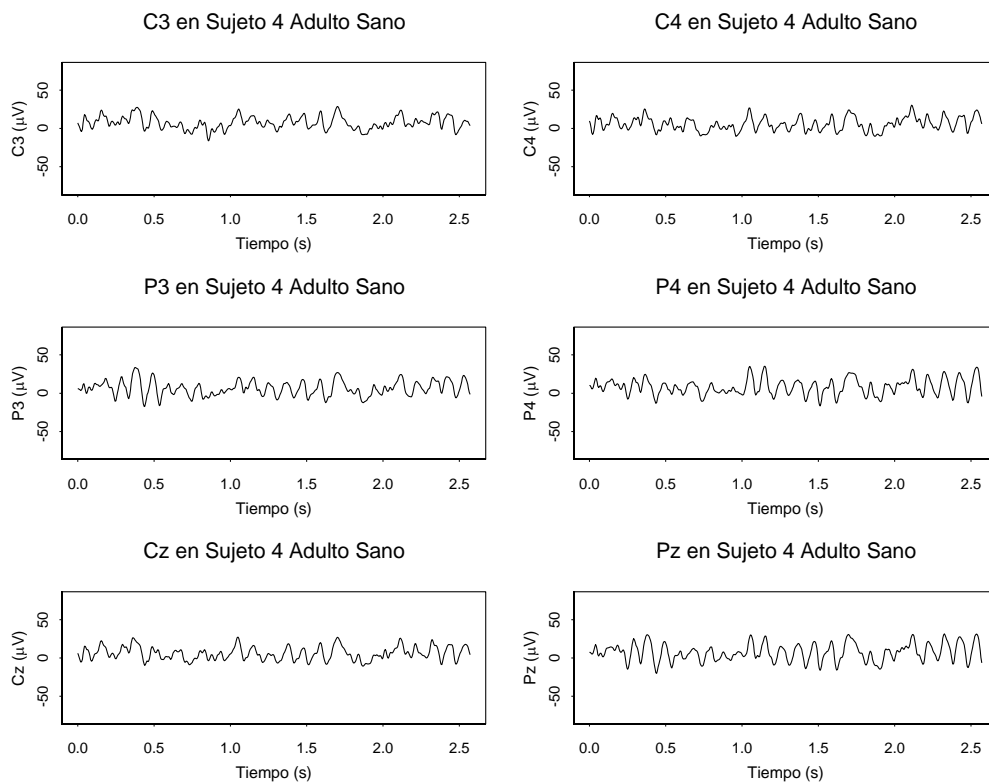


Figura 4.21 Un segmento del EEG en las derivaciones: C3, C4, P3, P4, Cz y Pz del Sujeto 4 Adultos Sanos.

La Figura 4.22 muestra un segmento del Sujeto 1 de los Niños T. A. en las derivaciones C3, C4, P3, P4, Cz y Pz. El Sujeto 1 del grupo Niños T. A. presenta un comportamiento similar en las regiones P4 y Pz con un voltaje mayor y con actividad lenta después del segundo 1.5; también en la región P3, correspondiente a parietal izquierda, se nota esta actividad lenta en el mismo periodo de tiempo, pero la amplitud de onda es menor. Aunque podría tratarse de ondas lentas posteriores, variante normal para la edad del sujeto, el hecho de que sea más notoria la actividad lenta en derivaciones del hemisferio derecho sugiere cierto retraso en la maduración del EEG en estas regiones. Para dar una interpretación más concluyente es necesaria la inspección de todo el EEG.

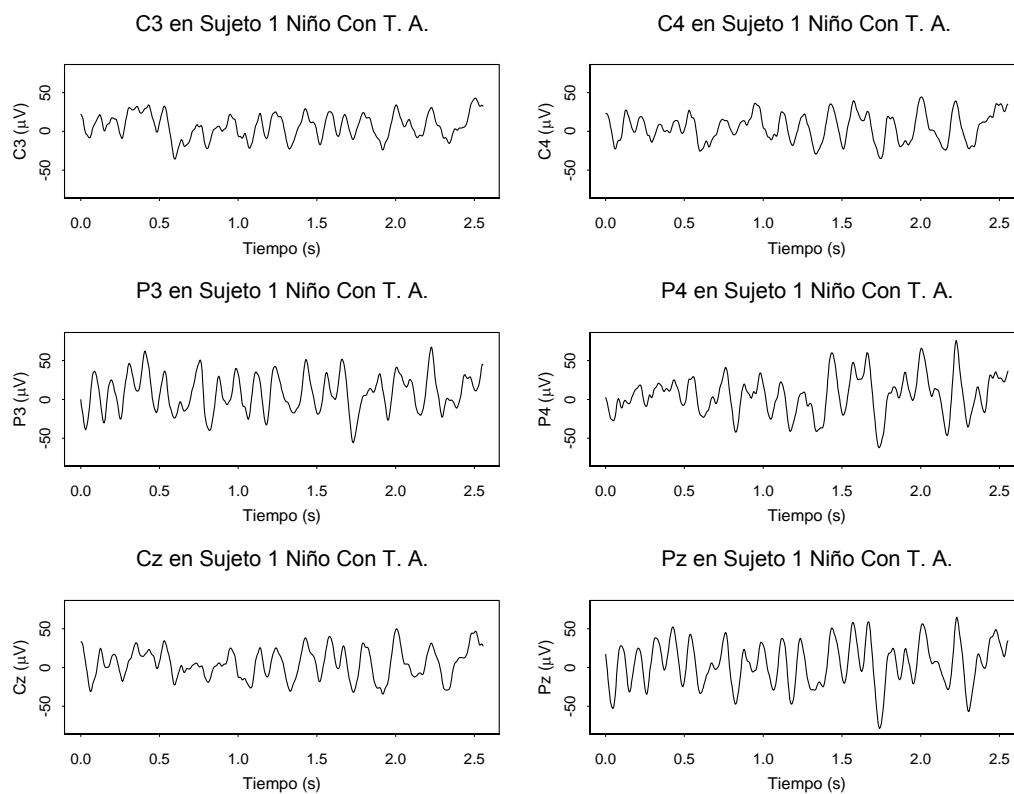


Figura 4.22 Un segmento del EEG en las derivaciones: C3, C4, P3, P4, Cz y Pz del Sujeto 1 Niño T. A.

La Figura 4.23 muestra un segmento del Sujeto 2 de los Niños T. A. en las derivaciones C3, C4, P3, P4, Cz y Pz. Como se puede apreciar, este Sujeto tiene una menor frecuencia en el EEG; esto se hace evidente principalmente en regiones parietales, especialmente en la derivación Pz. Las derivaciones P4 y Pz tienen una frecuencia de 8Hz correspondiente a la banda de frecuencias Alfa 1.

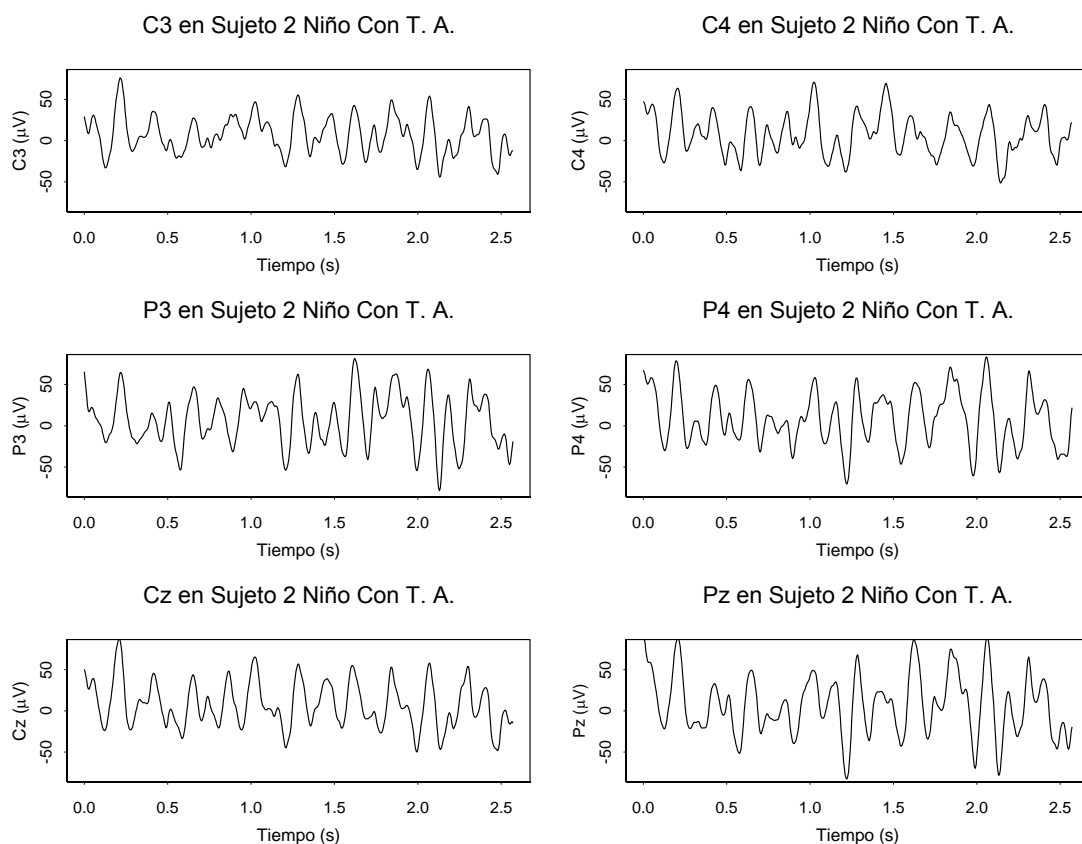


Figura 4.23 Un segmento del EEG en las derivaciones: C3, C4, P3, P4, Cz y Pz del Sujeto 2 Niño T. A.

La Figura 4.24 muestra un segmento del Sujeto 3 de los Niños T. A. en las derivaciones C3, C4, P3, P4, Cz y Pz. Como se puede observar este Sujeto es el que tiene más alto voltaje, esto se puede ver en todas las derivaciones. Se nota también que después del segundo 2.0 el voltaje disminuye. Se puede apreciar una actividad lenta, incluso menor que la de los demás sujetos dentro de su grupo.

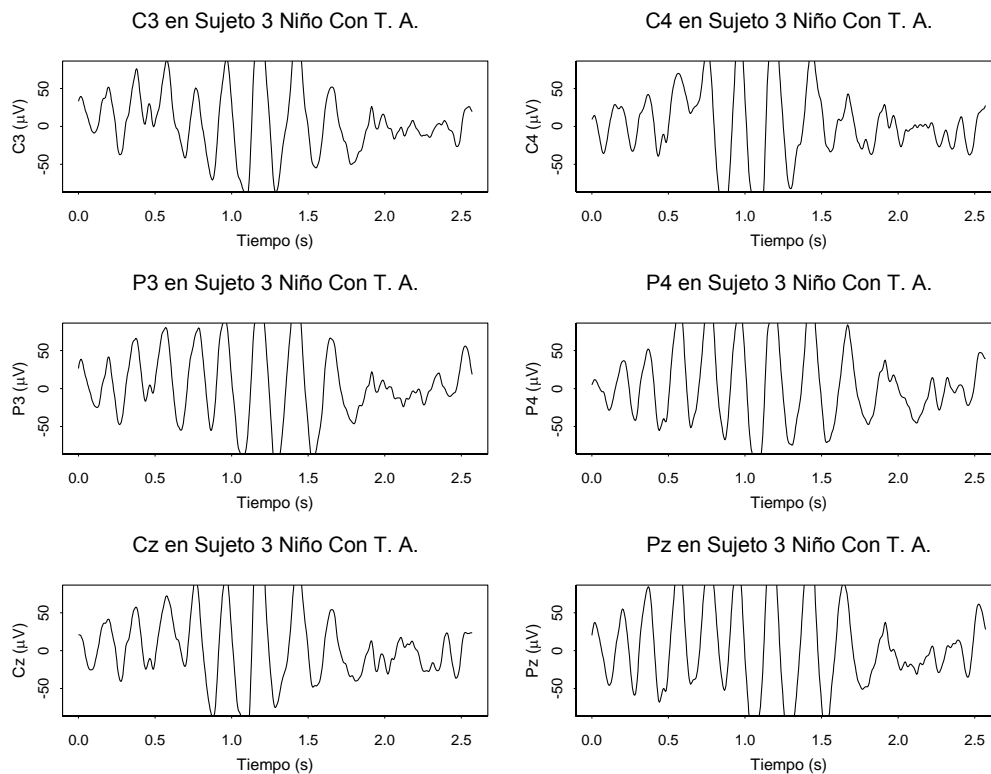


Figura 4.24 Un segmento del EEG en las derivaciones: C3, C4, P3, P4, Cz y Pz del Sujeto 3 Niños T. A.

La Figura 4.25 muestra un segmento del Sujeto 4 de los Niños T. A. en las derivaciones C3, C4, P3, P4, Cz y Pz. Como se puede notar, este sujeto presenta una actividad menos lenta que los demás sujetos de su grupo, solamente Pz se ve un poco más lenta que las demás derivaciones. Las derivaciones C3, P3, P4 y Pz muestran en el primer medio segundo actividad muy lenta. En las regiones derechas de la cabeza y en Central-Parietal (C4, P4, y Pz) se nota un pico muy lento que cambia de comportamiento a partir de 0.5 segundos, mientras que en la parte izquierda de la cabeza (C3 y P3) no ocurre el pico pero sí el cambio de actividad.

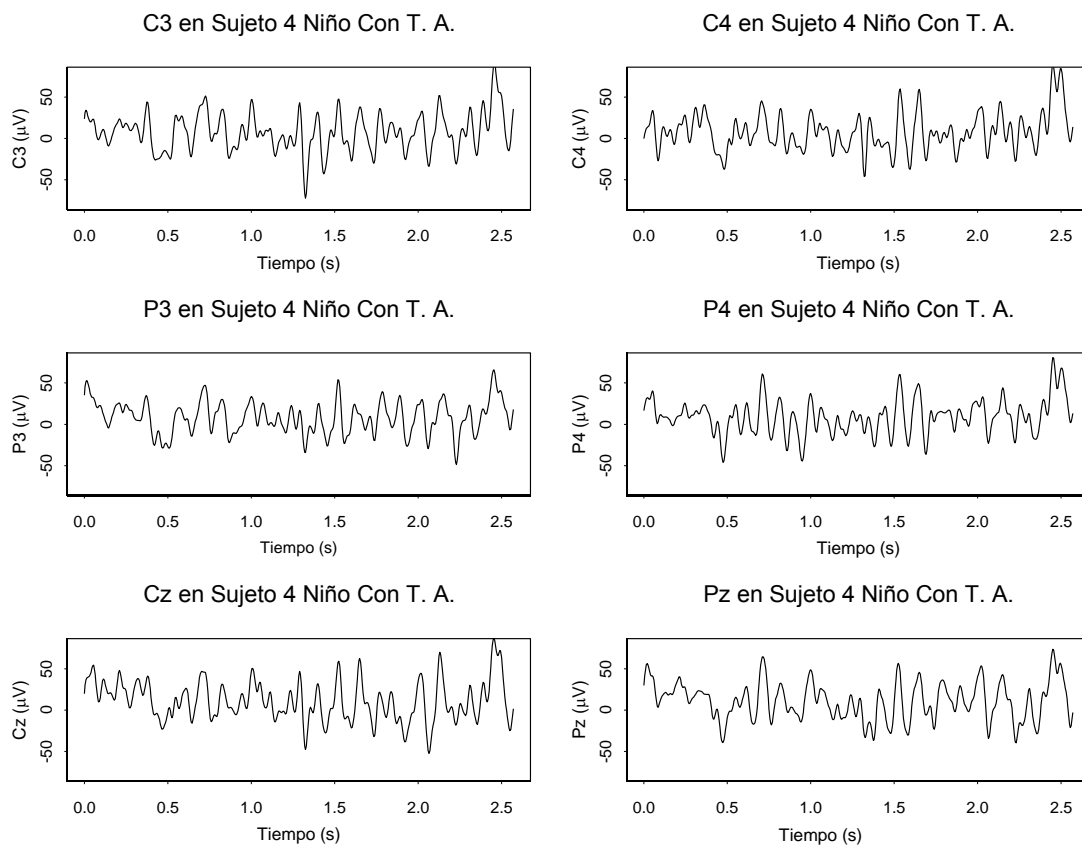


Figura 4.25 Un segmento del EEG en las derivaciones: C3, C4, P3, P4, Cz y Pz del Sujeto 4 Niños T. A.

En conclusión si se comparan en el espacio temporal los EEGs de los Niños Sanos con el grupo de Adultos Sanos, se puede decir que en general los Adultos presentan un menor voltaje y una frecuencia mayor que la de los niños. Los Niños T. A. por su parte, tienen en general instantes de tiempo con magnitudes de onda mucho mayores que las de los niños sanos y en gran parte de los segmentos se encontró actividad lenta.

Análisis Espectral vía Transformada de Ondeleta

Una vez realizado el análisis visual en las derivaciones C3, C4, P3, P4, Cz y Pz, para todos los segmentos de todos los sujetos en los tres grupos se procedió a la realización de la transformada de ondeleta. Debido a la propiedad de ortogonalidad y por tener soporte compacto se decidió escoger la ondeleta (o función base) Daubechies 4 (Daub4), la cual además se pensó que representaría mejor picos presentes en las señales del EEG. La Figura 4.26 muestra la ondeleta Daubechies 4.

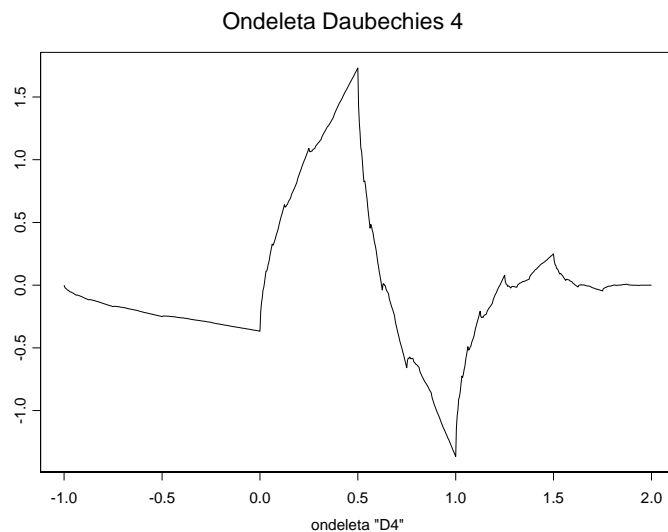


Figura 4.26 Ondeleta Daub4.

Se procedió a la transformación de la señal vía ondeletas con Daub4; sin embargo, se encontró que el error relativo entre la señal original y la señal recuperada con Daub4 fue de 2.5% mientras que con Sym8 fue de 0.05%, por lo que se decidió utilizar Sym8.

La ondeleta Sym8 está representada en la Figura 4.27

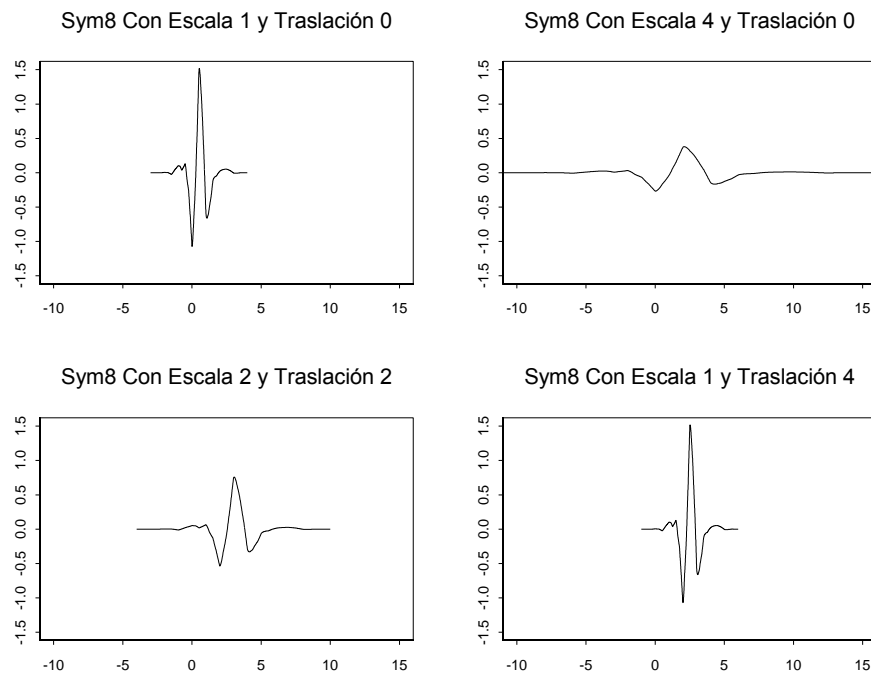


Figura 4.27 Ondeleta Sym8: arriba a la izquierda la original y las demás ejemplos de Sym8 trasladadas y escaladas.

Se realizó la WT con la ondeleta Sym8 de todos los sujetos y para todos los segmentos en las derivaciones: C3, C4, P3, P4, Cz y Pz. La Figura 4.28 muestra la DWT de un segmento en la derivación Cz para todos los sujetos del grupo de Niños Sanos, en el lado izquierdo, y Adultos Sanos en el lado derecho.

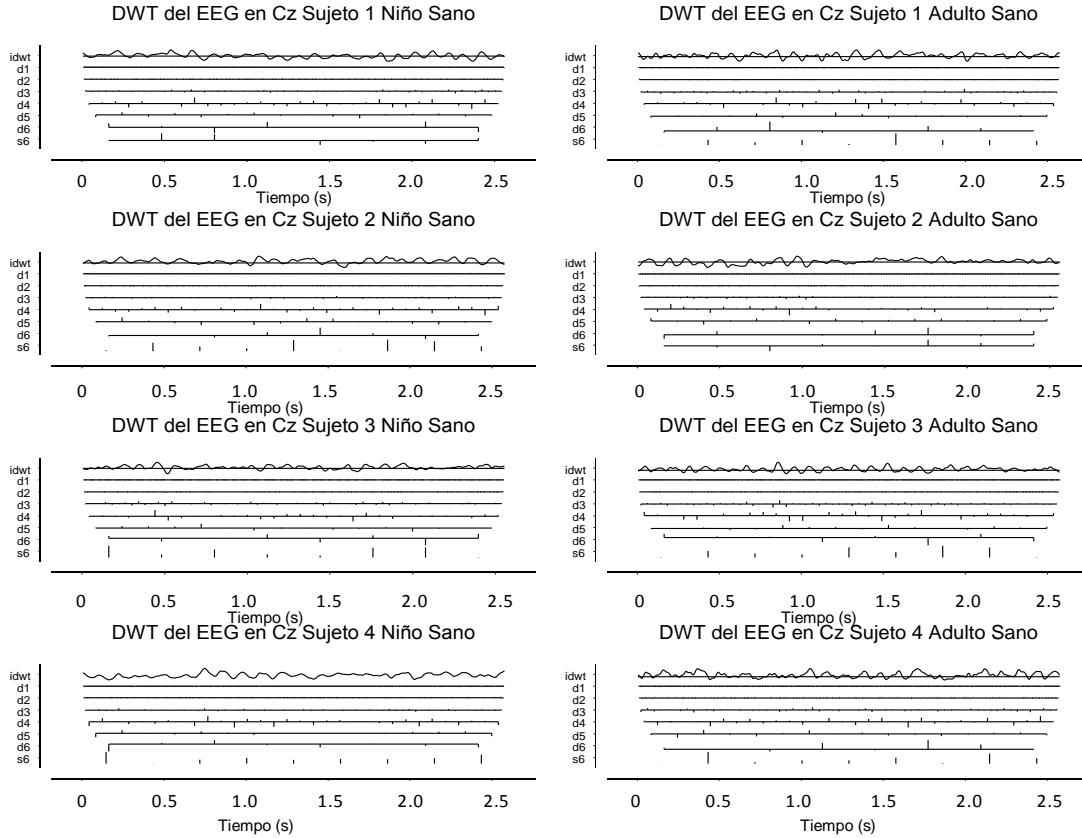


Figura 4.28 DWT de un segmento del EEG en la derivación Cz en los sujetos sanos, izquierda niños y derecha Adultos jóvenes.

La Tabla 4.3 nos muestra el porcentaje de energía en los coeficientes de ondeleta en un segmento del EEG en la derivación Cz para los sujetos sanos, esta tabla nos ayuda a entender la Figura 4.28. El grupo de Adultos Sanos, al igual que el grupo de Niños Sanos, tuvo también la mayor energía concentrada en el coeficiente de detalle “d4”. A partir de la DWT se reconstruyó la señal en los niveles de resolución a través del MRD, que queda representado en la Figura 4.29.

Porcentaje de Energía del EEG en la Derivación Cz Niños Sanos y Adultos Sanos								
Grupo	Sujeto	Coeficientes						
		s6	d6	d5	d4	d3	d2	d1
Niños Sanos	Sujeto 1	0.179	0.093	0.103	0.511	0.104	0.010	0.001
Niños Sanos	Sujeto 2	0.487	0.062	0.108	0.301	0.037	0.006	0
Niños Sanos	Sujeto 3	0.257	0.091	0.083	0.453	0.101	0.014	0
Niños Sanos	Sujeto 4	0.940	0.021	0.006	0.029	0.004	0	0
Adultos Sanos	Sujeto 1	0.219	0.046	0.09	0.469	0.154	0.021	0
Adultos Sanos	Sujeto 2	0.209	0.164	0.08	0.468	0.070	0.010	0
Adultos Sanos	Sujeto 3	0.231	0.05	0.076	0.465	0.163	0.014	0.001
Adultos Sanos	Sujeto 4	0.254	0.167	0.116	0.350	0.090	0.021	0.001

Tabla 4.3 Porcentaje de energía en un segmento del EEG en la derivación Cz para Niños Sanos y Adultos Sanos.

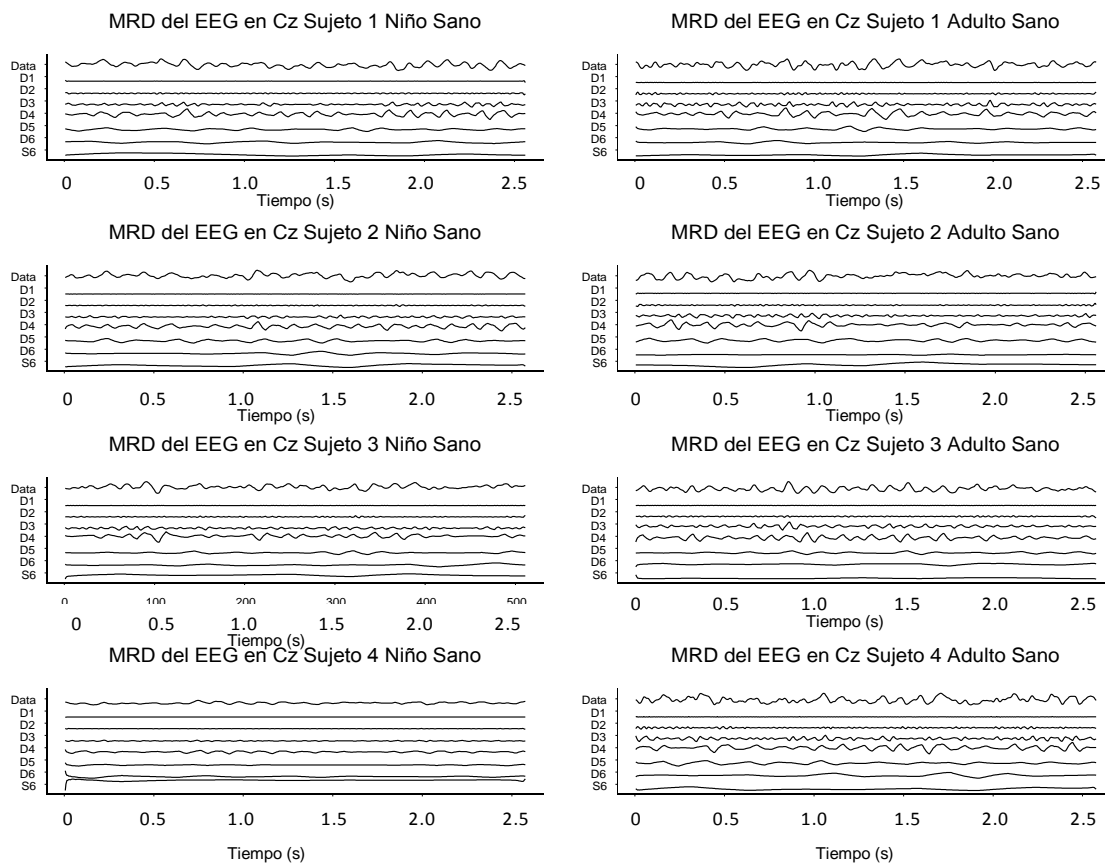


Figura 4.29 MRD de un segmento del EEG en la derivación Cz; izquierda niños Sanos y derecha Adultos Sanos.

La Figura 4.30 muestra la DWT en la derivación Cz, del lado izquierdo se presentan los Niños Sanos y del lado derecho los Niños T. A.

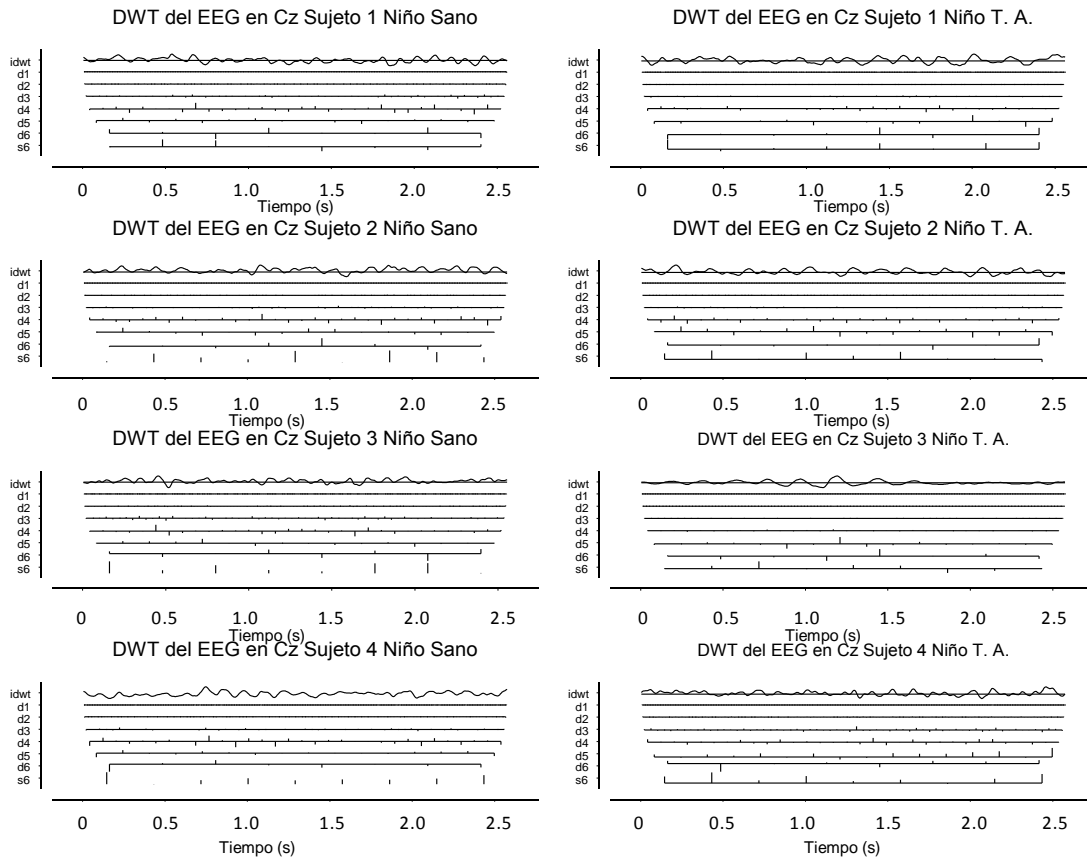


Figura 4.30 DWT de un segmento del EEG en la derivación Cz; izquierda Niños Sanos y derecha Niños T. A.

Porcentaje de Energía del EEG en la Derivación Cz Niños Sanos y Niños T. A.								
Grupo	Sujeto	Coeficientes						
		s6	d6	d5	d4	d3	d2	d1
Niños Sanos	Sujeto 1	0.179	0.093	0.103	0.511	0.104	0.01	0.001
Niños Sanos	Sujeto 2	0.487	0.062	0.108	0.301	0.037	0.006	0
Niños Sanos	Sujeto 3	0.257	0.091	0.083	0.453	0.101	0.014	0
Niños Sanos	Sujeto 4	0.940	0.021	0.006	0.029	0.004	0	0
Niños T. A.	Sujeto 1	0.131	0.125	0.521	0.177	0.040	0.004	0
Niños T. A.	Sujeto 2	0.133	0.039	0.476	0.308	0.040	0.004	0
Niños T. A.	Sujeto 3	0.060	0.040	0.800	0.089	0.009	0.001	0
Niños T. A.	Sujeto 4	0.262	0.052	0.354	0.181	0.136	0.014	0

Tabla 4.4 Porcentaje de energía en un segmento del EEG en la derivación Cz para Niños Sanos y Niños T. A.

La Tabla 4.4 nos muestra el porcentaje de energía en los coeficientes de ondeleta en un segmento del EEG en la derivación Cz para los niños, esta tabla nos ayuda a entender la Figura 4.30. Como se puede apreciar, los Sujetos del grupo de Niños Sanos, tuvieron la mayoría de su energía concentrada en el coeficiente de ondeleta de detalle “d4”. En cambio en el grupo de Niños T. A. la mayor energía se concentró en el coeficiente de detalle “d5”. Especialmente el Sujeto 3 que tiene el 83% de su energía en dicho coeficiente. Estos resultados apoyan las conclusiones obtenidas previamente mediante un análisis visual: el EEG de los Niños T.A. tiene una menor frecuencia que el EEG de los Niños Sanos. A partir de la DWT se reconstruyó la señal en los niveles de resolución a través del MRD, que queda representado en la Figura 4.31.

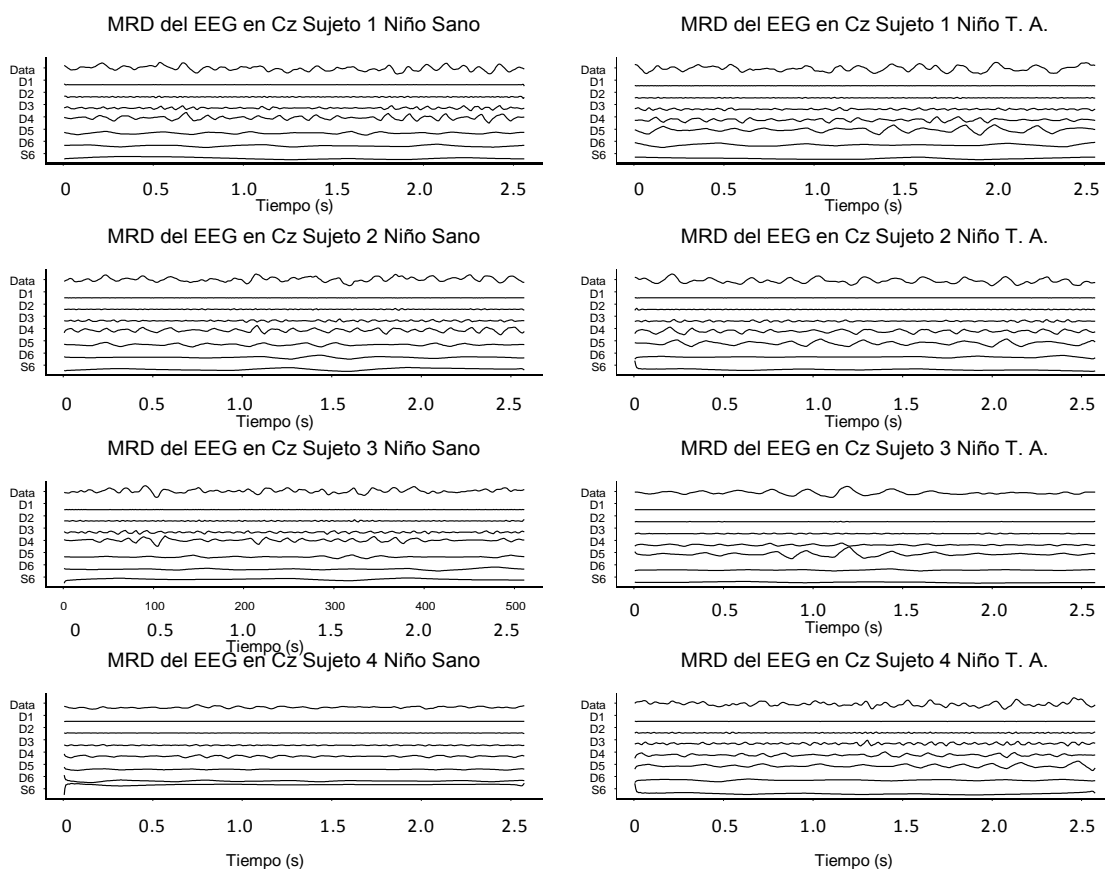


Figura 4.31 MRD de un segmento del EEG en la derivación Cz de los niños, izquierda Sanos y derecha T. A.

A continuación se presenta la DWT y la MRD en un segmento de EEG para todos los sujetos en todas las derivaciones. La Figura 4.32 muestra la DWT del Sujeto 1 del Grupo de Niños Sanos.

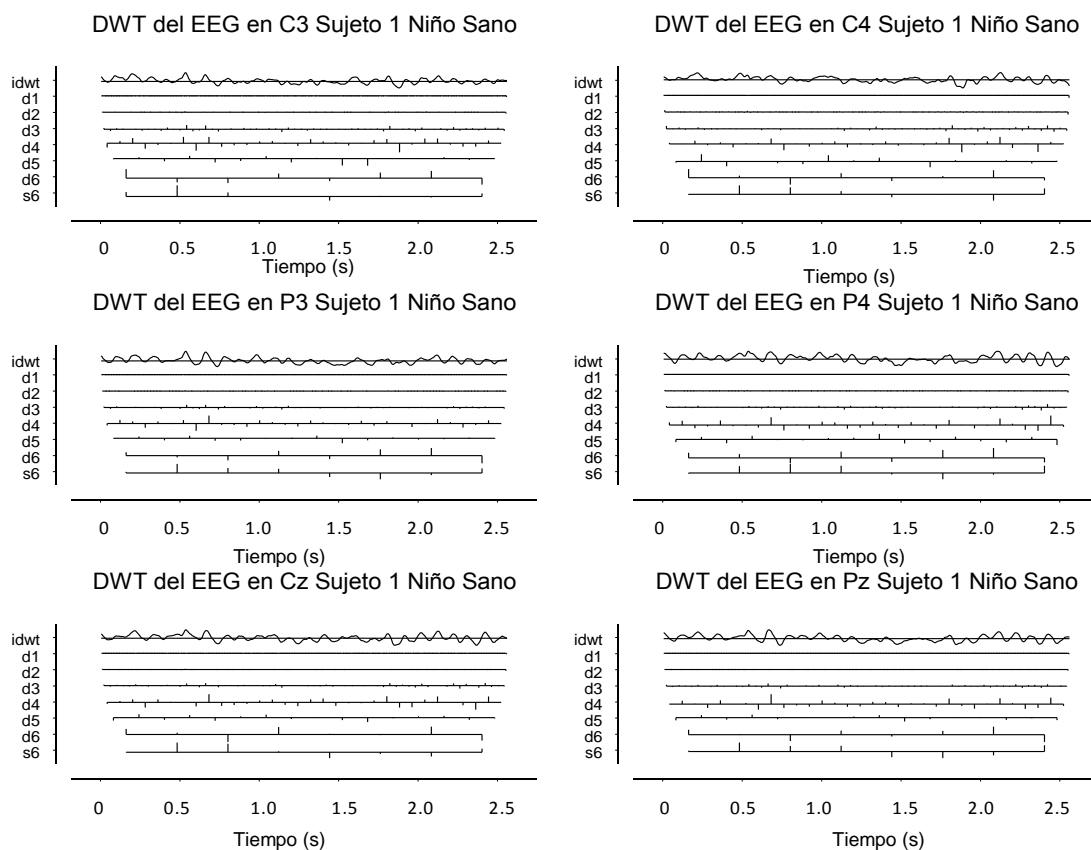


Figura 4.32 DWT de un segmento del EEG en las derivaciones: C3, C4, P3, P4, Cz y Pz del Sujeto 1 Niños Sanos.

Porcentaje de Energía de los coeficientes de ondeleta del EEG del Sujeto 1 Niño Sano en las Derivaciones C3, C4, P3, P4 Cz y Pz							
Derivación	Coeficientes						
	s6	d6	d5	d4	d3	d2	d1
C3	0.212	0.109	0.143	0.411	0.111	0.013	0.001
C4	0.231	0.169	0.155	0.318	0.100	0.02	0.006
P3	0.194	0.076	0.109	0.509	0.104	0.008	0.001
P4	0.211	0.084	0.151	0.462	0.079	0.011	0.002
Cz	0.179	0.093	0.103	0.511	0.104	0.010	0.001
Pz	0.219	0.082	0.084	0.520	0.087	0.007	0.001

Tabla 4.5 Porcentaje de energía de los coeficientes de ondeleta en un segmento del EEG en todas las derivaciones para el Sujeto 1 Niños Sanos.

La Tabla 4.5 nos muestra el porcentaje de energía en los coeficientes de ondeleta en un segmento del EEG en todas las derivaciones para el Sujeto 1 de Niños Sanos, esta tabla nos ayuda a entender la Figura 4.32. El coeficiente de ondeleta de detalle “d4” captura el mayor porcentaje de energía en todas las derivaciones, dichos segmentos muestran presencia de actividad Alfa. A partir de la DWT se reconstruyó la señal en los niveles de resolución a través del MRD, que queda representado en la Figura 4.33.

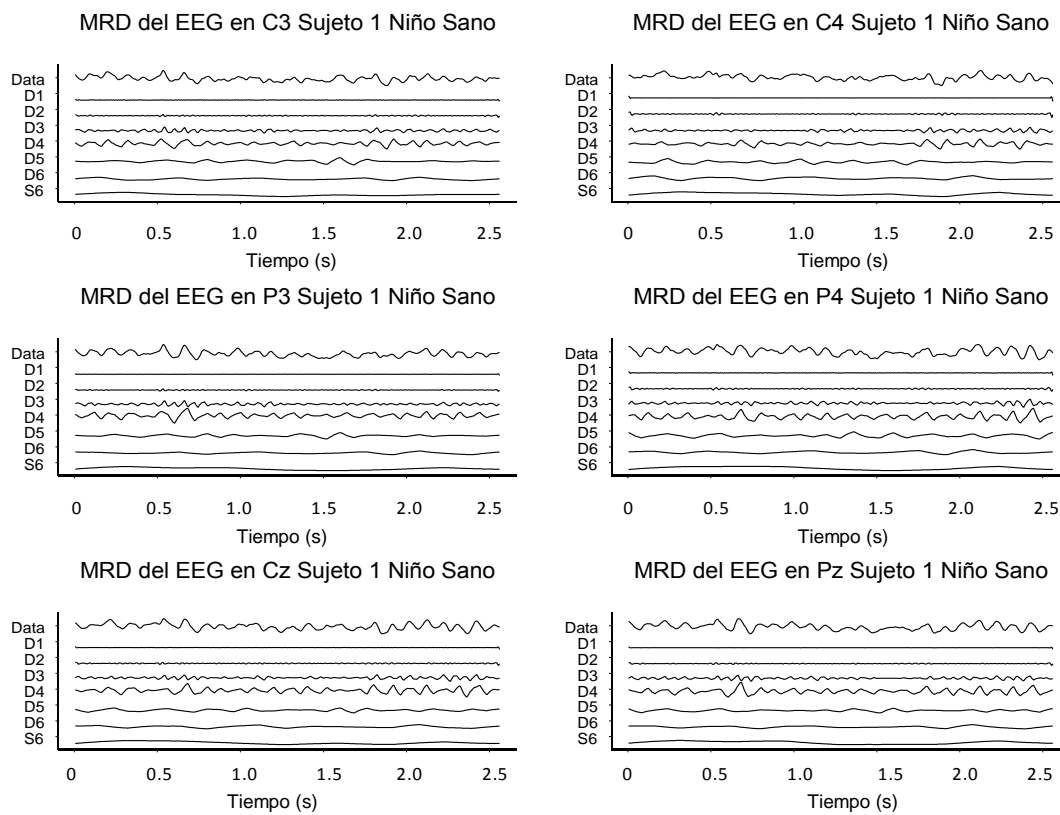


Figura 4.33 MRD de un segmento del EEG en las derivaciones: C3, C4, P3, P4, Cz y Pz del Sujeto 1 Niños Sanos.

La Figura 4.34 muestra la DWT del Sujeto 2 del Grupo de Niños Sanos en todas las derivaciones.

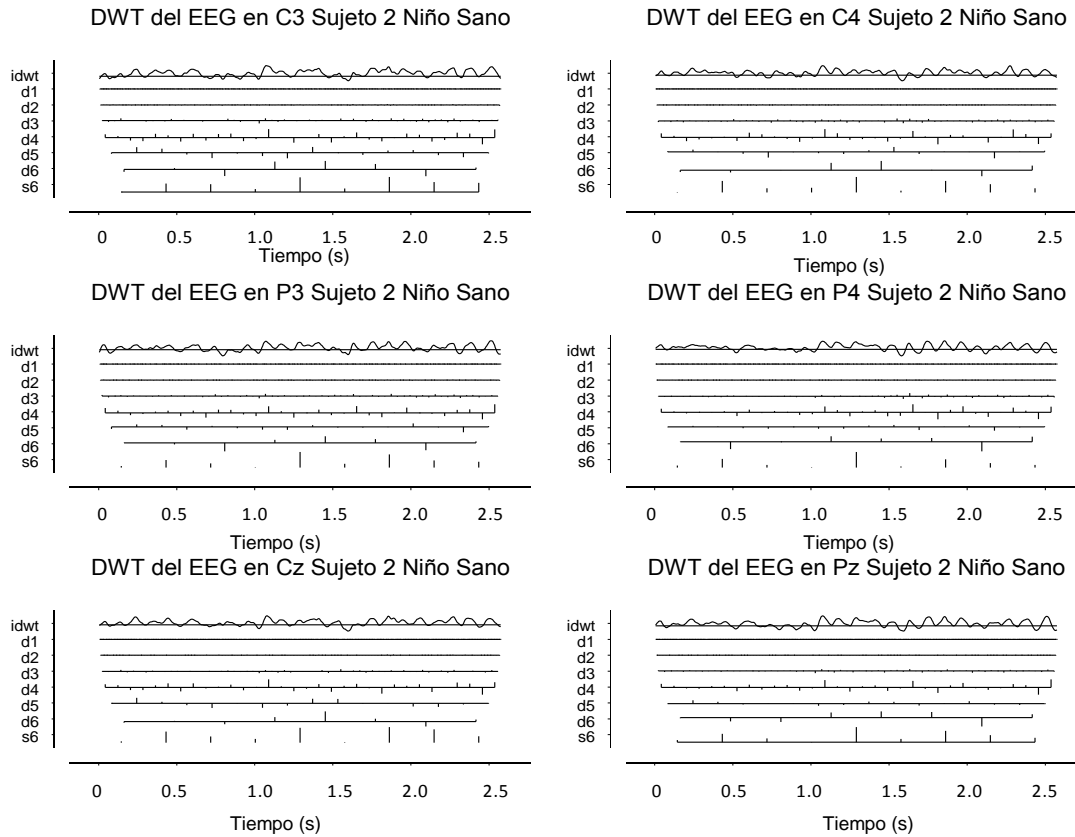


Figura 4.34 DWT de un segmento del EEG en las derivaciones: C3, C4, P3, P4, Cz y Pz del Sujeto 2 Niños Sanos

Porcentaje de Energía de los coeficientes de ondeleta del EEG del Sujeto 2 Niño Sano en las Derivaciones C3, C4, P3, P4 Cz y Pz							
Derivación	Coeficientes						
	s6	d6	d5	d4	d3	d2	d1
C3	0.584	0.082	0.082	0.213	0.034	0.006	0
C4	0.560	0.049	0.069	0.269	0.048	0.005	0
P3	0.420	0.076	0.070	0.371	0.057	0.006	0
P4	0.461	0.052	0.040	0.382	0.060	0.004	0
Cz	0.487	0.062	0.108	0.301	0.037	0.006	0
Pz	0.467	0.051	0.041	0.388	0.049	0.004	0

Tabla 4.6 Porcentaje de energía de los coeficientes de ondeleta en un segmento del EEG en todas las derivaciones para el Sujeto 2 Niños Sanos.

La Tabla 4.10 nos muestra el porcentaje de energía en los coeficientes de ondeleta en un segmento del EEG en todas las derivaciones para el Sujeto 2 de Niños Sanos, esta tabla nos ayuda a entender la Figura 4.34. El coeficiente de ondeleta de detalle “d4” captura el mayor porcentaje de energía en todas las derivaciones, dichos segmentos muestran presencia de actividad Alfa. Este sujeto presenta también un alto porcentaje de energía en el coeficiente suavizado “s6”. A partir de la DWT se reconstruyó la señal en los niveles de resolución a través del MRD, que queda representado en la Figura 4.35.

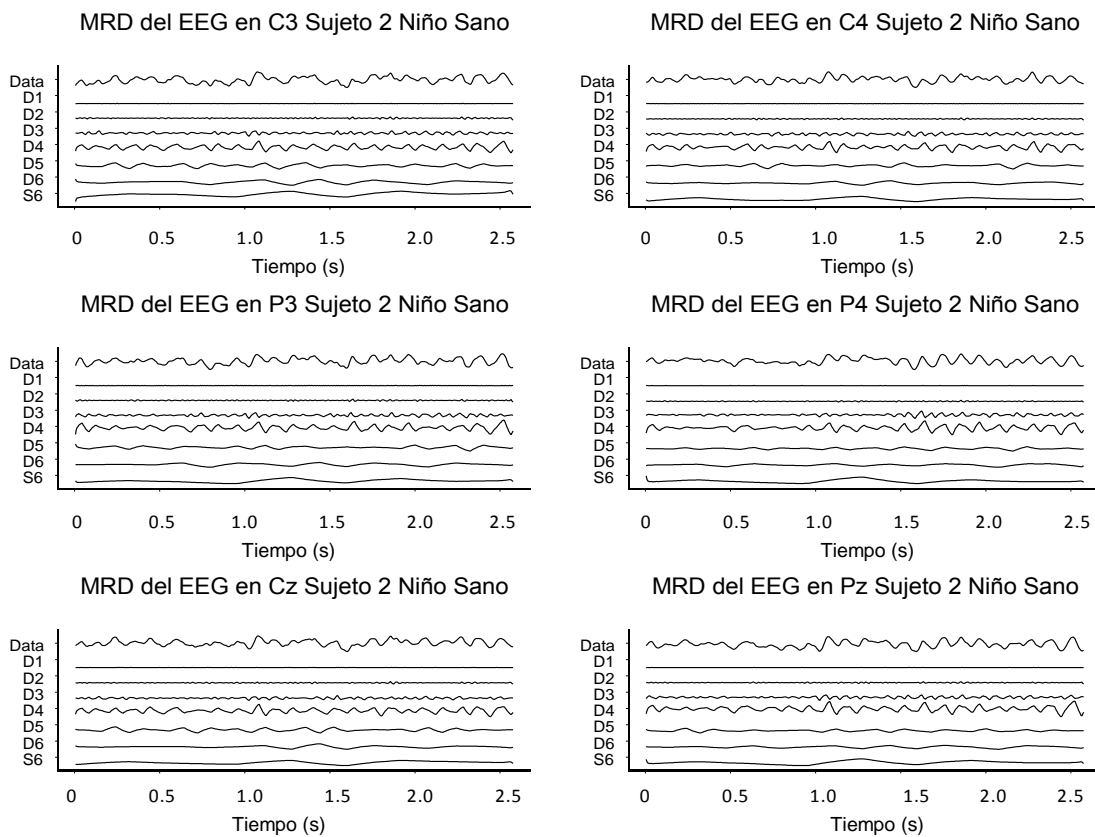


Figura 4.35 MRD de un segmento del EEG en las derivaciones: C3, C4, P3, P4, Cz y Pz del Sujeto 2 Niños Sanos.

La Figura 4.36 muestra la DWT del Sujeto 3 del Grupo de Niños Sanos en todas las derivaciones.

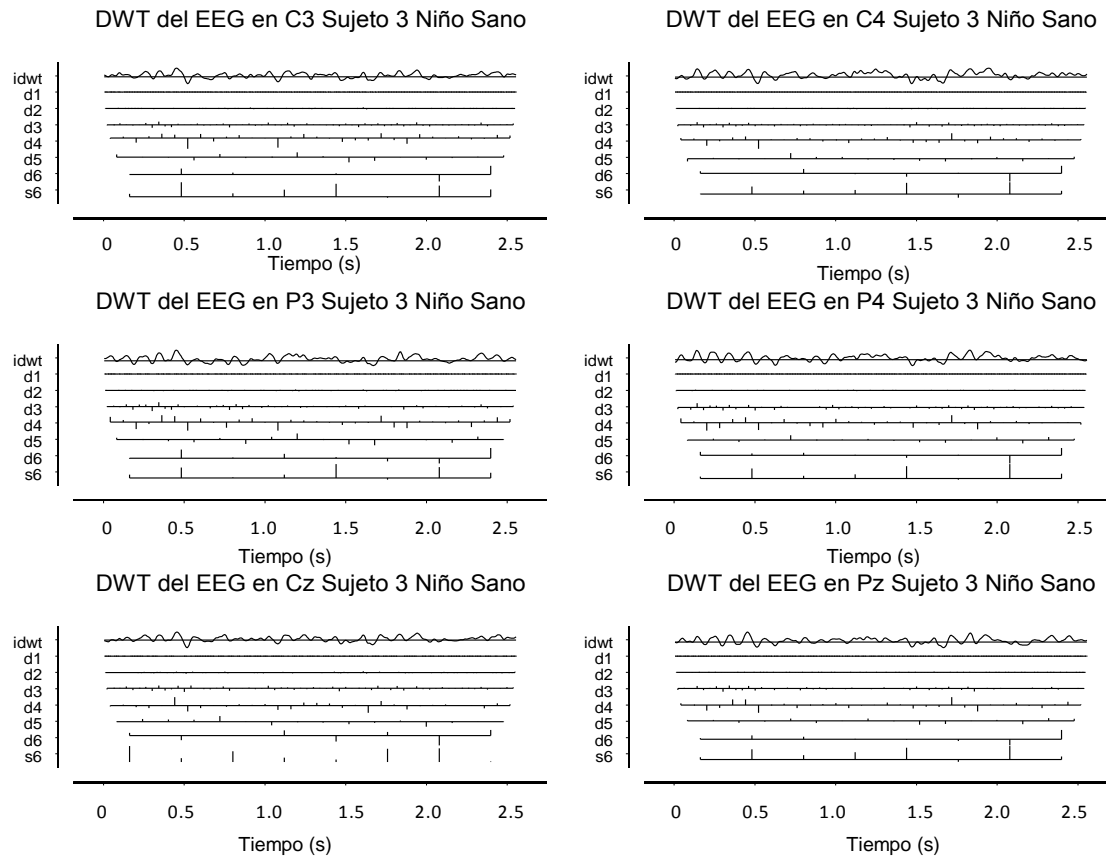


Figura 4.36 DWT de un segmento del EEG en las derivaciones: C3, C4, P3, P4, Cz y Pz del Sujeto 3 Niños Sanos.

Porcentaje de Energía de los coeficientes de ondeleta del EEG del Sujeto 3 Niño Sano en las Derivaciones C3, C4, P3, P4 Cz y Pz							
Derivación	Coeficientes						
	s6	d6	d5	d4	d3	d2	d1
C3	0.310	0.117	0.090	0.381	0.090	0.012	0
C4	0.508	0.066	0.069	0.255	0.091	0.011	0
P3	0.380	0.123	0.084	0.315	0.089	0.008	0
P4	0.438	0.047	0.058	0.331	0.117	0.009	0
Cz	0.257	0.091	0.083	0.453	0.101	0.014	0
Pz	0.285	0.091	0.084	0.406	0.124	0.009	0

Tabla 4.7 Porcentaje de energía de los coeficientes de ondeleta en un segmento del EEG en todas las derivaciones para el Sujeto 3 Niños Sanos.

La Tabla 4.7 nos muestra el porcentaje de energía en los coeficientes de ondeleta en un segmento del EEG en todas las derivaciones para el Sujeto 3 de Niños Sanos, esta tabla nos ayuda a entender la Figura 4.36. El coeficiente de ondeleta de detalle “d4” captura el mayor porcentaje de energía en todas las derivaciones, dichos segmentos muestran presencia de actividad Alfa. Este sujeto presenta también un alto porcentaje de energía en el coeficiente suavizado “s6”. A partir de la DWT se reconstruyó la señal en los niveles de resolución a través del MRD, que queda representado en la Figura 4.37.

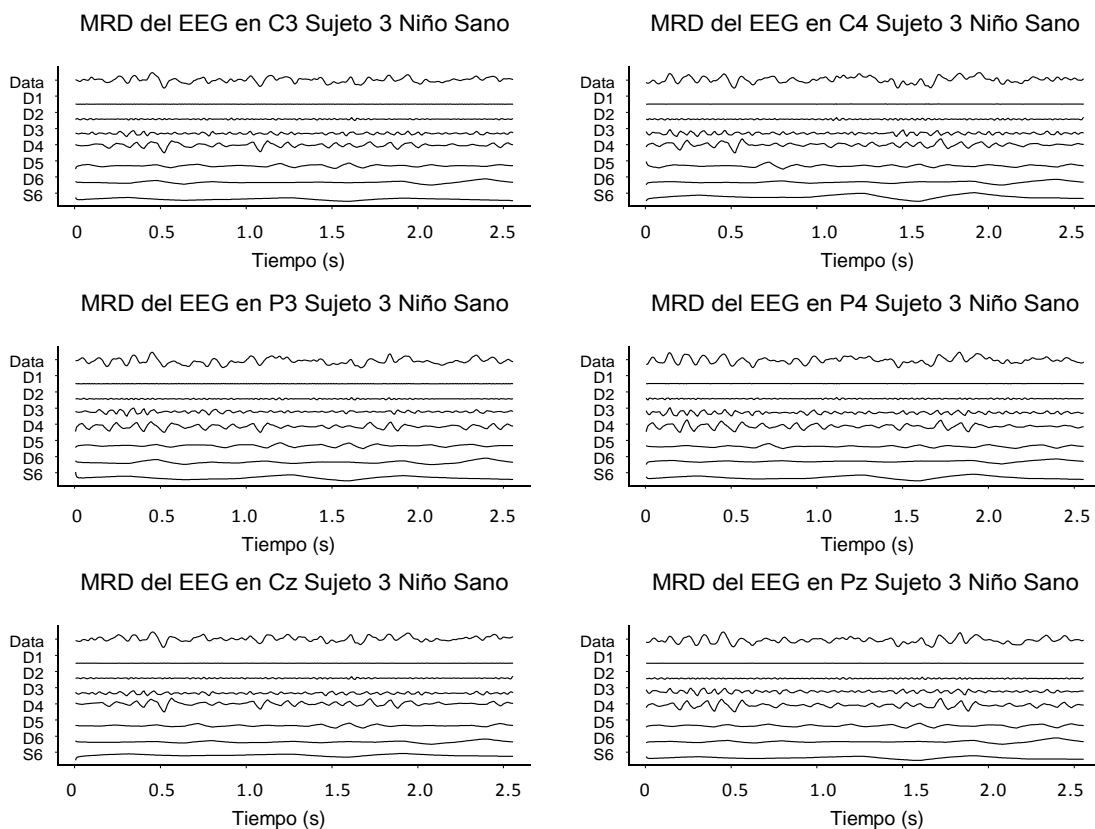


Figura 4.37 MRD de un segmento del EEG en las derivaciones: C3, C4, P3, P4, Cz y Pz del Sujeto 3 Niños Sanos.

La Figura 4.38 muestra la DWT del Sujeto 4 del Grupo de Niños Sanos en todas las derivaciones.

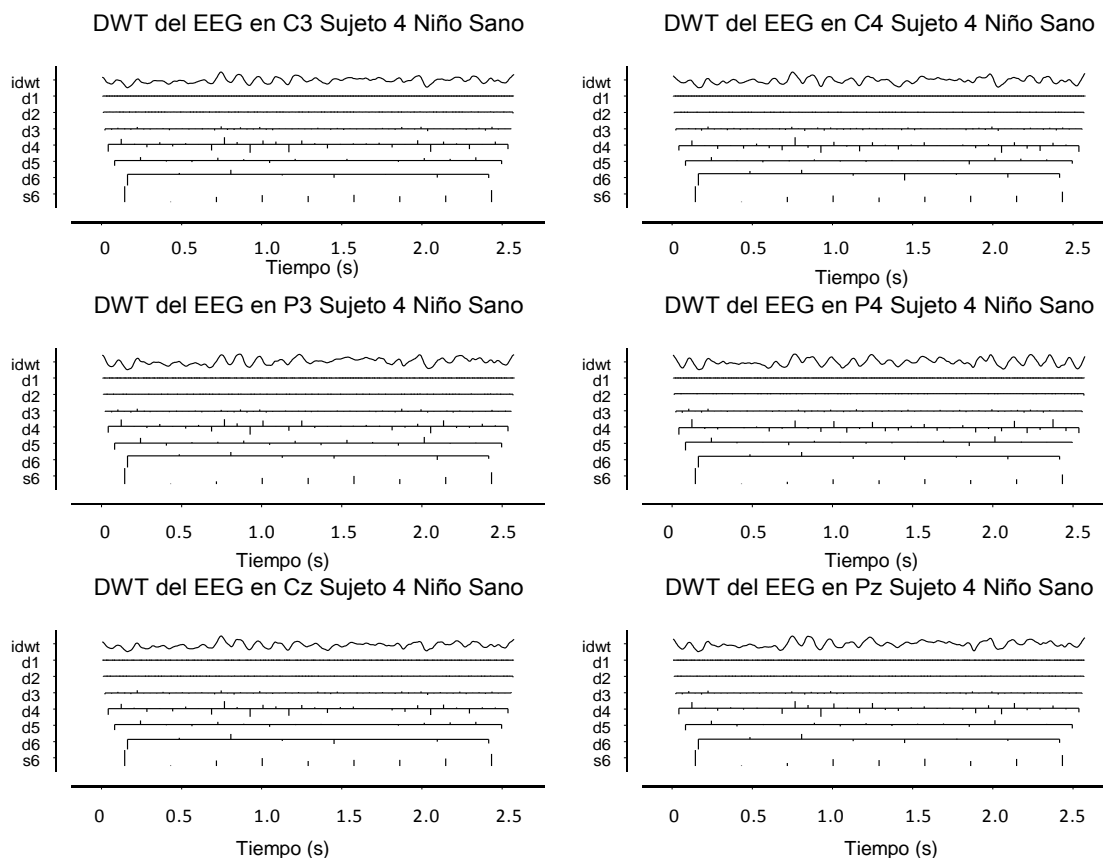


Figura 4.38 DWT de un segmento del EEG en las derivaciones: C3, C4, P3, P4, Cz y Pz del Sujeto 4 Niños Sanos.

Porcentaje de Energía del EEG del Sujeto 4 Niño Sano en las Derivaciones C3, C4, P3, P4 Cz y Pz							
Derivación	Coeficientes						
	s6	d6	d5	d4	d3	d2	d1
C3	0.944	0.019	0.005	0.028	0.003	0	0
C4	0.946	0.020	0.005	0.025	0.004	0	0
P3	0.942	0.020	0.009	0.026	0.003	0	0
P4	0.957	0.016	0.005	0.020	0.002	0	0
Cz	0.940	0.021	0.006	0.029	0.004	0	0
Pz	0.939	0.022	0.006	0.030	0.003	0	0

Tabla 4.8 Porcentaje de energía de los coeficientes de ondeleta en un segmento del EEG en todas las derivaciones para el Sujeto 4 Niños Sanos.

La Tabla 4.8 nos muestra el porcentaje de energía en los coeficientes de ondeleta en un segmento del EEG en todas las derivaciones para el Sujeto 4 de Niños Sanos, esta tabla nos ayuda a entender la Figura 4.38. El coeficiente de ondeleta suavizado “s6” captura el mayor porcentaje de energía en todas las derivaciones. A partir de la DWT se reconstruyó la señal en los niveles de resolución a través del MRD, que queda representado en la Figura 4.39.

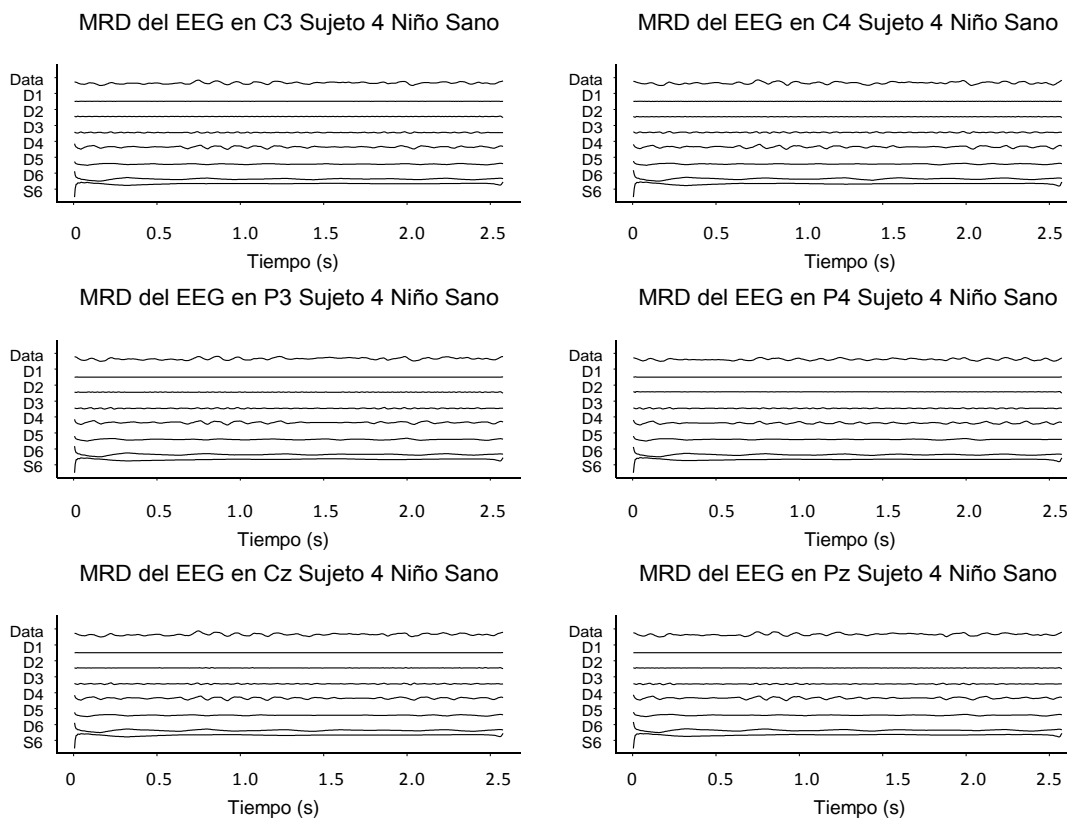


Figura 4.39 MRD de un segmento del EEG en las derivaciones: C3, C4, P3, P4, Cz y Pz del Sujeto 4 Niños Sanos.

A excepción del Sujeto 4 todos los sujetos presentaron el mayor contenido de energía en el coeficiente de ondeleta “d4”, lo cual nos dice que los Niños Sanos tuvieron actividad Alfa en dichos segmentos.

Ahora se presenta la DWT de un segmento de EEG para todas las derivaciones para el grupo de Adultos Sanos. La Figura 4.40 muestra la DWT del Sujeto 1 del Grupo de Adultos Sanos.

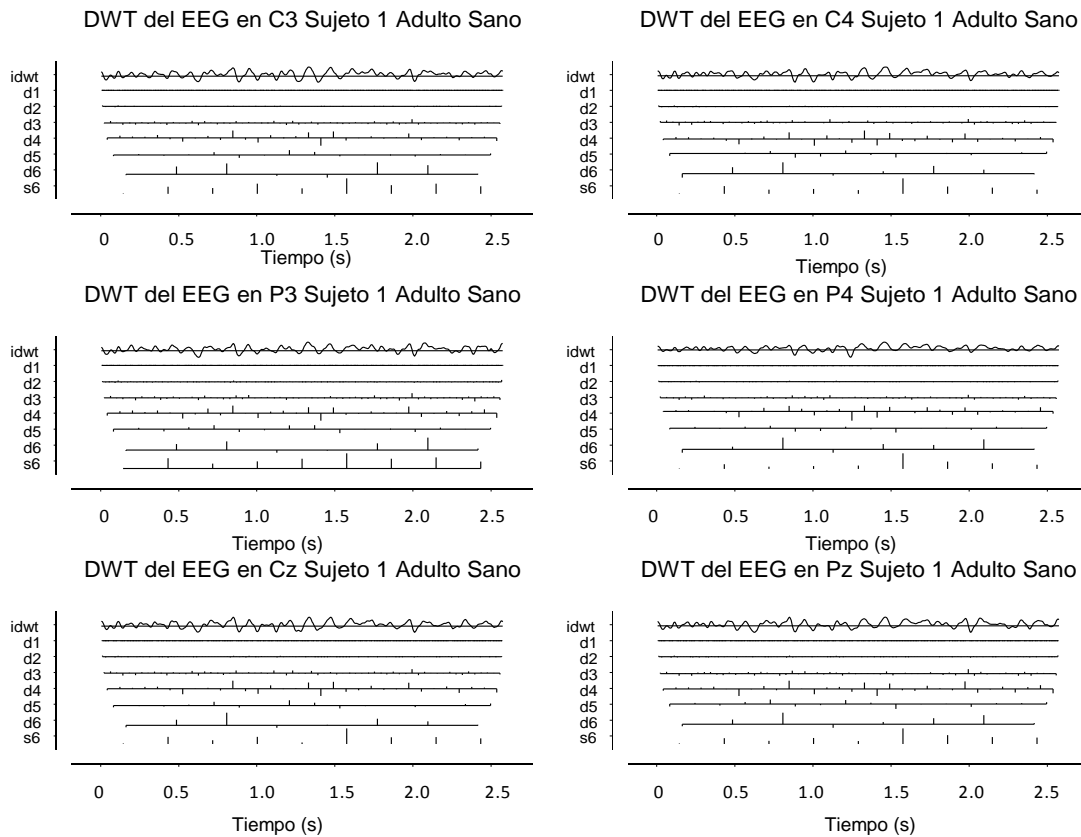


Figura 4.40 DWT de un segmento del EEG en las derivaciones:
C3, C4, P3, P4, Cz y Pz del Sujeto 1 Adultos Sanos

Porcentaje de Energía de los coeficientes de ondeleta en EEG del Sujeto 1 Adulto Sano en las Derivaciones C3, C4, P3, P4 Cz y Pz							
Derivación	Coeficientes						
	s6	d6	d5	d4	d3	d2	d1
C3	0.287	0.04	0.081	0.431	0.141	0.019	0
C4	0.302	0.043	0.079	0.434	0.123	0.018	0
P3	0.298	0.061	0.093	0.385	0.137	0.025	0
P4	0.342	0.054	0.066	0.418	0.104	0.015	0
Cz	0.219	0.046	0.090	0.469	0.154	0.021	0
Pz	0.265	0.067	0.090	0.427	0.130	0.021	0

Tabla 4.9 Porcentaje de energía de los coeficientes de ondeleta en un segmento del EEG en todas las derivaciones para el Sujeto 1 Adultos Sanos.

La Tabla 4.9 nos muestra el porcentaje de energía en los coeficientes de ondeleta en un segmento del EEG en todas las derivaciones para el Sujeto 1 de Adultos Sanos, esta tabla nos ayuda a entender la Figura 4.40. El coeficiente de ondeleta de detalle “d4” captura el mayor porcentaje de energía en todas las derivaciones, dichos segmentos muestran presencia de actividad Alfa 2, al tener a “d3” como el segundo coeficiente de detalle con la mayor energía. A partir de la DWT se reconstruyó la señal en los niveles de resolución a través del MRD, que queda representado en la Figura 4.41.

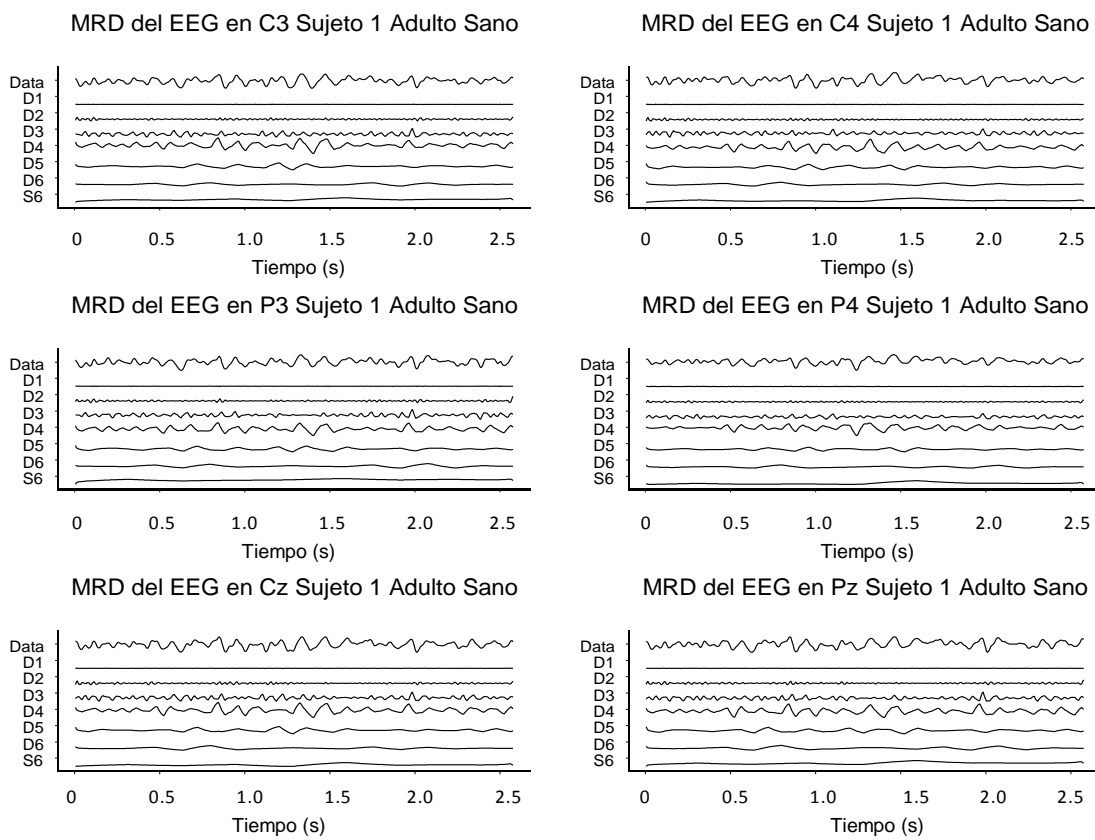


Figura 4.41 MRD de un segmento del EEG en las derivaciones: C3, C4, P3, P4, Cz y Pz del Sujeto 1 Adultos Sanos.

La Figura 4.42 muestra la DWT del Sujeto 2 del Grupo de Adultos Sanos en todas las derivaciones.

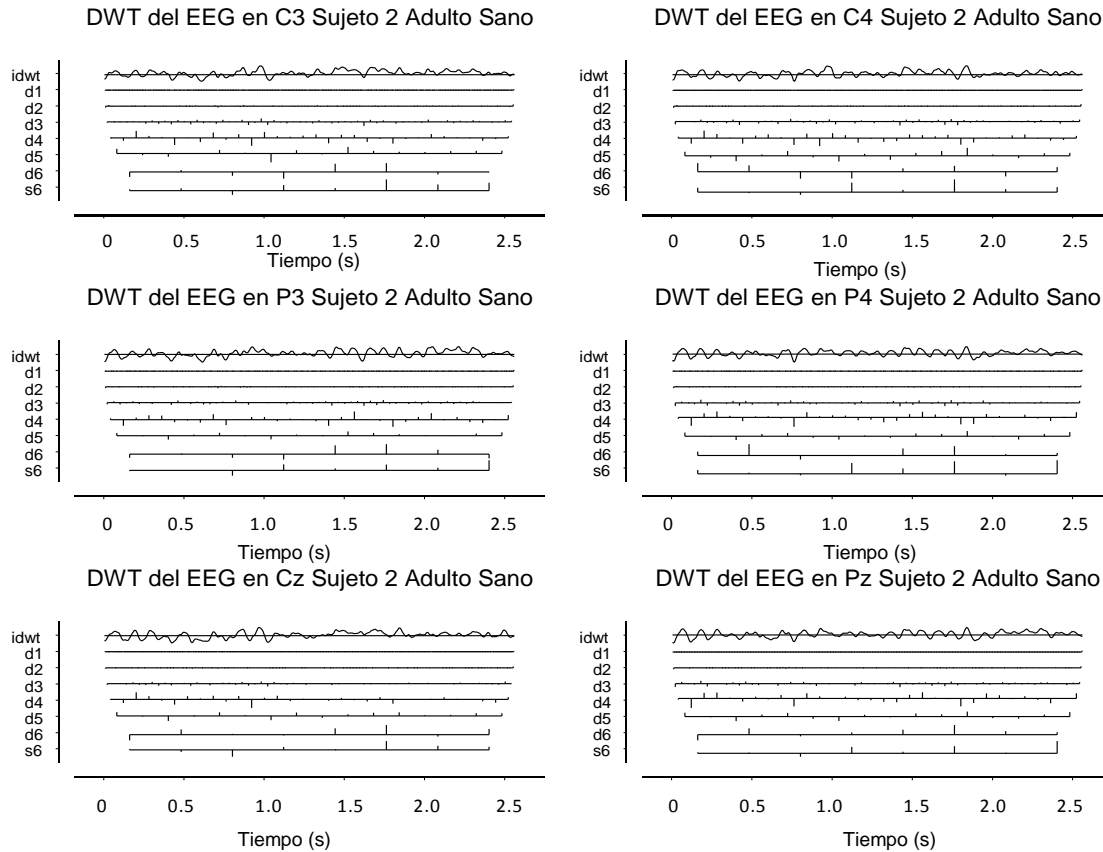


Figura 4.42 DWT de un segmento del EEG en las derivaciones: C3, C4, P3, P4, Cz y Pz del Sujeto 2 Adultos Sanos.

Porcentaje de Energía de los coeficientes de ondeleta en EEG del Sujeto 2 Adulto Sano en las Derivaciones C3, C4, P3, P4 Cz y Pz							
Derivación	Coeficientes						
	s6	d6	d5	d4	d3	d2	d1
C3	0.453	0.115	0.076	0.300	0.047	0.008	0
C4	0.384	0.067	0.073	0.357	0.101	0.017	0
P3	0.299	0.076	0.055	0.420	0.137	0.013	0
P4	0.257	0.052	0.053	0.451	0.170	0.017	0
Cz	0.209	0.164	0.080	0.468	0.070	0.010	0
Pz	0.204	0.051	0.059	0.545	0.128	0.012	0

Tabla 4.10 Porcentaje de energía de los coeficientes de ondeleta en un segmento del EEG en todas las derivaciones para el Sujeto 2 Adultos Sanos.

La Tabla 4.10 nos muestra el porcentaje de energía en los coeficientes de ondeleta en un segmento del EEG en todas las derivaciones para el Sujeto 2 de Adultos Sanos, esta tabla nos ayuda a entender la Figura 4.42. El coeficiente de ondeleta de detalle “d4” captura el mayor porcentaje de energía en todas las derivaciones. Las derivaciones C4, P3, P4 y Pz muestran presencia de actividad Alfa 2, al tener a “d3” como el segundo coeficiente de detalle con la mayor energía. Las derivaciones C3 y Cz por su parte se considera sólo actividad Alfa. A partir de la DWT se reconstruyó la señal en los niveles de resolución a través del MRD, que queda representado en la Figura 4.43.

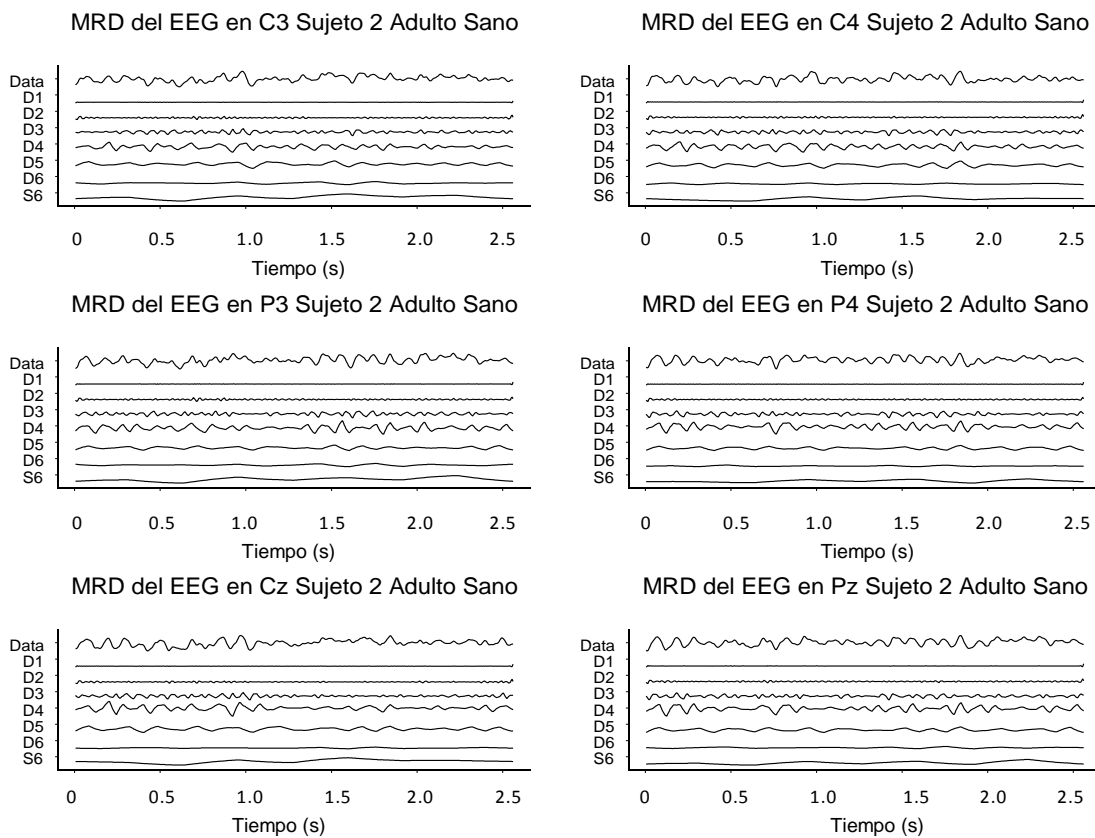


Figura 4.43 MRD de un segmento del EEG en las derivaciones: C3, C4, P3, P4, Cz y Pz del Sujeto 2 Adultos Sanos.

La Figura 4.44 muestra la DWT del Sujeto 3 del Grupo de Adultos Sanos en todas las derivaciones.

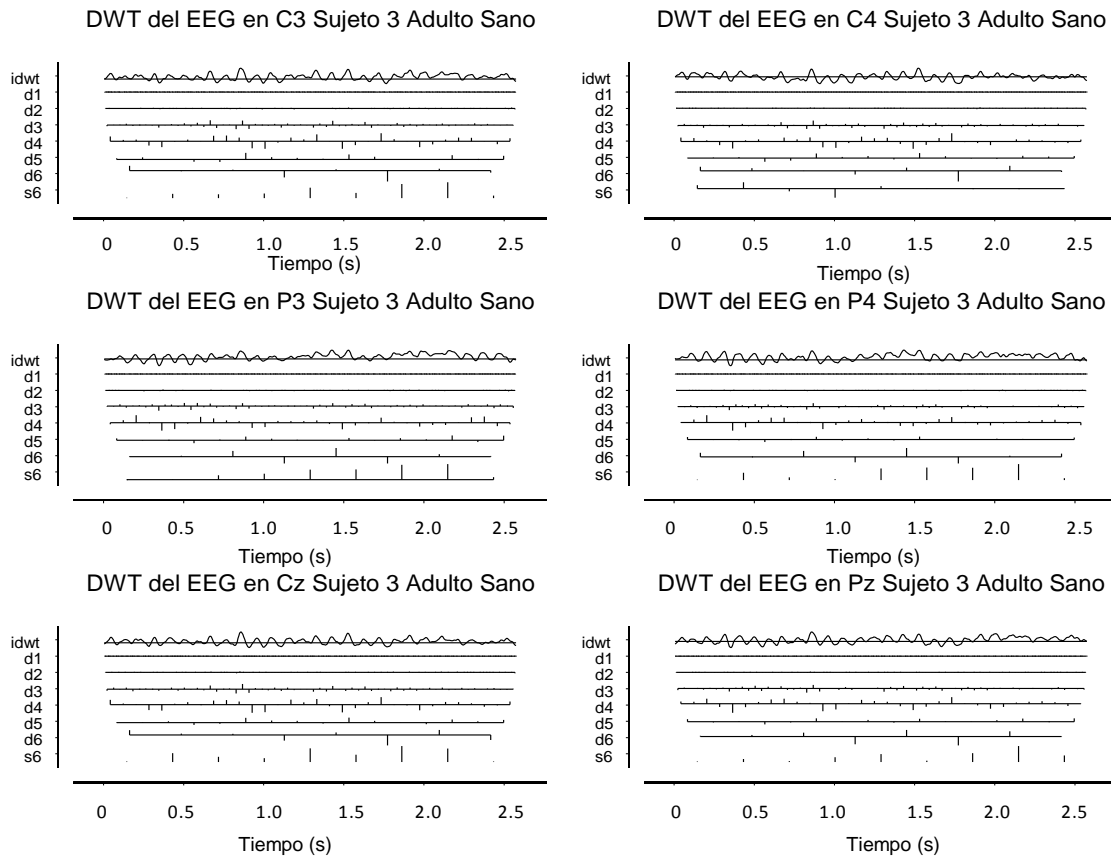


Figura 4.44 DWT de un segmento del EEG en las derivaciones: C3, C4, P3, P4, Cz y Pz del Sujeto 3 Adultos Sanos.

Porcentaje de Energía de los coeficientes de ondeleta en EEG del Sujeto 3 Adulto Sano en las Derivaciones C3, C4, P3, P4 Cz y Pz							
Derivación	Coeficientes						
	s6	d6	d5	d4	d3	d2	d1
C3	0.431	0.047	0.078	0.317	0.112	0.014	0.001
C4	0.105	0.082	0.101	0.494	0.198	0.019	0.001
P3	0.528	0.086	0.045	0.240	0.092	0.009	0
P4	0.576	0.065	0.025	0.240	0.085	0.009	0
Cz	0.231	0.050	0.076	0.465	0.163	0.014	0.001
Pz	0.336	0.093	0.049	0.381	0.130	0.010	0

Tabla 4.11 Porcentaje de energía de los coeficientes de ondeleta en un segmento del EEG en todas las derivaciones para el Sujeto 3 Adultos Sanos.

La Tabla 4.11 nos muestra el porcentaje de energía en los coeficientes de ondeleta en un segmento del EEG en todas las derivaciones para el Sujeto 3 de Adultos Sanos, esta tabla nos ayuda a entender la Figura 4.44. El coeficiente de ondeleta de detalle “d4” captura el mayor porcentaje de energía en todas las derivaciones y muestran presencia de actividad Alfa 2, al tener a “d3” como el segundo coeficiente de detalle con la mayor energía. A partir de la DWT se reconstruyó la señal en los niveles de resolución a través del MRD, que queda representado en la Figura 4.45.

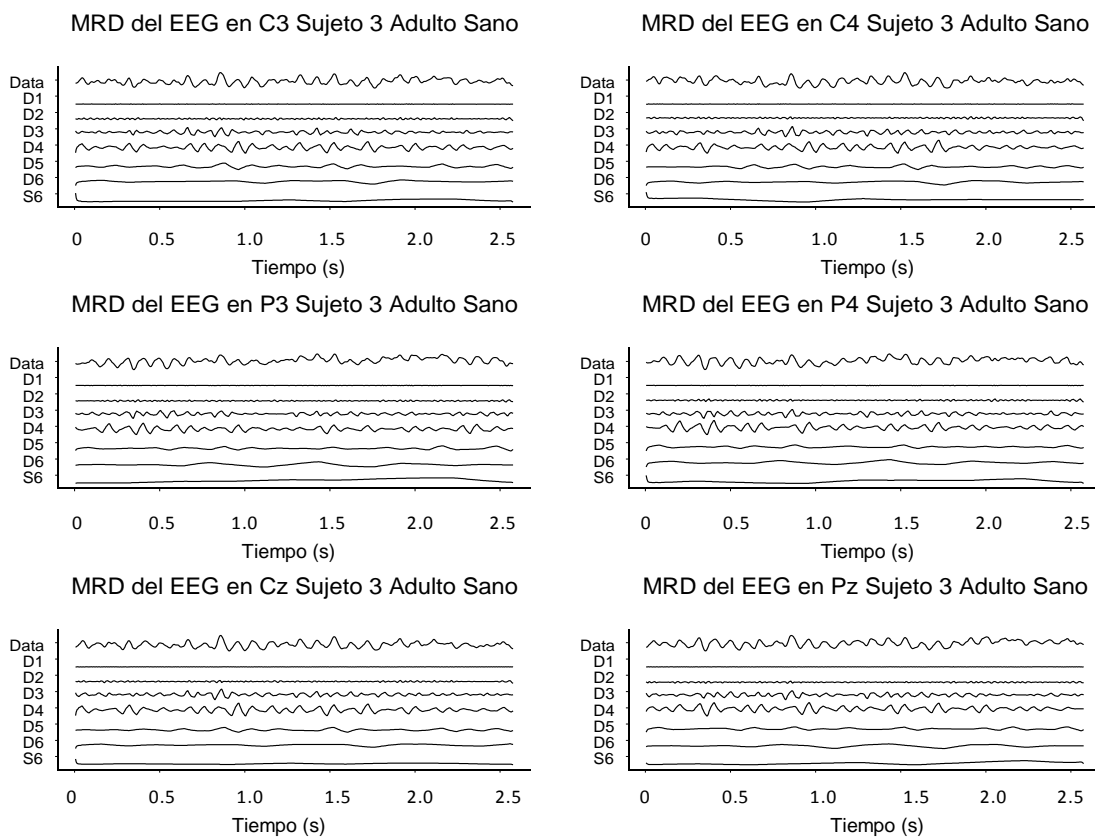


Figura 4.45 MRD de un segmento del EEG en las derivaciones: C3, C4, P3, P4, Cz y Pz del Sujeto 3 Adultos Sanos.

La Figura 4.46 muestra la DWT del Sujeto 4 del Grupo de Adultos Sanos en todas las derivaciones.

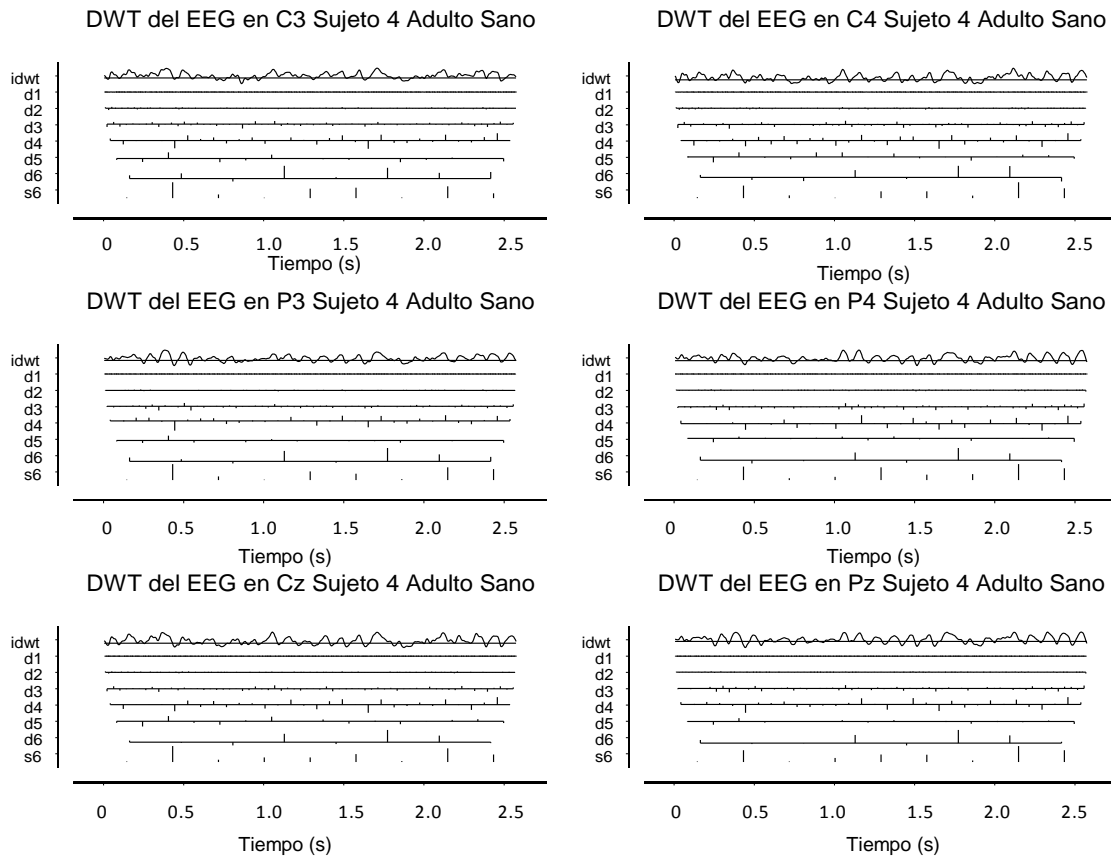


Figura 4.46 DWT de un segmento del EEG en las derivaciones:

C3, C4, P3, P4, Cz y Pz del Sujeto 4 Adultos Sanos

Porcentaje de Energía de los coeficientes de ondeleta en EEG del Sujeto 4 Adulto Sano en las Derivaciones C3, C4, P3, P4 Cz y Pz							
Derivación	Coeficientes						
	s6	d6	d5	d4	d3	d2	d1
C3	0.468	0.13	0.092	0.215	0.075	0.019	0.001
C4	0.363	0.188	0.092	0.275	0.058	0.023	0.001
P3	0.339	0.084	0.069	0.393	0.095	0.018	0.001
P4	0.318	0.099	0.066	0.421	0.079	0.016	0.001
Cz	0.254	0.167	0.116	0.350	0.090	0.021	0.001
Pz	0.273	0.110	0.082	0.428	0.090	0.017	0.001

Tabla 4.12 Porcentaje de energía de los coeficientes de ondeleta en un segmento del EEG en todas las derivaciones para el Sujeto 4 Adultos Sanos.

La Tabla 4.12 nos muestra el porcentaje de energía en los coeficientes de ondeleta en un segmento del EEG en todas las derivaciones para el Sujeto 4 de Adultos Sanos, esta tabla nos ayuda a entender la Figura 4.46. El coeficiente de ondeleta de detalle “d4” captura el mayor porcentaje de energía en todas las derivaciones y muestran presencia de actividad Alfa. A partir de la DWT se reconstruyó la señal en los niveles de resolución a través del MRD, que queda representado en la Figura 4.47.

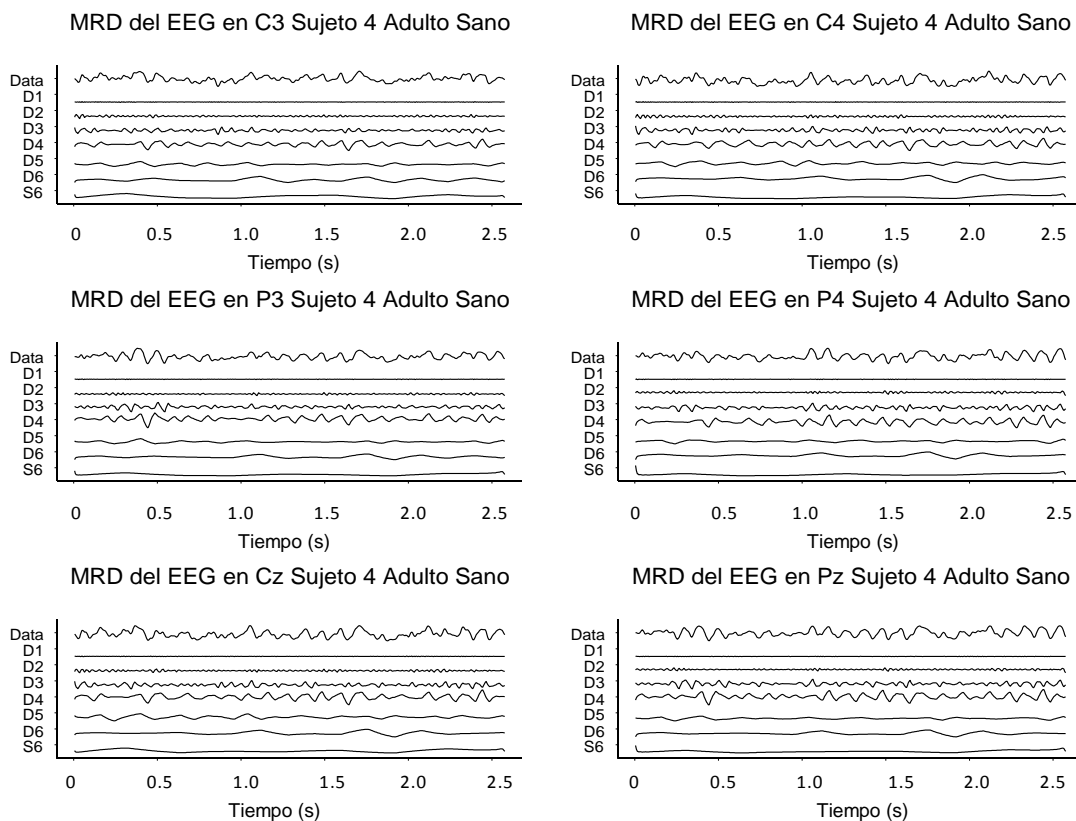


Figura 4.47 MRD de un segmento del EEG en las derivaciones:
C3, C4, P3, P4, Cz y Pz del Sujeto 4 Adultos Sanos

Como se puede notar en todos los segmentos presentados en todas las derivaciones de EEG del grupo de Adultos Sanos se encontró actividad Alfa, es más, en muchos de los casos se trató de actividad Alfa 2, lo que implica una frecuencia mayor.

A continuación se presenta, a manera de ejemplo, un segmento en todas las derivaciones de los Niños T. A. En la Figura 4.48 se muestra la DWT del Sujeto 1 del Grupo de Niños T. A.

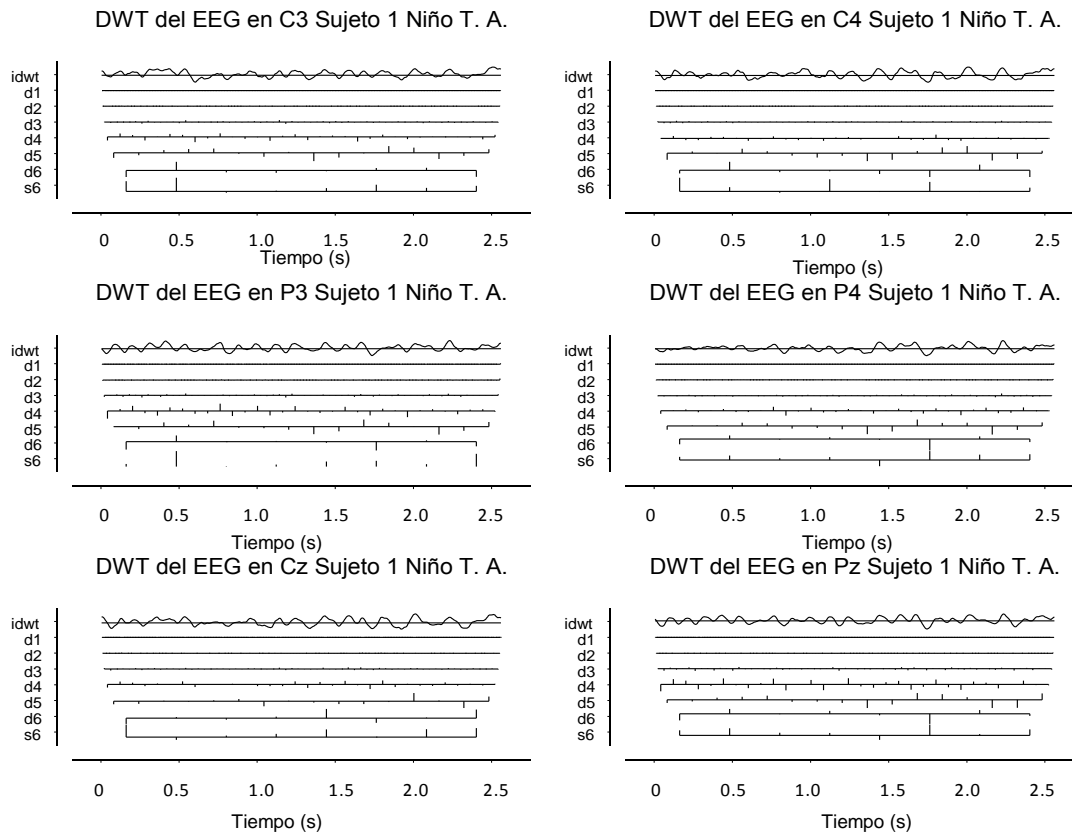


Figura 4.48 DWT de un segmento del EEG en la derivación en las derivaciones: C3, C4, P3, P4, Cz y Pz del Sujeto 1 Niños T.A.

Porcentaje de Energía de los coeficientes de ondeleta del EEG del Sujeto 1 Niño T. A. en las Derivaciones C3, C4, P3, P4 Cz y Pz							
Derivación	Coeficientes						
	s6	d6	d5	d4	d3	d2	d1
C3	0.289	0.174	0.313	0.181	0.039	0.004	0
C4	0.174	0.089	0.576	0.116	0.040	0.005	0
P3	0.131	0.077	0.320	0.409	0.054	0.007	0.001
P4	0.119	0.136	0.465	0.233	0.042	0.005	0.001
Cz	0.131	0.125	0.521	0.177	0.040	0.004	0
Pz	0.057	0.117	0.349	0.422	0.053	0.003	0

Tabla 4.13 Porcentaje de energía de los coeficientes de ondeleta en un segmento del EEG en todas las derivaciones para el Sujeto 1 Niños T. A.

La Tabla 4.13 nos muestra el porcentaje de energía en los coeficientes de ondeleta en un segmento del EEG en todas las derivaciones para el Sujeto 1 de Niños T. A., esta tabla nos ayuda a entender la Figura 4.48. El coeficiente de ondeleta de detalle “d5” captura el mayor porcentaje de energía en las derivaciones C3, C4, P4 y Cz; dichos segmentos muestran presencia de actividad Theta. Mientras que en las derivaciones P3 y Pz (parietales) su mayor contenido de energía fue en el coeficiente de detalle de ondeleta “d4” seguido de “d5”, lo que implica presencia de actividad Alfa 1. A partir de la DWT se reconstruyó la señal en los niveles de resolución a través del MRD, que queda representado en la Figura 4.49.

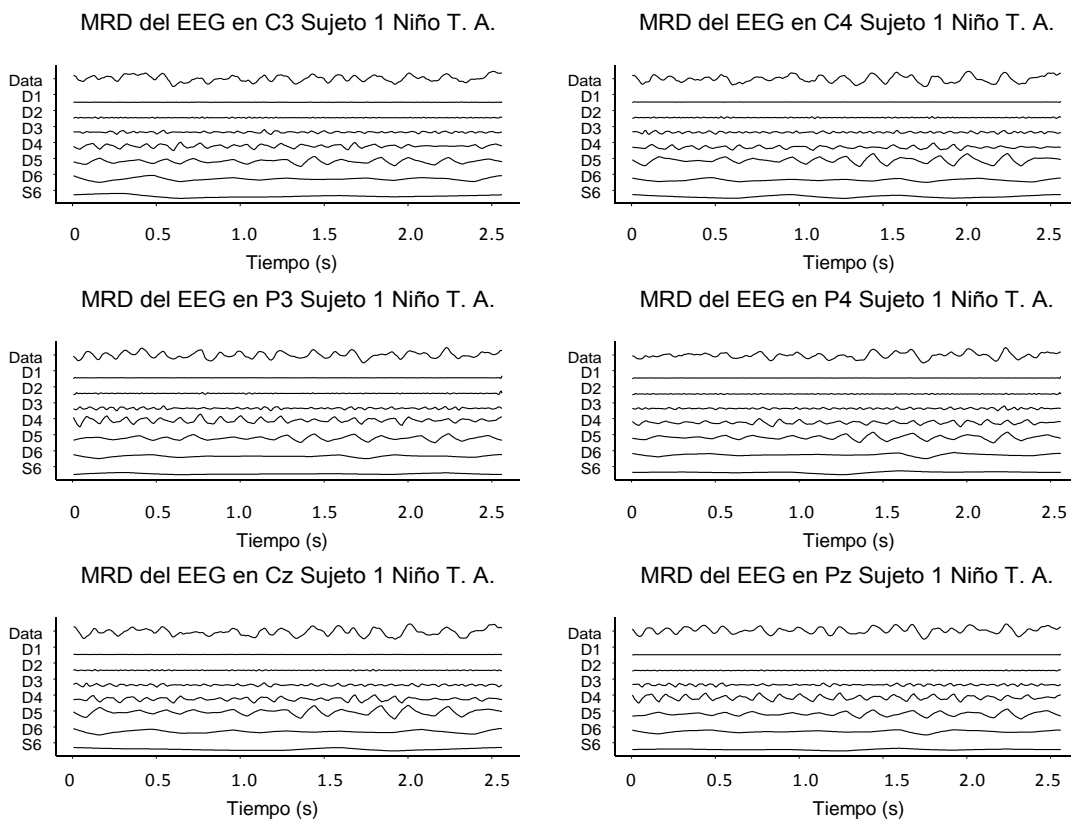


Figura 4.49 MRD de un segmento del EEG en la derivación en las derivaciones: C3, C4, P3, P4, Cz y Pz del Sujeto 1 Niños T. A.

La Figura 4.50 muestra la DWT del Sujeto 2 del Grupo de Niños T. A. en todas las derivaciones.

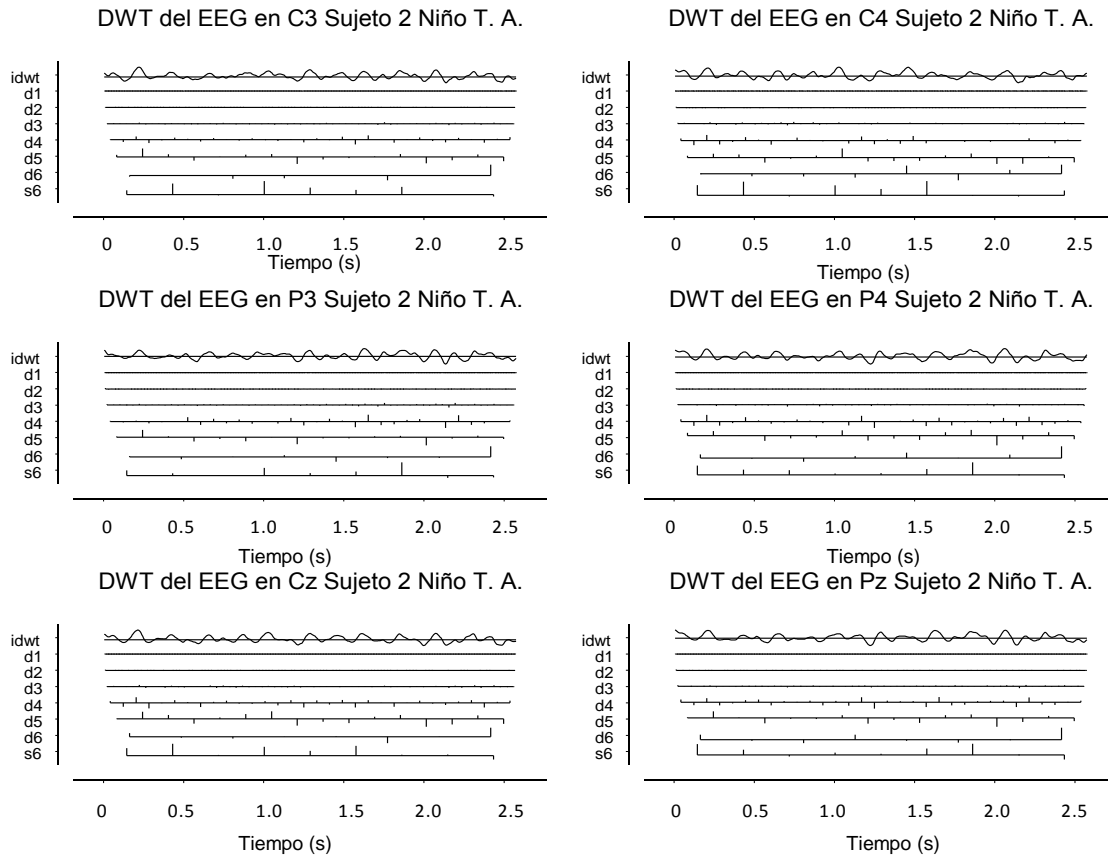


Figura 4.50 DWT de un segmento del EEG en la derivación en las derivaciones: C3, C4, P3, P4, Cz y Pz del Sujeto 2 Niños T. A.

Porcentaje de Energía de los coeficientes de ondeleta del EEG del Sujeto 2 Niño T. A. en las derivaciones C3, C4, P3, P4 Cz y Pz							
Derivación	Coeficientes						
	s6	d6	d5	d4	d3	d2	d1
C3	0.175	0.054	0.456	0.264	0.046	0.005	0
C4	0.141	0.116	0.409	0.284	0.045	0.005	0
P3	0.118	0.104	0.306	0.407	0.06	0.004	0
P4	0.131	0.098	0.352	0.376	0.039	0.004	0
Cz	0.133	0.039	0.476	0.308	0.04	0.004	0
Pz	0.109	0.081	0.374	0.397	0.035	0.003	0

Tabla 4.14 Porcentaje de energía de los coeficientes de ondeleta en un segmento del EEG en todas las derivaciones para el Sujeto 2 Niños T. A.

La Tabla 4.14 nos muestra el porcentaje de energía en los coeficientes de ondeleta en un segmento del EEG en todas las derivaciones para el Sujeto 2 de Niños T. A., esta tabla nos ayuda a entender la Figura 4.50. El coeficiente de ondeleta de detalle “d5” captura el mayor porcentaje de energía en las derivaciones C3, C4 y Cz (regiones centrales), dichos segmentos muestran presencia de actividad Theta. Mientras que en las derivaciones P3, P4 y Pz (regiones parietales) su mayor contenido de energía fue en el coeficiente de detalle de ondeleta “d4” seguido de “d5”, lo que implica presencia de actividad Alfa 1. A partir de la DWT se reconstruyó la señal en los niveles de resolución a través del MRD, que queda representado en la Figura 4.51.

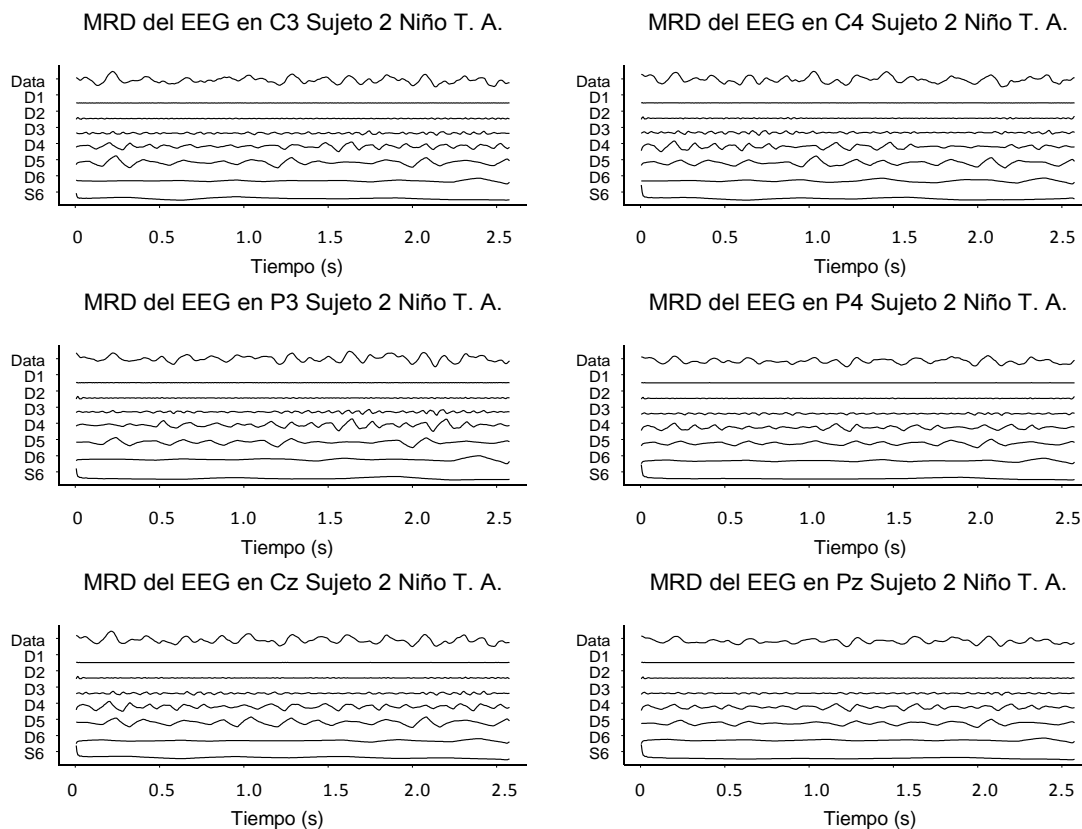


Figura 4.51 MRD de un segmento del EEG en la derivación en las derivaciones: C3, C4, P3, P4, Cz y Pz del Sujeto 2 Niños T. A.

La Figura 4.52 muestra la DWT del Sujeto 3 del Grupo de Niños T. A. en todas las derivaciones.

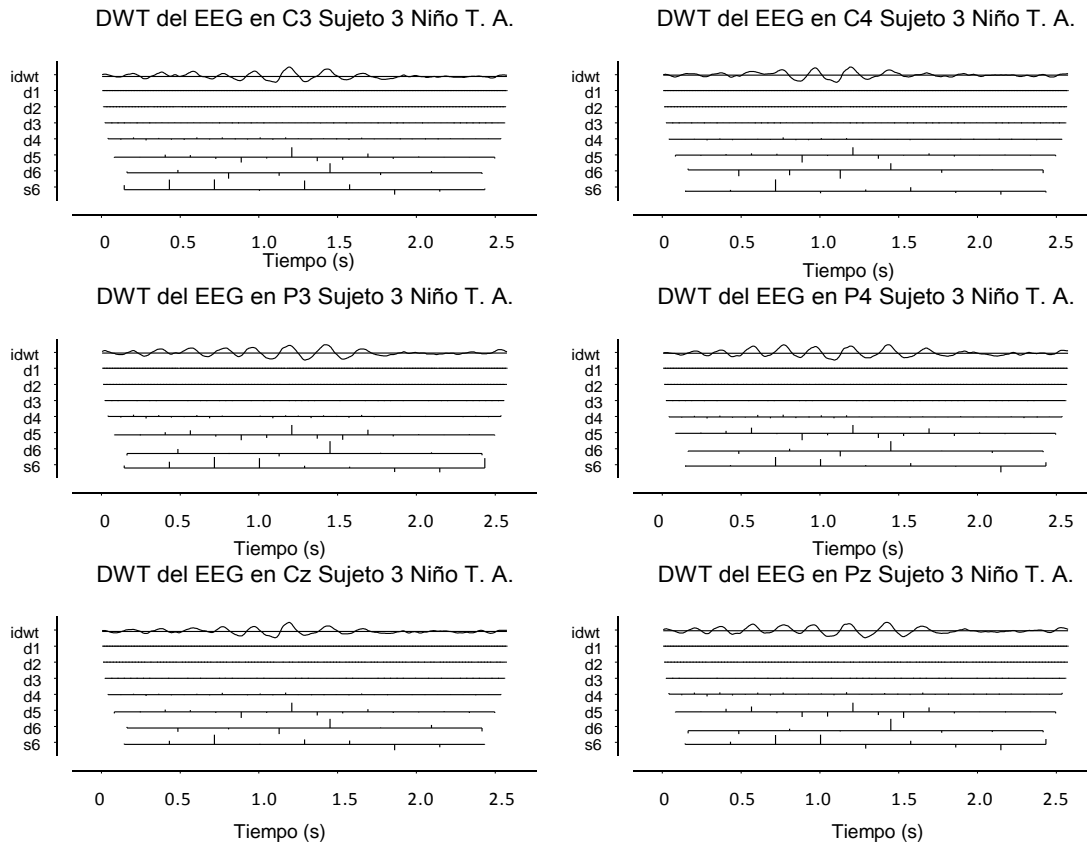


Figura 4.52 DWT de un segmento del EEG en la derivación en las derivaciones: C3, C4, P3, P4, Cz y Pz del Sujeto 3 con Niños T.A.

Porcentaje de Energía de los coeficientes de ondeleta del EEG del Sujeto 3 Niño T. A. en las Derivaciones C3, C4, P3, P4 Cz y Pz							
Derivación	Coeficientes						
	s6	d6	d5	d4	d3	d2	d1
C3	0.084	0.073	0.739	0.092	0.011	0.001	0
C4	0.059	0.068	0.787	0.073	0.012	0.001	0
P3	0.054	0.084	0.746	0.110	0.006	0.001	0
P4	0.063	0.082	0.742	0.104	0.008	0.001	0
Cz	0.060	0.040	0.800	0.089	0.009	0.001	0
Pz	0.062	0.065	0.754	0.113	0.006	0.001	0

Tabla 4.15 Porcentaje de energía de los coeficientes de ondeleta en un segmento del EEG en todas las derivaciones para el Sujeto 3 Niños T. A.

La Tabla 4.15 nos muestra el porcentaje de energía en los coeficientes de ondeleta en un segmento del EEG en todas las derivaciones para el Sujeto 3 de Niños T. A., esta tabla nos ayuda a entender la Figura 4.52. El coeficiente de ondeleta de detalle “d5” captura el mayor porcentaje de energía en todas las derivaciones, con más del 73% de la energía, dichos segmentos muestran presencia de actividad Theta. A partir de la DWT se reconstruyó la señal en los niveles de resolución a través del MRD, que queda representado en la Figura 4.53.

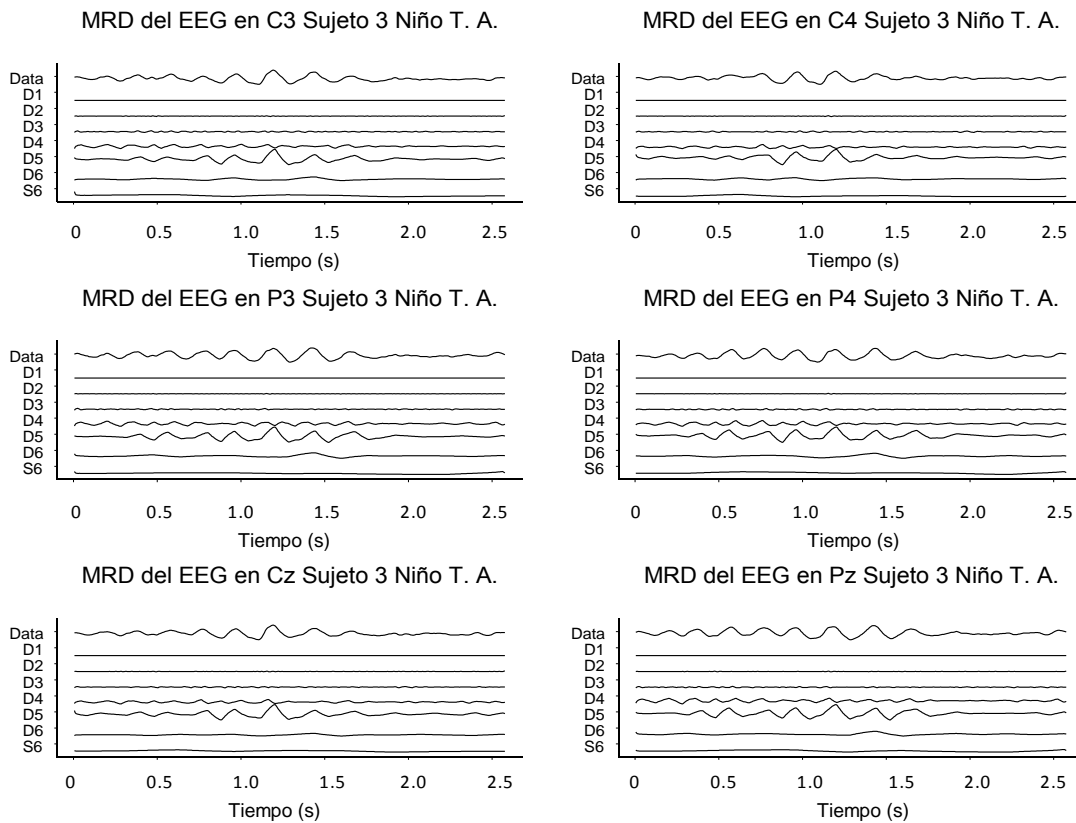


Figura 4.53 MRD de un segmento del EEG en la derivación en las derivaciones: C3, C4, P3, P4, Cz y Pz del Sujeto 3 Niños T.A.

La Figura 4.54 muestra la DWT del Sujeto 4 del Grupo de Niños T. A. en todas las derivaciones.

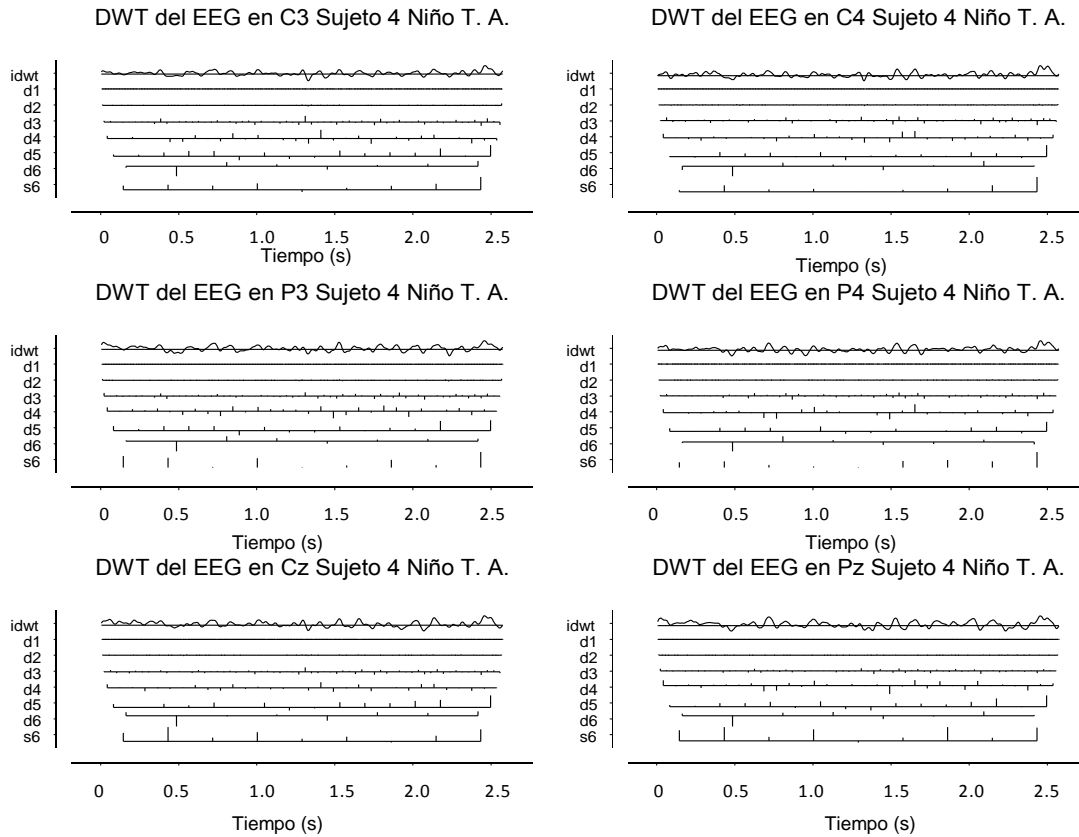


Figura 4.54 DWT de un segmento del EEG en la derivación en las derivaciones: C3, C4, P3, P4, Cz y Pz del Sujeto 4 Niños T. A.

Porcentaje de Energía de los coeficientes de ondeleta del EEG del Sujeto 4 Niño T. A. en las Derivaciones C3, C4, P3, P4 Cz y Pz							
Derivación	Coeficientes						
	s6	d6	d5	d4	d3	d2	d1
C3	0.185	0.075	0.299	0.251	0.169	0.019	0
C4	0.238	0.08	0.241	0.226	0.194	0.020	0
P3	0.217	0.09	0.280	0.276	0.121	0.015	0
P4	0.260	0.062	0.215	0.296	0.154	0.013	0
Cz	0.262	0.052	0.354	0.181	0.136	0.014	0
Pz	0.273	0.072	0.280	0.278	0.089	0.009	0

Tabla 4.16 Porcentaje de energía de los coeficientes de ondeleta en un segmento del EEG en todas las derivaciones para el Sujeto 4 Niños T. A.

La Tabla 4.16 nos muestra el porcentaje de energía en los coeficientes de ondeleta en un segmento del EEG en todas las derivaciones para el Sujeto 4 de Niños T. A., esta tabla nos ayuda a entender la Figura 4.54. El coeficiente de ondeleta de detalle “d5” captura el mayor porcentaje de energía en las derivaciones C3, C4, P3, Cz y Pz, dichos segmentos muestran presencia de actividad Theta, pero también hay presencia de actividad Alfa 2 al tener energía incluso en “d3”. Por otro lado la derivación P4 presentó la mayoría de su energía en el coeficiente de ondeleta de detalle “d4”, mostrando un contenido de actividad Alfa. A partir de la DWT se reconstruyó la señal en los niveles de resolución a través del MRD, que queda representado en la Figura 4.55.

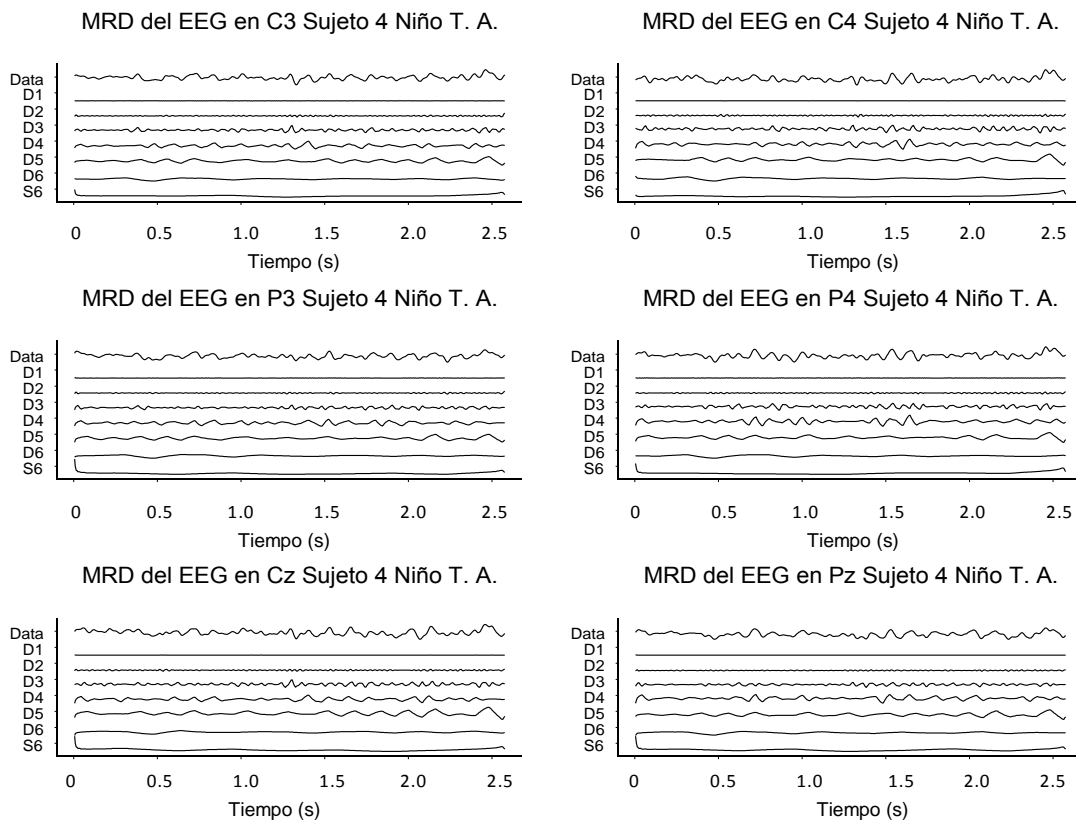


Figura 4.55 MRD de un segmento del EEG en la derivación en las derivaciones: C3, C4, P3, P4, Cz y Pz del Sujeto 4 Niños T. A.

En conclusión los Niños T. A. presentaron en su mayoría en los segmentos analizados presencia de actividad Theta y Alfa en algunos de ellos.

Análisis de la energía

Una vez realizada la DWT se calcularon las energías de todos los coeficientes de ondeleta para todos los sujetos y en todas las derivaciones incluidas en el análisis (ver ANEXO 3). Todas las estadísticas descriptivas de los coeficientes de ondeleta para todos los sujetos y todas las derivaciones están en el ANEXO 4. Primero se analizará el comportamiento de los segmentos del grupo Niños T. A.

En el grupo de Niños Sanos se encontró que todos los Sujetos tuvieron la mayoría de sus segmentos con la máxima energía en el coeficiente de detalle “d4”. Las Tablas 4.17, 4.18, 4.19 y 4.20 representan el porcentaje de segmentos que tuvieron la mayor energía en los coeficientes de ondeleta de detalle “d6”, “d5”, “d4”, “d3”, “d2”, y “d1”, para los Sujetos 1, 2, 3 y 4 respectivamente del grupo de Niños Sanos. No existió en ningún sujeto, ni en ningún segmento, la máxima energía capturada en “d3”, “d2” ni en “d1”. Por tal motivo se analizarán sólo las estadísticas descriptivas de los coeficientes de detalle de ondeleta “d3”, “d4”, “d5” y “d6”.

Porcentaje de Segmentos Con La Mayor Energía Contendida en Los Coeficientes de Detalle de Ondeleta Sujeto 1 Niños Sanos						
	C3	C4	P3	P4	Cz	Pz
d6	0.00%	0.00%	0.00%	0.00%	0.00%	0.00%
d5	4.00%	12.50%	8.33%	4.17%	4.17%	8.33%
d4	92.00%	87.50%	91.67%	95.83%	95.83%	91.67%
d3	0.00%	0.00%	0.00%	0.00%	0.00%	0.00%
d2	0.00%	0.00%	0.00%	0.00%	0.00%	0.00%
d1	0.00%	0.00%	0.00%	0.00%	0.00%	0.00%

Tabla 4.17 Porcentaje de segmentos con la mayor energía en los coeficientes de ondeleta de detalle, sujeto 1 Niños Sanos.

Porcentaje de Segmentos Con La Mayor Energía Contendida en Los Coeficientes de Detalle de Ondeleta Sujeto 2 Niños Sanos						
	C3	C4	P3	P4	Cz	Pz
d6	8.00%	8.33%	0.00%	0.00%	8.33%	0.00%
d5	36.00%	33.33%	8.33%	0.00%	41.67%	4.17%
d4	52.00%	58.33%	91.67%	100.00%	50.00%	95.83%
d3	0.00%	0.00%	0.00%	0.00%	0.00%	0.00%
d2	0.00%	0.00%	0.00%	0.00%	0.00%	0.00%
d1	0.00%	0.00%	0.00%	0.00%	0.00%	0.00%

Tabla 4.18 Porcentaje de segmentos con la mayor energía en los coeficientes de ondeleta de detalle, sujeto 2 Niños Sanos

Porcentaje de Segmentos Con La Mayor Energía Contendida en Los Coeficientes de Detalle de Ondeleta Sujeto 3 Niños Sanos						
	C3	C4	P3	P4	Cz	Pz
d6	0.00%	0.00%	0.00%	0.00%	4.17%	0.00%
d5	0.00%	0.00%	0.00%	0.00%	0.00%	0.00%
d4	96.00%	100.00%	100.00%	100.00%	95.83%	100.00%
d3	0.00%	0.00%	0.00%	0.00%	0.00%	0.00%
d2	0.00%	0.00%	0.00%	0.00%	0.00%	0.00%
d1	0.00%	0.00%	0.00%	0.00%	0.00%	0.00%

Tabla 4.19 Porcentaje de segmentos con la mayor energía en los coeficientes de ondeleta de detalle, sujeto 3 Niños Sanos

Porcentaje de Segmentos Con La Mayor Energía Contendida en Los Coeficientes de Detalle de Ondeleta Sujeto 4 Niños Sanos						
	C3	C4	P3	P4	Cz	Pz
d6	8.00%	16.67%	12.50%	12.50%	12.50%	16.67%
d5	16.00%	25.00%	12.50%	12.50%	25.00%	16.67%
d4	76.00%	75.00%	79.17%	79.17%	70.83%	75.00%
d3	0.00%	0.00%	0.00%	0.00%	0.00%	0.00%
d2	0.00%	0.00%	0.00%	0.00%	0.00%	0.00%
d1	0.00%	0.00%	0.00%	0.00%	0.00%	0.00%

Tabla 4.20 Porcentaje de segmentos con la mayor energía en los coeficientes de ondeleta de detalle, sujeto 4 Niños Sanos

En la Tabla 4.21 se muestran las estadísticas descriptivas del coeficiente de detalle de ondeleta “d3” en el Sujeto 1 Niños Sanos. Como se puede apreciar este sujeto tuvo en promedio 0.075 de la energía contenida en la derivación C3, 0.080 en C4, 0.0075 en P3, 0.079 en P4, 0.084 en Cz y 0.073 en Pz (Figura 4.56), esto implica que en promedio el porcentaje de energía contenida en el coeficiente de detalle “d3” no alcanza ni el 8.5%.

Medidas Descriptivas	Derivaciones					
	C3	C4	P3	P4	Cz	Pz
Mínimo	0.044	0.058	0.038	0.053	0.044	0.038
Media	0.075	0.080	0.075	0.079	0.084	0.073
Desviación Estándar	0.024	0.016	0.019	0.015	0.019	0.016
Máximo	0.130	0.104	0.104	0.107	0.112	0.098
Curtosis	-0.158	-1.493	-1.177	-0.427	0.048	-0.477
Coficiente de Asimetría	0.698	0.070	-0.304	0.288	-0.796	-0.564
Mediana	0.072	0.079	0.080	0.077	0.089	0.076
Rango	0.086	0.046	0.066	0.054	0.068	0.060
Coficiente de Variación	0.321	0.197	0.250	0.186	0.225	0.223

Tabla 4.21 Estadísticas Descriptivas del Porcentaje de Energía en el Coeficiente de Ondeleta "d3" del EEG Sujeto 1 Niños Sanos.

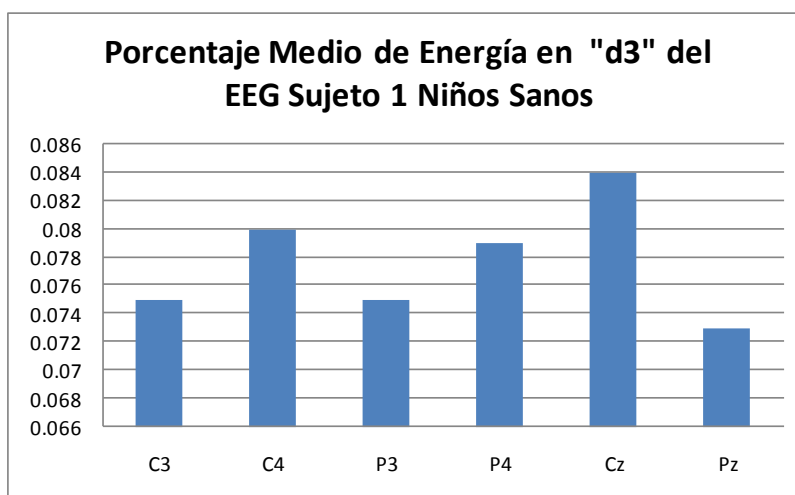


Figura 4.56 Porcentaje Medio de Energía en el Coeficiente de Ondeleta "d3" del EEG Sujeto 1 Niños Sanos.

Al analizar su variabilidad se tiene un coeficiente de variación que va desde 0.186 para la derivación P4 hasta 0.321 en C3. La derivación Cz tuvo una Curtosis positiva, lo que implica que la curva está más picuda que la curva normal, caso contrario en las demás derivaciones que presentaron una Curtosis negativa. Sólo la derivación P4 presenta un comportamiento simétrico al tener su Coeficiente de Asimetría cercano a cero.

En la Tabla 4.22 se muestran las estadísticas descriptivas del coeficiente de detalle de ondeleta “d4” en el Sujeto 1 Niños Sanos. Como se puede apreciar este sujeto tuvo en promedio 0.159 de la energía contenida en la derivación C3, 0.142 en C4, 0.266 en P3, 0.239 en P4, 0.189 en Cz y 0.259 en Pz (Figura 4.57).

Medidas Descriptivas	Derivaciones					
	C3	C4	P3	P4	Cz	Pz
Mínimo	0.056	0.086	0.133	0.129	0.114	0.094
Media	0.159	0.142	0.266	0.239	0.189	0.259
Desviación Estándar	0.049	0.047	0.067	0.067	0.049	0.071
Máximo	0.252	0.269	0.371	0.382	0.301	0.388
Curtosis	-0.154	1.087	-0.646	-0.640	-0.464	-0.026
Coeficiente de Asimetría	0.122	1.087	0.045	0.204	0.417	-0.287
Mediana	0.161	0.132	0.261	0.248	0.184	0.265
Rango	0.196	0.183	0.238	0.253	0.187	0.294
Coeficiente de Variación	0.308	0.332	0.253	0.279	0.262	0.274

Tabla 4.22 Estadísticas Descriptivas del Porcentaje de Energía en el Coeficiente de Ondeleta "d4" del EEG Sujeto 1 Niños Sanos.

En promedio el porcentaje de energía contenida en el coeficiente de detalle “d4” va de 14.2% para C4 hasta 26.6% en P3. Al analizar su variabilidad se tiene un coeficiente de variación que va desde 0.253 para la derivación P3 hasta 0.332 en C4. La derivación C4 tuvo una Curtosis positiva, lo que implica que la curva de distribución está más picuda que la normal, caso contrario en las demás derivaciones, donde la Curtosis fue negativa. La derivación P3 presenta un comportamiento simétrico al tener su Coeficiente de Asimetría cercano a cero.

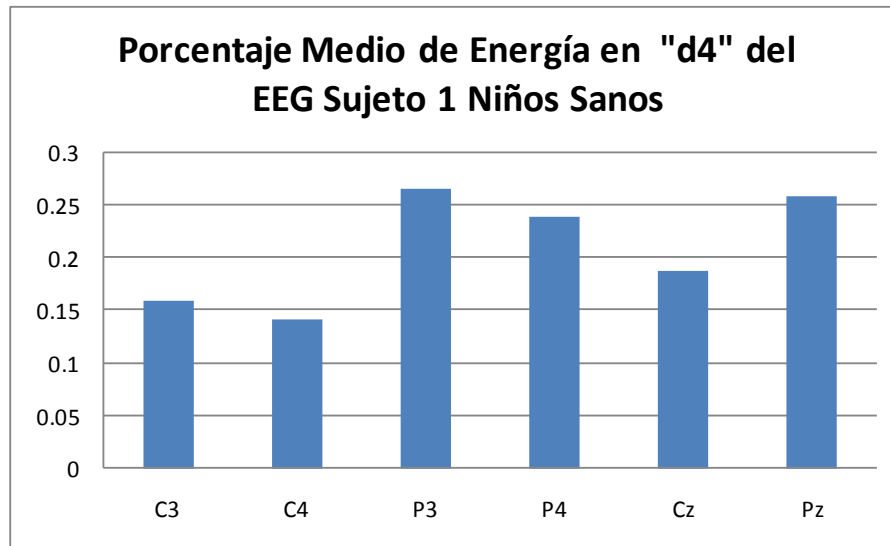


Figura 4.57 Porcentaje Medio de Energía en el Coeficiente de Ondeleta "d4" del EEG Sujeto 1 Niños Sanos.

En la Tabla 4.23 se muestran las estadísticas descriptivas del coeficiente de detalle de ondeleta "d5" en el Sujeto 1 Niños Sanos. Como se puede apreciar este sujeto tuvo en promedio 0.1458 de la energía contenida en la derivación C3, 0.1399 en C4, 0.1387 en P3, 0.1346 en P4, 0.1494 en Cz y 0.1460 en Pz (Figura 4.58), esto implica que en promedio el porcentaje de energía contenida en el coeficiente de detalle "d5" va desde 13.46% para P4 al 14.94% para Cz.

Medidas Descriptivas	Derivaciones					
	C3	C4	P3	P4	Cz	Pz
Mínimo	0.0820	0.0540	0.0560	0.0670	0.0690	0.0690
Media	0.1458	0.1399	0.1387	0.1346	0.1494	0.1460
Desviación Estándar	0.0448	0.0508	0.0588	0.0574	0.0466	0.0623
Máximo	0.2490	0.2380	0.2710	0.2710	0.2250	0.2860
Curtosis	0.3235	-0.3457	-0.3714	-0.3088	-1.2111	-0.4756
Coeficiente de Asimetría	0.8490	0.3460	0.6534	0.7350	0.0910	0.6724
Mediana	0.1405	0.1350	0.1285	0.1200	0.1460	0.1395
Rango	0.1670	0.1840	0.2150	0.2040	0.1560	0.2170
Coeficiente de Variación	0.3075	0.3630	0.4241	0.4262	0.3116	0.4268

Tabla 4.23 Estadísticas Descriptivas del Porcentaje de Energía en el Coeficiente de Ondeleta "d5" del EEG Sujeto 1 Niños Sanos.

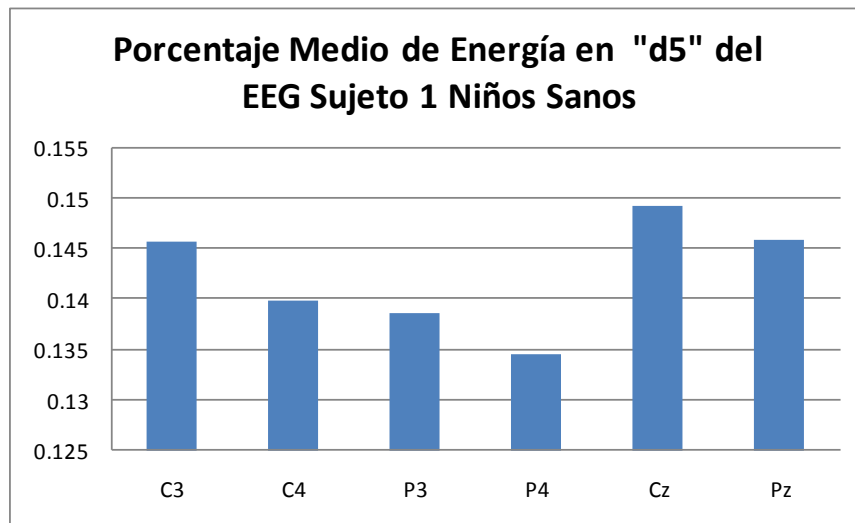


Figura 4.58 Porcentaje Medio de Energía en el Coeficiente de Ondeleta "d5" del EEG Sujeto 1 Niños Sanos.

Al analizar su variabilidad notamos que es grande y tiene un coeficiente de variación que va desde 0.3075 para la derivación C3 hasta 0.4268 en Pz. La derivación C3 tuvo una Curtosis positiva, lo que implica que la curva de distribución está más picuda que la normal, caso contrario en las demás derivaciones, donde la Curtosis fue negativa. La derivación Cz presenta un comportamiento simétrico al tener su Coeficiente de Asimetría cercano a cero.

En la Tabla 4.24 se muestran las estadísticas descriptivas del coeficiente de detalle de ondeleta "d6" en el Sujeto 1 Niños Sanos. Como se puede apreciar este sujeto tuvo en promedio 0.1060 de la energía contenida en la derivación C3, 0.0924 en C4, 0.1061 en P3, 0.0849 en P4, 0.1007 en Cz y 0.0971 en Pz (Figura 4.59), esto implica que en promedio el porcentaje de energía contenida en el coeficiente de detalle "d6" es menor al 11%.

Medidas Descriptivas	Derivaciones					
	C3	C4	P3	P4	Cz	Pz
Mínimo	0.0240	0.0160	0.0210	0.0140	0.0120	0.0200
Media	0.1060	0.0924	0.1060	0.0849	0.1007	0.0971
Desviación Estándar	0.0467	0.0484	0.0447	0.0380	0.0474	0.0412
Máximo	0.1820	0.1990	0.1940	0.1760	0.1770	0.1970
Curtosis	-0.8527	-0.2471	-0.5675	0.7281	-0.7093	0.5883
Coefficiente de Asimetría	-0.2716	0.5572	0.3117	0.5355	-0.2875	0.2867
Mediana	0.1135	0.0820	0.1010	0.0775	0.1010	0.0945
Rango	0.1580	0.1830	0.1730	0.1620	0.1650	0.1770
Coefficiente de Variación	0.4401	0.5236	0.4220	0.4471	0.4707	0.4242

Tabla 4.24 Estadísticas Descriptivas del Porcentaje de Energía en el Coeficiente de Ondeleta "d6" del EEG Sujeto 1 Niños Sanos.

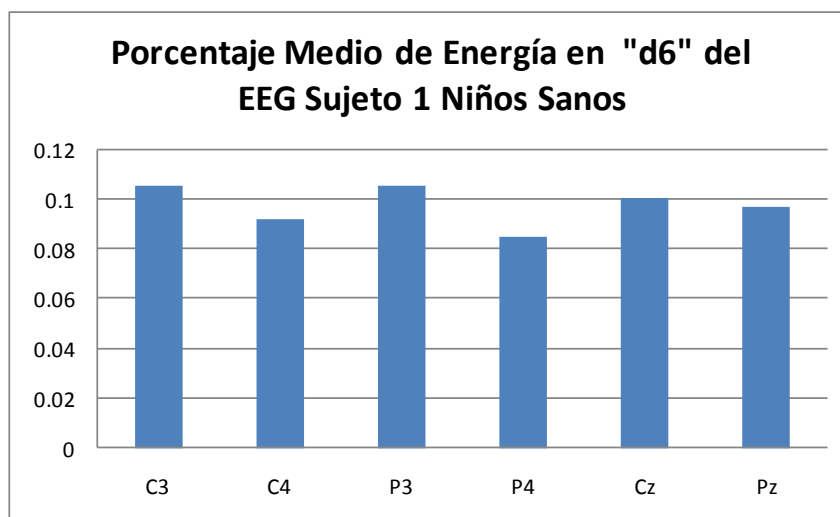


Figura 4.59 Porcentaje Medio de Energía en el Coeficiente de Ondeleta "d6" del EEG Sujeto 1 Niños Sanos.

Al analizar su variabilidad encontramos de nuevo variabilidad alta, tiene un coeficiente de variación que va desde 0.4242 para la derivación Pz hasta 0.5236 en C4. Las derivaciones Parietales P4 y Pz tuvieron una Curtosis positiva, lo que implica que la curva de distribución está más picuda que la normal, caso contrario en las demás derivaciones, donde la Curtosis fue negativa. Ninguna de las derivaciones presenta un comportamiento simétrico al tener su Coeficiente de Asimetría diferente de cero.

En la Tabla 4.25 se muestran las estadísticas descriptivas del coeficiente de detalle de ondeleta “d3” en el Sujeto 2 Niños Sanos. Como se puede apreciar este sujeto tuvo en promedio 0.044 de la energía contenida en la derivación C3, 0.039 en C4, 0.058 en P3, 0.048 en P4, 0.048 en Cz y 0.051 en Pz (Figura 4.60), esto implica que en promedio el porcentaje de energía contenida en el coeficiente de detalle “d3” no alcanza ni el 6%.

Medidas Descriptivas	Derivaciones					
	C3	C4	P3	P4	Cz	Pz
Mínimo	0.027	0.014	0.037	0.024	0.032	0.024
Media	0.044	0.039	0.058	0.048	0.048	0.051
Desviación Estándar	0.009	0.011	0.013	0.012	0.013	0.012
Máximo	0.066	0.057	0.088	0.065	0.090	0.082
Curtois	0.419	-0.264	-0.117	-0.592	3.528	0.827
Coficiente de Asimetría	0.387	-0.259	0.587	-0.430	1.390	0.377
Mediana	0.044	0.040	0.057	0.048	0.048	0.049
Rango	0.039	0.043	0.051	0.041	0.058	0.058
Coficiente de Variación	0.203	0.275	0.231	0.241	0.272	0.246

Tabla 4.25 Estadísticas Descriptivas del Porcentaje de Energía en el Coeficiente de Ondeleta "d3" del EEG Sujeto 2 Niños Sanos.

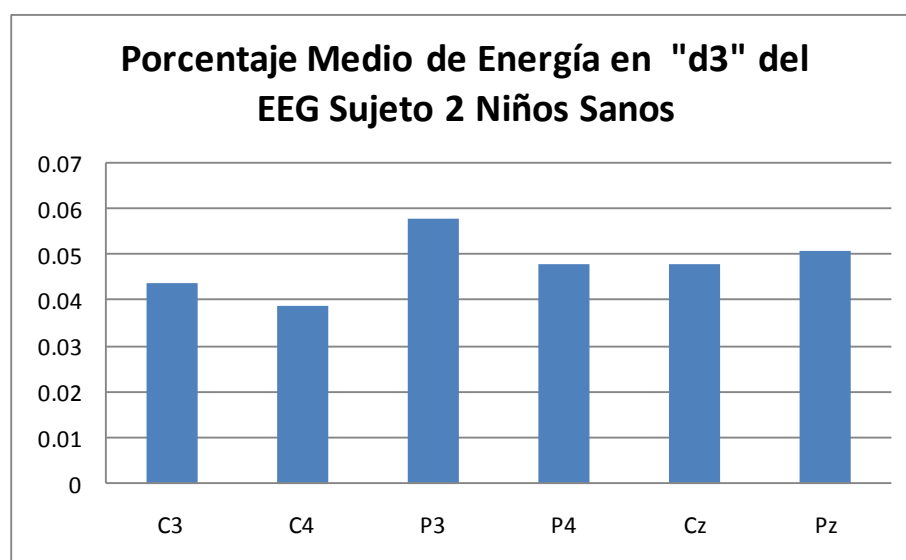


Figura 4.60 Porcentaje Medio de Energía en el Coeficiente de Ondeleta "d3" del EEG Sujeto 2 Niños Sanos.

Al analizar su variabilidad se tiene un coeficiente de variación que va desde 0.203 para la derivación C3 hasta 0.275 en C4. Las derivaciones C3, Cz y Pz tuvieron una Curtosis positiva, lo que implica que la curva está más picuda que la curva normal, caso contrario en las demás derivaciones que presentaron valores negativos, indicativo de que tienen la curvatura más achatada que la curva normal. Ninguna derivación presenta un comportamiento simétrico al tener su Coeficiente de Asimetría diferente de cero.

En la Tabla 4.26 se muestran las estadísticas descriptivas del coeficiente de detalle de ondeleta “d4” en el Sujeto 2 Niños Sanos. Como se puede apreciar este sujeto tuvo en promedio 0.159 de la energía contenida en la derivación C3, 0.142 en C4, 0.266 en P3, 0.239 en P4, 0.189 en Cz y 0.259 en Pz (Figura 4.61). En promedio el porcentaje de energía capturado por el coeficiente de ondeleta de detalle va del 14.2% al 26.6%.

Medidas Descriptivas	Derivaciones					
	C3	C4	P3	P4	Cz	Pz
Mínimo	0.056	0.086	0.133	0.129	0.114	0.094
Media	0.159	0.142	0.266	0.239	0.189	0.259
Desviación Estándar	0.049	0.047	0.067	0.067	0.049	0.071
Máximo	0.252	0.269	0.371	0.382	0.301	0.388
Curtosis	-0.154	1.087	-0.646	-0.640	-0.464	-0.026
Coeficiente de Asimetría	0.122	1.087	0.045	0.204	0.417	-0.287
Mediana	0.161	0.132	0.261	0.248	0.184	0.265
Rango	0.196	0.183	0.238	0.253	0.187	0.294
Coeficiente de Variación	0.308	0.332	0.253	0.279	0.262	0.274

Tabla 4.26 Estadísticas Descriptivas del Porcentaje de Energía en el Coeficiente de Ondeleta "d4" del EEG Sujeto 2 Niños Sanos.

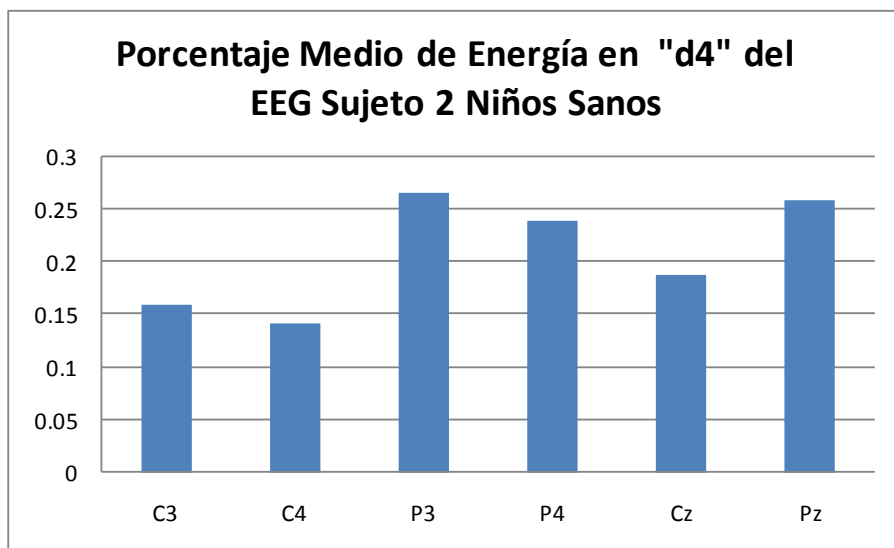


Figura 4.61 Porcentaje Medio de Energía en el Coeficiente de Ondeleta "d4" del EEG Sujeto 2 Niños Sanos.

Al analizar su variabilidad se tiene un coeficiente de variación que va desde 0.253 para la derivación C3 hasta 0.332 en P4. La derivación C4 tuvo una Curtosis positiva, lo que implica que la curva de distribución está más picuda que la normal, caso contrario en las demás derivaciones, donde la Curtosis fue negativa. La derivación P3 presentó un comportamiento simétrico al tener su Coeficiente de Asimetría cercano a cero.

En la Tabla 4.27 se muestran las estadísticas descriptivas del coeficiente de detalle de ondeleta "d5" en el Sujeto 2 Niños Sanos. Como se puede apreciar este sujeto tuvo en promedio 0.1368 de la energía contenida en la derivación C3, 0.1106 en C4, 0.1302 en P3, 0.1063 en P4, 0.1763 en Cz y 0.1224 en Pz (Figura 4.62), esto implica que en promedio el porcentaje de energía contenida en el coeficiente de detalle "d5" es menor al 18% .

Al analizar su variabilidad encontramos que tiene un coeficiente de variación que va desde 0.2865 para la derivación P3 hasta 0.4128 en C4. Las derivaciones C4 y Cz tuvieron una Curtosis positiva, lo que implica que la curva de distribución está más picuda que la normal, caso contrario en las demás derivaciones, donde la Curtosis fue negativa. Ninguna derivación presenta un comportamiento simétrico al tener su Coeficiente de Asimetría distinto de cero.

Medidas Descriptivas	Derivaciones					
	C3	C4	P3	P4	Cz	Pz
Mínimo	0.0720	0.0440	0.0700	0.0400	0.0860	0.0410
Media	0.1368	0.1106	0.1302	0.1063	0.1763	0.1224
Desviación Estándar	0.0411	0.0457	0.0373	0.0363	0.0658	0.0426
Máximo	0.2180	0.2380	0.1970	0.1830	0.3550	0.1940
Curtosis	-0.3702	2.7893	-1.0267	-0.6254	0.9067	-0.8359
Coeficiente de Asimetría	0.4403	1.5097	0.1369	0.2823	0.8308	0.1952
Mediana	0.1330	0.1030	0.1290	0.0975	0.1740	0.1135
Rango	0.1460	0.1940	0.1270	0.1430	0.2690	0.1530
Coeficiente de Variación	0.3003	0.4128	0.2865	0.3417	0.3734	0.3485

Tabla 4.27 Estadísticas Descriptivas del Porcentaje de Energía en el Coeficiente de Ondeleta "d5" del EEG Sujeto 2 Niños Sanos.

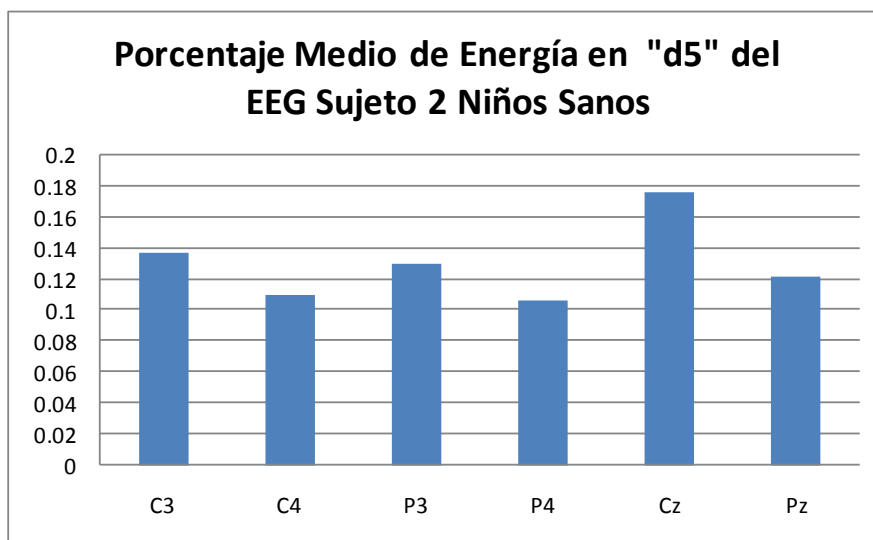


Figura 4.62 Porcentaje Medio de Energía en el Coeficiente de Ondeleta "d5" del EEG Sujeto 2 Niños Sanos.

En la Tabla 4.28 se muestran las estadísticas descriptivas del coeficiente de detalle de ondeleta “d6” en el Sujeto 2 Niños Sanos. Como se puede apreciar este sujeto tuvo en promedio 0.0855 de la energía contenida en la derivación C3, 0.0619 en C4, 0.0805 en P3, 0.0642 en P4, 0.0873 en Cz y 0.0670 en Pz (Figura 4.63), esto implica que en promedio el porcentaje de energía contenida en el coeficiente de detalle “d6” es menor al 9%.

Medidas Descriptivas	Derivaciones					
	C3	C4	P3	P4	Cz	Pz
Mínimo	0.0060	0.0090	0.0300	0.0130	0.0200	0.0220
Media	0.0855	0.0619	0.0805	0.0642	0.0873	0.0670
Desviación Estándar	0.0483	0.0338	0.0469	0.0346	0.0418	0.0360
Máximo	0.2350	0.1330	0.2500	0.1570	0.1940	0.1860
Curtosis	2.6712	-0.4621	6.7960	0.7637	0.5085	4.5173
Coefficiente de Asimetría	1.0463	0.5159	2.3383	0.8914	0.4911	1.8939
Mediana	0.0895	0.0515	0.0645	0.0570	0.0870	0.0585
Rango	0.2290	0.1240	0.2200	0.1440	0.1740	0.1640
Coefficiente de Variación	0.5649	0.5466	0.5831	0.5386	0.4792	0.5374

Tabla 4.28 Estadísticas Descriptivas del Porcentaje de Energía en el Coeficiente de Ondeleta "d6" del EEG Sujeto 2 Niños Sanos.

Al analizar su variabilidad encontramos una variabilidad alta, con un coeficiente de variación que va desde 0.4792 para la derivación Cz hasta 0.5831 en P3. Las derivaciones C3, P3, P4, Cz y Pz tuvieron una Curtosis positiva, lo que implica que la curva de distribución está más picuda que la normal, caso contrario en la derivación C4, donde la Curtosis fue negativa. Ninguna derivación presenta un comportamiento simétrico al tener su Coeficiente de Asimetría distinto a cero.

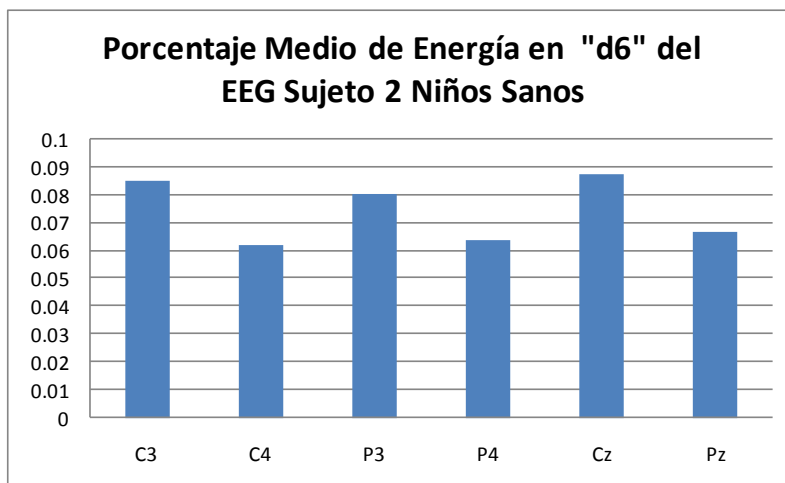


Figura 4.63 Porcentaje Medio de Energía en el Coeficiente de Ondeleta "d6" del EEG Sujeto 2 Niños Sanos.

En la Tabla 4.29 se muestran las estadísticas descriptivas del coeficiente de detalle de ondeleta "d3" en el Sujeto 3 Niños Sanos. Como se puede apreciar este sujeto tuvo en promedio 0.103 de la energía contenida en la derivación C3, 0.109 en C4, 0.112 en P3, 0.119 en P4, 0.103 en Cz y 0.111 en Pz (Figura 4.64), esto implica que en promedio el porcentaje de energía contenida en el coeficiente de detalle "d3" es menor al 12%.

Medidas Descriptivas	Derivaciones					
	C3	C4	P3	P4	Cz	Pz
Mínimo	0.074	0.056	0.068	0.068	0.058	0.069
Media	0.103	0.109	0.112	0.119	0.103	0.111
Desviación Estándar	0.016	0.023	0.019	0.029	0.020	0.022
Máximo	0.132	0.144	0.143	0.194	0.154	0.148
Curtosis	-0.932	-0.377	-0.435	0.651	0.930	-0.521
Coeficiente de Asimetría	0.013	-0.464	-0.495	0.772	0.275	-0.151
Mediana	0.108	0.116	0.116	0.113	0.102	0.111
Rango	0.058	0.088	0.075	0.126	0.096	0.079
Coeficiente de Variación	0.160	0.209	0.170	0.244	0.197	0.193

Tabla 4.29 Estadísticas Descriptivas del Porcentaje de Energía en el Coeficiente de Ondeleta "d3" del EEG Sujeto 3 Niños Sanos.

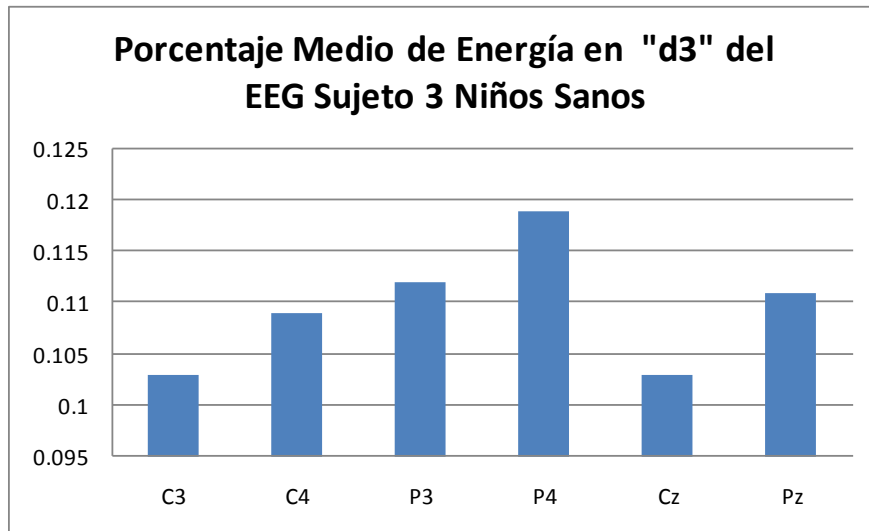


Figura 4.64 Porcentaje Medio de Energía en el Coeficiente de Ondeleta "d3" del EEG Sujeto 3 Niños Sanos.

Al analizar su variabilidad se tuvo un coeficiente de variación que va desde 0.160 para la derivación C3 hasta 0.244 en P4. Las derivaciones P4 y Cz tienen una Curtosis positiva, lo que implica que la curva está más picuda que la curva normal. Las demás derivaciones presentaron una Curtosis negativa, indicativo de que tienen la curvatura más achatada que la curva normal. La derivación C3 presenta un comportamiento simétrico al tener su Coeficiente de Asimetría cercano a cero.

En la Tabla 4.30 se muestran las estadísticas descriptivas del coeficiente de detalle de ondeleta "d4" en el Sujeto 3 Niños Sanos. Como se puede apreciar este sujeto tuvo en promedio 0.283 de la energía contenida en la derivación C3, 0.280 en C4, 0.344 en P3, 0.326 en P4, 0.302 en Cz y 0.359 en Pz (Figura 4.65). En promedio el porcentaje de energía capturado por el coeficiente de ondeleta de detalle va del 28.3% al 35.9%. Al analizar su variabilidad se tiene un coeficiente de variación que va desde 0.201 para la derivación C4 hasta 0.248 en Cz.

Las derivaciones C4, P3 y Pz tuvieron una Curtosis positiva, lo que implica que la curva de distribución está más picuda que la normal, caso contrario en las demás derivaciones, donde la Curtosis fue negativa. La derivación P4 presentó un comportamiento simétrico al tener su Coeficiente de Asimetría cercano a cero.

Medidas Descriptivas	Derivaciones					
	C3	C4	P3	P4	Cz	Pz
Mínimo	0.184	0.200	0.213	0.181	0.180	0.175
Media	0.283	0.280	0.344	0.326	0.302	0.359
Desviación Estándar	0.064	0.056	0.076	0.067	0.075	0.081
Máximo	0.413	0.409	0.562	0.457	0.453	0.525
Curtosis	-0.664	0.259	1.794	-0.044	-0.329	0.428
Coeficiente de Asimetría	0.345	0.869	1.034	-0.015	0.270	-0.233
Mediana	0.281	0.263	0.326	0.325	0.309	0.371
Rango	0.229	0.209	0.349	0.276	0.273	0.350
Coeficiente de Variación	0.227	0.201	0.220	0.204	0.248	0.226

Tabla 4.30 Estadísticas Descriptivas del Porcentaje de Energía en el Coeficiente de Ondeleta "d4" del EEG Sujeto 3 Niños Sanos.

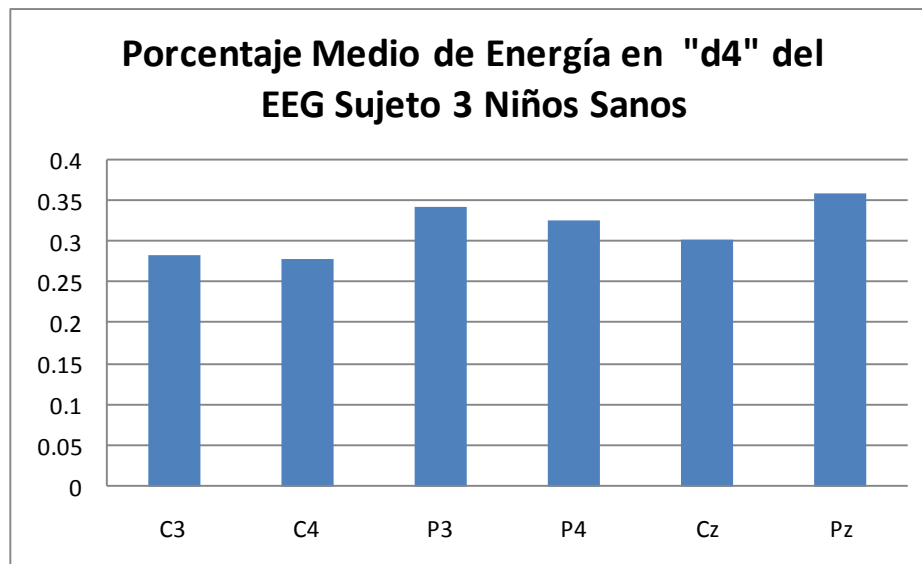


Figura 4.65 Porcentaje Medio de Energía en el Coeficiente de Ondeleta "d4" del EEG Sujeto 3 Niños Sanos.

En la Tabla 4.31 se muestran las estadísticas descriptivas del coeficiente de detalle de ondeleta “d5” en el Sujeto 3 Niños Sanos. Como se puede apreciar este sujeto tuvo en promedio 0.1098 de la energía contenida en la derivación C3, 0.0980 en C4, 0.0936 en P3, 0.0728 en P4, 0.1294 en Cz y 0.0889 en Pz (Figura 4.66), esto implica que en promedio el porcentaje de energía contenida en el coeficiente de detalle “d5” es menor al 13%.

Medidas Descriptivas	Derivaciones					
	C3	C4	P3	P4	Cz	Pz
Mínimo	0.0410	0.0430	0.0470	0.0400	0.0730	0.0430
Media	0.1098	0.0980	0.0936	0.0728	0.1294	0.0889
Desviación Estándar	0.0381	0.0408	0.0315	0.0287	0.0400	0.0339
Máximo	0.1940	0.2340	0.1670	0.1570	0.2230	0.1940
Curtosis	-0.0887	4.0750	-0.0479	2.0179	-0.0314	2.8567
Coficiente de Asimetría	0.4016	1.5876	0.7163	1.4768	0.6408	1.5053
Mediana	0.1095	0.0895	0.0870	0.0600	0.1260	0.0820
Rango	0.1530	0.1910	0.1200	0.1170	0.1500	0.1510
Coficiente de Variación	0.3472	0.4166	0.3360	0.3950	0.3094	0.3815

Tabla 4.31 Estadísticas Descriptivas del Porcentaje de Energía en el Coeficiente de Ondeleta "d5" del EEG Sujeto 3 Niños Sanos.

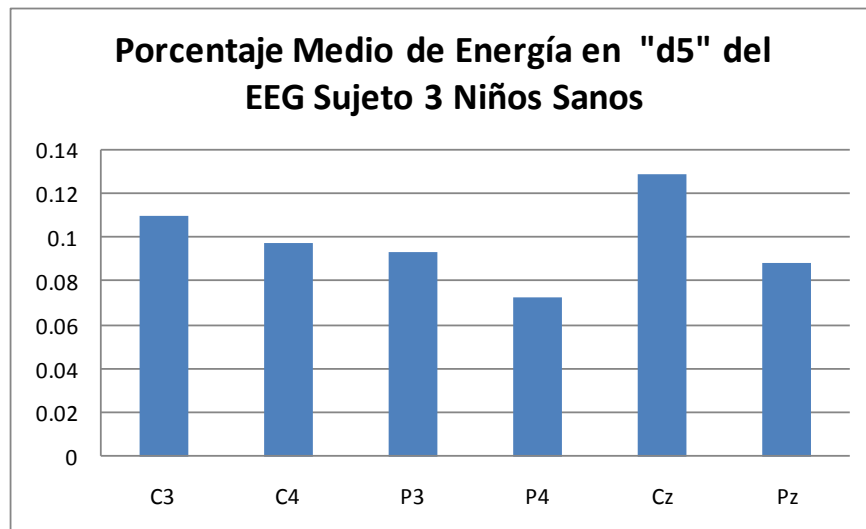


Figura 4.66 Porcentaje Medio de Energía en el Coeficiente de Ondeleta "d5" del EEG Sujeto 3 Niños Sanos.

Al analizar su variabilidad encontramos que tiene un coeficiente de variación que va desde 0.3094 para la derivación Cz hasta 0.4166 en C4. Las derivaciones C4, P4 y Pz tuvieron una Curtosis positiva, lo que implica que la curva de distribución está más picuda que la normal, caso contrario en las demás derivaciones, donde la Curtosis fue negativa. Ninguna derivación presenta un comportamiento simétrico al tener su Coeficiente de Asimetría diferente de cero.

En la Tabla 4.32 se muestran las estadísticas descriptivas del coeficiente de detalle de ondeleta “d6” en el Sujeto 3 Niños Sanos. Como se puede apreciar este sujeto tuvo en promedio 0.0723 de la energía contenida en la derivación C3, 0.0763 en C4, 0.0758 en P3, 0.0547 en P4, 0.0857 en Cz y 0.0673 en Pz (Figura 4.67), esto implica que en promedio el porcentaje de energía contenida en el coeficiente de detalle “d6” es menor al 8.6%. Al analizar su variabilidad encontramos una variabilidad alta, con un coeficiente de variación que va desde 0.4986 para la derivación P4 hasta 0.6720 en Pz. Todas las derivaciones tuvieron una Curtosis positiva, lo que implica que la curva de distribución está más picuda que la normal. Ninguna derivación presenta un comportamiento simétrico al tener su Coeficiente de Asimetría distinto de cero.

Medidas Descriptivas	C3	C4	P3	P4	Cz	Pz
Mínimo	0.0240	0.0130	0.0280	0.0210	0.0180	0.0230
Media	0.0723	0.0763	0.0758	0.0547	0.0857	0.0673
Desviación Estándar	0.0421	0.0476	0.0445	0.0273	0.0526	0.0452
Máximo	0.2150	0.1820	0.2280	0.1230	0.2770	0.2460
Curtosis	4.6453	0.0484	4.8660	0.8816	7.0350	10.5528
Coeficiente de Asimetría	1.7801	0.9550	1.8980	1.1607	2.2090	2.8563
Mediana	0.0635	0.0640	0.0675	0.0480	0.0750	0.0580
Rango	0.1910	0.1690	0.2000	0.1020	0.2590	0.2230
Coeficiente de Variación	0.5825	0.6233	0.5870	0.4986	0.6136	0.6720

Tabla 4.32 Estadísticas Descriptivas del Porcentaje de Energía en el Coeficiente de Ondeleta "d6" del EEG Sujeto 3 Niños Sanos.

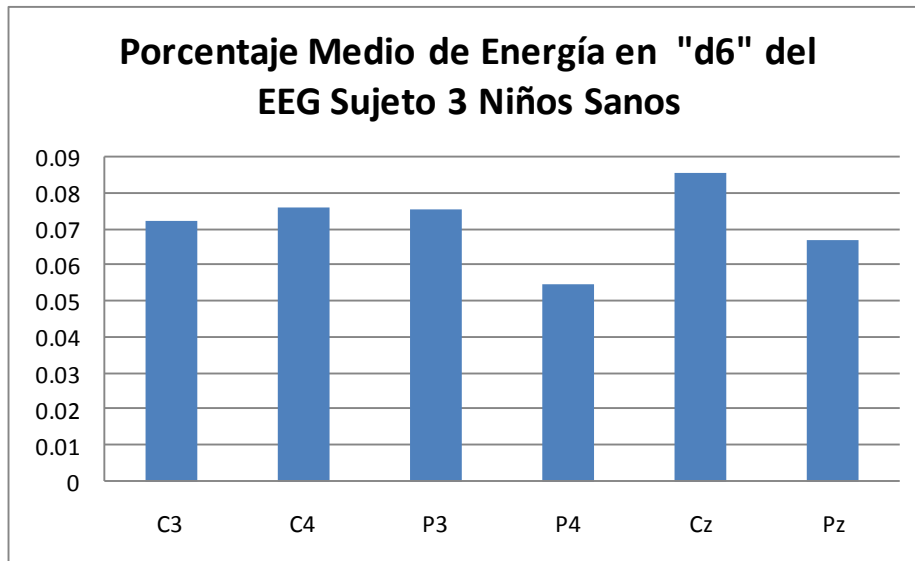


Figura 4.67 Porcentaje Medio de Energía en el Coeficiente de Ondeleta "d6" del EEG Sujeto 3 Niños Sanos.

A pesar de que el Sujeto 4 del grupo de Niños Sanos tuvo la mayoría de sus segmentos con la mayor energía en el coeficiente de detalle "d4", en todas sus derivaciones, el porcentaje aportado por los coeficientes de detalle es muy pequeño y no vale la pena analizar los coeficientes de detalle. Para el Sujeto 4 de los Niños Sanos, el coeficiente que capturó la mayoría de su energía fue el coeficiente de ondeleta suavizado "s6".

Al analizar al grupo de Adultos Sanos se encontró, al igual que en el grupo de Niños Sanos" que todos los Sujetos tuvieron la mayoría de sus segmentos con la máxima energía en el coeficiente de detalle "d4". Las Tablas 4.33, 4.34, 4.35 y 4.36 representan el porcentaje de segmentos que tuvieron la mayor energía en los coeficientes de ondeleta de detalle "d6", "d5", "d4", "d3", "d2", y "d1", para los Sujetos 1, 2, 3 y 4 respectivamente del grupo de Adultos Sanos. No existió en ningún sujeto, ni en ningún segmento, la máxima energía capturada en "d2" ni en "d1". Por tal motivo se analizarán sólo las estadísticas descriptivas de los coeficientes de detalle de ondeleta "d3", "d4", "d5" y "d6".

Porcentaje de Segmentos Con La Mayor Energía Contendida en Los Coeficientes de Detalle de Ondeleta Sujeto 1 Adultos Sanos						
	C3	C4	P3	P4	Cz	Pz
d6	0.00%	0.00%	0.00%	0.00%	0.00%	0.00%
d5	4.00%	4.17%	0.00%	0.00%	4.17%	0.00%
d4	88.00%	87.50%	95.83%	100.00%	87.50%	95.83%
d3	4.00%	8.33%	4.17%	0.00%	8.33%	4.17%
d2	0.00%	0.00%	0.00%	0.00%	0.00%	0.00%
d1	0.00%	0.00%	0.00%	0.00%	0.00%	0.00%

Tabla 4.33 Porcentaje de segmentos con la mayor energía en los coeficientes de ondeleta de detalle, sujeto 1 Adultos Sanos

Porcentaje de Segmentos Con La Mayor Energía Contendida en Los Coeficientes de Detalle de Ondeleta Sujeto 2 Adultos Sanos						
	C3	C4	P3	P4	Cz	Pz
d6	4.00%	8.33%	0.00%	0.00%	4.17%	0.00%
d5	4.00%	4.17%	0.00%	0.00%	4.17%	0.00%
d4	92.00%	87.50%	100.00%	100.00%	91.67%	100.00%
d3	0.00%	0.00%	0.00%	0.00%	0.00%	0.00%
d2	0.00%	0.00%	0.00%	0.00%	0.00%	0.00%
d1	0.00%	0.00%	0.00%	0.00%	0.00%	0.00%

Tabla 4.34 Porcentaje de segmentos con la mayor energía en los coeficientes de ondeleta de detalle, sujeto 2 Adultos Sanos

Porcentaje de Segmentos Con La Mayor Energía Contendida en Los Coeficientes de Detalle de Ondeleta Sujeto 3 Adultos Sanos						
	C3	C4	P3	P4	Cz	Pz
d6	4.00%	4.17%	4.17%	4.17%	4.17%	4.17%
d5	4.00%	0.00%	4.17%	0.00%	0.00%	0.00%
d4	88.00%	95.83%	91.67%	95.83%	95.83%	95.83%
d3	0.00%	0.00%	0.00%	0.00%	0.00%	0.00%
d2	0.00%	0.00%	0.00%	0.00%	0.00%	0.00%
d1	0.00%	0.00%	0.00%	0.00%	0.00%	0.00%

Tabla 4.35 Porcentaje de segmentos con la mayor energía en los coeficientes de ondeleta de detalle, sujeto 3 Adultos Sanos

Porcentaje de Segmentos Con La Mayor Energía Contendida en Los Coeficientes de Detalle de Ondeleta Sujeto 4 Adultos Sanos						
	C3	C4	P3	P4	Cz	Pz
d6	4.00%	8.33%	0.00%	0.00%	0.00%	0.00%
d5	0.00%	4.17%	0.00%	0.00%	0.00%	0.00%
d4	92.00%	87.50%	100.00%	100.00%	100.00%	100.00%
d3	0.00%	0.00%	0.00%	0.00%	0.00%	0.00%
d2	0.00%	0.00%	0.00%	0.00%	0.00%	0.00%
d1	0.00%	0.00%	0.00%	0.00%	0.00%	0.00%

Tabla 4.36 Porcentaje de segmentos con la mayor energía en los coeficientes de ondeleta de detalle, sujeto 4 Adultos Sanos

En la Tabla 4.37 se muestran las estadísticas descriptivas del coeficiente de detalle de ondeleta “d3” en el Sujeto 1 Adultos Sanos. Como se puede apreciar este sujeto tuvo en promedio 0.1210 de la energía contenida en la derivación C3, 0.1175 en C4, 0.1608 en P3, 0.1455 en P4, 0.1371 en Cz y 0.1483 en Pz (Figura 4.68), esto implica que en promedio el porcentaje de energía contenida en el coeficiente de detalle “d3” está entre 11.75% y 16.08%.

Medidas Descriptivas	Derivaciones					
	C3	C4	P3	P4	Cz	Pz
Mínimo	0.0680	0.0630	0.0780	0.0640	0.0850	0.0740
Media	0.1210	0.1175	0.1608	0.1455	0.1371	0.1483
Desviación Estándar	0.0336	0.0409	0.0420	0.0544	0.0405	0.0476
Máximo	0.1950	0.2450	0.2620	0.3150	0.2550	0.2720
Curtosis	0.3257	3.6448	0.2441	2.9033	1.7842	0.9250
Coficiente de Asimetría	0.8292	1.7162	0.4119	1.3270	1.2234	0.9961
Mediana	0.1180	0.1090	0.1550	0.1365	0.1220	0.1410
Rango	0.1270	0.1820	0.1840	0.2510	0.1700	0.1980
Coficiente de Variación	0.2778	0.3485	0.2610	0.3740	0.2950	0.3207

Tabla 4.37 Estadísticas Descriptivas del Porcentaje de Energía en el Coeficiente de Ondeleta "d3" del EEG Sujeto 1 Adultos Sanos.

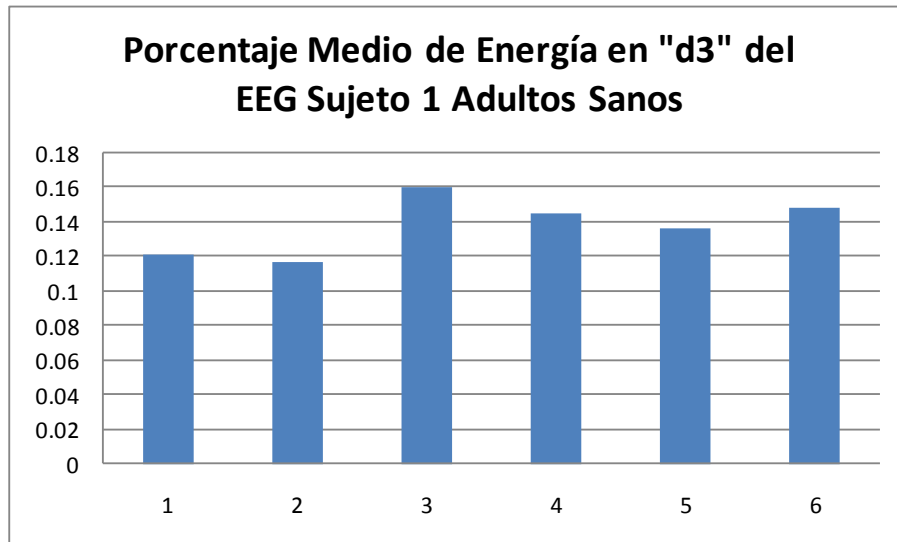


Figura 4.68 Porcentaje Medio de Energía en el Coeficiente de Ondeleta "d3" del EEG Sujeto 1 Adultos Sanos.

Al analizar su variabilidad se tiene un coeficiente de variación que va desde 0.2610 para la derivación P3 hasta 0.3740 en P4. Todas las derivaciones tuvieron una Curtosis positiva, lo que implica que la curva está más picuda que la curva normal. Ninguna derivación presenta un comportamiento simétrico al tener su Coeficiente de Asimetría distinto de cero.

En la Tabla 4.38 se muestran las estadísticas descriptivas del coeficiente de detalle de ondeleta "d4" en el Sujeto 1 Adultos Sanos. Como se puede apreciar este sujeto tuvo en promedio 0.194 de la energía contenida en la derivación C3, 0.210 en C4, 0.256 en P3, 0.273 en P4, 0.242 en Cz y 0.264 en Pz (Figura 4.69). En promedio el porcentaje de energía contenida en el coeficiente de detalle "d4" va de 19.4% en C3 hasta 27.3% en P4. Al analizar su variabilidad se nota variabilidad alta, con un coeficiente de variación que va desde 0.315 para la derivación P3 hasta 0.402 en C3. Las derivaciones C3, C4 y Cz tuvieron una Curtosis positiva, lo que implica que la curva de distribución está más picuda que la normal, caso contrario en las demás derivaciones, donde la Curtosis fue negativa. La derivación P3 presenta un comportamiento simétrico al tener su Coeficiente de Asimetría cercano a cero.

Medidas Descriptivas	Derivaciones					
	C3	C4	P3	P4	Cz	Pz
Mínimo	0.088	0.092	0.088	0.102	0.122	0.116
Media	0.194	0.210	0.256	0.273	0.242	0.264
Desviación Estándar	0.078	0.079	0.081	0.095	0.087	0.088
Máximo	0.431	0.434	0.391	0.435	0.469	0.427
Curtosis	2.489	1.863	-0.723	-0.842	0.707	-0.837
Coefficiente de Asimetría	1.339	1.254	0.085	0.377	0.918	0.353
Mediana	0.177	0.190	0.242	0.257	0.228	0.240
Rango	0.343	0.342	0.303	0.333	0.347	0.311
Coefficiente de Variación	0.402	0.376	0.315	0.348	0.358	0.335

Tabla 4.38 Estadísticas Descriptivas del Porcentaje de Energía en el Coeficiente de Ondeleta "d4" del EEG Sujeto 1 Adultos Sanos.

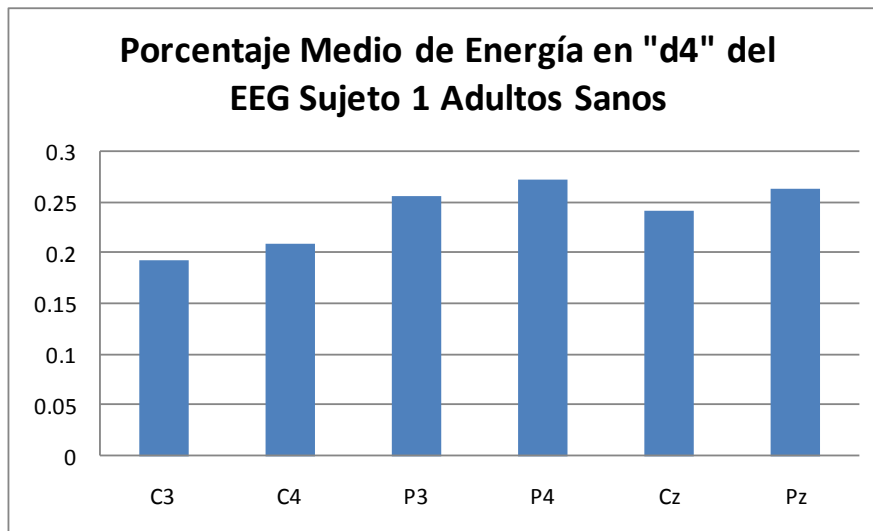


Figura 4.69 Porcentaje Medio de Energía en el Coeficiente de Ondeleta "d4" del EEG Sujeto 1 Adultos Sanos.

En la Tabla 4.39 se muestran las estadísticas descriptivas del coeficiente de detalle de ondeleta "d5" en el Sujeto 1 Adultos Sanos. Como se puede apreciar este sujeto tuvo en promedio 0.0809 de la energía contenida en la derivación C3, 0.0882 en C4, 0.0748 en P3, 0.0652 en P4, 0.0994 en Cz y 0.0788 en Pz (Figura 4.70), esto implica que en promedio el porcentaje de energía contenida en el coeficiente de detalle "d5" es menor al 8.9%.

Medidas Descriptivas	Derivaciones					
	C3	C4	P3	P4	Cz	Pz
Mínimo	0.0120	0.0300	0.0200	0.0240	0.0260	0.0300
Media	0.0809	0.0882	0.0748	0.0652	0.0994	0.0788
Desviación Estándar	0.0342	0.0335	0.0331	0.0247	0.0360	0.0331
Máximo	0.1590	0.1580	0.1220	0.1210	0.1800	0.1610
Curtosis	-0.0630	-0.3959	-1.4871	0.2942	0.3623	0.0220
Coefficiente de Asimetría	0.1889	0.4632	-0.0999	0.6232	0.4618	0.6222
Mediana	0.0790	0.0835	0.0795	0.0605	0.0940	0.0720
Rango	0.1470	0.1280	0.1020	0.0970	0.1540	0.1310
Coefficiente de Variación	0.4221	0.3798	0.4421	0.3790	0.3621	0.4204

Tabla 4.39 Estadísticas Descriptivas del Porcentaje de Energía en el Coeficiente de Ondeleta "d5" del EEG Sujeto 1 Adultos Sanos.

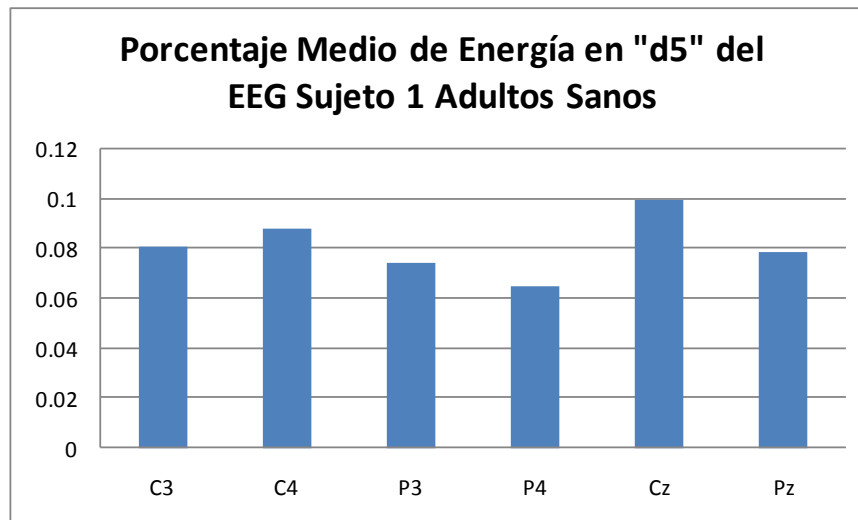


Figura 4.70 Porcentaje Medio de Energía en el Coeficiente de Ondeleta "d5" del EEG Sujeto 1 Adultos Sanos.

Al analizar su variabilidad notamos que es grande y tiene un coeficiente de variación que va desde 0.3621 para la derivación Cz hasta 0.4421 en P3. Las derivaciones P4, Cz y Pz tuvieron una Curtosis positiva, lo que implica que la curva de distribución está más picuda que la normal, caso contrario en las demás derivaciones, donde la Curtosis fue negativa. La derivación P3 presenta un comportamiento simétrico al tener su Coeficiente de Asimetría cercano a cero.

En la Tabla 4.40 se muestran las estadísticas descriptivas del coeficiente de detalle de ondeleta “d6” en el Sujeto 1 Adultos Sanos. Como se puede apreciar este sujeto tuvo en promedio 0.0549 de la energía contenida en la derivación C3, 0.0661 en C4, 0.0597 en P3, 0.0565 en P4, 0.0693 en Cz y 0.0628 en Pz (Figura 4.71), esto implica que en promedio el porcentaje de energía contenida en el coeficiente de detalle “d6” es menor al 7%.

Medidas Descriptivas	Derivaciones					
	C3	C4	P3	P4	Cz	Pz
Mínimo	0.0160	0.0220	0.0190	0.0110	0.0340	0.0170
Media	0.0549	0.0661	0.0597	0.0565	0.0693	0.0628
Desviación Estándar	0.0259	0.0318	0.0271	0.0256	0.0295	0.0279
Máximo	0.1210	0.1470	0.1310	0.1020	0.1370	0.1170
Curtosis	0.4375	0.4438	0.8294	-0.8333	0.0939	-0.6768
Coefficiente de Asimetría	0.7819	1.0267	0.8276	-0.0717	0.9663	0.3262
Mediana	0.0515	0.0545	0.0600	0.0570	0.0605	0.0570
Rango	0.1050	0.1250	0.1120	0.0910	0.1030	0.1000
Coefficiente de Variación	0.4718	0.4807	0.4541	0.4530	0.4254	0.4441

Tabla 4.40 Estadísticas Descriptivas del Porcentaje de Energía en el Coeficiente de Ondeleta "d6" del EEG Sujeto 1 Adultos Sanos.

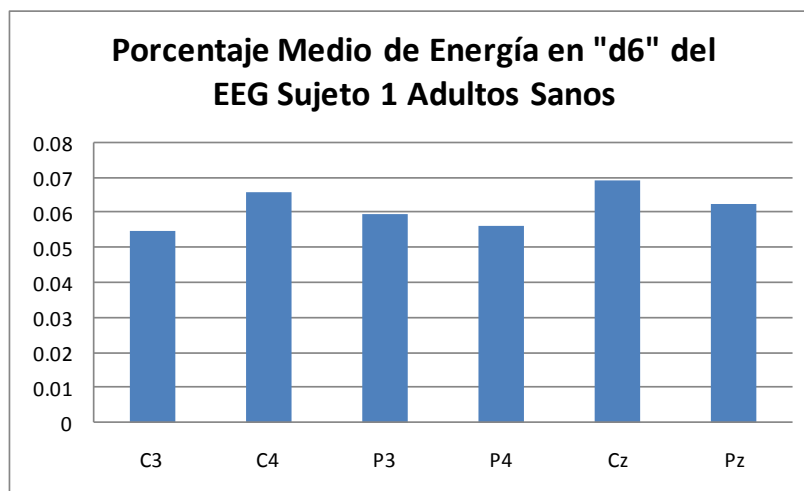


Figura 4.71 Porcentaje Medio de Energía en el Coeficiente de Ondeleta "d6" del EEG Sujeto 1 Adultos Sanos.

Al analizar su variabilidad encontramos de nuevo variabilidad alta, tiene un coeficiente de variación que va desde 0.4254 para la derivación Cz hasta 0.4807 en C4. Las derivaciones C3, C4, P3, y Cz tuvieron una Curtosis positiva, lo que implica que la curva de distribución está más picuda que la normal, caso contrario en las demás derivaciones, donde la Curtosis fue negativa. La derivación P4 presenta un comportamiento simétrico al tener su Coeficiente de Asimetría cercano a cero.

En la Tabla 4.41 se muestran las estadísticas descriptivas del coeficiente de detalle de ondeleta “d3” en el Sujeto 2 Adultos Sanos. Como se puede apreciar este sujeto tuvo en promedio 0.0766 de la energía contenida en la derivación C3, 0.0946 en C4, 0.1114 en P3, 0.1205 en P4, 0.0854 en Cz y 0.1129 en Pz (Figura 4.72), esto implica que en promedio el porcentaje de energía contenida en el coeficiente de detalle “d3” no alcanza el 12.1%. Al analizar su variabilidad se tiene un coeficiente de variación que va desde 0.2025 para la derivación P4 hasta 0.3283 en C3. La derivación Cz tuvo una Curtosis positiva, lo que implica que la curva está más picuda que la curva normal, caso contrario en las demás derivaciones que presentaron valores negativos, indicativo de que tienen la curvatura más achatada que la curva normal. Ninguna derivación presenta un comportamiento simétrico al tener su Coeficiente de Asimetría diferente de cero.

Medidas Descriptivas	Derivaciones					
	C3	C4	P3	P4	Cz	Pz
Mínimo	0.0400	0.0540	0.0630	0.0660	0.0490	0.0680
Media	0.0766	0.0946	0.1114	0.1205	0.0854	0.1129
Desviación Estándar	0.0252	0.0248	0.0300	0.0244	0.0231	0.0272
Máximo	0.1320	0.1500	0.1720	0.1700	0.1370	0.1810
Curtosis	-0.8359	-0.3351	-0.6428	-0.0679	-0.4745	0.1033
Coeficiente de Asimetría	0.1324	0.5253	0.3728	-0.2377	0.4658	0.3702
Mediana	0.0800	0.0890	0.1075	0.1180	0.0835	0.1185
Rango	0.0920	0.0960	0.1090	0.1040	0.0880	0.1130
Coeficiente de Variación	0.3283	0.2624	0.2692	0.2025	0.2709	0.2410

Tabla 4.41 Estadísticas Descriptivas del Porcentaje de Energía en el Coeficiente de Ondeleta "d3" del EEG Sujeto 2 Adultos Sanos.

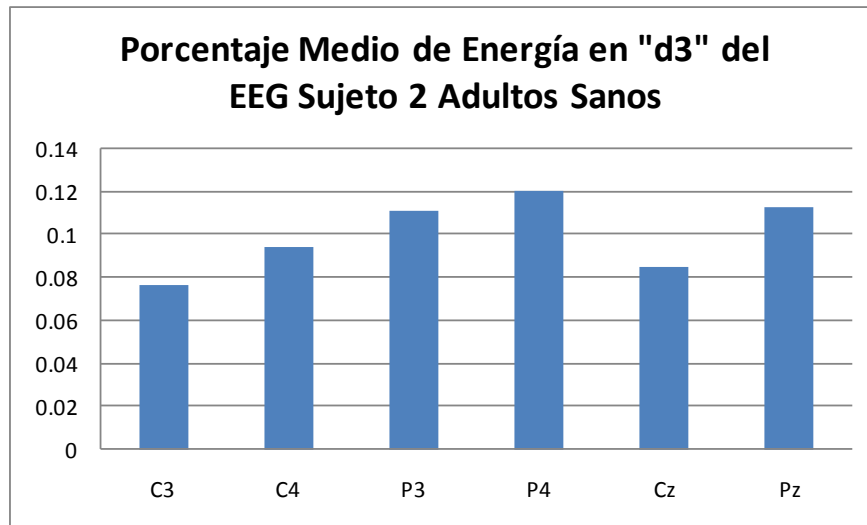


Figura 4.72 Porcentaje Medio de Energía en el Coeficiente de Ondeleta "d3" del EEG Sujeto 2 Adultos Sanos.

En la Tabla 4.42 se muestran las estadísticas descriptivas del coeficiente de detalle de ondeleta "d4" en el Sujeto 2 Adultos Sanos. Como se puede apreciar este sujeto tuvo en promedio 0.230 de la energía contenida en la derivación C3, 0.252 en C4, 0.304 en P3, 0.326 en P4, 0.277 en Cz y 0.342 en Pz (Figura 4.73). En promedio el porcentaje de energía capturado por el coeficiente de ondeleta de detalle va del 23% al 34.2%. Al analizar su variabilidad se tiene un coeficiente de variación que va desde 0.236 para la derivación P4 hasta 0.324 en P3.

Medidas Descriptivas	Derivaciones					
	C3	C4	P3	P4	Cz	Pz
Mínimo	0.105	0.110	0.120	0.199	0.146	0.132
Media	0.230	0.252	0.304	0.326	0.277	0.342
Desviación Estándar	0.065	0.077	0.098	0.077	0.081	0.106
Máximo	0.334	0.405	0.480	0.472	0.468	0.545
Curtosis	-0.969	-0.715	-0.949	-0.860	-0.253	-0.776
Coefficiente de Asimetría	-0.279	0.096	0.106	0.334	0.490	0.091
Mediana	0.244	0.255	0.282	0.311	0.277	0.331
Rango	0.229	0.295	0.360	0.273	0.322	0.413
Coefficiente de Variación	0.285	0.304	0.324	0.236	0.294	0.309

Tabla 4.42 Estadísticas Descriptivas del Porcentaje de Energía en el Coeficiente de Ondeleta "d4" del EEG Sujeto 2 Adultos Sanos.

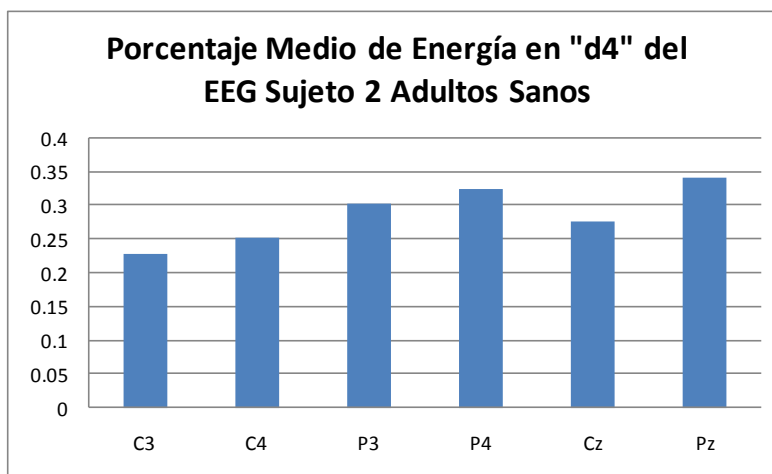


Figura 4.73 Porcentaje Medio de Energía en el Coeficiente de Ondeleta "d4" del EEG Sujeto 2 Adultos Sanos.

Ninguna derivación tuvo una Curtosis positiva, lo que implica que la curva de distribución está más picuda que la normal. Las derivaciones P4 y Pz presentaron un comportamiento simétrico al tener su Coeficiente de Asimetría cercano a cero.

En la Tabla 4.43 se muestran las estadísticas descriptivas del coeficiente de detalle de ondeleta "d5" en el Sujeto 2 Adultos Sanos. Como se puede apreciar este sujeto tuvo en promedio 0.0944 de la energía contenida en la derivación C3, 0.1030 en C4, 0.0775 en P3, 0.0792 en P4, 0.1335 en Cz y 0.0912 en Pz (Figura 4.74), esto implica que en promedio el porcentaje de energía contenida en el coeficiente de detalle "d5" es menor al 13.4%.

Medidas Descriptivas	Derivaciones					
	C3	C4	P3	P4	Cz	Pz
Mínimo	0.0530	0.0590	0.0460	0.0400	0.0710	0.0540
Media	0.0944	0.1030	0.0775	0.0792	0.1335	0.0912
Desviación Estándar	0.0265	0.0397	0.0244	0.0302	0.0445	0.0309
Máximo	0.1630	0.1950	0.1520	0.1700	0.2350	0.1630
Curtosis	1.2320	-0.2571	2.9678	1.9600	-0.5141	-0.1100
Coefficiente de Asimetría	1.0530	0.7630	1.5722	1.2814	0.5801	0.7449
Mediana	0.0890	0.0945	0.0730	0.0670	0.1260	0.0835
Rango	0.1100	0.1360	0.1060	0.1300	0.1640	0.1090
Coefficiente de Variación	0.2804	0.3859	0.3150	0.3815	0.3336	0.3388

Tabla 4.43 Estadísticas Descriptivas del Porcentaje de Energía en el Coeficiente de Ondeleta "d5" del EEG Sujeto 2 Adultos Sanos.

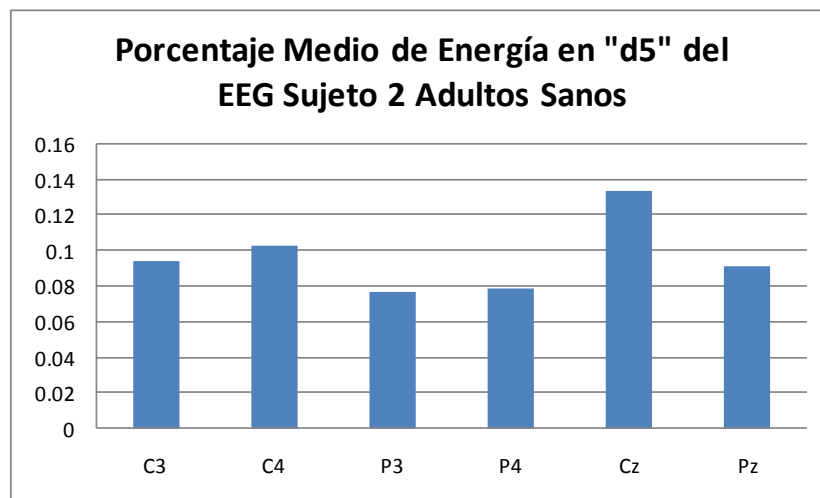


Figura 4.74 Porcentaje Medio de Energía en el Coeficiente de Ondeleta "d5" del EEG Sujeto 2 Adultos Sanos.

Al analizar su variabilidad encontramos que tiene un coeficiente de variación que va desde 0.2804 para la derivación C3 hasta 0.3859 en C4. Las derivaciones C3, P3 y P4 tuvieron una Curtosis positiva, lo que implica que la curva de distribución está más picuda que la normal, caso contrario en las demás derivaciones, donde la Curtosis fue negativa. Ninguna derivación presenta un comportamiento simétrico al tener su Coeficiente de Asimetría distinto de cero.

En la Tabla 4.44 se muestran las estadísticas descriptivas del coeficiente de detalle de ondeleta “d6” en el Sujeto 2 Adultos Sanos. Como se puede apreciar este sujeto tuvo en promedio 0.0820 de la energía contenida en la derivación C3, 0.0809 en C4, 0.0716 en P3, 0.0654 en P4, 0.1000 en Cz y 0.0696 en Pz (Figura 4.75), esto implica que en promedio el porcentaje de energía contenida en el coeficiente de detalle “d6” es menor al 10.1%.

Medidas Descriptivas	Derivaciones					
	C3	C4	P3	P4	Cz	Pz
Mínimo	0.0290	0.0180	0.0320	0.0120	0.0090	0.0190
Media	0.0820	0.0809	0.0716	0.0654	0.1000	0.0696
Desviación Estándar	0.0297	0.0327	0.0278	0.0292	0.0478	0.0298
Máximo	0.1270	0.1620	0.1370	0.1410	0.1890	0.1460
Curtois	-0.9886	0.6486	-0.0302	0.9068	-0.5567	0.5084
Coefficiente de Asimetría	-0.2822	0.3241	0.6682	0.4284	0.3807	0.6343
Mediana	0.0800	0.0770	0.0650	0.0615	0.0890	0.0660
Rango	0.0980	0.1440	0.1050	0.1290	0.1800	0.1270
Coefficiente de Variación	0.3615	0.4039	0.3885	0.4462	0.4780	0.4277

Tabla 4.44 Estadísticas Descriptivas del Porcentaje de Energía en el Coeficiente de Ondeleta "d6" del EEG Sujeto 2 Adultos Sanos.

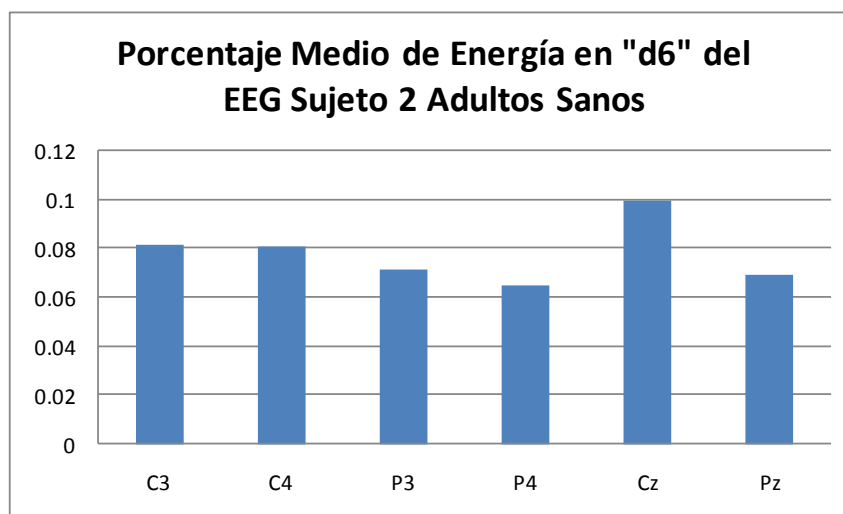


Figura 4.75 Porcentaje Medio de Energía en el Coeficiente de Ondeleta "d6" del EEG Sujeto 2 Adultos Sanos.

Al analizar su variabilidad encontramos una variabilidad alta, con un coeficiente de variación que va desde 0.3615 para la derivación C3 hasta 0.4780 en Cz. Las derivaciones C4, P4 y Pz tuvieron una Curtosis positiva, lo que implica que la curva de distribución está más picuda que la normal, caso contrario en las demás derivaciones, donde la Curtosis fue negativa. Ninguna derivación presenta un comportamiento simétrico al tener su Coeficiente de Asimetría distinto a cero.

En la Tabla 4.45 se muestran las estadísticas descriptivas del coeficiente de detalle de ondeleta “d3” en el Sujeto 3 Adultos Sanos. Como se puede apreciar este sujeto tuvo en promedio 0.0849 de la energía contenida en la derivación C3, 0.0994 en C4, 0.0908 en P3, 0.1096 en P4, 0.1090 en Cz y 0.1062 en Pz (Figura 4.76), esto implica que en promedio el porcentaje de energía contenida en el coeficiente de detalle “d3” es menor al 11%.

Medidas Descriptivas	Derivaciones					
	C3	C4	P3	P4	Cz	Pz
Mínimo	0.0330	0.0400	0.0410	0.0410	0.0390	0.0450
Media	0.0849	0.0994	0.0908	0.1096	0.1090	0.1062
Desviación Estándar	0.0247	0.0394	0.0281	0.0369	0.0324	0.0363
Máximo	0.1330	0.1980	0.1480	0.1710	0.1650	0.1900
Curtosis	-0.3947	0.0998	-0.5082	-0.7367	-0.0869	-0.0133
Coeficiente de Asimetría	-0.2477	0.6086	0.1928	-0.1763	-0.2446	0.3289
Mediana	0.0860	0.0920	0.0910	0.1125	0.1090	0.1100
Rango	0.1000	0.1580	0.1070	0.1300	0.1260	0.1450
Coeficiente de Variación	0.2905	0.3966	0.3101	0.3366	0.2977	0.3414

Tabla 4.45 Estadísticas Descriptivas del Porcentaje de Energía en el Coeficiente de Ondeleta "d3" del EEG Sujeto 3 Adultos Sanos.

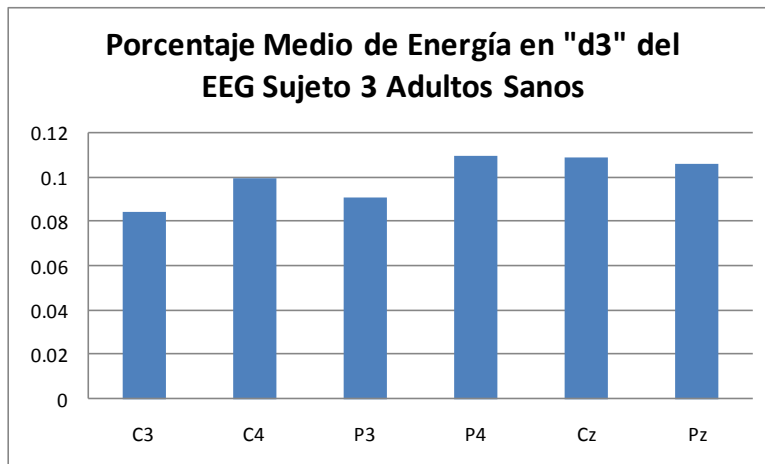


Figura 4.76 Porcentaje Medio de Energía en el Coeficiente de Ondeleta "d3" del EEG Sujeto 3 Adultos Sanos.

Al analizar su variabilidad se tuvo un coeficiente de variación que va desde 0.2905 para la derivación C3 hasta 0.3966 en C4. La derivación C4 tiene una Curtosis positiva, lo que implica que la curva está más picuda que la curva normal. Las demás derivaciones presentaron una Curtosis negativa, indicativo de que tienen la curvatura más achatada que la curva normal. Ninguna derivación presenta un comportamiento simétrico al tener su Coeficiente de Asimetría diferente de cero.

En la Tabla 4.46 se muestran las estadísticas descriptivas del coeficiente de detalle de ondeleta "d4" en el Sujeto 3 Adultos Sanos. Como se puede apreciar este sujeto tuvo en promedio 0.239 de la energía contenida en la derivación C3, 0.274 en C4, 0.243 en P3, 0.312 en P4, 0.348 en Cz y 0.306 en Pz (Figura 4.77). En promedio el porcentaje de energía capturado por el coeficiente de ondeleta de detalle va del 23.9% al 34.89%.

Medidas Descriptivas	Derivaciones					
	C3	C4	P3	P4	Cz	Pz
Mínimo	0.038	0.050	0.052	0.091	0.053	0.075
Media	0.239	0.274	0.243	0.312	0.348	0.306
Desviación Estándar	0.085	0.123	0.088	0.118	0.095	0.112
Máximo	0.394	0.494	0.409	0.494	0.477	0.470
Curtosis	0.299	-0.866	-0.068	-0.947	3.201	-0.731
Coefficiente de Asimetría	-0.494	0.343	-0.038	-0.049	-1.407	-0.455
Mediana	0.248	0.232	0.227	0.296	0.358	0.326
Rango	0.356	0.444	0.357	0.403	0.424	0.395
Coefficiente de Variación	0.356	0.448	0.360	0.378	0.272	0.364

Tabla 4.46 Estadísticas Descriptivas del Porcentaje de Energía en el Coeficiente de Ondeleta "d4" del EEG Sujeto 3 Adultos Sanos.

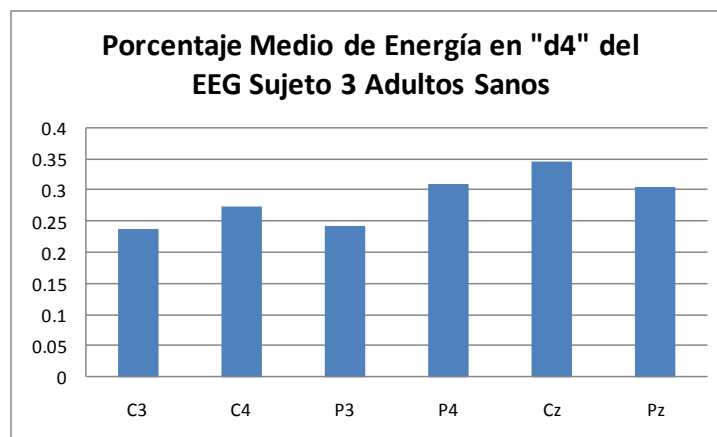


Figura 4.77 Porcentaje Medio de Energía en el Coeficiente de Ondeleta "d4" del EEG Sujeto 3 Adultos Sanos.

Al analizar su variabilidad se tiene un coeficiente de variación que va desde 0.272 para la derivación Cz hasta 0.448 en C4. Las derivaciones C3 y Cz tuvieron una Curtosis positiva, lo que implica que la curva de distribución está más picuda que la normal, caso contrario en las demás derivaciones, donde la Curtosis fue negativa. Las derivaciones parietales P3 y P4 presentaron un comportamiento simétrico al tener su Coeficiente de Asimetría cercano a cero.

En la Tabla 4.47 se muestran las estadísticas descriptivas del coeficiente de detalle de ondeleta “d5” en el Sujeto 3 Adultos Sanos. Como se puede apreciar este sujeto tuvo en promedio 0.0650 de la energía contenida en la derivación C3, 0.0654 en C4, 0.0678 en P3, 0.0566 en P4, 0.0778 en Cz y 0.0706 en Pz (Figura 4.78), esto implica que en promedio el porcentaje de energía contenida en el coeficiente de detalle “d5” es menor al 8%.

Medidas Descriptivas	Derivaciones					
	C3	C4	P3	P4	Cz	Pz
Mínimo	0.0290	0.0250	0.0320	0.0250	0.0400	0.0210
Media	0.0650	0.0654	0.0678	0.0566	0.0778	0.0706
Desviación Estándar	0.0285	0.0295	0.0235	0.0197	0.0298	0.0275
Máximo	0.1590	0.1180	0.1380	0.0930	0.1500	0.1360
Curtosis	4.2020	-1.2476	2.6026	-1.0201	1.0186	0.2915
Coefficiente de Asimetría	1.6893	0.2312	1.2695	-0.0239	1.0950	0.7782
Mediana	0.0615	0.0590	0.0640	0.0590	0.0715	0.0645
Rango	0.1300	0.0930	0.1060	0.0680	0.1100	0.1150
Coefficiente de Variación	0.4379	0.4509	0.3468	0.3475	0.3830	0.3898

Tabla 4.47 Estadísticas Descriptivas del Porcentaje de Energía en el Coeficiente de Ondeleta "d5" del EEG Sujeto 3 Adultos Sanos.

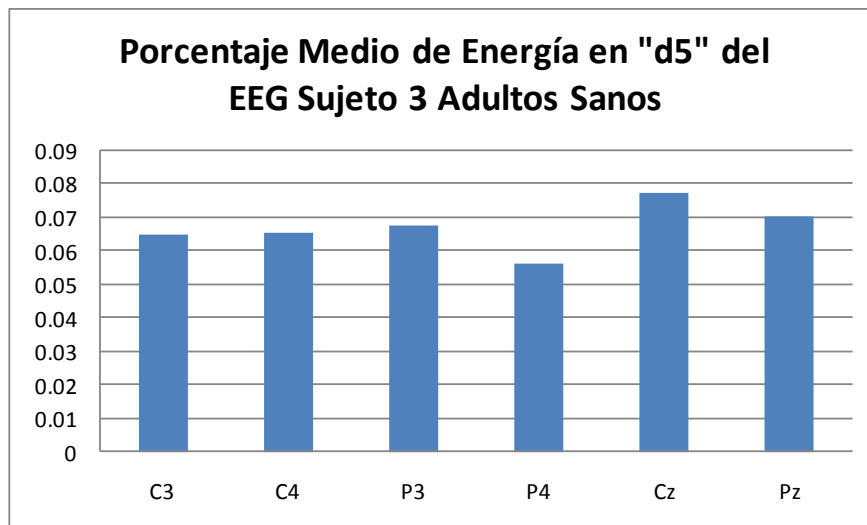


Figura 4.78 Porcentaje Medio de Energía en el Coeficiente de Ondeleta "d5" del EEG Sujeto 3 Adultos Sanos.

Al analizar su variabilidad encontramos que tiene una variabilidad alta con un coeficiente de variación que va desde 0.3468 para la derivación P3 hasta 0.4509 en C4. Las derivaciones C3, P3, Cz y Pz tuvieron una Curtosis positiva, lo que implica que la curva de distribución está más picuda que la normal, caso contrario en las demás derivaciones, donde la Curtosis fue negativa. La derivación P4 presenta un comportamiento simétrico al tener su Coeficiente de Asimetría cercano a cero.

En la Tabla 4.48 se muestran las estadísticas descriptivas del coeficiente de detalle de ondeleta “d6” en el Sujeto 3 Adultos Sanos. Como se puede apreciar este sujeto tuvo en promedio 0.0557 de la energía contenida en la derivación C3, 0.0588 en C4, 0.0601 en P3, 0.0583 en P4, 0.0670 en Cz y 0.0576 en Pz (Figura 4.79), esto implica que en promedio el porcentaje de energía contenida en el coeficiente de detalle “d6” es menor al 7%. Al analizar su variabilidad encontramos una variabilidad alta, con un coeficiente de variación que va desde 0.4234 para la derivación C3 hasta 0.5883 en C4. Las derivaciones C4, P3, P4, Cz y Pz tuvieron una Curtosis positiva, lo que implica que la curva de distribución está más picuda que la normal, caso contrario en C3 donde su Curtosis fue negativa, lo que implica que es más achatada que la normal. La derivación C3 presenta un comportamiento simétrico al tener su Coeficiente de Asimetría cercano a cero.

Medidas Descriptivas	Derivaciones					
	C3	C4	P3	P4	Cz	Pz
Mínimo	0.0200	0.0190	0.0170	0.0300	0.0280	0.0270
Media	0.0557	0.0588	0.0601	0.0583	0.0670	0.0576
Desviación Estándar	0.0236	0.0346	0.0270	0.0317	0.0338	0.0257
Máximo	0.0910	0.1660	0.1280	0.1760	0.1670	0.1160
Curtosis	-1.5620	2.6801	0.8400	7.8535	1.8240	0.0181
Coeficiente de Asimetría	0.0843	1.5272	0.8780	2.5747	1.2650	0.9032
Mediana	0.0570	0.0515	0.0585	0.0485	0.0580	0.0520
Rango	0.0710	0.1470	0.1110	0.1460	0.1390	0.0890
Coeficiente de Variación	0.4234	0.5883	0.4494	0.5445	0.5043	0.4458

Tabla 4.48 Estadísticas Descriptivas del Porcentaje de Energía en el Coeficiente de Ondeleta "d6" del EEG Sujeto 3 Adultos Sanos.

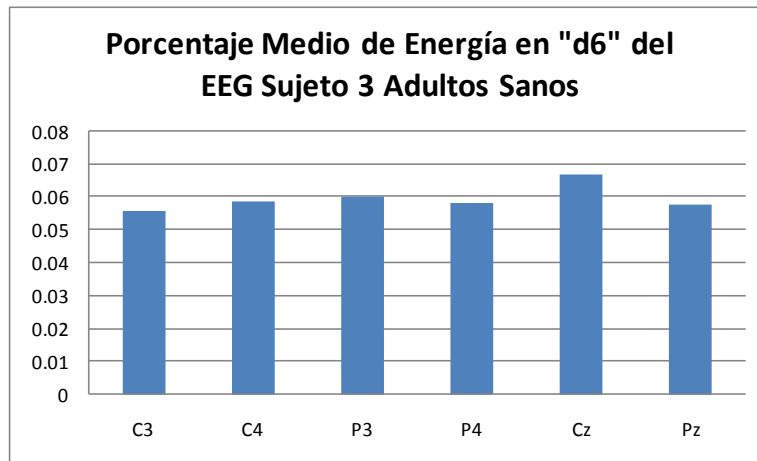


Figura 4.79 Porcentaje Medio de Energía en el Coeficiente de Ondeleta "d6" del EEG Sujeto 3 Adultos Sanos.

En la Tabla 4.49 se muestran las estadísticas descriptivas del coeficiente de detalle de ondeleta "d3" en el Sujeto 4 Adultos Sanos. Como se puede apreciar este sujeto tuvo en promedio 0.0674 de la energía contenida en la derivación C3, 0.0768 en C4, 0.0832 en P3, 0.0868 en P4, 0.0808 en Cz y 0.0908 en Pz (Figura 4.80), esto implica que en promedio el porcentaje de energía contenida en el coeficiente de detalle "d3" es menor al 9.1%.

Medidas Descriptivas	Derivaciones					
	C3	C4	P3	P4	Cz	Pz
Mínimo	0.0410	0.0440	0.0550	0.0490	0.0390	0.0590
Media	0.0674	0.0768	0.0832	0.0868	0.0808	0.0908
Desviación Estándar	0.0229	0.0249	0.0202	0.0300	0.0249	0.0280
Máximo	0.1420	0.1390	0.1280	0.1700	0.1490	0.1650
Curtosis	3.5467	0.1790	0.2070	2.8296	1.1437	2.4794
Coeficiente de Asimetría	1.5205	0.8657	0.8012	1.6206	0.5973	1.6190
Mediana	0.0605	0.0720	0.0805	0.0815	0.0865	0.0870
Rango	0.1010	0.0950	0.0730	0.1210	0.1100	0.1060
Coeficiente de Variación	0.3399	0.3249	0.2427	0.3459	0.3078	0.3090

Tabla 4.49 Estadísticas Descriptivas del Porcentaje de Energía en el Coeficiente de Ondeleta "d3" del EEG Sujeto 4 Adultos Sanos.

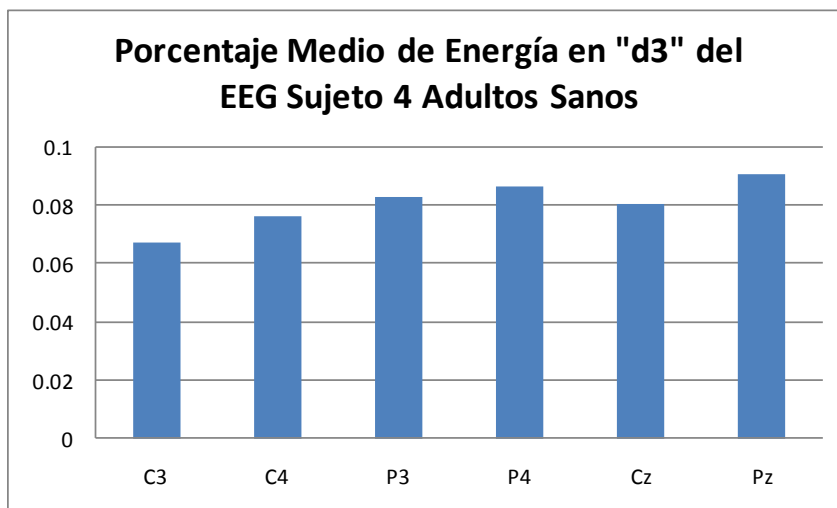


Figura 4.80 Porcentaje Medio de Energía en el Coeficiente de Ondeleta "d3" del EEG Sujeto 4 Adultos Sanos.

Al analizar su variabilidad se tuvo un coeficiente de variación que va desde 0.2427 para la derivación C4 hasta 0.3459 en P3. Todas las derivaciones tienen una Curtosis positiva, lo que implica que la curva está más picuda que la curva normal. Ninguna derivación presenta un comportamiento simétrico al tener su Coeficiente de Asimetría diferente de cero.

En la Tabla 4.50 se muestran las estadísticas descriptivas del coeficiente de detalle de ondeleta "d4" en el Sujeto 4 Adultos Sanos. Como se puede apreciar este sujeto tuvo en promedio 0.155 de la energía contenida en la derivación C3, 0.186 en C4, 0.229 en P3, 0.244 en P4, 0.222 en Cz y 0.268 en Pz (Figura 4.81). En promedio el porcentaje de energía capturado por el coeficiente de ondeleta de detalle va del 15.5% al 26.8%. Al analizar su variabilidad se tiene un coeficiente de variación que va desde 0.274 para la derivación C4 hasta 0.348 en P3. Las derivaciones P3 y P4 tuvieron una Curtosis positiva, lo que implica que la curva de distribución está más picuda que la normal, caso contrario en las demás derivaciones, donde la Curtosis fue negativa. Ninguna derivación presentó un comportamiento simétrico al tener su Coeficiente de Asimetría distinto de cero.

Medidas Descriptivas	Derivaciones					
	C3	C4	P3	P4	Cz	Pz
Mínimo	0.085	0.108	0.106	0.127	0.134	0.139
Media	0.155	0.186	0.229	0.244	0.222	0.268
Desviación Estándar	0.046	0.051	0.080	0.071	0.062	0.079
Máximo	0.259	0.275	0.423	0.421	0.350	0.435
Curtosis	-0.512	-0.769	0.863	0.274	-1.043	-0.220
Coefficiente de Asimetría	0.381	0.224	1.106	0.631	0.338	0.619
Mediana	0.155	0.179	0.209	0.228	0.214	0.247
Rango	0.174	0.167	0.317	0.294	0.216	0.296
Coefficiente de Variación	0.297	0.274	0.348	0.289	0.280	0.294

Tabla 4.50 Estadísticas Descriptivas del Porcentaje de Energía en el Coeficiente de Ondeleta "d4" del EEG Sujeto 4 Adultos Sanos.

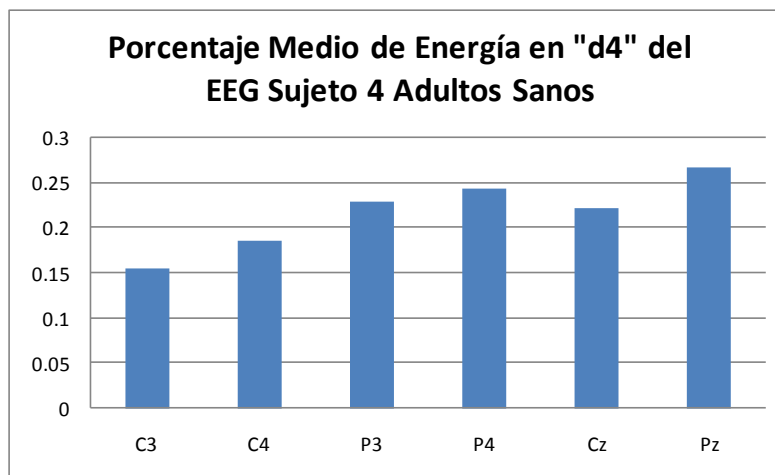


Figura 4.81 Porcentaje Medio de Energía en el Coeficiente de Ondeleta "d4" del EEG Sujeto 4 Adultos Sanos.

En la Tabla 4.51 se muestran las estadísticas descriptivas del coeficiente de detalle de ondeleta "d5" en el Sujeto 4 Adultos Sanos. Como se puede apreciar este sujeto tuvo en promedio 0.0701 de la energía contenida en la derivación C3, 0.0751 en C4, 0.0615 en P3, 0.0603 en P4, 0.0899 en Cz y 0.0634 en Pz (Figura 4.82), esto implica que en promedio el porcentaje de energía contenida en el coeficiente de detalle "d5" es menor al 9%.

Medidas Descriptivas	Derivaciones					
	C3	C4	P3	P4	Cz	Pz
Mínimo	0.0280	0.0330	0.0200	0.0190	0.0400	0.0160
Media	0.0701	0.0751	0.0615	0.0603	0.0899	0.0634
Desviación Estándar	0.0235	0.0280	0.0219	0.0215	0.0333	0.0230
Máximo	0.1150	0.1480	0.1060	0.1120	0.1480	0.1070
Curtosis	-0.9916	0.7279	-0.6846	0.3274	-1.3693	-0.4481
Coefficiente de Asimetría	0.1983	0.7751	0.0787	0.5289	0.0528	0.0192
Mediana	0.0640	0.0735	0.0600	0.0575	0.0880	0.0645
Rango	0.0870	0.1150	0.0860	0.0930	0.1080	0.0910
Coefficiente de Variación	0.3358	0.3728	0.3557	0.3572	0.3707	0.3624

Tabla 4.51 Estadísticas Descriptivas del Porcentaje de Energía en el Coeficiente de Ondeleta "d5" del EEG Sujeto 4 Adultos Sanos.

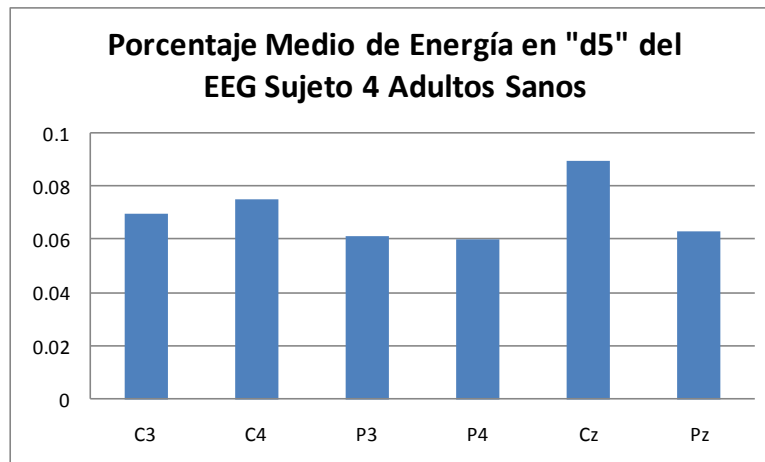


Figura 4.82 Porcentaje Medio de Energía en el Coeficiente de Ondeleta "d5" del EEG Sujeto 4 Adultos Sanos.

Al analizar su variabilidad encontramos que tiene una variabilidad alta con un coeficiente de variación que va desde 0.3358 para la derivación C3 hasta 0.3728 en C4. Las derivaciones C4 y P4 tuvieron una Curtosis positiva, lo que implica que la curva de distribución está más picuda que la normal, caso contrario en las demás derivaciones, donde la Curtosis fue negativa. Las derivaciones P3, Cz y Pz presentaron un comportamiento simétrico al tener su Coeficiente de Asimetría cercano a cero.

En la Tabla 4.52 se muestran las estadísticas descriptivas del coeficiente de detalle de ondeleta "d6" en el Sujeto 4 Adultos Sanos. Como se puede apreciar este sujeto tuvo en promedio 0.0667 de la energía contenida en la derivación C3, 0.0814 en C4, 0.0647 en P3, 0.0670 en P4, 0.0820 en Cz y 0.0647 en Pz (Figura 4.83), esto implica que en promedio el porcentaje de energía contenida en el coeficiente de detalle "d6" es menor al 8.3%. Al analizar su variabilidad encontramos una variabilidad alta, con un coeficiente de variación que va desde 0.4205 para la derivación P4 hasta 0.5642 en C4.

Medidas Descriptivas	Derivaciones					
	C3	C4	P3	P4	Cz	Pz
Mínimo	0.0110	0.0090	0.0060	0.0050	0.0190	0.0060
Media	0.0667	0.0814	0.0647	0.0670	0.0820	0.0647
Desviación Estándar	0.0366	0.0459	0.0318	0.0282	0.0429	0.0311
Máximo	0.1670	0.1880	0.1190	0.1000	0.1670	0.1100
Curtois	1.1171	0.2355	-0.9833	-0.6650	-0.9478	-1.1852
Coficiente de Asimetría	0.8510	0.8403	-0.1249	-0.5703	0.4640	-0.2617
Mediana	0.0670	0.0720	0.0660	0.0705	0.0690	0.0675
Rango	0.1560	0.1790	0.1130	0.0950	0.1480	0.1040
Coficiente de Variación	0.5495	0.5642	0.4919	0.4205	0.5229	0.4814

Tabla 4.52 Estadísticas Descriptivas del Porcentaje de Energía en el Coeficiente de Ondeleta "d6" del EEG Sujeto 4 Adultos Sanos.

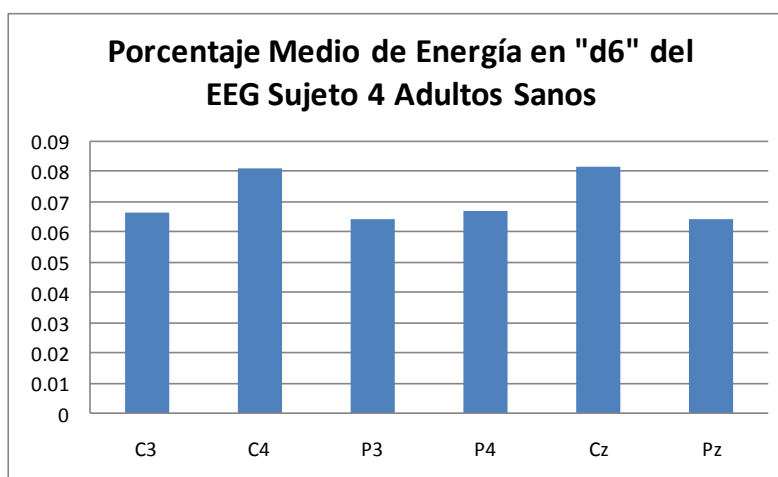


Figura 4.83 Porcentaje Medio de Energía en el Coeficiente de Ondeleta "d6" del EEG Sujeto 4 Adultos Sanos.

Las derivaciones C3 y C4 tuvieron una Curtosis positiva, lo que implica que la curva de distribución está más picuda que la normal, caso contrario en las demás derivaciones donde su Curtosis fue negativa, lo que implica que es más achatada que la normal. Ninguna derivación presenta un comportamiento simétrico al tener su Coeficiente de Asimetría distinto de cero.

Las Tablas 4.53, 4.54, 4.55 y 4.56 representan el porcentaje de segmentos que tuvieron la mayor energía en los coeficientes de ondeleta de detalle “d6”, “d5”, “d4”, “d3”, “d2”, y “d1”, para los sujetos 1, 2, 3 y 4 del grupo de Niños T. A. No existió ningún segmento con la máxima energía capturada en “d3”, “d2” ni en “d1”. Por tal motivo se analizarán sólo las estadísticas descriptivas de los coeficientes de detalle de ondeleta “d3”, “d4”, “d5” y “d6”. La Tabla 4.53 muestra que las derivaciones C3, C4, y Cz, correspondientes a la región central de la cabeza, tuvieron la mayoría de sus segmentos con la máxima energía en el coeficiente de detalle “d5”, indicativo de que la señal es más lenta, en estos casos, la segunda proporción máxima de segmentos con energía mayor fue en “d4” y la tercera fue “d6”.

Porcentaje de Segmentos Con la Mayor Energía Contenida en los Coeficientes de Detalle de Ondeleta Sujeto 1 Niños T. A.						
	C3	C4	P3	P4	Cz	Pz
d6	8.33%	8.33%	0.00%	0.00%	4.17%	0.00%
d5	62.50%	54.17%	16.67%	41.67%	62.50%	12.50%
d4	29.17%	37.50%	83.33%	58.33%	33.33%	87.50%
d3	0.00%	0.00%	0.00%	0.00%	0.00%	0.00%
d2	0.00%	0.00%	0.00%	0.00%	0.00%	0.00%
d1	0.00%	0.00%	0.00%	0.00%	0.00%	0.00%

Tabla 4.53 Porcentaje de segmentos con la mayor energía en los coeficientes de ondeleta de detalle, sujeto 1 Niños T. A.

La Tabla 4.54 muestra que las derivaciones C3 y Cz tuvieron la mayoría de sus segmentos con la máxima energía en el coeficiente de detalle “d5”, en estos casos, la segunda proporción máxima de segmentos con energía mayor fue en “d4” y no tuvieron ningún segmento con la máxima energía en el coeficiente de

detalle “d6”. Por otro lado C4, P3, P4, y Pz tuvieron la mayoría de sus segmentos con la máxima energía en el coeficiente de detalle “d4”, en estos casos, la segunda proporción máxima de segmentos con energía mayor fue en “d5” y sólo P4 tuvo segmentos con la máxima energía contenida en el coeficiente de detalle de ondeleta “d6”.

Porcentaje de Segmentos Con La Mayor Energía Contenida en los Coeficientes de Detalle de Ondeleta Sujeto 2 Niños T. A.						
	C3	C4	P3	P4	Cz	Pz
d6	0.00%	0.00%	0.00%	4.17%	0.00%	0.00%
d5	54.17%	37.50%	29.17%	12.50%	54.17%	33.33%
d4	45.83%	62.50%	70.83%	83.33%	45.83%	66.67%
d3	0.00%	0.00%	0.00%	0.00%	0.00%	0.00%
d2	0.00%	0.00%	0.00%	0.00%	0.00%	0.00%
d1	0.00%	0.00%	0.00%	0.00%	0.00%	0.00%

Tabla 4.54 Porcentaje de segmentos con la mayor energía en los coeficientes de ondeleta de detalle, sujeto 2 Niños T. A.

La Tabla 4.55 muestra que en particular este sujeto, tiene casi todos sus segmentos con la máxima energía en el coeficiente de detalle “d5”, en estos casos, sólo en la derivación P3 y Pz tuvo con energía contenida máxima en el coeficiente de detalle “d4”.

Porcentaje de Segmentos Con La Mayor Energía Contenida en Los Coeficientes de Detalle de Ondeleta Sujeto 3 Niños T. A.						
	C3	C4	P3	P4	Cz	Pz
d6	0.00%	0.00%	0.00%	0.00%	0.00%	0.00%
d5	100.00%	100.00%	95.83%	100.00%	100.00%	95.83%
d4	0.00%	0.00%	4.17%	0.00%	0.00%	4.17%
d3	0.00%	0.00%	0.00%	0.00%	0.00%	0.00%
d2	0.00%	0.00%	0.00%	0.00%	0.00%	0.00%
d1	0.00%	0.00%	0.00%	0.00%	0.00%	0.00%

Tabla 4.55 Porcentaje de segmentos con la mayor energía en los coeficientes de ondeleta de detalle, sujeto 3 Niños T. A.

La Tabla 4.56 muestra que todas las derivaciones tuvieron la mayoría de sus segmentos con la máxima energía en el coeficiente de detalle “d4”, en estos casos, la segunda proporción máxima de segmentos con energía mayor fue en “d5” y la tercera fue “d6” en algunas derivaciones.

Porcentaje de Segmentos Con La Mayor Energía Contendida en Los Coeficientes de Detalle de Ondeleta Sujeto 4 Niños T. A.						
	C3	C4	P3	P4	Cz	Pz
d6	0.00%	4.17%	4.17%	0.00%	4.17%	4.17%
d5	12.00%	16.67%	4.17%	8.33%	16.67%	4.17%
d4	88.00%	79.17%	91.67%	91.67%	79.17%	91.67%
d3	0.00%	0.00%	0.00%	0.00%	0.00%	0.00%
d2	0.00%	0.00%	0.00%	0.00%	0.00%	0.00%
d1	0.00%	0.00%	0.00%	0.00%	0.00%	0.00%

Tabla 4.56 Porcentaje de segmentos con la mayor energía en los coeficientes de ondeleta de detalle, sujeto 4 Niños T. A.

En la Tabla 4.57 se muestran las estadísticas descriptivas del coeficiente de detalle de ondeleta “d3” en el Sujeto 1 Niños T. A. Como se puede apreciar este sujeto tuvo en promedio 0.0418 de la energía contenida en la derivación C3, 0.0448 en C4, 0.0642 en P3, 0.0660 en P4, 0.0404 en Cz y 0.0663 en Pz (Figura 4.84), esto implica que en promedio el porcentaje de energía contenida en el coeficiente de detalle “d3” no alcanza ni el 7%.

Medidas Descriptivas	Derivaciones					
	C3	C4	P3	P4	Cz	Pz
Mínimo	0.0210	0.0210	0.0290	0.0380	0.0190	0.0350
Media	0.0418	0.0448	0.0642	0.0660	0.0404	0.0663
Desviación Estándar	0.0133	0.0119	0.0203	0.0179	0.0113	0.0168
Máximo	0.0650	0.0640	0.1070	0.0990	0.0610	0.0980
Curtosis	-1.0829	-0.8308	-0.1048	-1.0277	-0.5277	-0.0593
Coficiente de Asimetría	0.1626	-0.1791	0.7491	0.2316	0.1453	0.0279
Mediana	0.0450	0.0445	0.0595	0.0685	0.0395	0.0660
Rango	0.0440	0.0430	0.0780	0.0610	0.0420	0.0630
Coficiente de Variación	0.3180	0.2651	0.3166	0.2714	0.2803	0.2543

Tabla 4.57 Estadísticas Descriptivas del Porcentaje de Energía en el Coeficiente de Ondeleta "d3" del EEG Sujeto 1 Niños T. A.

Al analizar su variabilidad se tiene un coeficiente de variación que va desde 0.2543 para la derivación Cz hasta 0.3180 en C3. En todas las derivaciones la Curtosis fue negativa, lo que implica que la curva está más achatada que la curva normal. Sólo Pz presenta un comportamiento simétrico al tener su Coeficiente de Asimetría muy cercano a cero.

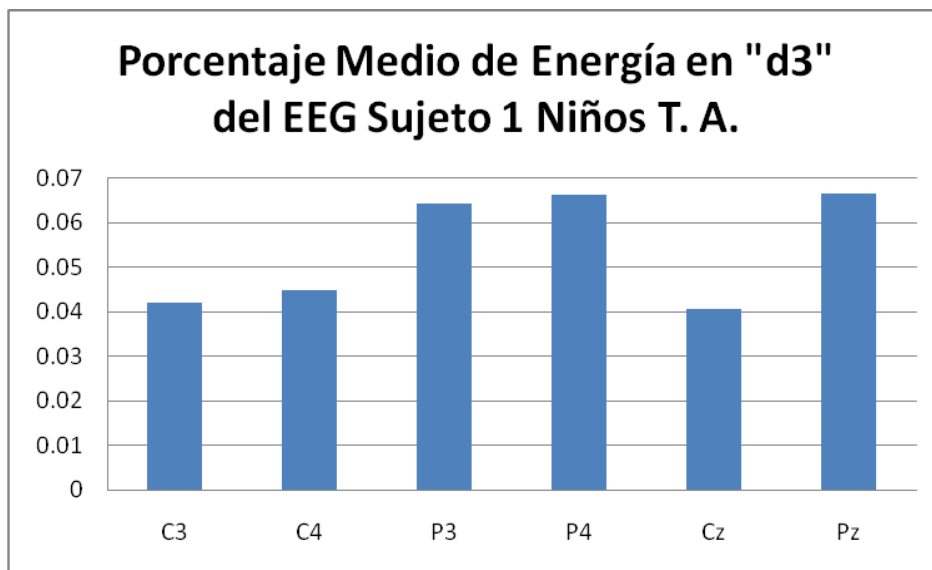


Figura 4.84 Porcentaje Medio de Energía en el Coeficiente de Ondeleta "d3" del EEG Sujeto 1 Niños T. A.

En la Tabla 4.58 se muestran las estadísticas descriptivas del coeficiente de detalle de ondeleta "d4" en el Sujeto 1 Niños T. A. Como se puede apreciar este sujeto tuvo en promedio 0.200 de la energía contenida en la derivación C3, 0.216 en C4, 0.361 en P3, 0.335 en P4, 0.241 en Cz y 0.403 en Pz (Figura 4.85). Claramente se ve que en la derivación Pz, en promedio el porcentaje de energía contenida en el coeficiente de detalle "d4" pesa mucho ya que tiene 40.3% de la energía. También P3 y P4 (también regiones parietales) presentan en promedio más del 33% de la energía.

Medidas Descriptivas	Derivaciones					
	C3	C4	P3	P4	Cz	Pz
Mínimo	0.086	0.084	0.217	0.174	0.129	0.255
Media	0.200	0.216	0.361	0.335	0.241	0.403
Desviación Estándar	0.060	0.073	0.085	0.097	0.066	0.082
Máximo	0.306	0.335	0.562	0.548	0.376	0.569
Curtosis	-0.763	-0.872	0.063	-0.525	-0.639	-0.639
Coefficiente de Asimetría	0.077	0.135	0.286	0.228	0.082	0.235
Mediana	0.190	0.206	0.368	0.342	0.242	0.410
Rango	0.220	0.251	0.345	0.374	0.247	0.314
Coefficiente de Variación	0.299	0.340	0.236	0.291	0.275	0.204

Tabla 4.58 Estadísticas Descriptivas del Porcentaje de Energía en el Coeficiente de Ondeleta "d4" del EEG Sujeto 1 Niños T. A.

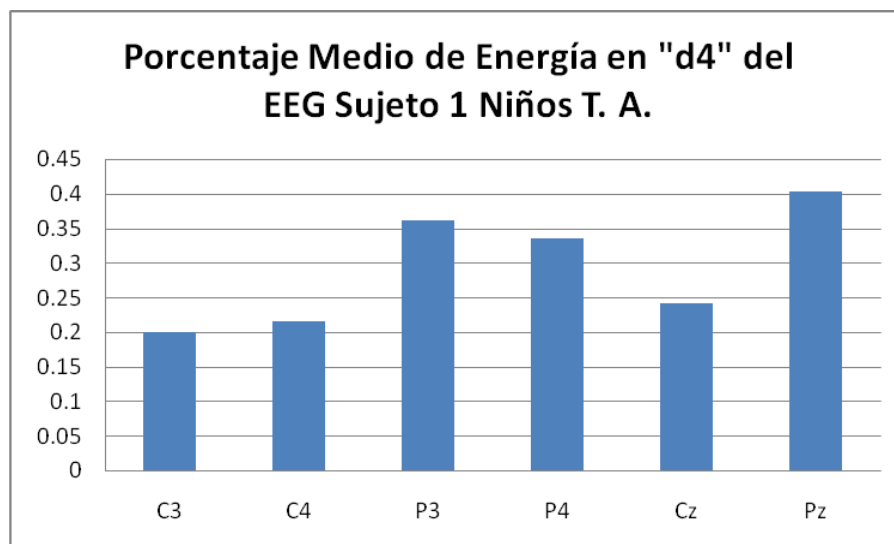


Figura 4.85 Porcentaje Medio de Energía en el Coeficiente de Ondeleta "d4" del EEG Sujeto 1 Niños T. A.

Por otro lado en las regiones centrales el coeficiente de ondeleta de detalle "d4" pesa en promedio del 20 al 24.1% de la energía. Al analizar su variabilidad se tiene un coeficiente de variación que va desde 0.204 para la derivación Pz hasta 0.34 en C4. P3 tuvo una Curtosis positiva, lo que implica que la curva de distribución está más picuda que la normal, caso contrario en las demás derivaciones, donde la Curtosis fue negativa. P3 y Cz presentan un comportamiento simétrico al tener su Coeficiente de Asimetría muy cercano a cero.

En la Tabla 4.59 se muestran las estadísticas descriptivas del coeficiente de detalle de ondeleta “d5” en el Sujeto 1 Niños T. A. Como se puede apreciar este sujeto tuvo en promedio 0.2600 de la energía contenida en la derivación C3, 0.2800 en C4, 0.2135 en P3, 0.2629 en P4, 0.3431 en Cz y 0.2465 en Pz (Figura 4.86), esto implica que en promedio el porcentaje de energía contenida en el coeficiente de detalle “d5” va desde 21.35% al 34.31% para Cz.

Medidas Descriptivas	Derivaciones					
	C3	C4	P3	P4	Cz	Pz
Mínimo	0.1110	0.0990	0.0800	0.0680	0.0830	0.0750
Media	0.2600	0.2800	0.2135	0.2629	0.3431	0.2465
Desviación Estándar	0.0924	0.1240	0.0842	0.1045	0.1233	0.0846
Máximo	0.4050	0.5760	0.4230	0.4650	0.5920	0.4430
Curtois	-1.3695	-0.2748	-0.0164	-0.8157	-0.2208	0.0467
Coefficiente de Asimetría	0.0013	0.4923	0.3535	0.2338	0.0560	0.3301
Mediana	0.2640	0.2760	0.2275	0.2380	0.3415	0.2295
Rango	0.2940	0.4770	0.3430	0.3970	0.5090	0.3680
Coefficiente de Variación	0.3553	0.4427	0.3946	0.3976	0.3594	0.3430

Tabla 4.59 Estadísticas Descriptivas del Porcentaje de Energía en el Coeficiente de Ondeleta "d5" del EEG Sujeto 1 Niños T. A.

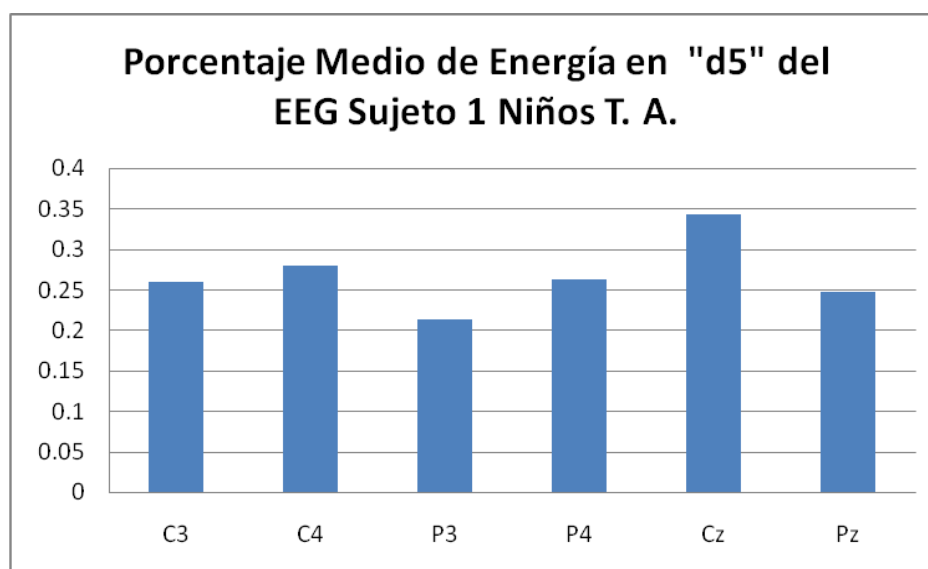


Figura 4.86 Porcentaje Medio de Energía en el Coeficiente de Ondeleta "d5" del EEG Sujeto 1 Niños T. A.

Al analizar su variabilidad encontramos que es mayor a la de los demás coeficientes de detalle analizados previamente, tiene un coeficiente de variación que va desde 0.3430 para la derivación Pz hasta 0.4427 en C4. Pz tuvo una Curtosis positiva, lo que implica que la curva de distribución está más picuda que la normal, caso contrario en las demás derivaciones, donde la Curtosis fue negativa. C3 y Cz presentan un comportamiento simétrico al tener su Coeficiente de Asimetría muy cercano a cero.

En la Tabla 4.60 se muestran las estadísticas descriptivas del coeficiente de detalle de ondeleta “d6” en el Sujeto 1 Niños T. A. Como se puede apreciar este sujeto tuvo en promedio 0.1270 de la energía contenida en la derivación C3, 0.1144 en C4, 0.1120 en P3, 0.0919 en P4, 0.1238 en Cz y 0.0921 en Pz (Figura 4.87), esto implica que en promedio el porcentaje de energía contenida en el coeficiente de detalle “d6” va desde 9.19% al 12.70%.

Medidas Descriptivas	Derivaciones					
	C3	C4	P3	P4	Cz	Pz
Mínimo	0.0410	0.0430	0.0450	0.0240	0.0370	0.0200
Media	0.1270	0.1144	0.1120	0.0919	0.1238	0.0921
Desviación Estándar	0.0568	0.0513	0.0535	0.0338	0.0588	0.0409
Máximo	0.2260	0.2330	0.2120	0.1590	0.2530	0.1820
Curtosis	-1.3196	0.7100	-1.1948	-0.0770	-0.6040	-0.0699
Coeficiente de Asimetría	0.0335	0.9070	0.3630	0.1080	0.4058	0.3653
Mediana	0.1300	0.1075	0.0980	0.0840	0.1175	0.0895
Rango	0.1850	0.1900	0.1670	0.1350	0.2160	0.1620
Coeficiente de Variación	0.4477	0.4482	0.4779	0.3680	0.4752	0.4437

Tabla 4.60 Estadísticas Descriptivas del Porcentaje de Energía en el Coeficiente de Ondeleta "d6" del EEG Sujeto 1 Niños T. A.

Al analizar su variabilidad encontramos de nuevo variabilidad alta, tiene un coeficiente de variación que va desde 0.3680 para la derivación P4 hasta 0.4752 en Cz. C4 tuvo una Curtosis positiva, lo que implica que la curva de distribución está más picuda que la normal, caso contrario en las demás derivaciones, donde la Curtosis fue negativa. C3 presenta un comportamiento simétrico al tener su Coeficiente de Asimetría muy cercano a cero.

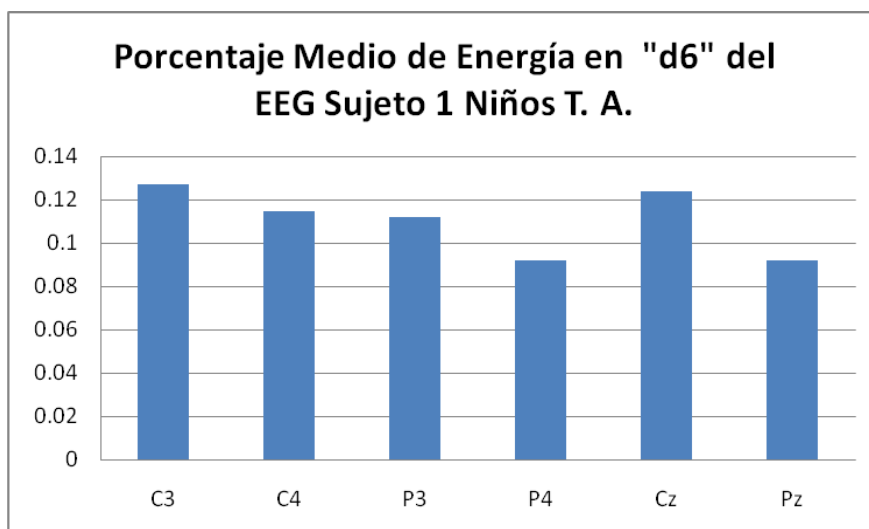


Figura 4.87 Porcentaje Medio de Energía en el Coeficiente de Ondeleta "d6" del EEG Sujeto 1 Niños T. A.

En la Tabla 4.61 se muestran las estadísticas descriptivas del coeficiente de detalle de ondeleta "d3" en el Sujeto 2 Niños T. A. Como se puede apreciar este sujeto tuvo en promedio 0.0510 de la energía contenida en la derivación C3, 0.0613 en C4, 0.0488 en P3, 0.0504 en P4, 0.0464 en Cz y 0.0456 en Pz (Figura 4.88), esto implica que en promedio el porcentaje de energía contenida en el coeficiente de detalle "d3" no alcanza ni el 6.2%. Al analizar su variabilidad se tiene un coeficiente de variación que va desde 0.2272 para la derivación C4 hasta 0.2895 en Pz.

Medidas Descriptivas	Derivaciones					
	C3	C4	P3	P4	Cz	Pz
Mínimo	0.0270	0.0310	0.0280	0.0290	0.0300	0.0250
Media	0.0510	0.0613	0.0488	0.0504	0.0464	0.0456
Desviación Estándar	0.0129	0.0139	0.0111	0.0144	0.0107	0.0132
Máximo	0.0920	0.0890	0.0700	0.0860	0.0800	0.0730
Curtosis	3.5475	-0.2458	-0.7443	0.0586	3.1956	-0.6918
Coefficiente de Asimetría	1.2646	-0.2713	-0.1625	0.5462	1.4151	0.4163
Mediana	0.0490	0.0645	0.0495	0.0495	0.0445	0.0435
Rango	0.0650	0.0580	0.0420	0.0570	0.0500	0.0480
Coefficiente de Variación	0.2522	0.2272	0.2280	0.2864	0.2304	0.2895

Tabla 4.61 Estadísticas Descriptivas del Porcentaje de Energía en el Coeficiente de Ondeleta "d3" del EEG Sujeto 2 Niños T. A.

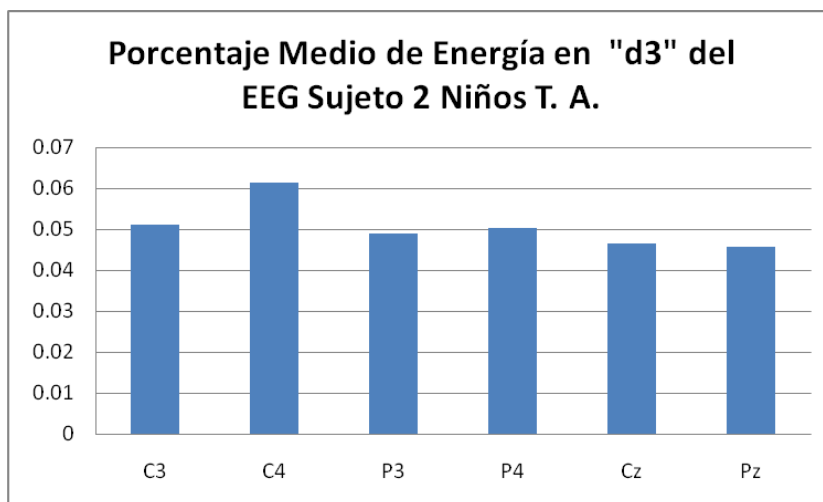


Figura 4.88 Porcentaje Medio de Energía en el Coeficiente de Ondeleta "d3" del EEG Sujeto 2 Niños T. A.

La Curtosis en C3 y Cz es alta, lo que implica que la curva está más picuda que la curva normal. P4 tiene una curvatura muy similar a la normal al tener Curtosis cercana al cero; por otro lado C4, P3 y Pz presentaron valores negativos, indicativo de que tienen la curvatura más achatada que la curva normal. Ninguna derivación presenta un comportamiento simétrico al tener su Coeficiente de Asimetría diferente de cero.

En la Tabla 4.62 se muestran las estadísticas descriptivas del coeficiente de detalle de ondeleta "d4" en el Sujeto 2 Niños T. A. Como se puede apreciar este sujeto tuvo en promedio 0.288 de la energía contenida en la derivación C3, 0.340 en C4, 0.377 en P3, 0.398 en P4, 0.311 en Cz y 0.380 en Pz (Figura 4.89).

Medidas Descriptivas	Derivaciones					
	C3	C4	P3	P4	Cz	Pz
Mínimo	0.109	0.145	0.244	0.198	0.136	0.231
Media	0.288	0.340	0.377	0.398	0.311	0.380
Desviación Estándar	0.081	0.083	0.080	0.099	0.081	0.095
Máximo	0.513	0.473	0.532	0.592	0.453	0.564
Curtosis	1.976	-0.357	-0.454	-0.399	-0.364	-0.926
Coefficiente de Asimetría	0.516	-0.439	0.319	-0.215	-0.395	0.350
Mediana	0.273	0.354	0.373	0.407	0.308	0.364
Rango	0.404	0.328	0.288	0.394	0.317	0.333
Coefficiente de Variación	0.282	0.245	0.214	0.248	0.260	0.250

Tabla 4.62 Estadísticas Descriptivas del Porcentaje de Energía en el Coeficiente de Ondeleta "d4" del EEG Sujeto 2 Niños T. A.

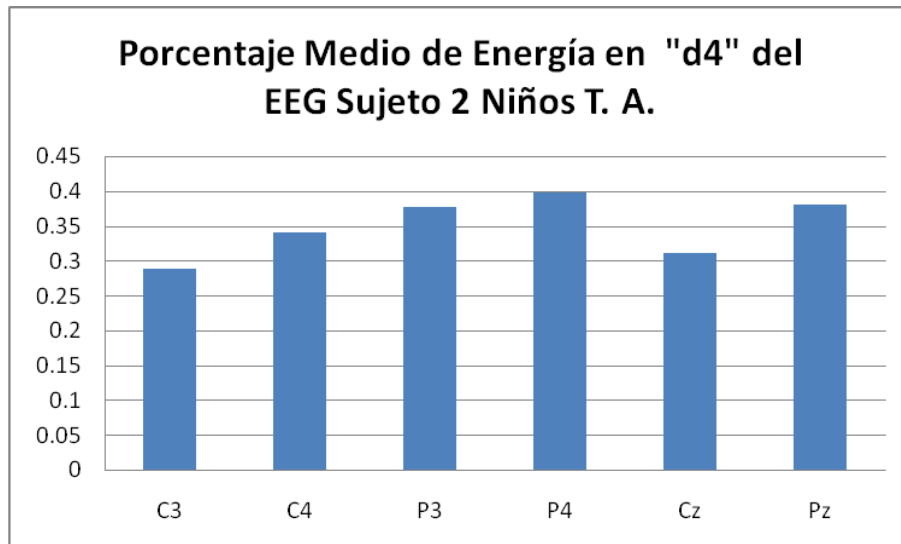


Figura 4.89 Porcentaje Medio de Energía en el Coeficiente de Ondeleta "d4" del EEG Sujeto 2 Niños T. A.

En promedio el porcentaje de energía capturado por el coeficiente de ondeleta de detalle va del 28.8% al 39.8%. Al analizar su variabilidad se tiene un coeficiente de variación que va desde 0.214 para la derivación P3 hasta 0.282 en C3. C3 tuvo una Curtosis positiva, lo que implica que la curva de distribución está más picuda que la normal, caso contrario en las demás derivaciones, donde la Curtosis fue negativa. Ninguna de las derivaciones presentó un comportamiento simétrico al tener su Coeficiente de Asimetría distinto a cero.

En la Tabla 4.63 se muestran las estadísticas descriptivas del coeficiente de detalle de ondeleta "d5" en el Sujeto 2 Niños T. A. Como se puede apreciar este sujeto tuvo en promedio 0.3103 de la energía contenida en la derivación C3, 0.2831 en C4, 0.2835 en P3, 0.2772 en P4, 0.3472 en Cz y 0.3063 en Pz (Figura 4.90), esto implica que en promedio el porcentaje de energía contenida en el coeficiente de detalle "d5" va desde 27.72% al 34.72% . Al analizar su variabilidad encontramos que tiene un coeficiente de variación que va desde 0.2259 para la derivación Cz hasta 0.2800 en Pz. P3, Cz y Pz tuvieron una Curtosis positiva, lo que implica que la curva de distribución está más picuda que la normal, caso contrario en las demás derivaciones, donde la Curtosis fue negativa. C4 y P4 presentan un comportamiento simétrico al tener su Coeficiente de Asimetría muy cercano a cero.

Medidas Descriptivas	Derivaciones					
	C3	C4	P3	P4	Cz	Pz
Mínimo	0.1990	0.1410	0.1450	0.1280	0.2170	0.1560
Media	0.3103	0.2831	0.2835	0.2772	0.3472	0.3063
Desviación Estándar	0.0760	0.0737	0.0784	0.0667	0.0784	0.0857
Máximo	0.4680	0.4090	0.4820	0.4020	0.5690	0.5180
Curtosis	-0.3951	-0.9990	1.3737	-0.0174	1.6867	0.5584
Coeficiente de Asimetría	0.4484	-0.0306	0.6699	-0.0085	1.1122	0.5870
Mediana	0.2975	0.2610	0.2780	0.2745	0.3400	0.3145
Rango	0.2690	0.2680	0.3370	0.2740	0.3520	0.3620
Coeficiente de Variación	0.2448	0.2604	0.2767	0.2408	0.2259	0.2800

Tabla 4.63 Estadísticas Descriptivas del Porcentaje de Energía en el Coeficiente de Ondeleta "d5" del EEG Sujeto 2 Niños T. A.

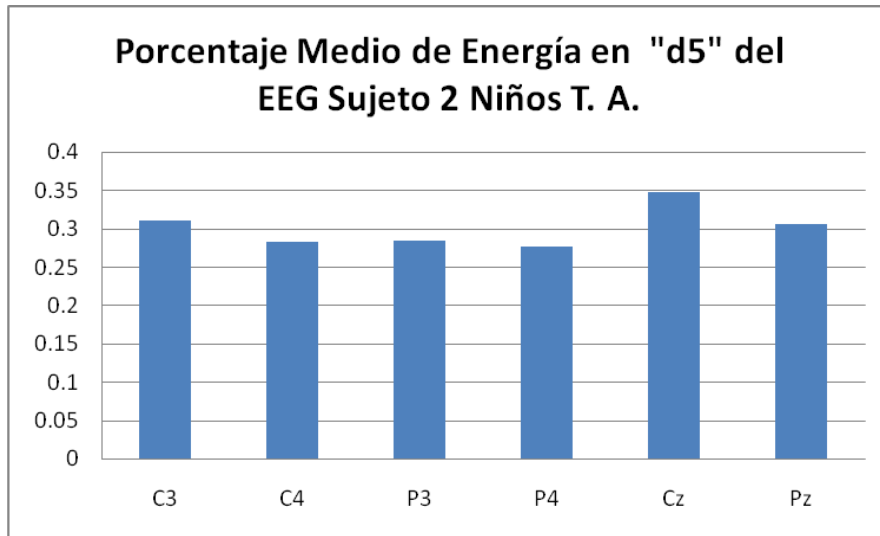


Figura 4.90 Porcentaje Medio de Energía en el Coeficiente de Ondeleta "d5" del EEG Sujeto 2 Niños T. A.

En la Tabla 4.64 se muestran las estadísticas descriptivas del coeficiente de detalle de ondeleta "d6" en el Sujeto 2 Niños T. A. Como se puede apreciar este sujeto tuvo en promedio 0.1100 de la energía contenida en la derivación C3, 0.1035 en C4, 0.1135 en P3, 0.1184 en P4, 0.1035 en Cz y 0.1130 en Pz (Figura 4.91), esto implica que en promedio el porcentaje de energía contenida en el coeficiente de detalle "d6" es menor al 12%.

Medidas Descriptivas	Derivaciones					
	C3	C4	P3	P4	Cz	Pz
Mínimo	0.0470	0.0280	0.0230	0.0310	0.0170	0.0380
Media	0.1100	0.1035	0.1135	0.1184	0.1035	0.1130
Desviación Estándar	0.0456	0.0532	0.0655	0.0788	0.0561	0.0637
Máximo	0.2040	0.2160	0.2690	0.3450	0.2320	0.2880
Curtosis	-0.4670	-0.4249	0.1536	1.9763	0.6816	2.6359
Coeficiente de Asimetría	0.6672	0.6981	1.0169	1.3607	1.0874	1.6035
Mediana	0.1015	0.0930	0.0935	0.1110	0.0905	0.1020
Rango	0.1570	0.1880	0.2460	0.3140	0.2150	0.2500
Coeficiente de Variación	0.4144	0.5135	0.5769	0.6655	0.5418	0.5634

Tabla 4.64 Estadísticas Descriptivas del Porcentaje de Energía en el Coeficiente de Ondeleta "d6" del EEG Sujeto 2 Niños T. A.

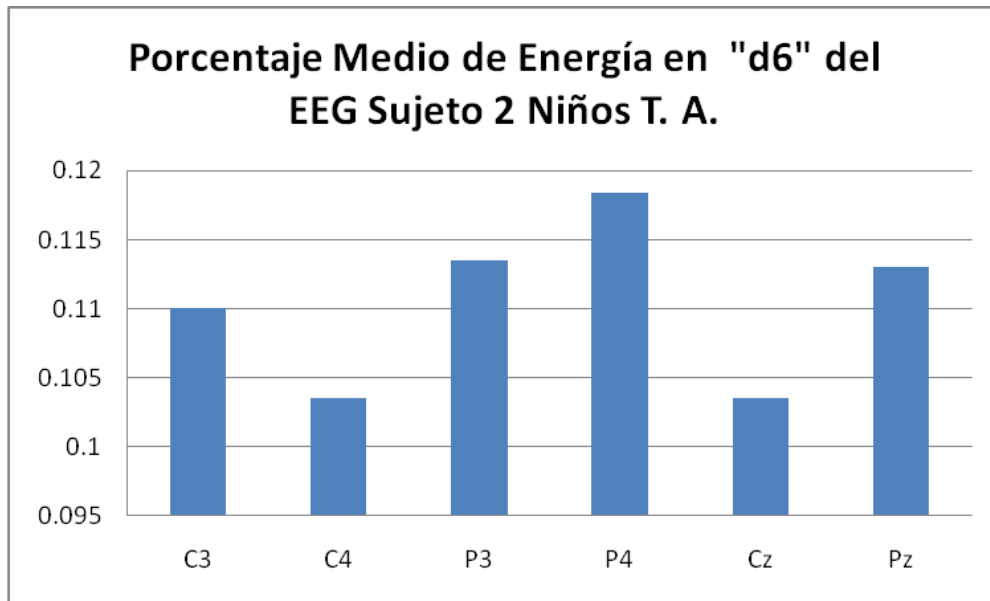


Figura 4.91 Porcentaje Medio de Energía en el Coeficiente de Ondeleta "d6" del EEG Sujeto 2 Niños T. A.

Al analizar su variabilidad encontramos una variabilidad alta, con un coeficiente de variación que va desde 0.4144 para la derivación C3 hasta 0.6655 en P4. Las derivaciones P3, P4, Cz y Pz tuvieron una Curtosis positiva, lo que implica que la curva de distribución está más picuda que la normal, caso contrario en las demás derivaciones, donde la Curtosis fue negativa. Ninguna derivación presenta un comportamiento simétrico al tener su Coeficiente de Asimetría distinto a cero.

En la Tabla 4.65 se muestran las estadísticas descriptivas del coeficiente de detalle de ondeleta "d3" en el Sujeto 3 Niños T. A. Como se puede apreciar este sujeto tuvo en promedio 0.0189 de la energía contenida en la derivación C3, 0.0187 en C4, 0.0190 en P3, 0.0159 en P4, 0.0169 en Cz y 0.0157 en Pz (Figura 4.92), esto implica que en promedio el porcentaje de energía contenida en el coeficiente de detalle "d3" no alcanza ni el 2%.

Medidas Descriptivas	Derivaciones					
	C3	C4	P3	P4	Cz	Pz
Mínimo	0.0090	0.0080	0.0060	0.0080	0.0080	0.0060
Media	0.0189	0.0187	0.0190	0.0159	0.0169	0.0157
Desviación Estándar	0.0071	0.0090	0.0089	0.0074	0.0072	0.0071
Máximo	0.0320	0.0450	0.0420	0.0360	0.0320	0.0340
Curtosis	-1.1482	1.9428	1.4195	2.6820	-0.8408	1.9053
Coefficiente de Asimetría	0.3498	1.3846	1.1946	1.6791	0.6075	1.5343
Mediana	0.0165	0.0165	0.0170	0.0145	0.0145	0.0135
Rango	0.0230	0.0370	0.0360	0.0280	0.0240	0.0280
Coefficiente de Variación	0.3744	0.4819	0.4679	0.4645	0.4252	0.4536

Tabla 4.65 Estadísticas Descriptivas del Porcentaje de Energía en el Coeficiente de Ondeleta "d3" del EEG Sujeto 3 Niños T. A.

Al analizar su variabilidad se nota muy poca variabilidad con un coeficiente de variación que va desde 0.023 para la derivación C3 hasta 0.037 en C4. Las derivaciones C4, P3, P4 y Pz tienen una Curtosis positiva, lo que implica que la curva está más picuda que la curva normal.

Las demás derivaciones presentaron una Curtosis negativa, indicativo de que tienen la curvatura más achatada que la curva normal. Ninguna derivación presenta un comportamiento simétrico al tener su Coeficiente de Asimetría diferente de cero.

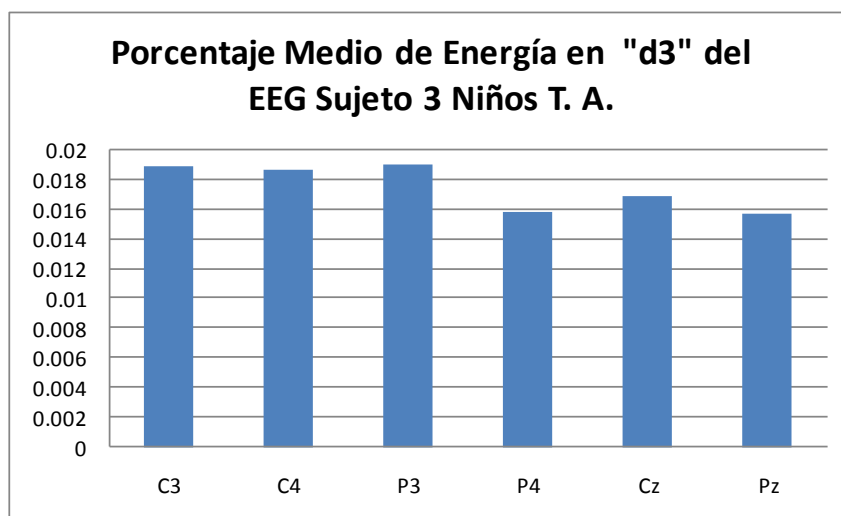


Figura 4.92 Porcentaje Medio de Energía en el Coeficiente de Ondeleta "d3" del EEG Sujeto 3 Niños T. A.

En la Tabla 4.66 se muestran las estadísticas descriptivas del coeficiente de detalle de ondeleta "d4" en el Sujeto 3 Niños T. A. Como se puede apreciar este sujeto tuvo en promedio 0.173 de la energía contenida en la derivación C3, 0.181 en C4, 0.188 en P3, 0.197 en P4, 0.176 en Cz y 0.205 en Pz (Figura 4.93).

Medidas Descriptivas	Derivaciones					
	C3	C4	P3	P4	Cz	Pz
Mínimo	0.092	0.073	0.100	0.104	0.087	0.094
Media	0.173	0.181	0.188	0.197	0.176	0.205
Desviación Estándar	0.052	0.054	0.067	0.052	0.051	0.067
Máximo	0.275	0.268	0.362	0.283	0.256	0.372
Curtosis	-0.915	-0.846	0.257	-0.970	-1.028	0.441
Coficiente de Asimetría	-0.052	-0.123	0.736	-0.269	-0.291	0.438
Mediana	0.184	0.176	0.180	0.195	0.185	0.211
Rango	0.183	0.195	0.262	0.179	0.169	0.278
Coficiente de Variación	0.302	0.300	0.358	0.262	0.291	0.325

Tabla 4.66 Estadísticas Descriptivas del Porcentaje de Energía en el Coeficiente de Ondeleta "d4" del EEG Sujeto 3 Niños T. A.

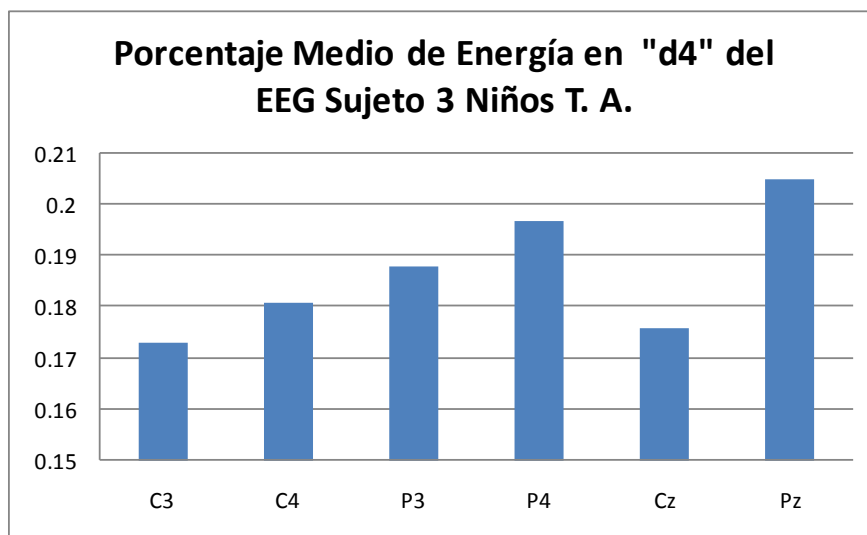


Figura 4.93 Porcentaje Medio de Energía en el Coeficiente de Ondeleta "d4" del EEG Sujeto 3 Niños T. A.

En promedio el porcentaje de energía capturado por el coeficiente de ondeleta de detalle va del 17.3% al 20.5%. Al analizar su variabilidad se tiene un coeficiente de variación que va desde 0.262 para la derivación P4 hasta 0.358 en P3. Las derivaciones P3 y Pz tuvieron una Curtosis positiva, lo que implica que la curva de distribución está más picuda que la normal, caso contrario en las demás derivaciones, donde la Curtosis fue negativa. La derivación C3 presentó un comportamiento simétrico al tener su Coeficiente de Asimetría cercano a cero.

En la Tabla 4.67 se muestran las estadísticas descriptivas del coeficiente de detalle de ondeleta "d5" en el Sujeto 3 Niños T. A. Como se puede apreciar este sujeto tuvo en promedio 0.5361 de la energía contenida en la derivación C3, 0.5684 en C4, 0.5498 en P3, 0.5550 en P4, 0.5598 en Cz y 0.5675 en Pz (Figura 4.94), esto implica que en promedio el porcentaje de energía contenida en el coeficiente de detalle "d5" va desde 53.61% al 56.84%. Al analizar su variabilidad encontramos que tiene un coeficiente de variación que va desde 0.2180 para la derivación P4 hasta 0.2646 en P3. La derivación Pz tuvo una Curtosis positiva, lo que implica que la curva de distribución está más picuda que la normal, caso contrario en las demás derivaciones, donde la Curtosis fue negativa. La derivación C4 presenta un comportamiento simétrico al tener su Coeficiente de Asimetría muy cercano a cero.

Medidas Descriptivas	Derivaciones					
	C3	C4	P3	P4	Cz	Pz
Mínimo	0.3150	0.3710	0.2330	0.3790	0.3590	0.2390
Media	0.5361	0.5684	0.5498	0.5550	0.5598	0.5675
Desviación Estándar	0.1379	0.1333	0.1454	0.1210	0.1331	0.1254
Máximo	0.7860	0.7880	0.7660	0.7470	0.8000	0.7590
Curtosis	-1.1024	-1.1764	-0.6518	-1.2950	-0.8401	0.5598
Coeficiente de Asimetría	0.1383	0.0664	-0.5144	0.1016	0.3554	-0.3910
Mediana	0.5165	0.5940	0.5680	0.5460	0.5625	0.5655
Rango	0.4710	0.4170	0.5330	0.3680	0.4410	0.5200
Coeficiente de Variación	0.2572	0.2344	0.2646	0.2180	0.2377	0.2209

Tabla 4.67 Estadísticas Descriptivas del Porcentaje de Energía en el Coeficiente de Ondeleta "d5" del EEG Sujeto 3 Niños T. A.

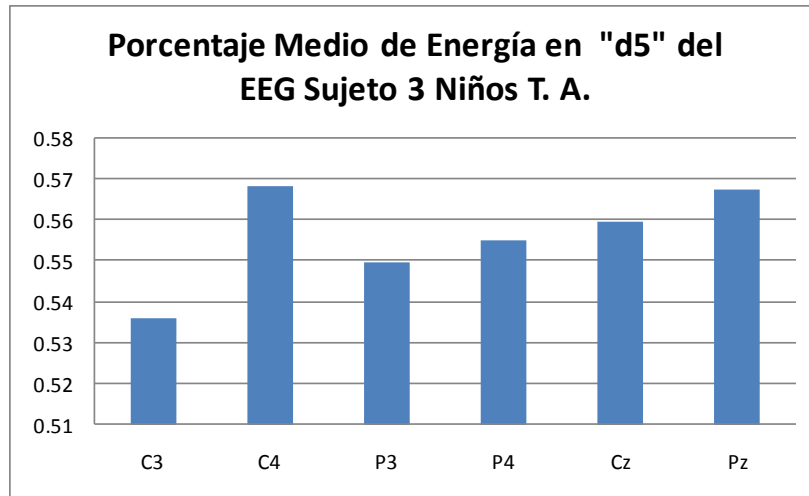


Figura 4.94 Porcentaje Medio de Energía en el Coeficiente de Ondeleta "d5" del EEG Sujeto 3 Niños T. A.

En la Tabla 4.68 se muestran las estadísticas descriptivas del coeficiente de detalle de ondeleta "d6" en el Sujeto 3 Niños T. A. Como se puede apreciar este sujeto tuvo en promedio 0.0778 de la energía contenida en la derivación C3, 0.0773 en C4, 0.0718 en P3, 0.0718 en P4, 0.0904 en Cz y 0.0645 en Pz (Figura 4.95), esto implica que en promedio el porcentaje de energía contenida en el coeficiente de detalle "d6" es menor al 9.1%.

Medidas Descriptivas	Derivaciones					
	C3	C4	P3	P4	Cz	Pz
Mínimo	0.0080	0.0110	0.0230	0.0090	0.0210	0.0070
Media	0.0778	0.0773	0.0718	0.0718	0.0904	0.0645
Desviación Estándar	0.0442	0.0450	0.0483	0.0474	0.0507	0.0368
Máximo	0.2060	0.1740	0.2380	0.2040	0.1880	0.1520
Curtosis	2.2438	-0.2932	5.3825	1.6517	-0.9064	0.4326
Coefficiente de Asimetría	1.3422	0.6096	2.1410	1.1319	0.5970	0.7761
Mediana	0.0680	0.0725	0.0570	0.0695	0.0810	0.0605
Rango	0.1980	0.1630	0.2150	0.1950	0.1670	0.1450
Coefficiente de Variación	0.5689	0.5823	0.6732	0.6597	0.5606	0.5706

Tabla 4.68 Estadísticas Descriptivas del Porcentaje de Energía en el Coeficiente de Ondeleta "d6" del EEG Sujeto 3 Niños T. A.

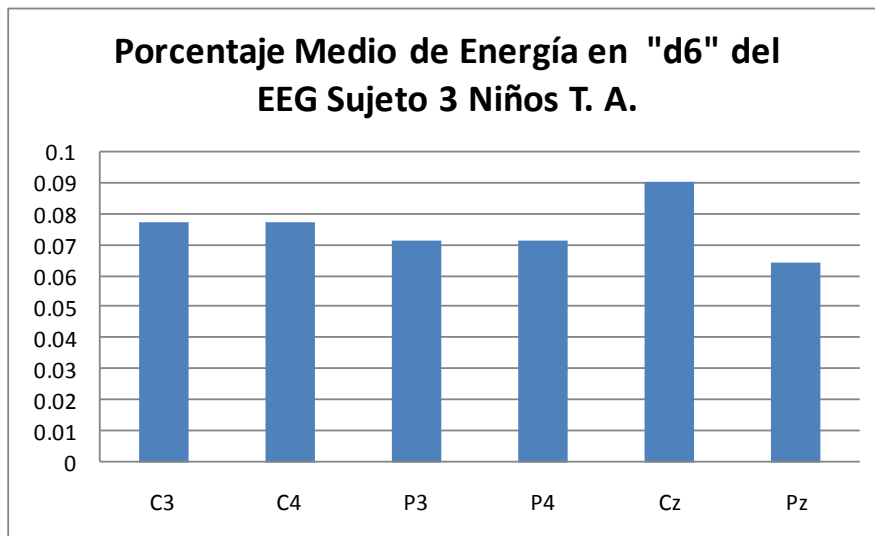


Figura 4.95 Porcentaje Medio de Energía en el Coeficiente de Ondeleta "d6" del EEG Sujeto 3 Niños T. A.

Al analizar su variabilidad encontramos una variabilidad alta, con un coeficiente de variación que va desde 0.5606 para la derivación Cz hasta 0.6732 en P3. Las derivaciones C3, P3, P4 y Pz tuvieron una Curtosis positiva, lo que implica que la curva de distribución está más picuda que la normal, caso contrario en las demás derivaciones, donde la Curtosis fue negativa. Ninguna derivación presenta un comportamiento simétrico al tener su Coeficiente de Asimetría distinto a cero.

En la Tabla 4.69 se muestran las estadísticas descriptivas del coeficiente de detalle de ondeleta "d3" en el Sujeto 4 Niños T. A. Como se puede apreciar este sujeto tuvo en promedio 0.1351 de la energía contenida en la derivación C3, 0.1354 en C4, 0.1200 en P3, 0.1183 en P4, 0.1097 en Cz y 0.1033 en Pz (Figura 4.96), esto implica que en promedio el porcentaje de energía contenida en el coeficiente de detalle "d3" no alcanza ni el 13.6%.

Medidas Descriptivas	Derivaciones					
	C3	C4	P3	P4	Cz	Pz
Mínimo	0.0710	0.0760	0.0580	0.0720	0.0500	0.0520
Media	0.1351	0.1354	0.1200	0.1183	0.1097	0.1033
Desviación Estándar	0.0370	0.0350	0.0311	0.0293	0.0355	0.0248
Máximo	0.2060	0.2060	0.1690	0.1700	0.1820	0.1420
Curtosis	-0.1508	-0.5072	-0.6334	-1.1073	-0.4898	-0.6362
Coefficiente de Asimetría	0.1785	0.0991	-0.3454	0.1941	0.4760	-0.2816
Mediana	0.1350	0.1360	0.1305	0.1155	0.1070	0.1060
Rango	0.1350	0.1300	0.1110	0.0980	0.1320	0.0900
Coefficiente de Variación	0.2742	0.2587	0.2593	0.2479	0.3240	0.2403

Tabla 4.69 Estadísticas Descriptivas del Porcentaje de Energía en el Coeficiente de Ondeleta "d3" del EEG Sujeto 4 Niños T. A.

Al analizar su variabilidad se tiene un coeficiente de variación que va desde 0.2403 para la derivación Pz hasta 0.3240 en Cz. Todas las derivaciones tuvieron una Curtosis negativa, indicativo de que tienen la curvatura más achatada que la curva normal. La derivación C4 presentó un comportamiento simétrico al tener su Coeficiente de Asimetría cercano a cero.

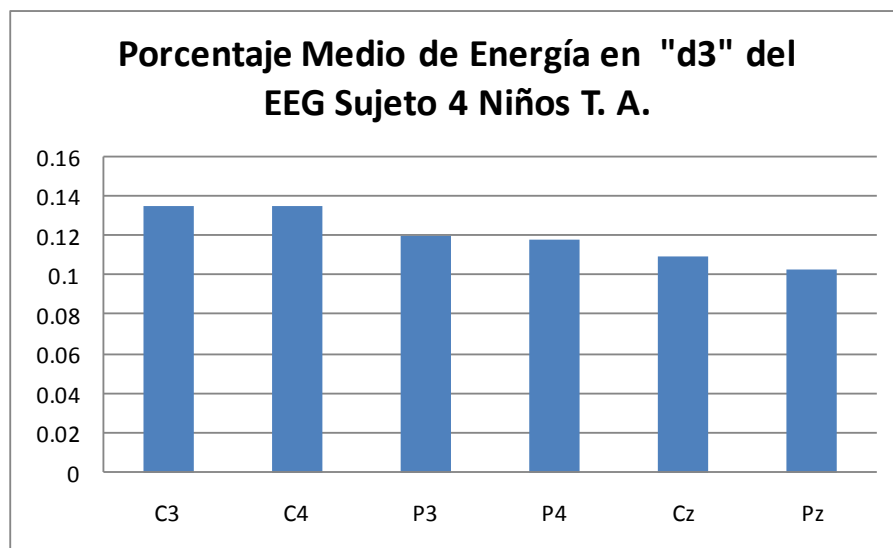


Figura 4.96 Porcentaje Medio de Energía en el Coeficiente de Ondeleta "d3" del EEG Sujeto 4 Niños T. A.

En la Tabla 4.70 se muestran las estadísticas descriptivas del coeficiente de detalle de ondeleta "d4" en el Sujeto 4 Niños T. A. Como se puede apreciar este sujeto tuvo en promedio 0.291 de la energía contenida en la derivación C3, 0.280 en C4, 0.310 en P3, 0.293 en P4, 0.270 en Cz y 0.332 en Pz (Figura 4.97). En promedio el porcentaje de energía capturado por el coeficiente de ondeleta de detalle va del 27% al 33.2%.

Medidas Descriptivas	Derivaciones					
	C3	C4	P3	P4	Cz	Pz
Mínimo	0.206	0.156	0.171	0.192	0.154	0.152
Media	0.291	0.280	0.310	0.293	0.270	0.332
Desviación Estándar	0.060	0.067	0.081	0.060	0.079	0.088
Máximo	0.394	0.391	0.461	0.461	0.416	0.483
Curtosis	-1.239	-1.127	-0.652	1.864	-1.058	-0.399
Coefficiente de Asimetría	0.437	-0.165	0.258	0.884	0.524	0.073
Mediana	0.276	0.285	0.275	0.289	0.245	0.328
Rango	0.188	0.235	0.290	0.269	0.262	0.331
Coefficiente de Variación	0.207	0.240	0.261	0.206	0.293	0.264

Tabla 4.70 Estadísticas Descriptivas del Porcentaje de Energía en el Coeficiente de Ondeleta "d4" del EEG Sujeto 4 Niños T. A.

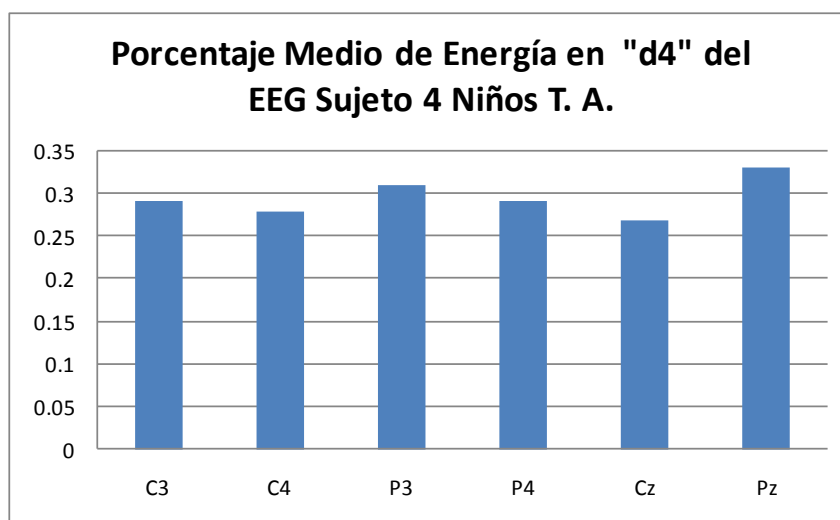


Figura 4.97 Porcentaje Medio de Energía en el Coeficiente de Ondeleta "d4" del EEG Sujeto 4 Niños T. A.

Al analizar su variabilidad se tiene un coeficiente de variación que va desde 0.206 para la derivación P4 hasta 0.293 en Cz. La derivación P4 tuvo una Curtosis positiva, lo que implica que la curva de distribución está más picuda que la normal, caso contrario en las demás derivaciones, donde la Curtosis fue negativa. La derivación Pz presentó un comportamiento simétrico al tener su Coeficiente de Asimetría cercano a cero.

En la Tabla 4.71 se muestran las estadísticas descriptivas del coeficiente de detalle de ondeleta "d5" en el Sujeto 4 Niños T. A. Como se puede apreciar este sujeto tuvo en promedio 0.1481 de la energía contenida en la derivación C3, 0.1644 en C4, 0.1345 en P3, 0.1453 en P4, 0.1678 en Cz y 0.1287 en Pz (Figura 4.98), esto implica que en promedio el porcentaje de energía contenida en el coeficiente de detalle "d5" va desde 12.87% al 16.78%. Al analizar su variabilidad encontramos variabilidad alta con un coeficiente de variación que va desde 0.2785 para la derivación C4 hasta 0.4861 en Pz. Las derivaciones Cz y Pz tuvieron una Curtosis positiva, lo que implica que la curva de distribución está más picuda que la normal, caso contrario en las demás derivaciones, donde la Curtosis fue negativa. Ninguna derivación presenta un comportamiento simétrico al tener su Coeficiente de Asimetría distinto de cero.

Medidas Descriptivas	Derivaciones					
	C3	C4	P3	P4	Cz	Pz
Mínimo	0.0560	0.0900	0.0690	0.0570	0.0410	0.0520
Media	0.1481	0.1644	0.1345	0.1453	0.1678	0.1287
Desviación Estándar	0.0640	0.0458	0.0587	0.0509	0.0733	0.0626
Máximo	0.2990	0.2530	0.2800	0.2380	0.3540	0.2800
Curtosis	-0.3047	-0.7665	-0.0320	-0.6568	0.5016	0.3211
Coeficiente de Asimetría	0.6657	0.4740	0.8226	0.3273	0.6097	0.9006
Mediana	0.1335	0.1550	0.1225	0.1375	0.1710	0.1165
Rango	0.2430	0.1630	0.2110	0.1810	0.3130	0.2280
Coeficiente de Variación	0.4324	0.2785	0.4362	0.3502	0.4368	0.4861

Tabla 4.71 Estadísticas Descriptivas del Porcentaje de Energía en el Coeficiente de Ondeleta "d5" del EEG Sujeto 4 Niños T. A.

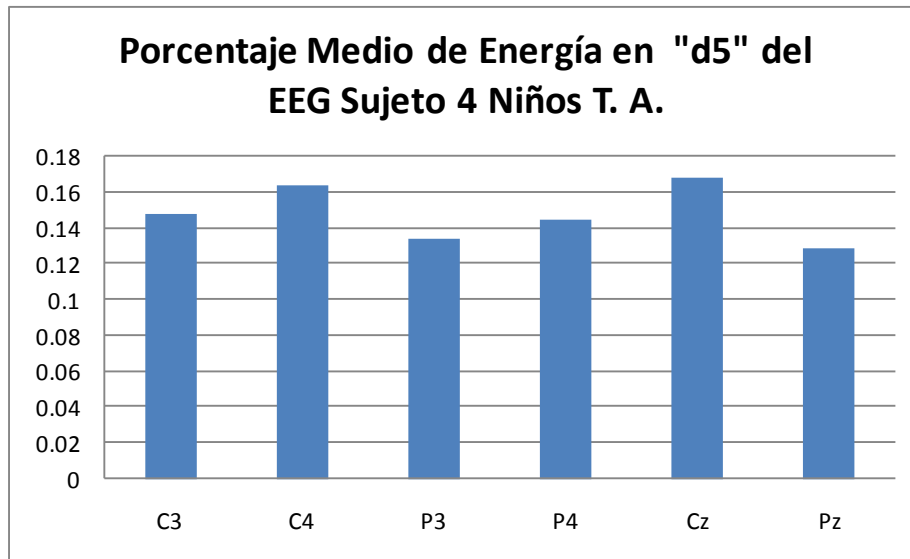


Figura 4.98 Porcentaje Medio de Energía en el Coeficiente de Ondeleta "d5" del EEG Sujeto 4 Niños T. A.

En la Tabla 4.72 se muestran las estadísticas descriptivas del coeficiente de detalle de ondeleta "d6" en el Sujeto 4 Niños T. A. Como se puede apreciar este sujeto tuvo en promedio 0.0889 de la energía contenida en la derivación C3, 0.1083 en C4, 0.1003 en P3, 0.1061 en P4, 0.1040 en Cz y 0.0958 en Pz (Figura 4.99), esto implica que en promedio el porcentaje de energía contenida en el coeficiente de detalle "d6" es menor al 11%.

Medidas Descriptivas	Derivaciones					
	C3	C4	P3	P4	Cz	Pz
Mínimo	0.0270	0.0420	0.0250	0.0350	0.0250	0.0240
Media	0.0889	0.1083	0.1003	0.1060	0.1040	0.0958
Desviación Estándar	0.0484	0.0495	0.0567	0.0454	0.0535	0.0490
Máximo	0.2000	0.2320	0.2330	0.2070	0.2310	0.2190
Curtosis	0.8682	0.6046	1.4749	-0.6516	0.3709	0.7277
Coficiente de Asimetría	1.1411	0.9802	1.3511	0.6138	0.9012	1.0586
Mediana	0.0750	0.0970	0.0910	0.0885	0.0975	0.0805
Rango	0.1730	0.1900	0.2080	0.1720	0.2060	0.1950
Coficiente de Variación	0.5447	0.4568	0.5652	0.4284	0.5146	0.5113

Tabla 4.72 Estadísticas Descriptivas del Porcentaje de Energía en el Coeficiente de Ondeleta "d6" del EEG Sujeto 4 Niños T. A.

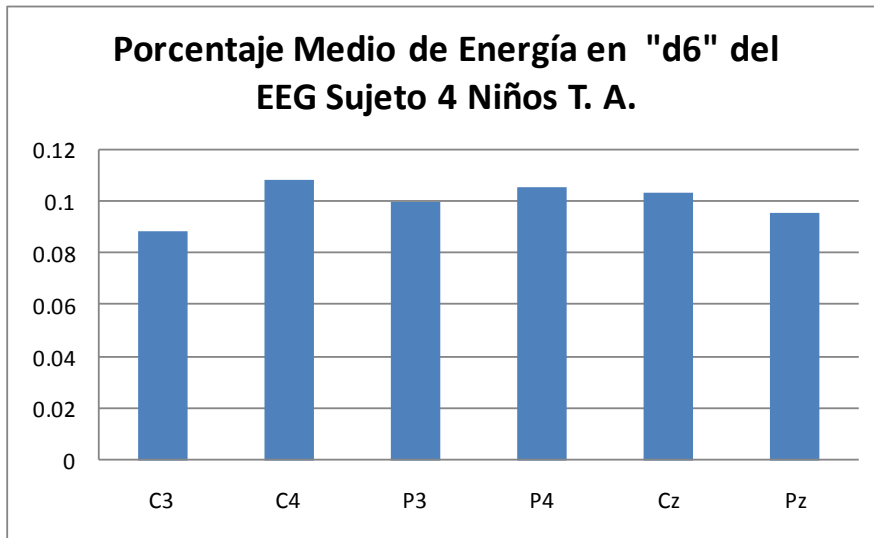


Figura 4.99 Porcentaje Medio de Energía en el Coeficiente de Ondeleta "d6" del EEG Sujeto 4 Niños T. A.

Al analizar su variabilidad encontramos una variabilidad alta, con un coeficiente de variación que va desde 0.4284 para la derivación P4 hasta 0.5652 en P3. Las derivaciones C3, C4, P3, Cz y Pz tuvieron una Curtosis positiva, lo que implica que la curva de distribución está más picuda que la normal, caso contrario en las demás derivaciones, donde la Curtosis fue negativa. Ninguna derivación presenta un comportamiento simétrico al tener su Coeficiente de Asimetría distinto a cero.

De manera general, todos los sujetos sanos (tanto niños como adultos) tuvieron la mayoría de sus segmentos con la máxima energía en el coeficiente de detalle "d4". En contraste, los Niños con T.A. presentaron comportamientos diversos: dos de ellos tuvieron la mayoría de sus segmentos con la máxima energía en el coeficiente de detalle "d5" para regiones centrales y "d4" para regiones parietales, uno tuvo la mayoría de sus segmentos con la máxima energía en el coeficiente de detalle "d4" y otro tuvo la mayoría de sus segmentos con la máxima energía en el coeficiente de detalle "d5".

Respecto al porcentaje medio de energía, debe aclararse que para un sujeto del grupo Niños Sanos no se hizo el análisis, por lo que nos referiremos a los 11 sujetos restantes. En varios sujetos sanos (3 adultos y 2 niños) en “d3” es menor para las regiones centrales que para las parietales, mientras que sólo ocurre esta relación centro parietal en uno de los niños con T.A.

En todos los sujetos, con excepción del sujeto 3 de Adultos Sanos y el sujeto 4 de Niños con T.A., el porcentaje medio de energía en “d4” fue menor en regiones centrales que en las parietales. En 3 Niños con T.A., un Niño Sano y 2 Adultos Sanos, se invierte la relación centroparietal en “d5”; es decir, las regiones centrales muestran un mayor porcentaje medio de energía que las parietales. En “d6” se mantiene esta relación en 3 de los sujetos, uno de cada grupo. De modo que ésta no debe ser una buena medida para diferenciar entre grupos, ya que la media no está representando al conjunto total de datos, al tener una gran variabilidad y no estar centrada en el origen.

La Tabla 4.73 muestra los valores de potencia, para todos los sujetos en la derivación Cz, que se obtuvieron mediante la FFT.

Valores Z De Acuerdo A Normas Por Edad En La Derivación Cz									
		POTENCIA ABSOLUTA (PA)				POTENCIA RELATIVA (PR)			
Grupo	Sujeto	Delta	Theta	Alfa	Beta	Delta	Theta	Alfa	Beta
Adultos Sanos	Sujeto 1	-1.59	-1.00	-0.26	0.54	-0.91	-0.50	0.31	1.96
Adultos Sanos	Sujeto 2	-0.69	-0.04	-0.11	-1.09	-0.35	0.63	0.23	-1.17
Adultos Sanos	Sujeto 3	-2.45	-1.34	0.07	-1.68	-1.74	-1.54	1.82	-1.29
Adultos Sanos	Sujeto 4	-2.27	-2.14	-0.79	-1.62	-0.26	-0.93	0.79	-0.05
Niños Sanos	Sujeto 1	-1.25	-0.88	0.84	-0.95	-1.58	-1.50	2.19	-1.12
Niños Sanos	Sujeto 2	-2.70	-1.11	-0.91	-1.39	-1.40	0.85	0.47	0.21
Niños Sanos	Sujeto 3	-3.43	-2.00	-0.62	-0.84	-2.03	-0.80	1.55	1.47
Niños Sanos	Sujeto 4	-1.55	-0.06	0.51	-0.86	-2.09	0.07	1.41	-1.09
Niños T. A.	Sujeto 1	-1.78	-0.28	-1.43	-2.30	-0.87	2.13	-1.10	-1.61
Niños T. A.	Sujeto 2	-1.01	0.93	0.25	-1.25	-1.94	1.95	0.02	-2.08
Niños T. A.	Sujeto 3	0.19	3.42	-1.75	-1.18	-3.06	6.11	-4.99	-4.35
Niños T. A.	Sujeto 4	-1.06	-0.63	0.31	1.39	-1.08	-0.73	1.01	2.56

	Anormal no-patológico
	Patológico

Tabla 4.73 Valores Z de acuerdo a Normas por edad en la Derivación Cz para los tres grupos: Niños Sanos, Niños T. A. y Adultos Sanos.

Es importante notar que sólo los Sujetos del grupo T. A. presentaron valores anormales con una interpretación patológica en la potencia absoluta y la potencia relativa, la potencia absoluta es obtenida a través del Periodograma como el área bajo la curva en las bandas de frecuencia especificadas; mientras que la Potencia Relativa está dada por la proporción de Potencia Absoluta respecto al área total considerando a todas las bandas de frecuencia.

Análisis de la entropía

Con la finalidad de conocer el grado de orden-desorden de las señales se calculó la entropía de Shannon, en las derivaciones C3, C4, P3, P4, Cz y Pz, para todos los segmentos de los tres grupos (ANEXO 3). La Figura 4.100 muestra las distribuciones de las entropías del EEG en la derivación C3 para los tres grupos: Niños Sanos, Niños T. A. y Adultos Sanos respectivamente. Como se puede observar el grupo de Niños Sanos presenta un comportamiento muy similar entre los Sujetos. La distribución de las entropías en los Niños T. A. por el contrario, muestran al Sujeto 3 con un comportamiento diferente a los demás de su grupo, con una mayor dispersión y una mediana menor, el Sujeto 4 presenta un sesgo negativo. En los Adultos Sanos la distribución de las entropías es similar entre los sujetos 1 y 2, por otro lado el Sujeto 4 presenta un sesgo negativo.

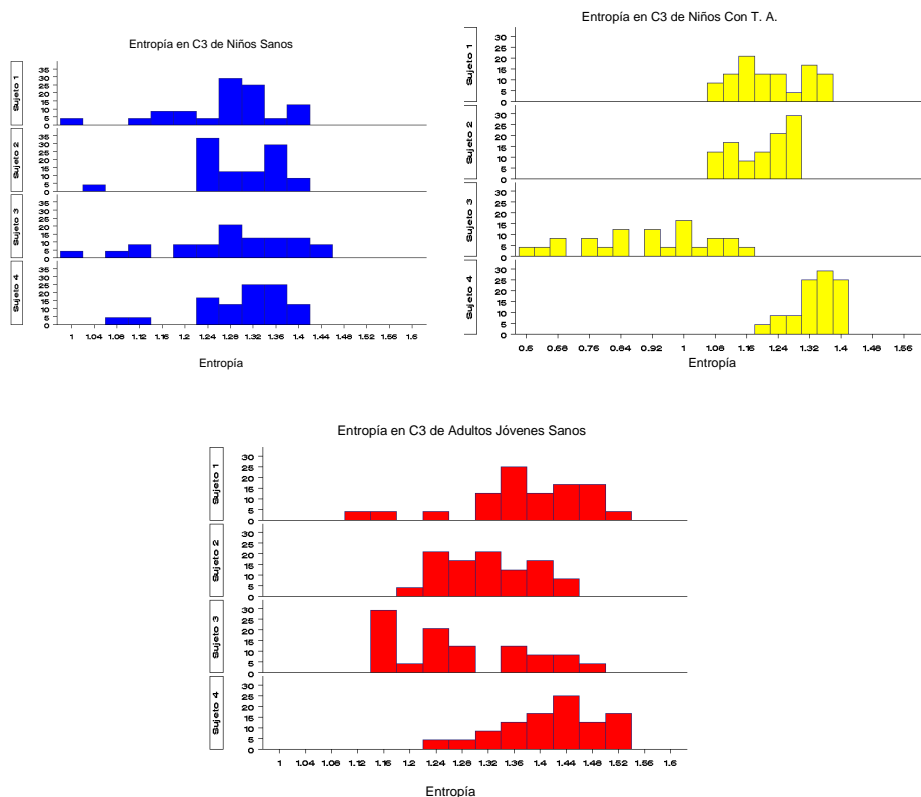


Figura 4.100 Histogramas de la Entropía del EEG en la Derivación C3 arriba izquierda Niños Sanos, arriba derecha Niños con T. A., abajo Adultos Sanos

La Figura 4.101 muestran las distribuciones de las entropías del EEG en la derivación C4 para los tres grupos: Niños Sanos, Niños T. A. y Adultos Sanos respectivamente. Como se puede observar, de nuevo el grupo de Niños Sanos presenta un comportamiento muy similar entre los Sujetos. La distribución de las entropías en los Niños T. A. por el contrario, muestran al Sujeto 3 con un comportamiento diferente a los demás de su grupo, con una mayor dispersión y una mediana menor, el Sujeto 4 presenta valores mayores a los demás. En los Adultos Sanos la distribución de las entropías muestran al sujeto 3 con una mayor dispersión, pero en general para los Sujetos 1, 2 y 4, el Rango de valores es muy similar.

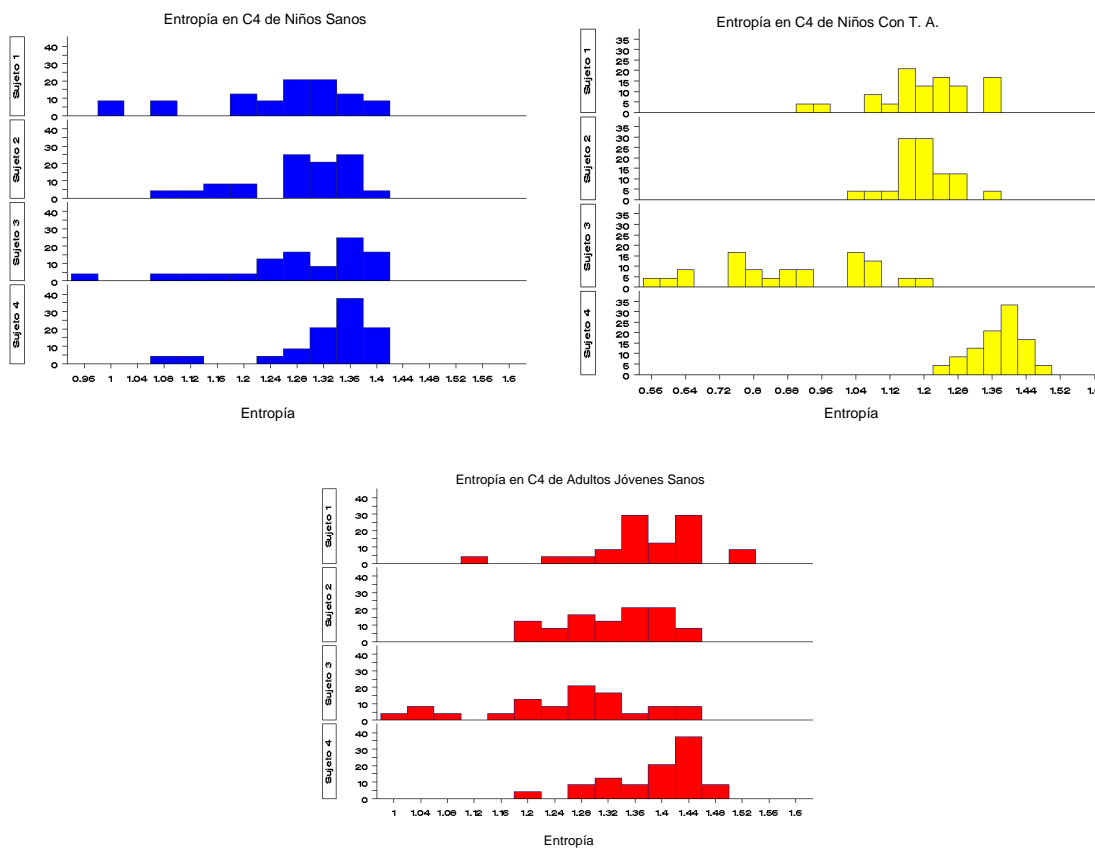


Figura 4.101 Histogramas de la Entropía del EEG en la Derivación C4 arriba izquierda Niños Sanos, arriba derecha Niños con T. A., abajo Adultos Sanos

La Figura 4.102 muestran las distribuciones de las entropías del EEG en la derivación P3 para los tres grupos: Niños Sanos, Niños T. A. y Adultos Sanos respectivamente. Como se puede observar en el grupo de Niños Sanos el Sujeto 3 presenta un valor alejado de la distribución, que podría suponer la presencia de datos aberrantes, mismo que se tiene que verificar con los diagramas de caja, pero en general, el grupo presenta un rango de entropías muy similar. De nuevo el Sujeto 3 de los Niños T. A. presenta una distribución de las entropías muy dispersa y una mediana menor, se vuelven a reflejar similitudes entre el Sujeto 1 y 2 y el Sujeto 4 presenta valores mayores en las entropías y parece haber valores aberrantes. En los Adultos Sanos la distribución de las entropías es similar entre los sujetos 1, 2 y 3, mientras que en el Sujeto 4 parece haber datos aberrantes.

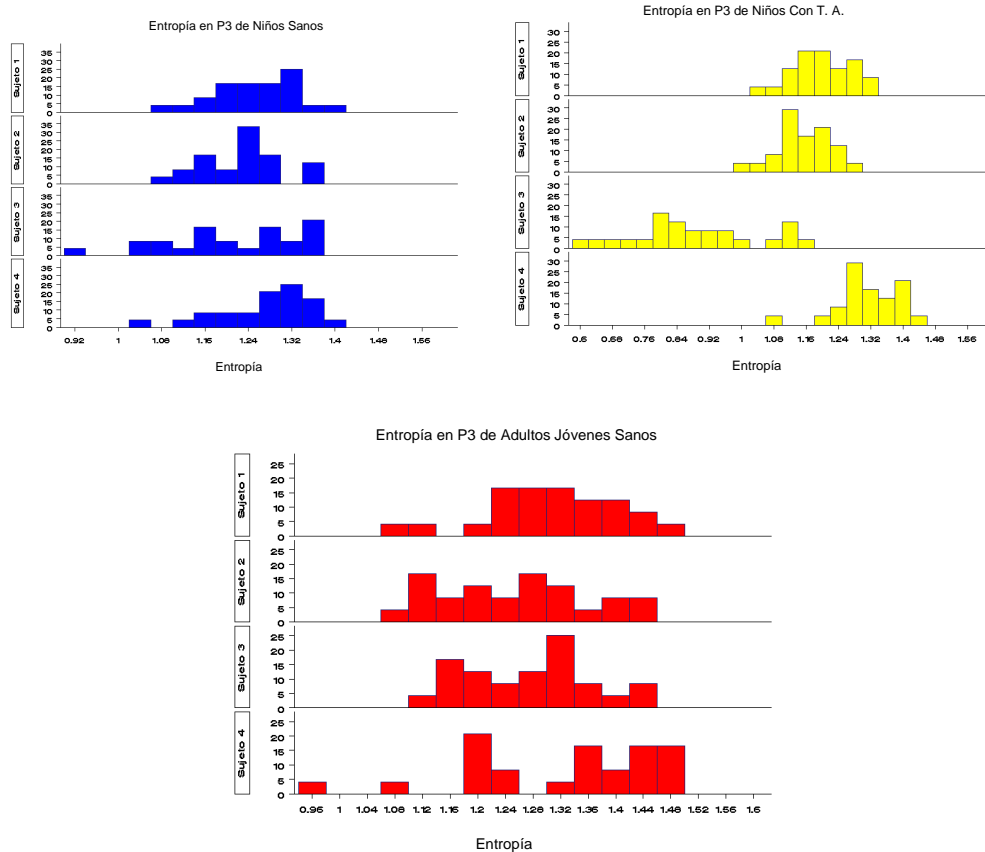


Figura 4.102 Histogramas de la Entropía del EEG en la Derivación P3 arriba izquierda Niños Sanos, arriba derecha Niños con T. A., abajo Adultos Sanos

La Figura 4.103 muestran las distribuciones de las entropías del EEG en la derivación P4 para los tres grupos: Niños Sanos, Niños T. A. y Adultos Sanos respectivamente. Como se puede observar el grupo de Niños Sanos presenta un comportamiento muy similar entre los Sujetos 1, 2 y 3, sin perder de vista la presencia de posibles datos aberrantes en los Sujetos 1 y 2. El sujeto 4 presenta un sesgo negativo y parece también que contienen datos aberrantes. De nuevo el Sujeto 3 en los Niños T. A. muestra una mayor dispersión y una mediana menor; mientras que el Sujeto 4 presenta valores mayores de entropía. En los Adultos Sanos la distribución de las entropías es similar entre los sujetos 1, 2 y 4, mismos que sugieren la presencia de datos aberrantes por otro lado el Sujeto 3 tiene una mayor dispersión.

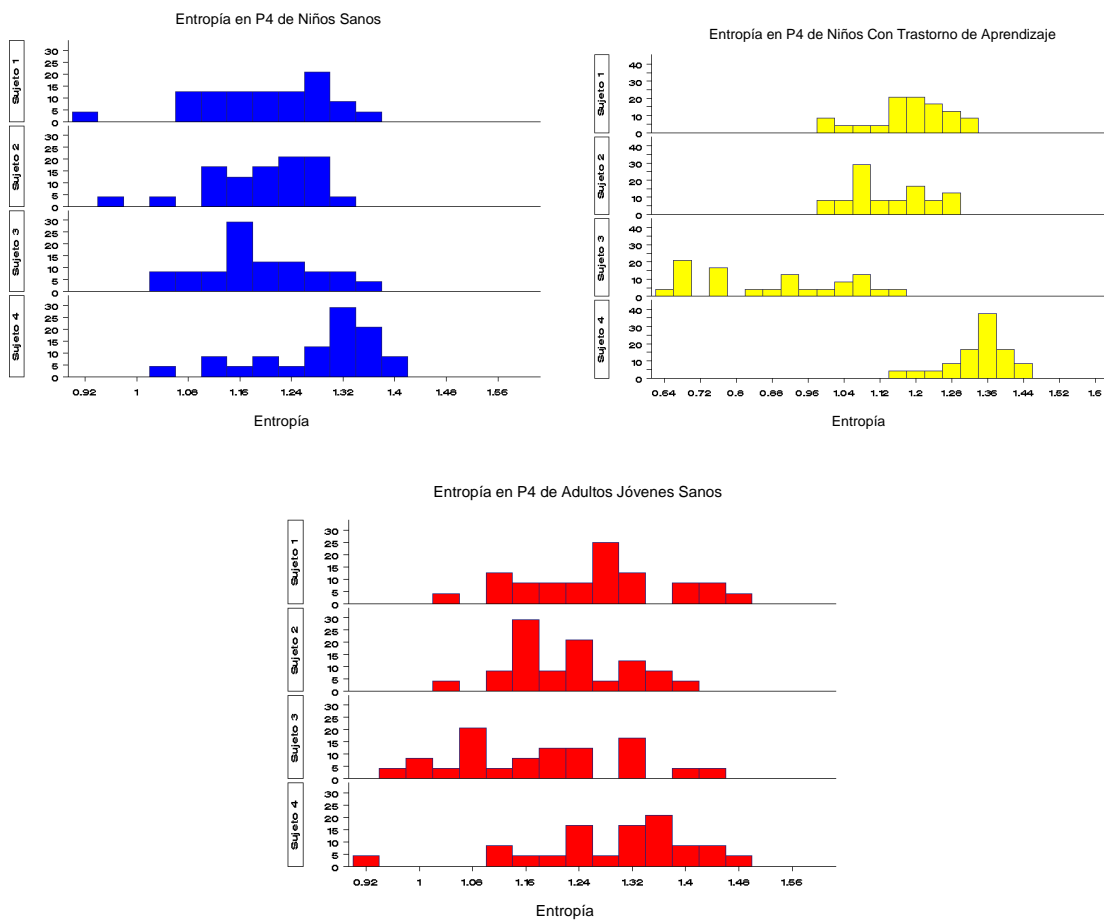


Figura 4.103 Histogramas de la Entropía del EEG en la Derivación P4 arriba izquierda Niños Sanos, arriba derecha Niños con T. A., abajo Adultos Sanos

La Figura 4.104 muestran las distribuciones de las entropías del EEG en la derivación Cz para los tres grupos: Niños Sanos, Niños T. A. y Adultos Sanos respectivamente. Como se puede observar en el grupo de Niños Sanos los Sujetos 2 y 3 presenta un comportamiento muy similar, mientras que el Sujeto 4 presenta un sesgo negativo; el Sujeto 1 muestra un bloque de datos alejados de los demás y tiene una distribución bimodal. La distribución de las entropías en los Niños T. A. muestran al Sujeto 3 de nuevo con valores menores a los demás, sin embargo, comparado con las demás derivaciones su dispersión es menor; los sujetos 1 y 2 tienen valores similares aunque el Sujeto 1 tiene un rango mayor; el Sujeto 4 tiene una dispersión menor pero valores superiores de la entropía. En los Adultos Sanos la distribución de las entropías es similar entre los Sujetos 1, 2 y 4 si no tomamos en cuenta los datos aberrantes; por otro lado el Sujeto 3 presenta valores menores y el valor de la moda es mucho menor a la de los demás.

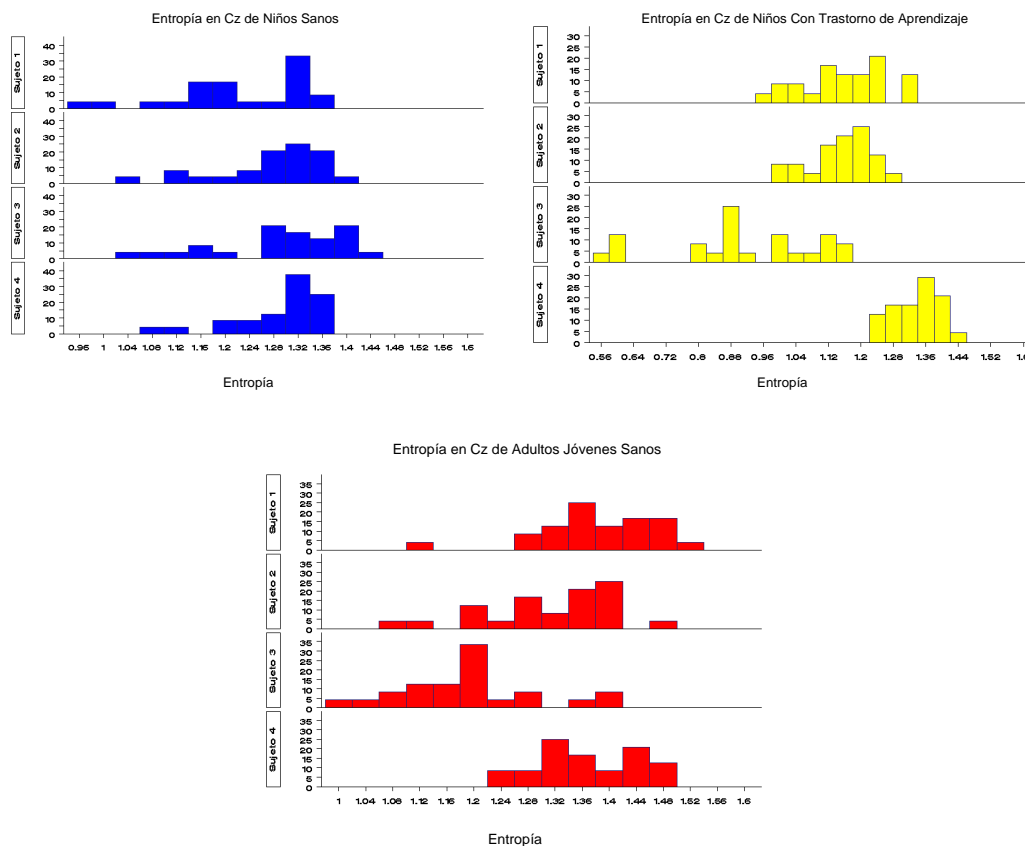


Figura 4.104 Histogramas de la Entropía del EEG en la Derivación Cz arriba izquierda Niños Sanos, arriba derecha Niños con T. A., abajo Adultos Sanos

La Figura 4.105 muestran las distribuciones de las entropías del EEG en la derivación Pz para los tres grupos: Niños Sanos, Niños T. A. y Adultos Sanos respectivamente. Como se puede observar el grupo de Niños Sanos no se presenta un comportamiento similar entre los Sujetos, se nota la presencia de datos aberrantes y el Sujeto 3 muestra una dispersión mayor a los demás. La distribución de las entropías en los Niños T. A. muestran al Sujeto 3 con un una mayor dispersión y una mediana menor a las de su grupo; los Sujetos 1 y 2 tienen valores similares pero el Sujeto 2 tiene un rango menor; el Sujeto 4 tiene valores un poco mayores a los demás pero tiene un comportamiento más simétrico. En los Adultos Sanos la distribución de las entropías si no se toman en cuenta los datos aberrantes parece similar entre los Sujetos.

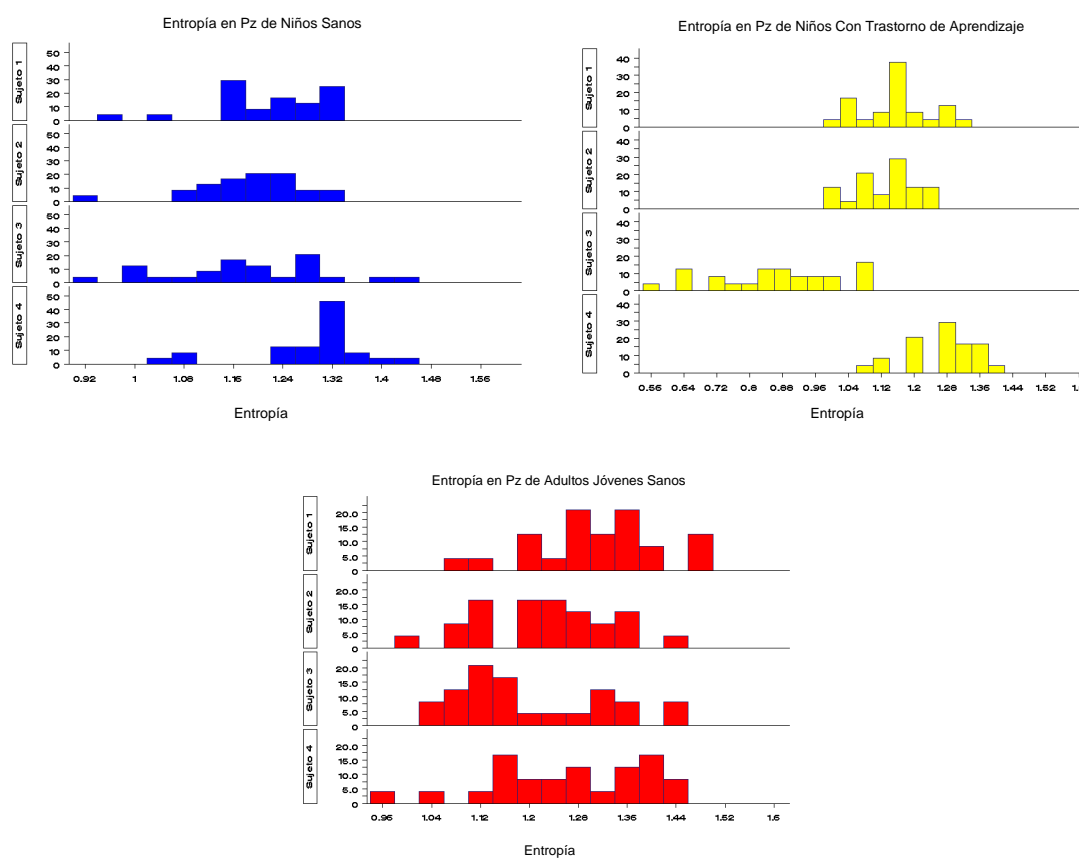


Figura 4.105 Histogramas de la Entropía del EEG en la Derivación Pz arriba izquierda Niños Sanos, arriba derecha Niños con T. A., abajo Adultos Sanos

Para poder comparar las distribuciones de las entropías entre los Sujetos de un mismo grupo y encontrar datos aberrantes se calcularon los Diagramas de Caja (Devore, 2005) para los tres grupos: Niños Sanos, Niños T. A. y Adultos Sanos para todos los sujetos. En la Figura 4.106 se muestran los diagramas de caja de las entropías del EEG en la derivación C3, para los tres grupos.

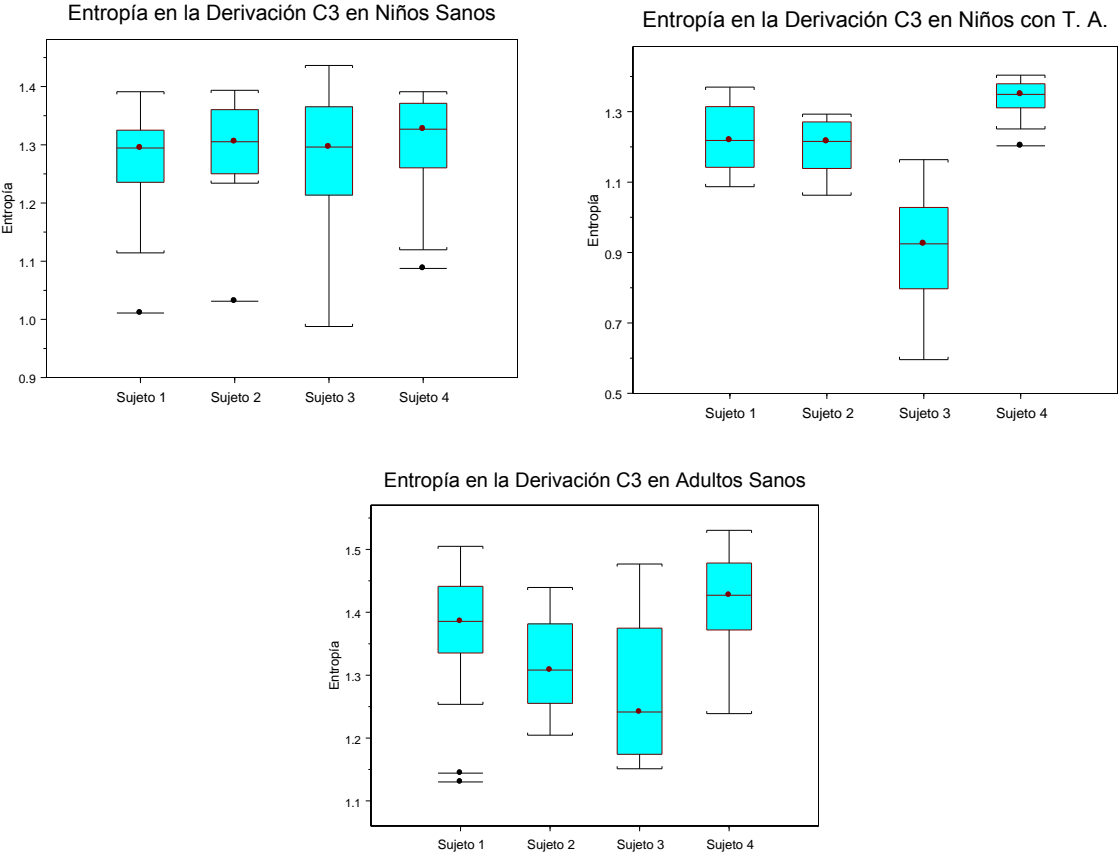


Figura 4.106 Diagramas de Caja de la Entropía del EEG en la Derivación C3 arriba izquierda Niños Sanos, arriba derecha Niños con T. A., abajo Adultos Sanos

Para el grupo de Niños Sanos las medianas son muy similares. Los Sujetos 1, 3 y 4 presentaron un comportamiento asimétrico con mayor variabilidad en el primer cuartil. El sujeto 2 tuvo una caja simétrica y con menos variabilidad. Existió un dato aberrante en los Sujetos 1, 2 y 4 hacia los valores menores, lo que implica que en ese segmento del EEG en la derivación C3 existió un coeficiente de ondeleta con un mayor porcentaje de energía que los demás. La Tabla 4.74. muestra los valores de los porcentajes de energía en los coeficientes de ondeleta correspondiente a los datos aberrantes de Entropía, en los Niños Sanos el Sujeto 1 tiene su mayor energía en el coeficiente de detalle “d4” con 0.498 y el siguiente porcentaje de energía fue “d5” con 0.104, lo que nos indica que en ese segmento el Sujeto 1 presentó un gran contenido de Alfa 1, mientras que el Sujeto 2 presentó un porcentaje de energía en “d4” de 0.233 y en “d5” 0.218 de nuevo se presentó un comportamiento de Alfa 1, pero en este caso la frecuencia de Alfa 1 fue menor que en el caso del Sujeto 1. En el caso del Sujeto 4 donde la entropía fue de 1.088, el coeficiente suavizado de la señal fue el que más pesó.

Porcentaje de Energía de los Coeficientes de Ondeleta del EEG en la Derivación C3 con datos aberrantes en la Entropía									
Grupo	Sujeto	s6	d6	d5	d4	d3	d2	d1	Entropía
Niños Sanos	Sujeto 1	0.269	0.038	0.104	0.498	0.075	0.014	0.001	1.011
Niños Sanos	Sujeto 2	0.492	0.006	0.218	0.233	0.047	0.004	0.000	1.031
Niños Sanos	Sujeto 4	0.944	0.019	0.005	0.028	0.003	0.000	0.000	1.088
Niños T. A.	Sujeto 4	0.33	0.06	0.07	0.39	0.14	0.017	0.002	1.203
Adultos Sanos	Sujeto 1	0.29	0.04	0.08	0.43	0.14	0.019	0	1.1303
Adultos Sanos	Sujeto 1	0.61	0.02	0.01	0.19	0.14	0.02	0	1.1442

Tabla 4.74 Valores de los porcentajes de energía en los coeficientes de ondeleta correspondiente a los datos aberrantes de Entropía en la Derivación C3

En el caso de Niños T. A. se nota claramente que el Sujeto 3 tuvo entropías menores a los demás de su grupo y con una mayor dispersión, como lo mostró el Histograma. Mientras que en los Niños Sanos las medianas de las entropías

estaban alrededor de 1.3, Los Sujetos 1 y 2, tienen medianas de alrededor de 1.2, mientras que el sujeto 3 en 0.9 y el Sujeto 4 mayores a 1.3. También se aprecia un dato aberrante en el Sujeto 4 con una entropía de 1.203 que no parece estar muy alejado de los datos, sin embargo este Sujeto tiene una variabilidad muy pequeña en los valores de las entropías de sus segmentos. El porcentaje de energía de su coeficiente de ondeleta de detalle “d4” fue de 0.39 y de “d3” de 0.14 lo que muestra la presencia de Alfa 2.

En el caso de los Adultos Sanos, las medianas no se ven similares, el Sujeto 3 presenta una mayor variabilidad hacia el tercer y cuarto cuartil, mientras que el Sujeto 4 muestra mayor variabilidad en el primer cuartil. El Sujeto 1 presenta dos datos aberrantes con valores en la entropía de 1.1303 y de 1.1442, los dos muestran presencia de Alfa 2 al tener la mayor concentración de energía en los coeficientes de ondeleta de detalle en “d4” seguidos de “d3”.

Se realizó la prueba no paramétrica Kruskal-Wallis para verificar la igualdad de medianas de las entropías del EEG en la derivación C3, dando un valor p de 0.00, entre grupos lo que implica que las medianas no son iguales con un 95% de confianza. Si se repite la prueba dentro de los grupos, se encontró que con un valor p de 0.5252 no se puede rechazar la igualdad de medianas en Niños Sanos con un 95% de Confianza. Las pruebas para igualdad de medianas dentro del grupo de Niños T. A. y Adultos Sanos arrojaron un valor p de 0.00, lo que implica que las medianas no son iguales con un 95% de confianza.

En la Figura 4.107 se muestran los diagramas de caja de las entropías del EEG en la derivación C4, para los tres grupos. Para el grupo de Niños Sanos las medianas son muy similares para los Sujetos 1, 2 y 3, el Sujeto 4 presenta una mediana mayor, pero una variabilidad menor. Todos los Niños Sanos presentaron datos aberrantes hacia los valores menores, lo que implica que en ese segmento del EEG en la derivación C4 existió un coeficiente de ondeleta con un mayor porcentaje de energía que los demás.

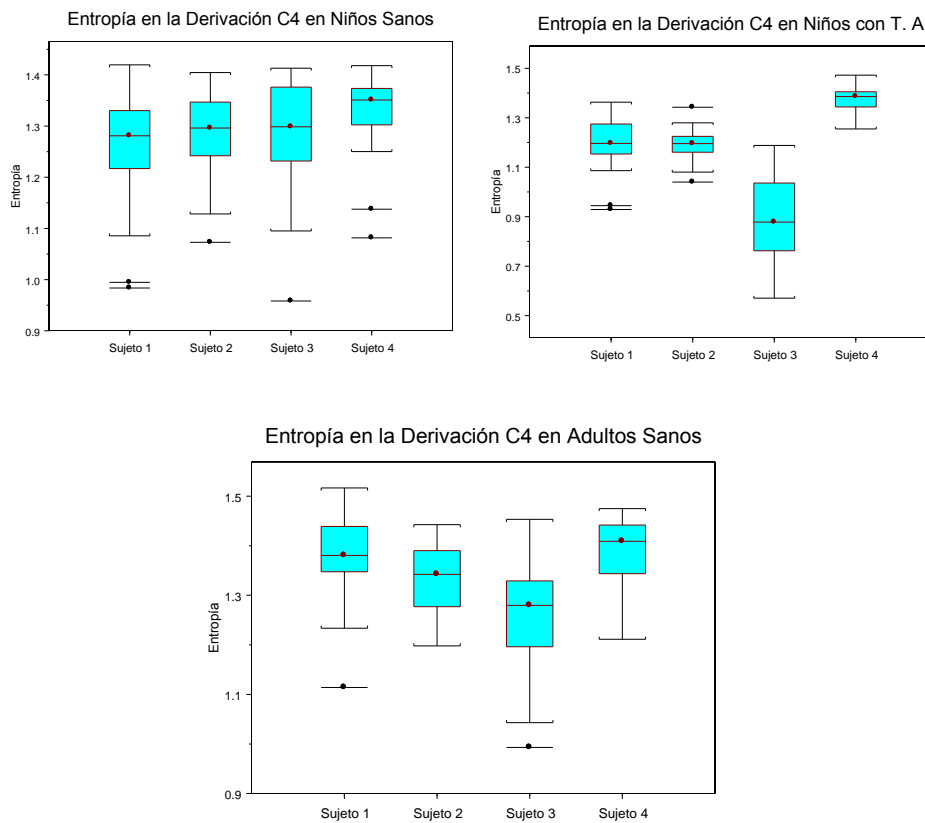


Figura 4.107 Diagramas de Caja de la Entropía del EEG en la Derivación C4 arriba izquierda Niños Sanos, arriba derecha Niños con T. A., abajo Adultos Sanos

La Tabla 4.75 muestra los valores de los porcentajes de energía en los coeficientes de ondeleta correspondiente a los datos aberrantes de Entropía, en los Niños Sanos el Sujeto 1 tiene su mayor energía en el coeficiente de detalle “d4” con 0.48 y el siguiente porcentaje de energía fue “d3” con 0.10, lo que nos indica que en ese segmento el Sujeto 1 presentó un gran contenido de Alfa 2, al igual que su segundo dato aberrante con valores de 0.5 en “d4” y 0.10 en “d3” mientras que el Sujeto 2 presentó un porcentaje de energía en “d4” de 0.24 y en “d5” 0.11, es decir tuvo Alfa 1. El Sujeto 3 presentó un porcentaje de energía en “d4” de 0.41 y en “d5” de 0.10, es decir tuvo Alfa 1. El Sujeto 4 donde la entropía fue de 1.0815 y 1.1375, el coeficiente suavizado de la señal fue el que más pesó.

Porcentaje de Energía de los Coeficientes de Ondeleta del EEG en la Derivación C4 Niños Sanos									
Grupo	Sujeto	s6	d6	d5	d4	d3	d2	d1	Entropía
Niños Sanos	Sujeto 1	0.31	0.03	0.07	0.48	0.1	0.014	0.001	0.9836
Niños Sanos	Sujeto 1	0.26	0.06	0.06	0.5	0.1	0.006	0	0.9947
Niños Sanos	Sujeto 2	0.59	0.01	0.11	0.24	0.05	0.004	0	1.0730
Niños Sanos	Sujeto 3	0.41	0.02	0.06	0.41	0.1	0.012	0	0.9583
Niños Sanos	Sujeto 4	0.97	0	0.01	0.02	0	0	0	1.0815
Niños Sanos	Sujeto 4	0.95	0.02	0.01	0.03	0	0	0	1.1375
Niños T. A.	Sujeto 1	0.44	0.19	0.14	0.18	0.05	0.006	0.001	0.9291
Niños T. A.	Sujeto 1	0.17	0.09	0.58	0.12	0.04	0.005	0	0.9447
Niños T. A.	Sujeto 2	0.21	0.03	0.21	0.47	0.07	0.006	0	1.0398
Niños T. A.	Sujeto 2	0.27	0.18	0.24	0.24	0.06	0.009	0	1.3425
Adultos Sanos	Sujeto 1	0.3	0.04	0.08	0.43	0.12	0.018	0	1.1142
Adultos Sanos	Sujeto 3	0.33	0.06	0.03	0.46	0.12	0.013	0	0.9931

Tabla 4.75 Valores de los porcentajes de energía en los coeficientes de ondeleta correspondiente a los datos aberrantes de Entropía en la Derivación C4

En el caso de Niños T. A. los Sujetos 1 y 2 presentan comportamientos similares y se nota claramente que el Sujeto 3 tuvo entropías menores a los demás de su grupo y con una mayor dispersión, como lo mostró el Histograma. Para esta derivación, el Sujeto 4 presenta valores mayores en las entropías. También se aprecian dos datos aberrantes en el Sujeto 1 con una entropía de 0.9291 y 0.9447, el primero presenta su mayor porcentaje de energía en “d6” con 0.19 mostrando la presencia de actividad Delta y el segundo presenta actividad

Theta con “d5” de 0.58 y de “d4” de 0.12. El Sujeto 2 presenta un dato aberrante hacia los valores bajos con una entropía de 1.0398 con un porcentaje de energía en “d4” de 0.47 y “d5” de 0.21 lo que muestra actividad Alfa 1, el segundo dato aberrante lo presenta hacia los valores superiores con una entropía de 1.3425 aquí “d4” y “d5” tuvieron el mismo porcentaje de energía de 0.24, lo que explica que la entropía esté por arriba de los datos.

En el caso de los Adultos Sanos, las medianas no se ven similares, el Sujeto 3 presenta una mayor variabilidad. Los Sujetos 1 y 3 presentan datos aberrantes con valores en la entropía de 1.1142 y de 0.9931 respectivamente, ambos presentan Alfa 2 al tener la mayor concentración de energía en los coeficientes de ondeleta de detalle en “d4” con 0.43 seguido de “d3” con 0.12, para el Sujeto 1 y de 0.46 en “d4” y de 0.12 en “d3” para el Sujeto 3.

Se realizó la prueba no paramétrica Kruskal-Wallis para verificar la igualdad de medianas de las entropías del EEG en la derivación C4, dando un valor p de 0.00, entre grupos lo que implica que las medianas no son iguales con un 95% de confianza. Si se repite la prueba dentro de los grupos, se encontró que con un valor p de 0.0476 se rechaza la igualdad de medianas en Niños Sanos con un 95% de Confianza. Las pruebas para igualdad de medianas dentro del grupo de Niños T. A. y Adultos Sanos arrojaron un valor p de 0.00, lo que implica que las medianas no son iguales con un 95% de confianza.

En la Figura 4.108 se muestran los diagramas de caja de las entropías del EEG en la derivación P3, para los tres grupos. El grupo de Niños Sanos presenta un comportamiento distinto entre Sujetos, en particular el Sujeto 3 presenta una gran variabilidad. Se encontraron datos aberrantes hacia los valores menores en los Sujetos 1 y 2, lo que implica que en esos segmentos del EEG en la derivación P3 existió un coeficiente de ondeleta con un mayor porcentaje de energía que los demás.

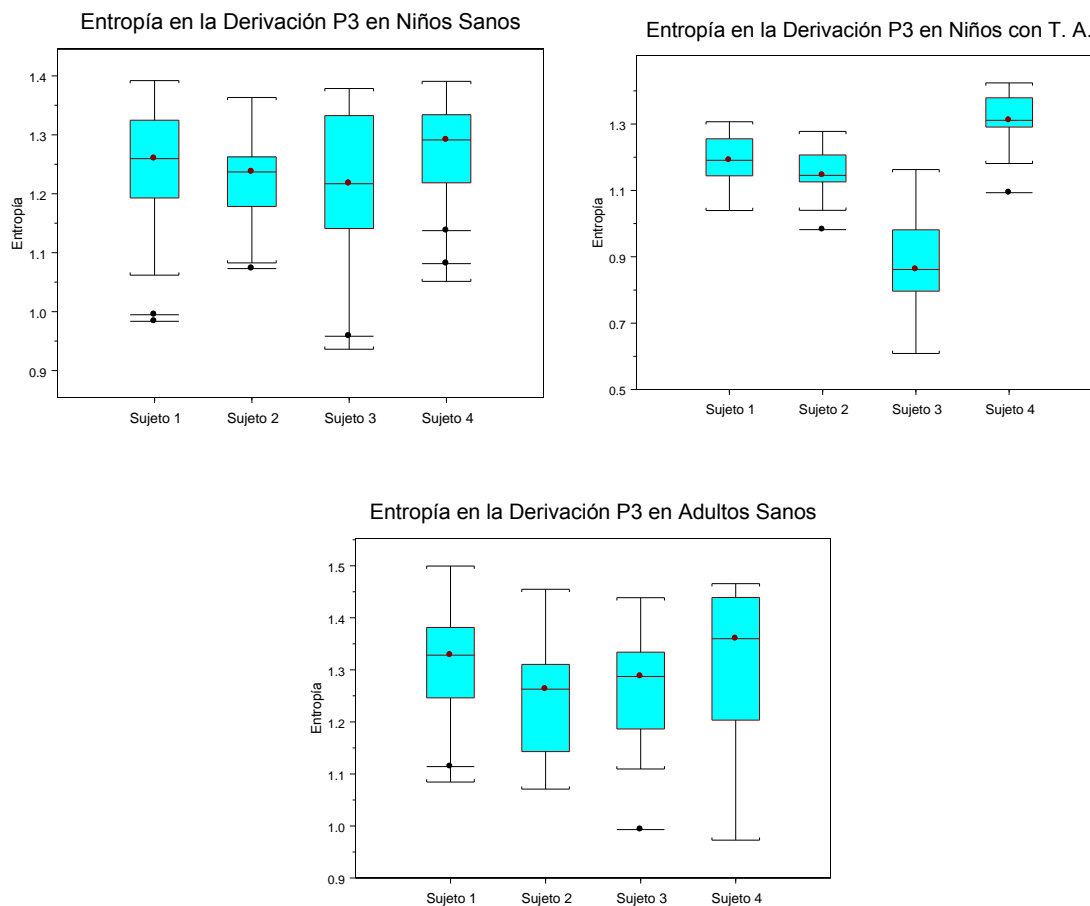


Figura 4.108 Diagramas de Caja de la Entropía del EEG en la Derivación P3 arriba izquierda Niños Sanos, arriba derecha Niños con T. A., abajo Adultos Sanos

La Tabla 4.76 muestra los valores de los porcentajes de energía en los coeficientes de ondeleta correspondiente a los datos aberrantes de Entropía, en los Niños Sanos el Sujeto 1 tiene una entropía de 1.0619 con su mayor energía en el coeficiente de detalle “d4” con 0.35 y el siguiente porcentaje de energía fue “d3” pero no llega al 0.1, lo que nos indica que en ese segmento el Sujeto 1 presentó un gran contenido de Alfa, su segundo dato aberrante presentó una entropía de 1.1017 y con valores de 0.51 en “d4”, 0.11 en “d5” y 0.10 en “d3”, lo que implica también contenido de Alfa. El Sujeto 2 presentó una entropía de 1.0826 con un porcentaje de energía en “d4” de 0.37, es decir tuvo contenido de Alfa.

Porcentaje de Energía de los Coeficientes de Ondeleta del EEG en la Derivación P3 Niños Sanos									
Grupo	Sujeto	s6	d6	d5	d4	d3	d2	d1	Entropía
Niños Sanos	Sujeto 1	0.45	0.02	0.07	0.35	0.09	0.013	0	1.0619
Niños Sanos	Sujeto 1	0.19	0.08	0.11	0.51	0.1	0.008	0.001	1.1017
Niños Sanos	Sujeto 2	0.42	0.08	0.07	0.37	0.06	0.006	0	1.0826
Niños T. A.	Sujeto 2	0.15	0.02	0.48	0.29	0.05	0.004	0	0.9818
Niños T. A.	Sujeto 4	0.27	0.07	0.07	0.45	0.13	0.007	0	1.0930
Adultos Sanos	Sujeto 3	0.43	0.06	0.03	0.35	0.11	0.013	0	1.1096

Tabla 4.76 Valores de los porcentajes de energía en los coeficientes de ondeleta correspondiente a los datos aberrantes de Entropía en la Derivación P3

En el caso de Niños T. A. los Sujetos 1 y 2 presentan comportamientos similares y se nota claramente que el Sujeto 3 tuvo entropías menores a los demás de su grupo y con una mayor dispersión, como lo mostró el Histograma. Para esta derivación, el Sujeto 4 presenta valores mayores en las entropías y con una variabilidad pequeña. También se aprecia un dato aberrante en el Sujeto 1 con una entropía de 0.09818, el porcentaje de energía en “d5” es de 0.48 y en “d4” de 0.29 mostrando la presencia de actividad Theta. El Sujeto 4 presenta un dato aberrante hacia los valores bajos con una entropía de 1.0930, el porcentaje de energía en “d4” de 0.45 y “d3” de 0.13 lo que muestra actividad Alfa 2.

En el caso de los Adultos Sanos, las medianas no se ven similares y tienen gran variabilidad especialmente el Sujeto 4. El Sujeto 3 presenta un dato aberrante con una entropía de 1.1096, presenta actividad Alfa 2 al tener la mayor concentración de energía en los coeficientes de ondeleta de detalle en “d4” con 0.35 seguido de “d3” con 0.11.

Se realizó la prueba no paramétrica Kruskal-Wallis para verificar la igualdad de medianas de las entropías del EEG en la derivación P3, dando un valor p de 0.00, entre grupos lo que implica que las medianas no son iguales con un 95% de confianza. Si se repite la prueba dentro de los grupos, se encontró que con un valor p de 0.2418 no se puede rechazar la igualdad de medianas en Niños Sanos con un 95% de Confianza.

Las pruebas para igualdad de medianas dentro del grupo de Niños T. A. tuvieron un valor de 0.0 lo que implica que las medianas no son iguales al 95% de confianza y en los Adultos Sanos el valor p fue de 0.0727, lo que implica que no puedo rechazar la igualdad de medianas al 95% de confianza.

En la Figura 4.109 se muestran los diagramas de caja de las entropías del EEG en la derivación P4, para los tres grupos. El grupo de Niños Sanos presenta un comportamiento distinto entre Sujetos, las cajas de los Sujeto 1, 2 y 3 son muy similares, sin embargo la mediana del Sujeto 3 parece tener menor valor; el Sujeto 4 presenta valores mayores en la entropía y mayor variabilidad en el primer y segundo cuartil.

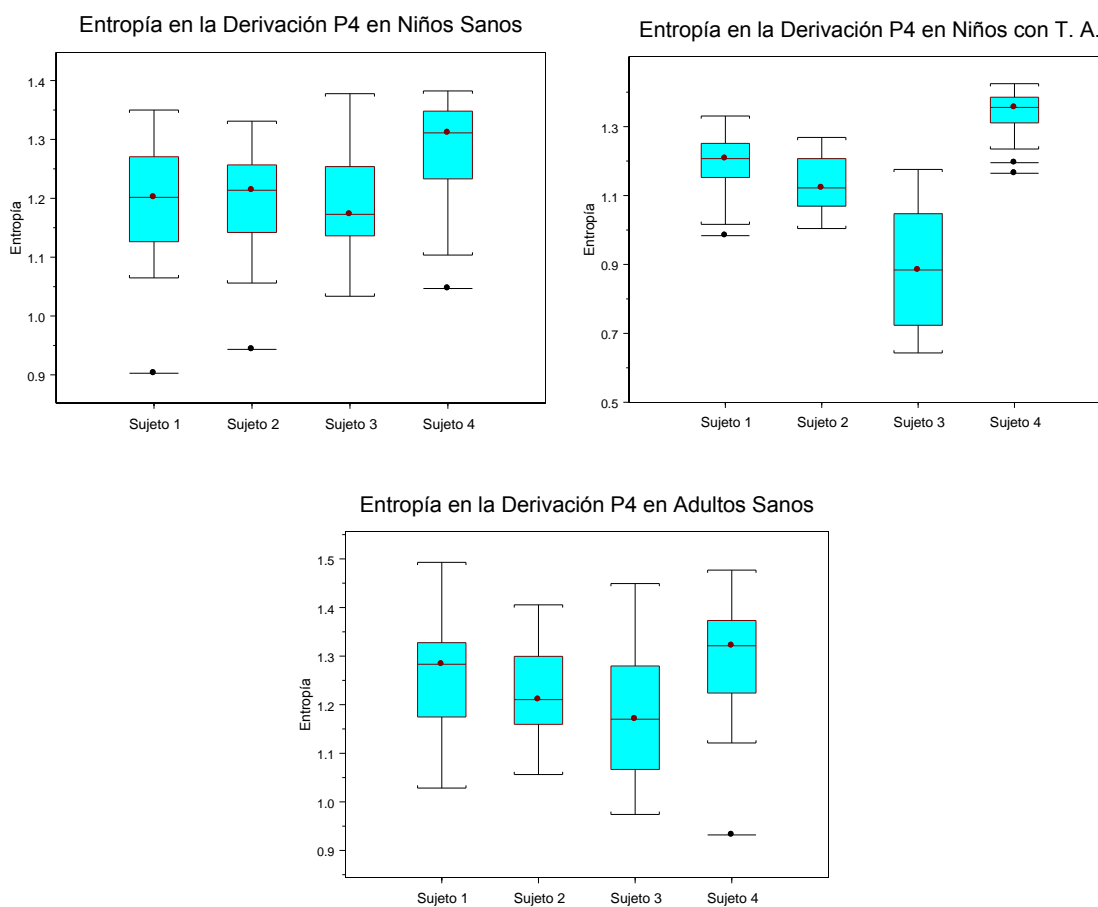


Figura 4.109 Diagramas de Caja de la Entropía del EEG en la Derivación P4 arriba izquierda Niños Sanos, arriba derecha Niños con T. A., abajo Adultos Sanos

Se encontraron datos aberrantes hacia los valores menores en los Sujetos 1, 2 y 3, lo que implica que en esos segmentos del EEG en la derivación P4 existió un coeficiente de ondeleta con un mayor porcentaje de energía que los demás. La Tabla 4.77 muestra los valores de los porcentajes de energía en los coeficientes de ondeleta correspondiente a los datos aberrantes de Entropía, en los Niños Sanos el Sujeto 1 tiene una entropía de 0.9029 con su mayor energía en el coeficiente de detalle “d4” con 0.48 y el siguiente porcentaje de energía fue “d3” pero no llega al 0.1, lo que nos indica que en ese segmento el Sujeto 1 presentó un gran contenido de Alfa. El Sujeto 2 presentó una entropía de 0.9433 con un porcentaje de energía en “d4” de 0.38, es decir tuvo contenido de Alfa. El Sujeto 4 presentó una entropía de 1.0466 con su mayor porcentaje de energía en el coeficiente suavizado “s6”, es decir los coeficientes de detalle no están contribuyendo casi en la energía total de la señal.

Porcentaje de Energía de los Coeficientes de Ondeleta del EEG en la Derivación P4 Niños Sanos									
Grupo	Sujeto	s6	d6	d5	d4	d3	d2	d1	Entropía
Niños Sanos	Sujeto 1	0.34	0.01	0.07	0.48	0.09	0.013	0	0.9029
Niños Sanos	Sujeto 2	0.46	0.05	0.04	0.38	0.06	0.004	0	0.9433
Niños Sanos	Sujeto 4	0.98	0	0.01	0.01	0	0	0	1.0466
Niños T. A.	Sujeto 1	0.32	0.02	0.43	0.17	0.04	0.009	0.001	0.9838
Niños T. A.	Sujeto 4	0.21	0.07	0.14	0.46	0.11	0.011	0	1.1648
Niños T. A.	Sujeto 4	0.26	0.1	0.06	0.41	0.15	0.013	0	1.1954
Adultos Sanos	Sujeto 4	0.52	0.01	0.04	0.33	0.09	0.015	0	0.9321

Tabla 4.77 Valores de los porcentajes de energía en los coeficientes de ondeleta correspondiente a los datos aberrantes de Entropía en la Derivación P4

En el caso de Niños T. A. la variabilidad de los Sujetos 1, 2 y 3 es pequeña, se nota claramente que el Sujeto 3 tuvo entropías menores a los demás de su grupo y con una mayor dispersión, como lo mostró el Histograma. Para esta derivación, el Sujeto 4 presenta valores mayores en las entropías. También se aprecia un dato aberrante en el Sujeto 1 con una entropía de 0.9838, el porcentaje de energía en “d5” es de 0.43 y en “d4” de 0.17 mostrando la presencia de

actividad Theta. El Sujeto 4 presenta dos datos aberrantes hacia los valores bajos con una entropía de 1.1648 y 1.1954 respectivamente, en el primer dato aberrante el porcentaje de energía en “d4” fue de 0.46 y “d5” de 0.14 lo que muestra actividad Alfa 1, mientras que en el segundo dato aberrante existió actividad Alfa 2 con “d4” de 0.41 y “d3” de 0.15.

En el caso de los Adultos Sanos, las medianas no se ven similares y tienen gran variabilidad. El Sujeto 4 presenta un dato aberrante con una entropía de 0.9321 presenta actividad Alfa al tener la mayor concentración de energía en el coeficiente de ondeleta de detalle “d4” con 0.33.

Se realizó la prueba no paramétrica Kruskal-Wallis para verificar la igualdad de medianas de las entropías del EEG en la derivación P4, dando un valor p de 0.00, entre grupos lo que implica que las medianas no son iguales con un 95% de confianza. Si se repite la prueba dentro de los grupos, se encontró que con un valor p de 0.0014 se rechaza la igualdad de medianas en Niños Sanos con un 95% de Confianza. Las pruebas para igualdad de medianas dentro del grupo de Niños T. A. y los Adultos Sanos arrojaron un valor p de 0.0 y de 0.0089 respectivamente, lo que implica que rechazó la igualdad de medianas al 95% de confianza.

En la Figura 4.110 se muestran los diagramas de caja de las entropías del EEG en la derivación Cz, para los tres grupos. El grupo de Niños Sanos presenta una mediana similar en los Sujetos 2, 3 y 4, los Sujetos 1 y 3 presentan mayor variabilidad y un comportamiento asimétrico. Se encontraron datos aberrantes hacia los valores menores en los Sujetos 2 y 4.

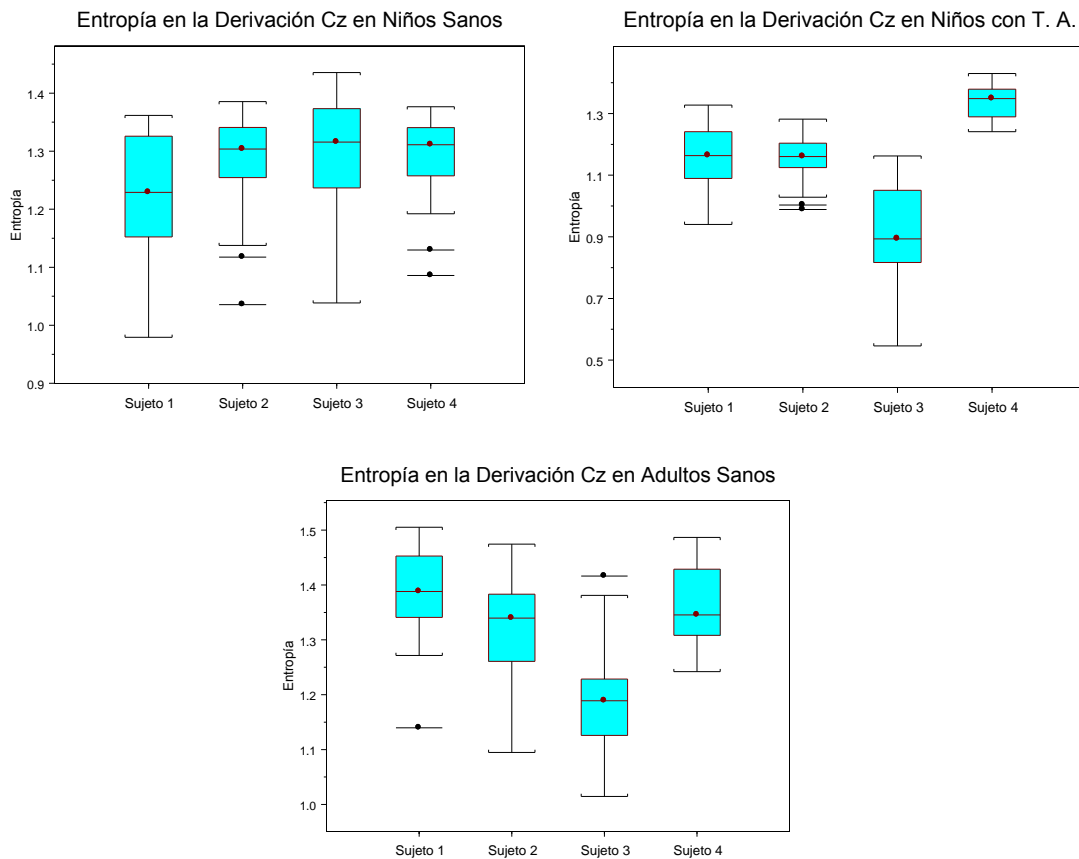


Figura 4.110 Diagramas de Caja de la Entropía del EEG en la Derivación Cz arriba izquierda Niños Sanos, arriba derecha Niños con T. A., abajo Adultos Sanos

La Tabla 4.78 muestra los valores de los porcentajes de energía en los coeficientes de ondeleta correspondiente a los datos aberrantes de Entropía, en los Niños Sanos el Sujeto 2 tiene una entropía de 1.0356 y de 1.1175, en el primero, el mayor porcentaje de energía está en el coeficiente de detalle “d5” con 0.36 y el siguiente porcentaje de energía fue “d4” con 0.25, lo que nos indica que en ese segmento el Sujeto 1 presentó contenido de Theta al igual que en el segundo dato aberrante con “d5” de 0.29 y “d4” con 0.22. El Sujeto 4 presentó una entropía de 1.0858 y de 1.1296 con un porcentaje de energía mayor en el coeficiente suavizado “s6”.

Porcentaje de Energía de los Coeficientes de Ondeleta del EEG en la Derivación Cz Niños Sanos									
Grupo	Sujeto	s6	d6	d5	d4	d3	d2	d1	Entropía
Niños Sanos	Sujeto 2	0.33	0.02	0.36	0.25	0.05	0.004	0	1.0356
Niños Sanos	Sujeto 2	0.41	0.04	0.29	0.22	0.04	0.005	0	1.1175
Niños Sanos	Sujeto 4	0.97	0	0.01	0.02	0	0	0	1.0858
Niños Sanos	Sujeto 4	0.94	0.02	0.01	0.03	0	0	0	1.1296
Niños T. A.	Sujeto 2	0.23	0.02	0.35	0.36	0.05	0.003	0	0.9887
Niños T. A.	Sujeto 2	0.13	0.04	0.48	0.31	0.04	0.004	0	1.0031
Adultos Sanos	Sujeto 1	0.22	0.05	0.09	0.47	0.15	0.021	0	1.1396
Adultos Sanos	Sujeto 3	0.71	0.11	0.08	0.05	0.04	0.007	0.001	1.4164

Tabla 4.78 Valores de los porcentajes de energía en los coeficientes de ondeleta correspondiente a los datos aberrantes de Entropía en la Derivación Cz.

En el caso de Niños T. A. se vuelve a presentar el mismo patrón con el Sujeto 1 y 2 muy similares y con variabilidad pequeña, mientras que el Sujeto 3 tuvo entropías menores a los demás de su grupo y con una mayor dispersión, como lo mostró el Histograma. Para esta derivación, el Sujeto 4 presenta valores mayores en las entropías y variabilidad pequeña. También se aprecian dos datos aberrantes en el Sujeto 2 con una entropía de 0.9887 y de 1.0031 respectivamente; para el primero, el porcentaje de energía en “d4” es de 0.36 y en

“d5” de 0.35 mostrando la presencia de actividad Alfa 1, mientras que en el segundo dato aberrante el porcentaje de energía en “d5” es de 0.48 y en “d4” de 0.31 mostrando la presencia de actividad Theta.

En el caso de los Adultos Sanos, las medianas se ven muy distintas y las entropías tienen gran variabilidad. El Sujeto 1 presenta un dato aberrante hacia los valores menores con una entropía de 1.1393, presenta actividad Alfa 2 al tener la mayor concentración de energía en el coeficiente de ondeleta “d4” de 0.47 y en “d3” de 0.15. El Sujeto 3 presenta un dato aberrante hacia los valores mayores con una entropía de 1.4164 presenta un poco de actividad Delta al tener la mayor concentración de energía en el coeficiente de ondeleta de detalle “d6” con 0.11, sin embargo la mayoría de su energía está concentrada en el coeficiente suavizado “s6”.

Se realizó la prueba no paramétrica Kruskal-Wallis para verificar la igualdad de medianas de las entropías del EEG en la derivación Cz, dando un valor p de 0.00, entre grupos lo que implica que las medianas no son iguales con un 95% de confianza. Si se repite la prueba dentro de los grupos, se encontró que con un valor p de 0.1582 no se puede rechazar la igualdad de medianas en Niños Sanos con un 95% de Confianza. Las pruebas para igualdad de medianas dentro del grupo de Niños T. A. y en Adultos Sanos tuvieron un valor p de 0.0 lo que implica que las medianas no son iguales al 95% de confianza dentro de cada grupo.

En la Figura 4.111 se muestran los diagramas de caja de las entropías del EEG en la derivación Pz, para los tres grupos. El grupo de Niños Sanos presenta un comportamiento distinto entre Sujetos, el Sujeto 3 presenta una mayor variabilidad; el Sujeto 4 presenta valores mayores en la entropía. Se encontraron datos aberrantes hacia los valores menores en los Sujetos 1, 2 y 4.

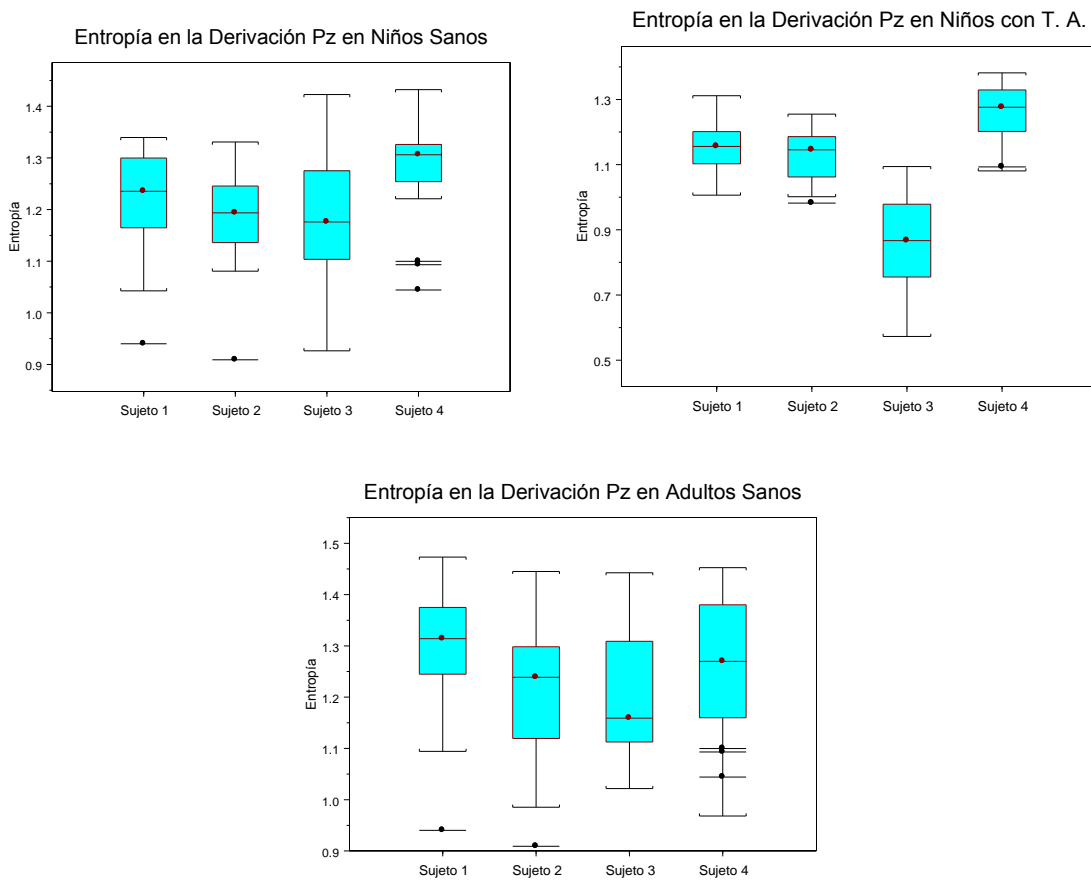


Figura 4.111 Diagramas de Caja de la Entropía del EEG en la Derivación Pz arriba izquierda Niños Sanos, arriba derecha Niños con T. A., abajo Adultos Sanos

La Tabla 4.79 muestra los valores de los porcentajes de energía en los coeficientes de ondeleta correspondiente a los datos aberrantes de Entropía. En los Niños Sanos el Sujeto 1 tiene una entropía de 0.9401 con su mayor energía en el coeficiente de detalle “d4” con 0.46 y el siguiente porcentaje de energía fue “d3” pero no llega al 0.1, lo que nos indica que en ese segmento el Sujeto 1 presentó un gran contenido de Alfa. El Sujeto 2 presentó una entropía de 0.9091 con un porcentaje de energía en “d4” de 0.39, es decir tuvo contenido de Alfa. El Sujeto 4 presentó tres datos aberrantes con una entropía de 1.0441, 1.0931 y 1.0998 respectivamente, los tres datos aberrantes presentaron un mayor porcentaje de energía en el coeficiente de detalle “s6”, es decir los coeficientes de detalle no están contribuyendo casi en la energía total de la señal en ese segmento.

Porcentaje de Energía de los Coeficientes de Ondeleta del EEG en la Derivación Pz Niños Sanos									
Grupo	Sujeto	s6	d6	d5	d4	d3	d2	d1	Entropía
Niños Sanos	Sujeto 1	0.36	0.02	0.07	0.46	0.09	0.011	0	0.9401
Niños Sanos	Sujeto 2	0.47	0.05	0.04	0.39	0.05	0.004	0	0.9091
Niños Sanos	Sujeto 4	0.97	0	0.01	0.02	0	0	0	1.0441
Niños Sanos	Sujeto 4	0.94	0.02	0.01	0.03	0	0	0	1.0931
Niños Sanos	Sujeto 4	0.94	0.01	0.01	0.04	0.01	0.001	0	1.0998
Niños T. A.	Sujeto 2	0.18	0.06	0.16	0.54	0.06	0.003	0	1.0017
Adultos Sanos	Sujeto 1	0.25	0.05	0.03	0.42	0.23	0.024	0	1.0943
Adultos Sanos	Sujeto 2	0.2	0.05	0.06	0.55	0.13	0.012	0	0.9854

Tabla 4.79 Valores de los porcentajes de energía en los coeficientes de ondeleta correspondiente a los datos aberrantes de Entropía en la Derivación Pz

En el caso de Niños T. A. la variabilidad de los Sujetos 1, 2 y 3 es pequeña, se nota claramente que el Sujeto 3 tuvo entropías menores a los demás de su grupo y con una mayor dispersión, como lo mostró el Histograma. Para esta derivación, el Sujeto 4 presenta valores mayores en las entropías. También se aprecia un dato aberrante en el Sujeto 2 con una entropía de 1.0017, el porcentaje de energía en “d4” es de 0.54 y en “d5” de 0.16 mostrando la presencia de actividad Alfa 1.

En el caso de los Adultos Sanos, las medianas se ven muy distintas y las cajas presentan gran variabilidad. Los Sujetos 1 y 2 presentan un dato aberrante hacia los valores menores con una entropía de 1.0943 y de 0.9854 respectivamente. Ambos presentan actividad Alfa 2 al tener la mayor concentración de energía en el coeficiente de ondeleta de detalle “d4” con 0.42 y “d3” de 0.23 para el Sujeto 1 y con “d4” de 0.55 y con “d3” de 0.13 para el Sujeto 2.

Se realizó la prueba no paramétrica Kruskal-Wallis para verificar la igualdad de medianas de las entropías del EEG en la derivación Pz, dando un valor p de 0.00, entre grupos lo que implica que las medianas no son iguales con un 95% de confianza. Si se repite la prueba dentro de los grupos, se encontró que con un valor p de 0.0008 se rechaza la igualdad de medianas en Niños Sanos con un 95% de Confianza. Las pruebas para igualdad de medianas dentro del grupo de Niños T. A. y en Adultos Sanos tuvieron un valor p de 0.0 y de 0.0079 respectivamente, lo que implica que las medianas no son iguales al 95% de confianza dentro de cada grupo.

Una vez realizado el análisis gráfico de las entropías se realizó la estadística descriptiva de todos los sujetos en las derivaciones C3, C4, P3, P4, Cz y Pz. Las Tablas 4.80, 4.81 y 4.82 muestran las estadísticas descriptivas en los Niños Sanos, los Niños T. A. y los Adultos Sanos respectivamente.

Al analizar las estadísticas descriptivas de los Niños Sanos podemos notar que las medianas en las derivaciones C3, P3 y Cz son similares y como ya se demostró previamente, no se puede rechazar la igualdad de medianas en esas derivaciones. El coeficiente de variación es pequeño para todos los sujetos en todas las derivaciones, con el máximo valor presente en el Sujeto 4 en la derivación Pz con un valor de 0.1106 que es pequeño. Se puede considerar simetría en la distribución de la entropía en el Sujeto 2 en la derivación P3 y en el

Sujeto 3 en la derivación Pz al tener un Coeficiente de Asimetría muy cercano a cero. En general las medias de los Sujetos dentro de cada derivación no cambian mucho, en particular en Pz el Rango fue de 0.1015 que fue el máximo. En conclusión, las entropías en general dentro del grupo de Niños Sanos tienen un comportamiento muy similar, con poca variabilidad y con un promedio de 1.2895 para C3, 1.2878 para C4, 1.2147 para P3, 1.2432 para P4, 1.2703 para Cz y 1.2173 para Pz.

Estadísticas Descriptivas de las Entropías en Niños Sanos									
Sujeto	D	Media	Mediana	Desviación Estándar	Mínimo	Máximo	Curtosis	Coeficiente de Asimetría	Coeficiente de Variación
1	C3	1.2730	1.2945	0.0922	1.0110	1.3912	1.6387	-1.2271	0.0724
2		1.2981	1.3052	0.0779	1.0313	1.3936	4.8334	-1.6746	0.0600
3		1.2804	1.2961	0.1180	0.9878	1.4363	0.2540	-0.8053	0.0922
4		1.3065	1.3269	0.0785	1.0875	1.3912	2.2049	-1.4690	0.0601
1	C4	1.2569	1.2809	0.1145	0.9836	1.4196	0.9422	-1.1909	0.0911
2		1.2825	1.2961	0.0857	1.0730	1.4044	0.1753	-0.8603	0.0668
3		1.2836	1.2985	0.1123	0.9583	1.4130	1.7117	-1.2890	0.0875
4		1.3282	1.3510	0.0806	1.0815	1.4180	3.6251	-1.8346	0.0607
1	Cz	1.2262	1.2290	0.1106	0.9793	1.3617	-0.4292	-0.6891	0.0902
2		1.2770	1.3037	0.0890	1.0356	1.3855	1.1871	-1.3145	0.0697
3		1.2875	1.3157	0.1093	1.0384	1.4354	-0.1010	-0.8455	0.0849
4		1.2906	1.3112	0.0735	1.0858	1.3766	1.8200	-1.4608	0.0570
1	P3	1.2529	1.2596	0.0837	1.0619	1.3920	-0.1859	-0.5215	0.0668
2		1.2316	1.2370	0.0715	1.0826	1.3634	-0.0240	0.0290	0.0580
3		1.2165	1.2170	0.1245	0.9362	1.3784	-0.6096	-0.4567	0.1023
4		1.2720	1.2914	0.0864	1.0513	1.3906	0.4007	-0.9254	0.0679
1	P4	1.1929	1.2016	0.1028	0.9029	1.3500	1.2170	-0.9189	0.0861
2		1.1978	1.2137	0.0882	0.9433	1.3312	1.6291	-1.0482	0.0737
3		1.1891	1.1727	0.0873	1.0336	1.3778	-0.2247	0.3890	0.0734
4		1.2789	1.3112	0.0936	1.0466	1.3825	0.4776	-1.1792	0.0732
1	Pz	1.2203	1.2354	0.0955	0.9401	1.3395	1.9682	-1.2040	0.0782
2		1.1876	1.1936	0.0903	0.9091	1.3310	2.6966	-1.1251	0.0760
3		1.1798	1.1761	0.1305	0.9265	1.4228	-0.4601	-0.0471	0.1106
4		1.2813	1.3061	0.0911	1.0441	1.4324	1.6928	-1.2902	0.0711

Tabla 4.80 Estadística descriptiva de las Entropías Niños Sanos.

Las estadísticas descriptivas de las entropías para el grupo de Niños T. A. nos muestran una mayor variabilidad dentro de cada derivación, como se comprobó previamente, todas las derivaciones presentaron medianas diferentes. Como se puede apreciar la variabilidad para cada Sujeto es pequeña en todas las

derivaciones al presentar un coeficiente de variación menores a 0.20 en todos los casos, sin embargo la variabilidad dentro del grupo es grande. Si se toman los rangos en las medias de cada derivación se puede notar por ejemplo que en C4 fue de 0.4899 y el que menos tiene fue Pz con 0.3992 que son mucho mayores a los presentados en los Niños Sanos. Los valores en entropía son menores al grupo de Niños Sanos con un promedio de 1.1674 para C3, 1.1637 para C4, 1.1370 para P3, 1.1376 para P4, 1.1374 para Cz y 1.1034 para Pz. Entonces, como el EEG es considerado como un proceso aleatorio, para poder estar sano es necesario tener una entropía mayor, y los Niños T. A. están presentando un valor menor en entropía.

Estadísticas Descriptivas de las Entropías en Niños T. A.									
Sujeto		Media	Mediana	Desviación Estándar	Mínimo	Máximo	Curtosis	Coefficiente de Asimetría	Coefficiente de Variación
1	C3	1.2228	1.2183	0.0933	1.0868	1.3696	-1.3237	0.1788	0.0763
2		1.1993	1.2154	0.0744	1.0627	1.2931	-1.1224	-0.4019	0.0620
3		0.9088	0.9244	0.1595	0.5959	1.1637	-0.7886	-0.3689	0.1755
4		1.3389	1.3491	0.0521	1.2028	1.4036	0.5523	-0.9786	0.0389
1	C4	1.2002	1.1964	0.1136	0.9291	1.3632	0.7625	-0.7600	0.0946
2		1.1943	1.1954	0.0648	1.0398	1.3425	0.9931	-0.1618	0.0542
3		0.8851	0.8782	0.1821	0.5707	1.1883	-1.0038	-0.0971	0.2058
4		1.3750	1.3858	0.0547	1.2550	1.4727	-0.1163	-0.4205	0.0398
1	Cz	1.1611	1.1635	0.1044	0.9402	1.3276	-0.5675	-0.3627	0.0899
2		1.1492	1.1604	0.0775	0.9887	1.2818	-0.1827	-0.6447	0.0674
3		0.9040	0.8935	0.1841	0.5461	1.1624	-0.5344	-0.4879	0.2036
4		1.3355	1.3484	0.0544	1.2412	1.4298	-1.1238	-0.2145	0.0407
1	P3	1.1961	1.1907	0.0712	1.0395	1.3071	-0.5739	-0.1764	0.0595
2		1.1518	1.1454	0.0661	0.9818	1.2780	0.7885	-0.5373	0.0573
3		0.8875	0.8619	0.1539	0.6086	1.1629	-0.6498	0.2329	0.1734
4		1.3150	1.3112	0.0765	1.0930	1.4241	1.8580	-1.0275	0.0581
1	P4	1.1888	1.2073	0.0897	0.9838	1.3310	0.2087	-0.7085	0.0754
2		1.1361	1.1225	0.0827	1.0045	1.2687	-1.2335	0.2181	0.0728
3		0.8829	0.8840	0.1648	0.6433	1.1760	-1.3978	0.1680	0.1867
4		1.3402	1.3560	0.0666	1.1648	1.4249	1.3753	-1.2290	0.0497
1	Pz	1.1558	1.1557	0.0842	1.0064	1.3116	-0.5636	0.0253	0.0729
2		1.1310	1.1453	0.0736	1.0017	1.2549	-1.0528	-0.1812	0.0651
3		0.8639	0.8667	0.1498	0.5729	1.0943	-0.8278	-0.2127	0.1734
4		1.2630	1.2763	0.0872	1.0807	1.3818	-0.3020	-0.6905	0.0691

Tabla 4.81 Estadística descriptiva de las Entropías Niños T. A.

Las estadísticas descriptivas de las entropías para el grupo de Adultos Sanos nos muestran una mayor variabilidad dentro de cada derivación, que la de los Niños Sanos, pero menores a los Niños T. A.; como se comprobó anteriormente, sólo en la derivación P3 no se rechaza igualdad de medianas al 95% de confianza. Como se puede apreciar la variabilidad para cada Sujeto es pequeña en todas las derivaciones al presentar un coeficiente de variación pequeño, el Sujeto 3 por ejemplo en la derivación P4 tuvo un coeficiente de variación de 0.1127 y fue el que más variabilidad presentó.

Estadísticas Descriptivas de las Entropías en Adultos Sanos									
Sujeto		Media	Mediana	Desviación Estándar	Mínimo	Máximo	Curtosis	Coefficiente de Asimetría	Coefficiente de Variación
1	C3	1.3777	1.3855	0.0986	1.1303	1.5050	1.2820	-1.0972	0.0716
2		1.3191	1.3081	0.0707	1.2046	1.4395	-1.1432	0.1904	0.0536
3		1.2758	1.2415	0.1056	1.1511	1.4768	-1.0327	0.5199	0.0828
4		1.4174	1.4271	0.0776	1.2388	1.5303	-0.1797	-0.5697	0.0548
1	C4	1.3806	1.3803	0.0876	1.1142	1.5167	2.6778	-1.2542	0.0635
2		1.3284	1.3423	0.0755	1.1979	1.4426	-0.9982	-0.3372	0.0568
3		1.2560	1.2797	0.1238	0.9931	1.4533	-0.2193	-0.5798	0.0986
4		1.3904	1.4090	0.0683	1.2112	1.4751	0.6665	-1.0470	0.0491
1	Cz	1.3853	1.3881	0.0873	1.1396	1.5051	1.1491	-0.8081	0.0630
2		1.3080	1.3396	0.0919	1.0948	1.4745	0.0433	-0.6525	0.0702
3		1.1916	1.1891	0.0999	1.0147	1.4164	0.2080	0.5513	0.0838
4		1.3630	1.3454	0.0738	1.2421	1.4866	-1.1095	0.0649	0.0542
1	P3	1.3110	1.3281	0.0960	1.0844	1.4994	0.3056	-0.4309	0.0732
2		1.2526	1.2629	0.1096	1.0708	1.4548	-0.7964	0.1923	0.0875
3		1.2740	1.2873	0.0945	1.1096	1.4385	-0.8926	0.0170	0.0741
4		1.3201	1.3598	0.1366	0.9727	1.4654	0.2768	-0.9176	0.1035
1	P4	1.2677	1.2832	0.1154	1.0284	1.4929	-0.3624	-0.0894	0.0910
2		1.2252	1.2104	0.0913	1.0562	1.4054	-0.6897	0.2763	0.0745
3		1.1799	1.1701	0.1330	0.9742	1.4494	-0.7609	0.3445	0.1127
4		1.2902	1.3212	0.1242	0.9321	1.4770	1.5493	-1.0427	0.0963
1	Pz	1.3096	1.3141	0.1011	1.0943	1.4732	-0.2668	-0.2935	0.0772
2		1.2229	1.2388	0.1113	0.9854	1.4452	-0.3414	-0.1037	0.0910
3		1.2024	1.1590	0.1244	1.0217	1.4427	-0.8586	0.5468	0.1034
4		1.2635	1.2699	0.1303	0.9682	1.4525	-0.3656	-0.5484	0.1031

Tabla 4.82 Estadística descriptiva de las Entropías Adultos Sanos.

La variabilidad dentro del grupo tuvo un rango menor a los Niños con T. A. pero mayor que los Niños Sanos, con el rango mayor en la derivación Cz de 0.1937 y el mínimo rango en la derivación P3 con 0.0675. Los valores en entropía son mayores al grupo de Niños Sanos con un promedio de 1.3475 para C3, 1.3389 para C4, 1.2894 para P3, 1.2407 para P4, 1.3120 para Cz y 1.2496 para Pz, lo que implica la presencia de un proceso aleatorio.

Conclusiones

El uso de la FFT, para analizar la frecuencia del EEG durante el desarrollo, ha sido una herramienta importante utilizada por los neurólogos para discriminar a un paciente sano de uno con algún tipo de problema cerebral. La FFT puede ser utilizada sólo bajo los supuestos propuestos por Harmony (1984). Además, puede ser utilizada en algunos casos de actividad paroxística, como es el caso de paroxismos que introduzcan actividad lenta, pero no permite analizar señales de EEG que contengan otros grafoelementos, como es el caso de las puntas, polipuntas y ondas agudas.

Esto limita su uso para casos específicos y propicia, que sólo una selección de segmentos tomados bajo los supuestos de Harmony (1984) sean analizados. Por otro lado, al aplicar la FFT al EEG, el tiempo se pierde, por lo que se puede obtener la frecuencia de la señal de EEG de un sujeto, pero no es posible conocer el tiempo en que ocurrieron dichas frecuencias.

La WT se ha aplicado satisfactoriamente en pacientes con epilepsia o con algún otro tipo de enfermedad en los que la no-estacionariedad de la serie es muy evidente y ha funcionado de manera satisfactoria (Adheli, et al., 2003, Al-Nashash, et al., 2003, Geva y Kerem, 1998, Gutiérrez, et al., 2001, Rosso et al., 2006, Rosso et al., 2004, Rosso et al., 2006, entre otros). Sin embargo no se han

realizado estudios con pacientes con T. A., ni con pacientes sanos en condiciones normales (sólo se han hecho con potenciales evocados). Además, se ha utilizado la entropía, a través del cálculo de la energía vía WT, en pacientes con Alzheimer (Abásolo, et al., 2006), demostrando que los pacientes con este padecimiento presentan un valor de entropía menor. Anderson, R. E. y J. G. Jakobsson (2004) demostraron que bajo la presencia de anestesia, la entropía disminuye.

Este trabajo permitió encontrar una relación entre la energía contenida en los coeficientes de ondeleta de detalle y el tipo de actividad Delta, Theta y Alfa, con la ondeleta Sym8 de la siguiente manera:

Actividad	Hz	Primera Energía Máxima	Segunda Energía Máxima
Delta	[1.5-3.5]	“d6”	“d5”
Theta	(3.5-7.5]	“d5”	“d4”
Alfa 1	(7.5-10]	“d4”	“d5”
Alfa 2	(10—12.5]	“d4”	“d3”

Al realizar el análisis de la energía se encontró que tanto los Niños Sanos como los Adultos Sanos presentaban la mayoría de sus segmentos con la mayor energía contenida en el coeficiente de ondeleta de detalle “d4” en todas las derivaciones, mientras que los Niños T. A. no presentaban este patrón, algunos tenían la mayoría de sus segmentos con la mayor energía contenida en “d4” en algunas derivaciones y en “d5” en otras. El Sujeto 3 del grupo de Niños T. A. presentó la mayoría de sus segmentos con la mayor energía contenida en el coeficiente de detalle “d5” en todas sus derivaciones.

Al realizar el análisis de la energía contenida en los coeficientes de detalle de ondeleta de manera particular para cada segmento y para cada derivación, se encontró que los Niños T. A. tuvieron en su mayoría actividad Theta y en algunos casos se encontró presencia de actividad Delta y Alfa. Por el contrario en los Niños Sanos se encontró mayor actividad Alfa 1 en la mayoría de sus segmentos en todas las derivaciones y los Adultos Sanos presentaron mayor actividad Alfa 2 en la mayoría de sus segmentos y en todas sus derivaciones. Estos resultados apoyan, por un lado, el resultado descrito en numerosas publicaciones (usando FFT o incluso simple inspección visual) en referencia a que, en sujetos sanos el EEG de los adultos jóvenes tiene una frecuencia mayor que el EEG de los niños (Niedermeyer, 1999); por otro lado, también apoya los resultados (usando FFT) que describen que los niños con T.A. tienen un EEG más lento que los niños sanos de la misma edad (John, et al., 1983, Harmony, et al., 1990, Harmony, et al. 1995). Debido a que es frecuente que los niños con T.A. presenten un EEG anormal para su edad pero normal para edades inferiores, este efecto también ha sido reportado como un retraso en la maduración electroencefalográfica de estos niños (John et al., 1983, Harmony et al., 1990).

Por otro lado la entropía también nos provee una fuente importante de información. Mientras mayor sea la entropía implica que la señal proviene de un proceso aleatorio (Shannon, 1948), el EEG al ser considerado un proceso aleatorio presenta un valor de entropía mayor en los sujetos sanos. Al analizar las entropías de los tres grupos se encontró que los Niños T. A. tuvieron un valor de entropía menor, lo que implica que su EEG dista más de ser un proceso aleatorio. Los Niños Sanos tuvieron un valor mayor en las entropías, lo que implica que su EEG es más parecido a un proceso aleatorio. Los Adultos Sanos tuvieron un valor de entropía todavía mayor que los Niños Sanos, lo que implica que su EEG es más parecido a un proceso aleatorio.

Esto también podría proveer al neurofisiólogo de otra medida cuantitativa para discriminar entre niños sanos y niños con T. A., comparando sus valores de entropía. Además, según se exploró en la presente investigación, si se analiza la entropía de un sujeto a través de la edad, una manera de verificar si el sujeto presenta un desarrollo normal la provee la entropía, ya que el valor de entropía, debería de aumentar con la edad. Para que esta forma de discriminar pacientes sea válida, es necesario realizar un estudio con un tamaño de muestra mayor, que incluya varios grupos de distintas edades, con la finalidad de verificar las hipótesis encontradas en este trabajo doctoral.

En conclusión, se han presentado dos medidas de cuantificación que podrían estudiarse más ampliamente para evaluar si es posible discriminar sujetos sanos y sujetos con T. A. La WT provee además el instante de tiempo en que ocurren las frecuencias determinadas en un sujeto y además no se pierde de vista el instante en que ocurrieron actividades en forma de pico, lo cual sería una ventaja respecto al análisis cuantitativo utilizando FFT. Sería de interés profundizar en el estudio de esta medida para que los Neurofisiólogos pudieran contar con una herramienta más para complementar el diagnóstico de los sujetos.

Cabe aclarar que, el presente trabajo fue realizado con la finalidad de mostrar diferentes alternativas para analizar en Frecuencia-Tiempo las señales del EEG. Una de las limitaciones del presente trabajo fue el reducido tamaño de muestra empleado. Queda para futuras investigaciones la realización de un muestreo, con al menos 30 sujetos dentro de cada grupo, que permita utilizar métodos de estadística inferencial.

Otra limitación fue el reducido número de funciones considerado para seleccionar la función base; esto abre otra oportunidad de investigación para seleccionar, con base en todas las posibles funciones base (considerando un número verdaderamente amplio de ellas), cuál es la función base óptima para el análisis del EEG en sujetos sanos y niños con T. A. Finalmente, vale aclarar que sólo se presentó el análisis con Sym8 debido a que tuvo un menor error que el que encontrado para Daub4.

LITERATURA CITADA

- Abásolo, D., R. Hornero, P. Espino, D. Álvarez y J. Poza. 2006. Entropy analysis of the EEG background activity in Alzheimer's disease patients. *Physiological Measurement*. 27:241-253.
- Adeli, H., Zhou, Z., and Dadmehr, N. 2003. Analysis of EEG records in an epileptic patient using Wavelet Transform. *Journal of Neuroscience Methods*. 123(1): 69-87.
- Akin, M. 2002. Comparison of Wavelet Transform and FFT methods in the analysis of EEG signals. *Journal of Medical Systems*. 26(3): 241-247.
- Al-Nashash, H. A., Paul, J. S., Ziai, W.C., Hanley, D. F., and Thakor, N. V. 2003. Wavelet entropy for subband segmentation of EEG during injury and recovery. *Annals Of Biomedical Engineering*. 31(6): 653-658.
- Anderson, R. E. y J. G. Jakobsson. 2004. Entropy of EEG during anaesthetic induction: a comparative study with propofol or nitrous oxide as sole agent. *British Journal of Anaesthesia*, 92(2):167-170.
- Basar, E. 1980. EEG-brain dynamics: Relation between EEG and Brain evoked potentials (1st Ed.). Elsevier/North Holland Biomedical Press, Netherlands.
- Berger, H. 1929. *Archiv Fur Psychiatrie Und Nervenkrankheiten*. 87: 527.
- Blanco, S., Figliola, A., Quiroga, R. Q., Rosso, O. A., and Sirne, R., 1998. Time-frequency analysis of electroencephalogram series (III): wavelet packets and information cost function. *Physical Review E*. 57:932-940.

- Blackman, R. B. and Tukey. 1958. "The measurement of power spectra" Dover
New York
- Bosch, J. F. 2000. Análisis Cuantitativo de Alta Resolución del EEG, Ph. D.
dissertation. Centro Nacional de Investigaciones Científicas, Centro de
Neurociencias de Cuba. La Habana, Cuba.
- Bruce, A., and Gao, H-Y. 1996. Applied wavelet analysis with S-Plus. Springer.
USA
- Cambier, J., Masson, Masson, M., Dehen, H., Sancho Villa, Lechevalier, B.,
Delaporte, P., Castaigne, P., and Barraquer Bordas, L. 2000, Neurología:
Manual. Elsevier España.
- Cohen, L. 1995. Time-Frequency analysis. Prentice Hall Signal Processing Series.
USA.
- Cohen, L. 1989. Time-frequency distributions – A review. Proceedings of the
IEEE. 77(7): 941-981.
- Daubechies, I. 2004. Ten lectures on wavelets (8th Ed.). Philadelphia: SIAM.
CBMS-NSF Regional Conference Series in Applied Mathematics 61.
- Daubechies, I. 1988. Orthonormal bases of compactly supported wavelets. Comm.
Pure Appl. Math. 44:909-996.
- Devore, J. L. 2005. Probabilidad y estadística para ingeniería y ciencias (6th Ed.).
Thompson. México.

- Duffy, F. H., Bartels, P. H., and Burchfield, J. L. 1981. Significance probability mapping: An aid in the topographic analysis of brain electrical activity. *EEG Clinical Neurophysiology*. 51:455-462.
- Evans, J. R. 1999. *Introduction to Quantitative EEG and Neurofeedback*. Academic Press. USA.
- Fishbein, D., Thatcher, R. W., and Cantor, D. S. 1990. Ingestion of carbohydrates varying in complexity produce differential brain responses. *Clinical Electroencephalography*. 43: 21-36.
- Geva, A. B., and Kerem, D. H. 1998. Forecasting Generalized Epileptic Seizures from EEG Signal by Wavelet Analysis and Dynamic Unsupervised Fuzzy Clustering. *IEEE Transactions on Biomedical Engineering*. 45(10):1205-1216.
- González, A. A. 2006. *La atención y sus alteraciones: Del cerebro a la conducta*. El Manual Moderno. México.
- Graps, A. 1995. An introduction to Wavelets. *IEEE Computational Science and Engineering*. 2(2):50-61.
- Grossman, A., and Morlet, J. 1984. Decomposition of Hardy functions into square integrable wavelets of constant shape. *SIAM J. Math. Anal.* 15:723-736.
- Guerrero, V. M. 1991. *Análisis estadístico de series de tiempo económicas*. Universidad Autónoma Metropolitana. México.

- Gutiérrez, J., Alcántara, R., and Medina, V. 2001. Analysis and localization of epileptic events using wavelets packets. *Medical Engineering & Physics*. 23(9):623-631.
- Harmony T., Marosi, E., Becker, J., Rodríguez, M., Reyes, A., Fernández, T., Silva, J., Bernal, J. 1995. Longitudinal quantitative EEG study of children with different performances on a reading-writing test. *Electroencef. Clin. Neurophysiol.*, 95(6): 426-433.
- Harmony, T., Hinojosa, G., Marosi, E., Becker, J., Fernández, T., Rodríguez, M., Reyes, A., Rocha, C. 1990. Correlation between EEG spectral parameters and an educational evaluation. *International Journal of Neuroscience*, 54: 147-155.
- Harmony, T. 1984. *Functional Neuroscience Volume III Neurometric Assessment of Brain Dysfunction in Neurological Patients (1st Ed.)* Lawrence Erlbaum Associates, Publishers, New Jersey.
- John, E. R., Prichep, L., Ahn, H., Easton, P., Fridman, J., Kaye, H. 1983. Neurometric evaluation of cognitive dysfunctions and neurological disorders in children. *Prog Neurobiol.* 21(4):239-290.
- John, E. R., Karmel, B. Z., Corning, W. C., Easton, P., Brown, D., Ahn, H., et al. 1977. *Neuromerics Science*. 196:1393-1410.
- Kaiser, G. 1994. *A Friendly Guide To Wavelets*. Boston: Birkhäuser. USA.
- Khan, Y. U., Gotman, J. 2003. Wavelet based automatic seizure detection in intracerebral electroencephalogram. *Clinical Neurophysiology*. 114(5):898-908.

- Latka, M. , Was, Z. Kozik, A., and West, B. J. 2003. Wavelet analysis of epileptic spikes. *Physical review E*. 67(5): Part 1.
- Majumdar, N. S., Pribram, K. H., and Barrett, T. W. 2006. Time Frequency Characterization of Evoked Brain Activity In Multiple Electrode Recordings. *IEEE Trans Biomed Eng*. 53(12):2516-2524.
- Matousek, M., Petersén, I. 1973. Frequency analysis of the EEG in normal children and adolescents. In: Kellaway P, Petersén I (eds). *Automation of Clinical Electroencephalography*. New York: Raven Press: 75-102.
- Morlet, J., Arens, G., Fourgeau E., and Giard, D. 1982. Wave propagation and sampling theory. *Geophysics*. 47:203-236.
- Niedermeyer, E. 1999. Maturation of the EEG: development of walking and sleep patterns. En: Niedermeyer E, Lopes da Silva F (eds.). *Electroencephalography*. Nppincott Williams & Williams, Baltimore. pp.143-156.
- Ramírez-Niño, J., Rivera-Castañeda, S., García-Colon, V. R., Castaño, V. M. 1998. Analysis of Partial Electrical Discharges in Insulating Materials Through the Wavelet Transform. *Computational Materials Science*. 9:379-388.
- Rioul, O. y M. Vetterli. 1991. Wavelets and signal processing. *IEEE Signal Processing Magazine*, 8(4):14-38.
- Rosso, O. A., Martin, M. T., Figliola, A., Keller, K., and Plastino, A. 2006. EEG analysis using wavelet-based information tools. *Journal of Neuroscience Methods*. 153:163-182.

- Rosso, O. A., and Figliola, A. 2004. Order/disorder in brain electrical activity. *Revista Mexicana de Física*. 50(2):149-155.
- Rosso, O. A., Blanco, S., Yordanova, J., Kolev, V., Figliola, A., Schürmann, M., and Basar, E. 2001. Wavelet Entropy: A New tool for analysis of short duration brain electrical signals. *Journal of Neuroscience Methods*. 105: 65-75.
- Rowan, A. J., and Tolunsky, E. 2004. *Conceptos básicos sobre EEG con Mini-atlas*, Elsevier. España.
- Saavedra, V. , Fernández, T., Harmony, T., and Castaño, V. M. 2006. Ondeletas en Ingeniería; Principios y Aplicaciones. *Ingeniería Investigación y Tecnología*. 7(3):185-190.
- Schiff, S. J., Adroudi, A., Unser, M., and Sato, S. 1994. Fast Wavelet Transformation of EEG. *Electroencephalography and Clinical Neurophysiology*. 91(6):442-455.
- Schumway, R. H., and Stoffer, D.S. 2000. *Time series analysis and its applications*. Springer. USA.
- Shannon, C. E. 1948. A Mathematical Theory of communication. *Bell System Technical Journal*. 27:379-423 and 623-656.
- Szava, S., Valdes, P., Biscay, R., Galan, L., Bosch, J., Clark, I., and Jimenez, J. C. 1994. High Resolution Quantitative EEG Analysis. *Brain Topography*. 6(3):211-219.

- Thatcher, R. W. 1998. Normative EEG Databases and EEG Biofeedback. *Journal of Neurotherapy*. 2(4):8–39.
- Thomas J. B., and Finney, R. L. 1992. *Calculus and analytic geometry* (8th Ed.). Addison Wesley Publishing Company. USA.
- Unser, M. 1996. *Wavelets Statistics, and Biomedical Applications*. IEEE:244-249.
- Venables, W. N., and Ripley, B. D. 1999. *S Programming*. Springer. New York.
- Walker, J. S. 1999. *A Primer on WAVELETS and their Scientific Applications*. Chapman & Hall/CRC. USA.
- Weisstein, E. W. 2008. Power Spectrum." From MathWorld--A Wolfram. Web Resource. <http://mathworld.wolfram.com/PowerSpectrum.html>

APÉNDICE

ANEXO 1

Entrevista realizada al grupo de adultos jóvenes.



INSTITUTO DE NEUROBIOLOGÍA
 UNIVERSIDAD NACIONAL AUTÓNOMA DE MÉXICO
 Campus UNAM-UAQ Juriquilla
LABORATORIO DE PSICOFISIOLOGÍA

Entrevista Inicial para Adultos							
NOMBRE:			Fecha:				
			Expediente:				
Fecha y Lugar de Nacimiento:			Edad:				
Dirección:			Teléfono: e-mail:				
Algún teléfono para recados:							
Escuela:		Grado escolar:	Horario:	Prom. en Calificaciones:			
Toma algún medicamento:							
Zurdo o diestro:			Mujeres Menarquia:				
			Referido por:				
Antecedentes Familiares							
MADRE		PADRE		MADRE		PADRE	
		Nombre				Estabilidad emocional	
		Dirección				Cómo se describiría	
		Edad				Intentos de suicidio	
		Relación entre ellos				Hábitos viciosos	
		Hijos de ambos				Sordera en algún familiar	
		Edo. Gral. De salud				Problemas mentales	
		Nivel socio-económico				Epilepsia	
		Estudios					
Personas que viven en la misma casa:							
Condiciones de la Vivienda:		Rentada o propia:		Cuenta con todos los servicios:			
Antecedentes Perinatales							
Parto Natural, cesárea:							
Suceso relevante:							

Alimentación				
Alimentación Diaria:			Consumo semanal: drogas alcohol cigarros medicamento	
Estancamiento o Regresiones en el Desarrollo				
Esfera Motriz:		Motivo:	Esfera Lingüística:	Motivo:
Esfera Cognoscitiva:		Motivo:	Otros:	Motivo:
Deficiencias sensoriales:		Oído:	Vista:	Defectos Físicos:
Enfermedades de la Infancia:				
Naturaleza:		Edad:	Gravedad o complicaciones:	
Enfermedades que padece actualmente: Si usted Presenta Alguna o Varias de Las Sigüientes Condiciones, favor de notificar que no es apto para el estudio				
Enfermedades del Sistema Nervioso Central:	Signos de Meningitis:	Fiebres mal explicadas:	Ausencias:	Frecuencias:
Diabetes:	Migraña:	Dolor de cabeza: Mareos:	Problemas de Tiroides:	Vicios:
Convulsiones:	Alergias: Infecciones:	Operaciones:	Tatuajes:	Perdida de conocimiento:
Enfermedades de Transferencia sexual (SIDA, Gonorrea)	Cáncer		Ansiedad: Depresión: Angustia:	
Golpes cabeza cuerpo, cuando:	Desórdenes Alimenticios (Anorexia, Bulimia, otros)			
Incidentes notorios (temores, fobias, accidentes, emociones, etc.):				
Características de su Conducta				
Horas de sueño:			Relación con los maestros:	
Forma de ser:			Relación con los padres:	

Relación con los hermanos:	Relación con otras personas:	
Escuelas en las que ha estado:	Relación u opinión de la escuela:	
Grados repetidos:	Algún problema emocional que pueda relacionarse:	
Actividades que realiza durante sus horas libres:	Leen revistas, libros, etc:	
Realiza actividades extraescolares: veces a la semana:	Programa favorito de televisión:	
Mala Memoria:	Problemas de Atención:	Dificultad para concentrarse:
Pelea con las personas:	Se preocupa por su apariencia	
Se muerde las uñas	Se muerde los labios	
Se arranca los cabellos	Es despreocupado por su higiene?	
Se golpea o lastima solo	¿Tiene algunas manías especiales?	
Pérdida o Aumento de Peso Excesivo	Pérdida de cabello	
Lo que más le gusta:	Lo que menos le gusta:	
¿Juega Video-Juegos?	¿Cuál es el video-juego favorito?	
OBSERVACIONES:		

Entrevista Realizada a los padres de los niños.



INSTITUTO DE NEUROBIOLOGÍA
 UNIVERSIDAD NACIONAL AUTÓNOMA DE MÉXICO
 Campus UNAM-UAQ Juriquilla
LABORATORIO DE PSICOFISIOLOGÍA

Entrevista Inicial para Padres de Familia							
NOMBRE:			Fecha:				
			Expediente:				
Fecha y Lugar de Nacimiento:			Edad:				
Dirección:				Teléfono:			
Algún teléfono para recados:							
Escuela:		Grado escolar:	Horario:		Prom. en Calificaciones:		
Toma medicamento:							
Zurdo o diestro:			Niñas Menarquia:				
Quién proporciona la información:			Referido por:				
Motivo de consulta:							
Dificultades en:	Lectura		Escritura		Matemáticas		
Antecedentes Familiares							
MADRE		PADRE		MADRE		PADRE	
	Nombre			Estabilidad emocional			
	Dirección			Cómo se describiría			
	Edad			Intentos de suicidio			
	Duración noviazgo/casados?			Hábitos viciosos			
	Relación entre ellos			Sordera en algún familiar			
	Hijos de ambos			Problemas mentales			
	Edo. Gral. De salud			Epilepsia			
	Ocupación			Tuvo otro matrimonio			
	Horario trabajo			Tuvo otros hijos con esa pareja			

	Nivel socio-económico			Actitud ante el nacimiento del niño(a)	
	Estudios			Actitud ante el nacimiento de otros hijos	
Personas que viven en la misma casa:					
Condiciones de la Vivienda:	Rentada o propia:	Cuenta con todos los servicios:			
Antecedentes Perinatales					
Gestación: Tiempo:	Parto: Tiempo:	vía vaginal, cesárea	Sufrimiento fetal o posnatal:		
			Hospitalario:		
Caídas o golpes durante el embarazo:			Enfermedades durante el embarazo:		
Suceso relevante:					
Peso al nacer:	Talla al nacer:	APGAR:	Llanto al nacer:	Oxígeno:	Incubadora:
Atención médica (revisiones) durante el embarazo:		Causas:			
Color al nacer: morado (hipóxia) amarillo (ictericia) rojito, normal		Observaciones y/o comentarios:			
Alimentación					
Alimentación de la madre - antes del embarazo: - durante el embarazo: - después del embarazo:			Consumió drogas alcohol cigarros medicamento		
Alimentación del niño al nacer:		Actualmente:			
Materna:	Artificial:	Hasta que edad:	Motivo:	Problemas digestivos:	
Cómo fue el destete:		Cómo suprimió el biberón:		Cómo aceptó alimentos sólidos:	
Características del recién nacido y del entorno familiar:					
Evolución de la Primera Infancia					
Cabeza erguida:	Gateo:	Bipedestación:	Primeros pasos:	1 ^{as} . Palabras:	1 ^{as} . Frases:
Control de Esfínteres (cómo, cuándo):					
Estancamiento o Regresiones en el Desarrollo					

Esfera Motriz:	Motivo:	Esfera Lingüística:	Motivo:	
Esfera Cognoscitiva:	Motivo:	Otros:	Motivo:	
Deficiencias sensoriales:	Oído:	Vista:	Defectos Físicos:	
Enfermedades de la Infancia:				
Naturaleza:		Edad:	Gravedad o complicaciones:	
Enfermedades que padece actualmente:				
Enfermedades del Sistema Nervioso Central:	Signos de Meningitis:	Fiebres mal explicadas:	Ausencias:	Frecuencias:
Convulsiones:	Deshidratación:	Desnutrición:	Alergias: Infecciones:	Operaciones:
Dolor de cabeza: Mareos:	Golpes cabeza cuerpo, cuando:		Pérdida de conocimiento:	
Incidentes notorios (temores, accidentes, emociones, etc.):				
Características de su Conducta				
Horario del sueño:		Con quién duerme:		
Breve descripción del niño (forma de ser):		Relación con los padres:		
Relación con los hermanos:		Relación con otras personas:		
Adaptación al jardín de niños o escuela:		A qué edad inició 1º. de Primaria:		
Escuelas en las que ha estado:		Relación u opinión de la escuela:		
Grados repetidos:		Cuándo se dieron cuenta de sus dificultades en el aprendizaje.		
Algún problema emocional que pueda relacionarse:		Actividades que realiza durante sus horas libres:		

Leen revistas, libros, etc:	Realiza actividades extraescolares: veces a la semana:
Ha recibido educación especial, evaluaciones, pruebas o tratamientos:	Programa favorito de televisión:
	Cuántas horas ve TV
A qué atribuye el problema de Aprendizaje:	Cómo son sus problemas en la escuela:
Mala Memoria:	Cómo han sido sus maestros:
Juega video-juegos:	Problemas de Atención:
Cuántas horas:	Dificultad para concentrarse:
Le gusta estudiar:	Le gusta ir a la Escuela:
Pelea con los compañeros de Escuela:	Le gusta hacer tareas:
Se mete dedos a la nariz	Le prestan atención en casa:
Lleva a la boca cualquier objeto	Se viste sólo
Se chupa los dedos	Se preocupa por su apariencia
Se muerde las uñas	Se baña, lava la cara, manos y dientes sólo
Se muerde los labios	Se peina sólo
Se arranca los cabellos	Es despreocupado por su higiene?
Se golpea o lastima solo	¿Tiene algunas manías especiales?
Lo que más le gusta:	Lo que menos le gusta:
OBSERVACIONES:	

ANEXO 2

Código utilizado por el paquete S-plus para calcular la FFT.

```
function(z, inverse = F)
{
  d <- dim(z)
  n <- as.integer(length(z))
  inv <- as.integer(if(inverse) -1. else 1.)
  if(is.null(d))
    return(.C("fft",
              as.complex(z),
              n,
              n,
              n,
              inv)[[1]])
  prod <- 1
  for(i in 1:length(d)) {
    prod <- prod * d[i]
    z <- .C("fft",
           as.complex(z),
           n,
           d[i],
           as.integer(prod),
           inv)[[1]]
  }
  dim(z) <- d
  z
}
```

Código utilizado por el paquete S-plus para calcular la DWT

```

function(x, ...)
{
  fast.dwt <- function(x, dict)
  {
    N <- length(x)
    flp <- dict$analysis.filter$low
    fhp <- dict$analysis.filter$high
    J <- dict$n.levels
    info <- dict.to.Clist(dict)
    if(J < 1)
      stop("Could not compute dwt: n.levels must be >=
1\n"
)
    out <- .C("Swv_DWT",
      as.double(flp),
      as.integer(length(flp)),
      as.double(fhp),
      as.integer(length(fhp)),
      as.integer(dict$dual),
      boundary = as.integer(info$btype),
      as.double(x),
      as.integer(N),
      as.integer(J),
      y = double(N),
      len = integer(J + 1))[c("len", "y")]
    coefs <- out$y
    oldClass(coefs) <- c("dwt", "wpt", "wp",
      "crystal.vector")
    attr(coefs, "is.on") <- c(orthogonal = T, complete = T)
    attr(coefs, "n.levels") <- J
    attr(coefs, "lengths") <- out$len
    attr(coefs, "crystal.names") <- icrystal.names("dwt",
      J)
    attr(coefs, "dictionary") <- dict
    coefs
  }
  if(is.matrix(x))
    stop("Call dwt.2d or coerce x into a vector\n")
  dict <- wp.dict(x = x, ...)
  boundary <- dict$boundary
  J <- dict$n.levels
  if(J < 1) {
    warning("n.levels == 0, trivial transform computed\n")
    attributes(x) <- c(attributes(x), list(class = c("dwt",
      "wpt", "wp", "crystal.vector"), crystal.names
      = "s0", dictionary = dict, n.levels = 0, is.on
      = c(orthogonal = T, complete = T)))
    return(x)
  }
  if(dict$fast)
    return(fast.dwt(x, dict))
  h <- dict$analysis.filter$low
  g <- dict$analysis.filter$high
  if(boundary == "interval" && attr(boundary, "precondition"))

```

```

        x <- precondition(x, g)
    coefs <- vector("list", J + 1)
    dwt.nm <- icrystal.names("dwt", J)
    yl <- x
    if(boundary == "infinite") {
        for(j in J:1) {
            coefs[[j + 1]] <- wp.inf.crystal(convdown(
                yl, f = g, boundary = boundary), odd =
                c(is.odd(length(yl)), attr(yl, "odd")),
                dict = dict, crystal.name = dwt.nm[
                j + 1])
            yl <- wp.inf.crystal(convdown(yl, f = h,
                boundary = boundary), dict = dict,
                odd = c(is.odd(length(yl)), attr(yl,
                "odd")))
        }
        coefs[[1]] <- wp.inf.crystal(yl, dict = dict,
            crystal.name = dwt.nm[1])
    }
    else {
        for(j in J:1) {
            coefs[[j + 1]] <- wp.crystal(convdown(yl, f = g,
                boundary = boundary), odd = c(is.odd(
                length(yl)), attr(yl, "odd")), dict =
                dict, crystal.name = dwt.nm[j + 1])
            yl <- wp.crystal(convdown(yl, f = h, boundary
                = boundary), dict = dict, odd = c(
                is.odd(length(yl)), attr(yl, "odd")))
        }
        coefs[[1]] <- wp.crystal(yl, dict = dict, crystal.name
            = dwt.nm[1])
    }
    names(coefs) <- dwt.nm
    oldClass(coefs) <- c("dwt.list", "wpt.list", "wp.list",
        "crystal.list")
    attr(coefs, "dictionary") <- dict
    attr(coefs, "n.levels") <- J
    attr(coefs, "is.on") <- c(orthogonal = T, complete = T)
    if(boundary != "infinite")
        coefs <- as.crystal.vector(coefs)
    coefs
}

```

Código utilizado por el paquete S-plus para calcular la MRA.

```

function(x, ...)
{
    x.dwt <- dwt(x, ...)
    attr(x.dwt, "dict")$series.name <- deparse(substitute(x))
    decompose(x.dwt)
}

```


ANEXO 3

Grupo	Sujeto	Segmento	coef	C3	C4	P3	P4	Cz	Pz
Niños T. A.	Sujeto 1	1	s6	0.409	0.253	0.229	0.118	0.178	0.153
Niños T. A.	Sujeto 1	1	d6	0.121	0.124	0.131	0.128	0.106	0.112
Niños T. A.	Sujeto 1	1	d5	0.142	0.258	0.292	0.33	0.32	0.299
Niños T. A.	Sujeto 1	1	d4	0.255	0.299	0.285	0.348	0.329	0.352
Niños T. A.	Sujeto 1	1	d3	0.056	0.057	0.053	0.07	0.057	0.077
Niños T. A.	Sujeto 1	1	d2	0.016	0.008	0.009	0.005	0.01	0.007
Niños T. A.	Sujeto 1	1	d1	0.002	0	0.001	0.001	0	0.001
Niños T. A.	Sujeto 1	2	s6	0.308	0.306	0.164	0.182	0.253	0.119
Niños T. A.	Sujeto 1	2	d6	0.05	0.114	0.153	0.078	0.068	0.095
Niños T. A.	Sujeto 1	2	d5	0.391	0.362	0.245	0.403	0.391	0.286
Niños T. A.	Sujeto 1	2	d4	0.199	0.183	0.373	0.277	0.246	0.431
Niños T. A.	Sujeto 1	2	d3	0.046	0.028	0.062	0.057	0.038	0.066
Niños T. A.	Sujeto 1	2	d2	0.005	0.006	0.004	0.003	0.004	0.003
Niños T. A.	Sujeto 1	2	d1	0	0	0	0	0	0
Niños T. A.	Sujeto 1	3	s6	0.36	0.3	0.364	0.216	0.355	0.214
Niños T. A.	Sujeto 1	3	d6	0.152	0.233	0.051	0.114	0.134	0.075
Niños T. A.	Sujeto 1	3	d5	0.172	0.15	0.097	0.144	0.182	0.151
Niños T. A.	Sujeto 1	3	d4	0.25	0.246	0.384	0.423	0.268	0.454
Niños T. A.	Sujeto 1	3	d3	0.055	0.054	0.093	0.091	0.052	0.098
Niños T. A.	Sujeto 1	3	d2	0.01	0.016	0.01	0.011	0.009	0.008
Niños T. A.	Sujeto 1	3	d1	0	0.001	0.001	0	0	0
Niños T. A.	Sujeto 1	4	s6	0.44	0.414	0.299	0.249	0.311	0.305
Niños T. A.	Sujeto 1	4	d6	0.145	0.129	0.151	0.072	0.253	0.171
Niños T. A.	Sujeto 1	4	d5	0.189	0.183	0.15	0.235	0.221	0.172
Niños T. A.	Sujeto 1	4	d4	0.163	0.207	0.318	0.363	0.16	0.283
Niños T. A.	Sujeto 1	4	d3	0.055	0.058	0.076	0.072	0.049	0.064
Niños T. A.	Sujeto 1	4	d2	0.008	0.008	0.006	0.008	0.006	0.005
Niños T. A.	Sujeto 1	4	d1	0	0	0	0.001	0	0
Niños T. A.	Sujeto 1	5	s6	0.328	0.225	0.187	0.26	0.127	0.107
Niños T. A.	Sujeto 1	5	d6	0.053	0.043	0.063	0.075	0.05	0.065
Niños T. A.	Sujeto 1	5	d5	0.347	0.446	0.277	0.367	0.535	0.309
Niños T. A.	Sujeto 1	5	d4	0.22	0.216	0.408	0.233	0.233	0.435
Niños T. A.	Sujeto 1	5	d3	0.048	0.061	0.06	0.053	0.049	0.077
Niños T. A.	Sujeto 1	5	d2	0.004	0.009	0.005	0.011	0.005	0.005
Niños T. A.	Sujeto 1	5	d1	0	0	0	0.001	0.001	0.001
Niños T. A.	Sujeto 1	6	s6	0.38	0.438	0.221	0.238	0.29	0.138
Niños T. A.	Sujeto 1	6	d6	0.071	0.056	0.09	0.093	0.037	0.073
Niños T. A.	Sujeto 1	6	d5	0.271	0.277	0.24	0.293	0.351	0.345
Niños T. A.	Sujeto 1	6	d4	0.229	0.186	0.384	0.301	0.281	0.377
Niños T. A.	Sujeto 1	6	d3	0.045	0.04	0.06	0.069	0.039	0.064
Niños T. A.	Sujeto 1	6	d2	0.003	0.003	0.004	0.005	0.002	0.003
Niños T. A.	Sujeto 1	6	d1	0	0	0	0.001	0	0
Niños T. A.	Sujeto 1	7	s6	0.336	0.355	0.232	0.287	0.197	0.261
Niños T. A.	Sujeto 1	7	d6	0.19	0.136	0.189	0.159	0.19	0.111
Niños T. A.	Sujeto 1	7	d5	0.165	0.269	0.165	0.256	0.289	0.231
Niños T. A.	Sujeto 1	7	d4	0.277	0.205	0.36	0.235	0.297	0.352
Niños T. A.	Sujeto 1	7	d3	0.024	0.027	0.047	0.054	0.019	0.038
Niños T. A.	Sujeto 1	7	d2	0.008	0.007	0.006	0.009	0.007	0.006
Niños T. A.	Sujeto 1	7	d1	0	0	0	0	0	0
Niños T. A.	Sujeto 1	8	s6	0.35	0.47	0.283	0.363	0.257	0.292
Niños T. A.	Sujeto 1	8	d6	0.078	0.066	0.106	0.079	0.13	0.134
Niños T. A.	Sujeto 1	8	d5	0.4	0.166	0.161	0.166	0.342	0.207
Niños T. A.	Sujeto 1	8	d4	0.129	0.246	0.389	0.336	0.232	0.327
Niños T. A.	Sujeto 1	8	d3	0.033	0.046	0.054	0.044	0.032	0.035
Niños T. A.	Sujeto 1	8	d2	0.009	0.006	0.006	0.011	0.007	0.004
Niños T. A.	Sujeto 1	8	d1	0.001	0	0	0.001	0	0
Niños T. A.	Sujeto 1	9	s6	0.398	0.355	0.352	0.239	0.153	0.202
Niños T. A.	Sujeto 1	9	d6	0.13	0.133	0.079	0.057	0.085	0.074
Niños T. A.	Sujeto 1	9	d5	0.34	0.386	0.279	0.374	0.592	0.358
Niños T. A.	Sujeto 1	9	d4	0.107	0.084	0.255	0.275	0.129	0.316
Niños T. A.	Sujeto 1	9	d3	0.021	0.037	0.029	0.046	0.036	0.043
Niños T. A.	Sujeto 1	9	d2	0.004	0.005	0.005	0.009	0.005	0.007
Niños T. A.	Sujeto 1	9	d1	0.001	0	0	0	0.001	0.001
Niños T. A.	Sujeto 1	10	s6	0.279	0.317	0.13	0.219	0.19	0.139

ANEXO 3

Grupo	Sujeto	Segmento	coef	C3	C4	P3	P4	Cz	Pz
Niños T. A.	Sujeto 1	10	d6	0.179	0.141	0.18	0.118	0.15	0.105
Niños T. A.	Sujeto 1	10	d5	0.405	0.36	0.423	0.336	0.462	0.443
Niños T. A.	Sujeto 1	10	d4	0.086	0.147	0.217	0.274	0.163	0.255
Niños T. A.	Sujeto 1	10	d3	0.046	0.03	0.044	0.048	0.03	0.055
Niños T. A.	Sujeto 1	10	d2	0.005	0.005	0.005	0.004	0.005	0.003
Niños T. A.	Sujeto 1	10	d1	0.001	0	0	0	0.001	0
Niños T. A.	Sujeto 1	11	s6	0.342	0.249	0.195	0.191	0.215	0.183
Niños T. A.	Sujeto 1	11	d6	0.082	0.091	0.212	0.092	0.046	0.089
Niños T. A.	Sujeto 1	11	d5	0.322	0.411	0.222	0.185	0.466	0.236
Niños T. A.	Sujeto 1	11	d4	0.221	0.204	0.32	0.427	0.237	0.418
Niños T. A.	Sujeto 1	11	d3	0.028	0.04	0.047	0.099	0.032	0.071
Niños T. A.	Sujeto 1	11	d2	0.004	0.005	0.003	0.005	0.003	0.003
Niños T. A.	Sujeto 1	11	d1	0	0	0	0	0	0
Niños T. A.	Sujeto 1	12	s6	0.354	0.34	0.42	0.159	0.158	0.155
Niños T. A.	Sujeto 1	12	d6	0.13	0.123	0.05	0.057	0.186	0.032
Niños T. A.	Sujeto 1	12	d5	0.246	0.163	0.233	0.156	0.299	0.252
Niños T. A.	Sujeto 1	12	d4	0.239	0.335	0.244	0.548	0.312	0.489
Niños T. A.	Sujeto 1	12	d3	0.026	0.037	0.045	0.076	0.04	0.069
Niños T. A.	Sujeto 1	12	d2	0.004	0.002	0.008	0.004	0.003	0.003
Niños T. A.	Sujeto 1	12	d1	0	0	0	0	0	0
Niños T. A.	Sujeto 1	13	s6	0.222	0.193	0.204	0.232	0.122	0.133
Niños T. A.	Sujeto 1	13	d6	0.193	0.137	0.085	0.074	0.104	0.044
Niños T. A.	Sujeto 1	13	d5	0.244	0.285	0.107	0.203	0.397	0.19
Niños T. A.	Sujeto 1	13	d4	0.271	0.321	0.487	0.409	0.325	0.533
Niños T. A.	Sujeto 1	13	d3	0.061	0.059	0.107	0.077	0.049	0.096
Niños T. A.	Sujeto 1	13	d2	0.009	0.005	0.009	0.004	0.003	0.004
Niños T. A.	Sujeto 1	13	d1	0	0	0	0	0	0
Niños T. A.	Sujeto 1	14	s6	0.405	0.444	0.373	0.289	0.279	0.259
Niños T. A.	Sujeto 1	14	d6	0.14	0.19	0.199	0.109	0.203	0.182
Niños T. A.	Sujeto 1	14	d5	0.166	0.137	0.106	0.142	0.234	0.14
Niños T. A.	Sujeto 1	14	d4	0.235	0.177	0.259	0.363	0.227	0.341
Niños T. A.	Sujeto 1	14	d3	0.045	0.046	0.054	0.091	0.048	0.073
Niños T. A.	Sujeto 1	14	d2	0.009	0.006	0.008	0.007	0.007	0.005
Niños T. A.	Sujeto 1	14	d1	0.001	0.001	0.001	0	0.002	0
Niños T. A.	Sujeto 1	15	s6	0.289	0.174	0.131	0.119	0.131	0.057
Niños T. A.	Sujeto 1	15	d6	0.174	0.089	0.077	0.136	0.125	0.117
Niños T. A.	Sujeto 1	15	d5	0.313	0.576	0.32	0.465	0.521	0.349
Niños T. A.	Sujeto 1	15	d4	0.181	0.116	0.409	0.233	0.177	0.422
Niños T. A.	Sujeto 1	15	d3	0.039	0.04	0.054	0.042	0.04	0.053
Niños T. A.	Sujeto 1	15	d2	0.004	0.005	0.007	0.005	0.004	0.003
Niños T. A.	Sujeto 1	15	d1	0	0	0.001	0.001	0	0
Niños T. A.	Sujeto 1	16	s6	0.371	0.344	0.251	0.323	0.275	0.231
Niños T. A.	Sujeto 1	16	d6	0.074	0.057	0.087	0.024	0.11	0.048
Niños T. A.	Sujeto 1	16	d5	0.364	0.458	0.267	0.431	0.44	0.35
Niños T. A.	Sujeto 1	16	d4	0.157	0.113	0.339	0.174	0.147	0.323
Niños T. A.	Sujeto 1	16	d3	0.026	0.021	0.05	0.038	0.023	0.042
Niños T. A.	Sujeto 1	16	d2	0.006	0.006	0.006	0.009	0.004	0.005
Niños T. A.	Sujeto 1	16	d1	0.001	0.001	0	0.001	0	0
Niños T. A.	Sujeto 1	17	s6	0.333	0.401	0.252	0.295	0.282	0.255
Niños T. A.	Sujeto 1	17	d6	0.169	0.101	0.168	0.115	0.154	0.125
Niños T. A.	Sujeto 1	17	d5	0.31	0.317	0.152	0.199	0.39	0.206
Niños T. A.	Sujeto 1	17	d4	0.152	0.135	0.346	0.312	0.146	0.347
Niños T. A.	Sujeto 1	17	d3	0.032	0.041	0.078	0.074	0.026	0.064
Niños T. A.	Sujeto 1	17	d2	0.004	0.004	0.004	0.005	0.003	0.003
Niños T. A.	Sujeto 1	17	d1	0	0.001	0.001	0.001	0	0
Niños T. A.	Sujeto 1	18	s6	0.425	0.357	0.157	0.3	0.246	0.179
Niños T. A.	Sujeto 1	18	d6	0.072	0.092	0.045	0.075	0.067	0.02
Niños T. A.	Sujeto 1	18	d5	0.304	0.275	0.265	0.32	0.398	0.228
Niños T. A.	Sujeto 1	18	d4	0.157	0.207	0.432	0.212	0.221	0.474
Niños T. A.	Sujeto 1	18	d3	0.037	0.064	0.095	0.085	0.061	0.095
Niños T. A.	Sujeto 1	18	d2	0.006	0.005	0.006	0.008	0.006	0.004
Niños T. A.	Sujeto 1	18	d1	0	0	0	0	0	0
Niños T. A.	Sujeto 1	19	s6	0.471	0.469	0.298	0.318	0.44	0.202
Niños T. A.	Sujeto 1	19	d6	0.195	0.094	0.138	0.113	0.18	0.133

ANEXO 3

Grupo	Sujeto	Segmento	coef	C3	C4	P3	P4	Cz	Pz
Niños T. A.	Sujeto 1	19	d5	0.151	0.099	0.08	0.068	0.083	0.075
Niños T. A.	Sujeto 1	19	d4	0.148	0.276	0.417	0.44	0.26	0.527
Niños T. A.	Sujeto 1	19	d3	0.03	0.054	0.059	0.055	0.032	0.058
Niños T. A.	Sujeto 1	19	d2	0.004	0.008	0.008	0.005	0.004	0.003
Niños T. A.	Sujeto 1	19	d1	0	0	0	0	0	0
Niños T. A.	Sujeto 1	20	s6	0.323	0.483	0.28	0.373	0.291	0.254
Niños T. A.	Sujeto 1	20	d6	0.119	0.15	0.134	0.153	0.094	0.118
Niños T. A.	Sujeto 1	20	d5	0.312	0.159	0.286	0.228	0.341	0.22
Niños T. A.	Sujeto 1	20	d4	0.172	0.156	0.243	0.19	0.203	0.334
Niños T. A.	Sujeto 1	20	d3	0.064	0.044	0.051	0.048	0.061	0.064
Niños T. A.	Sujeto 1	20	d2	0.009	0.007	0.005	0.007	0.008	0.008
Niños T. A.	Sujeto 1	20	d1	0.001	0.001	0.001	0.001	0.001	0.002
Niños T. A.	Sujeto 1	21	s6	0.43	0.438	0.322	0.268	0.387	0.244
Niños T. A.	Sujeto 1	21	d6	0.056	0.049	0.055	0.083	0.053	0.069
Niños T. A.	Sujeto 1	21	d5	0.155	0.116	0.16	0.172	0.183	0.179
Niños T. A.	Sujeto 1	21	d4	0.306	0.33	0.385	0.403	0.328	0.436
Niños T. A.	Sujeto 1	21	d3	0.047	0.059	0.071	0.068	0.043	0.066
Niños T. A.	Sujeto 1	21	d2	0.007	0.008	0.006	0.006	0.006	0.004
Niños T. A.	Sujeto 1	21	d1	0	0	0	0	0	0
Niños T. A.	Sujeto 1	22	s6	0.443	0.215	0.102	0.104	0.199	0.089
Niños T. A.	Sujeto 1	22	d6	0.041	0.072	0.052	0.083	0.087	0.079
Niños T. A.	Sujeto 1	22	d5	0.162	0.375	0.196	0.224	0.285	0.186
Niños T. A.	Sujeto 1	22	d4	0.301	0.277	0.562	0.489	0.376	0.569
Niños T. A.	Sujeto 1	22	d3	0.045	0.052	0.083	0.094	0.045	0.073
Niños T. A.	Sujeto 1	22	d2	0.008	0.009	0.005	0.006	0.007	0.003
Niños T. A.	Sujeto 1	22	d1	0	0	0	0	0	0
Niños T. A.	Sujeto 1	23	s6	0.444	0.238	0.225	0.171	0.295	0.187
Niños T. A.	Sujeto 1	23	d6	0.207	0.093	0.052	0.033	0.146	0.049
Niños T. A.	Sujeto 1	23	d5	0.111	0.292	0.13	0.371	0.271	0.289
Niños T. A.	Sujeto 1	23	d4	0.165	0.327	0.482	0.361	0.247	0.401
Niños T. A.	Sujeto 1	23	d3	0.065	0.045	0.105	0.058	0.035	0.071
Niños T. A.	Sujeto 1	23	d2	0.007	0.006	0.006	0.005	0.005	0.004
Niños T. A.	Sujeto 1	23	d1	0	0	0	0	0	0
Niños T. A.	Sujeto 1	24	s6	0.311	0.334	0.16	0.195	0.26	0.151
Niños T. A.	Sujeto 1	24	d6	0.226	0.233	0.14	0.085	0.213	0.09
Niños T. A.	Sujeto 1	24	d5	0.257	0.201	0.27	0.241	0.242	0.215
Niños T. A.	Sujeto 1	24	d4	0.173	0.193	0.362	0.402	0.247	0.464
Niños T. A.	Sujeto 1	24	d3	0.028	0.036	0.063	0.074	0.034	0.078
Niños T. A.	Sujeto 1	24	d2	0.005	0.004	0.005	0.004	0.004	0.003
Niños T. A.	Sujeto 1	24	d1	0	0	0	0	0	0
Niños T. A.	Sujeto 2	1	s6	0.175	0.141	0.118	0.131	0.133	0.109
Niños T. A.	Sujeto 2	1	d6	0.054	0.116	0.104	0.098	0.039	0.081
Niños T. A.	Sujeto 2	1	d5	0.456	0.409	0.306	0.352	0.476	0.374
Niños T. A.	Sujeto 2	1	d4	0.264	0.284	0.407	0.376	0.308	0.397
Niños T. A.	Sujeto 2	1	d3	0.046	0.045	0.06	0.039	0.04	0.035
Niños T. A.	Sujeto 2	1	d2	0.005	0.005	0.004	0.004	0.004	0.003
Niños T. A.	Sujeto 2	1	d1	0	0	0	0	0	0
Niños T. A.	Sujeto 2	2	s6	0.112	0.087	0.08	0.039	0.101	0.05
Niños T. A.	Sujeto 2	2	d6	0.108	0.101	0.099	0.143	0.116	0.092
Niños T. A.	Sujeto 2	2	d5	0.199	0.333	0.24	0.28	0.275	0.326
Niños T. A.	Sujeto 2	2	d4	0.513	0.424	0.532	0.506	0.453	0.497
Niños T. A.	Sujeto 2	2	d3	0.063	0.049	0.047	0.029	0.051	0.033
Niños T. A.	Sujeto 2	2	d2	0.006	0.006	0.003	0.002	0.004	0.002
Niños T. A.	Sujeto 2	2	d1	0	0	0	0	0	0
Niños T. A.	Sujeto 2	3	s6	0.153	0.117	0.139	0.127	0.098	0.118
Niños T. A.	Sujeto 2	3	d6	0.081	0.089	0.12	0.138	0.087	0.133
Niños T. A.	Sujeto 2	3	d5	0.337	0.241	0.331	0.321	0.349	0.369
Niños T. A.	Sujeto 2	3	d4	0.373	0.459	0.361	0.368	0.415	0.338
Niños T. A.	Sujeto 2	3	d3	0.052	0.089	0.046	0.043	0.049	0.041
Niños T. A.	Sujeto 2	3	d2	0.004	0.005	0.003	0.002	0.003	0.002
Niños T. A.	Sujeto 2	3	d1	0	0	0	0	0	0
Niños T. A.	Sujeto 2	4	s6	0.297	0.262	0.16	0.192	0.312	0.242
Niños T. A.	Sujeto 2	4	d6	0.079	0.051	0.083	0.037	0.067	0.078
Niños T. A.	Sujeto 2	4	d5	0.371	0.248	0.362	0.247	0.367	0.31

ANEXO 3

Grupo	Sujeto	Segmento	coef	C3	C4	P3	P4	Cz	Pz
Niños T. A.	Sujeto 2	4	d4	0.21	0.355	0.352	0.453	0.21	0.335
Niños T. A.	Sujeto 2	4	d3	0.039	0.07	0.037	0.062	0.041	0.033
Niños T. A.	Sujeto 2	4	d2	0.005	0.012	0.004	0.006	0.004	0.002
Niños T. A.	Sujeto 2	4	d1	0	0.002	0.001	0.002	0	0
Niños T. A.	Sujeto 2	5	s6	0.182	0.267	0.208	0.145	0.16	0.203
Niños T. A.	Sujeto 2	5	d6	0.204	0.216	0.269	0.267	0.232	0.274
Niños T. A.	Sujeto 2	5	d5	0.199	0.141	0.145	0.222	0.217	0.198
Niños T. A.	Sujeto 2	5	d4	0.349	0.327	0.336	0.313	0.333	0.282
Niños T. A.	Sujeto 2	5	d3	0.055	0.042	0.037	0.047	0.051	0.039
Niños T. A.	Sujeto 2	5	d2	0.011	0.006	0.005	0.004	0.007	0.004
Niños T. A.	Sujeto 2	5	d1	0	0	0	0	0	0
Niños T. A.	Sujeto 2	6	s6	0.132	0.103	0.053	0.073	0.057	0.053
Niños T. A.	Sujeto 2	6	d6	0.148	0.056	0.131	0.046	0.108	0.069
Niños T. A.	Sujeto 2	6	d5	0.361	0.349	0.253	0.275	0.37	0.237
Niños T. A.	Sujeto 2	6	d4	0.301	0.407	0.501	0.516	0.4	0.564
Niños T. A.	Sujeto 2	6	d3	0.051	0.081	0.056	0.086	0.062	0.073
Niños T. A.	Sujeto 2	6	d2	0.007	0.004	0.004	0.004	0.004	0.003
Niños T. A.	Sujeto 2	6	d1	0	0	0	0	0	0
Niños T. A.	Sujeto 2	7	s6	0.308	0.292	0.251	0.158	0.251	0.175
Niños T. A.	Sujeto 2	7	d6	0.089	0.09	0.063	0.126	0.078	0.101
Niños T. A.	Sujeto 2	7	d5	0.27	0.248	0.319	0.331	0.315	0.38
Niños T. A.	Sujeto 2	7	d4	0.274	0.295	0.302	0.332	0.3	0.295
Niños T. A.	Sujeto 2	7	d3	0.054	0.067	0.061	0.05	0.05	0.046
Niños T. A.	Sujeto 2	7	d2	0.005	0.008	0.004	0.004	0.004	0.003
Niños T. A.	Sujeto 2	7	d1	0	0	0	0	0	0
Niños T. A.	Sujeto 2	8	s6	0.29	0.212	0.242	0.189	0.243	0.185
Niños T. A.	Sujeto 2	8	d6	0.099	0.073	0.056	0.051	0.09	0.058
Niños T. A.	Sujeto 2	8	d5	0.21	0.219	0.232	0.252	0.344	0.329
Niños T. A.	Sujeto 2	8	d4	0.326	0.417	0.406	0.455	0.273	0.383
Niños T. A.	Sujeto 2	8	d3	0.065	0.071	0.055	0.049	0.045	0.042
Niños T. A.	Sujeto 2	8	d2	0.01	0.007	0.008	0.005	0.006	0.004
Niños T. A.	Sujeto 2	8	d1	0.001	0	0	0	0	0
Niños T. A.	Sujeto 2	9	s6	0.235	0.244	0.208	0.253	0.273	0.229
Niños T. A.	Sujeto 2	9	d6	0.11	0.052	0.227	0.096	0.064	0.117
Niños T. A.	Sujeto 2	9	d5	0.346	0.339	0.28	0.214	0.311	0.233
Niños T. A.	Sujeto 2	9	d4	0.263	0.295	0.255	0.402	0.307	0.387
Niños T. A.	Sujeto 2	9	d3	0.041	0.065	0.028	0.032	0.041	0.032
Niños T. A.	Sujeto 2	9	d2	0.006	0.005	0.003	0.002	0.004	0.002
Niños T. A.	Sujeto 2	9	d1	0	0	0	0	0	0
Niños T. A.	Sujeto 2	10	s6	0.237	0.101	0.289	0.146	0.148	0.139
Niños T. A.	Sujeto 2	10	d6	0.094	0.122	0.05	0.117	0.133	0.112
Niños T. A.	Sujeto 2	10	d5	0.309	0.267	0.234	0.202	0.251	0.205
Niños T. A.	Sujeto 2	10	d4	0.288	0.431	0.359	0.471	0.401	0.476
Niños T. A.	Sujeto 2	10	d3	0.062	0.072	0.062	0.06	0.061	0.065
Niños T. A.	Sujeto 2	10	d2	0.009	0.006	0.005	0.003	0.005	0.003
Niños T. A.	Sujeto 2	10	d1	0	0	0	0	0	0
Niños T. A.	Sujeto 2	11	s6	0.26	0.238	0.196	0.142	0.186	0.155
Niños T. A.	Sujeto 2	11	d6	0.127	0.079	0.063	0.046	0.054	0.038
Niños T. A.	Sujeto 2	11	d5	0.277	0.239	0.281	0.268	0.438	0.266
Niños T. A.	Sujeto 2	11	d4	0.263	0.363	0.398	0.467	0.274	0.482
Niños T. A.	Sujeto 2	11	d3	0.066	0.076	0.057	0.074	0.045	0.057
Niños T. A.	Sujeto 2	11	d2	0.006	0.005	0.005	0.003	0.003	0.002
Niños T. A.	Sujeto 2	11	d1	0	0	0	0	0	0
Niños T. A.	Sujeto 2	12	s6	0.267	0.15	0.227	0.14	0.195	0.174
Niños T. A.	Sujeto 2	12	d6	0.104	0.098	0.056	0.062	0.112	0.095
Niños T. A.	Sujeto 2	12	d5	0.376	0.3	0.344	0.284	0.343	0.322
Niños T. A.	Sujeto 2	12	d4	0.205	0.399	0.322	0.455	0.302	0.356
Niños T. A.	Sujeto 2	12	d3	0.042	0.048	0.042	0.056	0.042	0.048
Niños T. A.	Sujeto 2	12	d2	0.006	0.005	0.007	0.003	0.005	0.004
Niños T. A.	Sujeto 2	12	d1	0.001	0	0.001	0	0.001	0.001
Niños T. A.	Sujeto 2	13	s6	0.226	0.114	0.117	0.088	0.072	0.076
Niños T. A.	Sujeto 2	13	d6	0.137	0.096	0.126	0.079	0.094	0.103
Niños T. A.	Sujeto 2	13	d5	0.424	0.393	0.451	0.389	0.569	0.518
Niños T. A.	Sujeto 2	13	d4	0.171	0.337	0.272	0.411	0.222	0.274

ANEXO 3

Grupo	Sujeto	Segmento	coef	C3	C4	P3	P4	Cz	Pz
Niños T. A.	Sujeto 2	13	d3	0.036	0.055	0.03	0.031	0.038	0.027
Niños T. A.	Sujeto 2	13	d2	0.007	0.005	0.004	0.002	0.004	0.002
Niños T. A.	Sujeto 2	13	d1	0	0	0	0	0	0
Niños T. A.	Sujeto 2	14	s6	0.348	0.203	0.22	0.112	0.212	0.121
Niños T. A.	Sujeto 2	14	d6	0.071	0.127	0.146	0.138	0.077	0.116
Niños T. A.	Sujeto 2	14	d5	0.256	0.224	0.274	0.198	0.294	0.214
Niños T. A.	Sujeto 2	14	d4	0.269	0.386	0.32	0.493	0.37	0.491
Niños T. A.	Sujeto 2	14	d3	0.048	0.053	0.034	0.057	0.042	0.055
Niños T. A.	Sujeto 2	14	d2	0.009	0.006	0.006	0.003	0.005	0.003
Niños T. A.	Sujeto 2	14	d1	0	0	0	0	0	0
Niños T. A.	Sujeto 2	15	s6	0.187	0.243	0.168	0.125	0.183	0.11
Niños T. A.	Sujeto 2	15	d6	0.115	0.073	0.072	0.145	0.091	0.12
Niños T. A.	Sujeto 2	15	d5	0.282	0.374	0.276	0.402	0.296	0.38
Niños T. A.	Sujeto 2	15	d4	0.35	0.241	0.424	0.278	0.377	0.333
Niños T. A.	Sujeto 2	15	d3	0.059	0.062	0.055	0.046	0.048	0.053
Niños T. A.	Sujeto 2	15	d2	0.006	0.006	0.005	0.005	0.004	0.004
Niños T. A.	Sujeto 2	15	d1	0	0	0	0	0	0
Niños T. A.	Sujeto 2	16	s6	0.22	0.262	0.089	0.136	0.151	0.126
Niños T. A.	Sujeto 2	16	d6	0.166	0.197	0.218	0.345	0.222	0.288
Niños T. A.	Sujeto 2	16	d5	0.262	0.351	0.251	0.278	0.4	0.328
Niños T. A.	Sujeto 2	16	d4	0.298	0.145	0.393	0.198	0.189	0.231
Niños T. A.	Sujeto 2	16	d3	0.05	0.041	0.046	0.038	0.035	0.025
Niños T. A.	Sujeto 2	16	d2	0.004	0.004	0.002	0.004	0.003	0.002
Niños T. A.	Sujeto 2	16	d1	0	0.001	0	0.001	0	0
Niños T. A.	Sujeto 2	17	s6	0.367	0.265	0.2	0.092	0.265	0.149
Niños T. A.	Sujeto 2	17	d6	0.186	0.18	0.224	0.251	0.211	0.198
Niños T. A.	Sujeto 2	17	d5	0.282	0.243	0.283	0.26	0.337	0.343
Niños T. A.	Sujeto 2	17	d4	0.109	0.238	0.244	0.342	0.136	0.271
Niños T. A.	Sujeto 2	17	d3	0.044	0.064	0.042	0.052	0.043	0.034
Niños T. A.	Sujeto 2	17	d2	0.011	0.009	0.006	0.004	0.009	0.004
Niños T. A.	Sujeto 2	17	d1	0	0	0	0	0	0
Niños T. A.	Sujeto 2	18	s6	0.177	0.288	0.153	0.226	0.167	0.129
Niños T. A.	Sujeto 2	18	d6	0.064	0.063	0.023	0.042	0.063	0.04
Niños T. A.	Sujeto 2	18	d5	0.468	0.333	0.482	0.38	0.467	0.474
Niños T. A.	Sujeto 2	18	d4	0.239	0.276	0.285	0.314	0.269	0.308
Niños T. A.	Sujeto 2	18	d3	0.045	0.031	0.052	0.034	0.03	0.045
Niños T. A.	Sujeto 2	18	d2	0.005	0.008	0.004	0.005	0.005	0.004
Niños T. A.	Sujeto 2	18	d1	0	0	0	0	0	0
Niños T. A.	Sujeto 2	19	s6	0.181	0.278	0.19	0.251	0.232	0.264
Niños T. A.	Sujeto 2	19	d6	0.054	0.063	0.08	0.145	0.059	0.088
Niños T. A.	Sujeto 2	19	d5	0.318	0.344	0.307	0.326	0.316	0.319
Niños T. A.	Sujeto 2	19	d4	0.345	0.239	0.347	0.217	0.306	0.256
Niños T. A.	Sujeto 2	19	d3	0.092	0.068	0.07	0.057	0.08	0.068
Niños T. A.	Sujeto 2	19	d2	0.009	0.008	0.006	0.004	0.007	0.005
Niños T. A.	Sujeto 2	19	d1	0	0	0	0	0	0
Niños T. A.	Sujeto 2	20	s6	0.249	0.23	0.124	0.196	0.155	0.13
Niños T. A.	Sujeto 2	20	d6	0.196	0.184	0.178	0.168	0.175	0.162
Niños T. A.	Sujeto 2	20	d5	0.234	0.168	0.179	0.274	0.279	0.294
Niños T. A.	Sujeto 2	20	d4	0.272	0.352	0.452	0.321	0.348	0.372
Niños T. A.	Sujeto 2	20	d3	0.045	0.058	0.062	0.038	0.039	0.04
Niños T. A.	Sujeto 2	20	d2	0.005	0.007	0.005	0.003	0.004	0.003
Niños T. A.	Sujeto 2	20	d1	0	0	0	0	0	0
Niños T. A.	Sujeto 2	21	s6	0.283	0.217	0.252	0.223	0.316	0.252
Niños T. A.	Sujeto 2	21	d6	0.079	0.123	0.061	0.122	0.099	0.107
Niños T. A.	Sujeto 2	21	d5	0.365	0.362	0.254	0.269	0.362	0.264
Niños T. A.	Sujeto 2	21	d4	0.242	0.239	0.392	0.344	0.185	0.339
Niños T. A.	Sujeto 2	21	d3	0.027	0.054	0.038	0.04	0.033	0.035
Niños T. A.	Sujeto 2	21	d2	0.004	0.005	0.003	0.003	0.004	0.003
Niños T. A.	Sujeto 2	21	d1	0	0	0	0	0	0
Niños T. A.	Sujeto 2	22	s6	0.25	0.17	0.105	0.112	0.204	0.136
Niños T. A.	Sujeto 2	22	d6	0.151	0.175	0.111	0.105	0.124	0.129
Niños T. A.	Sujeto 2	22	d5	0.286	0.207	0.255	0.128	0.292	0.227
Niños T. A.	Sujeto 2	22	d4	0.258	0.372	0.472	0.592	0.331	0.453
Niños T. A.	Sujeto 2	22	d3	0.047	0.068	0.053	0.058	0.044	0.052

ANEXO 3

Grupo	Sujeto	Segmento	coef	C3	C4	P3	P4	Cz	Pz
Niños T. A.	Sujeto 2	22	d2	0.007	0.007	0.004	0.004	0.005	0.003
Niños T. A.	Sujeto 2	22	d1	0	0	0	0	0	0
Niños T. A.	Sujeto 2	23	s6	0.257	0.237	0.176	0.172	0.225	0.161
Niños T. A.	Sujeto 2	23	d6	0.047	0.028	0.077	0.031	0.017	0.049
Niños T. A.	Sujeto 2	23	d5	0.332	0.255	0.314	0.306	0.35	0.284
Niños T. A.	Sujeto 2	23	d4	0.316	0.403	0.384	0.424	0.358	0.448
Niños T. A.	Sujeto 2	23	d3	0.044	0.072	0.046	0.065	0.046	0.056
Niños T. A.	Sujeto 2	23	d2	0.004	0.005	0.003	0.003	0.003	0.002
Niños T. A.	Sujeto 2	23	d1	0	0	0	0	0	0
Niños T. A.	Sujeto 2	24	s6	0.235	0.211	0.178	0.18	0.163	0.177
Niños T. A.	Sujeto 2	24	d6	0.078	0.032	0.088	0.044	0.073	0.064
Niños T. A.	Sujeto 2	24	d5	0.228	0.207	0.15	0.194	0.314	0.156
Niños T. A.	Sujeto 2	24	d4	0.405	0.473	0.526	0.512	0.39	0.54
Niños T. A.	Sujeto 2	24	d3	0.051	0.07	0.054	0.067	0.057	0.06
Niños T. A.	Sujeto 2	24	d2	0.004	0.006	0.004	0.003	0.004	0.003
Niños T. A.	Sujeto 2	24	d1	0	0	0	0	0	0
Niños T. A.	Sujeto 3	1	s6	0.106	0.121	0.062	0.113	0.112	0.096
Niños T. A.	Sujeto 3	1	d6	0.058	0.063	0.038	0.085	0.088	0.077
Niños T. A.	Sujeto 3	1	d5	0.617	0.63	0.619	0.542	0.576	0.496
Niños T. A.	Sujeto 3	1	d4	0.204	0.175	0.267	0.25	0.209	0.319
Niños T. A.	Sujeto 3	1	d3	0.013	0.01	0.014	0.009	0.014	0.012
Niños T. A.	Sujeto 3	1	d2	0.001	0.001	0.001	0.001	0.001	0.001
Niños T. A.	Sujeto 3	1	d1	0	0	0	0	0	0
Niños T. A.	Sujeto 3	2	s6	0.084	0.059	0.054	0.063	0.06	0.062
Niños T. A.	Sujeto 3	2	d6	0.073	0.068	0.084	0.082	0.04	0.065
Niños T. A.	Sujeto 3	2	d5	0.739	0.787	0.746	0.742	0.8	0.754
Niños T. A.	Sujeto 3	2	d4	0.092	0.073	0.11	0.104	0.089	0.113
Niños T. A.	Sujeto 3	2	d3	0.011	0.012	0.006	0.008	0.009	0.006
Niños T. A.	Sujeto 3	2	d2	0.001	0.001	0.001	0.001	0.001	0.001
Niños T. A.	Sujeto 3	2	d1	0	0	0	0	0	0
Niños T. A.	Sujeto 3	3	s6	0.176	0.107	0.124	0.076	0.151	0.083
Niños T. A.	Sujeto 3	3	d6	0.121	0.051	0.099	0.045	0.151	0.091
Niños T. A.	Sujeto 3	3	d5	0.528	0.61	0.644	0.597	0.54	0.6
Niños T. A.	Sujeto 3	3	d4	0.146	0.211	0.112	0.265	0.14	0.206
Niños T. A.	Sujeto 3	3	d3	0.027	0.02	0.018	0.015	0.016	0.017
Niños T. A.	Sujeto 3	3	d2	0.002	0.002	0.002	0.002	0.002	0.002
Niños T. A.	Sujeto 3	3	d1	0	0	0	0	0	0
Niños T. A.	Sujeto 3	4	s6	0.091	0.099	0.097	0.132	0.115	0.153
Niños T. A.	Sujeto 3	4	d6	0.041	0.029	0.061	0.035	0.032	0.037
Niños T. A.	Sujeto 3	4	d5	0.632	0.584	0.58	0.55	0.598	0.587
Niños T. A.	Sujeto 3	4	d4	0.207	0.252	0.219	0.243	0.221	0.187
Niños T. A.	Sujeto 3	4	d3	0.026	0.031	0.039	0.036	0.029	0.032
Niños T. A.	Sujeto 3	4	d2	0.003	0.005	0.003	0.004	0.005	0.004
Niños T. A.	Sujeto 3	4	d1	0	0	0	0	0	0
Niños T. A.	Sujeto 3	5	s6	0.407	0.254	0.308	0.265	0.268	0.299
Niños T. A.	Sujeto 3	5	d6	0.025	0.073	0.05	0.08	0.098	0.055
Niños T. A.	Sujeto 3	5	d5	0.372	0.44	0.233	0.392	0.408	0.239
Niños T. A.	Sujeto 3	5	d4	0.158	0.185	0.362	0.236	0.188	0.372
Niños T. A.	Sujeto 3	5	d3	0.032	0.045	0.042	0.024	0.032	0.03
Niños T. A.	Sujeto 3	5	d2	0.005	0.003	0.005	0.003	0.005	0.004
Niños T. A.	Sujeto 3	5	d1	0	0	0	0	0	0
Niños T. A.	Sujeto 3	6	s6	0.193	0.168	0.13	0.075	0.163	0.106
Niños T. A.	Sujeto 3	6	d6	0.064	0.052	0.056	0.034	0.059	0.047
Niños T. A.	Sujeto 3	6	d5	0.62	0.636	0.671	0.717	0.625	0.661
Niños T. A.	Sujeto 3	6	d4	0.096	0.126	0.119	0.157	0.136	0.169
Niños T. A.	Sujeto 3	6	d3	0.023	0.016	0.021	0.015	0.014	0.014
Niños T. A.	Sujeto 3	6	d2	0.003	0.002	0.003	0.002	0.002	0.002
Niños T. A.	Sujeto 3	6	d1	0	0	0	0	0	0
Niños T. A.	Sujeto 3	7	s6	0.319	0.264	0.351	0.211	0.253	0.24
Niños T. A.	Sujeto 3	7	d6	0.041	0.097	0.029	0.065	0.082	0.031
Niños T. A.	Sujeto 3	7	d5	0.361	0.413	0.317	0.525	0.443	0.491
Niños T. A.	Sujeto 3	7	d4	0.245	0.2	0.281	0.184	0.197	0.223
Niños T. A.	Sujeto 3	7	d3	0.03	0.023	0.02	0.015	0.023	0.014
Niños T. A.	Sujeto 3	7	d2	0.004	0.002	0.003	0.001	0.003	0.001

ANEXO 3

Grupo	Sujeto	Segmento	coef	C3	C4	P3	P4	Cz	Pz
Niños T. A.	Sujeto 3	7	d1	0	0	0	0	0	0
Niños T. A.	Sujeto 3	8	s6	0.136	0.126	0.137	0.205	0.129	0.16
Niños T. A.	Sujeto 3	8	d6	0.143	0.174	0.152	0.169	0.179	0.152
Niños T. A.	Sujeto 3	8	d5	0.457	0.421	0.465	0.403	0.426	0.486
Niños T. A.	Sujeto 3	8	d4	0.237	0.242	0.208	0.183	0.239	0.163
Niños T. A.	Sujeto 3	8	d3	0.024	0.033	0.033	0.035	0.025	0.034
Niños T. A.	Sujeto 3	8	d2	0.003	0.003	0.005	0.004	0.003	0.003
Niños T. A.	Sujeto 3	8	d1	0	0	0	0	0	0
Niños T. A.	Sujeto 3	9	s6	0.123	0.052	0.128	0.048	0.075	0.045
Niños T. A.	Sujeto 3	9	d6	0.055	0.018	0.05	0.012	0.045	0.025
Niños T. A.	Sujeto 3	9	d5	0.702	0.788	0.672	0.747	0.765	0.71
Niños T. A.	Sujeto 3	9	d4	0.107	0.124	0.135	0.173	0.104	0.204
Niños T. A.	Sujeto 3	9	d3	0.011	0.016	0.014	0.018	0.009	0.013
Niños T. A.	Sujeto 3	9	d2	0.002	0.001	0.002	0.002	0.001	0.002
Niños T. A.	Sujeto 3	9	d1	0	0	0	0	0	0
Niños T. A.	Sujeto 3	10	s6	0.157	0.175	0.186	0.22	0.149	0.198
Niños T. A.	Sujeto 3	10	d6	0.206	0.161	0.238	0.067	0.188	0.119
Niños T. A.	Sujeto 3	10	d5	0.405	0.371	0.381	0.445	0.407	0.442
Niños T. A.	Sujeto 3	10	d4	0.204	0.257	0.171	0.245	0.229	0.219
Niños T. A.	Sujeto 3	10	d3	0.023	0.032	0.021	0.019	0.023	0.019
Niños T. A.	Sujeto 3	10	d2	0.004	0.003	0.004	0.003	0.004	0.003
Niños T. A.	Sujeto 3	10	d1	0	0	0	0	0	0
Niños T. A.	Sujeto 3	11	s6	0.385	0.391	0.282	0.16	0.335	0.162
Niños T. A.	Sujeto 3	11	d6	0.055	0.073	0.059	0.108	0.058	0.054
Niños T. A.	Sujeto 3	11	d5	0.419	0.373	0.468	0.475	0.463	0.512
Niños T. A.	Sujeto 3	11	d4	0.12	0.142	0.174	0.237	0.127	0.257
Niños T. A.	Sujeto 3	11	d3	0.016	0.016	0.013	0.015	0.013	0.011
Niños T. A.	Sujeto 3	11	d2	0.005	0.004	0.003	0.005	0.004	0.003
Niños T. A.	Sujeto 3	11	d1	0	0	0	0	0	0
Niños T. A.	Sujeto 3	12	s6	0.401	0.208	0.358	0.169	0.193	0.144
Niños T. A.	Sujeto 3	12	d6	0.064	0.086	0.075	0.065	0.065	0.072
Niños T. A.	Sujeto 3	12	d5	0.315	0.436	0.382	0.506	0.461	0.522
Niños T. A.	Sujeto 3	12	d4	0.19	0.25	0.157	0.244	0.256	0.242
Niños T. A.	Sujeto 3	12	d3	0.026	0.017	0.023	0.014	0.022	0.017
Niños T. A.	Sujeto 3	12	d2	0.004	0.003	0.005	0.002	0.004	0.002
Niños T. A.	Sujeto 3	12	d1	0	0	0	0	0	0
Niños T. A.	Sujeto 3	13	s6	0.296	0.119	0.27	0.173	0.191	0.197
Niños T. A.	Sujeto 3	13	d6	0.095	0.127	0.106	0.204	0.148	0.14
Niños T. A.	Sujeto 3	13	d5	0.369	0.476	0.351	0.379	0.427	0.434
Niños T. A.	Sujeto 3	13	d4	0.219	0.268	0.248	0.233	0.224	0.215
Niños T. A.	Sujeto 3	13	d3	0.017	0.008	0.023	0.009	0.009	0.012
Niños T. A.	Sujeto 3	13	d2	0.003	0.002	0.003	0.002	0.002	0.002
Niños T. A.	Sujeto 3	13	d1	0	0	0	0	0	0
Niños T. A.	Sujeto 3	14	s6	0.21	0.137	0.286	0.202	0.143	0.201
Niños T. A.	Sujeto 3	14	d6	0.008	0.028	0.026	0.024	0.021	0.033
Niños T. A.	Sujeto 3	14	d5	0.494	0.609	0.417	0.564	0.579	0.526
Niños T. A.	Sujeto 3	14	d4	0.275	0.213	0.254	0.199	0.243	0.229
Niños T. A.	Sujeto 3	14	d3	0.012	0.012	0.014	0.01	0.012	0.009
Niños T. A.	Sujeto 3	14	d2	0.001	0.001	0.002	0.001	0.001	0.001
Niños T. A.	Sujeto 3	14	d1	0	0	0	0	0	0
Niños T. A.	Sujeto 3	15	s6	0.095	0.084	0.076	0.105	0.065	0.096
Niños T. A.	Sujeto 3	15	d6	0.072	0.034	0.055	0.02	0.064	0.015
Niños T. A.	Sujeto 3	15	d5	0.607	0.689	0.696	0.686	0.661	0.717
Niños T. A.	Sujeto 3	15	d4	0.2	0.165	0.149	0.17	0.181	0.153
Niños T. A.	Sujeto 3	15	d3	0.022	0.026	0.021	0.017	0.026	0.017
Niños T. A.	Sujeto 3	15	d2	0.004	0.002	0.004	0.002	0.003	0.002
Niños T. A.	Sujeto 3	15	d1	0	0	0	0	0	0
Niños T. A.	Sujeto 3	16	s6	0.261	0.147	0.206	0.206	0.153	0.134
Niños T. A.	Sujeto 3	16	d6	0.053	0.011	0.023	0.009	0.039	0.007
Niños T. A.	Sujeto 3	16	d5	0.459	0.589	0.553	0.526	0.557	0.592
Niños T. A.	Sujeto 3	16	d4	0.193	0.232	0.195	0.245	0.222	0.249
Niños T. A.	Sujeto 3	16	d3	0.03	0.019	0.02	0.012	0.027	0.016
Niños T. A.	Sujeto 3	16	d2	0.003	0.002	0.002	0.001	0.003	0.001
Niños T. A.	Sujeto 3	16	d1	0	0	0	0	0	0

ANEXO 3

Grupo	Sujeto	Segmento	coef	C3	C4	P3	P4	Cz	Pz
Niños T. A.	Sujeto 3	17	s6	0.221	0.242	0.169	0.19	0.272	0.165
Niños T. A.	Sujeto 3	17	d6	0.09	0.09	0.057	0.102	0.14	0.08
Niños T. A.	Sujeto 3	17	d5	0.49	0.428	0.556	0.412	0.392	0.475
Niños T. A.	Sujeto 3	17	d4	0.178	0.219	0.202	0.283	0.176	0.267
Niños T. A.	Sujeto 3	17	d3	0.018	0.017	0.014	0.012	0.017	0.012
Niños T. A.	Sujeto 3	17	d2	0.003	0.002	0.002	0.002	0.003	0.002
Niños T. A.	Sujeto 3	17	d1	0	0	0	0	0	0
Niños T. A.	Sujeto 3	18	s6	0.056	0.154	0.075	0.174	0.07	0.094
Niños T. A.	Sujeto 3	18	d6	0.045	0.03	0.046	0.034	0.034	0.032
Niños T. A.	Sujeto 3	18	d5	0.786	0.696	0.766	0.643	0.781	0.759
Niños T. A.	Sujeto 3	18	d4	0.101	0.102	0.103	0.134	0.1	0.102
Niños T. A.	Sujeto 3	18	d3	0.011	0.015	0.009	0.012	0.013	0.011
Niños T. A.	Sujeto 3	18	d2	0.001	0.003	0.002	0.002	0.002	0.001
Niños T. A.	Sujeto 3	18	d1	0	0	0	0	0	0
Niños T. A.	Sujeto 3	19	s6	0.077	0.078	0.07	0.112	0.067	0.101
Niños T. A.	Sujeto 3	19	d6	0.096	0.072	0.058	0.077	0.083	0.06
Niños T. A.	Sujeto 3	19	d5	0.614	0.676	0.67	0.626	0.643	0.599
Niños T. A.	Sujeto 3	19	d4	0.195	0.16	0.186	0.174	0.194	0.227
Niños T. A.	Sujeto 3	19	d3	0.016	0.013	0.015	0.01	0.011	0.011
Niños T. A.	Sujeto 3	19	d2	0.002	0.001	0.002	0.001	0.002	0.001
Niños T. A.	Sujeto 3	19	d1	0	0	0	0	0	0
Niños T. A.	Sujeto 3	20	s6	0.073	0.053	0.135	0.088	0.058	0.067
Niños T. A.	Sujeto 3	20	d6	0.068	0.059	0.057	0.072	0.068	0.072
Niños T. A.	Sujeto 3	20	d5	0.748	0.775	0.697	0.719	0.777	0.755
Niños T. A.	Sujeto 3	20	d4	0.1	0.104	0.1	0.111	0.087	0.094
Niños T. A.	Sujeto 3	20	d3	0.009	0.008	0.009	0.009	0.008	0.01
Niños T. A.	Sujeto 3	20	d2	0.001	0.001	0.001	0.001	0.001	0.001
Niños T. A.	Sujeto 3	20	d1	0	0	0	0	0	0
Niños T. A.	Sujeto 3	21	s6	0.116	0.193	0.106	0.245	0.2	0.222
Niños T. A.	Sujeto 3	21	d6	0.068	0.099	0.075	0.126	0.08	0.083
Niños T. A.	Sujeto 3	21	d5	0.636	0.534	0.652	0.421	0.568	0.544
Niños T. A.	Sujeto 3	21	d4	0.168	0.161	0.154	0.19	0.141	0.137
Niños T. A.	Sujeto 3	21	d3	0.01	0.01	0.011	0.014	0.009	0.011
Niños T. A.	Sujeto 3	21	d2	0.002	0.002	0.002	0.003	0.003	0.003
Niños T. A.	Sujeto 3	21	d1	0	0	0	0	0	0
Niños T. A.	Sujeto 3	22	s6	0.173	0.098	0.192	0.12	0.109	0.094
Niños T. A.	Sujeto 3	22	d6	0.164	0.131	0.144	0.081	0.166	0.096
Niños T. A.	Sujeto 3	22	d5	0.505	0.599	0.515	0.667	0.556	0.648
Niños T. A.	Sujeto 3	22	d4	0.141	0.157	0.132	0.116	0.156	0.149
Niños T. A.	Sujeto 3	22	d3	0.016	0.015	0.015	0.015	0.012	0.013
Niños T. A.	Sujeto 3	22	d2	0.002	0.001	0.002	0.001	0.002	0.001
Niños T. A.	Sujeto 3	22	d1	0	0	0	0	0	0
Niños T. A.	Sujeto 3	23	s6	0.29	0.229	0.139	0.266	0.275	0.209
Niños T. A.	Sujeto 3	23	d6	0.088	0.148	0.034	0.091	0.151	0.061
Niños T. A.	Sujeto 3	23	d5	0.37	0.427	0.523	0.411	0.359	0.444
Niños T. A.	Sujeto 3	23	d4	0.233	0.177	0.277	0.206	0.195	0.264
Niños T. A.	Sujeto 3	23	d3	0.016	0.017	0.025	0.024	0.018	0.02
Niños T. A.	Sujeto 3	23	d2	0.002	0.002	0.002	0.002	0.002	0.002
Niños T. A.	Sujeto 3	23	d1	0	0	0	0	0	0
Niños T. A.	Sujeto 3	24	s6	0.137	0.095	0.108	0.175	0.106	0.144
Niños T. A.	Sujeto 3	24	d6	0.073	0.082	0.051	0.037	0.09	0.043
Niños T. A.	Sujeto 3	24	d5	0.621	0.655	0.62	0.624	0.624	0.628
Niños T. A.	Sujeto 3	24	d4	0.15	0.147	0.202	0.147	0.161	0.167
Niños T. A.	Sujeto 3	24	d3	0.015	0.017	0.016	0.014	0.015	0.015
Niños T. A.	Sujeto 3	24	d2	0.004	0.003	0.003	0.003	0.003	0.003
Niños T. A.	Sujeto 3	24	d1	0	0	0	0	0	0
Niños T. A.	Sujeto 4	1	s6	0.345	0.302	0.316	0.367	0.263	0.28
Niños T. A.	Sujeto 4	1	d6	0.109	0.161	0.105	0.107	0.192	0.109
Niños T. A.	Sujeto 4	1	d5	0.159	0.15	0.186	0.15	0.217	0.159
Niños T. A.	Sujeto 4	1	d4	0.254	0.234	0.274	0.252	0.23	0.349
Niños T. A.	Sujeto 4	1	d3	0.119	0.134	0.103	0.11	0.084	0.091
Niños T. A.	Sujeto 4	1	d2	0.014	0.018	0.015	0.014	0.013	0.011
Niños T. A.	Sujeto 4	1	d1	0	0	0	0	0	0
Niños T. A.	Sujeto 4	2	s6	0.516	0.393	0.556	0.511	0.567	0.656

ANEXO 3

Grupo	Sujeto	Segmento	coef	C3	C4	P3	P4	Cz	Pz
Niños T. A.	Sujeto 4	2	d6	0.101	0.105	0.117	0.059	0.08	0.048
Niños T. A.	Sujeto 4	2	d5	0.056	0.09	0.069	0.068	0.041	0.052
Niños T. A.	Sujeto 4	2	d4	0.241	0.284	0.173	0.224	0.216	0.152
Niños T. A.	Sujeto 4	2	d3	0.076	0.112	0.073	0.12	0.082	0.082
Niños T. A.	Sujeto 4	2	d2	0.01	0.016	0.012	0.016	0.012	0.01
Niños T. A.	Sujeto 4	2	d1	0	0	0	0.001	0.001	0.001
Niños T. A.	Sujeto 4	3	s6	0.496	0.408	0.512	0.491	0.542	0.478
Niños T. A.	Sujeto 4	3	d6	0.027	0.052	0.038	0.035	0.025	0.024
Niños T. A.	Sujeto 4	3	d5	0.118	0.156	0.071	0.092	0.186	0.064
Niños T. A.	Sujeto 4	3	d4	0.206	0.272	0.242	0.269	0.154	0.317
Niños T. A.	Sujeto 4	3	d3	0.129	0.096	0.12	0.102	0.077	0.107
Niños T. A.	Sujeto 4	3	d2	0.023	0.015	0.018	0.011	0.015	0.01
Niños T. A.	Sujeto 4	3	d1	0	0	0	0	0	0
Niños T. A.	Sujeto 4	4	s6	0.327	0.245	0.257	0.324	0.383	0.241
Niños T. A.	Sujeto 4	4	d6	0.094	0.212	0.228	0.151	0.158	0.179
Niños T. A.	Sujeto 4	4	d5	0.198	0.204	0.142	0.141	0.182	0.127
Niños T. A.	Sujeto 4	4	d4	0.257	0.226	0.26	0.287	0.19	0.357
Niños T. A.	Sujeto 4	4	d3	0.109	0.1	0.096	0.086	0.077	0.086
Niños T. A.	Sujeto 4	4	d2	0.014	0.012	0.016	0.011	0.01	0.01
Niños T. A.	Sujeto 4	4	d1	0	0	0	0	0	0
Niños T. A.	Sujeto 4	5	s6	0.326	0.25	0.315	0.25	0.381	0.314
Niños T. A.	Sujeto 4	5	d6	0.075	0.139	0.11	0.154	0.052	0.074
Niños T. A.	Sujeto 4	5	d5	0.129	0.122	0.118	0.15	0.176	0.097
Niños T. A.	Sujeto 4	5	d4	0.299	0.328	0.268	0.32	0.258	0.357
Niños T. A.	Sujeto 4	5	d3	0.146	0.142	0.163	0.112	0.112	0.142
Niños T. A.	Sujeto 4	5	d2	0.025	0.019	0.024	0.014	0.02	0.015
Niños T. A.	Sujeto 4	5	d1	0	0	0	0	0	0
Niños T. A.	Sujeto 4	6	s6	0.339	0.196	0.277	0.252	0.42	0.396
Niños T. A.	Sujeto 4	6	d6	0.065	0.065	0.077	0.09	0.089	0.05
Niños T. A.	Sujeto 4	6	d5	0.205	0.235	0.215	0.195	0.172	0.157
Niños T. A.	Sujeto 4	6	d4	0.247	0.331	0.267	0.289	0.195	0.257
Niños T. A.	Sujeto 4	6	d3	0.121	0.146	0.137	0.15	0.107	0.125
Niños T. A.	Sujeto 4	6	d2	0.024	0.027	0.026	0.024	0.017	0.015
Niños T. A.	Sujeto 4	6	d1	0	0.001	0.001	0	0	0
Niños T. A.	Sujeto 4	7	s6	0.327	0.434	0.272	0.437	0.251	0.342
Niños T. A.	Sujeto 4	7	d6	0.055	0.092	0.065	0.08	0.068	0.066
Niños T. A.	Sujeto 4	7	d5	0.073	0.167	0.072	0.121	0.078	0.054
Niños T. A.	Sujeto 4	7	d4	0.385	0.215	0.453	0.276	0.405	0.422
Niños T. A.	Sujeto 4	7	d3	0.141	0.076	0.131	0.078	0.172	0.108
Niños T. A.	Sujeto 4	7	d2	0.017	0.015	0.007	0.008	0.023	0.008
Niños T. A.	Sujeto 4	7	d1	0.002	0.001	0	0	0.003	0.001
Niños T. A.	Sujeto 4	8	s6	0.376	0.439	0.312	0.341	0.368	0.364
Niños T. A.	Sujeto 4	8	d6	0.046	0.098	0.06	0.087	0.101	0.082
Niños T. A.	Sujeto 4	8	d5	0.086	0.125	0.127	0.13	0.119	0.116
Niños T. A.	Sujeto 4	8	d4	0.266	0.19	0.336	0.28	0.248	0.307
Niños T. A.	Sujeto 4	8	d3	0.197	0.129	0.148	0.148	0.15	0.122
Niños T. A.	Sujeto 4	8	d2	0.027	0.018	0.016	0.013	0.015	0.009
Niños T. A.	Sujeto 4	8	d1	0	0	0	0	0	0
Niños T. A.	Sujeto 4	9	s6	0.351	0.295	0.312	0.289	0.428	0.388
Niños T. A.	Sujeto 4	9	d6	0.127	0.096	0.233	0.167	0.108	0.219
Niños T. A.	Sujeto 4	9	d5	0.097	0.129	0.075	0.099	0.118	0.071
Niños T. A.	Sujeto 4	9	d4	0.286	0.323	0.226	0.274	0.241	0.206
Niños T. A.	Sujeto 4	9	d3	0.119	0.144	0.139	0.154	0.093	0.103
Niños T. A.	Sujeto 4	9	d2	0.02	0.013	0.015	0.017	0.013	0.012
Niños T. A.	Sujeto 4	9	d1	0	0	0	0	0	0
Niños T. A.	Sujeto 4	10	s6	0.516	0.376	0.442	0.469	0.477	0.548
Niños T. A.	Sujeto 4	10	d6	0.075	0.1	0.073	0.099	0.113	0.056
Niños T. A.	Sujeto 4	10	d5	0.082	0.146	0.141	0.111	0.082	0.075
Niños T. A.	Sujeto 4	10	d4	0.241	0.286	0.265	0.24	0.269	0.262
Niños T. A.	Sujeto 4	10	d3	0.072	0.082	0.069	0.072	0.05	0.052
Niños T. A.	Sujeto 4	10	d2	0.013	0.01	0.009	0.009	0.009	0.007
Niños T. A.	Sujeto 4	10	d1	0	0	0	0	0	0
Niños T. A.	Sujeto 4	11	s6	0.464	0.382	0.465	0.378	0.452	0.425
Niños T. A.	Sujeto 4	11	d6	0.029	0.042	0.051	0.074	0.038	0.111

ANEXO 3

Grupo	Sujeto	Segmento	coef	C3	C4	P3	P4	Cz	Pz
Niños T. A.	Sujeto 4	11	d5	0.128	0.124	0.079	0.152	0.17	0.125
Niños T. A.	Sujeto 4	11	d4	0.213	0.315	0.254	0.296	0.235	0.249
Niños T. A.	Sujeto 4	11	d3	0.147	0.122	0.131	0.084	0.092	0.073
Niños T. A.	Sujeto 4	11	d2	0.018	0.014	0.02	0.015	0.013	0.015
Niños T. A.	Sujeto 4	11	d1	0	0	0	0	0	0
Niños T. A.	Sujeto 4	12	s6	0.228	0.236	0.223	0.298	0.212	0.229
Niños T. A.	Sujeto 4	12	d6	0.083	0.171	0.102	0.146	0.106	0.125
Niños T. A.	Sujeto 4	12	d5	0.105	0.154	0.092	0.092	0.156	0.099
Niños T. A.	Sujeto 4	12	d4	0.355	0.27	0.414	0.313	0.348	0.388
Niños T. A.	Sujeto 4	12	d3	0.206	0.138	0.149	0.122	0.153	0.139
Niños T. A.	Sujeto 4	12	d2	0.021	0.031	0.02	0.028	0.024	0.019
Niños T. A.	Sujeto 4	12	d1	0	0.001	0	0.001	0.001	0
Niños T. A.	Sujeto 4	13	s6	0.297	0.29	0.311	0.295	0.282	0.274
Niños T. A.	Sujeto 4	13	d6	0.06	0.078	0.098	0.087	0.092	0.1
Niños T. A.	Sujeto 4	13	d5	0.252	0.228	0.19	0.238	0.294	0.25
Niños T. A.	Sujeto 4	13	d4	0.242	0.222	0.273	0.247	0.213	0.263
Niños T. A.	Sujeto 4	13	d3	0.12	0.157	0.107	0.117	0.096	0.098
Niños T. A.	Sujeto 4	13	d2	0.027	0.025	0.021	0.016	0.023	0.015
Niños T. A.	Sujeto 4	13	d1	0	0	0	0	0	0
Niños T. A.	Sujeto 4	14	s6	0.168	0.213	0.208	0.212	0.222	0.137
Niños T. A.	Sujeto 4	14	d6	0.2	0.14	0.082	0.067	0.161	0.087
Niños T. A.	Sujeto 4	14	d5	0.203	0.17	0.14	0.135	0.243	0.158
Niños T. A.	Sujeto 4	14	d4	0.307	0.327	0.423	0.461	0.274	0.481
Niños T. A.	Sujeto 4	14	d3	0.108	0.132	0.131	0.114	0.084	0.122
Niños T. A.	Sujeto 4	14	d2	0.014	0.019	0.016	0.011	0.015	0.014
Niños T. A.	Sujeto 4	14	d1	0	0	0	0	0	0
Niños T. A.	Sujeto 4	15	s6	0.318	0.303	0.28	0.408	0.362	0.348
Niños T. A.	Sujeto 4	15	d6	0.033	0.056	0.076	0.065	0.072	0.099
Niños T. A.	Sujeto 4	15	d5	0.199	0.218	0.185	0.234	0.214	0.186
Niños T. A.	Sujeto 4	15	d4	0.313	0.196	0.366	0.192	0.22	0.299
Niños T. A.	Sujeto 4	15	d3	0.122	0.206	0.085	0.091	0.121	0.062
Niños T. A.	Sujeto 4	15	d2	0.013	0.02	0.008	0.01	0.011	0.006
Niños T. A.	Sujeto 4	15	d1	0.001	0.001	0.001	0.001	0	0
Niños T. A.	Sujeto 4	16	s6	0.27	0.219	0.339	0.388	0.332	0.337
Niños T. A.	Sujeto 4	16	d6	0.187	0.077	0.106	0.062	0.099	0.079
Niños T. A.	Sujeto 4	16	d5	0.078	0.144	0.083	0.106	0.107	0.101
Niños T. A.	Sujeto 4	16	d4	0.291	0.391	0.331	0.299	0.337	0.373
Niños T. A.	Sujeto 4	16	d3	0.157	0.154	0.13	0.134	0.116	0.105
Niños T. A.	Sujeto 4	16	d2	0.016	0.015	0.011	0.012	0.008	0.005
Niños T. A.	Sujeto 4	16	d1	0	0	0	0	0	0
Niños T. A.	Sujeto 4	17	s6	0.372	0.48	0.597	0.438	0.494	0.502
Niños T. A.	Sujeto 4	17	d6	0.06	0.061	0.025	0.08	0.056	0.058
Niños T. A.	Sujeto 4	17	d5	0.24	0.19	0.113	0.196	0.193	0.108
Niños T. A.	Sujeto 4	17	d4	0.24	0.156	0.171	0.194	0.186	0.234
Niños T. A.	Sujeto 4	17	d3	0.071	0.097	0.083	0.082	0.058	0.087
Niños T. A.	Sujeto 4	17	d2	0.017	0.016	0.011	0.009	0.012	0.01
Niños T. A.	Sujeto 4	17	d1	0	0	0	0	0	0
Niños T. A.	Sujeto 4	18	s6	0.185	0.238	0.217	0.26	0.262	0.273
Niños T. A.	Sujeto 4	18	d6	0.075	0.08	0.09	0.062	0.052	0.072
Niños T. A.	Sujeto 4	18	d5	0.299	0.241	0.28	0.215	0.354	0.28
Niños T. A.	Sujeto 4	18	d4	0.251	0.226	0.276	0.296	0.181	0.278
Niños T. A.	Sujeto 4	18	d3	0.169	0.194	0.121	0.154	0.136	0.089
Niños T. A.	Sujeto 4	18	d2	0.019	0.02	0.015	0.013	0.014	0.009
Niños T. A.	Sujeto 4	18	d1	0	0	0	0	0	0
Niños T. A.	Sujeto 4	19	s6	0.257	0.095	0.176	0.146	0.16	0.165
Niños T. A.	Sujeto 4	19	d6	0.068	0.131	0.064	0.145	0.126	0.078
Niños T. A.	Sujeto 4	19	d5	0.144	0.253	0.201	0.222	0.252	0.233
Niños T. A.	Sujeto 4	19	d4	0.365	0.375	0.377	0.351	0.34	0.396
Niños T. A.	Sujeto 4	19	d3	0.15	0.13	0.169	0.123	0.109	0.118
Niños T. A.	Sujeto 4	19	d2	0.015	0.015	0.012	0.013	0.012	0.008
Niños T. A.	Sujeto 4	19	d1	0	0.001	0.001	0.001	0.001	0.001
Niños T. A.	Sujeto 4	20	s6	0.137	0.164	0.189	0.247	0.142	0.229
Niños T. A.	Sujeto 4	20	d6	0.108	0.125	0.136	0.176	0.096	0.139
Niños T. A.	Sujeto 4	20	d5	0.21	0.177	0.23	0.13	0.207	0.176

ANEXO 3

Grupo	Sujeto	Segmento	coef	C3	C4	P3	P4	Cz	Pz
Niños T. A.	Sujeto 4	20	d4	0.366	0.348	0.328	0.329	0.379	0.331
Niños T. A.	Sujeto 4	20	d3	0.168	0.168	0.102	0.103	0.165	0.113
Niños T. A.	Sujeto 4	20	d2	0.012	0.018	0.014	0.014	0.012	0.012
Niños T. A.	Sujeto 4	20	d1	0	0	0	0	0	0
Niños T. A.	Sujeto 4	21	s6	0.269	0.265	0.274	0.263	0.355	0.238
Niños T. A.	Sujeto 4	21	d6	0.057	0.062	0.092	0.104	0.057	0.071
Niños T. A.	Sujeto 4	21	d5	0.111	0.115	0.098	0.057	0.099	0.083
Niños T. A.	Sujeto 4	21	d4	0.394	0.355	0.379	0.412	0.346	0.483
Niños T. A.	Sujeto 4	21	d3	0.144	0.183	0.133	0.151	0.129	0.113
Niños T. A.	Sujeto 4	21	d2	0.024	0.019	0.025	0.013	0.014	0.012
Niños T. A.	Sujeto 4	21	d1	0	0	0	0	0	0
Niños T. A.	Sujeto 4	22	s6	0.16	0.261	0.18	0.182	0.16	0.119
Niños T. A.	Sujeto 4	22	d6	0.195	0.133	0.225	0.207	0.21	0.193
Niños T. A.	Sujeto 4	22	d5	0.102	0.124	0.072	0.14	0.092	0.053
Niños T. A.	Sujeto 4	22	d4	0.385	0.304	0.364	0.288	0.416	0.482
Niños T. A.	Sujeto 4	22	d3	0.141	0.154	0.134	0.165	0.107	0.138
Niños T. A.	Sujeto 4	22	d2	0.016	0.024	0.024	0.018	0.014	0.014
Niños T. A.	Sujeto 4	22	d1	0	0.001	0	0	0	0
Niños T. A.	Sujeto 4	23	s6	0.407	0.381	0.421	0.258	0.353	0.341
Niños T. A.	Sujeto 4	23	d6	0.11	0.232	0.115	0.159	0.231	0.138
Niños T. A.	Sujeto 4	23	d5	0.138	0.109	0.132	0.13	0.123	0.117
Niños T. A.	Sujeto 4	23	d4	0.226	0.184	0.265	0.347	0.205	0.324
Niños T. A.	Sujeto 4	23	d3	0.108	0.085	0.058	0.097	0.08	0.071
Niños T. A.	Sujeto 4	23	d2	0.011	0.009	0.008	0.009	0.009	0.008
Niños T. A.	Sujeto 4	23	d1	0	0	0	0	0	0
Niños T. A.	Sujeto 4	24	s6	0.17	0.186	0.189	0.228	0.14	0.25
Niños T. A.	Sujeto 4	24	d6	0.095	0.091	0.038	0.081	0.113	0.043
Niños T. A.	Sujeto 4	24	d5	0.143	0.174	0.118	0.184	0.153	0.148
Niños T. A.	Sujeto 4	24	d4	0.36	0.353	0.461	0.302	0.387	0.408
Niños T. A.	Sujeto 4	24	d3	0.202	0.168	0.168	0.17	0.182	0.133
Niños T. A.	Sujeto 4	24	d2	0.028	0.029	0.026	0.034	0.024	0.019
Niños T. A.	Sujeto 4	24	d1	0.001	0.001	0	0.001	0	0
Adultos Sanos	Sujeto 1	1	s6	0.561	0.508	0.409	0.468	0.448	0.42
Adultos Sanos	Sujeto 1	1	d6	0.069	0.115	0.059	0.098	0.11	0.105
Adultos Sanos	Sujeto 1	1	d5	0.057	0.047	0.038	0.036	0.066	0.044
Adultos Sanos	Sujeto 1	1	d4	0.166	0.189	0.274	0.201	0.227	0.241
Adultos Sanos	Sujeto 1	1	d3	0.11	0.113	0.196	0.171	0.121	0.166
Adultos Sanos	Sujeto 1	1	d2	0.035	0.026	0.022	0.023	0.026	0.022
Adultos Sanos	Sujeto 1	1	d1	0.003	0.002	0.002	0.003	0.002	0.002
Adultos Sanos	Sujeto 1	2	s6	0.325	0.308	0.231	0.289	0.196	0.216
Adultos Sanos	Sujeto 1	2	d6	0.05	0.041	0.047	0.06	0.035	0.051
Adultos Sanos	Sujeto 1	2	d5	0.123	0.133	0.116	0.086	0.154	0.125
Adultos Sanos	Sujeto 1	2	d4	0.289	0.281	0.359	0.319	0.373	0.35
Adultos Sanos	Sujeto 1	2	d3	0.179	0.207	0.223	0.229	0.209	0.237
Adultos Sanos	Sujeto 1	2	d2	0.032	0.027	0.024	0.017	0.03	0.02
Adultos Sanos	Sujeto 1	2	d1	0.001	0.002	0.001	0.001	0.001	0
Adultos Sanos	Sujeto 1	3	s6	0.369	0.34	0.315	0.286	0.276	0.312
Adultos Sanos	Sujeto 1	3	d6	0.073	0.06	0.131	0.076	0.078	0.117
Adultos Sanos	Sujeto 1	3	d5	0.122	0.106	0.097	0.056	0.122	0.088
Adultos Sanos	Sujeto 1	3	d4	0.315	0.372	0.329	0.421	0.387	0.364
Adultos Sanos	Sujeto 1	3	d3	0.106	0.104	0.112	0.14	0.118	0.103
Adultos Sanos	Sujeto 1	3	d2	0.014	0.018	0.015	0.02	0.018	0.015
Adultos Sanos	Sujeto 1	3	d1	0.001	0.001	0.001	0	0.001	0
Adultos Sanos	Sujeto 1	4	s6	0.525	0.512	0.448	0.482	0.379	0.433
Adultos Sanos	Sujeto 1	4	d6	0.041	0.048	0.074	0.061	0.06	0.083
Adultos Sanos	Sujeto 1	4	d5	0.057	0.087	0.041	0.076	0.083	0.054
Adultos Sanos	Sujeto 1	4	d4	0.233	0.206	0.23	0.241	0.295	0.244
Adultos Sanos	Sujeto 1	4	d3	0.134	0.135	0.196	0.129	0.167	0.175
Adultos Sanos	Sujeto 1	4	d2	0.01	0.013	0.011	0.011	0.017	0.011
Adultos Sanos	Sujeto 1	4	d1	0	0	0	0	0.001	0
Adultos Sanos	Sujeto 1	5	s6	0.411	0.34	0.227	0.264	0.265	0.254
Adultos Sanos	Sujeto 1	5	d6	0.089	0.053	0.098	0.038	0.073	0.075
Adultos Sanos	Sujeto 1	5	d5	0.104	0.124	0.116	0.092	0.121	0.105
Adultos Sanos	Sujeto 1	5	d4	0.244	0.312	0.369	0.435	0.344	0.386

ANEXO 3

Grupo	Sujeto	Segmento	coef	C3	C4	P3	P4	Cz	Pz
Adultos Sanos	Sujeto 1	5	d3	0.129	0.148	0.169	0.159	0.171	0.159
Adultos Sanos	Sujeto 1	5	d2	0.022	0.022	0.02	0.011	0.026	0.02
Adultos Sanos	Sujeto 1	5	d1	0.001	0.001	0.001	0	0.001	0.001
Adultos Sanos	Sujeto 1	6	s6	0.499	0.534	0.446	0.444	0.432	0.417
Adultos Sanos	Sujeto 1	6	d6	0.121	0.125	0.087	0.076	0.108	0.083
Adultos Sanos	Sujeto 1	6	d5	0.078	0.062	0.039	0.042	0.086	0.041
Adultos Sanos	Sujeto 1	6	d4	0.198	0.176	0.29	0.292	0.24	0.308
Adultos Sanos	Sujeto 1	6	d3	0.093	0.085	0.129	0.133	0.117	0.138
Adultos Sanos	Sujeto 1	6	d2	0.011	0.017	0.01	0.012	0.016	0.011
Adultos Sanos	Sujeto 1	6	d1	0	0.001	0	0	0.001	0
Adultos Sanos	Sujeto 1	7	s6	0.675	0.603	0.578	0.582	0.521	0.546
Adultos Sanos	Sujeto 1	7	d6	0.024	0.035	0.04	0.032	0.064	0.04
Adultos Sanos	Sujeto 1	7	d5	0.051	0.107	0.041	0.073	0.105	0.063
Adultos Sanos	Sujeto 1	7	d4	0.145	0.177	0.199	0.217	0.204	0.238
Adultos Sanos	Sujeto 1	7	d3	0.093	0.063	0.128	0.083	0.09	0.101
Adultos Sanos	Sujeto 1	7	d2	0.012	0.013	0.013	0.013	0.016	0.013
Adultos Sanos	Sujeto 1	7	d1	0	0	0	0	0.001	0
Adultos Sanos	Sujeto 1	8	s6	0.655	0.545	0.541	0.587	0.555	0.561
Adultos Sanos	Sujeto 1	8	d6	0.029	0.022	0.051	0.011	0.039	0.044
Adultos Sanos	Sujeto 1	8	d5	0.064	0.078	0.068	0.065	0.062	0.074
Adultos Sanos	Sujeto 1	8	d4	0.156	0.233	0.199	0.195	0.229	0.209
Adultos Sanos	Sujeto 1	8	d3	0.081	0.105	0.121	0.125	0.097	0.095
Adultos Sanos	Sujeto 1	8	d2	0.014	0.017	0.02	0.017	0.017	0.017
Adultos Sanos	Sujeto 1	8	d1	0.001	0.001	0.001	0.001	0.001	0.001
Adultos Sanos	Sujeto 1	9	s6	0.554	0.53	0.471	0.537	0.437	0.528
Adultos Sanos	Sujeto 1	9	d6	0.04	0.066	0.03	0.036	0.061	0.041
Adultos Sanos	Sujeto 1	9	d5	0.12	0.158	0.114	0.121	0.165	0.127
Adultos Sanos	Sujeto 1	9	d4	0.145	0.132	0.193	0.181	0.187	0.165
Adultos Sanos	Sujeto 1	9	d3	0.115	0.083	0.167	0.099	0.117	0.111
Adultos Sanos	Sujeto 1	9	d2	0.023	0.025	0.022	0.021	0.027	0.023
Adultos Sanos	Sujeto 1	9	d1	0.004	0.006	0.003	0.004	0.005	0.004
Adultos Sanos	Sujeto 1	10	s6	0.624	0.63	0.554	0.486	0.562	0.522
Adultos Sanos	Sujeto 1	10	d6	0.053	0.038	0.071	0.087	0.05	0.087
Adultos Sanos	Sujeto 1	10	d5	0.045	0.054	0.034	0.058	0.07	0.052
Adultos Sanos	Sujeto 1	10	d4	0.174	0.162	0.212	0.272	0.204	0.217
Adultos Sanos	Sujeto 1	10	d3	0.087	0.098	0.108	0.082	0.095	0.105
Adultos Sanos	Sujeto 1	10	d2	0.017	0.017	0.02	0.015	0.019	0.017
Adultos Sanos	Sujeto 1	10	d1	0	0	0.001	0	0.001	0.001
Adultos Sanos	Sujeto 1	11	s6	0.486	0.408	0.422	0.356	0.4	0.436
Adultos Sanos	Sujeto 1	11	d6	0.1	0.147	0.107	0.102	0.137	0.113
Adultos Sanos	Sujeto 1	11	d5	0.095	0.087	0.082	0.056	0.106	0.077
Adultos Sanos	Sujeto 1	11	d4	0.174	0.231	0.221	0.3	0.226	0.228
Adultos Sanos	Sujeto 1	11	d3	0.121	0.111	0.148	0.172	0.11	0.13
Adultos Sanos	Sujeto 1	11	d2	0.024	0.015	0.019	0.014	0.022	0.016
Adultos Sanos	Sujeto 1	11	d1	0.001	0	0.001	0	0.001	0
Adultos Sanos	Sujeto 1	12	s6	0.527	0.565	0.391	0.484	0.469	0.446
Adultos Sanos	Sujeto 1	12	d6	0.057	0.047	0.062	0.052	0.049	0.056
Adultos Sanos	Sujeto 1	12	d5	0.049	0.07	0.044	0.042	0.081	0.049
Adultos Sanos	Sujeto 1	12	d4	0.211	0.179	0.333	0.267	0.232	0.291
Adultos Sanos	Sujeto 1	12	d3	0.139	0.124	0.153	0.143	0.149	0.144
Adultos Sanos	Sujeto 1	12	d2	0.018	0.014	0.017	0.012	0.019	0.014
Adultos Sanos	Sujeto 1	12	d1	0.001	0	0.001	0	0.001	0
Adultos Sanos	Sujeto 1	13	s6	0.634	0.589	0.56	0.677	0.559	0.611
Adultos Sanos	Sujeto 1	13	d6	0.042	0.077	0.074	0.042	0.055	0.039
Adultos Sanos	Sujeto 1	13	d5	0.097	0.065	0.113	0.057	0.096	0.093
Adultos Sanos	Sujeto 1	13	d4	0.109	0.126	0.088	0.102	0.137	0.116
Adultos Sanos	Sujeto 1	13	d3	0.098	0.12	0.142	0.101	0.125	0.118
Adultos Sanos	Sujeto 1	13	d2	0.019	0.023	0.022	0.021	0.028	0.022
Adultos Sanos	Sujeto 1	13	d1	0.001	0.001	0.001	0.001	0.001	0.001
Adultos Sanos	Sujeto 1	14	s6	0.619	0.58	0.522	0.482	0.543	0.506
Adultos Sanos	Sujeto 1	14	d6	0.084	0.075	0.068	0.074	0.1	0.086
Adultos Sanos	Sujeto 1	14	d5	0.067	0.08	0.054	0.05	0.087	0.06
Adultos Sanos	Sujeto 1	14	d4	0.118	0.158	0.19	0.247	0.152	0.201
Adultos Sanos	Sujeto 1	14	d3	0.095	0.093	0.15	0.134	0.102	0.133

ANEXO 3

Grupo	Sujeto	Segmento	coef	C3	C4	P3	P4	Cz	Pz
Adultos Sanos	Sujeto 1	14	d2	0.016	0.014	0.015	0.012	0.016	0.013
Adultos Sanos	Sujeto 1	14	d1	0.001	0.001	0.001	0	0.001	0
Adultos Sanos	Sujeto 1	15	s6	0.592	0.557	0.521	0.518	0.492	0.505
Adultos Sanos	Sujeto 1	15	d6	0.041	0.04	0.047	0.054	0.034	0.049
Adultos Sanos	Sujeto 1	15	d5	0.096	0.094	0.067	0.063	0.114	0.066
Adultos Sanos	Sujeto 1	15	d4	0.156	0.171	0.19	0.225	0.216	0.22
Adultos Sanos	Sujeto 1	15	d3	0.099	0.113	0.157	0.125	0.118	0.144
Adultos Sanos	Sujeto 1	15	d2	0.016	0.023	0.018	0.014	0.025	0.016
Adultos Sanos	Sujeto 1	15	d1	0.001	0.001	0.001	0	0.001	0
Adultos Sanos	Sujeto 1	16	s6	0.552	0.467	0.304	0.284	0.408	0.249
Adultos Sanos	Sujeto 1	16	d6	0.072	0.081	0.049	0.067	0.055	0.046
Adultos Sanos	Sujeto 1	16	d5	0.031	0.047	0.02	0.03	0.053	0.03
Adultos Sanos	Sujeto 1	16	d4	0.18	0.253	0.391	0.402	0.267	0.424
Adultos Sanos	Sujeto 1	16	d3	0.141	0.129	0.213	0.199	0.178	0.228
Adultos Sanos	Sujeto 1	16	d2	0.023	0.023	0.022	0.018	0.039	0.024
Adultos Sanos	Sujeto 1	16	d1	0.001	0.001	0	0	0.001	0
Adultos Sanos	Sujeto 1	17	s6	0.612	0.463	0.414	0.292	0.459	0.352
Adultos Sanos	Sujeto 1	17	d6	0.029	0.056	0.019	0.019	0.048	0.017
Adultos Sanos	Sujeto 1	17	d5	0.08	0.074	0.08	0.047	0.105	0.066
Adultos Sanos	Sujeto 1	17	d4	0.138	0.223	0.26	0.426	0.216	0.355
Adultos Sanos	Sujeto 1	17	d3	0.122	0.161	0.205	0.197	0.149	0.189
Adultos Sanos	Sujeto 1	17	d2	0.018	0.022	0.022	0.017	0.022	0.02
Adultos Sanos	Sujeto 1	17	d1	0.001	0.001	0.001	0	0.001	0
Adultos Sanos	Sujeto 1	18	s6	0.443	0.483	0.413	0.472	0.38	0.414
Adultos Sanos	Sujeto 1	18	d6	0.057	0.098	0.067	0.077	0.079	0.058
Adultos Sanos	Sujeto 1	18	d5	0.058	0.092	0.079	0.086	0.092	0.111
Adultos Sanos	Sujeto 1	18	d4	0.223	0.204	0.22	0.208	0.241	0.217
Adultos Sanos	Sujeto 1	18	d3	0.194	0.106	0.197	0.139	0.174	0.179
Adultos Sanos	Sujeto 1	18	d2	0.024	0.017	0.023	0.016	0.033	0.02
Adultos Sanos	Sujeto 1	18	d1	0.001	0.001	0.001	0	0.001	0.001
Adultos Sanos	Sujeto 1	19	s6	0.287	0.302	0.298	0.342	0.219	0.265
Adultos Sanos	Sujeto 1	19	d6	0.04	0.043	0.061	0.054	0.046	0.067
Adultos Sanos	Sujeto 1	19	d5	0.081	0.079	0.093	0.066	0.09	0.09
Adultos Sanos	Sujeto 1	19	d4	0.431	0.434	0.385	0.418	0.469	0.427
Adultos Sanos	Sujeto 1	19	d3	0.141	0.123	0.137	0.104	0.154	0.13
Adultos Sanos	Sujeto 1	19	d2	0.019	0.018	0.025	0.015	0.021	0.021
Adultos Sanos	Sujeto 1	19	d1	0	0	0	0	0	0
Adultos Sanos	Sujeto 1	20	s6	0.61	0.71	0.543	0.628	0.609	0.604
Adultos Sanos	Sujeto 1	20	d6	0.023	0.043	0.023	0.017	0.047	0.019
Adultos Sanos	Sujeto 1	20	d5	0.012	0.03	0.03	0.024	0.026	0.033
Adultos Sanos	Sujeto 1	20	d4	0.191	0.092	0.254	0.167	0.145	0.186
Adultos Sanos	Sujeto 1	20	d3	0.143	0.107	0.135	0.147	0.149	0.145
Adultos Sanos	Sujeto 1	20	d2	0.02	0.017	0.016	0.016	0.022	0.014
Adultos Sanos	Sujeto 1	20	d1	0	0	0	0	0.001	0
Adultos Sanos	Sujeto 1	21	s6	0.429	0.342	0.229	0.202	0.24	0.263
Adultos Sanos	Sujeto 1	21	d6	0.065	0.091	0.031	0.025	0.131	0.038
Adultos Sanos	Sujeto 1	21	d5	0.105	0.1	0.106	0.074	0.1	0.107
Adultos Sanos	Sujeto 1	21	d4	0.181	0.19	0.347	0.358	0.237	0.296
Adultos Sanos	Sujeto 1	21	d3	0.195	0.245	0.262	0.315	0.255	0.272
Adultos Sanos	Sujeto 1	21	d2	0.024	0.031	0.024	0.025	0.036	0.024
Adultos Sanos	Sujeto 1	21	d1	0.001	0.001	0.001	0	0.001	0.001
Adultos Sanos	Sujeto 1	22	s6	0.354	0.393	0.34	0.292	0.263	0.25
Adultos Sanos	Sujeto 1	22	d6	0.062	0.095	0.061	0.085	0.087	0.082
Adultos Sanos	Sujeto 1	22	d5	0.159	0.146	0.122	0.118	0.18	0.161
Adultos Sanos	Sujeto 1	22	d4	0.286	0.258	0.291	0.302	0.33	0.335
Adultos Sanos	Sujeto 1	22	d3	0.127	0.096	0.174	0.192	0.123	0.162
Adultos Sanos	Sujeto 1	22	d2	0.012	0.013	0.013	0.011	0.015	0.01
Adultos Sanos	Sujeto 1	22	d1	0	0	0	0	0	0
Adultos Sanos	Sujeto 1	23	s6	0.737	0.675	0.629	0.631	0.653	0.638
Adultos Sanos	Sujeto 1	23	d6	0.016	0.048	0.031	0.045	0.042	0.035
Adultos Sanos	Sujeto 1	23	d5	0.074	0.058	0.091	0.058	0.076	0.07
Adultos Sanos	Sujeto 1	23	d4	0.088	0.125	0.155	0.191	0.122	0.169
Adultos Sanos	Sujeto 1	23	d3	0.068	0.075	0.078	0.064	0.085	0.074
Adultos Sanos	Sujeto 1	23	d2	0.016	0.018	0.015	0.011	0.023	0.014

ANEXO 3

Grupo	Sujeto	Segmento	coef	C3	C4	P3	P4	Cz	Pz
Adultos Sanos	Sujeto 1	23	d1	0	0	0	0	0.001	0
Adultos Sanos	Sujeto 1	24	s6	0.633	0.565	0.491	0.545	0.498	0.537
Adultos Sanos	Sujeto 1	24	d6	0.041	0.043	0.044	0.068	0.074	0.075
Adultos Sanos	Sujeto 1	24	d5	0.117	0.139	0.111	0.088	0.146	0.106
Adultos Sanos	Sujeto 1	24	d4	0.098	0.164	0.172	0.175	0.136	0.142
Adultos Sanos	Sujeto 1	24	d3	0.094	0.075	0.159	0.11	0.118	0.122
Adultos Sanos	Sujeto 1	24	d2	0.016	0.013	0.022	0.015	0.027	0.017
Adultos Sanos	Sujeto 1	24	d1	0	0.001	0.001	0	0.001	0
Adultos Sanos	Sujeto 2	1	s6	0.633	0.514	0.583	0.479	0.44	0.418
Adultos Sanos	Sujeto 2	1	d6	0.029	0.051	0.038	0.04	0.06	0.038
Adultos Sanos	Sujeto 2	1	d5	0.069	0.061	0.059	0.059	0.071	0.056
Adultos Sanos	Sujeto 2	1	d4	0.197	0.267	0.233	0.3	0.317	0.359
Adultos Sanos	Sujeto 2	1	d3	0.064	0.098	0.079	0.114	0.105	0.122
Adultos Sanos	Sujeto 2	1	d2	0.007	0.009	0.008	0.008	0.008	0.007
Adultos Sanos	Sujeto 2	1	d1	0	0	0	0	0	0
Adultos Sanos	Sujeto 2	2	s6	0.484	0.44	0.405	0.403	0.402	0.428
Adultos Sanos	Sujeto 2	2	d6	0.063	0.023	0.04	0.013	0.067	0.026
Adultos Sanos	Sujeto 2	2	d5	0.152	0.141	0.094	0.102	0.199	0.117
Adultos Sanos	Sujeto 2	2	d4	0.185	0.242	0.285	0.319	0.21	0.271
Adultos Sanos	Sujeto 2	2	d3	0.098	0.137	0.154	0.143	0.106	0.139
Adultos Sanos	Sujeto 2	2	d2	0.017	0.017	0.021	0.019	0.016	0.018
Adultos Sanos	Sujeto 2	2	d1	0	0	0.001	0	0	0
Adultos Sanos	Sujeto 2	3	s6	0.507	0.445	0.44	0.463	0.345	0.398
Adultos Sanos	Sujeto 2	3	d6	0.056	0.061	0.033	0.041	0.085	0.044
Adultos Sanos	Sujeto 2	3	d5	0.105	0.195	0.079	0.17	0.235	0.163
Adultos Sanos	Sujeto 2	3	d4	0.244	0.191	0.331	0.216	0.256	0.29
Adultos Sanos	Sujeto 2	3	d3	0.076	0.089	0.105	0.098	0.065	0.096
Adultos Sanos	Sujeto 2	3	d2	0.012	0.019	0.011	0.012	0.014	0.01
Adultos Sanos	Sujeto 2	3	d1	0	0.001	0	0	0	0
Adultos Sanos	Sujeto 2	4	s6	0.573	0.64	0.552	0.556	0.546	0.551
Adultos Sanos	Sujeto 2	4	d6	0.099	0.051	0.062	0.039	0.092	0.063
Adultos Sanos	Sujeto 2	4	d5	0.096	0.06	0.065	0.046	0.087	0.056
Adultos Sanos	Sujeto 2	4	d4	0.179	0.173	0.236	0.263	0.204	0.244
Adultos Sanos	Sujeto 2	4	d3	0.048	0.067	0.077	0.087	0.064	0.078
Adultos Sanos	Sujeto 2	4	d2	0.006	0.008	0.007	0.009	0.007	0.008
Adultos Sanos	Sujeto 2	4	d1	0	0	0	0	0	0
Adultos Sanos	Sujeto 2	5	s6	0.659	0.449	0.66	0.459	0.396	0.512
Adultos Sanos	Sujeto 2	5	d6	0.079	0.106	0.07	0.061	0.092	0.056
Adultos Sanos	Sujeto 2	5	d5	0.083	0.093	0.076	0.058	0.141	0.074
Adultos Sanos	Sujeto 2	5	d4	0.118	0.261	0.12	0.294	0.272	0.244
Adultos Sanos	Sujeto 2	5	d3	0.051	0.077	0.063	0.113	0.088	0.099
Adultos Sanos	Sujeto 2	5	d2	0.009	0.013	0.009	0.014	0.011	0.013
Adultos Sanos	Sujeto 2	5	d1	0	0.001	0.001	0.002	0	0.001
Adultos Sanos	Sujeto 2	6	s6	0.453	0.384	0.299	0.257	0.209	0.204
Adultos Sanos	Sujeto 2	6	d6	0.115	0.067	0.076	0.052	0.164	0.051
Adultos Sanos	Sujeto 2	6	d5	0.076	0.073	0.055	0.053	0.08	0.059
Adultos Sanos	Sujeto 2	6	d4	0.3	0.357	0.42	0.451	0.468	0.545
Adultos Sanos	Sujeto 2	6	d3	0.047	0.101	0.137	0.17	0.07	0.128
Adultos Sanos	Sujeto 2	6	d2	0.008	0.017	0.013	0.017	0.01	0.012
Adultos Sanos	Sujeto 2	6	d1	0	0	0	0	0	0
Adultos Sanos	Sujeto 2	7	s6	0.474	0.447	0.467	0.464	0.378	0.467
Adultos Sanos	Sujeto 2	7	d6	0.116	0.118	0.098	0.082	0.181	0.084
Adultos Sanos	Sujeto 2	7	d5	0.163	0.157	0.152	0.117	0.183	0.151
Adultos Sanos	Sujeto 2	7	d4	0.163	0.186	0.195	0.241	0.179	0.212
Adultos Sanos	Sujeto 2	7	d3	0.073	0.08	0.077	0.083	0.07	0.077
Adultos Sanos	Sujeto 2	7	d2	0.009	0.011	0.011	0.013	0.009	0.01
Adultos Sanos	Sujeto 2	7	d1	0	0	0	0	0	0
Adultos Sanos	Sujeto 2	8	s6	0.436	0.382	0.327	0.276	0.256	0.214
Adultos Sanos	Sujeto 2	8	d6	0.08	0.095	0.07	0.081	0.084	0.089
Adultos Sanos	Sujeto 2	8	d5	0.075	0.125	0.115	0.109	0.114	0.108
Adultos Sanos	Sujeto 2	8	d4	0.294	0.282	0.357	0.413	0.393	0.446
Adultos Sanos	Sujeto 2	8	d3	0.104	0.102	0.122	0.114	0.137	0.135
Adultos Sanos	Sujeto 2	8	d2	0.011	0.013	0.009	0.008	0.016	0.008
Adultos Sanos	Sujeto 2	8	d1	0	0	0	0	0	0

ANEXO 3

Grupo	Sujeto	Segmento	coef	C3	C4	P3	P4	Cz	Pz
Adultos Sanos	Sujeto 2	9	s6	0.596	0.504	0.569	0.493	0.425	0.595
Adultos Sanos	Sujeto 2	9	d6	0.051	0.105	0.097	0.088	0.066	0.106
Adultos Sanos	Sujeto 2	9	d5	0.1	0.148	0.072	0.103	0.158	0.087
Adultos Sanos	Sujeto 2	9	d4	0.199	0.163	0.159	0.199	0.286	0.132
Adultos Sanos	Sujeto 2	9	d3	0.045	0.068	0.089	0.107	0.055	0.068
Adultos Sanos	Sujeto 2	9	d2	0.008	0.012	0.013	0.011	0.01	0.011
Adultos Sanos	Sujeto 2	9	d1	0.001	0.001	0.001	0	0.001	0
Adultos Sanos	Sujeto 2	10	s6	0.328	0.386	0.194	0.26	0.309	0.202
Adultos Sanos	Sujeto 2	10	d6	0.119	0.06	0.102	0.081	0.074	0.078
Adultos Sanos	Sujeto 2	10	d5	0.104	0.115	0.067	0.07	0.176	0.066
Adultos Sanos	Sujeto 2	10	d4	0.334	0.327	0.448	0.423	0.346	0.49
Adultos Sanos	Sujeto 2	10	d3	0.098	0.089	0.172	0.149	0.079	0.149
Adultos Sanos	Sujeto 2	10	d2	0.016	0.022	0.016	0.017	0.015	0.015
Adultos Sanos	Sujeto 2	10	d1	0	0.001	0	0	0	0
Adultos Sanos	Sujeto 2	11	s6	0.477	0.344	0.512	0.403	0.247	0.33
Adultos Sanos	Sujeto 2	11	d6	0.033	0.056	0.053	0.042	0.043	0.042
Adultos Sanos	Sujeto 2	11	d5	0.117	0.127	0.086	0.104	0.201	0.112
Adultos Sanos	Sujeto 2	11	d4	0.261	0.309	0.245	0.303	0.373	0.369
Adultos Sanos	Sujeto 2	11	d3	0.103	0.15	0.095	0.133	0.127	0.138
Adultos Sanos	Sujeto 2	11	d2	0.009	0.015	0.009	0.014	0.009	0.009
Adultos Sanos	Sujeto 2	11	d1	0	0	0	0	0	0
Adultos Sanos	Sujeto 2	12	s6	0.646	0.624	0.503	0.408	0.609	0.467
Adultos Sanos	Sujeto 2	12	d6	0.07	0.111	0.052	0.08	0.097	0.062
Adultos Sanos	Sujeto 2	12	d5	0.089	0.082	0.07	0.061	0.09	0.054
Adultos Sanos	Sujeto 2	12	d4	0.144	0.11	0.278	0.322	0.146	0.312
Adultos Sanos	Sujeto 2	12	d3	0.044	0.064	0.087	0.119	0.049	0.093
Adultos Sanos	Sujeto 2	12	d2	0.007	0.009	0.009	0.01	0.008	0.011
Adultos Sanos	Sujeto 2	12	d1	0	0	0	0	0	0
Adultos Sanos	Sujeto 2	13	s6	0.478	0.364	0.254	0.363	0.303	0.259
Adultos Sanos	Sujeto 2	13	d6	0.112	0.098	0.054	0.078	0.171	0.058
Adultos Sanos	Sujeto 2	13	d5	0.087	0.096	0.077	0.073	0.126	0.079
Adultos Sanos	Sujeto 2	13	d4	0.25	0.305	0.48	0.352	0.288	0.464
Adultos Sanos	Sujeto 2	13	d3	0.058	0.113	0.122	0.117	0.094	0.126
Adultos Sanos	Sujeto 2	13	d2	0.015	0.023	0.012	0.017	0.018	0.014
Adultos Sanos	Sujeto 2	13	d1	0	0.001	0	0.001	0	0
Adultos Sanos	Sujeto 2	14	s6	0.41	0.491	0.278	0.429	0.447	0.324
Adultos Sanos	Sujeto 2	14	d6	0.087	0.162	0.066	0.097	0.189	0.099
Adultos Sanos	Sujeto 2	14	d5	0.053	0.126	0.052	0.066	0.098	0.064
Adultos Sanos	Sujeto 2	14	d4	0.304	0.154	0.431	0.289	0.176	0.377
Adultos Sanos	Sujeto 2	14	d3	0.132	0.054	0.159	0.104	0.076	0.122
Adultos Sanos	Sujeto 2	14	d2	0.014	0.013	0.013	0.014	0.012	0.013
Adultos Sanos	Sujeto 2	14	d1	0	0.001	0	0	0	0
Adultos Sanos	Sujeto 2	15	s6	0.473	0.378	0.312	0.3	0.405	0.222
Adultos Sanos	Sujeto 2	15	d6	0.111	0.087	0.092	0.057	0.144	0.075
Adultos Sanos	Sujeto 2	15	d5	0.1	0.061	0.074	0.061	0.129	0.103
Adultos Sanos	Sujeto 2	15	d4	0.197	0.338	0.345	0.426	0.193	0.401
Adultos Sanos	Sujeto 2	15	d3	0.101	0.118	0.158	0.141	0.108	0.181
Adultos Sanos	Sujeto 2	15	d2	0.017	0.017	0.019	0.014	0.02	0.018
Adultos Sanos	Sujeto 2	15	d1	0	0.001	0	0	0.001	0
Adultos Sanos	Sujeto 2	16	s6	0.656	0.616	0.418	0.491	0.461	0.435
Adultos Sanos	Sujeto 2	16	d6	0.127	0.08	0.137	0.065	0.133	0.113
Adultos Sanos	Sujeto 2	16	d5	0.065	0.067	0.078	0.059	0.126	0.104
Adultos Sanos	Sujeto 2	16	d4	0.105	0.157	0.241	0.28	0.209	0.249
Adultos Sanos	Sujeto 2	16	d3	0.04	0.069	0.116	0.095	0.059	0.09
Adultos Sanos	Sujeto 2	16	d2	0.007	0.011	0.01	0.009	0.011	0.009
Adultos Sanos	Sujeto 2	16	d1	0	0	0.001	0	0.001	0
Adultos Sanos	Sujeto 2	17	s6	0.445	0.471	0.341	0.305	0.478	0.26
Adultos Sanos	Sujeto 2	17	d6	0.054	0.091	0.052	0.086	0.096	0.069
Adultos Sanos	Sujeto 2	17	d5	0.109	0.064	0.068	0.068	0.103	0.083
Adultos Sanos	Sujeto 2	17	d4	0.295	0.277	0.403	0.416	0.243	0.456
Adultos Sanos	Sujeto 2	17	d3	0.088	0.083	0.129	0.116	0.067	0.125
Adultos Sanos	Sujeto 2	17	d2	0.01	0.013	0.007	0.009	0.013	0.008
Adultos Sanos	Sujeto 2	17	d1	0	0	0	0	0	0
Adultos Sanos	Sujeto 2	18	s6	0.482	0.296	0.343	0.24	0.301	0.245

ANEXO 3

Grupo	Sujeto	Segmento	coef	C3	C4	P3	P4	Cz	Pz
Adultos Sanos	Sujeto 2	18	d6	0.032	0.018	0.032	0.012	0.009	0.019
Adultos Sanos	Sujeto 2	18	d5	0.131	0.178	0.09	0.118	0.175	0.135
Adultos Sanos	Sujeto 2	18	d4	0.248	0.364	0.406	0.472	0.398	0.469
Adultos Sanos	Sujeto 2	18	d3	0.089	0.123	0.108	0.141	0.101	0.115
Adultos Sanos	Sujeto 2	18	d2	0.018	0.018	0.019	0.015	0.015	0.015
Adultos Sanos	Sujeto 2	18	d1	0.001	0.002	0.002	0.002	0.001	0.002
Adultos Sanos	Sujeto 2	19	s6	0.427	0.42	0.336	0.389	0.332	0.439
Adultos Sanos	Sujeto 2	19	d6	0.107	0.131	0.124	0.141	0.163	0.146
Adultos Sanos	Sujeto 2	19	d5	0.083	0.059	0.078	0.064	0.109	0.074
Adultos Sanos	Sujeto 2	19	d4	0.285	0.248	0.319	0.252	0.281	0.23
Adultos Sanos	Sujeto 2	19	d3	0.088	0.131	0.129	0.137	0.107	0.098
Adultos Sanos	Sujeto 2	19	d2	0.01	0.01	0.014	0.015	0.008	0.012
Adultos Sanos	Sujeto 2	19	d1	0	0	0	0	0	0
Adultos Sanos	Sujeto 2	20	s6	0.427	0.539	0.491	0.412	0.396	0.388
Adultos Sanos	Sujeto 2	20	d6	0.091	0.071	0.064	0.05	0.086	0.076
Adultos Sanos	Sujeto 2	20	d5	0.089	0.072	0.061	0.04	0.087	0.055
Adultos Sanos	Sujeto 2	20	d4	0.286	0.219	0.266	0.331	0.323	0.333
Adultos Sanos	Sujeto 2	20	d3	0.095	0.08	0.107	0.15	0.094	0.129
Adultos Sanos	Sujeto 2	20	d2	0.011	0.018	0.009	0.016	0.013	0.016
Adultos Sanos	Sujeto 2	20	d1	0.001	0.001	0.001	0.001	0.001	0.003
Adultos Sanos	Sujeto 2	21	s6	0.546	0.45	0.516	0.37	0.403	0.351
Adultos Sanos	Sujeto 2	21	d6	0.068	0.091	0.101	0.11	0.041	0.106
Adultos Sanos	Sujeto 2	21	d5	0.087	0.106	0.046	0.092	0.166	0.103
Adultos Sanos	Sujeto 2	21	d4	0.244	0.238	0.252	0.293	0.314	0.329
Adultos Sanos	Sujeto 2	21	d3	0.046	0.102	0.072	0.123	0.067	0.1
Adultos Sanos	Sujeto 2	21	d2	0.009	0.012	0.012	0.012	0.009	0.01
Adultos Sanos	Sujeto 2	21	d1	0	0	0	0	0	0
Adultos Sanos	Sujeto 2	22	s6	0.423	0.309	0.337	0.337	0.331	0.292
Adultos Sanos	Sujeto 2	22	d6	0.113	0.068	0.084	0.062	0.116	0.069
Adultos Sanos	Sujeto 2	22	d5	0.068	0.092	0.05	0.065	0.143	0.084
Adultos Sanos	Sujeto 2	22	d4	0.316	0.405	0.408	0.392	0.329	0.446
Adultos Sanos	Sujeto 2	22	d3	0.069	0.109	0.107	0.131	0.069	0.095
Adultos Sanos	Sujeto 2	22	d2	0.01	0.017	0.013	0.014	0.012	0.014
Adultos Sanos	Sujeto 2	22	d1	0	0.001	0	0	0	0
Adultos Sanos	Sujeto 2	23	s6	0.488	0.442	0.513	0.442	0.47	0.443
Adultos Sanos	Sujeto 2	23	d6	0.08	0.074	0.06	0.054	0.073	0.046
Adultos Sanos	Sujeto 2	23	d5	0.097	0.107	0.125	0.092	0.119	0.121
Adultos Sanos	Sujeto 2	23	d4	0.221	0.288	0.198	0.334	0.236	0.3
Adultos Sanos	Sujeto 2	23	d3	0.098	0.079	0.091	0.066	0.088	0.076
Adultos Sanos	Sujeto 2	23	d2	0.015	0.01	0.013	0.011	0.013	0.014
Adultos Sanos	Sujeto 2	23	d1	0	0	0	0	0	0
Adultos Sanos	Sujeto 2	24	s6	0.606	0.572	0.506	0.496	0.511	0.481
Adultos Sanos	Sujeto 2	24	d6	0.077	0.067	0.061	0.057	0.075	0.055
Adultos Sanos	Sujeto 2	24	d5	0.068	0.066	0.072	0.051	0.087	0.08
Adultos Sanos	Sujeto 2	24	d4	0.155	0.193	0.236	0.242	0.212	0.242
Adultos Sanos	Sujeto 2	24	d3	0.084	0.088	0.118	0.14	0.104	0.131
Adultos Sanos	Sujeto 2	24	d2	0.009	0.013	0.008	0.015	0.01	0.011
Adultos Sanos	Sujeto 2	24	d1	0	0.001	0	0.001	0	0
Adultos Sanos	Sujeto 3	1	s6	0.538	0.636	0.569	0.481	0.39	0.481
Adultos Sanos	Sujeto 3	1	d6	0.03	0.04	0.041	0.061	0.04	0.067
Adultos Sanos	Sujeto 3	1	d5	0.081	0.103	0.107	0.079	0.148	0.136
Adultos Sanos	Sujeto 3	1	d4	0.266	0.149	0.208	0.281	0.311	0.23
Adultos Sanos	Sujeto 3	1	d3	0.073	0.061	0.062	0.089	0.099	0.074
Adultos Sanos	Sujeto 3	1	d2	0.01	0.011	0.013	0.009	0.012	0.011
Adultos Sanos	Sujeto 3	1	d1	0	0.001	0	0	0	0
Adultos Sanos	Sujeto 3	2	s6	0.459	0.425	0.43	0.252	0.355	0.268
Adultos Sanos	Sujeto 3	2	d6	0.083	0.049	0.063	0.064	0.066	0.082
Adultos Sanos	Sujeto 3	2	d5	0.032	0.037	0.032	0.063	0.044	0.049
Adultos Sanos	Sujeto 3	2	d4	0.324	0.377	0.35	0.482	0.419	0.47
Adultos Sanos	Sujeto 3	2	d3	0.09	0.1	0.111	0.125	0.106	0.119
Adultos Sanos	Sujeto 3	2	d2	0.011	0.011	0.013	0.012	0.009	0.012
Adultos Sanos	Sujeto 3	2	d1	0.001	0	0	0	0	0
Adultos Sanos	Sujeto 3	3	s6	0.297	0.315	0.522	0.329	0.272	0.503
Adultos Sanos	Sujeto 3	3	d6	0.057	0.029	0.069	0.03	0.028	0.039

ANEXO 3

Grupo	Sujeto	Segmento	coef	C3	C4	P3	P4	Cz	Pz
Adultos Sanos	Sujeto 3	3	d5	0.114	0.113	0.084	0.084	0.1	0.114
Adultos Sanos	Sujeto 3	3	d4	0.394	0.398	0.229	0.41	0.464	0.245
Adultos Sanos	Sujeto 3	3	d3	0.112	0.126	0.077	0.136	0.121	0.081
Adultos Sanos	Sujeto 3	3	d2	0.025	0.019	0.019	0.01	0.014	0.016
Adultos Sanos	Sujeto 3	3	d1	0.001	0.001	0.001	0	0.001	0.001
Adultos Sanos	Sujeto 3	4	s6	0.425	0.253	0.459	0.326	0.273	0.365
Adultos Sanos	Sujeto 3	4	d6	0.091	0.054	0.053	0.059	0.113	0.067
Adultos Sanos	Sujeto 3	4	d5	0.057	0.043	0.051	0.029	0.061	0.048
Adultos Sanos	Sujeto 3	4	d4	0.302	0.483	0.309	0.446	0.415	0.387
Adultos Sanos	Sujeto 3	4	d3	0.109	0.152	0.117	0.133	0.126	0.125
Adultos Sanos	Sujeto 3	4	d2	0.016	0.014	0.01	0.008	0.012	0.008
Adultos Sanos	Sujeto 3	4	d1	0.001	0.001	0	0	0	0
Adultos Sanos	Sujeto 3	5	s6	0.563	0.455	0.535	0.316	0.366	0.531
Adultos Sanos	Sujeto 3	5	d6	0.057	0.166	0.102	0.176	0.094	0.116
Adultos Sanos	Sujeto 3	5	d5	0.029	0.066	0.052	0.065	0.049	0.045
Adultos Sanos	Sujeto 3	5	d4	0.252	0.215	0.189	0.29	0.37	0.217
Adultos Sanos	Sujeto 3	5	d3	0.083	0.083	0.103	0.14	0.107	0.081
Adultos Sanos	Sujeto 3	5	d2	0.014	0.014	0.017	0.012	0.013	0.01
Adultos Sanos	Sujeto 3	5	d1	0.001	0.001	0.001	0	0.001	0
Adultos Sanos	Sujeto 3	6	s6	0.559	0.603	0.518	0.406	0.433	0.35
Adultos Sanos	Sujeto 3	6	d6	0.071	0.055	0.017	0.042	0.058	0.035
Adultos Sanos	Sujeto 3	6	d5	0.044	0.026	0.061	0.04	0.045	0.043
Adultos Sanos	Sujeto 3	6	d4	0.193	0.205	0.235	0.327	0.313	0.365
Adultos Sanos	Sujeto 3	6	d3	0.109	0.096	0.148	0.171	0.134	0.19
Adultos Sanos	Sujeto 3	6	d2	0.022	0.016	0.021	0.013	0.017	0.017
Adultos Sanos	Sujeto 3	6	d1	0.001	0.001	0.001	0.001	0.001	0
Adultos Sanos	Sujeto 3	7	s6	0.583	0.495	0.415	0.446	0.399	0.357
Adultos Sanos	Sujeto 3	7	d6	0.078	0.059	0.067	0.036	0.079	0.057
Adultos Sanos	Sujeto 3	7	d5	0.079	0.1	0.057	0.063	0.118	0.067
Adultos Sanos	Sujeto 3	7	d4	0.192	0.258	0.359	0.36	0.315	0.415
Adultos Sanos	Sujeto 3	7	d3	0.052	0.07	0.09	0.086	0.074	0.095
Adultos Sanos	Sujeto 3	7	d2	0.015	0.017	0.012	0.009	0.014	0.009
Adultos Sanos	Sujeto 3	7	d1	0.001	0.001	0	0	0.001	0
Adultos Sanos	Sujeto 3	8	s6	0.522	0.568	0.575	0.528	0.48	0.427
Adultos Sanos	Sujeto 3	8	d6	0.036	0.032	0.054	0.052	0.039	0.036
Adultos Sanos	Sujeto 3	8	d5	0.044	0.058	0.07	0.093	0.04	0.064
Adultos Sanos	Sujeto 3	8	d4	0.281	0.224	0.212	0.219	0.322	0.338
Adultos Sanos	Sujeto 3	8	d3	0.105	0.103	0.08	0.095	0.11	0.126
Adultos Sanos	Sujeto 3	8	d2	0.012	0.015	0.01	0.012	0.009	0.009
Adultos Sanos	Sujeto 3	8	d1	0.001	0.001	0	0	0	0
Adultos Sanos	Sujeto 3	9	s6	0.566	0.542	0.708	0.685	0.464	0.589
Adultos Sanos	Sujeto 3	9	d6	0.037	0.031	0.037	0.033	0.05	0.079
Adultos Sanos	Sujeto 3	9	d5	0.07	0.081	0.106	0.076	0.071	0.105
Adultos Sanos	Sujeto 3	9	d4	0.247	0.24	0.09	0.129	0.335	0.157
Adultos Sanos	Sujeto 3	9	d3	0.065	0.087	0.045	0.063	0.063	0.053
Adultos Sanos	Sujeto 3	9	d2	0.015	0.019	0.013	0.013	0.017	0.017
Adultos Sanos	Sujeto 3	9	d1	0.001	0.001	0.001	0.001	0.001	0.001
Adultos Sanos	Sujeto 3	10	s6	0.603	0.759	0.54	0.443	0.4	0.408
Adultos Sanos	Sujeto 3	10	d6	0.057	0.029	0.07	0.106	0.065	0.074
Adultos Sanos	Sujeto 3	10	d5	0.069	0.032	0.071	0.066	0.072	0.079
Adultos Sanos	Sujeto 3	10	d4	0.181	0.127	0.215	0.273	0.345	0.314
Adultos Sanos	Sujeto 3	10	d3	0.076	0.046	0.094	0.101	0.107	0.114
Adultos Sanos	Sujeto 3	10	d2	0.013	0.007	0.009	0.011	0.01	0.011
Adultos Sanos	Sujeto 3	10	d1	0.001	0	0	0	0	0
Adultos Sanos	Sujeto 3	11	s6	0.431	0.105	0.528	0.576	0.231	0.336
Adultos Sanos	Sujeto 3	11	d6	0.047	0.082	0.086	0.065	0.05	0.093
Adultos Sanos	Sujeto 3	11	d5	0.078	0.101	0.045	0.025	0.076	0.049
Adultos Sanos	Sujeto 3	11	d4	0.317	0.494	0.24	0.24	0.465	0.381
Adultos Sanos	Sujeto 3	11	d3	0.112	0.198	0.092	0.085	0.163	0.13
Adultos Sanos	Sujeto 3	11	d2	0.014	0.019	0.009	0.009	0.014	0.01
Adultos Sanos	Sujeto 3	11	d1	0.001	0.001	0	0	0.001	0
Adultos Sanos	Sujeto 3	12	s6	0.538	0.674	0.62	0.695	0.392	0.529
Adultos Sanos	Sujeto 3	12	d6	0.071	0.071	0.05	0.05	0.072	0.055
Adultos Sanos	Sujeto 3	12	d5	0.056	0.036	0.064	0.039	0.071	0.061

ANEXO 3

Grupo	Sujeto	Segmento	coef	C3	C4	P3	P4	Cz	Pz
Adultos Sanos	Sujeto 3	12	d4	0.248	0.159	0.189	0.167	0.356	0.25
Adultos Sanos	Sujeto 3	12	d3	0.072	0.049	0.066	0.041	0.094	0.094
Adultos Sanos	Sujeto 3	12	d2	0.014	0.01	0.011	0.008	0.015	0.011
Adultos Sanos	Sujeto 3	12	d1	0.001	0.001	0.001	0	0.001	0.001
Adultos Sanos	Sujeto 3	13	s6	0.736	0.708	0.706	0.676	0.711	0.673
Adultos Sanos	Sujeto 3	13	d6	0.089	0.1	0.114	0.101	0.107	0.113
Adultos Sanos	Sujeto 3	13	d5	0.078	0.09	0.077	0.08	0.082	0.084
Adultos Sanos	Sujeto 3	13	d4	0.038	0.05	0.052	0.091	0.053	0.075
Adultos Sanos	Sujeto 3	13	d3	0.045	0.04	0.041	0.043	0.039	0.045
Adultos Sanos	Sujeto 3	13	d2	0.013	0.012	0.01	0.009	0.007	0.008
Adultos Sanos	Sujeto 3	13	d1	0.001	0.001	0.001	0.001	0.001	0.001
Adultos Sanos	Sujeto 3	14	s6	0.464	0.325	0.501	0.401	0.311	0.358
Adultos Sanos	Sujeto 3	14	d6	0.034	0.031	0.041	0.035	0.051	0.049
Adultos Sanos	Sujeto 3	14	d5	0.069	0.06	0.052	0.044	0.108	0.067
Adultos Sanos	Sujeto 3	14	d4	0.319	0.432	0.286	0.397	0.392	0.383
Adultos Sanos	Sujeto 3	14	d3	0.096	0.131	0.108	0.113	0.124	0.131
Adultos Sanos	Sujeto 3	14	d2	0.016	0.021	0.012	0.01	0.014	0.012
Adultos Sanos	Sujeto 3	14	d1	0.001	0.001	0.001	0	0.001	0.001
Adultos Sanos	Sujeto 3	15	s6	0.444	0.283	0.285	0.214	0.209	0.243
Adultos Sanos	Sujeto 3	15	d6	0.085	0.113	0.048	0.046	0.167	0.055
Adultos Sanos	Sujeto 3	15	d5	0.159	0.118	0.138	0.075	0.15	0.119
Adultos Sanos	Sujeto 3	15	d4	0.195	0.31	0.409	0.494	0.342	0.455
Adultos Sanos	Sujeto 3	15	d3	0.093	0.145	0.106	0.16	0.112	0.117
Adultos Sanos	Sujeto 3	15	d2	0.023	0.027	0.013	0.011	0.019	0.011
Adultos Sanos	Sujeto 3	15	d1	0.001	0.003	0.001	0	0.001	0
Adultos Sanos	Sujeto 3	16	s6	0.609	0.616	0.49	0.447	0.354	0.369
Adultos Sanos	Sujeto 3	16	d6	0.027	0.034	0.037	0.046	0.031	0.032
Adultos Sanos	Sujeto 3	16	d5	0.042	0.025	0.059	0.041	0.065	0.065
Adultos Sanos	Sujeto 3	16	d4	0.211	0.171	0.283	0.301	0.375	0.354
Adultos Sanos	Sujeto 3	16	d3	0.099	0.128	0.119	0.154	0.159	0.167
Adultos Sanos	Sujeto 3	16	d2	0.011	0.025	0.011	0.01	0.014	0.012
Adultos Sanos	Sujeto 3	16	d1	0.001	0.002	0	0	0.001	0
Adultos Sanos	Sujeto 3	17	s6	0.62	0.39	0.376	0.346	0.366	0.398
Adultos Sanos	Sujeto 3	17	d6	0.076	0.092	0.064	0.046	0.111	0.034
Adultos Sanos	Sujeto 3	17	d5	0.051	0.051	0.056	0.051	0.057	0.064
Adultos Sanos	Sujeto 3	17	d4	0.184	0.357	0.354	0.418	0.367	0.374
Adultos Sanos	Sujeto 3	17	d3	0.056	0.088	0.14	0.13	0.084	0.121
Adultos Sanos	Sujeto 3	17	d2	0.013	0.02	0.01	0.009	0.014	0.008
Adultos Sanos	Sujeto 3	17	d1	0	0.001	0	0	0	0
Adultos Sanos	Sujeto 3	18	s6	0.718	0.545	0.602	0.663	0.597	0.683
Adultos Sanos	Sujeto 3	18	d6	0.071	0.096	0.064	0.051	0.071	0.033
Adultos Sanos	Sujeto 3	18	d5	0.093	0.088	0.075	0.047	0.093	0.103
Adultos Sanos	Sujeto 3	18	d4	0.075	0.19	0.185	0.167	0.177	0.119
Adultos Sanos	Sujeto 3	18	d3	0.033	0.066	0.062	0.064	0.055	0.055
Adultos Sanos	Sujeto 3	18	d2	0.009	0.014	0.011	0.007	0.007	0.007
Adultos Sanos	Sujeto 3	18	d1	0.001	0.001	0	0	0	0
Adultos Sanos	Sujeto 3	19	s6	0.61	0.692	0.607	0.628	0.404	0.55
Adultos Sanos	Sujeto 3	19	d6	0.028	0.019	0.031	0.047	0.032	0.047
Adultos Sanos	Sujeto 3	19	d5	0.067	0.032	0.076	0.029	0.071	0.049
Adultos Sanos	Sujeto 3	19	d4	0.199	0.177	0.195	0.203	0.359	0.247
Adultos Sanos	Sujeto 3	19	d3	0.082	0.07	0.081	0.086	0.124	0.1
Adultos Sanos	Sujeto 3	19	d2	0.013	0.009	0.01	0.008	0.01	0.007
Adultos Sanos	Sujeto 3	19	d1	0.001	0.001	0	0	0	0
Adultos Sanos	Sujeto 3	20	s6	0.633	0.613	0.62	0.542	0.467	0.568
Adultos Sanos	Sujeto 3	20	d6	0.02	0.029	0.046	0.044	0.031	0.032
Adultos Sanos	Sujeto 3	20	d5	0.04	0.057	0.065	0.063	0.066	0.063
Adultos Sanos	Sujeto 3	20	d4	0.215	0.217	0.188	0.257	0.316	0.25
Adultos Sanos	Sujeto 3	20	d3	0.081	0.07	0.069	0.084	0.108	0.079
Adultos Sanos	Sujeto 3	20	d2	0.011	0.013	0.011	0.008	0.012	0.008
Adultos Sanos	Sujeto 3	20	d1	0	0.001	0	0	0	0
Adultos Sanos	Sujeto 3	21	s6	0.456	0.439	0.561	0.501	0.348	0.472
Adultos Sanos	Sujeto 3	21	d6	0.03	0.048	0.071	0.037	0.041	0.027
Adultos Sanos	Sujeto 3	21	d5	0.061	0.081	0.064	0.072	0.086	0.069
Adultos Sanos	Sujeto 3	21	d4	0.325	0.286	0.225	0.252	0.375	0.313

ANEXO 3

Grupo	Sujeto	Segmento	coef	C3	C4	P3	P4	Cz	Pz
Adultos Sanos	Sujeto 3	21	d3	0.111	0.121	0.065	0.126	0.135	0.106
Adultos Sanos	Sujeto 3	21	d2	0.017	0.024	0.014	0.011	0.015	0.013
Adultos Sanos	Sujeto 3	21	d1	0.001	0.001	0	0	0	0
Adultos Sanos	Sujeto 3	22	s6	0.536	0.325	0.355	0.278	0.285	0.345
Adultos Sanos	Sujeto 3	22	d6	0.042	0.058	0.128	0.082	0.055	0.079
Adultos Sanos	Sujeto 3	22	d5	0.039	0.031	0.032	0.027	0.042	0.021
Adultos Sanos	Sujeto 3	22	d4	0.28	0.458	0.373	0.493	0.477	0.422
Adultos Sanos	Sujeto 3	22	d3	0.089	0.115	0.102	0.112	0.128	0.123
Adultos Sanos	Sujeto 3	22	d2	0.014	0.013	0.01	0.009	0.013	0.009
Adultos Sanos	Sujeto 3	22	d1	0.001	0	0	0	0	0
Adultos Sanos	Sujeto 3	23	s6	0.354	0.29	0.433	0.285	0.193	0.297
Adultos Sanos	Sujeto 3	23	d6	0.087	0.055	0.066	0.051	0.099	0.039
Adultos Sanos	Sujeto 3	23	d5	0.062	0.083	0.063	0.055	0.075	0.053
Adultos Sanos	Sujeto 3	23	d4	0.351	0.394	0.298	0.431	0.454	0.441
Adultos Sanos	Sujeto 3	23	d3	0.133	0.155	0.125	0.165	0.165	0.157
Adultos Sanos	Sujeto 3	23	d2	0.012	0.021	0.014	0.014	0.014	0.012
Adultos Sanos	Sujeto 3	23	d1	0.001	0.001	0	0	0	0
Adultos Sanos	Sujeto 3	24	s6	0.713	0.59	0.654	0.422	0.552	0.661
Adultos Sanos	Sujeto 3	24	d6	0.032	0.038	0.023	0.039	0.058	0.043
Adultos Sanos	Sujeto 3	24	d5	0.047	0.058	0.07	0.052	0.078	0.078
Adultos Sanos	Sujeto 3	24	d4	0.135	0.212	0.167	0.35	0.224	0.144
Adultos Sanos	Sujeto 3	24	d3	0.062	0.086	0.075	0.129	0.078	0.066
Adultos Sanos	Sujeto 3	24	d2	0.011	0.014	0.01	0.008	0.009	0.008
Adultos Sanos	Sujeto 3	24	d1	0.001	0.001	0	0	0	0
Adultos Sanos	Sujeto 4	1	s6	0.651	0.626	0.554	0.587	0.465	0.484
Adultos Sanos	Sujeto 4	1	d6	0.048	0.067	0.08	0.078	0.093	0.093
Adultos Sanos	Sujeto 4	1	d5	0.028	0.042	0.036	0.036	0.052	0.034
Adultos Sanos	Sujeto 4	1	d4	0.194	0.176	0.225	0.217	0.279	0.28
Adultos Sanos	Sujeto 4	1	d3	0.057	0.066	0.081	0.068	0.087	0.092
Adultos Sanos	Sujeto 4	1	d2	0.021	0.022	0.023	0.014	0.023	0.017
Adultos Sanos	Sujeto 4	1	d1	0.001	0.001	0.001	0.001	0.001	0.001
Adultos Sanos	Sujeto 4	2	s6	0.619	0.562	0.632	0.657	0.545	0.566
Adultos Sanos	Sujeto 4	2	d6	0.067	0.096	0.041	0.031	0.053	0.028
Adultos Sanos	Sujeto 4	2	d5	0.08	0.089	0.056	0.069	0.103	0.068
Adultos Sanos	Sujeto 4	2	d4	0.155	0.167	0.186	0.166	0.218	0.248
Adultos Sanos	Sujeto 4	2	d3	0.055	0.069	0.069	0.061	0.064	0.074
Adultos Sanos	Sujeto 4	2	d2	0.023	0.017	0.016	0.014	0.016	0.014
Adultos Sanos	Sujeto 4	2	d1	0.001	0.001	0.001	0.001	0.001	0.001
Adultos Sanos	Sujeto 4	3	s6	0.574	0.585	0.525	0.525	0.455	0.519
Adultos Sanos	Sujeto 4	3	d6	0.082	0.051	0.119	0.09	0.127	0.103
Adultos Sanos	Sujeto 4	3	d5	0.067	0.099	0.04	0.064	0.083	0.047
Adultos Sanos	Sujeto 4	3	d4	0.157	0.164	0.207	0.215	0.217	0.228
Adultos Sanos	Sujeto 4	3	d3	0.093	0.078	0.089	0.088	0.098	0.086
Adultos Sanos	Sujeto 4	3	d2	0.025	0.021	0.019	0.017	0.02	0.016
Adultos Sanos	Sujeto 4	3	d1	0.002	0.001	0.001	0.001	0.001	0.001
Adultos Sanos	Sujeto 4	4	s6	0.643	0.621	0.4	0.544	0.481	0.387
Adultos Sanos	Sujeto 4	4	d6	0.023	0.084	0.035	0.049	0.049	0.029
Adultos Sanos	Sujeto 4	4	d5	0.058	0.078	0.039	0.06	0.092	0.056
Adultos Sanos	Sujeto 4	4	d4	0.204	0.15	0.423	0.262	0.293	0.435
Adultos Sanos	Sujeto 4	4	d3	0.054	0.051	0.087	0.07	0.068	0.077
Adultos Sanos	Sujeto 4	4	d2	0.017	0.015	0.015	0.014	0.017	0.015
Adultos Sanos	Sujeto 4	4	d1	0.001	0.001	0.001	0.001	0.001	0.001
Adultos Sanos	Sujeto 4	5	s6	0.468	0.363	0.339	0.318	0.254	0.273
Adultos Sanos	Sujeto 4	5	d6	0.13	0.188	0.084	0.099	0.167	0.11
Adultos Sanos	Sujeto 4	5	d5	0.092	0.092	0.069	0.066	0.116	0.082
Adultos Sanos	Sujeto 4	5	d4	0.215	0.275	0.393	0.421	0.35	0.428
Adultos Sanos	Sujeto 4	5	d3	0.075	0.058	0.095	0.079	0.09	0.09
Adultos Sanos	Sujeto 4	5	d2	0.019	0.023	0.018	0.016	0.021	0.017
Adultos Sanos	Sujeto 4	5	d1	0.001	0.001	0.001	0.001	0.001	0.001
Adultos Sanos	Sujeto 4	6	s6	0.718	0.597	0.651	0.516	0.516	0.578
Adultos Sanos	Sujeto 4	6	d6	0.065	0.137	0.045	0.099	0.132	0.083
Adultos Sanos	Sujeto 4	6	d5	0.066	0.09	0.091	0.084	0.114	0.09
Adultos Sanos	Sujeto 4	6	d4	0.085	0.115	0.136	0.219	0.17	0.172
Adultos Sanos	Sujeto 4	6	d3	0.048	0.044	0.056	0.066	0.051	0.062

ANEXO 3

Grupo	Sujeto	Segmento	coef	C3	C4	P3	P4	Cz	Pz
Adultos Sanos	Sujeto 4	6	d2	0.017	0.016	0.02	0.015	0.017	0.014
Adultos Sanos	Sujeto 4	6	d1	0.001	0.001	0.001	0.001	0.001	0.001
Adultos Sanos	Sujeto 4	7	s6	0.754	0.695	0.726	0.692	0.627	0.69
Adultos Sanos	Sujeto 4	7	d6	0.024	0.045	0.039	0.062	0.034	0.044
Adultos Sanos	Sujeto 4	7	d5	0.052	0.052	0.046	0.044	0.065	0.045
Adultos Sanos	Sujeto 4	7	d4	0.097	0.13	0.106	0.127	0.172	0.139
Adultos Sanos	Sujeto 4	7	d3	0.06	0.063	0.068	0.063	0.087	0.07
Adultos Sanos	Sujeto 4	7	d2	0.012	0.014	0.014	0.011	0.015	0.012
Adultos Sanos	Sujeto 4	7	d1	0.001	0.001	0.001	0.001	0.001	0.001
Adultos Sanos	Sujeto 4	8	s6	0.718	0.685	0.634	0.61	0.662	0.569
Adultos Sanos	Sujeto 4	8	d6	0.072	0.066	0.057	0.072	0.078	0.068
Adultos Sanos	Sujeto 4	8	d5	0.044	0.046	0.05	0.046	0.047	0.055
Adultos Sanos	Sujeto 4	8	d4	0.091	0.137	0.153	0.184	0.139	0.204
Adultos Sanos	Sujeto 4	8	d3	0.057	0.051	0.087	0.073	0.059	0.088
Adultos Sanos	Sujeto 4	8	d2	0.017	0.015	0.019	0.014	0.014	0.015
Adultos Sanos	Sujeto 4	8	d1	0.001	0.001	0.001	0.001	0.001	0.001
Adultos Sanos	Sujeto 4	9	s6	0.591	0.448	0.481	0.448	0.391	0.371
Adultos Sanos	Sujeto 4	9	d6	0.075	0.17	0.083	0.1	0.157	0.093
Adultos Sanos	Sujeto 4	9	d5	0.049	0.068	0.051	0.074	0.067	0.067
Adultos Sanos	Sujeto 4	9	d4	0.187	0.221	0.255	0.281	0.282	0.346
Adultos Sanos	Sujeto 4	9	d3	0.077	0.076	0.107	0.081	0.086	0.106
Adultos Sanos	Sujeto 4	9	d2	0.019	0.016	0.021	0.014	0.015	0.016
Adultos Sanos	Sujeto 4	9	d1	0.001	0.002	0.002	0.001	0.002	0.002
Adultos Sanos	Sujeto 4	10	s6	0.63	0.565	0.604	0.587	0.558	0.557
Adultos Sanos	Sujeto 4	10	d6	0.07	0.036	0.056	0.047	0.052	0.051
Adultos Sanos	Sujeto 4	10	d5	0.106	0.075	0.078	0.078	0.13	0.083
Adultos Sanos	Sujeto 4	10	d4	0.12	0.174	0.162	0.167	0.15	0.199
Adultos Sanos	Sujeto 4	10	d3	0.044	0.121	0.074	0.096	0.078	0.086
Adultos Sanos	Sujeto 4	10	d2	0.03	0.028	0.025	0.025	0.03	0.023
Adultos Sanos	Sujeto 4	10	d1	0.001	0.001	0.001	0.001	0.001	0.001
Adultos Sanos	Sujeto 4	11	s6	0.659	0.645	0.614	0.63	0.633	0.585
Adultos Sanos	Sujeto 4	11	d6	0.039	0.034	0.016	0.023	0.031	0.017
Adultos Sanos	Sujeto 4	11	d5	0.115	0.084	0.083	0.055	0.127	0.072
Adultos Sanos	Sujeto 4	11	d4	0.125	0.175	0.218	0.232	0.157	0.257
Adultos Sanos	Sujeto 4	11	d3	0.047	0.046	0.055	0.049	0.039	0.059
Adultos Sanos	Sujeto 4	11	d2	0.014	0.015	0.013	0.01	0.012	0.01
Adultos Sanos	Sujeto 4	11	d1	0.001	0.001	0.001	0.001	0.001	0.001
Adultos Sanos	Sujeto 4	12	s6	0.549	0.4	0.359	0.415	0.398	0.334
Adultos Sanos	Sujeto 4	12	d6	0.109	0.124	0.091	0.094	0.095	0.089
Adultos Sanos	Sujeto 4	12	d5	0.051	0.072	0.049	0.034	0.084	0.038
Adultos Sanos	Sujeto 4	12	d4	0.202	0.272	0.369	0.322	0.306	0.385
Adultos Sanos	Sujeto 4	12	d3	0.071	0.108	0.115	0.118	0.098	0.138
Adultos Sanos	Sujeto 4	12	d2	0.017	0.023	0.016	0.016	0.018	0.014
Adultos Sanos	Sujeto 4	12	d1	0.001	0.001	0.001	0.001	0.001	0.001
Adultos Sanos	Sujeto 4	13	s6	0.678	0.605	0.527	0.492	0.648	0.53
Adultos Sanos	Sujeto 4	13	d6	0.061	0.074	0.103	0.095	0.06	0.107
Adultos Sanos	Sujeto 4	13	d5	0.06	0.056	0.069	0.055	0.059	0.062
Adultos Sanos	Sujeto 4	13	d4	0.136	0.182	0.195	0.254	0.168	0.209
Adultos Sanos	Sujeto 4	13	d3	0.044	0.057	0.082	0.082	0.045	0.071
Adultos Sanos	Sujeto 4	13	d2	0.02	0.025	0.023	0.02	0.02	0.02
Adultos Sanos	Sujeto 4	13	d1	0.001	0.001	0.001	0.001	0.001	0.001
Adultos Sanos	Sujeto 4	14	s6	0.492	0.476	0.519	0.53	0.426	0.508
Adultos Sanos	Sujeto 4	14	d6	0.167	0.087	0.096	0.069	0.124	0.067
Adultos Sanos	Sujeto 4	14	d5	0.102	0.12	0.106	0.093	0.129	0.107
Adultos Sanos	Sujeto 4	14	d4	0.123	0.212	0.184	0.215	0.209	0.222
Adultos Sanos	Sujeto 4	14	d3	0.091	0.079	0.07	0.076	0.088	0.077
Adultos Sanos	Sujeto 4	14	d2	0.023	0.026	0.024	0.016	0.023	0.018
Adultos Sanos	Sujeto 4	14	d1	0.001	0.001	0.001	0.001	0.001	0.001
Adultos Sanos	Sujeto 4	15	s6	0.499	0.542	0.458	0.38	0.417	0.352
Adultos Sanos	Sujeto 4	15	d6	0.1	0.096	0.114	0.095	0.118	0.095
Adultos Sanos	Sujeto 4	15	d5	0.051	0.033	0.029	0.042	0.043	0.036
Adultos Sanos	Sujeto 4	15	d4	0.222	0.196	0.235	0.293	0.286	0.325
Adultos Sanos	Sujeto 4	15	d3	0.092	0.104	0.128	0.164	0.102	0.165
Adultos Sanos	Sujeto 4	15	d2	0.035	0.028	0.034	0.025	0.033	0.027

ANEXO 3

Grupo	Sujeto	Segmento	coef	C3	C4	P3	P4	Cz	Pz
Adultos Sanos	Sujeto 4	15	d1	0.002	0.001	0.001	0.001	0.001	0.001
Adultos Sanos	Sujeto 4	16	s6	0.647	0.551	0.568	0.538	0.541	0.501
Adultos Sanos	Sujeto 4	16	d6	0.04	0.063	0.093	0.083	0.056	0.097
Adultos Sanos	Sujeto 4	16	d5	0.05	0.059	0.052	0.053	0.051	0.053
Adultos Sanos	Sujeto 4	16	d4	0.172	0.206	0.197	0.223	0.241	0.246
Adultos Sanos	Sujeto 4	16	d3	0.076	0.105	0.074	0.089	0.097	0.09
Adultos Sanos	Sujeto 4	16	d2	0.013	0.017	0.016	0.013	0.013	0.012
Adultos Sanos	Sujeto 4	16	d1	0.002	0.001	0.001	0	0.001	0.001
Adultos Sanos	Sujeto 4	17	s6	0.621	0.596	0.581	0.519	0.544	0.523
Adultos Sanos	Sujeto 4	17	d6	0.011	0.009	0.006	0.005	0.019	0.006
Adultos Sanos	Sujeto 4	17	d5	0.093	0.084	0.064	0.041	0.114	0.06
Adultos Sanos	Sujeto 4	17	d4	0.171	0.217	0.263	0.332	0.211	0.306
Adultos Sanos	Sujeto 4	17	d3	0.084	0.075	0.071	0.088	0.093	0.089
Adultos Sanos	Sujeto 4	17	d2	0.019	0.018	0.015	0.015	0.019	0.015
Adultos Sanos	Sujeto 4	17	d1	0.001	0.001	0	0	0.001	0
Adultos Sanos	Sujeto 4	18	s6	0.596	0.511	0.56	0.475	0.486	0.517
Adultos Sanos	Sujeto 4	18	d6	0.067	0.028	0.054	0.026	0.039	0.034
Adultos Sanos	Sujeto 4	18	d5	0.088	0.12	0.088	0.095	0.148	0.096
Adultos Sanos	Sujeto 4	18	d4	0.174	0.237	0.197	0.277	0.237	0.243
Adultos Sanos	Sujeto 4	18	d3	0.06	0.087	0.08	0.113	0.072	0.095
Adultos Sanos	Sujeto 4	18	d2	0.014	0.016	0.019	0.014	0.017	0.016
Adultos Sanos	Sujeto 4	18	d1	0.001	0.001	0.001	0.001	0.001	0.001
Adultos Sanos	Sujeto 4	19	s6	0.653	0.574	0.549	0.518	0.493	0.517
Adultos Sanos	Sujeto 4	19	d6	0.085	0.158	0.089	0.1	0.14	0.081
Adultos Sanos	Sujeto 4	19	d5	0.09	0.074	0.079	0.049	0.119	0.073
Adultos Sanos	Sujeto 4	19	d4	0.119	0.12	0.189	0.222	0.174	0.222
Adultos Sanos	Sujeto 4	19	d3	0.042	0.058	0.078	0.095	0.059	0.092
Adultos Sanos	Sujeto 4	19	d2	0.011	0.016	0.016	0.015	0.015	0.014
Adultos Sanos	Sujeto 4	19	d1	0.001	0.001	0.001	0.001	0.001	0.001
Adultos Sanos	Sujeto 4	20	s6	0.739	0.67	0.595	0.651	0.674	0.614
Adultos Sanos	Sujeto 4	20	d6	0.026	0.081	0.025	0.05	0.059	0.032
Adultos Sanos	Sujeto 4	20	d5	0.062	0.056	0.07	0.06	0.072	0.067
Adultos Sanos	Sujeto 4	20	d4	0.117	0.118	0.236	0.17	0.134	0.215
Adultos Sanos	Sujeto 4	20	d3	0.041	0.06	0.06	0.056	0.05	0.059
Adultos Sanos	Sujeto 4	20	d2	0.014	0.014	0.014	0.013	0.011	0.012
Adultos Sanos	Sujeto 4	20	d1	0.001	0.001	0.001	0.001	0.001	0.001
Adultos Sanos	Sujeto 4	21	s6	0.453	0.442	0.501	0.363	0.398	0.412
Adultos Sanos	Sujeto 4	21	d6	0.084	0.093	0.079	0.073	0.094	0.071
Adultos Sanos	Sujeto 4	21	d5	0.038	0.035	0.02	0.019	0.04	0.016
Adultos Sanos	Sujeto 4	21	d4	0.259	0.275	0.253	0.359	0.301	0.322
Adultos Sanos	Sujeto 4	21	d3	0.142	0.139	0.126	0.17	0.149	0.162
Adultos Sanos	Sujeto 4	21	d2	0.023	0.015	0.021	0.016	0.018	0.018
Adultos Sanos	Sujeto 4	21	d1	0.001	0	0	0	0	0
Adultos Sanos	Sujeto 4	22	s6	0.632	0.532	0.436	0.468	0.536	0.464
Adultos Sanos	Sujeto 4	22	d6	0.087	0.07	0.075	0.066	0.098	0.065
Adultos Sanos	Sujeto 4	22	d5	0.061	0.057	0.047	0.051	0.065	0.038
Adultos Sanos	Sujeto 4	22	d4	0.142	0.228	0.333	0.313	0.195	0.332
Adultos Sanos	Sujeto 4	22	d3	0.061	0.099	0.089	0.089	0.089	0.086
Adultos Sanos	Sujeto 4	22	d2	0.015	0.014	0.019	0.013	0.016	0.015
Adultos Sanos	Sujeto 4	22	d1	0.001	0.001	0.001	0.001	0.001	0.001
Adultos Sanos	Sujeto 4	23	s6	0.645	0.605	0.615	0.588	0.499	0.514
Adultos Sanos	Sujeto 4	23	d6	0.031	0.043	0.022	0.036	0.039	0.03
Adultos Sanos	Sujeto 4	23	d5	0.092	0.073	0.077	0.067	0.102	0.077
Adultos Sanos	Sujeto 4	23	d4	0.154	0.201	0.21	0.238	0.274	0.297
Adultos Sanos	Sujeto 4	23	d3	0.064	0.063	0.06	0.057	0.072	0.067
Adultos Sanos	Sujeto 4	23	d2	0.012	0.015	0.015	0.014	0.014	0.014
Adultos Sanos	Sujeto 4	23	d1	0.001	0.001	0.001	0.001	0.001	0.001
Adultos Sanos	Sujeto 4	24	s6	0.667	0.583	0.583	0.553	0.505	0.545
Adultos Sanos	Sujeto 4	24	d6	0.037	0.053	0.051	0.066	0.055	0.06
Adultos Sanos	Sujeto 4	24	d5	0.088	0.148	0.086	0.112	0.135	0.1
Adultos Sanos	Sujeto 4	24	d4	0.1	0.108	0.162	0.157	0.156	0.176
Adultos Sanos	Sujeto 4	24	d3	0.083	0.085	0.095	0.091	0.118	0.097
Adultos Sanos	Sujeto 4	24	d2	0.024	0.022	0.023	0.021	0.03	0.021
Adultos Sanos	Sujeto 4	24	d1	0.001	0.001	0.001	0.001	0.001	0.001

ANEXO 3

Grupo	Sujeto	Segmento	coef	C3	C4	P3	P4	Cz	Pz
Niños Sanos	Sujeto 1	1	s6	0.137	0.231	0.176	0.227	0.133	0.168
Niños Sanos	Sujeto 1	1	d6	0.094	0.154	0.133	0.116	0.177	0.163
Niños Sanos	Sujeto 1	1	d5	0.24	0.195	0.271	0.109	0.198	0.286
Niños Sanos	Sujeto 1	1	d4	0.394	0.351	0.317	0.436	0.377	0.289
Niños Sanos	Sujeto 1	1	d3	0.123	0.061	0.092	0.104	0.106	0.085
Niños Sanos	Sujeto 1	1	d2	0.009	0.008	0.01	0.008	0.007	0.008
Niños Sanos	Sujeto 1	1	d1	0.002	0	0.001	0	0.002	0.001
Niños Sanos	Sujeto 1	2	s6	0.484	0.261	0.404	0.354	0.287	0.355
Niños Sanos	Sujeto 1	2	d6	0.072	0.062	0.105	0.092	0.107	0.075
Niños Sanos	Sujeto 1	2	d5	0.12	0.063	0.079	0.099	0.069	0.081
Niños Sanos	Sujeto 1	2	d4	0.256	0.503	0.307	0.373	0.424	0.387
Niños Sanos	Sujeto 1	2	d3	0.061	0.104	0.096	0.075	0.106	0.094
Niños Sanos	Sujeto 1	2	d2	0.007	0.006	0.009	0.006	0.007	0.008
Niños Sanos	Sujeto 1	2	d1	0	0	0	0	0	0
Niños Sanos	Sujeto 1	3	s6	0.25	0.209	0.209	0.304	0.167	0.239
Niños Sanos	Sujeto 1	3	d6	0.1	0.097	0.114	0.087	0.112	0.114
Niños Sanos	Sujeto 1	3	d5	0.129	0.166	0.126	0.181	0.109	0.109
Niños Sanos	Sujeto 1	3	d4	0.442	0.425	0.449	0.368	0.493	0.452
Niños Sanos	Sujeto 1	3	d3	0.069	0.095	0.096	0.053	0.112	0.08
Niños Sanos	Sujeto 1	3	d2	0.009	0.007	0.006	0.007	0.007	0.005
Niños Sanos	Sujeto 1	3	d1	0	0	0	0	0	0
Niños Sanos	Sujeto 1	4	s6	0.24	0.296	0.25	0.202	0.285	0.225
Niños Sanos	Sujeto 1	4	d6	0.166	0.101	0.142	0.125	0.154	0.125
Niños Sanos	Sujeto 1	4	d5	0.136	0.112	0.152	0.11	0.154	0.149
Niños Sanos	Sujeto 1	4	d4	0.314	0.39	0.35	0.477	0.314	0.407
Niños Sanos	Sujeto 1	4	d3	0.13	0.094	0.092	0.08	0.083	0.086
Niños Sanos	Sujeto 1	4	d2	0.014	0.006	0.014	0.006	0.009	0.008
Niños Sanos	Sujeto 1	4	d1	0	0	0	0	0	0
Niños Sanos	Sujeto 1	5	s6	0.212	0.231	0.194	0.211	0.179	0.219
Niños Sanos	Sujeto 1	5	d6	0.109	0.169	0.076	0.084	0.093	0.082
Niños Sanos	Sujeto 1	5	d5	0.143	0.155	0.109	0.151	0.103	0.084
Niños Sanos	Sujeto 1	5	d4	0.411	0.318	0.509	0.462	0.511	0.52
Niños Sanos	Sujeto 1	5	d3	0.111	0.1	0.104	0.079	0.104	0.087
Niños Sanos	Sujeto 1	5	d2	0.013	0.02	0.008	0.011	0.01	0.007
Niños Sanos	Sujeto 1	5	d1	0.001	0.006	0.001	0.002	0.001	0.001
Niños Sanos	Sujeto 1	6	s6	0.258	0.407	0.202	0.294	0.292	0.228
Niños Sanos	Sujeto 1	6	d6	0.126	0.149	0.194	0.161	0.111	0.145
Niños Sanos	Sujeto 1	6	d5	0.164	0.151	0.17	0.161	0.198	0.179
Niños Sanos	Sujeto 1	6	d4	0.352	0.21	0.338	0.301	0.301	0.349
Niños Sanos	Sujeto 1	6	d3	0.093	0.075	0.09	0.076	0.092	0.092
Niños Sanos	Sujeto 1	6	d2	0.008	0.008	0.006	0.006	0.007	0.006
Niños Sanos	Sujeto 1	6	d1	0	0	0	0	0	0
Niños Sanos	Sujeto 1	7	s6	0.355	0.432	0.279	0.362	0.358	0.32
Niños Sanos	Sujeto 1	7	d6	0.123	0.074	0.137	0.072	0.084	0.103
Niños Sanos	Sujeto 1	7	d5	0.103	0.128	0.112	0.183	0.128	0.142
Niños Sanos	Sujeto 1	7	d4	0.334	0.284	0.371	0.299	0.351	0.351
Niños Sanos	Sujeto 1	7	d3	0.077	0.072	0.093	0.076	0.073	0.077
Niños Sanos	Sujeto 1	7	d2	0.008	0.01	0.007	0.008	0.006	0.006
Niños Sanos	Sujeto 1	7	d1	0	0	0	0	0	0
Niños Sanos	Sujeto 1	8	s6	0.165	0.244	0.127	0.231	0.22	0.194
Niños Sanos	Sujeto 1	8	d6	0.146	0.199	0.152	0.176	0.142	0.197
Niños Sanos	Sujeto 1	8	d5	0.22	0.238	0.224	0.271	0.191	0.23
Niños Sanos	Sujeto 1	8	d4	0.365	0.234	0.412	0.236	0.344	0.307
Niños Sanos	Sujeto 1	8	d3	0.094	0.078	0.078	0.077	0.094	0.066
Niños Sanos	Sujeto 1	8	d2	0.009	0.008	0.006	0.009	0.008	0.006
Niños Sanos	Sujeto 1	8	d1	0	0	0	0	0	0
Niños Sanos	Sujeto 1	9	s6	0.346	0.407	0.266	0.352	0.255	0.213
Niños Sanos	Sujeto 1	9	d6	0.124	0.08	0.183	0.065	0.069	0.108
Niños Sanos	Sujeto 1	9	d5	0.177	0.226	0.142	0.227	0.169	0.172
Niños Sanos	Sujeto 1	9	d4	0.275	0.211	0.342	0.275	0.407	0.417
Niños Sanos	Sujeto 1	9	d3	0.068	0.066	0.061	0.071	0.091	0.084
Niños Sanos	Sujeto 1	9	d2	0.009	0.009	0.006	0.009	0.007	0.006
Niños Sanos	Sujeto 1	9	d1	0	0	0	0	0	0
Niños Sanos	Sujeto 1	10	s6	0.474	0.363	0.321	0.35	0.4	0.388

ANEXO 3

Grupo	Sujeto	Segmento	coef	C3	C4	P3	P4	Cz	Pz
Niños Sanos	Sujeto 1	10	d6	0.044	0.145	0.059	0.103	0.097	0.098
Niños Sanos	Sujeto 1	10	d5	0.106	0.137	0.17	0.206	0.17	0.259
Niños Sanos	Sujeto 1	10	d4	0.314	0.284	0.38	0.265	0.283	0.213
Niños Sanos	Sujeto 1	10	d3	0.052	0.063	0.063	0.071	0.044	0.038
Niños Sanos	Sujeto 1	10	d2	0.008	0.009	0.006	0.005	0.006	0.004
Niños Sanos	Sujeto 1	10	d1	0.001	0	0.001	0	0	0
Niños Sanos	Sujeto 1	11	s6	0.299	0.33	0.304	0.302	0.254	0.368
Niños Sanos	Sujeto 1	11	d6	0.153	0.099	0.174	0.117	0.076	0.095
Niños Sanos	Sujeto 1	11	d5	0.136	0.188	0.205	0.218	0.127	0.223
Niños Sanos	Sujeto 1	11	d4	0.318	0.304	0.249	0.289	0.435	0.247
Niños Sanos	Sujeto 1	11	d3	0.087	0.069	0.059	0.068	0.1	0.059
Niños Sanos	Sujeto 1	11	d2	0.006	0.009	0.009	0.005	0.006	0.008
Niños Sanos	Sujeto 1	11	d1	0	0	0	0	0	0
Niños Sanos	Sujeto 1	12	s6	0.322	0.206	0.29	0.213	0.186	0.257
Niños Sanos	Sujeto 1	12	d6	0.177	0.165	0.103	0.083	0.152	0.076
Niños Sanos	Sujeto 1	12	d5	0.177	0.14	0.244	0.156	0.11	0.188
Niños Sanos	Sujeto 1	12	d4	0.266	0.397	0.305	0.472	0.458	0.407
Niños Sanos	Sujeto 1	12	d3	0.049	0.083	0.051	0.071	0.082	0.065
Niños Sanos	Sujeto 1	12	d2	0.008	0.008	0.007	0.005	0.01	0.006
Niños Sanos	Sujeto 1	12	d1	0	0	0	0	0	0
Niños Sanos	Sujeto 1	13	s6	0.62	0.486	0.649	0.552	0.364	0.561
Niños Sanos	Sujeto 1	13	d6	0.09	0.074	0.068	0.07	0.144	0.111
Niños Sanos	Sujeto 1	13	d5	0.082	0.133	0.085	0.075	0.117	0.078
Niños Sanos	Sujeto 1	13	d4	0.147	0.221	0.155	0.238	0.274	0.195
Niños Sanos	Sujeto 1	13	d3	0.054	0.079	0.038	0.06	0.093	0.051
Niños Sanos	Sujeto 1	13	d2	0.007	0.006	0.005	0.005	0.007	0.004
Niños Sanos	Sujeto 1	13	d1	0	0	0	0	0	0
Niños Sanos	Sujeto 1	14	s6	0.276	0.36	0.379	0.296	0.276	0.405
Niños Sanos	Sujeto 1	14	d6	0.182	0.06	0.083	0.102	0.084	0.056
Niños Sanos	Sujeto 1	14	d5	0.15	0.17	0.124	0.069	0.225	0.12
Niños Sanos	Sujeto 1	14	d4	0.288	0.313	0.329	0.438	0.3	0.339
Niños Sanos	Sujeto 1	14	d3	0.093	0.086	0.077	0.085	0.099	0.071
Niños Sanos	Sujeto 1	14	d2	0.011	0.01	0.009	0.009	0.015	0.008
Niños Sanos	Sujeto 1	14	d1	0	0	0	0	0	0
Niños Sanos	Sujeto 1	15	s6	0.464	0.415	0.448	0.339	0.326	0.355
Niños Sanos	Sujeto 1	15	d6	0.024	0.016	0.021	0.014	0.024	0.022
Niños Sanos	Sujeto 1	15	d5	0.146	0.103	0.072	0.067	0.1	0.069
Niños Sanos	Sujeto 1	15	d4	0.281	0.363	0.354	0.475	0.445	0.455
Niños Sanos	Sujeto 1	15	d3	0.067	0.088	0.092	0.092	0.095	0.087
Niños Sanos	Sujeto 1	15	d2	0.017	0.014	0.013	0.013	0.01	0.011
Niños Sanos	Sujeto 1	15	d1	0.001	0.001	0	0	0	0
Niños Sanos	Sujeto 1	16	s6	0.508	0.54	0.543	0.473	0.387	0.436
Niños Sanos	Sujeto 1	16	d6	0.139	0.088	0.126	0.113	0.149	0.14
Niños Sanos	Sujeto 1	16	d5	0.143	0.109	0.137	0.084	0.156	0.137
Niños Sanos	Sujeto 1	16	d4	0.15	0.194	0.136	0.266	0.249	0.236
Niños Sanos	Sujeto 1	16	d3	0.048	0.058	0.048	0.055	0.052	0.044
Niños Sanos	Sujeto 1	16	d2	0.011	0.01	0.009	0.009	0.008	0.007
Niños Sanos	Sujeto 1	16	d1	0	0	0	0	0	0
Niños Sanos	Sujeto 1	17	s6	0.493	0.505	0.494	0.388	0.485	0.471
Niños Sanos	Sujeto 1	17	d6	0.123	0.091	0.074	0.041	0.101	0.079
Niños Sanos	Sujeto 1	17	d5	0.095	0.108	0.07	0.092	0.138	0.1
Niños Sanos	Sujeto 1	17	d4	0.238	0.227	0.29	0.392	0.224	0.293
Niños Sanos	Sujeto 1	17	d3	0.045	0.059	0.064	0.079	0.044	0.05
Niños Sanos	Sujeto 1	17	d2	0.006	0.009	0.007	0.007	0.008	0.006
Niños Sanos	Sujeto 1	17	d1	0	0	0	0	0	0
Niños Sanos	Sujeto 1	18	s6	0.34	0.388	0.485	0.477	0.267	0.465
Niños Sanos	Sujeto 1	18	d6	0.031	0.054	0.073	0.069	0.101	0.094
Niños Sanos	Sujeto 1	18	d5	0.164	0.108	0.089	0.077	0.221	0.083
Niños Sanos	Sujeto 1	18	d4	0.379	0.339	0.291	0.287	0.321	0.283
Niños Sanos	Sujeto 1	18	d3	0.075	0.098	0.054	0.083	0.08	0.069
Niños Sanos	Sujeto 1	18	d2	0.009	0.012	0.008	0.007	0.009	0.006
Niños Sanos	Sujeto 1	18	d1	0	0	0	0	0	0
Niños Sanos	Sujeto 1	19	s6	0.45	0.398	0.389	0.35	0.265	0.329
Niños Sanos	Sujeto 1	19	d6	0.073	0.084	0.148	0.067	0.17	0.129

ANEXO 3

Grupo	Sujeto	Segmento	coef	C3	C4	P3	P4	Cz	Pz
Niños Sanos	Sujeto 1	19	d5	0.179	0.156	0.181	0.132	0.181	0.152
Niños Sanos	Sujeto 1	19	d4	0.236	0.257	0.222	0.343	0.303	0.311
Niños Sanos	Sujeto 1	19	d3	0.052	0.097	0.053	0.1	0.071	0.074
Niños Sanos	Sujeto 1	19	d2	0.01	0.009	0.006	0.008	0.009	0.005
Niños Sanos	Sujeto 1	19	d1	0	0	0	0	0	0
Niños Sanos	Sujeto 1	20	s6	0.441	0.549	0.415	0.432	0.409	0.463
Niños Sanos	Sujeto 1	20	d6	0.041	0.059	0.099	0.072	0.012	0.057
Niños Sanos	Sujeto 1	20	d5	0.094	0.054	0.056	0.13	0.08	0.083
Niños Sanos	Sujeto 1	20	d4	0.314	0.252	0.338	0.283	0.397	0.316
Niños Sanos	Sujeto 1	20	d3	0.099	0.073	0.081	0.071	0.091	0.07
Niños Sanos	Sujeto 1	20	d2	0.011	0.013	0.011	0.012	0.011	0.01
Niños Sanos	Sujeto 1	20	d1	0.001	0.001	0	0	0	0
Niños Sanos	Sujeto 1	21	s6	0.269	0.308	0.257	0.244	0.225	0.303
Niños Sanos	Sujeto 1	21	d6	0.038	0.029	0.071	0.066	0.058	0.091
Niños Sanos	Sujeto 1	21	d5	0.104	0.066	0.131	0.081	0.107	0.1
Niños Sanos	Sujeto 1	21	d4	0.498	0.479	0.448	0.493	0.511	0.412
Niños Sanos	Sujeto 1	21	d3	0.075	0.103	0.081	0.107	0.086	0.084
Niños Sanos	Sujeto 1	21	d2	0.014	0.014	0.012	0.01	0.013	0.009
Niños Sanos	Sujeto 1	21	d1	0.001	0.001	0.001	0	0.001	0
Niños Sanos	Sujeto 1	22	s6	0.376	0.387	0.485	0.422	0.42	0.518
Niños Sanos	Sujeto 1	22	d6	0.106	0.019	0.049	0.023	0.019	0.02
Niños Sanos	Sujeto 1	22	d5	0.104	0.097	0.088	0.079	0.12	0.094
Niños Sanos	Sujeto 1	22	d4	0.322	0.38	0.278	0.366	0.341	0.275
Niños Sanos	Sujeto 1	22	d3	0.075	0.098	0.083	0.099	0.083	0.081
Niños Sanos	Sujeto 1	22	d2	0.017	0.017	0.016	0.012	0.018	0.012
Niños Sanos	Sujeto 1	22	d1	0	0	0	0	0.001	0
Niños Sanos	Sujeto 1	23	s6	0.439	0.446	0.527	0.401	0.412	0.436
Niños Sanos	Sujeto 1	23	d6	0.118	0.071	0.078	0.058	0.139	0.094
Niños Sanos	Sujeto 1	23	d5	0.249	0.232	0.199	0.167	0.201	0.206
Niños Sanos	Sujeto 1	23	d4	0.118	0.18	0.124	0.306	0.178	0.195
Niños Sanos	Sujeto 1	23	d3	0.069	0.063	0.06	0.063	0.063	0.06
Niños Sanos	Sujeto 1	23	d2	0.007	0.008	0.011	0.005	0.007	0.008
Niños Sanos	Sujeto 1	23	d1	0	0	0	0	0	0
Niños Sanos	Sujeto 1	24	s6	0.411	0.422	0.399	0.322	0.304	0.343
Niños Sanos	Sujeto 1	24	d6	0.146	0.078	0.081	0.061	0.042	0.056
Niños Sanos	Sujeto 1	24	d5	0.138	0.122	0.092	0.105	0.214	0.18
Niños Sanos	Sujeto 1	24	d4	0.25	0.302	0.32	0.407	0.35	0.308
Niños Sanos	Sujeto 1	24	d3	0.044	0.059	0.089	0.093	0.073	0.098
Niños Sanos	Sujeto 1	24	d2	0.012	0.016	0.017	0.011	0.017	0.014
Niños Sanos	Sujeto 1	24	d1	0	0.001	0.001	0	0.001	0.001
Niños Sanos	Sujeto 2	1	s6	0.615	0.589	0.577	0.531	0.517	0.55
Niños Sanos	Sujeto 2	1	d6	0.031	0.01	0.049	0.025	0.039	0.022
Niños Sanos	Sujeto 2	1	d5	0.154	0.108	0.107	0.088	0.197	0.106
Niños Sanos	Sujeto 2	1	d4	0.152	0.235	0.207	0.294	0.212	0.267
Niños Sanos	Sujeto 2	1	d3	0.045	0.054	0.057	0.059	0.032	0.052
Niños Sanos	Sujeto 2	1	d2	0.004	0.004	0.003	0.003	0.003	0.003
Niños Sanos	Sujeto 2	1	d1	0	0	0	0	0	0
Niños Sanos	Sujeto 2	2	s6	0.532	0.617	0.335	0.506	0.389	0.393
Niños Sanos	Sujeto 2	2	d6	0.041	0.055	0.058	0.038	0.091	0.06
Niños Sanos	Sujeto 2	2	d5	0.195	0.15	0.15	0.159	0.216	0.172
Niños Sanos	Sujeto 2	2	d4	0.164	0.133	0.354	0.233	0.239	0.303
Niños Sanos	Sujeto 2	2	d3	0.055	0.04	0.088	0.056	0.061	0.064
Niños Sanos	Sujeto 2	2	d2	0.009	0.005	0.011	0.006	0.004	0.006
Niños Sanos	Sujeto 2	2	d1	0.002	0	0.004	0.001	0	0.002
Niños Sanos	Sujeto 2	3	s6	0.531	0.687	0.55	0.576	0.443	0.502
Niños Sanos	Sujeto 2	3	d6	0.11	0.083	0.078	0.098	0.081	0.087
Niños Sanos	Sujeto 2	3	d5	0.113	0.109	0.078	0.092	0.228	0.1
Niños Sanos	Sujeto 2	3	d4	0.185	0.091	0.238	0.194	0.186	0.263
Niños Sanos	Sujeto 2	3	d3	0.055	0.024	0.05	0.035	0.056	0.044
Niños Sanos	Sujeto 2	3	d2	0.006	0.006	0.006	0.004	0.007	0.004
Niños Sanos	Sujeto 2	3	d1	0	0	0	0	0	0
Niños Sanos	Sujeto 2	4	s6	0.455	0.674	0.308	0.416	0.438	0.396
Niños Sanos	Sujeto 2	4	d6	0.235	0.096	0.25	0.157	0.194	0.186
Niños Sanos	Sujeto 2	4	d5	0.11	0.077	0.117	0.096	0.131	0.132

ANEXO 3

Grupo	Sujeto	Segmento	coef	C3	C4	P3	P4	Cz	Pz
Niños Sanos	Sujeto 2	4	d4	0.163	0.112	0.274	0.275	0.181	0.24
Niños Sanos	Sujeto 2	4	d3	0.032	0.037	0.048	0.053	0.049	0.043
Niños Sanos	Sujeto 2	4	d2	0.004	0.005	0.004	0.003	0.006	0.002
Niños Sanos	Sujeto 2	4	d1	0	0	0	0	0	0
Niños Sanos	Sujeto 2	5	s6	0.592	0.682	0.569	0.615	0.557	0.568
Niños Sanos	Sujeto 2	5	d6	0.123	0.133	0.094	0.106	0.153	0.085
Niños Sanos	Sujeto 2	5	d5	0.115	0.067	0.089	0.064	0.097	0.067
Niños Sanos	Sujeto 2	5	d4	0.119	0.086	0.185	0.174	0.145	0.226
Niños Sanos	Sujeto 2	5	d3	0.044	0.027	0.055	0.037	0.04	0.049
Niños Sanos	Sujeto 2	5	d2	0.006	0.004	0.007	0.005	0.007	0.006
Niños Sanos	Sujeto 2	5	d1	0	0	0	0	0	0
Niños Sanos	Sujeto 2	6	s6	0.547	0.676	0.414	0.522	0.514	0.453
Niños Sanos	Sujeto 2	6	d6	0.106	0.07	0.101	0.033	0.106	0.057
Niños Sanos	Sujeto 2	6	d5	0.141	0.099	0.165	0.131	0.166	0.177
Niños Sanos	Sujeto 2	6	d4	0.165	0.12	0.272	0.266	0.161	0.27
Niños Sanos	Sujeto 2	6	d3	0.035	0.031	0.043	0.046	0.046	0.04
Niños Sanos	Sujeto 2	6	d2	0.007	0.004	0.005	0.003	0.007	0.003
Niños Sanos	Sujeto 2	6	d1	0	0	0	0	0	0
Niños Sanos	Sujeto 2	7	s6	0.445	0.53	0.411	0.54	0.376	0.465
Niños Sanos	Sujeto 2	7	d6	0.142	0.109	0.085	0.056	0.132	0.075
Niños Sanos	Sujeto 2	7	d5	0.117	0.106	0.079	0.081	0.182	0.095
Niños Sanos	Sujeto 2	7	d4	0.245	0.196	0.359	0.264	0.249	0.299
Niños Sanos	Sujeto 2	7	d3	0.044	0.052	0.06	0.055	0.056	0.061
Niños Sanos	Sujeto 2	7	d2	0.006	0.006	0.006	0.004	0.005	0.004
Niños Sanos	Sujeto 2	7	d1	0	0	0	0	0	0
Niños Sanos	Sujeto 2	8	s6	0.657	0.628	0.44	0.483	0.495	0.483
Niños Sanos	Sujeto 2	8	d6	0.054	0.115	0.061	0.12	0.082	0.048
Niños Sanos	Sujeto 2	8	d5	0.127	0.116	0.115	0.067	0.198	0.081
Niños Sanos	Sujeto 2	8	d4	0.11	0.108	0.301	0.277	0.164	0.318
Niños Sanos	Sujeto 2	8	d3	0.045	0.027	0.076	0.047	0.054	0.065
Niños Sanos	Sujeto 2	8	d2	0.007	0.006	0.007	0.006	0.007	0.005
Niños Sanos	Sujeto 2	8	d1	0	0	0	0	0	0
Niños Sanos	Sujeto 2	9	s6	0.562	0.632	0.381	0.494	0.486	0.432
Niños Sanos	Sujeto 2	9	d6	0.078	0.035	0.046	0.027	0.089	0.046
Niños Sanos	Sujeto 2	9	d5	0.122	0.109	0.14	0.121	0.135	0.121
Niños Sanos	Sujeto 2	9	d4	0.189	0.17	0.361	0.29	0.224	0.328
Niños Sanos	Sujeto 2	9	d3	0.043	0.049	0.066	0.064	0.058	0.067
Niños Sanos	Sujeto 2	9	d2	0.006	0.005	0.006	0.004	0.007	0.005
Niños Sanos	Sujeto 2	9	d1	0	0	0	0	0	0
Niños Sanos	Sujeto 2	10	s6	0.502	0.592	0.391	0.465	0.349	0.385
Niños Sanos	Sujeto 2	10	d6	0.05	0.084	0.054	0.069	0.08	0.068
Niños Sanos	Sujeto 2	10	d5	0.123	0.096	0.114	0.092	0.21	0.095
Niños Sanos	Sujeto 2	10	d4	0.252	0.169	0.349	0.302	0.264	0.364
Niños Sanos	Sujeto 2	10	d3	0.066	0.051	0.084	0.065	0.09	0.082
Niños Sanos	Sujeto 2	10	d2	0.006	0.006	0.008	0.007	0.007	0.006
Niños Sanos	Sujeto 2	10	d1	0	0	0	0	0	0
Niños Sanos	Sujeto 2	11	s6	0.609	0.657	0.485	0.497	0.591	0.488
Niños Sanos	Sujeto 2	11	d6	0.026	0.047	0.03	0.041	0.05	0.031
Niños Sanos	Sujeto 2	11	d5	0.14	0.088	0.185	0.101	0.116	0.13
Niños Sanos	Sujeto 2	11	d4	0.168	0.144	0.234	0.297	0.187	0.294
Niños Sanos	Sujeto 2	11	d3	0.049	0.057	0.06	0.06	0.047	0.052
Niños Sanos	Sujeto 2	11	d2	0.007	0.006	0.006	0.005	0.007	0.004
Niños Sanos	Sujeto 2	11	d1	0.001	0.001	0.001	0.001	0.002	0.001
Niños Sanos	Sujeto 2	12	s6	0.523	0.564	0.487	0.55	0.405	0.466
Niños Sanos	Sujeto 2	12	d6	0.056	0.048	0.038	0.066	0.039	0.041
Niños Sanos	Sujeto 2	12	d5	0.215	0.225	0.187	0.155	0.292	0.188
Niños Sanos	Sujeto 2	12	d4	0.159	0.13	0.223	0.187	0.219	0.245
Niños Sanos	Sujeto 2	12	d3	0.04	0.029	0.058	0.038	0.04	0.056
Niños Sanos	Sujeto 2	12	d2	0.006	0.004	0.007	0.004	0.005	0.004
Niños Sanos	Sujeto 2	12	d1	0	0	0	0	0	0
Niños Sanos	Sujeto 2	13	s6	0.492	0.492	0.348	0.324	0.325	0.334
Niños Sanos	Sujeto 2	13	d6	0.006	0.044	0.055	0.081	0.02	0.046
Niños Sanos	Sujeto 2	13	d5	0.218	0.238	0.156	0.183	0.355	0.192
Niños Sanos	Sujeto 2	13	d4	0.233	0.184	0.363	0.348	0.245	0.359

ANEXO 3

Grupo	Sujeto	Segmento	coef	C3	C4	P3	P4	Cz	Pz
Niños Sanos	Sujeto 2	13	d3	0.047	0.037	0.073	0.061	0.051	0.065
Niños Sanos	Sujeto 2	13	d2	0.004	0.004	0.005	0.003	0.004	0.003
Niños Sanos	Sujeto 2	13	d1	0	0	0	0	0	0
Niños Sanos	Sujeto 2	14	s6	0.676	0.724	0.503	0.625	0.672	0.605
Niños Sanos	Sujeto 2	14	d6	0.059	0.009	0.056	0.013	0.034	0.035
Niños Sanos	Sujeto 2	14	d5	0.111	0.121	0.132	0.14	0.137	0.134
Niños Sanos	Sujeto 2	14	d4	0.116	0.099	0.266	0.181	0.114	0.189
Niños Sanos	Sujeto 2	14	d3	0.033	0.042	0.037	0.037	0.039	0.033
Niños Sanos	Sujeto 2	14	d2	0.005	0.005	0.006	0.003	0.004	0.004
Niños Sanos	Sujeto 2	14	d1	0	0	0	0	0	0
Niños Sanos	Sujeto 2	15	s6	0.605	0.775	0.526	0.701	0.605	0.625
Niños Sanos	Sujeto 2	15	d6	0.122	0.035	0.066	0.027	0.085	0.044
Niños Sanos	Sujeto 2	15	d5	0.072	0.055	0.091	0.068	0.086	0.072
Niños Sanos	Sujeto 2	15	d4	0.14	0.089	0.243	0.158	0.166	0.205
Niños Sanos	Sujeto 2	15	d3	0.056	0.04	0.069	0.043	0.052	0.049
Niños Sanos	Sujeto 2	15	d2	0.005	0.006	0.005	0.004	0.006	0.004
Niños Sanos	Sujeto 2	15	d1	0	0	0	0	0	0
Niños Sanos	Sujeto 2	16	s6	0.494	0.658	0.428	0.544	0.492	0.518
Niños Sanos	Sujeto 2	16	d6	0.097	0.052	0.08	0.075	0.107	0.081
Niños Sanos	Sujeto 2	16	d5	0.17	0.1	0.17	0.064	0.14	0.1
Niños Sanos	Sujeto 2	16	d4	0.207	0.15	0.272	0.262	0.218	0.252
Niños Sanos	Sujeto 2	16	d3	0.027	0.035	0.046	0.051	0.037	0.044
Niños Sanos	Sujeto 2	16	d2	0.005	0.003	0.004	0.004	0.006	0.004
Niños Sanos	Sujeto 2	16	d1	0	0	0	0	0	0
Niños Sanos	Sujeto 2	17	s6	0.565	0.661	0.524	0.639	0.491	0.603
Niños Sanos	Sujeto 2	17	d6	0.111	0.046	0.117	0.04	0.096	0.079
Niños Sanos	Sujeto 2	17	d5	0.16	0.157	0.172	0.137	0.239	0.194
Niños Sanos	Sujeto 2	17	d4	0.112	0.09	0.133	0.151	0.131	0.094
Niños Sanos	Sujeto 2	17	d3	0.043	0.039	0.047	0.026	0.038	0.024
Niños Sanos	Sujeto 2	17	d2	0.008	0.007	0.007	0.007	0.005	0.005
Niños Sanos	Sujeto 2	17	d1	0	0	0	0	0	0
Niños Sanos	Sujeto 2	18	s6	0.603	0.656	0.437	0.593	0.481	0.57
Niños Sanos	Sujeto 2	18	d6	0.11	0.024	0.145	0.046	0.126	0.106
Niños Sanos	Sujeto 2	18	d5	0.141	0.094	0.128	0.094	0.164	0.094
Niños Sanos	Sujeto 2	18	d4	0.089	0.174	0.213	0.215	0.168	0.178
Niños Sanos	Sujeto 2	18	d3	0.048	0.046	0.071	0.048	0.052	0.048
Niños Sanos	Sujeto 2	18	d2	0.008	0.005	0.006	0.004	0.008	0.004
Niños Sanos	Sujeto 2	18	d1	0	0	0	0	0	0
Niños Sanos	Sujeto 2	19	s6	0.608	0.683	0.52	0.531	0.591	0.522
Niños Sanos	Sujeto 2	19	d6	0.101	0.061	0.054	0.051	0.093	0.053
Niños Sanos	Sujeto 2	19	d5	0.08	0.044	0.111	0.076	0.095	0.096
Niños Sanos	Sujeto 2	19	d4	0.154	0.163	0.256	0.283	0.163	0.271
Niños Sanos	Sujeto 2	19	d3	0.051	0.046	0.055	0.056	0.051	0.053
Niños Sanos	Sujeto 2	19	d2	0.005	0.004	0.005	0.004	0.007	0.005
Niños Sanos	Sujeto 2	19	d1	0	0	0	0	0.001	0
Niños Sanos	Sujeto 2	20	s6	0.584	0.56	0.42	0.461	0.487	0.467
Niños Sanos	Sujeto 2	20	d6	0.082	0.049	0.076	0.052	0.062	0.051
Niños Sanos	Sujeto 2	20	d5	0.082	0.069	0.07	0.04	0.108	0.041
Niños Sanos	Sujeto 2	20	d4	0.213	0.269	0.371	0.382	0.301	0.388
Niños Sanos	Sujeto 2	20	d3	0.034	0.048	0.057	0.06	0.037	0.049
Niños Sanos	Sujeto 2	20	d2	0.006	0.005	0.006	0.004	0.006	0.004
Niños Sanos	Sujeto 2	20	d1	0	0	0	0	0	0
Niños Sanos	Sujeto 2	21	s6	0.573	0.638	0.459	0.535	0.623	0.45
Niños Sanos	Sujeto 2	21	d6	0.111	0.117	0.147	0.103	0.106	0.137
Niños Sanos	Sujeto 2	21	d5	0.139	0.086	0.13	0.124	0.11	0.15
Niños Sanos	Sujeto 2	21	d4	0.13	0.114	0.22	0.186	0.124	0.218
Niños Sanos	Sujeto 2	21	d3	0.042	0.04	0.039	0.046	0.032	0.041
Niños Sanos	Sujeto 2	21	d2	0.005	0.005	0.004	0.005	0.005	0.004
Niños Sanos	Sujeto 2	21	d1	0	0	0	0	0	0
Niños Sanos	Sujeto 2	22	s6	0.618	0.636	0.483	0.581	0.545	0.585
Niños Sanos	Sujeto 2	22	d6	0.058	0.051	0.063	0.076	0.075	0.067
Niños Sanos	Sujeto 2	22	d5	0.158	0.131	0.149	0.151	0.218	0.149
Niños Sanos	Sujeto 2	22	d4	0.121	0.146	0.243	0.152	0.124	0.152
Niños Sanos	Sujeto 2	22	d3	0.038	0.031	0.056	0.037	0.033	0.043

ANEXO 3

Grupo	Sujeto	Segmento	coef	C3	C4	P3	P4	Cz	Pz
Niños Sanos	Sujeto 2	22	d2	0.006	0.004	0.006	0.003	0.006	0.004
Niños Sanos	Sujeto 2	22	d1	0.001	0	0	0	0	0
Niños Sanos	Sujeto 2	23	s6	0.665	0.713	0.511	0.566	0.499	0.492
Niños Sanos	Sujeto 2	23	d6	0.038	0.032	0.053	0.058	0.026	0.042
Niños Sanos	Sujeto 2	23	d5	0.083	0.096	0.092	0.099	0.204	0.093
Niños Sanos	Sujeto 2	23	d4	0.17	0.122	0.283	0.225	0.203	0.317
Niños Sanos	Sujeto 2	23	d3	0.036	0.031	0.055	0.047	0.061	0.052
Niños Sanos	Sujeto 2	23	d2	0.007	0.005	0.006	0.005	0.007	0.004
Niños Sanos	Sujeto 2	23	d1	0	0	0	0	0	0
Niños Sanos	Sujeto 2	24	s6	0.591	0.682	0.521	0.632	0.485	0.552
Niños Sanos	Sujeto 2	24	d6	0.106	0.08	0.076	0.082	0.129	0.06
Niños Sanos	Sujeto 2	24	d5	0.197	0.114	0.197	0.128	0.208	0.158
Niños Sanos	Sujeto 2	24	d4	0.056	0.105	0.155	0.129	0.138	0.187
Niños Sanos	Sujeto 2	24	d3	0.045	0.014	0.045	0.024	0.035	0.039
Niños Sanos	Sujeto 2	24	d2	0.006	0.004	0.005	0.004	0.004	0.004
Niños Sanos	Sujeto 2	24	d1	0	0	0	0	0	0
Niños Sanos	Sujeto 3	1	s6	0.332	0.36	0.289	0.362	0.266	0.233
Niños Sanos	Sujeto 3	1	d6	0.031	0.103	0.075	0.082	0.089	0.084
Niños Sanos	Sujeto 3	1	d5	0.123	0.099	0.124	0.084	0.146	0.125
Niños Sanos	Sujeto 3	1	d4	0.364	0.296	0.364	0.326	0.35	0.391
Niños Sanos	Sujeto 3	1	d3	0.132	0.123	0.127	0.128	0.133	0.148
Niños Sanos	Sujeto 3	1	d2	0.019	0.018	0.021	0.018	0.017	0.018
Niños Sanos	Sujeto 3	1	d1	0	0	0	0	0	0
Niños Sanos	Sujeto 3	2	s6	0.452	0.409	0.392	0.467	0.35	0.402
Niños Sanos	Sujeto 3	2	d6	0.053	0.081	0.028	0.071	0.067	0.041
Niños Sanos	Sujeto 3	2	d5	0.094	0.043	0.087	0.04	0.101	0.075
Niños Sanos	Sujeto 3	2	d4	0.262	0.312	0.355	0.319	0.316	0.368
Niños Sanos	Sujeto 3	2	d3	0.129	0.144	0.127	0.092	0.154	0.104
Niños Sanos	Sujeto 3	2	d2	0.01	0.011	0.01	0.011	0.012	0.01
Niños Sanos	Sujeto 3	2	d1	0	0	0	0	0	0
Niños Sanos	Sujeto 3	3	s6	0.541	0.532	0.446	0.484	0.502	0.453
Niños Sanos	Sujeto 3	3	d6	0.024	0.013	0.04	0.035	0.018	0.046
Niños Sanos	Sujeto 3	3	d5	0.041	0.063	0.047	0.05	0.073	0.049
Niños Sanos	Sujeto 3	3	d4	0.314	0.282	0.37	0.314	0.322	0.373
Niños Sanos	Sujeto 3	3	d3	0.074	0.097	0.088	0.107	0.077	0.073
Niños Sanos	Sujeto 3	3	d2	0.007	0.012	0.008	0.01	0.008	0.006
Niños Sanos	Sujeto 3	3	d1	0	0	0	0	0	0
Niños Sanos	Sujeto 3	4	s6	0.408	0.401	0.378	0.425	0.355	0.331
Niños Sanos	Sujeto 3	4	d6	0.115	0.144	0.079	0.092	0.107	0.065
Niños Sanos	Sujeto 3	4	d5	0.066	0.056	0.055	0.049	0.079	0.064
Niños Sanos	Sujeto 3	4	d4	0.29	0.264	0.373	0.292	0.334	0.398
Niños Sanos	Sujeto 3	4	d3	0.109	0.116	0.104	0.129	0.11	0.132
Niños Sanos	Sujeto 3	4	d2	0.012	0.017	0.01	0.012	0.014	0.009
Niños Sanos	Sujeto 3	4	d1	0.001	0.002	0.001	0	0.001	0.001
Niños Sanos	Sujeto 3	5	s6	0.44	0.331	0.318	0.413	0.358	0.354
Niños Sanos	Sujeto 3	5	d6	0.029	0.023	0.053	0.04	0.041	0.072
Niños Sanos	Sujeto 3	5	d5	0.068	0.13	0.071	0.108	0.083	0.073
Niños Sanos	Sujeto 3	5	d4	0.33	0.396	0.431	0.335	0.378	0.384
Niños Sanos	Sujeto 3	5	d3	0.122	0.105	0.118	0.089	0.127	0.106
Niños Sanos	Sujeto 3	5	d2	0.01	0.014	0.01	0.014	0.013	0.01
Niños Sanos	Sujeto 3	5	d1	0	0	0	0	0	0
Niños Sanos	Sujeto 3	6	s6	0.399	0.402	0.369	0.434	0.338	0.356
Niños Sanos	Sujeto 3	6	d6	0.12	0.152	0.118	0.075	0.116	0.094
Niños Sanos	Sujeto 3	6	d5	0.135	0.082	0.108	0.062	0.149	0.083
Niños Sanos	Sujeto 3	6	d4	0.222	0.249	0.27	0.307	0.281	0.336
Niños Sanos	Sujeto 3	6	d3	0.11	0.098	0.123	0.109	0.101	0.118
Niños Sanos	Sujeto 3	6	d2	0.013	0.016	0.011	0.013	0.015	0.012
Niños Sanos	Sujeto 3	6	d1	0.001	0	0.001	0.001	0.001	0
Niños Sanos	Sujeto 3	7	s6	0.384	0.405	0.206	0.346	0.31	0.256
Niños Sanos	Sujeto 3	7	d6	0.064	0.015	0.039	0.039	0.05	0.025
Niños Sanos	Sujeto 3	7	d5	0.061	0.061	0.07	0.093	0.087	0.081
Niños Sanos	Sujeto 3	7	d4	0.391	0.409	0.562	0.406	0.448	0.525
Niños Sanos	Sujeto 3	7	d3	0.09	0.097	0.114	0.105	0.092	0.105
Niños Sanos	Sujeto 3	7	d2	0.009	0.012	0.009	0.01	0.011	0.008

ANEXO 3

Grupo	Sujeto	Segmento	coef	C3	C4	P3	P4	Cz	Pz
Niños Sanos	Sujeto 3	7	d1	0.001	0	0	0	0.001	0
Niños Sanos	Sujeto 3	8	s6	0.473	0.491	0.467	0.592	0.435	0.546
Niños Sanos	Sujeto 3	8	d6	0.05	0.07	0.04	0.028	0.097	0.041
Niños Sanos	Sujeto 3	8	d5	0.123	0.093	0.066	0.06	0.17	0.067
Niños Sanos	Sujeto 3	8	d4	0.256	0.207	0.295	0.181	0.205	0.222
Niños Sanos	Sujeto 3	8	d3	0.086	0.123	0.123	0.124	0.081	0.113
Niños Sanos	Sujeto 3	8	d2	0.012	0.015	0.009	0.015	0.012	0.01
Niños Sanos	Sujeto 3	8	d1	0	0	0	0	0	0
Niños Sanos	Sujeto 3	9	s6	0.497	0.443	0.38	0.474	0.398	0.351
Niños Sanos	Sujeto 3	9	d6	0.052	0.04	0.049	0.037	0.062	0.053
Niños Sanos	Sujeto 3	9	d5	0.113	0.069	0.07	0.05	0.115	0.073
Niños Sanos	Sujeto 3	9	d4	0.246	0.293	0.391	0.284	0.31	0.378
Niños Sanos	Sujeto 3	9	d3	0.086	0.14	0.103	0.142	0.105	0.136
Niños Sanos	Sujeto 3	9	d2	0.007	0.015	0.007	0.012	0.01	0.009
Niños Sanos	Sujeto 3	9	d1	0	0	0	0	0	0
Niños Sanos	Sujeto 3	10	s6	0.499	0.446	0.494	0.35	0.502	0.423
Niños Sanos	Sujeto 3	10	d6	0.063	0.065	0.035	0.031	0.056	0.044
Niños Sanos	Sujeto 3	10	d5	0.124	0.137	0.136	0.106	0.104	0.126
Niños Sanos	Sujeto 3	10	d4	0.184	0.238	0.213	0.361	0.231	0.302
Niños Sanos	Sujeto 3	10	d3	0.112	0.101	0.106	0.141	0.092	0.092
Niños Sanos	Sujeto 3	10	d2	0.017	0.012	0.014	0.011	0.014	0.012
Niños Sanos	Sujeto 3	10	d1	0.001	0	0	0	0.001	0
Niños Sanos	Sujeto 3	11	s6	0.368	0.194	0.295	0.368	0.285	0.282
Niños Sanos	Sujeto 3	11	d6	0.078	0.182	0.1	0.116	0.086	0.067
Niños Sanos	Sujeto 3	11	d5	0.162	0.234	0.167	0.157	0.223	0.194
Niños Sanos	Sujeto 3	11	d4	0.271	0.259	0.302	0.252	0.273	0.325
Niños Sanos	Sujeto 3	11	d3	0.108	0.116	0.125	0.098	0.118	0.121
Niños Sanos	Sujeto 3	11	d2	0.013	0.015	0.012	0.01	0.015	0.011
Niños Sanos	Sujeto 3	11	d1	0	0	0	0	0	0
Niños Sanos	Sujeto 3	12	s6	0.274	0.392	0.396	0.44	0.22	0.339
Niños Sanos	Sujeto 3	12	d6	0.065	0.068	0.074	0.063	0.126	0.063
Niños Sanos	Sujeto 3	12	d5	0.125	0.118	0.08	0.06	0.133	0.063
Niños Sanos	Sujeto 3	12	d4	0.413	0.295	0.304	0.329	0.403	0.419
Niños Sanos	Sujeto 3	12	d3	0.108	0.116	0.131	0.096	0.108	0.104
Niños Sanos	Sujeto 3	12	d2	0.014	0.011	0.015	0.011	0.01	0.01
Niños Sanos	Sujeto 3	12	d1	0	0	0	0	0	0
Niños Sanos	Sujeto 3	13	s6	0.411	0.372	0.299	0.336	0.341	0.286
Niños Sanos	Sujeto 3	13	d6	0.086	0.047	0.079	0.026	0.069	0.045
Niños Sanos	Sujeto 3	13	d5	0.113	0.071	0.056	0.057	0.15	0.057
Niños Sanos	Sujeto 3	13	d4	0.298	0.37	0.467	0.406	0.339	0.485
Niños Sanos	Sujeto 3	13	d3	0.076	0.123	0.086	0.162	0.087	0.116
Niños Sanos	Sujeto 3	13	d2	0.014	0.016	0.013	0.013	0.013	0.011
Niños Sanos	Sujeto 3	13	d1	0	0	0	0	0	0
Niños Sanos	Sujeto 3	14	s6	0.461	0.282	0.351	0.273	0.356	0.334
Niños Sanos	Sujeto 3	14	d6	0.083	0.172	0.133	0.054	0.122	0.108
Niños Sanos	Sujeto 3	14	d5	0.106	0.088	0.1	0.056	0.125	0.126
Niños Sanos	Sujeto 3	14	d4	0.226	0.305	0.279	0.404	0.263	0.267
Niños Sanos	Sujeto 3	14	d3	0.108	0.13	0.122	0.194	0.114	0.145
Niños Sanos	Sujeto 3	14	d2	0.016	0.022	0.015	0.019	0.019	0.02
Niños Sanos	Sujeto 3	14	d1	0.001	0.001	0	0	0.001	0.001
Niños Sanos	Sujeto 3	15	s6	0.31	0.508	0.38	0.438	0.257	0.285
Niños Sanos	Sujeto 3	15	d6	0.117	0.066	0.123	0.047	0.091	0.091
Niños Sanos	Sujeto 3	15	d5	0.09	0.069	0.084	0.058	0.083	0.084
Niños Sanos	Sujeto 3	15	d4	0.381	0.255	0.315	0.331	0.453	0.406
Niños Sanos	Sujeto 3	15	d3	0.09	0.091	0.089	0.117	0.101	0.124
Niños Sanos	Sujeto 3	15	d2	0.012	0.011	0.008	0.009	0.014	0.009
Niños Sanos	Sujeto 3	15	d1	0	0	0	0	0	0
Niños Sanos	Sujeto 3	16	s6	0.477	0.487	0.454	0.569	0.425	0.485
Niños Sanos	Sujeto 3	16	d6	0.024	0.049	0.047	0.021	0.032	0.033
Niños Sanos	Sujeto 3	16	d5	0.068	0.113	0.067	0.066	0.095	0.043
Niños Sanos	Sujeto 3	16	d4	0.325	0.262	0.327	0.249	0.345	0.336
Niños Sanos	Sujeto 3	16	d3	0.097	0.078	0.095	0.086	0.092	0.093
Niños Sanos	Sujeto 3	16	d2	0.008	0.011	0.01	0.009	0.011	0.009
Niños Sanos	Sujeto 3	16	d1	0	0	0	0	0	0

ANEXO 3

Grupo	Sujeto	Segmento	coef	C3	C4	P3	P4	Cz	Pz
Niños Sanos	Sujeto 3	17	s6	0.346	0.526	0.369	0.469	0.345	0.305
Niños Sanos	Sujeto 3	17	d6	0.045	0.054	0.039	0.045	0.046	0.068
Niños Sanos	Sujeto 3	17	d5	0.168	0.068	0.093	0.059	0.207	0.093
Niños Sanos	Sujeto 3	17	d4	0.301	0.26	0.365	0.324	0.276	0.393
Niños Sanos	Sujeto 3	17	d3	0.122	0.08	0.123	0.095	0.11	0.132
Niños Sanos	Sujeto 3	17	d2	0.018	0.012	0.011	0.008	0.017	0.009
Niños Sanos	Sujeto 3	17	d1	0	0	0	0	0	0
Niños Sanos	Sujeto 3	18	s6	0.532	0.54	0.456	0.41	0.436	0.43
Niños Sanos	Sujeto 3	18	d6	0.051	0.049	0.051	0.051	0.073	0.038
Niños Sanos	Sujeto 3	18	d5	0.097	0.091	0.074	0.071	0.135	0.088
Niños Sanos	Sujeto 3	18	d4	0.217	0.225	0.305	0.338	0.242	0.335
Niños Sanos	Sujeto 3	18	d3	0.092	0.087	0.104	0.123	0.103	0.102
Niños Sanos	Sujeto 3	18	d2	0.01	0.008	0.01	0.007	0.011	0.007
Niños Sanos	Sujeto 3	18	d1	0	0	0	0	0	0
Niños Sanos	Sujeto 3	19	s6	0.489	0.508	0.364	0.464	0.451	0.494
Niños Sanos	Sujeto 3	19	d6	0.069	0.044	0.07	0.033	0.077	0.052
Niños Sanos	Sujeto 3	19	d5	0.105	0.084	0.11	0.05	0.149	0.071
Niños Sanos	Sujeto 3	19	d4	0.203	0.217	0.293	0.269	0.203	0.246
Niños Sanos	Sujeto 3	19	d3	0.114	0.126	0.143	0.164	0.1	0.116
Niños Sanos	Sujeto 3	19	d2	0.018	0.021	0.018	0.019	0.019	0.02
Niños Sanos	Sujeto 3	19	d1	0	0.001	0.001	0	0.001	0.001
Niños Sanos	Sujeto 3	20	s6	0.465	0.366	0.347	0.299	0.415	0.299
Niños Sanos	Sujeto 3	20	d6	0.085	0.063	0.065	0.049	0.065	0.041
Niños Sanos	Sujeto 3	20	d5	0.101	0.126	0.153	0.06	0.127	0.1
Niños Sanos	Sujeto 3	20	d4	0.229	0.294	0.287	0.432	0.266	0.411
Niños Sanos	Sujeto 3	20	d3	0.108	0.139	0.135	0.15	0.117	0.14
Niños Sanos	Sujeto 3	20	d2	0.012	0.011	0.013	0.01	0.01	0.01
Niños Sanos	Sujeto 3	20	d1	0	0	0	0	0	0
Niños Sanos	Sujeto 3	21	s6	0.386	0.326	0.274	0.303	0.367	0.296
Niños Sanos	Sujeto 3	21	d6	0.043	0.051	0.051	0.031	0.043	0.023
Niños Sanos	Sujeto 3	21	d5	0.113	0.137	0.106	0.089	0.116	0.095
Niños Sanos	Sujeto 3	21	d4	0.327	0.356	0.425	0.457	0.342	0.469
Niños Sanos	Sujeto 3	21	d3	0.122	0.118	0.13	0.109	0.121	0.109
Niños Sanos	Sujeto 3	21	d2	0.01	0.012	0.013	0.011	0.011	0.008
Niños Sanos	Sujeto 3	21	d1	0	0	0	0	0	0
Niños Sanos	Sujeto 3	22	s6	0.431	0.464	0.405	0.499	0.412	0.486
Niños Sanos	Sujeto 3	22	d6	0.115	0.132	0.117	0.068	0.161	0.113
Niños Sanos	Sujeto 3	22	d5	0.172	0.134	0.105	0.128	0.175	0.146
Niños Sanos	Sujeto 3	22	d4	0.189	0.2	0.258	0.225	0.18	0.175
Niños Sanos	Sujeto 3	22	d3	0.083	0.056	0.105	0.068	0.058	0.069
Niños Sanos	Sujeto 3	22	d2	0.011	0.013	0.01	0.012	0.013	0.011
Niños Sanos	Sujeto 3	22	d1	0	0	0	0	0	0
Niños Sanos	Sujeto 3	23	s6	0.345	0.556	0.361	0.464	0.338	0.42
Niños Sanos	Sujeto 3	23	d6	0.058	0.057	0.086	0.056	0.086	0.063
Niños Sanos	Sujeto 3	23	d5	0.194	0.064	0.131	0.046	0.17	0.086
Niños Sanos	Sujeto 3	23	d4	0.299	0.234	0.324	0.3	0.307	0.333
Niños Sanos	Sujeto 3	23	d3	0.091	0.078	0.087	0.12	0.083	0.089
Niños Sanos	Sujeto 3	23	d2	0.013	0.011	0.01	0.012	0.014	0.009
Niños Sanos	Sujeto 3	23	d1	0	0.001	0	0.001	0.001	0.001
Niños Sanos	Sujeto 3	24	s6	0.345	0.395	0.23	0.293	0.317	0.26
Niños Sanos	Sujeto 3	24	d6	0.215	0.092	0.228	0.123	0.277	0.246
Niños Sanos	Sujeto 3	24	d5	0.072	0.123	0.087	0.087	0.111	0.072
Niños Sanos	Sujeto 3	24	d4	0.257	0.25	0.378	0.381	0.19	0.328
Niños Sanos	Sujeto 3	24	d3	0.096	0.13	0.068	0.104	0.088	0.083
Niños Sanos	Sujeto 3	24	d2	0.014	0.011	0.01	0.011	0.017	0.01
Niños Sanos	Sujeto 3	24	d1	0.001	0	0	0.001	0.001	0.001
Niños Sanos	Sujeto 4	1	s6	0.959	0.959	0.951	0.961	0.956	0.953
Niños Sanos	Sujeto 4	1	d6	0.01	0.01	0.015	0.013	0.01	0.014
Niños Sanos	Sujeto 4	1	d5	0.013	0.01	0.011	0.008	0.015	0.011
Niños Sanos	Sujeto 4	1	d4	0.013	0.015	0.018	0.015	0.013	0.017
Niños Sanos	Sujeto 4	1	d3	0.005	0.005	0.004	0.003	0.004	0.004
Niños Sanos	Sujeto 4	1	d2	0	0.001	0	0	0.001	0
Niños Sanos	Sujeto 4	1	d1	0	0	0	0	0	0
Niños Sanos	Sujeto 4	2	s6	0.955	0.957	0.964	0.972	0.946	0.96

ANEXO 3

Grupo	Sujeto	Segmento	coef	C3	C4	P3	P4	Cz	Pz
Niños Sanos	Sujeto 4	2	d6	0.014	0.014	0.014	0.012	0.015	0.014
Niños Sanos	Sujeto 4	2	d5	0.009	0.01	0.005	0.005	0.014	0.008
Niños Sanos	Sujeto 4	2	d4	0.018	0.014	0.013	0.007	0.021	0.014
Niños Sanos	Sujeto 4	2	d3	0.003	0.004	0.003	0.002	0.003	0.003
Niños Sanos	Sujeto 4	2	d2	0.001	0.001	0.001	0.001	0.001	0.001
Niños Sanos	Sujeto 4	2	d1	0	0	0	0	0	0
Niños Sanos	Sujeto 4	3	s6	0.965	0.965	0.946	0.966	0.958	0.951
Niños Sanos	Sujeto 4	3	d6	0.009	0.01	0.012	0.01	0.009	0.01
Niños Sanos	Sujeto 4	3	d5	0.01	0.01	0.007	0.007	0.014	0.011
Niños Sanos	Sujeto 4	3	d4	0.012	0.01	0.029	0.012	0.015	0.022
Niños Sanos	Sujeto 4	3	d3	0.003	0.003	0.005	0.003	0.003	0.004
Niños Sanos	Sujeto 4	3	d2	0.001	0.001	0.001	0.001	0.001	0.001
Niños Sanos	Sujeto 4	3	d1	0	0	0	0	0	0
Niños Sanos	Sujeto 4	4	s6	0.953	0.956	0.936	0.96	0.942	0.936
Niños Sanos	Sujeto 4	4	d6	0.015	0.012	0.016	0.01	0.016	0.017
Niños Sanos	Sujeto 4	4	d5	0.018	0.017	0.023	0.011	0.024	0.023
Niños Sanos	Sujeto 4	4	d4	0.009	0.011	0.02	0.015	0.013	0.02
Niños Sanos	Sujeto 4	4	d3	0.004	0.004	0.005	0.003	0.004	0.004
Niños Sanos	Sujeto 4	4	d2	0.001	0.001	0.001	0.001	0.001	0.001
Niños Sanos	Sujeto 4	4	d1	0	0	0	0	0	0
Niños Sanos	Sujeto 4	5	s6	0.956	0.959	0.941	0.954	0.952	0.95
Niños Sanos	Sujeto 4	5	d6	0.01	0.009	0.013	0.012	0.011	0.013
Niños Sanos	Sujeto 4	5	d5	0.018	0.015	0.017	0.01	0.021	0.014
Niños Sanos	Sujeto 4	5	d4	0.013	0.012	0.024	0.02	0.013	0.018
Niños Sanos	Sujeto 4	5	d3	0.003	0.003	0.004	0.003	0.002	0.003
Niños Sanos	Sujeto 4	5	d2	0.001	0.001	0.001	0.001	0.001	0.001
Niños Sanos	Sujeto 4	5	d1	0	0	0	0	0	0
Niños Sanos	Sujeto 4	6	s6	0.955	0.959	0.94	0.969	0.947	0.943
Niños Sanos	Sujeto 4	6	d6	0.015	0.013	0.016	0.011	0.018	0.017
Niños Sanos	Sujeto 4	6	d5	0.007	0.011	0.011	0.012	0.012	0.015
Niños Sanos	Sujeto 4	6	d4	0.018	0.014	0.028	0.007	0.019	0.02
Niños Sanos	Sujeto 4	6	d3	0.003	0.003	0.005	0.001	0.003	0.003
Niños Sanos	Sujeto 4	6	d2	0.001	0.001	0.001	0.001	0.001	0.001
Niños Sanos	Sujeto 4	6	d1	0	0	0	0	0	0
Niños Sanos	Sujeto 4	7	s6	0.968	0.959	0.96	0.963	0.962	0.959
Niños Sanos	Sujeto 4	7	d6	0.008	0.007	0.009	0.007	0.008	0.008
Niños Sanos	Sujeto 4	7	d5	0.008	0.013	0.011	0.013	0.01	0.013
Niños Sanos	Sujeto 4	7	d4	0.012	0.016	0.014	0.013	0.016	0.015
Niños Sanos	Sujeto 4	7	d3	0.003	0.004	0.004	0.003	0.003	0.004
Niños Sanos	Sujeto 4	7	d2	0.001	0.001	0.001	0.001	0.001	0.001
Niños Sanos	Sujeto 4	7	d1	0	0	0	0	0	0
Niños Sanos	Sujeto 4	8	s6	0.96	0.95	0.95	0.958	0.95	0.949
Niños Sanos	Sujeto 4	8	d6	0.007	0.013	0.014	0.01	0.012	0.013
Niños Sanos	Sujeto 4	8	d5	0.009	0.015	0.01	0.01	0.012	0.01
Niños Sanos	Sujeto 4	8	d4	0.021	0.019	0.022	0.019	0.023	0.024
Niños Sanos	Sujeto 4	8	d3	0.003	0.003	0.003	0.003	0.002	0.003
Niños Sanos	Sujeto 4	8	d2	0.001	0.001	0.001	0.001	0.001	0.001
Niños Sanos	Sujeto 4	8	d1	0	0	0	0	0	0
Niños Sanos	Sujeto 4	9	s6	0.962	0.951	0.944	0.951	0.959	0.949
Niños Sanos	Sujeto 4	9	d6	0.01	0.014	0.01	0.014	0.013	0.012
Niños Sanos	Sujeto 4	9	d5	0.011	0.016	0.017	0.012	0.013	0.017
Niños Sanos	Sujeto 4	9	d4	0.013	0.015	0.024	0.02	0.012	0.018
Niños Sanos	Sujeto 4	9	d3	0.003	0.003	0.004	0.003	0.003	0.003
Niños Sanos	Sujeto 4	9	d2	0.001	0.001	0.001	0.001	0.001	0.001
Niños Sanos	Sujeto 4	9	d1	0	0	0	0	0	0
Niños Sanos	Sujeto 4	10	s6	0.954	0.953	0.956	0.96	0.943	0.948
Niños Sanos	Sujeto 4	10	d6	0.01	0.008	0.011	0.011	0.012	0.012
Niños Sanos	Sujeto 4	10	d5	0.009	0.009	0.009	0.006	0.012	0.01
Niños Sanos	Sujeto 4	10	d4	0.021	0.022	0.019	0.018	0.026	0.023
Niños Sanos	Sujeto 4	10	d3	0.006	0.007	0.005	0.004	0.006	0.005
Niños Sanos	Sujeto 4	10	d2	0.001	0.001	0.001	0.001	0.001	0.001
Niños Sanos	Sujeto 4	10	d1	0	0	0	0	0	0
Niños Sanos	Sujeto 4	11	s6	0.974	0.958	0.962	0.975	0.97	0.972
Niños Sanos	Sujeto 4	11	d6	0.005	0.008	0.007	0.006	0.006	0.006

ANEXO 3

Grupo	Sujeto	Segmento	coef	C3	C4	P3	P4	Cz	Pz
Niños Sanos	Sujeto 4	11	d5	0.003	0.01	0.004	0.004	0.005	0.005
Niños Sanos	Sujeto 4	11	d4	0.015	0.018	0.023	0.011	0.014	0.014
Niños Sanos	Sujeto 4	11	d3	0.003	0.005	0.003	0.003	0.003	0.002
Niños Sanos	Sujeto 4	11	d2	0.001	0.001	0.001	0.001	0.001	0.001
Niños Sanos	Sujeto 4	11	d1	0	0	0	0	0	0
Niños Sanos	Sujeto 4	12	s6	0.954	0.958	0.952	0.958	0.95	0.956
Niños Sanos	Sujeto 4	12	d6	0.011	0.009	0.011	0.012	0.011	0.012
Niños Sanos	Sujeto 4	12	d5	0.015	0.015	0.016	0.014	0.016	0.017
Niños Sanos	Sujeto 4	12	d4	0.017	0.014	0.016	0.012	0.019	0.012
Niños Sanos	Sujeto 4	12	d3	0.003	0.003	0.003	0.003	0.003	0.002
Niños Sanos	Sujeto 4	12	d2	0.001	0.001	0.001	0.001	0.001	0.001
Niños Sanos	Sujeto 4	12	d1	0	0	0	0	0	0
Niños Sanos	Sujeto 4	13	s6	0.956	0.963	0.966	0.973	0.949	0.955
Niños Sanos	Sujeto 4	13	d6	0.015	0.013	0.014	0.011	0.016	0.016
Niños Sanos	Sujeto 4	13	d5	0.01	0.009	0.011	0.007	0.014	0.015
Niños Sanos	Sujeto 4	13	d4	0.016	0.012	0.006	0.007	0.018	0.011
Niños Sanos	Sujeto 4	13	d3	0.003	0.003	0.002	0.001	0.003	0.002
Niños Sanos	Sujeto 4	13	d2	0.001	0.001	0.001	0.001	0.001	0.001
Niños Sanos	Sujeto 4	13	d1	0	0	0	0	0	0
Niños Sanos	Sujeto 4	14	s6	0.946	0.945	0.944	0.965	0.938	0.94
Niños Sanos	Sujeto 4	14	d6	0.011	0.012	0.006	0.007	0.011	0.007
Niños Sanos	Sujeto 4	14	d5	0.009	0.011	0.008	0.004	0.013	0.009
Niños Sanos	Sujeto 4	14	d4	0.028	0.027	0.035	0.02	0.033	0.038
Niños Sanos	Sujeto 4	14	d3	0.005	0.004	0.006	0.003	0.004	0.005
Niños Sanos	Sujeto 4	14	d2	0.001	0.001	0.001	0	0.001	0.001
Niños Sanos	Sujeto 4	14	d1	0	0	0	0	0	0
Niños Sanos	Sujeto 4	15	s6	0.961	0.949	0.949	0.95	0.952	0.947
Niños Sanos	Sujeto 4	15	d6	0.009	0.01	0.014	0.012	0.011	0.014
Niños Sanos	Sujeto 4	15	d5	0.009	0.013	0.011	0.006	0.012	0.011
Niños Sanos	Sujeto 4	15	d4	0.016	0.023	0.022	0.027	0.021	0.024
Niños Sanos	Sujeto 4	15	d3	0.004	0.004	0.004	0.004	0.003	0.004
Niños Sanos	Sujeto 4	15	d2	0.001	0.001	0.001	0.001	0.001	0.001
Niños Sanos	Sujeto 4	15	d1	0	0	0	0	0	0
Niños Sanos	Sujeto 4	16	s6	0.975	0.973	0.968	0.979	0.968	0.97
Niños Sanos	Sujeto 4	16	d6	0.002	0.001	0.003	0.001	0.003	0.002
Niños Sanos	Sujeto 4	16	d5	0.005	0.007	0.008	0.006	0.007	0.009
Niños Sanos	Sujeto 4	16	d4	0.015	0.015	0.019	0.012	0.019	0.017
Niños Sanos	Sujeto 4	16	d3	0.004	0.004	0.002	0.002	0.003	0.002
Niños Sanos	Sujeto 4	16	d2	0	0	0	0	0	0
Niños Sanos	Sujeto 4	16	d1	0	0	0	0	0	0
Niños Sanos	Sujeto 4	17	s6	0.944	0.946	0.942	0.957	0.94	0.939
Niños Sanos	Sujeto 4	17	d6	0.019	0.02	0.02	0.016	0.021	0.022
Niños Sanos	Sujeto 4	17	d5	0.005	0.005	0.009	0.005	0.006	0.006
Niños Sanos	Sujeto 4	17	d4	0.028	0.025	0.026	0.02	0.029	0.03
Niños Sanos	Sujeto 4	17	d3	0.003	0.004	0.003	0.002	0.004	0.003
Niños Sanos	Sujeto 4	17	d2	0	0	0	0	0	0
Niños Sanos	Sujeto 4	17	d1	0	0	0	0	0	0
Niños Sanos	Sujeto 4	18	s6	0.963	0.962	0.96	0.967	0.956	0.962
Niños Sanos	Sujeto 4	18	d6	0.01	0.008	0.008	0.008	0.01	0.008
Niños Sanos	Sujeto 4	18	d5	0.007	0.011	0.006	0.007	0.01	0.008
Niños Sanos	Sujeto 4	18	d4	0.015	0.013	0.021	0.015	0.019	0.018
Niños Sanos	Sujeto 4	18	d3	0.004	0.004	0.004	0.003	0.005	0.004
Niños Sanos	Sujeto 4	18	d2	0.001	0.001	0.001	0.001	0.001	0.001
Niños Sanos	Sujeto 4	18	d1	0	0	0	0	0	0
Niños Sanos	Sujeto 4	19	s6	0.96	0.953	0.955	0.967	0.945	0.945
Niños Sanos	Sujeto 4	19	d6	0.009	0.009	0.01	0.005	0.012	0.014
Niños Sanos	Sujeto 4	19	d5	0.009	0.011	0.01	0.006	0.014	0.013
Niños Sanos	Sujeto 4	19	d4	0.018	0.022	0.021	0.018	0.024	0.024
Niños Sanos	Sujeto 4	19	d3	0.003	0.005	0.004	0.003	0.004	0.004
Niños Sanos	Sujeto 4	19	d2	0	0	0	0	0	0
Niños Sanos	Sujeto 4	19	d1	0	0	0	0	0	0
Niños Sanos	Sujeto 4	20	s6	0.975	0.972	0.968	0.967	0.973	0.971
Niños Sanos	Sujeto 4	20	d6	0.01	0.009	0.009	0.009	0.01	0.009
Niños Sanos	Sujeto 4	20	d5	0.007	0.006	0.007	0.005	0.01	0.009

ANEXO 3

Grupo	Sujeto	Segmento	coef	C3	C4	P3	P4	Cz	Pz
Niños Sanos	Sujeto 4	20	d4	0.005	0.009	0.012	0.015	0.005	0.008
Niños Sanos	Sujeto 4	20	d3	0.002	0.003	0.002	0.002	0.002	0.002
Niños Sanos	Sujeto 4	20	d2	0.001	0.001	0.001	0.001	0.001	0.001
Niños Sanos	Sujeto 4	20	d1	0	0	0	0	0	0
Niños Sanos	Sujeto 4	21	s6	0.965	0.958	0.958	0.962	0.957	0.954
Niños Sanos	Sujeto 4	21	d6	0.01	0.014	0.01	0.012	0.013	0.012
Niños Sanos	Sujeto 4	21	d5	0.012	0.015	0.017	0.011	0.017	0.02
Niños Sanos	Sujeto 4	21	d4	0.009	0.009	0.011	0.011	0.009	0.011
Niños Sanos	Sujeto 4	21	d3	0.003	0.004	0.004	0.003	0.003	0.003
Niños Sanos	Sujeto 4	21	d2	0.001	0.001	0.001	0	0.001	0.001
Niños Sanos	Sujeto 4	21	d1	0	0	0	0	0	0
Niños Sanos	Sujeto 4	22	s6	0.948	0.952	0.951	0.964	0.941	0.948
Niños Sanos	Sujeto 4	22	d6	0.011	0.013	0.006	0.008	0.013	0.007
Niños Sanos	Sujeto 4	22	d5	0.016	0.011	0.012	0.008	0.018	0.012
Niños Sanos	Sujeto 4	22	d4	0.021	0.021	0.027	0.017	0.024	0.027
Niños Sanos	Sujeto 4	22	d3	0.003	0.003	0.004	0.003	0.003	0.004
Niños Sanos	Sujeto 4	22	d2	0.001	0.001	0.001	0.001	0.001	0.001
Niños Sanos	Sujeto 4	22	d1	0	0	0	0	0	0
Niños Sanos	Sujeto 4	23	s6	0.971	0.962	0.977	0.97	0.966	0.973
Niños Sanos	Sujeto 4	23	d6	0.013	0.009	0.009	0.007	0.012	0.009
Niños Sanos	Sujeto 4	23	d5	0.008	0.008	0.008	0.005	0.011	0.007
Niños Sanos	Sujeto 4	23	d4	0.005	0.015	0.004	0.014	0.008	0.007
Niños Sanos	Sujeto 4	23	d3	0.002	0.005	0.002	0.004	0.002	0.003
Niños Sanos	Sujeto 4	23	d2	0.001	0.001	0.001	0.001	0.001	0.001
Niños Sanos	Sujeto 4	23	d1	0	0	0	0	0	0
Niños Sanos	Sujeto 4	24	s6	0.968	0.962	0.955	0.965	0.965	0.961
Niños Sanos	Sujeto 4	24	d6	0.007	0.013	0.008	0.012	0.008	0.01
Niños Sanos	Sujeto 4	24	d5	0.006	0.007	0.007	0.004	0.006	0.006
Niños Sanos	Sujeto 4	24	d4	0.015	0.014	0.023	0.015	0.018	0.019
Niños Sanos	Sujeto 4	24	d3	0.004	0.004	0.005	0.003	0.003	0.004
Niños Sanos	Sujeto 4	24	d2	0	0	0	0	0	0
Niños Sanos	Sujeto 4	24	d1	0	0	0	0	0	0

ANEXO 4

Sujeto	Grupo	Der.	Coef. de Ondaleta	Media	Mediana	Desv. Est.	Mínimo	Máximo	Curtosis	Coef. de Asimetría	Rango	Coef. de Variación
Sujeto 1	Niños T. A.	C3	d1	0.000	0.000	0.001	0.000	0.002	1.626	1.522	0.002	1.694
Sujeto 1	Niños T. A.	C3	d2	0.007	0.006	0.003	0.003	0.016	3.162	1.431	0.013	0.445
Sujeto 1	Niños T. A.	C3	d3	0.042	0.045	0.013	0.021	0.065	-1.083	0.163	0.044	0.318
Sujeto 1	Niños T. A.	C3	d4	0.200	0.190	0.060	0.086	0.306	-0.763	0.077	0.220	0.299
Sujeto 1	Niños T. A.	C3	d5	0.260	0.264	0.092	0.111	0.405	-1.370	0.001	0.294	0.355
Sujeto 1	Niños T. A.	C3	d6	0.127	0.130	0.057	0.041	0.226	-1.320	0.034	0.185	0.448
Sujeto 1	Niños T. A.	C3	s6	0.365	0.357	0.062	0.222	0.471	-0.309	-0.239	0.249	0.169
Sujeto 1	Niños T. A.	C4	d1	0.000	0.000	0.000	0.000	0.001	0.377	1.534	0.001	1.991
Sujeto 1	Niños T. A.	C4	d2	0.006	0.006	0.003	0.002	0.016	5.983	1.817	0.014	0.428
Sujeto 1	Niños T. A.	C4	d3	0.045	0.045	0.012	0.021	0.064	-0.831	-0.179	0.043	0.265
Sujeto 1	Niños T. A.	C4	d4	0.216	0.206	0.073	0.084	0.335	-0.872	0.135	0.251	0.340
Sujeto 1	Niños T. A.	C4	d5	0.280	0.276	0.124	0.099	0.576	-0.275	0.492	0.477	0.443
Sujeto 1	Niños T. A.	C4	d6	0.114	0.108	0.051	0.043	0.233	0.710	0.907	0.190	0.448
Sujeto 1	Niños T. A.	C4	s6	0.338	0.342	0.094	0.174	0.483	-1.086	-0.098	0.309	0.277
Sujeto 1	Niños T. A.	Cz	d1	0.000	0.000	0.001	0.000	0.002	4.143	2.131	0.002	2.126
Sujeto 1	Niños T. A.	Cz	d2	0.005	0.005	0.002	0.002	0.010	-0.223	0.557	0.008	0.388
Sujeto 1	Niños T. A.	Cz	d3	0.040	0.040	0.011	0.019	0.061	-0.528	0.145	0.042	0.280
Sujeto 1	Niños T. A.	Cz	d4	0.241	0.242	0.066	0.129	0.376	-0.639	0.082	0.247	0.275
Sujeto 1	Niños T. A.	Cz	d5	0.343	0.342	0.123	0.083	0.592	-0.221	0.056	0.509	0.359
Sujeto 1	Niños T. A.	Cz	d6	0.124	0.118	0.059	0.037	0.253	-0.604	0.406	0.216	0.475
Sujeto 1	Niños T. A.	Cz	s6	0.245	0.255	0.082	0.122	0.440	-0.016	0.424	0.318	0.336
Sujeto 1	Niños T. A.	P3	d1	0.000	0.000	0.000	0.000	0.001	-0.531	1.233	0.001	1.769
Sujeto 1	Niños T. A.	P3	d2	0.006	0.006	0.002	0.003	0.010	-0.277	0.557	0.007	0.295
Sujeto 1	Niños T. A.	P3	d3	0.064	0.060	0.020	0.029	0.107	-0.105	0.749	0.078	0.317
Sujeto 1	Niños T. A.	P3	d4	0.361	0.368	0.085	0.217	0.562	0.063	0.286	0.345	0.236
Sujeto 1	Niños T. A.	P3	d5	0.213	0.228	0.084	0.080	0.423	-0.016	0.354	0.343	0.395
Sujeto 1	Niños T. A.	P3	d6	0.112	0.098	0.054	0.045	0.212	-1.195	0.363	0.167	0.478
Sujeto 1	Niños T. A.	P3	s6	0.243	0.231	0.084	0.102	0.420	-0.594	0.320	0.318	0.348
Sujeto 1	Niños T. A.	P4	d1	0.000	0.000	0.000	0.000	0.001	-1.859	0.551	0.001	1.319
Sujeto 1	Niños T. A.	P4	d2	0.007	0.006	0.002	0.003	0.011	-0.769	0.639	0.008	0.377
Sujeto 1	Niños T. A.	P4	d3	0.066	0.069	0.018	0.038	0.099	-1.028	0.232	0.061	0.271
Sujeto 1	Niños T. A.	P4	d4	0.335	0.342	0.097	0.174	0.548	-0.525	0.228	0.374	0.291
Sujeto 1	Niños T. A.	P4	d5	0.263	0.238	0.105	0.068	0.465	-0.816	0.234	0.397	0.398
Sujeto 1	Niños T. A.	P4	d6	0.092	0.084	0.034	0.024	0.159	-0.077	0.108	0.135	0.368
Sujeto 1	Niños T. A.	P4	s6	0.238	0.239	0.074	0.104	0.373	-0.601	-0.078	0.269	0.312
Sujeto 1	Niños T. A.	Pz	d1	0.000	0.000	0.001	0.000	0.002	6.258	2.539	0.002	2.443
Sujeto 1	Niños T. A.	Pz	d2	0.004	0.004	0.002	0.003	0.008	-0.019	1.051	0.005	0.377
Sujeto 1	Niños T. A.	Pz	d3	0.066	0.066	0.017	0.035	0.098	-0.059	0.028	0.063	0.254
Sujeto 1	Niños T. A.	Pz	d4	0.403	0.410	0.082	0.255	0.569	-0.639	0.235	0.314	0.204
Sujeto 1	Niños T. A.	Pz	d5	0.247	0.230	0.085	0.075	0.443	0.047	0.330	0.368	0.343
Sujeto 1	Niños T. A.	Pz	d6	0.092	0.090	0.041	0.020	0.182	-0.070	0.365	0.162	0.444
Sujeto 1	Niños T. A.	Pz	s6	0.188	0.185	0.066	0.057	0.305	-0.756	-0.040	0.248	0.351
Sujeto 2	Niños T. A.	C3	d1	0.000	0.000	0.000	0.000	0.001	9.124	3.220	0.001	3.388
Sujeto 2	Niños T. A.	C3	d2	0.006	0.006	0.002	0.004	0.011	-0.460	0.801	0.007	0.348
Sujeto 2	Niños T. A.	C3	d3	0.051	0.049	0.013	0.027	0.092	3.548	1.265	0.065	0.252
Sujeto 2	Niños T. A.	C3	d4	0.288	0.273	0.081	0.109	0.513	1.976	0.516	0.404	0.282
Sujeto 2	Niños T. A.	C3	d5	0.310	0.298	0.076	0.199	0.468	-0.395	0.448	0.269	0.245
Sujeto 2	Niños T. A.	C3	d6	0.110	0.102	0.046	0.047	0.204	-0.467	0.667	0.157	0.414
Sujeto 2	Niños T. A.	C3	s6	0.235	0.236	0.064	0.112	0.367	-0.260	0.092	0.255	0.274
Sujeto 2	Niños T. A.	C4	d1	0.000	0.000	0.000	0.000	0.002	14.650	3.797	0.002	3.587
Sujeto 2	Niños T. A.	C4	d2	0.006	0.006	0.002	0.004	0.012	3.293	1.544	0.008	0.288
Sujeto 2	Niños T. A.	C4	d3	0.061	0.065	0.014	0.031	0.089	-0.246	-0.271	0.058	0.227
Sujeto 2	Niños T. A.	C4	d4	0.340	0.354	0.083	0.145	0.473	-0.357	-0.439	0.328	0.245
Sujeto 2	Niños T. A.	C4	d5	0.283	0.261	0.074	0.141	0.409	-0.999	-0.031	0.268	0.260
Sujeto 2	Niños T. A.	C4	d6	0.104	0.093	0.053	0.028	0.216	-0.425	0.698	0.188	0.514
Sujeto 2	Niños T. A.	C4	s6	0.206	0.224	0.066	0.087	0.292	-1.095	-0.543	0.205	0.320
Sujeto 2	Niños T. A.	Cz	d1	0.000	0.000	0.000	0.000	0.001	24.000	4.899	0.001	4.899
Sujeto 2	Niños T. A.	Cz	d2	0.005	0.004	0.001	0.003	0.009	2.823	1.574	0.006	0.315
Sujeto 2	Niños T. A.	Cz	d3	0.046	0.045	0.011	0.030	0.080	3.196	1.415	0.050	0.230
Sujeto 2	Niños T. A.	Cz	d4	0.311	0.308	0.081	0.136	0.453	-0.364	-0.395	0.317	0.260
Sujeto 2	Niños T. A.	Cz	d5	0.347	0.340	0.078	0.217	0.569	1.687	1.112	0.352	0.226
Sujeto 2	Niños T. A.	Cz	d6	0.104	0.091	0.056	0.017	0.232	0.682	1.087	0.215	0.542
Sujeto 2	Niños T. A.	Cz	s6	0.188	0.185	0.070	0.057	0.316	-0.452	0.032	0.259	0.371
Sujeto 2	Niños T. A.	P3	d1	0.000	0.000	0.000	0.000	0.001	9.124	3.220	0.001	3.388
Sujeto 2	Niños T. A.	P3	d2	0.004	0.004	0.001	0.002	0.008	0.467	0.697	0.006	0.317
Sujeto 2	Niños T. A.	P3	d3	0.049	0.050	0.011	0.028	0.070	-0.744	-0.163	0.042	0.228

ANEXO 4

Sujeto	Grupo	Der.	Coef. de Ondeleta	Media	Mediana	Desv. Est.	Mínimo	Máximo	Curtosis	Coef. de Asimetría	Rango	Coef. de Variación
Sujeto 2	Niños T. A.	P3	d4	0.377	0.373	0.080	0.244	0.532	-0.454	0.319	0.288	0.214
Sujeto 2	Niños T. A.	P3	d5	0.283	0.278	0.078	0.145	0.482	1.374	0.670	0.337	0.277
Sujeto 2	Niños T. A.	P3	d6	0.114	0.094	0.065	0.023	0.269	0.154	1.017	0.246	0.577
Sujeto 2	Niños T. A.	P3	s6	0.173	0.177	0.061	0.053	0.289	-0.625	-0.130	0.236	0.352
Sujeto 2	Niños T. A.	P4	d1	0.000	0.000	0.000	0.000	0.002	14.650	3.797	0.002	3.587
Sujeto 2	Niños T. A.	P4	d2	0.004	0.004	0.001	0.002	0.006	-0.167	0.356	0.004	0.300
Sujeto 2	Niños T. A.	P4	d3	0.050	0.050	0.014	0.029	0.086	0.059	0.546	0.057	0.286
Sujeto 2	Niños T. A.	P4	d4	0.398	0.407	0.099	0.198	0.592	-0.399	-0.215	0.394	0.248
Sujeto 2	Niños T. A.	P4	d5	0.277	0.275	0.067	0.128	0.402	-0.017	-0.009	0.274	0.241
Sujeto 2	Niños T. A.	P4	d6	0.118	0.111	0.079	0.031	0.345	1.976	1.361	0.314	0.665
Sujeto 2	Niños T. A.	P4	s6	0.152	0.144	0.055	0.039	0.253	-0.276	0.116	0.214	0.360
Sujeto 2	Niños T. A.	Pz	d1	0.000	0.000	0.000	0.000	0.001	24.000	4.899	0.001	4.899
Sujeto 2	Niños T. A.	Pz	d2	0.003	0.003	0.001	0.002	0.005	-0.669	0.411	0.003	0.295
Sujeto 2	Niños T. A.	Pz	d3	0.046	0.044	0.013	0.025	0.073	-0.692	0.416	0.048	0.290
Sujeto 2	Niños T. A.	Pz	d4	0.380	0.364	0.095	0.231	0.564	-0.926	0.350	0.333	0.250
Sujeto 2	Niños T. A.	Pz	d5	0.306	0.315	0.086	0.156	0.518	0.558	0.587	0.362	0.280
Sujeto 2	Niños T. A.	Pz	d6	0.113	0.102	0.064	0.038	0.288	2.636	1.604	0.250	0.563
Sujeto 2	Niños T. A.	Pz	s6	0.153	0.144	0.057	0.050	0.264	-0.255	0.230	0.214	0.376
Sujeto 3	Niños T. A.	C3	d1	0.000	0.000	0.000	0.000	0.000			0.000	
Sujeto 3	Niños T. A.	C3	d2	0.003	0.003	0.001	0.001	0.005	-0.959	0.185	0.004	0.468
Sujeto 3	Niños T. A.	C3	d3	0.019	0.017	0.007	0.009	0.032	-1.148	0.350	0.023	0.374
Sujeto 3	Niños T. A.	C3	d4	0.173	0.184	0.052	0.092	0.275	-0.915	-0.052	0.183	0.302
Sujeto 3	Niños T. A.	C3	d5	0.536	0.517	0.138	0.315	0.786	-1.102	0.138	0.471	0.257
Sujeto 3	Niños T. A.	C3	d6	0.078	0.068	0.044	0.008	0.206	2.244	1.342	0.198	0.569
Sujeto 3	Niños T. A.	C3	s6	0.191	0.165	0.109	0.056	0.407	-0.548	0.766	0.351	0.570
Sujeto 3	Niños T. A.	C4	d1	0.000	0.000	0.000	0.000	0.000			0.000	
Sujeto 3	Niños T. A.	C4	d2	0.002	0.002	0.001	0.001	0.005	0.829	0.871	0.004	0.484
Sujeto 3	Niños T. A.	C4	d3	0.019	0.017	0.009	0.008	0.045	1.943	1.385	0.037	0.482
Sujeto 3	Niños T. A.	C4	d4	0.181	0.176	0.054	0.073	0.268	-0.846	-0.123	0.195	0.300
Sujeto 3	Niños T. A.	C4	d5	0.568	0.594	0.133	0.371	0.788	-1.176	0.066	0.417	0.234
Sujeto 3	Niños T. A.	C4	d6	0.077	0.073	0.045	0.011	0.174	-0.293	0.610	0.163	0.582
Sujeto 3	Niños T. A.	C4	s6	0.152	0.132	0.081	0.052	0.391	1.704	1.172	0.339	0.534
Sujeto 3	Niños T. A.	Cz	d1	0.000	0.000	0.000	0.000	0.000			0.000	
Sujeto 3	Niños T. A.	Cz	d2	0.003	0.003	0.001	0.001	0.005	-0.493	0.426	0.004	0.469
Sujeto 3	Niños T. A.	Cz	d3	0.017	0.015	0.007	0.008	0.032	-0.841	0.607	0.024	0.425
Sujeto 3	Niños T. A.	Cz	d4	0.176	0.185	0.051	0.087	0.256	-1.028	-0.291	0.169	0.291
Sujeto 3	Niños T. A.	Cz	d5	0.560	0.563	0.133	0.359	0.800	-0.840	0.355	0.441	0.238
Sujeto 3	Niños T. A.	Cz	d6	0.090	0.081	0.051	0.021	0.188	-0.906	0.597	0.167	0.561
Sujeto 3	Niños T. A.	Cz	s6	0.155	0.146	0.079	0.058	0.335	-0.396	0.686	0.277	0.512
Sujeto 3	Niños T. A.	P3	d1	0.000	0.000	0.000	0.000	0.000			0.000	
Sujeto 3	Niños T. A.	P3	d2	0.003	0.002	0.001	0.001	0.005	-0.197	0.713	0.004	0.451
Sujeto 3	Niños T. A.	P3	d3	0.019	0.017	0.009	0.006	0.042	1.420	1.195	0.036	0.468
Sujeto 3	Niños T. A.	P3	d4	0.188	0.180	0.067	0.100	0.362	0.257	0.736	0.262	0.358
Sujeto 3	Niños T. A.	P3	d5	0.550	0.568	0.145	0.233	0.766	-0.652	-0.514	0.533	0.265
Sujeto 3	Niños T. A.	P3	d6	0.072	0.057	0.048	0.023	0.238	5.382	2.141	0.215	0.673
Sujeto 3	Niños T. A.	P3	s6	0.169	0.136	0.093	0.054	0.358	-0.570	0.775	0.304	0.553
Sujeto 3	Niños T. A.	P4	d1	0.000	0.000	0.000	0.000	0.000			0.000	
Sujeto 3	Niños T. A.	P4	d2	0.002	0.002	0.001	0.001	0.005	0.509	0.964	0.004	0.525
Sujeto 3	Niños T. A.	P4	d3	0.016	0.015	0.007	0.008	0.036	2.682	1.679	0.028	0.465
Sujeto 3	Niños T. A.	P4	d4	0.197	0.195	0.052	0.104	0.283	-0.970	-0.269	0.179	0.262
Sujeto 3	Niños T. A.	P4	d5	0.555	0.546	0.121	0.379	0.747	-1.295	0.102	0.368	0.218
Sujeto 3	Niños T. A.	P4	d6	0.072	0.070	0.047	0.009	0.204	1.652	1.132	0.195	0.660
Sujeto 3	Niños T. A.	P4	s6	0.158	0.171	0.064	0.048	0.266	-1.003	-0.036	0.218	0.405
Sujeto 3	Niños T. A.	Pz	d1	0.000	0.000	0.000	0.000	0.000			0.000	
Sujeto 3	Niños T. A.	Pz	d2	0.002	0.002	0.001	0.001	0.004	-0.596	0.608	0.003	0.489
Sujeto 3	Niños T. A.	Pz	d3	0.016	0.014	0.007	0.006	0.034	1.905	1.534	0.028	0.454
Sujeto 3	Niños T. A.	Pz	d4	0.205	0.211	0.067	0.094	0.372	0.441	0.438	0.278	0.325
Sujeto 3	Niños T. A.	Pz	d5	0.568	0.566	0.125	0.239	0.759	0.560	-0.391	0.520	0.221
Sujeto 3	Niños T. A.	Pz	d6	0.064	0.061	0.037	0.007	0.152	0.433	0.776	0.145	0.571
Sujeto 3	Niños T. A.	Pz	s6	0.145	0.144	0.064	0.045	0.299	-0.121	0.532	0.254	0.439
Sujeto 4	Niños T. A.	C3	d1	0.000	0.000	0.000	0.000	0.002	9.458	3.068	0.002	2.889
Sujeto 4	Niños T. A.	C3	d2	0.018	0.017	0.005	0.010	0.028	-1.078	0.384	0.018	0.299
Sujeto 4	Niños T. A.	C3	d3	0.135	0.135	0.037	0.071	0.206	-0.151	0.179	0.135	0.274
Sujeto 4	Niños T. A.	C3	d4	0.291	0.276	0.060	0.206	0.394	-1.239	0.437	0.188	0.207
Sujeto 4	Niños T. A.	C3	d5	0.148	0.134	0.064	0.056	0.299	-0.305	0.666	0.243	0.432
Sujeto 4	Niños T. A.	C3	d6	0.089	0.075	0.048	0.027	0.200	0.868	1.141	0.173	0.545

ANEXO 4

Sujeto	Grupo	Der.	Coef. de Ondaleta	Media	Mediana	Desv. Est.	Mínimo	Máximo	Curtosis	Coef. de Asimetría	Rango	Coef. de Variación
Sujeto 4	Niños T. A.	C3	s6	0.318	0.327	0.111	0.137	0.516	-0.596	0.198	0.379	0.350
Sujeto 4	Niños T. A.	C4	d1	0.000	0.000	0.000	0.000	0.001	-1.145	0.979	0.001	1.592
Sujeto 4	Niños T. A.	C4	d2	0.018	0.018	0.006	0.009	0.031	0.151	0.689	0.022	0.310
Sujeto 4	Niños T. A.	C4	d3	0.135	0.136	0.035	0.076	0.206	-0.507	0.099	0.130	0.259
Sujeto 4	Niños T. A.	C4	d4	0.280	0.285	0.067	0.156	0.391	-1.127	-0.165	0.235	0.240
Sujeto 4	Niños T. A.	C4	d5	0.164	0.155	0.046	0.090	0.253	-0.767	0.474	0.163	0.278
Sujeto 4	Niños T. A.	C4	d6	0.108	0.097	0.049	0.042	0.232	0.605	0.980	0.190	0.457
Sujeto 4	Niños T. A.	C4	s6	0.294	0.278	0.098	0.095	0.480	-0.645	0.141	0.385	0.335
Sujeto 4	Niños T. A.	Cz	d1	0.000	0.000	0.001	0.000	0.003	12.338	3.344	0.003	2.703
Sujeto 4	Niños T. A.	Cz	d2	0.015	0.014	0.005	0.008	0.024	-0.175	0.879	0.016	0.327
Sujeto 4	Niños T. A.	Cz	d3	0.110	0.107	0.036	0.050	0.182	-0.490	0.476	0.132	0.324
Sujeto 4	Niños T. A.	Cz	d4	0.270	0.245	0.079	0.154	0.416	-1.058	0.524	0.262	0.293
Sujeto 4	Niños T. A.	Cz	d5	0.168	0.171	0.073	0.041	0.354	0.502	0.610	0.313	0.437
Sujeto 4	Niños T. A.	Cz	d6	0.104	0.098	0.053	0.025	0.231	0.371	0.901	0.206	0.515
Sujeto 4	Niños T. A.	Cz	s6	0.334	0.354	0.126	0.140	0.567	-0.872	0.068	0.427	0.377
Sujeto 4	Niños T. A.	P3	d1	0.000	0.000	0.000	0.000	0.001	4.210	2.422	0.001	2.703
Sujeto 4	Niños T. A.	P3	d2	0.016	0.016	0.006	0.007	0.026	-1.022	0.229	0.019	0.367
Sujeto 4	Niños T. A.	P3	d3	0.120	0.131	0.031	0.058	0.169	-0.633	-0.345	0.111	0.259
Sujeto 4	Niños T. A.	P3	d4	0.310	0.275	0.081	0.171	0.461	-0.652	0.258	0.290	0.261
Sujeto 4	Niños T. A.	P3	d5	0.135	0.123	0.059	0.069	0.280	-0.032	0.823	0.211	0.436
Sujeto 4	Niños T. A.	P3	d6	0.100	0.091	0.057	0.025	0.233	1.475	1.351	0.208	0.565
Sujeto 4	Niños T. A.	P3	s6	0.318	0.296	0.121	0.176	0.597	0.061	0.939	0.421	0.379
Sujeto 4	Niños T. A.	P4	d1	0.000	0.000	0.000	0.000	0.001	0.377	1.534	0.001	1.991
Sujeto 4	Niños T. A.	P4	d2	0.015	0.013	0.006	0.008	0.034	3.688	1.866	0.026	0.422
Sujeto 4	Niños T. A.	P4	d3	0.118	0.116	0.029	0.072	0.170	-1.107	0.194	0.098	0.248
Sujeto 4	Niños T. A.	P4	d4	0.293	0.289	0.060	0.192	0.461	1.864	0.884	0.269	0.206
Sujeto 4	Niños T. A.	P4	d5	0.145	0.138	0.051	0.057	0.238	-0.657	0.327	0.181	0.350
Sujeto 4	Niños T. A.	P4	d6	0.106	0.089	0.045	0.035	0.207	-0.652	0.614	0.172	0.428
Sujeto 4	Niños T. A.	P4	s6	0.322	0.297	0.100	0.146	0.511	-0.805	0.313	0.365	0.311
Sujeto 4	Niños T. A.	Pz	d1	0.000	0.000	0.000	0.000	0.001	4.210	2.422	0.001	2.703
Sujeto 4	Niños T. A.	Pz	d2	0.011	0.011	0.004	0.005	0.019	-0.374	0.413	0.014	0.331
Sujeto 4	Niños T. A.	Pz	d3	0.103	0.106	0.025	0.052	0.142	-0.636	-0.282	0.090	0.240
Sujeto 4	Niños T. A.	Pz	d4	0.332	0.328	0.088	0.152	0.483	-0.399	0.073	0.331	0.264
Sujeto 4	Niños T. A.	Pz	d5	0.129	0.117	0.063	0.052	0.280	0.321	0.901	0.228	0.486
Sujeto 4	Niños T. A.	Pz	d6	0.096	0.081	0.049	0.024	0.219	0.728	1.059	0.195	0.511
Sujeto 4	Niños T. A.	Pz	s6	0.328	0.326	0.129	0.119	0.656	0.548	0.686	0.537	0.394
Sujeto 1	Adultos Sanos	C3	d1	0.001	0.001	0.001	0.000	0.004	4.897	1.953	0.004	1.156
Sujeto 1	Adultos Sanos	C3	d2	0.019	0.018	0.006	0.010	0.035	1.007	0.934	0.025	0.326
Sujeto 1	Adultos Sanos	C3	d3	0.121	0.118	0.034	0.068	0.195	0.326	0.829	0.127	0.278
Sujeto 1	Adultos Sanos	C3	d4	0.194	0.177	0.078	0.088	0.431	2.489	1.339	0.343	0.402
Sujeto 1	Adultos Sanos	C3	d5	0.081	0.079	0.034	0.012	0.159	-0.063	0.189	0.147	0.422
Sujeto 1	Adultos Sanos	C3	d6	0.055	0.052	0.026	0.016	0.121	0.438	0.782	0.105	0.472
Sujeto 1	Adultos Sanos	C3	s6	0.530	0.553	0.120	0.287	0.737	-0.622	-0.465	0.450	0.226
Sujeto 1	Adultos Sanos	C4	d1	0.001	0.001	0.001	0.000	0.006	12.310	3.097	0.006	1.362
Sujeto 1	Adultos Sanos	C4	d2	0.019	0.018	0.005	0.013	0.031	-0.347	0.663	0.018	0.267
Sujeto 1	Adultos Sanos	C4	d3	0.117	0.109	0.041	0.063	0.245	3.645	1.716	0.182	0.349
Sujeto 1	Adultos Sanos	C4	d4	0.210	0.190	0.079	0.092	0.434	1.863	1.254	0.342	0.376
Sujeto 1	Adultos Sanos	C4	d5	0.088	0.084	0.034	0.030	0.158	-0.396	0.463	0.128	0.380
Sujeto 1	Adultos Sanos	C4	d6	0.066	0.055	0.032	0.022	0.147	0.444	1.027	0.125	0.481
Sujeto 1	Adultos Sanos	C4	s6	0.498	0.521	0.116	0.302	0.710	-0.777	-0.218	0.408	0.232
Sujeto 1	Adultos Sanos	Cz	d1	0.001	0.001	0.001	0.000	0.005	16.306	3.643	0.005	0.800
Sujeto 1	Adultos Sanos	Cz	d2	0.023	0.022	0.007	0.015	0.039	0.046	0.783	0.024	0.282
Sujeto 1	Adultos Sanos	Cz	d3	0.137	0.122	0.040	0.085	0.255	1.784	1.223	0.170	0.295
Sujeto 1	Adultos Sanos	Cz	d4	0.242	0.228	0.087	0.122	0.469	0.707	0.918	0.347	0.358
Sujeto 1	Adultos Sanos	Cz	d5	0.099	0.094	0.036	0.026	0.180	0.362	0.462	0.154	0.362
Sujeto 1	Adultos Sanos	Cz	d6	0.069	0.061	0.029	0.034	0.137	0.094	0.966	0.103	0.425
Sujeto 1	Adultos Sanos	Cz	s6	0.428	0.443	0.129	0.196	0.653	-0.839	-0.293	0.457	0.302
Sujeto 1	Adultos Sanos	P3	d1	0.001	0.001	0.001	0.000	0.003	2.640	1.100	0.003	0.911
Sujeto 1	Adultos Sanos	P3	d2	0.019	0.020	0.004	0.010	0.025	-0.870	-0.504	0.015	0.232
Sujeto 1	Adultos Sanos	P3	d3	0.161	0.155	0.042	0.078	0.262	0.244	0.412	0.184	0.261
Sujeto 1	Adultos Sanos	P3	d4	0.256	0.242	0.081	0.088	0.391	-0.723	0.085	0.303	0.315
Sujeto 1	Adultos Sanos	P3	d5	0.075	0.080	0.033	0.020	0.122	-1.487	-0.100	0.102	0.442
Sujeto 1	Adultos Sanos	P3	d6	0.060	0.060	0.027	0.019	0.131	0.829	0.828	0.112	0.454
Sujeto 1	Adultos Sanos	P3	s6	0.429	0.434	0.118	0.227	0.629	-0.897	-0.295	0.402	0.275
Sujeto 1	Adultos Sanos	P4	d1	0.000	0.000	0.001	0.000	0.004	7.625	2.809	0.004	2.443
Sujeto 1	Adultos Sanos	P4	d2	0.016	0.015	0.004	0.011	0.025	-0.181	0.725	0.014	0.255

ANEXO 4

Sujeto	Grupo	Der.	Coef. de Ondaleta	Media	Mediana	Desv. Est.	Mínimo	Máximo	Curtosis	Coef. de Asimetría	Rango	Coef. de Variación
Sujeto 1	Adultos Sanos	P4	d3	0.146	0.137	0.054	0.064	0.315	2.903	1.327	0.251	0.374
Sujeto 1	Adultos Sanos	P4	d4	0.273	0.257	0.095	0.102	0.435	-0.842	0.377	0.333	0.348
Sujeto 1	Adultos Sanos	P4	d5	0.065	0.061	0.025	0.024	0.121	0.294	0.623	0.097	0.379
Sujeto 1	Adultos Sanos	P4	d6	0.057	0.057	0.026	0.011	0.102	-0.833	-0.072	0.091	0.453
Sujeto 1	Adultos Sanos	P4	s6	0.443	0.477	0.136	0.202	0.677	-1.137	-0.107	0.475	0.307
Sujeto 1	Adultos Sanos	Pz	d1	0.001	0.000	0.001	0.000	0.004	8.252	2.632	0.004	1.865
Sujeto 1	Adultos Sanos	Pz	d2	0.017	0.017	0.004	0.010	0.024	-1.151	0.009	0.014	0.248
Sujeto 1	Adultos Sanos	Pz	d3	0.148	0.141	0.048	0.074	0.272	0.925	0.996	0.198	0.321
Sujeto 1	Adultos Sanos	Pz	d4	0.264	0.240	0.088	0.116	0.427	-0.837	0.353	0.311	0.335
Sujeto 1	Adultos Sanos	Pz	d5	0.079	0.072	0.033	0.030	0.161	0.022	0.622	0.131	0.420
Sujeto 1	Adultos Sanos	Pz	d6	0.063	0.057	0.028	0.017	0.117	-0.677	0.326	0.100	0.444
Sujeto 1	Adultos Sanos	Pz	s6	0.429	0.435	0.131	0.216	0.638	-1.227	-0.184	0.422	0.306
Sujeto 2	Adultos Sanos	C3	d1	0.000	0.000	0.000	0.000	0.001	4.210	2.422	0.001	2.703
Sujeto 2	Adultos Sanos	C3	d2	0.011	0.010	0.004	0.006	0.018	-0.864	0.640	0.012	0.329
Sujeto 2	Adultos Sanos	C3	d3	0.077	0.080	0.025	0.040	0.132	-0.836	0.132	0.092	0.328
Sujeto 2	Adultos Sanos	C3	d4	0.230	0.244	0.065	0.105	0.334	-0.969	-0.279	0.229	0.285
Sujeto 2	Adultos Sanos	C3	d5	0.094	0.089	0.026	0.053	0.163	1.232	1.053	0.110	0.280
Sujeto 2	Adultos Sanos	C3	d6	0.082	0.080	0.030	0.029	0.127	-0.989	-0.282	0.098	0.362
Sujeto 2	Adultos Sanos	C3	s6	0.505	0.480	0.089	0.328	0.659	-0.601	0.354	0.331	0.176
Sujeto 2	Adultos Sanos	C4	d1	0.001	0.000	0.001	0.000	0.002	-0.401	0.694	0.002	1.180
Sujeto 2	Adultos Sanos	C4	d2	0.014	0.013	0.004	0.008	0.023	-0.485	0.508	0.015	0.290
Sujeto 2	Adultos Sanos	C4	d3	0.095	0.089	0.025	0.054	0.150	-0.335	0.525	0.096	0.262
Sujeto 2	Adultos Sanos	C4	d4	0.252	0.255	0.077	0.110	0.405	-0.715	0.096	0.295	0.304
Sujeto 2	Adultos Sanos	C4	d5	0.103	0.095	0.040	0.059	0.195	-0.257	0.763	0.136	0.386
Sujeto 2	Adultos Sanos	C4	d6	0.081	0.077	0.033	0.018	0.162	0.649	0.324	0.144	0.404
Sujeto 2	Adultos Sanos	C4	s6	0.454	0.446	0.095	0.296	0.640	-0.396	0.411	0.344	0.209
Sujeto 2	Adultos Sanos	Cz	d1	0.000	0.000	0.000	0.000	0.001	0.377	1.534	0.001	1.991
Sujeto 2	Adultos Sanos	Cz	d2	0.012	0.012	0.003	0.007	0.020	-0.239	0.623	0.013	0.287
Sujeto 2	Adultos Sanos	Cz	d3	0.085	0.084	0.023	0.049	0.137	-0.474	0.466	0.088	0.271
Sujeto 2	Adultos Sanos	Cz	d4	0.277	0.277	0.081	0.146	0.468	-0.253	0.490	0.322	0.294
Sujeto 2	Adultos Sanos	Cz	d5	0.133	0.126	0.045	0.071	0.235	-0.514	0.580	0.164	0.334
Sujeto 2	Adultos Sanos	Cz	d6	0.100	0.089	0.048	0.009	0.189	-0.557	0.381	0.180	0.478
Sujeto 2	Adultos Sanos	Cz	s6	0.392	0.399	0.097	0.209	0.609	-0.082	0.170	0.400	0.247
Sujeto 2	Adultos Sanos	P3	d1	0.000	0.000	0.001	0.000	0.002	2.676	1.800	0.002	1.886
Sujeto 2	Adultos Sanos	P3	d2	0.012	0.012	0.004	0.007	0.021	0.345	0.928	0.014	0.322
Sujeto 2	Adultos Sanos	P3	d3	0.111	0.108	0.030	0.063	0.172	-0.643	0.373	0.109	0.269
Sujeto 2	Adultos Sanos	P3	d4	0.304	0.282	0.098	0.120	0.480	-0.949	0.106	0.360	0.324
Sujeto 2	Adultos Sanos	P3	d5	0.078	0.073	0.024	0.046	0.152	2.968	1.572	0.106	0.315
Sujeto 2	Adultos Sanos	P3	d6	0.072	0.065	0.028	0.032	0.137	-0.030	0.668	0.105	0.388
Sujeto 2	Adultos Sanos	P3	s6	0.423	0.429	0.120	0.194	0.660	-0.849	-0.005	0.466	0.284
Sujeto 2	Adultos Sanos	P4	d1	0.000	0.000	0.001	0.000	0.002	3.237	2.062	0.002	2.140
Sujeto 2	Adultos Sanos	P4	d2	0.013	0.014	0.003	0.008	0.019	-0.920	-0.079	0.011	0.241
Sujeto 2	Adultos Sanos	P4	d3	0.120	0.118	0.024	0.066	0.170	-0.068	-0.238	0.104	0.203
Sujeto 2	Adultos Sanos	P4	d4	0.326	0.311	0.077	0.199	0.472	-0.860	0.334	0.273	0.236
Sujeto 2	Adultos Sanos	P4	d5	0.079	0.067	0.030	0.040	0.170	1.960	1.281	0.130	0.381
Sujeto 2	Adultos Sanos	P4	d6	0.065	0.062	0.029	0.012	0.141	0.907	0.428	0.129	0.446
Sujeto 2	Adultos Sanos	P4	s6	0.396	0.406	0.088	0.240	0.556	-0.851	-0.280	0.316	0.222
Sujeto 2	Adultos Sanos	Pz	d1	0.000	0.000	0.001	0.000	0.003	9.367	3.108	0.003	2.949
Sujeto 2	Adultos Sanos	Pz	d2	0.012	0.012	0.003	0.007	0.018	-0.662	0.361	0.011	0.263
Sujeto 2	Adultos Sanos	Pz	d3	0.113	0.119	0.027	0.068	0.181	0.103	0.370	0.113	0.241
Sujeto 2	Adultos Sanos	Pz	d4	0.342	0.331	0.106	0.132	0.545	-0.776	0.091	0.413	0.309
Sujeto 2	Adultos Sanos	Pz	d5	0.091	0.084	0.031	0.054	0.163	-0.110	0.745	0.109	0.339
Sujeto 2	Adultos Sanos	Pz	d6	0.070	0.066	0.030	0.019	0.146	0.508	0.634	0.127	0.428
Sujeto 2	Adultos Sanos	Pz	s6	0.372	0.393	0.116	0.202	0.595	-1.023	0.040	0.393	0.311
Sujeto 3	Adultos Sanos	C3	d1	0.001	0.001	0.000	0.000	0.001	4.210	-2.422	0.001	0.386
Sujeto 3	Adultos Sanos	C3	d2	0.014	0.014	0.004	0.009	0.025	1.728	1.409	0.016	0.280
Sujeto 3	Adultos Sanos	C3	d3	0.085	0.086	0.025	0.033	0.133	-0.395	-0.248	0.100	0.291
Sujeto 3	Adultos Sanos	C3	d4	0.239	0.248	0.085	0.038	0.394	0.299	-0.494	0.356	0.356
Sujeto 3	Adultos Sanos	C3	d5	0.065	0.062	0.028	0.029	0.159	4.202	1.689	0.130	0.438
Sujeto 3	Adultos Sanos	C3	d6	0.056	0.057	0.024	0.020	0.091	-1.562	0.084	0.071	0.423
Sujeto 3	Adultos Sanos	C3	s6	0.541	0.549	0.110	0.297	0.736	-0.084	-0.210	0.439	0.204
Sujeto 3	Adultos Sanos	C4	d1	0.001	0.001	0.001	0.000	0.003	5.899	1.387	0.003	0.590
Sujeto 3	Adultos Sanos	C4	d2	0.016	0.015	0.005	0.007	0.027	-0.484	0.400	0.020	0.325
Sujeto 3	Adultos Sanos	C4	d3	0.099	0.092	0.039	0.040	0.198	0.100	0.609	0.158	0.397
Sujeto 3	Adultos Sanos	C4	d4	0.274	0.232	0.123	0.050	0.494	-0.866	0.343	0.444	0.448
Sujeto 3	Adultos Sanos	C4	d5	0.065	0.059	0.029	0.025	0.118	-1.248	0.231	0.093	0.451

ANEXO 4

Sujeto	Grupo	Der.	Coef. de Ondaleta	Media	Mediana	Desv. Est.	Mínimo	Máximo	Curtosis	Coef. de Asimetría	Rango	Coef. de Variación
Sujeto 3	Adultos Sanos	C4	d6	0.059	0.052	0.035	0.019	0.166	2.680	1.527	0.147	0.588
Sujeto 3	Adultos Sanos	C4	s6	0.485	0.519	0.171	0.105	0.759	-0.662	-0.371	0.654	0.352
Sujeto 3	Adultos Sanos	Cz	d1	0.000	0.000	0.001	0.000	0.001	-2.156	0.179	0.001	1.110
Sujeto 3	Adultos Sanos	Cz	d2	0.013	0.014	0.003	0.007	0.019	-0.324	-0.146	0.012	0.245
Sujeto 3	Adultos Sanos	Cz	d3	0.109	0.109	0.032	0.039	0.165	-0.087	-0.245	0.126	0.298
Sujeto 3	Adultos Sanos	Cz	d4	0.348	0.358	0.095	0.053	0.477	3.201	-1.407	0.424	0.272
Sujeto 3	Adultos Sanos	Cz	d5	0.078	0.072	0.030	0.040	0.150	1.019	1.095	0.110	0.383
Sujeto 3	Adultos Sanos	Cz	d6	0.067	0.058	0.034	0.028	0.167	1.824	1.265	0.139	0.504
Sujeto 3	Adultos Sanos	Cz	s6	0.386	0.378	0.122	0.193	0.711	1.082	0.784	0.518	0.316
Sujeto 3	Adultos Sanos	P3	d1	0.000	0.000	0.000	0.000	0.001	-1.568	0.755	0.001	1.445
Sujeto 3	Adultos Sanos	P3	d2	0.012	0.011	0.003	0.009	0.021	2.354	1.595	0.012	0.251
Sujeto 3	Adultos Sanos	P3	d3	0.091	0.091	0.028	0.041	0.148	-0.508	0.193	0.107	0.310
Sujeto 3	Adultos Sanos	P3	d4	0.243	0.227	0.088	0.052	0.409	-0.068	-0.038	0.357	0.360
Sujeto 3	Adultos Sanos	P3	d5	0.068	0.064	0.024	0.032	0.138	2.603	1.270	0.106	0.347
Sujeto 3	Adultos Sanos	P3	d6	0.060	0.059	0.027	0.017	0.128	0.840	0.878	0.111	0.449
Sujeto 3	Adultos Sanos	P3	s6	0.525	0.532	0.107	0.285	0.708	-0.137	-0.326	0.423	0.204
Sujeto 3	Adultos Sanos	P4	d1	0.000	0.000	0.000	0.000	0.001	4.210	2.422	0.001	2.703
Sujeto 3	Adultos Sanos	P4	d2	0.010	0.010	0.002	0.007	0.014	-0.743	0.489	0.007	0.191
Sujeto 3	Adultos Sanos	P4	d3	0.110	0.113	0.037	0.041	0.171	-0.737	-0.176	0.130	0.337
Sujeto 3	Adultos Sanos	P4	d4	0.312	0.296	0.118	0.091	0.494	-0.947	-0.049	0.403	0.378
Sujeto 3	Adultos Sanos	P4	d5	0.057	0.059	0.020	0.025	0.093	-1.020	-0.024	0.068	0.347
Sujeto 3	Adultos Sanos	P4	d6	0.058	0.049	0.032	0.030	0.176	7.854	2.575	0.146	0.545
Sujeto 3	Adultos Sanos	P4	s6	0.454	0.445	0.146	0.214	0.695	-1.024	0.223	0.481	0.323
Sujeto 3	Adultos Sanos	Pz	d1	0.000	0.000	0.000	0.000	0.001	0.377	1.534	0.001	1.991
Sujeto 3	Adultos Sanos	Pz	d2	0.011	0.011	0.003	0.007	0.017	0.327	0.923	0.010	0.272
Sujeto 3	Adultos Sanos	Pz	d3	0.106	0.110	0.036	0.045	0.190	-0.013	0.329	0.145	0.341
Sujeto 3	Adultos Sanos	Pz	d4	0.306	0.326	0.112	0.075	0.470	-0.731	-0.455	0.395	0.364
Sujeto 3	Adultos Sanos	Pz	d5	0.071	0.065	0.028	0.021	0.136	0.291	0.778	0.115	0.390
Sujeto 3	Adultos Sanos	Pz	d6	0.058	0.052	0.026	0.027	0.116	0.018	0.903	0.089	0.446
Sujeto 3	Adultos Sanos	Pz	s6	0.448	0.418	0.128	0.243	0.683	-0.847	0.370	0.440	0.286
Sujeto 4	Adultos Sanos	C3	d1	0.001	0.001	0.000	0.001	0.002	4.210	2.422	0.001	0.300
Sujeto 4	Adultos Sanos	C3	d2	0.019	0.018	0.006	0.011	0.035	1.124	0.998	0.024	0.311
Sujeto 4	Adultos Sanos	C3	d3	0.067	0.061	0.023	0.041	0.142	3.547	1.521	0.101	0.340
Sujeto 4	Adultos Sanos	C3	d4	0.155	0.155	0.046	0.085	0.259	-0.512	0.381	0.174	0.297
Sujeto 4	Adultos Sanos	C3	d5	0.070	0.064	0.024	0.028	0.115	-0.992	0.198	0.087	0.336
Sujeto 4	Adultos Sanos	C3	d6	0.067	0.067	0.037	0.011	0.167	1.117	0.851	0.156	0.550
Sujeto 4	Adultos Sanos	C3	s6	0.621	0.638	0.082	0.453	0.754	-0.162	-0.558	0.301	0.131
Sujeto 4	Adultos Sanos	C4	d1	0.001	0.001	0.000	0.000	0.002	11.500	0.000	0.002	0.295
Sujeto 4	Adultos Sanos	C4	d2	0.019	0.017	0.005	0.014	0.028	-0.769	0.795	0.014	0.248
Sujeto 4	Adultos Sanos	C4	d3	0.077	0.072	0.025	0.044	0.139	0.179	0.866	0.095	0.325
Sujeto 4	Adultos Sanos	C4	d4	0.186	0.179	0.051	0.108	0.275	-0.769	0.224	0.167	0.274
Sujeto 4	Adultos Sanos	C4	d5	0.075	0.074	0.028	0.033	0.148	0.728	0.775	0.115	0.373
Sujeto 4	Adultos Sanos	C4	d6	0.081	0.072	0.046	0.009	0.188	0.236	0.840	0.179	0.564
Sujeto 4	Adultos Sanos	C4	s6	0.562	0.579	0.086	0.363	0.695	0.093	-0.680	0.332	0.153
Sujeto 4	Adultos Sanos	Cz	d1	0.001	0.001	0.000	0.000	0.002	11.500	0.000	0.002	0.295
Sujeto 4	Adultos Sanos	Cz	d2	0.019	0.017	0.006	0.011	0.033	1.049	1.218	0.022	0.307
Sujeto 4	Adultos Sanos	Cz	d3	0.081	0.087	0.025	0.039	0.149	1.144	0.597	0.110	0.308
Sujeto 4	Adultos Sanos	Cz	d4	0.222	0.214	0.062	0.134	0.350	-1.043	0.338	0.216	0.280
Sujeto 4	Adultos Sanos	Cz	d5	0.090	0.088	0.033	0.040	0.148	-1.369	0.053	0.108	0.371
Sujeto 4	Adultos Sanos	Cz	d6	0.082	0.069	0.043	0.019	0.167	-0.948	0.464	0.148	0.523
Sujeto 4	Adultos Sanos	Cz	s6	0.506	0.502	0.100	0.254	0.674	0.410	-0.290	0.420	0.198
Sujeto 4	Adultos Sanos	P3	d1	0.001	0.001	0.000	0.000	0.002	6.341	-0.646	0.002	0.374
Sujeto 4	Adultos Sanos	P3	d2	0.019	0.019	0.005	0.013	0.034	2.895	1.361	0.021	0.248
Sujeto 4	Adultos Sanos	P3	d3	0.083	0.081	0.020	0.055	0.128	0.207	0.801	0.073	0.243
Sujeto 4	Adultos Sanos	P3	d4	0.229	0.209	0.080	0.106	0.423	0.863	1.106	0.317	0.348
Sujeto 4	Adultos Sanos	P3	d5	0.061	0.060	0.022	0.020	0.106	-0.685	0.079	0.086	0.356
Sujeto 4	Adultos Sanos	P3	d6	0.065	0.066	0.032	0.006	0.119	-0.983	-0.125	0.113	0.492
Sujeto 4	Adultos Sanos	P3	s6	0.542	0.557	0.094	0.339	0.726	0.124	-0.524	0.387	0.173
Sujeto 4	Adultos Sanos	P4	d1	0.001	0.001	0.000	0.000	0.001	4.210	-2.422	0.001	0.386
Sujeto 4	Adultos Sanos	P4	d2	0.016	0.015	0.004	0.010	0.025	1.917	1.399	0.015	0.239
Sujeto 4	Adultos Sanos	P4	d3	0.087	0.082	0.030	0.049	0.170	2.830	1.621	0.121	0.346
Sujeto 4	Adultos Sanos	P4	d4	0.244	0.228	0.071	0.127	0.421	0.274	0.631	0.294	0.289
Sujeto 4	Adultos Sanos	P4	d5	0.060	0.058	0.022	0.019	0.112	0.327	0.529	0.093	0.357
Sujeto 4	Adultos Sanos	P4	d6	0.067	0.071	0.028	0.005	0.100	-0.665	-0.570	0.095	0.420
Sujeto 4	Adultos Sanos	P4	s6	0.525	0.528	0.095	0.318	0.692	-0.160	-0.383	0.374	0.181
Sujeto 4	Adultos Sanos	Pz	d1	0.001	0.001	0.000	0.000	0.002	6.341	-0.646	0.002	0.374

ANEXO 4

Sujeto	Grupo	Der.	Coef. de Ondaleta	Media	Mediana	Desv. Est.	Mínimo	Máximo	Curtosis	Coef. de Asimetría	Rango	Coef. de Variación
Sujeto 4	Adultos Sanos	Pz	d2	0.016	0.015	0.004	0.010	0.027	2.050	1.217	0.017	0.236
Sujeto 4	Adultos Sanos	Pz	d3	0.091	0.087	0.028	0.059	0.165	2.479	1.619	0.106	0.309
Sujeto 4	Adultos Sanos	Pz	d4	0.268	0.247	0.079	0.139	0.435	-0.220	0.619	0.296	0.294
Sujeto 4	Adultos Sanos	Pz	d5	0.063	0.065	0.023	0.016	0.107	-0.448	0.019	0.091	0.362
Sujeto 4	Adultos Sanos	Pz	d6	0.065	0.068	0.031	0.006	0.110	-1.185	-0.262	0.104	0.481
Sujeto 4	Adultos Sanos	Pz	s6	0.496	0.517	0.098	0.273	0.690	0.204	-0.562	0.417	0.197
Sujeto 1	Niños Sanos	C3	d1	0.000	0.000	0.001	0.000	0.002	2.676	1.800	0.002	1.886
Sujeto 1	Niños Sanos	C3	d2	0.010	0.009	0.003	0.006	0.017	0.213	0.933	0.011	0.313
Sujeto 1	Niños Sanos	C3	d3	0.075	0.072	0.024	0.044	0.130	-0.158	0.698	0.086	0.321
Sujeto 1	Niños Sanos	C3	d4	0.303	0.314	0.091	0.118	0.498	0.248	-0.091	0.380	0.300
Sujeto 1	Niños Sanos	C3	d5	0.146	0.141	0.045	0.082	0.249	0.323	0.849	0.167	0.307
Sujeto 1	Niños Sanos	C3	d6	0.106	0.114	0.047	0.024	0.182	-0.853	-0.272	0.158	0.440
Sujeto 1	Niños Sanos	C3	s6	0.360	0.351	0.121	0.137	0.620	-0.546	0.067	0.483	0.337
Sujeto 1	Niños Sanos	C4	d1	0.000	0.000	0.001	0.000	0.006	19.196	4.231	0.006	2.996
Sujeto 1	Niños Sanos	C4	d2	0.010	0.009	0.004	0.006	0.020	0.871	1.171	0.014	0.358
Sujeto 1	Niños Sanos	C4	d3	0.080	0.079	0.016	0.058	0.104	-1.493	0.070	0.046	0.197
Sujeto 1	Niños Sanos	C4	d4	0.309	0.303	0.089	0.180	0.503	-0.388	0.538	0.323	0.288
Sujeto 1	Niños Sanos	C4	d5	0.140	0.135	0.051	0.054	0.238	-0.346	0.346	0.184	0.363
Sujeto 1	Niños Sanos	C4	d6	0.092	0.082	0.048	0.016	0.199	-0.247	0.557	0.183	0.524
Sujeto 1	Niños Sanos	C4	s6	0.368	0.388	0.102	0.206	0.549	-0.865	-0.021	0.343	0.279
Sujeto 1	Niños Sanos	Cz	d1	0.000	0.000	0.001	0.000	0.002	4.143	2.131	0.002	2.126
Sujeto 1	Niños Sanos	Cz	d2	0.009	0.008	0.003	0.006	0.018	1.535	1.489	0.012	0.364
Sujeto 1	Niños Sanos	Cz	d3	0.084	0.089	0.019	0.044	0.112	0.048	-0.796	0.068	0.225
Sujeto 1	Niños Sanos	Cz	d4	0.358	0.347	0.090	0.178	0.511	-0.593	0.065	0.333	0.251
Sujeto 1	Niños Sanos	Cz	d5	0.149	0.146	0.047	0.069	0.225	-1.211	0.091	0.156	0.312
Sujeto 1	Niños Sanos	Cz	d6	0.101	0.101	0.047	0.012	0.177	-0.709	-0.288	0.165	0.471
Sujeto 1	Niños Sanos	Cz	s6	0.298	0.286	0.091	0.133	0.485	-0.634	0.154	0.352	0.306
Sujeto 1	Niños Sanos	P3	d1	0.000	0.000	0.000	0.000	0.001	0.377	1.534	0.001	1.991
Sujeto 1	Niños Sanos	P3	d2	0.009	0.009	0.003	0.005	0.017	0.223	0.987	0.012	0.367
Sujeto 1	Niños Sanos	P3	d3	0.075	0.080	0.019	0.038	0.104	-1.177	-0.304	0.066	0.250
Sujeto 1	Niños Sanos	P3	d4	0.317	0.325	0.094	0.124	0.509	0.369	-0.327	0.385	0.297
Sujeto 1	Niños Sanos	P3	d5	0.139	0.129	0.059	0.056	0.271	-0.371	0.653	0.215	0.424
Sujeto 1	Niños Sanos	P3	d6	0.106	0.101	0.045	0.021	0.194	-0.567	0.312	0.173	0.422
Sujeto 1	Niños Sanos	P3	s6	0.354	0.350	0.135	0.127	0.649	-0.647	0.285	0.522	0.382
Sujeto 1	Niños Sanos	P4	d1	0.000	0.000	0.000	0.000	0.002	24.000	4.899	0.002	4.899
Sujeto 1	Niños Sanos	P4	d2	0.008	0.008	0.002	0.005	0.013	-0.877	0.426	0.008	0.310
Sujeto 1	Niños Sanos	P4	d3	0.079	0.077	0.015	0.053	0.107	-0.427	0.288	0.054	0.186
Sujeto 1	Niños Sanos	P4	d4	0.356	0.355	0.085	0.236	0.493	-1.403	0.242	0.257	0.238
Sujeto 1	Niños Sanos	P4	d5	0.135	0.120	0.057	0.067	0.271	-0.309	0.735	0.204	0.426
Sujeto 1	Niños Sanos	P4	d6	0.085	0.078	0.038	0.014	0.176	0.728	0.535	0.162	0.447
Sujeto 1	Niños Sanos	P4	s6	0.337	0.345	0.092	0.202	0.552	-0.189	0.417	0.350	0.274
Sujeto 1	Niños Sanos	Pz	d1	0.000	0.000	0.000	0.000	0.001	4.210	2.422	0.001	2.703
Sujeto 1	Niños Sanos	Pz	d2	0.007	0.007	0.002	0.004	0.014	1.133	1.041	0.010	0.330
Sujeto 1	Niños Sanos	Pz	d3	0.073	0.076	0.016	0.038	0.098	-0.477	-0.564	0.060	0.223
Sujeto 1	Niños Sanos	Pz	d4	0.332	0.314	0.087	0.195	0.520	-0.506	0.267	0.325	0.261
Sujeto 1	Niños Sanos	Pz	d5	0.146	0.140	0.062	0.069	0.286	-0.476	0.672	0.217	0.427
Sujeto 1	Niños Sanos	Pz	d6	0.097	0.095	0.041	0.020	0.197	0.588	0.287	0.177	0.424
Sujeto 1	Niños Sanos	Pz	s6	0.344	0.349	0.110	0.168	0.561	-0.956	0.162	0.393	0.321
Sujeto 2	Niños Sanos	C3	d1	0.000	0.000	0.000	0.000	0.002	9.458	3.068	0.002	2.889
Sujeto 2	Niños Sanos	C3	d2	0.006	0.006	0.001	0.004	0.009	0.082	0.402	0.005	0.214
Sujeto 2	Niños Sanos	C3	d3	0.044	0.044	0.009	0.027	0.066	0.419	0.387	0.039	0.203
Sujeto 2	Niños Sanos	C3	d4	0.159	0.161	0.049	0.056	0.252	-0.154	0.122	0.196	0.308
Sujeto 2	Niños Sanos	C3	d5	0.137	0.133	0.041	0.072	0.218	-0.370	0.440	0.146	0.300
Sujeto 2	Niños Sanos	C3	d6	0.086	0.090	0.048	0.006	0.235	2.671	1.046	0.229	0.565
Sujeto 2	Niños Sanos	C3	s6	0.569	0.579	0.062	0.445	0.676	-0.488	-0.274	0.231	0.110
Sujeto 2	Niños Sanos	C4	d1	0.000	0.000	0.000	0.000	0.001	24.000	4.899	0.001	4.899
Sujeto 2	Niños Sanos	C4	d2	0.005	0.005	0.001	0.003	0.007	-0.537	0.178	0.004	0.198
Sujeto 2	Niños Sanos	C4	d3	0.039	0.040	0.011	0.014	0.057	-0.264	-0.259	0.043	0.275
Sujeto 2	Niños Sanos	C4	d4	0.142	0.132	0.047	0.086	0.269	1.087	1.087	0.183	0.332
Sujeto 2	Niños Sanos	C4	d5	0.111	0.103	0.046	0.044	0.238	2.789	1.510	0.194	0.413
Sujeto 2	Niños Sanos	C4	d6	0.062	0.052	0.034	0.009	0.133	-0.462	0.516	0.124	0.547
Sujeto 2	Niños Sanos	C4	s6	0.642	0.657	0.064	0.492	0.775	0.503	-0.444	0.283	0.099
Sujeto 2	Niños Sanos	Cz	d1	0.000	0.000	0.000	0.000	0.002	14.650	3.797	0.002	3.587
Sujeto 2	Niños Sanos	Cz	d2	0.006	0.006	0.001	0.003	0.008	-0.808	-0.497	0.005	0.230
Sujeto 2	Niños Sanos	Cz	d3	0.048	0.048	0.013	0.032	0.090	3.528	1.390	0.058	0.272
Sujeto 2	Niños Sanos	Cz	d4	0.189	0.184	0.049	0.114	0.301	-0.464	0.417	0.187	0.262

ANEXO 4

Sujeto	Grupo	Der.	Coef. de Ondaleta	Media	Mediana	Desv. Est.	Mínimo	Máximo	Curtosis	Coef. de Asimetría	Rango	Coef. de Variación
Sujeto 2	Niños Sanos	Cz	d5	0.176	0.174	0.066	0.086	0.355	0.907	0.831	0.269	0.373
Sujeto 2	Niños Sanos	Cz	d6	0.087	0.087	0.042	0.020	0.194	0.509	0.491	0.174	0.479
Sujeto 2	Niños Sanos	Cz	s6	0.494	0.492	0.087	0.325	0.672	-0.251	-0.022	0.347	0.177
Sujeto 2	Niños Sanos	P3	d1	0.000	0.000	0.001	0.000	0.004	20.859	4.498	0.004	3.998
Sujeto 2	Niños Sanos	P3	d2	0.006	0.006	0.002	0.003	0.011	3.735	1.201	0.008	0.272
Sujeto 2	Niños Sanos	P3	d3	0.058	0.057	0.013	0.037	0.088	-0.117	0.587	0.051	0.231
Sujeto 2	Niños Sanos	P3	d4	0.266	0.261	0.067	0.133	0.371	-0.646	0.045	0.238	0.253
Sujeto 2	Niños Sanos	P3	d5	0.130	0.129	0.037	0.070	0.197	-1.027	0.137	0.127	0.287
Sujeto 2	Niños Sanos	P3	d6	0.081	0.065	0.047	0.030	0.250	6.796	2.338	0.220	0.583
Sujeto 2	Niños Sanos	P3	s6	0.460	0.471	0.074	0.308	0.577	-0.668	-0.345	0.269	0.161
Sujeto 2	Niños Sanos	P4	d1	0.000	0.000	0.000	0.000	0.001	9.124	3.220	0.001	3.388
Sujeto 2	Niños Sanos	P4	d2	0.004	0.004	0.001	0.003	0.007	0.233	0.918	0.004	0.278
Sujeto 2	Niños Sanos	P4	d3	0.048	0.048	0.012	0.024	0.065	-0.592	-0.430	0.041	0.241
Sujeto 2	Niños Sanos	P4	d4	0.239	0.248	0.067	0.129	0.382	-0.640	0.204	0.253	0.279
Sujeto 2	Niños Sanos	P4	d5	0.106	0.098	0.036	0.040	0.183	-0.625	0.282	0.143	0.342
Sujeto 2	Niños Sanos	P4	d6	0.064	0.057	0.035	0.013	0.157	0.764	0.891	0.144	0.539
Sujeto 2	Niños Sanos	P4	s6	0.539	0.538	0.080	0.324	0.701	1.318	-0.510	0.377	0.148
Sujeto 2	Niños Sanos	Pz	d1	0.000	0.000	0.000	0.000	0.002	14.650	3.797	0.002	3.587
Sujeto 2	Niños Sanos	Pz	d2	0.004	0.004	0.001	0.002	0.006	0.448	0.156	0.004	0.232
Sujeto 2	Niños Sanos	Pz	d3	0.051	0.049	0.012	0.024	0.082	0.827	0.377	0.058	0.246
Sujeto 2	Niños Sanos	Pz	d4	0.259	0.265	0.071	0.094	0.388	-0.026	-0.287	0.294	0.274
Sujeto 2	Niños Sanos	Pz	d5	0.122	0.114	0.043	0.041	0.194	-0.836	0.195	0.153	0.348
Sujeto 2	Niños Sanos	Pz	d6	0.067	0.059	0.036	0.022	0.186	4.517	1.894	0.164	0.537
Sujeto 2	Niños Sanos	Pz	s6	0.496	0.490	0.077	0.334	0.625	-0.579	-0.180	0.291	0.155
Sujeto 3	Niños Sanos	C3	d1	0.000	0.000	0.000	0.000	0.001	-0.531	1.233	0.001	1.769
Sujeto 3	Niños Sanos	C3	d2	0.012	0.012	0.003	0.007	0.019	-0.528	0.307	0.012	0.272
Sujeto 3	Niños Sanos	C3	d3	0.103	0.108	0.016	0.074	0.132	-0.932	0.013	0.058	0.160
Sujeto 3	Niños Sanos	C3	d4	0.283	0.281	0.064	0.184	0.413	-0.664	0.345	0.229	0.227
Sujeto 3	Niños Sanos	C3	d5	0.110	0.110	0.038	0.041	0.194	-0.089	0.402	0.153	0.347
Sujeto 3	Niños Sanos	C3	d6	0.072	0.064	0.042	0.024	0.215	4.645	1.780	0.191	0.583
Sujeto 3	Niños Sanos	C3	s6	0.419	0.421	0.072	0.274	0.541	-0.792	-0.178	0.267	0.172
Sujeto 3	Niños Sanos	C4	d1	0.000	0.000	0.001	0.000	0.002	6.258	2.539	0.002	2.443
Sujeto 3	Niños Sanos	C4	d2	0.014	0.012	0.003	0.008	0.022	0.721	0.990	0.014	0.249
Sujeto 3	Niños Sanos	C4	d3	0.109	0.116	0.023	0.056	0.144	-0.377	-0.464	0.088	0.209
Sujeto 3	Niños Sanos	C4	d4	0.280	0.263	0.056	0.200	0.409	0.259	0.869	0.209	0.201
Sujeto 3	Niños Sanos	C4	d5	0.098	0.090	0.041	0.043	0.234	4.075	1.588	0.191	0.417
Sujeto 3	Niños Sanos	C4	d6	0.076	0.064	0.048	0.013	0.182	0.048	0.955	0.169	0.623
Sujeto 3	Niños Sanos	C4	s6	0.422	0.407	0.089	0.194	0.556	0.333	-0.572	0.362	0.211
Sujeto 3	Niños Sanos	Cz	d1	0.000	0.000	0.000	0.000	0.001	-1.568	0.755	0.001	1.445
Sujeto 3	Niños Sanos	Cz	d2	0.013	0.013	0.003	0.008	0.019	-0.484	0.379	0.011	0.221
Sujeto 3	Niños Sanos	Cz	d3	0.103	0.102	0.020	0.058	0.154	0.930	0.275	0.096	0.197
Sujeto 3	Niños Sanos	Cz	d4	0.302	0.309	0.075	0.180	0.453	-0.329	0.270	0.273	0.248
Sujeto 3	Niños Sanos	Cz	d5	0.129	0.126	0.040	0.073	0.223	-0.031	0.641	0.150	0.309
Sujeto 3	Niños Sanos	Cz	d6	0.086	0.075	0.053	0.018	0.277	7.035	2.209	0.259	0.614
Sujeto 3	Niños Sanos	Cz	s6	0.366	0.356	0.073	0.220	0.502	-0.266	0.067	0.282	0.199
Sujeto 3	Niños Sanos	P3	d1	0.000	0.000	0.000	0.000	0.001	4.210	2.422	0.001	2.703
Sujeto 3	Niños Sanos	P3	d2	0.012	0.010	0.003	0.007	0.021	1.971	1.326	0.014	0.283
Sujeto 3	Niños Sanos	P3	d3	0.112	0.116	0.019	0.068	0.143	-0.435	-0.495	0.075	0.170
Sujeto 3	Niños Sanos	P3	d4	0.344	0.326	0.076	0.213	0.562	1.794	1.034	0.349	0.220
Sujeto 3	Niños Sanos	P3	d5	0.094	0.087	0.031	0.047	0.167	-0.048	0.716	0.120	0.336
Sujeto 3	Niños Sanos	P3	d6	0.076	0.068	0.044	0.028	0.228	4.866	1.898	0.200	0.587
Sujeto 3	Niños Sanos	P3	s6	0.363	0.369	0.073	0.206	0.494	-0.158	-0.300	0.288	0.201
Sujeto 3	Niños Sanos	P4	d1	0.000	0.000	0.000	0.000	0.001	4.210	2.422	0.001	2.703
Sujeto 3	Niños Sanos	P4	d2	0.012	0.011	0.003	0.007	0.019	0.794	1.038	0.012	0.264
Sujeto 3	Niños Sanos	P4	d3	0.119	0.113	0.029	0.068	0.194	0.651	0.772	0.126	0.244
Sujeto 3	Niños Sanos	P4	d4	0.326	0.325	0.067	0.181	0.457	-0.044	-0.015	0.276	0.204
Sujeto 3	Niños Sanos	P4	d5	0.073	0.060	0.029	0.040	0.157	2.018	1.477	0.117	0.395
Sujeto 3	Niños Sanos	P4	d6	0.055	0.048	0.027	0.021	0.123	0.882	1.161	0.102	0.499
Sujeto 3	Niños Sanos	P4	s6	0.416	0.430	0.084	0.273	0.592	-0.412	0.131	0.319	0.203
Sujeto 3	Niños Sanos	Pz	d1	0.000	0.000	0.000	0.000	0.001	0.377	1.534	0.001	1.991
Sujeto 3	Niños Sanos	Pz	d2	0.011	0.010	0.004	0.006	0.020	2.615	1.739	0.014	0.336
Sujeto 3	Niños Sanos	Pz	d3	0.111	0.111	0.022	0.069	0.148	-0.521	-0.151	0.079	0.193
Sujeto 3	Niños Sanos	Pz	d4	0.359	0.371	0.081	0.175	0.525	0.428	-0.233	0.350	0.226
Sujeto 3	Niños Sanos	Pz	d5	0.089	0.082	0.034	0.043	0.194	2.857	1.505	0.151	0.381
Sujeto 3	Niños Sanos	Pz	d6	0.067	0.058	0.045	0.023	0.246	10.553	2.856	0.223	0.672
Sujeto 3	Niños Sanos	Pz	s6	0.363	0.345	0.087	0.233	0.546	-0.786	0.496	0.313	0.240

ANEXO 4

Sujeto	Grupo	Der.	Coef. de Ondeleta	Media	Mediana	Desv. Est.	Mínimo	Máximo	Curtosis	Coef. de Asimetría	Rango	Coef. de Variación
Sujeto 4	Niños Sanos	C3	d1	0.000	0.000	0.000	0.000	0.000			0.000	
Sujeto 4	Niños Sanos	C3	d2	0.001	0.001	0.000	0.000	0.001	0.377	-1.534	0.001	0.524
Sujeto 4	Niños Sanos	C3	d3	0.003	0.003	0.001	0.002	0.006	1.589	1.153	0.004	0.272
Sujeto 4	Niños Sanos	C3	d4	0.016	0.015	0.006	0.005	0.028	0.542	0.331	0.023	0.373
Sujeto 4	Niños Sanos	C3	d5	0.010	0.009	0.004	0.003	0.018	0.159	0.740	0.015	0.406
Sujeto 4	Niños Sanos	C3	d6	0.010	0.010	0.004	0.002	0.019	1.118	0.132	0.017	0.343
Sujeto 4	Niños Sanos	C3	s6	0.960	0.960	0.009	0.944	0.975	-0.596	0.062	0.031	0.009
Sujeto 4	Niños Sanos	C4	d1	0.000	0.000	0.000	0.000	0.000			0.000	
Sujeto 4	Niños Sanos	C4	d2	0.001	0.001	0.000	0.000	0.001	1.792	-1.910	0.001	0.457
Sujeto 4	Niños Sanos	C4	d3	0.004	0.004	0.001	0.003	0.007	2.972	1.409	0.004	0.249
Sujeto 4	Niños Sanos	C4	d4	0.016	0.015	0.005	0.009	0.027	-0.425	0.637	0.018	0.313
Sujeto 4	Niños Sanos	C4	d5	0.011	0.011	0.003	0.005	0.017	-0.735	0.089	0.012	0.297
Sujeto 4	Niños Sanos	C4	d6	0.011	0.010	0.004	0.001	0.020	2.503	-0.119	0.019	0.333
Sujeto 4	Niños Sanos	C4	s6	0.958	0.958	0.007	0.945	0.973	0.258	0.322	0.028	0.007
Sujeto 4	Niños Sanos	Cz	d1	0.000	0.000	0.000	0.000	0.000			0.000	
Sujeto 4	Niños Sanos	Cz	d2	0.001	0.001	0.000	0.000	0.001	1.792	-1.910	0.001	0.457
Sujeto 4	Niños Sanos	Cz	d3	0.003	0.003	0.001	0.002	0.006	2.107	1.141	0.004	0.290
Sujeto 4	Niños Sanos	Cz	d4	0.018	0.019	0.007	0.005	0.033	0.063	0.216	0.028	0.371
Sujeto 4	Niños Sanos	Cz	d5	0.013	0.013	0.005	0.005	0.024	0.667	0.466	0.019	0.356
Sujeto 4	Niños Sanos	Cz	d6	0.012	0.012	0.004	0.003	0.021	1.171	0.230	0.018	0.325
Sujeto 4	Niños Sanos	Cz	s6	0.954	0.952	0.010	0.938	0.973	-0.891	0.313	0.035	0.011
Sujeto 4	Niños Sanos	P3	d1	0.000	0.000	0.000	0.000	0.000			0.000	
Sujeto 4	Niños Sanos	P3	d2	0.001	0.001	0.000	0.000	0.001	0.377	-1.534	0.001	0.524
Sujeto 4	Niños Sanos	P3	d3	0.004	0.004	0.001	0.002	0.006	-0.605	-0.077	0.004	0.297
Sujeto 4	Niños Sanos	P3	d4	0.020	0.021	0.007	0.004	0.035	0.240	-0.354	0.031	0.366
Sujeto 4	Niños Sanos	P3	d5	0.011	0.010	0.005	0.004	0.023	1.076	1.057	0.019	0.425
Sujeto 4	Niños Sanos	P3	d6	0.011	0.011	0.004	0.003	0.020	0.005	0.166	0.017	0.354
Sujeto 4	Niños Sanos	P3	s6	0.954	0.954	0.010	0.936	0.977	-0.464	0.273	0.041	0.011
Sujeto 4	Niños Sanos	P4	d1	0.000	0.000	0.000	0.000	0.000			0.000	
Sujeto 4	Niños Sanos	P4	d2	0.001	0.001	0.000	0.000	0.001	-1.145	-0.979	0.001	0.655
Sujeto 4	Niños Sanos	P4	d3	0.003	0.003	0.001	0.001	0.004	0.950	-0.809	0.003	0.279
Sujeto 4	Niños Sanos	P4	d4	0.015	0.015	0.005	0.007	0.027	0.355	0.252	0.020	0.322
Sujeto 4	Niños Sanos	P4	d5	0.008	0.007	0.003	0.004	0.014	-0.933	0.591	0.010	0.400
Sujeto 4	Niños Sanos	P4	d6	0.010	0.011	0.003	0.001	0.016	1.057	-0.729	0.015	0.332
Sujeto 4	Niños Sanos	P4	s6	0.964	0.965	0.007	0.950	0.979	-0.195	-0.006	0.029	0.008
Sujeto 4	Niños Sanos	Pz	d1	0.000	0.000	0.000	0.000	0.000			0.000	
Sujeto 4	Niños Sanos	Pz	d2	0.001	0.001	0.000	0.000	0.001	0.377	-1.534	0.001	0.524
Sujeto 4	Niños Sanos	Pz	d3	0.003	0.003	0.001	0.002	0.005	-0.789	-0.014	0.003	0.275
Sujeto 4	Niños Sanos	Pz	d4	0.019	0.018	0.007	0.007	0.038	1.020	0.675	0.031	0.379
Sujeto 4	Niños Sanos	Pz	d5	0.012	0.011	0.005	0.005	0.023	0.395	0.797	0.018	0.390
Sujeto 4	Niños Sanos	Pz	d6	0.012	0.012	0.004	0.002	0.022	0.679	0.129	0.020	0.371
Sujeto 4	Niños Sanos	Pz	s6	0.954	0.952	0.011	0.936	0.973	-0.583	0.380	0.037	0.011

ANEXO 5

Sujeto	Grupo	Segmento	Derivación	Entropía	Sujeto	Grupo	Segmento	Derivación	Entropía
Sujeto 1	Adultos Sanos	1	C3	1.5050	Sujeto 1	Adultos Sanos	15	P3	1.3707
Sujeto 1	Adultos Sanos	2	C3	1.3730	Sujeto 1	Adultos Sanos	16	P3	1.0844
Sujeto 1	Adultos Sanos	3	C3	1.3084	Sujeto 1	Adultos Sanos	17	P3	1.2447
Sujeto 1	Adultos Sanos	4	C3	1.2535	Sujeto 1	Adultos Sanos	18	P3	1.3897
Sujeto 1	Adultos Sanos	5	C3	1.4230	Sujeto 1	Adultos Sanos	19	P3	1.2475
Sujeto 1	Adultos Sanos	6	C3	1.3960	Sujeto 1	Adultos Sanos	20	P3	1.1330
Sujeto 1	Adultos Sanos	7	C3	1.3230	Sujeto 1	Adultos Sanos	21	P3	1.2447
Sujeto 1	Adultos Sanos	8	C3	1.3667	Sujeto 1	Adultos Sanos	22	P3	1.3216
Sujeto 1	Adultos Sanos	9	C3	1.4784	Sujeto 1	Adultos Sanos	23	P3	1.3753
Sujeto 1	Adultos Sanos	10	C3	1.3655	Sujeto 1	Adultos Sanos	24	P3	1.4219
Sujeto 1	Adultos Sanos	11	C3	1.4920	Sujeto 1	Adultos Sanos	1	P4	1.3914
Sujeto 1	Adultos Sanos	12	C3	1.3458	Sujeto 1	Adultos Sanos	2	P4	1.2867
Sujeto 1	Adultos Sanos	13	C3	1.4836	Sujeto 1	Adultos Sanos	3	P4	1.1694
Sujeto 1	Adultos Sanos	14	C3	1.4971	Sujeto 1	Adultos Sanos	4	P4	1.3175
Sujeto 1	Adultos Sanos	15	C3	1.4233	Sujeto 1	Adultos Sanos	5	P4	1.1178
Sujeto 1	Adultos Sanos	16	C3	1.3749	Sujeto 1	Adultos Sanos	6	P4	1.2307
Sujeto 1	Adultos Sanos	17	C3	1.4087	Sujeto 1	Adultos Sanos	7	P4	1.2708
Sujeto 1	Adultos Sanos	18	C3	1.3495	Sujeto 1	Adultos Sanos	8	P4	1.2489
Sujeto 1	Adultos Sanos	19	C3	1.1303	Sujeto 1	Adultos Sanos	9	P4	1.4286
Sujeto 1	Adultos Sanos	20	C3	1.1442	Sujeto 1	Adultos Sanos	10	P4	1.2796
Sujeto 1	Adultos Sanos	21	C3	1.4342	Sujeto 1	Adultos Sanos	11	P4	1.2959
Sujeto 1	Adultos Sanos	22	C3	1.3245	Sujeto 1	Adultos Sanos	12	P4	1.2195
Sujeto 1	Adultos Sanos	23	C3	1.4151	Sujeto 1	Adultos Sanos	13	P4	1.4929
Sujeto 1	Adultos Sanos	24	C3	1.4486	Sujeto 1	Adultos Sanos	14	P4	1.2944
Sujeto 1	Adultos Sanos	1	C4	1.4472	Sujeto 1	Adultos Sanos	15	P4	1.3203
Sujeto 1	Adultos Sanos	2	C4	1.3554	Sujeto 1	Adultos Sanos	16	P4	1.1271
Sujeto 1	Adultos Sanos	3	C4	1.2338	Sujeto 1	Adultos Sanos	17	P4	1.0284
Sujeto 1	Adultos Sanos	4	C4	1.3510	Sujeto 1	Adultos Sanos	18	P4	1.4022
Sujeto 1	Adultos Sanos	5	C4	1.3293	Sujeto 1	Adultos Sanos	19	P4	1.1020
Sujeto 1	Adultos Sanos	6	C4	1.4334	Sujeto 1	Adultos Sanos	20	P4	1.1801
Sujeto 1	Adultos Sanos	7	C4	1.3334	Sujeto 1	Adultos Sanos	21	P4	1.1642
Sujeto 1	Adultos Sanos	8	C4	1.2656	Sujeto 1	Adultos Sanos	22	P4	1.3351
Sujeto 1	Adultos Sanos	9	C4	1.5167	Sujeto 1	Adultos Sanos	23	P4	1.2969
Sujeto 1	Adultos Sanos	10	C4	1.3706	Sujeto 1	Adultos Sanos	24	P4	1.4242
Sujeto 1	Adultos Sanos	11	C4	1.4026	Sujeto 1	Adultos Sanos	1	Cz	1.4378
Sujeto 1	Adultos Sanos	12	C4	1.3690	Sujeto 1	Adultos Sanos	2	Cz	1.2913
Sujeto 1	Adultos Sanos	13	C4	1.5021	Sujeto 1	Adultos Sanos	3	Cz	1.2715
Sujeto 1	Adultos Sanos	14	C4	1.4518	Sujeto 1	Adultos Sanos	4	Cz	1.3094
Sujeto 1	Adultos Sanos	15	C4	1.4303	Sujeto 1	Adultos Sanos	5	Cz	1.3477
Sujeto 1	Adultos Sanos	16	C4	1.3443	Sujeto 1	Adultos Sanos	6	Cz	1.4026
Sujeto 1	Adultos Sanos	17	C4	1.3776	Sujeto 1	Adultos Sanos	7	Cz	1.4049
Sujeto 1	Adultos Sanos	18	C4	1.4378	Sujeto 1	Adultos Sanos	8	Cz	1.3003
Sujeto 1	Adultos Sanos	19	C4	1.1142	Sujeto 1	Adultos Sanos	9	Cz	1.4816
Sujeto 1	Adultos Sanos	20	C4	1.4175	Sujeto 1	Adultos Sanos	10	Cz	1.3773
Sujeto 1	Adultos Sanos	21	C4	1.4403	Sujeto 1	Adultos Sanos	11	Cz	1.4527
Sujeto 1	Adultos Sanos	22	C4	1.3700	Sujeto 1	Adultos Sanos	12	Cz	1.3561
Sujeto 1	Adultos Sanos	23	C4	1.4576	Sujeto 1	Adultos Sanos	13	Cz	1.4998
Sujeto 1	Adultos Sanos	24	C4	1.3830	Sujeto 1	Adultos Sanos	14	Cz	1.4789
Sujeto 1	Adultos Sanos	1	P3	1.2706	Sujeto 1	Adultos Sanos	15	Cz	1.3795
Sujeto 1	Adultos Sanos	2	P3	1.2872	Sujeto 1	Adultos Sanos	16	Cz	1.3466
Sujeto 1	Adultos Sanos	3	P3	1.3347	Sujeto 1	Adultos Sanos	17	Cz	1.3967
Sujeto 1	Adultos Sanos	4	P3	1.2730	Sujeto 1	Adultos Sanos	18	Cz	1.4360
Sujeto 1	Adultos Sanos	5	P3	1.3350	Sujeto 1	Adultos Sanos	19	Cz	1.1396
Sujeto 1	Adultos Sanos	6	P3	1.2278	Sujeto 1	Adultos Sanos	20	Cz	1.3485
Sujeto 1	Adultos Sanos	7	P3	1.2740	Sujeto 1	Adultos Sanos	21	Cz	1.4529
Sujeto 1	Adultos Sanos	8	P3	1.3899	Sujeto 1	Adultos Sanos	22	Cz	1.3353
Sujeto 1	Adultos Sanos	9	P3	1.3869	Sujeto 1	Adultos Sanos	23	Cz	1.4942
Sujeto 1	Adultos Sanos	10	P3	1.3386	Sujeto 1	Adultos Sanos	24	Cz	1.5051
Sujeto 1	Adultos Sanos	11	P3	1.4290	Sujeto 1	Adultos Sanos	1	Pz	1.3717
Sujeto 1	Adultos Sanos	12	P3	1.2097	Sujeto 1	Adultos Sanos	2	Pz	1.2861
Sujeto 1	Adultos Sanos	13	P3	1.4994	Sujeto 1	Adultos Sanos	3	Pz	1.2692
Sujeto 1	Adultos Sanos	14	P3	1.3757	Sujeto 1	Adultos Sanos	4	Pz	1.3074

ANEXO 5

Sujeto	Grupo	Segmento	Derivación	Entropía	Sujeto	Grupo	Segmento	Derivación	Entropía
Sujeto 1	Adultos Sanos	5	Pz	1.2832	Sujeto 2	Adultos Sanos	19	C4	1.3384
Sujeto 1	Adultos Sanos	6	Pz	1.2181	Sujeto 2	Adultos Sanos	20	C4	1.3756
Sujeto 1	Adultos Sanos	7	Pz	1.2622	Sujeto 2	Adultos Sanos	21	C4	1.3741
Sujeto 1	Adultos Sanos	8	Pz	1.3542	Sujeto 2	Adultos Sanos	22	C4	1.2014
Sujeto 1	Adultos Sanos	9	Pz	1.4619	Sujeto 2	Adultos Sanos	23	C4	1.2748
Sujeto 1	Adultos Sanos	10	Pz	1.3736	Sujeto 2	Adultos Sanos	24	C4	1.3832
Sujeto 1	Adultos Sanos	11	Pz	1.3994	Sujeto 2	Adultos Sanos	1	P3	1.2112
Sujeto 1	Adultos Sanos	12	Pz	1.2275	Sujeto 2	Adultos Sanos	2	P3	1.3042
Sujeto 1	Adultos Sanos	13	Pz	1.4732	Sujeto 2	Adultos Sanos	3	P3	1.1453
Sujeto 1	Adultos Sanos	14	Pz	1.3760	Sujeto 2	Adultos Sanos	4	P3	1.2597
Sujeto 1	Adultos Sanos	15	Pz	1.3281	Sujeto 2	Adultos Sanos	5	P3	1.4548
Sujeto 1	Adultos Sanos	16	Pz	1.0943	Sujeto 2	Adultos Sanos	6	P3	1.1405
Sujeto 1	Adultos Sanos	17	Pz	1.1248	Sujeto 2	Adultos Sanos	7	P3	1.3966
Sujeto 1	Adultos Sanos	18	Pz	1.4004	Sujeto 2	Adultos Sanos	8	P3	1.2409
Sujeto 1	Adultos Sanos	19	Pz	1.1990	Sujeto 2	Adultos Sanos	9	P3	1.4479
Sujeto 1	Adultos Sanos	20	Pz	1.1933	Sujeto 2	Adultos Sanos	10	P3	1.2025
Sujeto 1	Adultos Sanos	21	Pz	1.2874	Sujeto 2	Adultos Sanos	11	P3	1.2852
Sujeto 1	Adultos Sanos	22	Pz	1.3209	Sujeto 2	Adultos Sanos	12	P3	1.2154
Sujeto 1	Adultos Sanos	23	Pz	1.3496	Sujeto 2	Adultos Sanos	13	P3	1.0708
Sujeto 1	Adultos Sanos	24	Pz	1.4686	Sujeto 2	Adultos Sanos	14	P3	1.1219
Sujeto 2	Adultos Sanos	1	C3	1.2294	Sujeto 2	Adultos Sanos	15	P3	1.2920
Sujeto 2	Adultos Sanos	2	C3	1.4133	Sujeto 2	Adultos Sanos	16	P3	1.3765
Sujeto 2	Adultos Sanos	3	C3	1.3032	Sujeto 2	Adultos Sanos	17	P3	1.1030
Sujeto 2	Adultos Sanos	4	C3	1.3437	Sujeto 2	Adultos Sanos	18	P3	1.1339
Sujeto 2	Adultos Sanos	5	C3	1.4313	Sujeto 2	Adultos Sanos	19	P3	1.3168
Sujeto 2	Adultos Sanos	6	C3	1.2046	Sujeto 2	Adultos Sanos	20	P3	1.2661
Sujeto 2	Adultos Sanos	7	C3	1.4047	Sujeto 2	Adultos Sanos	21	P3	1.2661
Sujeto 2	Adultos Sanos	8	C3	1.2735	Sujeto 2	Adultos Sanos	22	P3	1.1271
Sujeto 2	Adultos Sanos	9	C3	1.2926	Sujeto 2	Adultos Sanos	23	P3	1.3831
Sujeto 2	Adultos Sanos	10	C3	1.3130	Sujeto 2	Adultos Sanos	24	P3	1.3001
Sujeto 2	Adultos Sanos	11	C3	1.2461	Sujeto 2	Adultos Sanos	1	P4	1.1582
Sujeto 2	Adultos Sanos	12	C3	1.3703	Sujeto 2	Adultos Sanos	2	P4	1.1724
Sujeto 2	Adultos Sanos	13	C3	1.3276	Sujeto 2	Adultos Sanos	3	P4	1.3222
Sujeto 2	Adultos Sanos	14	C3	1.2642	Sujeto 2	Adultos Sanos	4	P4	1.1571
Sujeto 2	Adultos Sanos	15	C3	1.4395	Sujeto 2	Adultos Sanos	5	P4	1.2588
Sujeto 2	Adultos Sanos	16	C3	1.3744	Sujeto 2	Adultos Sanos	6	P4	1.1014
Sujeto 2	Adultos Sanos	17	C3	1.2462	Sujeto 2	Adultos Sanos	7	P4	1.3579
Sujeto 2	Adultos Sanos	18	C3	1.3032	Sujeto 2	Adultos Sanos	8	P4	1.1909
Sujeto 2	Adultos Sanos	19	C3	1.2990	Sujeto 2	Adultos Sanos	9	P4	1.4054
Sujeto 2	Adultos Sanos	20	C3	1.3132	Sujeto 2	Adultos Sanos	10	P4	1.1943
Sujeto 2	Adultos Sanos	21	C3	1.2444	Sujeto 2	Adultos Sanos	11	P4	1.2583
Sujeto 2	Adultos Sanos	22	C3	1.2257	Sujeto 2	Adultos Sanos	12	P4	1.2273
Sujeto 2	Adultos Sanos	23	C3	1.3885	Sujeto 2	Adultos Sanos	13	P4	1.2509
Sujeto 2	Adultos Sanos	24	C3	1.4061	Sujeto 2	Adultos Sanos	14	P4	1.2968
Sujeto 2	Adultos Sanos	1	C4	1.2229	Sujeto 2	Adultos Sanos	15	P4	1.1203
Sujeto 2	Adultos Sanos	2	C4	1.2915	Sujeto 2	Adultos Sanos	16	P4	1.2265
Sujeto 2	Adultos Sanos	3	C4	1.3970	Sujeto 2	Adultos Sanos	17	P4	1.1483
Sujeto 2	Adultos Sanos	4	C4	1.3261	Sujeto 2	Adultos Sanos	18	P4	1.0562
Sujeto 2	Adultos Sanos	5	C4	1.3462	Sujeto 2	Adultos Sanos	19	P4	1.3675
Sujeto 2	Adultos Sanos	6	C4	1.2061	Sujeto 2	Adultos Sanos	20	P4	1.1733
Sujeto 2	Adultos Sanos	7	C4	1.4119	Sujeto 2	Adultos Sanos	21	P4	1.3361
Sujeto 2	Adultos Sanos	8	C4	1.3483	Sujeto 2	Adultos Sanos	22	P4	1.1616
Sujeto 2	Adultos Sanos	9	C4	1.4294	Sujeto 2	Adultos Sanos	23	P4	1.1606
Sujeto 2	Adultos Sanos	10	C4	1.2862	Sujeto 2	Adultos Sanos	24	P4	1.3021
Sujeto 2	Adultos Sanos	11	C4	1.3059	Sujeto 2	Adultos Sanos	1	Cz	1.1975
Sujeto 2	Adultos Sanos	12	C4	1.4426	Sujeto 2	Adultos Sanos	2	Cz	1.3825
Sujeto 2	Adultos Sanos	13	C4	1.3632	Sujeto 2	Adultos Sanos	3	Cz	1.3114
Sujeto 2	Adultos Sanos	14	C4	1.4148	Sujeto 2	Adultos Sanos	4	Cz	1.3401
Sujeto 2	Adultos Sanos	15	C4	1.2584	Sujeto 2	Adultos Sanos	5	Cz	1.3391
Sujeto 2	Adultos Sanos	16	C4	1.4073	Sujeto 2	Adultos Sanos	6	Cz	1.1381
Sujeto 2	Adultos Sanos	17	C4	1.2793	Sujeto 2	Adultos Sanos	7	Cz	1.3847
Sujeto 2	Adultos Sanos	18	C4	1.1979	Sujeto 2	Adultos Sanos	8	Cz	1.2650

ANEXO 5

Sujeto	Grupo	Segmento	Derivación	Entropía	Sujeto	Grupo	Segmento	Derivación	Entropía
Sujeto 2	Adultos Sanos	9	Cz	1.2564	Sujeto 3	Adultos Sanos	23	C3	1.2358
Sujeto 2	Adultos Sanos	10	Cz	1.2654	Sujeto 3	Adultos Sanos	24	C3	1.3701
Sujeto 2	Adultos Sanos	11	Cz	1.2171	Sujeto 3	Adultos Sanos	1	C4	1.3858
Sujeto 2	Adultos Sanos	12	Cz	1.3926	Sujeto 3	Adultos Sanos	2	C4	1.0431
Sujeto 2	Adultos Sanos	13	Cz	1.3838	Sujeto 3	Adultos Sanos	3	C4	1.1668
Sujeto 2	Adultos Sanos	14	Cz	1.3953	Sujeto 3	Adultos Sanos	4	C4	1.0436
Sujeto 2	Adultos Sanos	15	Cz	1.4745	Sujeto 3	Adultos Sanos	5	C4	1.3769
Sujeto 2	Adultos Sanos	16	Cz	1.3857	Sujeto 3	Adultos Sanos	6	C4	1.2800
Sujeto 2	Adultos Sanos	17	Cz	1.3431	Sujeto 3	Adultos Sanos	7	C4	1.3150
Sujeto 2	Adultos Sanos	18	Cz	1.0948	Sujeto 3	Adultos Sanos	8	C4	1.2749
Sujeto 2	Adultos Sanos	19	Cz	1.3506	Sujeto 3	Adultos Sanos	9	C4	1.2876
Sujeto 2	Adultos Sanos	20	Cz	1.2741	Sujeto 3	Adultos Sanos	10	C4	1.2794
Sujeto 2	Adultos Sanos	21	Cz	1.1865	Sujeto 3	Adultos Sanos	11	C4	1.2163
Sujeto 2	Adultos Sanos	22	Cz	1.2891	Sujeto 3	Adultos Sanos	12	C4	1.3349
Sujeto 2	Adultos Sanos	23	Cz	1.3584	Sujeto 3	Adultos Sanos	13	C4	1.4533
Sujeto 2	Adultos Sanos	24	Cz	1.3666	Sujeto 3	Adultos Sanos	14	C4	1.0779
Sujeto 2	Adultos Sanos	1	Pz	1.0822	Sujeto 3	Adultos Sanos	15	C4	1.4209
Sujeto 2	Adultos Sanos	2	Pz	1.2721	Sujeto 3	Adultos Sanos	16	C4	1.3233
Sujeto 2	Adultos Sanos	3	Pz	1.2572	Sujeto 3	Adultos Sanos	17	C4	1.2085
Sujeto 2	Adultos Sanos	4	Pz	1.2424	Sujeto 3	Adultos Sanos	18	C4	1.4113
Sujeto 2	Adultos Sanos	5	Pz	1.3146	Sujeto 3	Adultos Sanos	19	C4	1.1840
Sujeto 2	Adultos Sanos	6	Pz	0.9854	Sujeto 3	Adultos Sanos	20	C4	1.2393
Sujeto 2	Adultos Sanos	7	Pz	1.3686	Sujeto 3	Adultos Sanos	21	C4	1.3102
Sujeto 2	Adultos Sanos	8	Pz	1.1902	Sujeto 3	Adultos Sanos	22	C4	0.9931
Sujeto 2	Adultos Sanos	9	Pz	1.4452	Sujeto 3	Adultos Sanos	23	C4	1.2218
Sujeto 2	Adultos Sanos	10	Pz	1.1209	Sujeto 3	Adultos Sanos	24	C4	1.2965
Sujeto 2	Adultos Sanos	11	Pz	1.1845	Sujeto 3	Adultos Sanos	1	P3	1.3058
Sujeto 2	Adultos Sanos	12	Pz	1.1808	Sujeto 3	Adultos Sanos	2	P3	1.1096
Sujeto 2	Adultos Sanos	13	Pz	1.1074	Sujeto 3	Adultos Sanos	3	P3	1.3719
Sujeto 2	Adultos Sanos	14	Pz	1.2155	Sujeto 3	Adultos Sanos	4	P3	1.1754
Sujeto 2	Adultos Sanos	15	Pz	1.2612	Sujeto 3	Adultos Sanos	5	P3	1.4126
Sujeto 2	Adultos Sanos	16	Pz	1.3531	Sujeto 3	Adultos Sanos	6	P3	1.2412
Sujeto 2	Adultos Sanos	17	Pz	1.1141	Sujeto 3	Adultos Sanos	7	P3	1.1424
Sujeto 2	Adultos Sanos	18	Pz	1.0764	Sujeto 3	Adultos Sanos	8	P3	1.3080
Sujeto 2	Adultos Sanos	19	Pz	1.3708	Sujeto 3	Adultos Sanos	9	P3	1.4385
Sujeto 2	Adultos Sanos	20	Pz	1.2562	Sujeto 3	Adultos Sanos	10	P3	1.3326
Sujeto 2	Adultos Sanos	21	Pz	1.2854	Sujeto 3	Adultos Sanos	11	P3	1.2724
Sujeto 2	Adultos Sanos	22	Pz	1.1180	Sujeto 3	Adultos Sanos	12	P3	1.3356
Sujeto 2	Adultos Sanos	23	Pz	1.2353	Sujeto 3	Adultos Sanos	13	P3	1.4322
Sujeto 2	Adultos Sanos	24	Pz	1.3110	Sujeto 3	Adultos Sanos	14	P3	1.1930
Sujeto 3	Adultos Sanos	1	C3	1.1760	Sujeto 3	Adultos Sanos	15	P3	1.1834
Sujeto 3	Adultos Sanos	2	C3	1.1511	Sujeto 3	Adultos Sanos	16	P3	1.1894
Sujeto 3	Adultos Sanos	3	C3	1.2438	Sujeto 3	Adultos Sanos	17	P3	1.1730
Sujeto 3	Adultos Sanos	4	C3	1.2846	Sujeto 3	Adultos Sanos	18	P3	1.3542
Sujeto 3	Adultos Sanos	5	C3	1.2033	Sujeto 3	Adultos Sanos	19	P3	1.2847
Sujeto 3	Adultos Sanos	6	C3	1.3954	Sujeto 3	Adultos Sanos	20	P3	1.3190
Sujeto 3	Adultos Sanos	7	C3	1.3795	Sujeto 3	Adultos Sanos	21	P3	1.3106
Sujeto 3	Adultos Sanos	8	C3	1.1647	Sujeto 3	Adultos Sanos	22	P3	1.1429
Sujeto 3	Adultos Sanos	9	C3	1.2391	Sujeto 3	Adultos Sanos	23	P3	1.2578
Sujeto 3	Adultos Sanos	10	C3	1.3844	Sujeto 3	Adultos Sanos	24	P3	1.2898
Sujeto 3	Adultos Sanos	11	C3	1.2265	Sujeto 3	Adultos Sanos	1	P4	1.2431
Sujeto 3	Adultos Sanos	12	C3	1.2865	Sujeto 3	Adultos Sanos	2	P4	1.0674
Sujeto 3	Adultos Sanos	13	C3	1.4768	Sujeto 3	Adultos Sanos	3	P4	1.0864
Sujeto 3	Adultos Sanos	14	C3	1.1726	Sujeto 3	Adultos Sanos	4	P4	0.9947
Sujeto 3	Adultos Sanos	15	C3	1.4548	Sujeto 3	Adultos Sanos	5	P4	1.3329
Sujeto 3	Adultos Sanos	16	C3	1.2206	Sujeto 3	Adultos Sanos	6	P4	1.1505
Sujeto 3	Adultos Sanos	17	C3	1.3402	Sujeto 3	Adultos Sanos	7	P4	1.0611
Sujeto 3	Adultos Sanos	18	C3	1.4463	Sujeto 3	Adultos Sanos	8	P4	1.3361
Sujeto 3	Adultos Sanos	19	C3	1.2916	Sujeto 3	Adultos Sanos	9	P4	1.4167
Sujeto 3	Adultos Sanos	20	C3	1.1520	Sujeto 3	Adultos Sanos	10	P4	1.3051
Sujeto 3	Adultos Sanos	21	C3	1.1568	Sujeto 3	Adultos Sanos	11	P4	1.1805
Sujeto 3	Adultos Sanos	22	C3	1.1656	Sujeto 3	Adultos Sanos	12	P4	1.2545

ANEXO 5

Sujeto	Grupo	Segmento	Derivación	Entropía	Sujeto	Grupo	Segmento	Derivación	Entropía
Sujeto 3	Adultos Sanos	13	P4	1.4494	Sujeto 4	Adultos Sanos	3	C3	1.4998
Sujeto 3	Adultos Sanos	14	P4	1.0133	Sujeto 4	Adultos Sanos	4	C3	1.2388
Sujeto 3	Adultos Sanos	15	P4	1.0660	Sujeto 4	Adultos Sanos	5	C3	1.4210
Sujeto 3	Adultos Sanos	16	P4	1.1597	Sujeto 4	Adultos Sanos	6	C3	1.5303
Sujeto 3	Adultos Sanos	17	P4	1.0519	Sujeto 4	Adultos Sanos	7	C3	1.4364
Sujeto 3	Adultos Sanos	18	P4	1.3053	Sujeto 4	Adultos Sanos	8	C3	1.5159
Sujeto 3	Adultos Sanos	19	P4	1.2114	Sujeto 4	Adultos Sanos	9	C3	1.3957
Sujeto 3	Adultos Sanos	20	P4	1.2048	Sujeto 4	Adultos Sanos	10	C3	1.5098
Sujeto 3	Adultos Sanos	21	P4	1.2494	Sujeto 4	Adultos Sanos	11	C3	1.4038
Sujeto 3	Adultos Sanos	22	P4	0.9742	Sujeto 4	Adultos Sanos	12	C3	1.3776
Sujeto 3	Adultos Sanos	23	P4	1.1060	Sujeto 4	Adultos Sanos	13	C3	1.4548
Sujeto 3	Adultos Sanos	24	P4	1.0963	Sujeto 4	Adultos Sanos	14	C3	1.4929
Sujeto 3	Adultos Sanos	1	Cz	1.2381	Sujeto 4	Adultos Sanos	15	C3	1.4332
Sujeto 3	Adultos Sanos	2	Cz	1.0531	Sujeto 4	Adultos Sanos	16	C3	1.3554
Sujeto 3	Adultos Sanos	3	Cz	1.0684	Sujeto 4	Adultos Sanos	17	C3	1.3062
Sujeto 3	Adultos Sanos	4	Cz	1.1888	Sujeto 4	Adultos Sanos	18	C3	1.4073
Sujeto 3	Adultos Sanos	5	Cz	1.1853	Sujeto 4	Adultos Sanos	19	C3	1.4422
Sujeto 3	Adultos Sanos	6	Cz	1.2192	Sujeto 4	Adultos Sanos	20	C3	1.3999
Sujeto 3	Adultos Sanos	7	Cz	1.2811	Sujeto 4	Adultos Sanos	21	C3	1.3219
Sujeto 3	Adultos Sanos	8	Cz	1.0872	Sujeto 4	Adultos Sanos	22	C3	1.4519
Sujeto 3	Adultos Sanos	9	Cz	1.1553	Sujeto 4	Adultos Sanos	23	C3	1.3661
Sujeto 3	Adultos Sanos	10	Cz	1.1894	Sujeto 4	Adultos Sanos	24	C3	1.5104
Sujeto 3	Adultos Sanos	11	Cz	1.1210	Sujeto 4	Adultos Sanos	1	C4	1.3969
Sujeto 3	Adultos Sanos	12	Cz	1.2070	Sujeto 4	Adultos Sanos	2	C4	1.4542
Sujeto 3	Adultos Sanos	13	Cz	1.4164	Sujeto 4	Adultos Sanos	3	C4	1.4472
Sujeto 3	Adultos Sanos	14	Cz	1.2011	Sujeto 4	Adultos Sanos	4	C4	1.4395
Sujeto 3	Adultos Sanos	15	Cz	1.3810	Sujeto 4	Adultos Sanos	5	C4	1.3505
Sujeto 3	Adultos Sanos	16	Cz	1.1308	Sujeto 4	Adultos Sanos	6	C4	1.4442
Sujeto 3	Adultos Sanos	17	Cz	1.1904	Sujeto 4	Adultos Sanos	7	C4	1.4334
Sujeto 3	Adultos Sanos	18	Cz	1.3479	Sujeto 4	Adultos Sanos	8	C4	1.4272
Sujeto 3	Adultos Sanos	19	Cz	1.1110	Sujeto 4	Adultos Sanos	9	C4	1.3825
Sujeto 3	Adultos Sanos	20	Cz	1.1429	Sujeto 4	Adultos Sanos	10	C4	1.4223
Sujeto 3	Adultos Sanos	21	Cz	1.1721	Sujeto 4	Adultos Sanos	11	C4	1.3294
Sujeto 3	Adultos Sanos	22	Cz	1.0147	Sujeto 4	Adultos Sanos	12	C4	1.3833
Sujeto 3	Adultos Sanos	23	Cz	1.1967	Sujeto 4	Adultos Sanos	13	C4	1.4169
Sujeto 3	Adultos Sanos	24	Cz	1.2991	Sujeto 4	Adultos Sanos	14	C4	1.4472
Sujeto 3	Adultos Sanos	1	Pz	1.3359	Sujeto 4	Adultos Sanos	15	C4	1.4011
Sujeto 3	Adultos Sanos	2	Pz	1.0734	Sujeto 4	Adultos Sanos	16	C4	1.3754
Sujeto 3	Adultos Sanos	3	Pz	1.3055	Sujeto 4	Adultos Sanos	17	C4	1.2112
Sujeto 3	Adultos Sanos	4	Pz	1.1093	Sujeto 4	Adultos Sanos	18	C4	1.2913
Sujeto 3	Adultos Sanos	5	Pz	1.3124	Sujeto 4	Adultos Sanos	19	C4	1.4367
Sujeto 3	Adultos Sanos	6	Pz	1.1158	Sujeto 4	Adultos Sanos	20	C4	1.4751
Sujeto 3	Adultos Sanos	7	Pz	1.0753	Sujeto 4	Adultos Sanos	21	C4	1.2649
Sujeto 3	Adultos Sanos	8	Pz	1.1284	Sujeto 4	Adultos Sanos	22	C4	1.3370
Sujeto 3	Adultos Sanos	9	Pz	1.4427	Sujeto 4	Adultos Sanos	23	C4	1.3285
Sujeto 3	Adultos Sanos	10	Pz	1.2563	Sujeto 4	Adultos Sanos	24	C4	1.4736
Sujeto 3	Adultos Sanos	11	Pz	1.1691	Sujeto 4	Adultos Sanos	1	P3	1.3329
Sujeto 3	Adultos Sanos	12	Pz	1.2736	Sujeto 4	Adultos Sanos	2	P3	1.3412
Sujeto 3	Adultos Sanos	13	Pz	1.4368	Sujeto 4	Adultos Sanos	3	P3	1.3726
Sujeto 3	Adultos Sanos	14	Pz	1.1489	Sujeto 4	Adultos Sanos	4	P3	0.9727
Sujeto 3	Adultos Sanos	15	Pz	1.1374	Sujeto 4	Adultos Sanos	5	P3	1.1942
Sujeto 3	Adultos Sanos	16	Pz	1.1370	Sujeto 4	Adultos Sanos	6	P3	1.4561
Sujeto 3	Adultos Sanos	17	Pz	1.0764	Sujeto 4	Adultos Sanos	7	P3	1.4628
Sujeto 3	Adultos Sanos	18	Pz	1.3567	Sujeto 4	Adultos Sanos	8	P3	1.4362
Sujeto 3	Adultos Sanos	19	Pz	1.2057	Sujeto 4	Adultos Sanos	9	P3	1.3470
Sujeto 3	Adultos Sanos	20	Pz	1.1747	Sujeto 4	Adultos Sanos	10	P3	1.4652
Sujeto 3	Adultos Sanos	21	Pz	1.1415	Sujeto 4	Adultos Sanos	11	P3	1.1924
Sujeto 3	Adultos Sanos	22	Pz	1.0217	Sujeto 4	Adultos Sanos	12	P3	1.2020
Sujeto 3	Adultos Sanos	23	Pz	1.0522	Sujeto 4	Adultos Sanos	13	P3	1.4419
Sujeto 3	Adultos Sanos	24	Pz	1.3707	Sujeto 4	Adultos Sanos	14	P3	1.4654
Sujeto 4	Adultos Sanos	1	C3	1.2835	Sujeto 4	Adultos Sanos	15	P3	1.3738
Sujeto 4	Adultos Sanos	2	C3	1.4637	Sujeto 4	Adultos Sanos	16	P3	1.3810

ANEXO 5

Sujeto	Grupo	Segmento	Derivación	Entropía		Sujeto	Grupo	Segmento	Derivación	Entropía
Sujeto 4	Adultos Sanos	17	P3	1.0601		Sujeto 4	Adultos Sanos	1	Pz	1.2513
Sujeto 4	Adultos Sanos	18	P3	1.3995		Sujeto 4	Adultos Sanos	2	Pz	1.2139
Sujeto 4	Adultos Sanos	19	P3	1.4244		Sujeto 4	Adultos Sanos	3	Pz	1.3450
Sujeto 4	Adultos Sanos	20	P3	1.2035		Sujeto 4	Adultos Sanos	4	Pz	0.9682
Sujeto 4	Adultos Sanos	21	P3	1.2460		Sujeto 4	Adultos Sanos	5	Pz	1.1990
Sujeto 4	Adultos Sanos	22	P3	1.2033		Sujeto 4	Adultos Sanos	6	Pz	1.4243
Sujeto 4	Adultos Sanos	23	P3	1.2477		Sujeto 4	Adultos Sanos	7	Pz	1.3960
Sujeto 4	Adultos Sanos	24	P3	1.4601		Sujeto 4	Adultos Sanos	8	Pz	1.3634
Sujeto 4	Adultos Sanos	1	P4	1.2912		Sujeto 4	Adultos Sanos	9	Pz	1.2613
Sujeto 4	Adultos Sanos	2	P4	1.3468		Sujeto 4	Adultos Sanos	10	Pz	1.4077
Sujeto 4	Adultos Sanos	3	P4	1.3886		Sujeto 4	Adultos Sanos	11	Pz	1.1129
Sujeto 4	Adultos Sanos	4	P4	1.2330		Sujeto 4	Adultos Sanos	12	Pz	1.1665
Sujeto 4	Adultos Sanos	5	P4	1.1512		Sujeto 4	Adultos Sanos	13	Pz	1.3974
Sujeto 4	Adultos Sanos	6	P4	1.3795		Sujeto 4	Adultos Sanos	14	Pz	1.3863
Sujeto 4	Adultos Sanos	7	P4	1.4282		Sujeto 4	Adultos Sanos	15	Pz	1.2785
Sujeto 4	Adultos Sanos	8	P4	1.3668		Sujeto 4	Adultos Sanos	16	Pz	1.3162
Sujeto 4	Adultos Sanos	9	P4	1.3094		Sujeto 4	Adultos Sanos	17	Pz	1.0227
Sujeto 4	Adultos Sanos	10	P4	1.4507		Sujeto 4	Adultos Sanos	18	Pz	1.2978
Sujeto 4	Adultos Sanos	11	P4	1.1300		Sujeto 4	Adultos Sanos	19	Pz	1.3736
Sujeto 4	Adultos Sanos	12	P4	1.2200		Sujeto 4	Adultos Sanos	20	Pz	1.2468
Sujeto 4	Adultos Sanos	13	P4	1.3355		Sujeto 4	Adultos Sanos	21	Pz	1.1448
Sujeto 4	Adultos Sanos	14	P4	1.3828		Sujeto 4	Adultos Sanos	22	Pz	1.1453
Sujeto 4	Adultos Sanos	15	P4	1.3156		Sujeto 4	Adultos Sanos	23	Pz	1.1529
Sujeto 4	Adultos Sanos	16	P4	1.3268		Sujeto 4	Adultos Sanos	24	Pz	1.4525
Sujeto 4	Adultos Sanos	17	P4	0.9321						
Sujeto 4	Adultos Sanos	18	P4	1.2343						
Sujeto 4	Adultos Sanos	19	P4	1.3567						
Sujeto 4	Adultos Sanos	20	P4	1.3633						
Sujeto 4	Adultos Sanos	21	P4	1.1213						
Sujeto 4	Adultos Sanos	22	P4	1.1970						
Sujeto 4	Adultos Sanos	23	P4	1.2280						
Sujeto 4	Adultos Sanos	24	P4	1.4770						
Sujeto 4	Adultos Sanos	1	Cz	1.3126						
Sujeto 4	Adultos Sanos	2	Cz	1.3463						
Sujeto 4	Adultos Sanos	3	Cz	1.4333						
Sujeto 4	Adultos Sanos	4	Cz	1.2421						
Sujeto 4	Adultos Sanos	5	Cz	1.3445						
Sujeto 4	Adultos Sanos	6	Cz	1.4290						
Sujeto 4	Adultos Sanos	7	Cz	1.3634						
Sujeto 4	Adultos Sanos	8	Cz	1.4319						
Sujeto 4	Adultos Sanos	9	Cz	1.3352						
Sujeto 4	Adultos Sanos	10	Cz	1.4820						
Sujeto 4	Adultos Sanos	11	Cz	1.3054						
Sujeto 4	Adultos Sanos	12	Cz	1.3212						
Sujeto 4	Adultos Sanos	13	Cz	1.3954						
Sujeto 4	Adultos Sanos	14	Cz	1.4619						
Sujeto 4	Adultos Sanos	15	Cz	1.3435						
Sujeto 4	Adultos Sanos	16	Cz	1.2818						
Sujeto 4	Adultos Sanos	17	Cz	1.3050						
Sujeto 4	Adultos Sanos	18	Cz	1.3113						
Sujeto 4	Adultos Sanos	19	Cz	1.4285						
Sujeto 4	Adultos Sanos	20	Cz	1.4267						
Sujeto 4	Adultos Sanos	21	Cz	1.2672						
Sujeto 4	Adultos Sanos	22	Cz	1.4141						
Sujeto 4	Adultos Sanos	23	Cz	1.2435						
Sujeto 4	Adultos Sanos	24	Cz	1.4866						

ANEXO 5

Sujeto	Grupo	Segmento	Derivación	Entropía	Sujeto	Grupo	Segmento	Derivación	Entropía
Sujeto 1	Niños Sanos	1	C3	1.2950	Sujeto 1	Niños Sanos	15	P3	1.0619
Sujeto 1	Niños Sanos	2	C3	1.2725	Sujeto 1	Niños Sanos	16	P3	1.3920
Sujeto 1	Niños Sanos	3	C3	1.1558	Sujeto 1	Niños Sanos	17	P3	1.1950
Sujeto 1	Niños Sanos	4	C3	1.3810	Sujeto 1	Niños Sanos	18	P3	1.2040
Sujeto 1	Niños Sanos	5	C3	1.2751	Sujeto 1	Niños Sanos	19	P3	1.3297
Sujeto 1	Niños Sanos	6	C3	1.2972	Sujeto 1	Niños Sanos	20	P3	1.1907
Sujeto 1	Niños Sanos	7	C3	1.2579	Sujeto 1	Niños Sanos	21	P3	1.1523
Sujeto 1	Niños Sanos	8	C3	1.3131	Sujeto 1	Niños Sanos	22	P3	1.2611
Sujeto 1	Niños Sanos	9	C3	1.3281	Sujeto 1	Niños Sanos	23	P3	1.3626
Sujeto 1	Niños Sanos	10	C3	1.1429	Sujeto 1	Niños Sanos	24	P3	1.2878
Sujeto 1	Niños Sanos	11	C3	1.3091	Sujeto 1	Niños Sanos	1	P4	1.2010
Sujeto 1	Niños Sanos	12	C3	1.3110	Sujeto 1	Niños Sanos	2	P4	1.1759
Sujeto 1	Niños Sanos	13	C3	1.3903	Sujeto 1	Niños Sanos	3	P4	1.1895
Sujeto 1	Niños Sanos	14	C3	1.3672	Sujeto 1	Niños Sanos	4	P4	1.1385
Sujeto 1	Niños Sanos	15	C3	1.2130	Sujeto 1	Niños Sanos	5	P4	1.1735
Sujeto 1	Niños Sanos	16	C3	1.3912	Sujeto 1	Niños Sanos	6	P4	1.3186
Sujeto 1	Niños Sanos	17	C3	1.2799	Sujeto 1	Niños Sanos	7	P4	1.2680
Sujeto 1	Niños Sanos	18	C3	1.1142	Sujeto 1	Niños Sanos	8	P4	1.3500
Sujeto 1	Niños Sanos	19	C3	1.2923	Sujeto 1	Niños Sanos	9	P4	1.2639
Sujeto 1	Niños Sanos	20	C3	1.2102	Sujeto 1	Niños Sanos	10	P4	1.3012
Sujeto 1	Niños Sanos	21	C3	1.0110	Sujeto 1	Niños Sanos	11	P4	1.2906
Sujeto 1	Niños Sanos	22	C3	1.2940	Sujeto 1	Niños Sanos	12	P4	1.1138
Sujeto 1	Niños Sanos	23	C3	1.3288	Sujeto 1	Niños Sanos	13	P4	1.2447
Sujeto 1	Niños Sanos	24	C3	1.3221	Sujeto 1	Niños Sanos	14	P4	1.1139
Sujeto 1	Niños Sanos	1	C4	1.2765	Sujeto 1	Niños Sanos	15	P4	0.9029
Sujeto 1	Niños Sanos	2	C4	0.9947	Sujeto 1	Niños Sanos	16	P4	1.2733
Sujeto 1	Niños Sanos	3	C4	1.2154	Sujeto 1	Niños Sanos	17	P4	1.0668
Sujeto 1	Niños Sanos	4	C4	1.2080	Sujeto 1	Niños Sanos	18	P4	1.2284
Sujeto 1	Niños Sanos	5	C4	1.4196	Sujeto 1	Niños Sanos	19	P4	1.2374
Sujeto 1	Niños Sanos	6	C4	1.3826	Sujeto 1	Niños Sanos	20	P4	1.2878
Sujeto 1	Niños Sanos	7	C4	1.2808	Sujeto 1	Niños Sanos	21	P4	1.0648
Sujeto 1	Niños Sanos	8	C4	1.3602	Sujeto 1	Niños Sanos	22	P4	1.0722
Sujeto 1	Niños Sanos	9	C4	1.3140	Sujeto 1	Niños Sanos	23	P4	1.2021
Sujeto 1	Niños Sanos	10	C4	1.3161	Sujeto 1	Niños Sanos	24	P4	1.1515
Sujeto 1	Niños Sanos	11	C4	1.2901	Sujeto 1	Niños Sanos	1	Cz	1.3336
Sujeto 1	Niños Sanos	12	C4	1.2618	Sujeto 1	Niños Sanos	2	Cz	1.1485
Sujeto 1	Niños Sanos	13	C4	1.3322	Sujeto 1	Niños Sanos	3	Cz	1.1563
Sujeto 1	Niños Sanos	14	C4	1.2590	Sujeto 1	Niños Sanos	4	Cz	1.3283
Sujeto 1	Niños Sanos	15	C4	1.0855	Sujeto 1	Niños Sanos	5	Cz	1.1257
Sujeto 1	Niños Sanos	16	C4	1.3668	Sujeto 1	Niños Sanos	6	Cz	1.3208
Sujeto 1	Niños Sanos	17	C4	1.3281	Sujeto 1	Niños Sanos	7	Cz	1.2086
Sujeto 1	Niños Sanos	18	C4	1.2183	Sujeto 1	Niños Sanos	8	Cz	1.3181
Sujeto 1	Niños Sanos	19	C4	1.3445	Sujeto 1	Niños Sanos	9	Cz	1.1884
Sujeto 1	Niños Sanos	20	C4	1.2554	Sujeto 1	Niños Sanos	10	Cz	1.2440
Sujeto 1	Niños Sanos	21	C4	0.9836	Sujeto 1	Niños Sanos	11	Cz	1.1572
Sujeto 1	Niños Sanos	22	C4	1.0887	Sujeto 1	Niños Sanos	12	Cz	1.1931
Sujeto 1	Niños Sanos	23	C4	1.3015	Sujeto 1	Niños Sanos	13	Cz	1.3418
Sujeto 1	Niños Sanos	24	C4	1.2810	Sujeto 1	Niños Sanos	14	Cz	1.3310
Sujeto 1	Niños Sanos	1	P3	1.3341	Sujeto 1	Niños Sanos	15	Cz	1.0146
Sujeto 1	Niños Sanos	2	P3	1.2729	Sujeto 1	Niños Sanos	16	Cz	1.3234
Sujeto 1	Niños Sanos	3	P3	1.1862	Sujeto 1	Niños Sanos	17	Cz	1.3093
Sujeto 1	Niños Sanos	4	P3	1.3260	Sujeto 1	Niños Sanos	18	Cz	1.2924
Sujeto 1	Niños Sanos	5	P3	1.1017	Sujeto 1	Niños Sanos	19	Cz	1.3292
Sujeto 1	Niños Sanos	6	P3	1.3200	Sujeto 1	Niños Sanos	20	Cz	0.9793
Sujeto 1	Niños Sanos	7	P3	1.2562	Sujeto 1	Niños Sanos	21	Cz	1.0630
Sujeto 1	Niños Sanos	8	P3	1.2581	Sujeto 1	Niños Sanos	22	Cz	1.1467
Sujeto 1	Niños Sanos	9	P3	1.2660	Sujeto 1	Niños Sanos	23	Cz	1.3617
Sujeto 1	Niños Sanos	10	P3	1.1558	Sujeto 1	Niños Sanos	24	Cz	1.2140
Sujeto 1	Niños Sanos	11	P3	1.3398	Sujeto 1	Niños Sanos	1	Pz	1.3395
Sujeto 1	Niños Sanos	12	P3	1.2448	Sujeto 1	Niños Sanos	2	Pz	1.1524
Sujeto 1	Niños Sanos	13	P3	1.3236	Sujeto 1	Niños Sanos	3	Pz	1.1422
Sujeto 1	Niños Sanos	14	P3	1.2470	Sujeto 1	Niños Sanos	4	Pz	1.2407

ANEXO 5

Sujeto	Grupo	Segmento	Derivación	Entropía	Sujeto	Grupo	Segmento	Derivación	Entropía
Sujeto 1	Niños Sanos	5	Pz	1.0425	Sujeto 2	Niños Sanos	19	C4	1.2677
Sujeto 1	Niños Sanos	6	Pz	1.3035	Sujeto 2	Niños Sanos	20	C4	1.1284
Sujeto 1	Niños Sanos	7	Pz	1.2431	Sujeto 2	Niños Sanos	21	C4	1.3729
Sujeto 1	Niños Sanos	8	Pz	1.3112	Sujeto 2	Niños Sanos	22	C4	1.2697
Sujeto 1	Niños Sanos	9	Pz	1.2174	Sujeto 2	Niños Sanos	23	C4	1.2865
Sujeto 1	Niños Sanos	10	Pz	1.2300	Sujeto 2	Niños Sanos	24	C4	1.2742
Sujeto 1	Niños Sanos	11	Pz	1.2963	Sujeto 2	Niños Sanos	1	P3	1.2523
Sujeto 1	Niños Sanos	12	Pz	1.1629	Sujeto 2	Niños Sanos	2	P3	1.2505
Sujeto 1	Niños Sanos	13	Pz	1.3080	Sujeto 2	Niños Sanos	3	P3	1.2461
Sujeto 1	Niños Sanos	14	Pz	1.1778	Sujeto 2	Niños Sanos	4	P3	1.2497
Sujeto 1	Niños Sanos	15	Pz	0.9401	Sujeto 2	Niños Sanos	5	P3	1.3513
Sujeto 1	Niños Sanos	16	Pz	1.3076	Sujeto 2	Niños Sanos	6	P3	1.2485
Sujeto 1	Niños Sanos	17	Pz	1.2003	Sujeto 2	Niños Sanos	7	P3	1.1300
Sujeto 1	Niños Sanos	18	Pz	1.2460	Sujeto 2	Niños Sanos	8	P3	1.2261
Sujeto 1	Niños Sanos	19	Pz	1.2894	Sujeto 2	Niños Sanos	9	P3	1.1275
Sujeto 1	Niños Sanos	20	Pz	1.1788	Sujeto 2	Niños Sanos	10	P3	1.1777
Sujeto 1	Niños Sanos	21	Pz	1.1666	Sujeto 2	Niños Sanos	11	P3	1.2059
Sujeto 1	Niños Sanos	22	Pz	1.1627	Sujeto 2	Niños Sanos	12	P3	1.2279
Sujeto 1	Niños Sanos	23	Pz	1.3330	Sujeto 2	Niños Sanos	13	P3	1.1593
Sujeto 1	Niños Sanos	24	Pz	1.2955	Sujeto 2	Niños Sanos	14	P3	1.1794
Sujeto 2	Niños Sanos	1	C3	1.2340	Sujeto 2	Niños Sanos	15	P3	1.2624
Sujeto 2	Niños Sanos	2	C3	1.2978	Sujeto 2	Niños Sanos	16	P3	1.2266
Sujeto 2	Niños Sanos	3	C3	1.3571	Sujeto 2	Niños Sanos	17	P3	1.3597
Sujeto 2	Niños Sanos	4	C3	1.2497	Sujeto 2	Niños Sanos	18	P3	1.3634
Sujeto 2	Niños Sanos	5	C3	1.3810	Sujeto 2	Niños Sanos	19	P3	1.2150
Sujeto 2	Niños Sanos	6	C3	1.3325	Sujeto 2	Niños Sanos	20	P3	1.0826
Sujeto 2	Niños Sanos	7	C3	1.2883	Sujeto 2	Niños Sanos	21	P3	1.2890
Sujeto 2	Niños Sanos	8	C3	1.3695	Sujeto 2	Niños Sanos	22	P3	1.2624
Sujeto 2	Niños Sanos	9	C3	1.3126	Sujeto 2	Niños Sanos	23	P3	1.1714
Sujeto 2	Niños Sanos	10	C3	1.2424	Sujeto 2	Niños Sanos	24	P3	1.2930
Sujeto 2	Niños Sanos	11	C3	1.2585	Sujeto 2	Niños Sanos	1	P4	1.0561
Sujeto 2	Niños Sanos	12	C3	1.2403	Sujeto 2	Niños Sanos	2	P4	1.2300
Sujeto 2	Niños Sanos	13	C3	1.0313	Sujeto 2	Niños Sanos	3	P4	1.2784
Sujeto 2	Niños Sanos	14	C3	1.3419	Sujeto 2	Niños Sanos	4	P4	1.2495
Sujeto 2	Niños Sanos	15	C3	1.3730	Sujeto 2	Niños Sanos	5	P4	1.2931
Sujeto 2	Niños Sanos	16	C3	1.2508	Sujeto 2	Niños Sanos	6	P4	1.1223
Sujeto 2	Niños Sanos	17	C3	1.3688	Sujeto 2	Niños Sanos	7	P4	1.1761
Sujeto 2	Niños Sanos	18	C3	1.3936	Sujeto 2	Niños Sanos	8	P4	1.2079
Sujeto 2	Niños Sanos	19	C3	1.3627	Sujeto 2	Niños Sanos	9	P4	1.1173
Sujeto 2	Niños Sanos	20	C3	1.2482	Sujeto 2	Niños Sanos	10	P4	1.2025
Sujeto 2	Niños Sanos	21	C3	1.3578	Sujeto 2	Niños Sanos	11	P4	1.1491
Sujeto 2	Niños Sanos	22	C3	1.3259	Sujeto 2	Niños Sanos	12	P4	1.2643
Sujeto 2	Niños Sanos	23	C3	1.2581	Sujeto 2	Niños Sanos	13	P4	1.1909
Sujeto 2	Niños Sanos	24	C3	1.2781	Sujeto 2	Niños Sanos	14	P4	1.1034
Sujeto 2	Niños Sanos	1	C4	1.0730	Sujeto 2	Niños Sanos	15	P4	1.2268
Sujeto 2	Niños Sanos	2	C4	1.3057	Sujeto 2	Niños Sanos	16	P4	1.1774
Sujeto 2	Niños Sanos	3	C4	1.3512	Sujeto 2	Niños Sanos	17	P4	1.2420
Sujeto 2	Niños Sanos	4	C4	1.3778	Sujeto 2	Niños Sanos	18	P4	1.2195
Sujeto 2	Niños Sanos	5	C4	1.3118	Sujeto 2	Niños Sanos	19	P4	1.1351
Sujeto 2	Niños Sanos	6	C4	1.3400	Sujeto 2	Niños Sanos	20	P4	0.9433
Sujeto 2	Niños Sanos	7	C4	1.3395	Sujeto 2	Niños Sanos	21	P4	1.3312
Sujeto 2	Niños Sanos	8	C4	1.3423	Sujeto 2	Niños Sanos	22	P4	1.2950
Sujeto 2	Niños Sanos	9	C4	1.2678	Sujeto 2	Niños Sanos	23	P4	1.2388
Sujeto 2	Niños Sanos	10	C4	1.3546	Sujeto 2	Niños Sanos	24	P4	1.2973
Sujeto 2	Niños Sanos	11	C4	1.3718	Sujeto 2	Niños Sanos	1	Cz	1.1418
Sujeto 2	Niños Sanos	12	C4	1.1684	Sujeto 2	Niños Sanos	2	Cz	1.2813
Sujeto 2	Niños Sanos	13	C4	1.1642	Sujeto 2	Niños Sanos	3	Cz	1.2977
Sujeto 2	Niños Sanos	14	C4	1.2001	Sujeto 2	Niños Sanos	4	Cz	1.3333
Sujeto 2	Niños Sanos	15	C4	1.4044	Sujeto 2	Niños Sanos	5	Cz	1.3488
Sujeto 2	Niños Sanos	16	C4	1.2839	Sujeto 2	Niños Sanos	6	Cz	1.3493
Sujeto 2	Niños Sanos	17	C4	1.3085	Sujeto 2	Niños Sanos	7	Cz	1.3096
Sujeto 2	Niños Sanos	18	C4	1.2162	Sujeto 2	Niños Sanos	8	Cz	1.3259

ANEXO 5

Sujeto	Grupo	Segmento	Derivación	Entropía	Sujeto	Grupo	Segmento	Derivación	Entropía
Sujeto 2	Niños Sanos	9	Cz	1.3221	Sujeto 3	Niños Sanos	23	C3	1.2850
Sujeto 2	Niños Sanos	10	Cz	1.3109	Sujeto 3	Niños Sanos	24	C3	1.3490
Sujeto 2	Niños Sanos	11	Cz	1.3164	Sujeto 3	Niños Sanos	1	C4	1.3573
Sujeto 2	Niños Sanos	12	Cz	1.1175	Sujeto 3	Niños Sanos	2	C4	1.2185
Sujeto 2	Niños Sanos	13	Cz	1.0356	Sujeto 3	Niños Sanos	3	C4	1.0951
Sujeto 2	Niños Sanos	14	Cz	1.2739	Sujeto 3	Niños Sanos	4	C4	1.3634
Sujeto 2	Niños Sanos	15	Cz	1.3574	Sujeto 3	Niños Sanos	5	C4	1.1163
Sujeto 2	Niños Sanos	16	Cz	1.2895	Sujeto 3	Niños Sanos	6	C4	1.3793
Sujeto 2	Niños Sanos	17	Cz	1.2580	Sujeto 3	Niños Sanos	7	C4	0.9583
Sujeto 2	Niños Sanos	18	Cz	1.3684	Sujeto 3	Niños Sanos	8	C4	1.3972
Sujeto 2	Niños Sanos	19	Cz	1.3855	Sujeto 3	Niños Sanos	9	C4	1.2302
Sujeto 2	Niños Sanos	20	Cz	1.1377	Sujeto 3	Niños Sanos	10	C4	1.3538
Sujeto 2	Niños Sanos	21	Cz	1.3486	Sujeto 3	Niños Sanos	11	C4	1.4130
Sujeto 2	Niños Sanos	22	Cz	1.2508	Sujeto 3	Niños Sanos	12	C4	1.3027
Sujeto 2	Niños Sanos	23	Cz	1.2015	Sujeto 3	Niños Sanos	13	C4	1.1652
Sujeto 2	Niños Sanos	24	Cz	1.2868	Sujeto 3	Niños Sanos	14	C4	1.3887
Sujeto 2	Niños Sanos	1	Pz	1.0806	Sujeto 3	Niños Sanos	15	C4	1.2827
Sujeto 2	Niños Sanos	2	Pz	1.2346	Sujeto 3	Niños Sanos	16	C4	1.2695
Sujeto 2	Niños Sanos	3	Pz	1.2175	Sujeto 3	Niños Sanos	17	C4	1.2488
Sujeto 2	Niños Sanos	4	Pz	1.2693	Sujeto 3	Niños Sanos	18	C4	1.2943
Sujeto 2	Niños Sanos	5	Pz	1.2536	Sujeto 3	Niños Sanos	19	C4	1.3741
Sujeto 2	Niños Sanos	6	Pz	1.1691	Sujeto 3	Niños Sanos	20	C4	1.3105
Sujeto 2	Niños Sanos	7	Pz	1.1921	Sujeto 3	Niños Sanos	21	C4	1.2331
Sujeto 2	Niños Sanos	8	Pz	1.1156	Sujeto 3	Niños Sanos	22	C4	1.3864
Sujeto 2	Niños Sanos	9	Pz	1.1441	Sujeto 3	Niños Sanos	23	C4	1.2905
Sujeto 2	Niños Sanos	10	Pz	1.1562	Sujeto 3	Niños Sanos	24	C4	1.3781
Sujeto 2	Niños Sanos	11	Pz	1.1188	Sujeto 3	Niños Sanos	1	P3	1.2963
Sujeto 2	Niños Sanos	12	Pz	1.1952	Sujeto 3	Niños Sanos	2	P3	1.1290
Sujeto 2	Niños Sanos	13	Pz	1.1279	Sujeto 3	Niños Sanos	3	P3	1.0221
Sujeto 2	Niños Sanos	14	Pz	1.1881	Sujeto 3	Niños Sanos	4	P3	1.1590
Sujeto 2	Niños Sanos	15	Pz	1.2133	Sujeto 3	Niños Sanos	5	P3	1.0894
Sujeto 2	Niños Sanos	16	Pz	1.2238	Sujeto 3	Niños Sanos	6	P3	1.3784
Sujeto 2	Niños Sanos	17	Pz	1.2376	Sujeto 3	Niños Sanos	7	P3	0.9362
Sujeto 2	Niños Sanos	18	Pz	1.3310	Sujeto 3	Niños Sanos	8	P3	1.1877
Sujeto 2	Niños Sanos	19	Pz	1.1795	Sujeto 3	Niños Sanos	9	P3	1.0864
Sujeto 2	Niños Sanos	20	Pz	0.9091	Sujeto 3	Niños Sanos	10	P3	1.3301
Sujeto 2	Niños Sanos	21	Pz	1.2967	Sujeto 3	Niños Sanos	11	P3	1.3569
Sujeto 2	Niños Sanos	22	Pz	1.3097	Sujeto 3	Niños Sanos	12	P3	1.2938
Sujeto 2	Niños Sanos	23	Pz	1.0827	Sujeto 3	Niños Sanos	13	P3	1.0499
Sujeto 2	Niños Sanos	24	Pz	1.2562	Sujeto 3	Niños Sanos	14	P3	1.3772
Sujeto 3	Niños Sanos	1	C3	1.2062	Sujeto 3	Niños Sanos	15	P3	1.2710
Sujeto 3	Niños Sanos	2	C3	1.2947	Sujeto 3	Niños Sanos	16	P3	1.1531
Sujeto 3	Niños Sanos	3	C3	0.9878	Sujeto 3	Niños Sanos	17	P3	1.1602
Sujeto 3	Niños Sanos	4	C3	1.3133	Sujeto 3	Niños Sanos	18	P3	1.2075
Sujeto 3	Niños Sanos	5	C3	1.1251	Sujeto 3	Niños Sanos	19	P3	1.3506
Sujeto 3	Niños Sanos	6	C3	1.4294	Sujeto 3	Niños Sanos	20	P3	1.3348
Sujeto 3	Niños Sanos	7	C3	1.1060	Sujeto 3	Niños Sanos	21	P3	1.1612
Sujeto 3	Niños Sanos	8	C3	1.2957	Sujeto 3	Niños Sanos	22	P3	1.3630
Sujeto 3	Niños Sanos	9	C3	1.2808	Sujeto 3	Niños Sanos	23	P3	1.2761
Sujeto 3	Niños Sanos	10	C3	1.4363	Sujeto 3	Niños Sanos	24	P3	1.2265
Sujeto 3	Niños Sanos	11	C3	1.3520	Sujeto 3	Niños Sanos	1	P4	1.2967
Sujeto 3	Niños Sanos	12	C3	1.1997	Sujeto 3	Niños Sanos	2	P4	1.1534
Sujeto 3	Niños Sanos	13	C3	1.2965	Sujeto 3	Niños Sanos	3	P4	1.1136
Sujeto 3	Niños Sanos	14	C3	1.4098	Sujeto 3	Niños Sanos	4	P4	1.2637
Sujeto 3	Niños Sanos	15	C3	1.2307	Sujeto 3	Niños Sanos	5	P4	1.1901
Sujeto 3	Niños Sanos	16	C3	1.0789	Sujeto 3	Niños Sanos	6	P4	1.2565
Sujeto 3	Niños Sanos	17	C3	1.3026	Sujeto 3	Niños Sanos	7	P4	1.0992
Sujeto 3	Niños Sanos	18	C3	1.3268	Sujeto 3	Niños Sanos	8	P4	1.3097
Sujeto 3	Niños Sanos	19	C3	1.4164	Sujeto 3	Niños Sanos	9	P4	1.1833
Sujeto 3	Niños Sanos	20	C3	1.3784	Sujeto 3	Niños Sanos	10	P4	1.1680
Sujeto 3	Niños Sanos	21	C3	1.2210	Sujeto 3	Niños Sanos	11	P4	1.3778
Sujeto 3	Niños Sanos	22	C3	1.4073	Sujeto 3	Niños Sanos	12	P4	1.1774

ANEXO 5

Sujeto	Grupo	Segmento	Derivación	Entropía	Sujeto	Grupo	Segmento	Derivación	Entropía
Sujeto 3	Niños Sanos	13	P4	1.0596	Sujeto 4	Niños Sanos	3	C3	1.3863
Sujeto 3	Niños Sanos	14	P4	1.1648	Sujeto 4	Niños Sanos	4	C3	1.3402
Sujeto 3	Niños Sanos	15	P4	1.1466	Sujeto 4	Niños Sanos	5	C3	1.3246
Sujeto 3	Niños Sanos	16	P4	1.1539	Sujeto 4	Niños Sanos	6	C3	1.2941
Sujeto 3	Niños Sanos	17	P4	1.1258	Sujeto 4	Niños Sanos	7	C3	1.3912
Sujeto 3	Niños Sanos	18	P4	1.1651	Sujeto 4	Niños Sanos	8	C3	1.2593
Sujeto 3	Niños Sanos	19	P4	1.2201	Sujeto 4	Niños Sanos	9	C3	1.3733
Sujeto 3	Niños Sanos	20	P4	1.0853	Sujeto 4	Niños Sanos	10	C3	1.3504
Sujeto 3	Niños Sanos	21	P4	1.0336	Sujeto 4	Niños Sanos	11	C3	1.2492
Sujeto 3	Niños Sanos	22	P4	1.3397	Sujeto 4	Niños Sanos	12	C3	1.3298
Sujeto 3	Niños Sanos	23	P4	1.2038	Sujeto 4	Niños Sanos	13	C3	1.3332
Sujeto 3	Niños Sanos	24	P4	1.2512	Sujeto 4	Niños Sanos	14	C3	1.2575
Sujeto 3	Niños Sanos	1	Cz	1.3265	Sujeto 4	Niños Sanos	15	C3	1.3698
Sujeto 3	Niños Sanos	2	Cz	1.2890	Sujeto 4	Niños Sanos	16	C3	1.1197
Sujeto 3	Niños Sanos	3	Cz	1.0384	Sujeto 4	Niños Sanos	17	C3	1.0875
Sujeto 3	Niños Sanos	4	Cz	1.2908	Sujeto 4	Niños Sanos	18	C3	1.3727
Sujeto 3	Niños Sanos	5	Cz	1.1516	Sujeto 4	Niños Sanos	19	C3	1.2309
Sujeto 3	Niños Sanos	6	Cz	1.3865	Sujeto 4	Niños Sanos	20	C3	1.3756
Sujeto 3	Niños Sanos	7	Cz	1.0759	Sujeto 4	Niños Sanos	21	C3	1.3863
Sujeto 3	Niños Sanos	8	Cz	1.3920	Sujeto 4	Niños Sanos	22	C3	1.2980
Sujeto 3	Niños Sanos	9	Cz	1.2647	Sujeto 4	Niños Sanos	23	C3	1.3186
Sujeto 3	Niños Sanos	10	Cz	1.3540	Sujeto 4	Niños Sanos	24	C3	1.2614
Sujeto 3	Niños Sanos	11	Cz	1.3641	Sujeto 4	Niños Sanos	1	C4	1.4033
Sujeto 3	Niños Sanos	12	Cz	1.2669	Sujeto 4	Niños Sanos	2	C4	1.3783
Sujeto 3	Niños Sanos	13	Cz	1.2603	Sujeto 4	Niños Sanos	3	C4	1.3977
Sujeto 3	Niños Sanos	14	Cz	1.4196	Sujeto 4	Niños Sanos	4	C4	1.3643
Sujeto 3	Niños Sanos	15	Cz	1.1500	Sujeto 4	Niños Sanos	5	C4	1.3511
Sujeto 3	Niños Sanos	16	Cz	1.1336	Sujeto 4	Niños Sanos	6	C4	1.3576
Sujeto 3	Niños Sanos	17	Cz	1.3087	Sujeto 4	Niños Sanos	7	C4	1.3508
Sujeto 3	Niños Sanos	18	Cz	1.3572	Sujeto 4	Niños Sanos	8	C4	1.3200
Sujeto 3	Niños Sanos	19	Cz	1.4354	Sujeto 4	Niños Sanos	9	C4	1.3362
Sujeto 3	Niños Sanos	20	Cz	1.3255	Sujeto 4	Niños Sanos	10	C4	1.3388
Sujeto 3	Niños Sanos	21	Cz	1.2130	Sujeto 4	Niños Sanos	11	C4	1.3630
Sujeto 3	Niños Sanos	22	Cz	1.3912	Sujeto 4	Niños Sanos	12	C4	1.3415
Sujeto 3	Niños Sanos	23	Cz	1.3228	Sujeto 4	Niños Sanos	13	C4	1.3683
Sujeto 3	Niños Sanos	24	Cz	1.3822	Sujeto 4	Niños Sanos	14	C4	1.2668
Sujeto 3	Niños Sanos	1	Pz	1.2873	Sujeto 4	Niños Sanos	15	C4	1.3038
Sujeto 3	Niños Sanos	2	Pz	1.1155	Sujeto 4	Niños Sanos	16	C4	1.0815
Sujeto 3	Niños Sanos	3	Pz	1.0037	Sujeto 4	Niños Sanos	17	C4	1.1375
Sujeto 3	Niños Sanos	4	Pz	1.1479	Sujeto 4	Niños Sanos	18	C4	1.3974
Sujeto 3	Niños Sanos	5	Pz	1.1615	Sujeto 4	Niños Sanos	19	C4	1.2501
Sujeto 3	Niños Sanos	6	Pz	1.2700	Sujeto 4	Niños Sanos	20	C4	1.4180
Sujeto 3	Niños Sanos	7	Pz	0.9265	Sujeto 4	Niños Sanos	21	C4	1.3685
Sujeto 3	Niños Sanos	8	Pz	1.2802	Sujeto 4	Niños Sanos	22	C4	1.3010
Sujeto 3	Niños Sanos	9	Pz	1.1520	Sujeto 4	Niños Sanos	23	C4	1.3987
Sujeto 3	Niños Sanos	10	Pz	1.2411	Sujeto 4	Niños Sanos	24	C4	1.2834
Sujeto 3	Niños Sanos	11	Pz	1.2978	Sujeto 4	Niños Sanos	1	P3	1.2760
Sujeto 3	Niños Sanos	12	Pz	1.0917	Sujeto 4	Niños Sanos	2	P3	1.3159
Sujeto 3	Niños Sanos	13	Pz	0.9983	Sujeto 4	Niños Sanos	3	P3	1.2272
Sujeto 3	Niños Sanos	14	Pz	1.4228	Sujeto 4	Niños Sanos	4	P3	1.3369
Sujeto 3	Niños Sanos	15	Pz	1.1945	Sujeto 4	Niños Sanos	5	P3	1.3093
Sujeto 3	Niños Sanos	16	Pz	1.0419	Sujeto 4	Niños Sanos	6	P3	1.2898
Sujeto 3	Niños Sanos	17	Pz	1.1907	Sujeto 4	Niños Sanos	7	P3	1.3906
Sujeto 3	Niños Sanos	18	Pz	1.1433	Sujeto 4	Niños Sanos	8	P3	1.2866
Sujeto 3	Niños Sanos	19	Pz	1.3377	Sujeto 4	Niños Sanos	9	P3	1.2930
Sujeto 3	Niños Sanos	20	Pz	1.1390	Sujeto 4	Niños Sanos	10	P3	1.3590
Sujeto 3	Niños Sanos	21	Pz	0.9923	Sujeto 4	Niños Sanos	11	P3	1.1487
Sujeto 3	Niños Sanos	22	Pz	1.4092	Sujeto 4	Niños Sanos	12	P3	1.3311
Sujeto 3	Niños Sanos	23	Pz	1.2056	Sujeto 4	Niños Sanos	13	P3	1.3069
Sujeto 3	Niños Sanos	24	Pz	1.2659	Sujeto 4	Niños Sanos	14	P3	1.1222
Sujeto 4	Niños Sanos	1	C3	1.3291	Sujeto 4	Niños Sanos	15	P3	1.3191
Sujeto 4	Niños Sanos	2	C3	1.3168	Sujeto 4	Niños Sanos	16	P3	1.0513

ANEXO 5

Sujeto	Grupo	Segmento	Derivación	Entropía	Sujeto	Grupo	Segmento	Derivación	Entropía
Sujeto 1	Niños T. A.	1	C3	1.3696	Sujeto 1	Niños T. A.	15	P3	1.1568
Sujeto 1	Niños T. A.	2	C3	1.0868	Sujeto 1	Niños T. A.	16	P3	1.1959
Sujeto 1	Niños T. A.	3	C3	1.3382	Sujeto 1	Niños T. A.	17	P3	1.2880
Sujeto 1	Niños T. A.	4	C3	1.3643	Sujeto 1	Niños T. A.	18	P3	1.1440
Sujeto 1	Niños T. A.	5	C3	1.1262	Sujeto 1	Niños T. A.	19	P3	1.1358
Sujeto 1	Niños T. A.	6	C3	1.1943	Sujeto 1	Niños T. A.	20	P3	1.2774
Sujeto 1	Niños T. A.	7	C3	1.2420	Sujeto 1	Niños T. A.	21	P3	1.1442
Sujeto 1	Niños T. A.	8	C3	1.0947	Sujeto 1	Niños T. A.	22	P3	1.0395
Sujeto 1	Niños T. A.	9	C3	1.1215	Sujeto 1	Niños T. A.	23	P3	1.0846
Sujeto 1	Niños T. A.	10	C3	1.1425	Sujeto 1	Niños T. A.	24	P3	1.2510
Sujeto 1	Niños T. A.	11	C3	1.1413	Sujeto 1	Niños T. A.	1	P4	1.2530
Sujeto 1	Niños T. A.	12	C3	1.2193	Sujeto 1	Niños T. A.	2	P4	1.1457
Sujeto 1	Niños T. A.	13	C3	1.3280	Sujeto 1	Niños T. A.	3	P4	1.2347
Sujeto 1	Niños T. A.	14	C3	1.3324	Sujeto 1	Niños T. A.	4	P4	1.2217
Sujeto 1	Niños T. A.	15	C3	1.2424	Sujeto 1	Niños T. A.	5	P4	1.2040
Sujeto 1	Niños T. A.	16	C3	1.1012	Sujeto 1	Niños T. A.	6	P4	1.2503
Sujeto 1	Niños T. A.	17	C3	1.2174	Sujeto 1	Niños T. A.	7	P4	1.3188
Sujeto 1	Niños T. A.	18	C3	1.1754	Sujeto 1	Niños T. A.	8	P4	1.2115
Sujeto 1	Niños T. A.	19	C3	1.2823	Sujeto 1	Niños T. A.	9	P4	1.1331
Sujeto 1	Niños T. A.	20	C3	1.3008	Sujeto 1	Niños T. A.	10	P4	1.2146
Sujeto 1	Niños T. A.	21	C3	1.1755	Sujeto 1	Niños T. A.	11	P4	1.2107
Sujeto 1	Niños T. A.	22	C3	1.1480	Sujeto 1	Niños T. A.	12	P4	1.0167
Sujeto 1	Niños T. A.	23	C3	1.3567	Sujeto 1	Niños T. A.	13	P4	1.1709
Sujeto 1	Niños T. A.	24	C3	1.2464	Sujeto 1	Niños T. A.	14	P4	1.2607
Sujeto 1	Niños T. A.	1	C4	1.2771	Sujeto 1	Niños T. A.	15	P4	1.1594
Sujeto 1	Niños T. A.	2	C4	1.1585	Sujeto 1	Niños T. A.	16	P4	0.9838
Sujeto 1	Niños T. A.	3	C4	1.3571	Sujeto 1	Niños T. A.	17	P4	1.2942
Sujeto 1	Niños T. A.	4	C4	1.3524	Sujeto 1	Niños T. A.	18	P4	1.2660
Sujeto 1	Niños T. A.	5	C4	1.0863	Sujeto 1	Niños T. A.	19	P4	1.0496
Sujeto 1	Niños T. A.	6	C4	1.1605	Sujeto 1	Niños T. A.	20	P4	1.3310
Sujeto 1	Niños T. A.	7	C4	1.2396	Sujeto 1	Niños T. A.	21	P4	1.1759
Sujeto 1	Niños T. A.	8	C4	1.2421	Sujeto 1	Niños T. A.	22	P4	1.1675
Sujeto 1	Niños T. A.	9	C4	1.0999	Sujeto 1	Niños T. A.	23	P4	1.0672
Sujeto 1	Niños T. A.	10	C4	1.1671	Sujeto 1	Niños T. A.	24	P4	1.1907
Sujeto 1	Niños T. A.	11	C4	1.1292	Sujeto 1	Niños T. A.	1	Cz	1.2366
Sujeto 1	Niños T. A.	12	C4	1.1818	Sujeto 1	Niños T. A.	2	Cz	1.1023
Sujeto 1	Niños T. A.	13	C4	1.2581	Sujeto 1	Niños T. A.	3	Cz	1.3110
Sujeto 1	Niños T. A.	14	C4	1.3423	Sujeto 1	Niños T. A.	4	Cz	1.3010
Sujeto 1	Niños T. A.	15	C4	0.9447	Sujeto 1	Niños T. A.	5	Cz	1.0154
Sujeto 1	Niños T. A.	16	C4	0.9291	Sujeto 1	Niños T. A.	6	Cz	1.0450
Sujeto 1	Niños T. A.	17	C4	1.2004	Sujeto 1	Niños T. A.	7	Cz	1.2069
Sujeto 1	Niños T. A.	18	C4	1.2738	Sujeto 1	Niños T. A.	8	Cz	1.2050
Sujeto 1	Niños T. A.	19	C4	1.2554	Sujeto 1	Niños T. A.	9	Cz	0.9402
Sujeto 1	Niños T. A.	20	C4	1.3632	Sujeto 1	Niños T. A.	10	Cz	1.1168
Sujeto 1	Niños T. A.	21	C4	1.1482	Sujeto 1	Niños T. A.	11	Cz	0.9891
Sujeto 1	Niños T. A.	22	C4	1.1706	Sujeto 1	Niños T. A.	12	Cz	1.2345
Sujeto 1	Niños T. A.	23	C4	1.1923	Sujeto 1	Niños T. A.	13	Cz	1.1599
Sujeto 1	Niños T. A.	24	C4	1.2759	Sujeto 1	Niños T. A.	14	Cz	1.3276
Sujeto 1	Niños T. A.	1	P3	1.2814	Sujeto 1	Niños T. A.	15	Cz	1.0764
Sujeto 1	Niños T. A.	2	P3	1.2488	Sujeto 1	Niños T. A.	16	Cz	1.0510
Sujeto 1	Niños T. A.	3	P3	1.1504	Sujeto 1	Niños T. A.	17	Cz	1.1285
Sujeto 1	Niños T. A.	4	P3	1.3008	Sujeto 1	Niños T. A.	18	Cz	1.1542
Sujeto 1	Niños T. A.	5	P3	1.1347	Sujeto 1	Niños T. A.	19	Cz	1.2032
Sujeto 1	Niños T. A.	6	P3	1.1855	Sujeto 1	Niños T. A.	20	Cz	1.2493
Sujeto 1	Niños T. A.	7	P3	1.2398	Sujeto 1	Niños T. A.	21	Cz	1.1388
Sujeto 1	Niños T. A.	8	P3	1.1848	Sujeto 1	Niños T. A.	22	Cz	1.1672
Sujeto 1	Niños T. A.	9	P3	1.1632	Sujeto 1	Niños T. A.	23	Cz	1.2456
Sujeto 1	Niños T. A.	10	P3	1.2038	Sujeto 1	Niños T. A.	24	Cz	1.2600
Sujeto 1	Niños T. A.	11	P3	1.2604	Sujeto 1	Niños T. A.	1	Pz	1.2653
Sujeto 1	Niños T. A.	12	P3	1.1993	Sujeto 1	Niños T. A.	2	Pz	1.1686
Sujeto 1	Niños T. A.	13	P3	1.1298	Sujeto 1	Niños T. A.	3	Pz	1.1644
Sujeto 1	Niños T. A.	14	P3	1.3071	Sujeto 1	Niños T. A.	4	Pz	1.3116

ANEXO 5

Sujeto	Grupo	Segmento	Derivación	Entropía	Sujeto	Grupo	Segmento	Derivación	Entropía
Sujeto 1	Niños T. A.	5	Pz	1.1564	Sujeto 2	Niños T. A.	19	C4	1.2044
Sujeto 1	Niños T. A.	6	Pz	1.1500	Sujeto 2	Niños T. A.	20	C4	1.2699
Sujeto 1	Niños T. A.	7	Pz	1.1935	Sujeto 2	Niños T. A.	21	C4	1.2263
Sujeto 1	Niños T. A.	8	Pz	1.2096	Sujeto 2	Niños T. A.	22	C4	1.2798
Sujeto 1	Niños T. A.	9	Pz	1.1541	Sujeto 2	Niños T. A.	23	C4	1.0804
Sujeto 1	Niños T. A.	10	Pz	1.1543	Sujeto 2	Niños T. A.	24	C4	1.0398
Sujeto 1	Niños T. A.	11	Pz	1.1760	Sujeto 2	Niños T. A.	1	P3	1.1838
Sujeto 1	Niños T. A.	12	Pz	1.0259	Sujeto 2	Niños T. A.	2	P3	1.0777
Sujeto 1	Niños T. A.	13	Pz	1.0515	Sujeto 2	Niños T. A.	3	P3	1.1828
Sujeto 1	Niños T. A.	14	Pz	1.2789	Sujeto 2	Niños T. A.	4	P3	1.1271
Sujeto 1	Niños T. A.	15	Pz	1.1665	Sujeto 2	Niños T. A.	5	P3	1.2165
Sujeto 1	Niños T. A.	16	Pz	1.0874	Sujeto 2	Niños T. A.	6	P3	1.1537
Sujeto 1	Niños T. A.	17	Pz	1.2439	Sujeto 2	Niños T. A.	7	P3	1.1702
Sujeto 1	Niños T. A.	18	Pz	1.0389	Sujeto 2	Niños T. A.	8	P3	1.1278
Sujeto 1	Niños T. A.	19	Pz	1.0064	Sujeto 2	Niños T. A.	9	P3	1.2296
Sujeto 1	Niños T. A.	20	Pz	1.2868	Sujeto 2	Niños T. A.	10	P3	1.1453
Sujeto 1	Niños T. A.	21	Pz	1.1180	Sujeto 2	Niños T. A.	11	P3	1.1342
Sujeto 1	Niños T. A.	22	Pz	1.0515	Sujeto 2	Niños T. A.	12	P3	1.1249
Sujeto 1	Niños T. A.	23	Pz	1.1245	Sujeto 2	Niños T. A.	13	P3	1.1231
Sujeto 1	Niños T. A.	24	Pz	1.1550	Sujeto 2	Niños T. A.	14	P3	1.2207
Sujeto 2	Niños T. A.	1	C3	1.0627	Sujeto 2	Niños T. A.	15	P3	1.1317
Sujeto 2	Niños T. A.	2	C3	1.1297	Sujeto 2	Niños T. A.	16	P3	1.2245
Sujeto 2	Niños T. A.	3	C3	1.1489	Sujeto 2	Niños T. A.	17	P3	1.2780
Sujeto 2	Niños T. A.	4	C3	1.1393	Sujeto 2	Niños T. A.	18	P3	0.9818
Sujeto 2	Niños T. A.	5	C3	1.2931	Sujeto 2	Niños T. A.	19	P3	1.2074
Sujeto 2	Niños T. A.	6	C3	1.2392	Sujeto 2	Niños T. A.	20	P3	1.2066
Sujeto 2	Niños T. A.	7	C3	1.2325	Sujeto 2	Niños T. A.	21	P3	1.0833
Sujeto 2	Niños T. A.	8	C3	1.2802	Sujeto 2	Niños T. A.	22	P3	1.1456
Sujeto 2	Niños T. A.	9	C3	1.1994	Sujeto 2	Niños T. A.	23	P3	1.1265
Sujeto 2	Niños T. A.	10	C3	1.2485	Sujeto 2	Niños T. A.	24	P3	1.0401
Sujeto 2	Niños T. A.	11	C3	1.2930	Sujeto 2	Niños T. A.	1	P4	1.1387
Sujeto 2	Niños T. A.	12	C3	1.1878	Sujeto 2	Niños T. A.	2	P4	1.0991
Sujeto 2	Niños T. A.	13	C3	1.1548	Sujeto 2	Niños T. A.	3	P4	1.1861
Sujeto 2	Niños T. A.	14	C3	1.2246	Sujeto 2	Niños T. A.	4	P4	1.0763
Sujeto 2	Niños T. A.	15	C3	1.2336	Sujeto 2	Niños T. A.	5	P4	1.2666
Sujeto 2	Niños T. A.	16	C3	1.2665	Sujeto 2	Niños T. A.	6	P4	1.0797
Sujeto 2	Niños T. A.	17	C3	1.2792	Sujeto 2	Niños T. A.	7	P4	1.2111
Sujeto 2	Niños T. A.	18	C3	1.0688	Sujeto 2	Niños T. A.	8	P4	1.0623
Sujeto 2	Niños T. A.	19	C3	1.2062	Sujeto 2	Niños T. A.	9	P4	1.1062
Sujeto 2	Niños T. A.	20	C3	1.2834	Sujeto 2	Niños T. A.	10	P4	1.1481
Sujeto 2	Niños T. A.	21	C3	1.1058	Sujeto 2	Niños T. A.	11	P4	1.0825
Sujeto 2	Niños T. A.	22	C3	1.2750	Sujeto 2	Niños T. A.	12	P4	1.0899
Sujeto 2	Niños T. A.	23	C3	1.0937	Sujeto 2	Niños T. A.	13	P4	1.0629
Sujeto 2	Niños T. A.	24	C3	1.1381	Sujeto 2	Niños T. A.	14	P4	1.1460
Sujeto 2	Niños T. A.	1	C4	1.1741	Sujeto 2	Niños T. A.	15	P4	1.2036
Sujeto 2	Niños T. A.	2	C4	1.1576	Sujeto 2	Niños T. A.	16	P4	1.2392
Sujeto 2	Niños T. A.	3	C4	1.1864	Sujeto 2	Niños T. A.	17	P4	1.2687
Sujeto 2	Niños T. A.	4	C4	1.2096	Sujeto 2	Niños T. A.	18	P4	1.0432
Sujeto 2	Niños T. A.	5	C4	1.2407	Sujeto 2	Niños T. A.	19	P4	1.2628
Sujeto 2	Niños T. A.	6	C4	1.1403	Sujeto 2	Niños T. A.	20	P4	1.2257
Sujeto 2	Niños T. A.	7	C4	1.2682	Sujeto 2	Niños T. A.	21	P4	1.1926
Sujeto 2	Niños T. A.	8	C4	1.1721	Sujeto 2	Niños T. A.	22	P4	1.0045
Sujeto 2	Niños T. A.	9	C4	1.1551	Sujeto 2	Niños T. A.	23	P4	1.0536
Sujeto 2	Niños T. A.	10	C4	1.2199	Sujeto 2	Niños T. A.	24	P4	1.0172
Sujeto 2	Niños T. A.	11	C4	1.2148	Sujeto 2	Niños T. A.	1	Cz	1.0031
Sujeto 2	Niños T. A.	12	C4	1.1642	Sujeto 2	Niños T. A.	2	Cz	1.1588
Sujeto 2	Niños T. A.	13	C4	1.1708	Sujeto 2	Niños T. A.	3	Cz	1.1272
Sujeto 2	Niños T. A.	14	C4	1.2179	Sujeto 2	Niños T. A.	4	Cz	1.1221
Sujeto 2	Niños T. A.	15	C4	1.1818	Sujeto 2	Niños T. A.	5	Cz	1.2818
Sujeto 2	Niños T. A.	16	C4	1.2232	Sujeto 2	Niños T. A.	6	Cz	1.1810
Sujeto 2	Niños T. A.	17	C4	1.3425	Sujeto 2	Niños T. A.	7	Cz	1.1754
Sujeto 2	Niños T. A.	18	C4	1.1244	Sujeto 2	Niños T. A.	8	Cz	1.1853

ANEXO 5

Sujeto	Grupo	Segmento	Derivación	Entropía	Sujeto	Grupo	Segmento	Derivación	Entropía
Sujeto 2	Niños T. A.	9	Cz	1.1320	Sujeto 3	Niños T. A.	23	C3	1.0662
Sujeto 2	Niños T. A.	10	Cz	1.2239	Sujeto 3	Niños T. A.	24	C3	0.8452
Sujeto 2	Niños T. A.	11	Cz	1.0607	Sujeto 3	Niños T. A.	1	C4	0.8076
Sujeto 2	Niños T. A.	12	Cz	1.1997	Sujeto 3	Niños T. A.	2	C4	0.6006
Sujeto 2	Niños T. A.	13	Cz	1.0284	Sujeto 3	Niños T. A.	3	C4	0.8636
Sujeto 2	Niños T. A.	14	Cz	1.1384	Sujeto 3	Niños T. A.	4	C4	0.8927
Sujeto 2	Niños T. A.	15	Cz	1.1619	Sujeto 3	Niños T. A.	5	C4	1.0762
Sujeto 2	Niños T. A.	16	Cz	1.1912	Sujeto 3	Niños T. A.	6	C4	0.7550
Sujeto 2	Niños T. A.	17	Cz	1.2476	Sujeto 3	Niños T. A.	7	C4	1.0698
Sujeto 2	Niños T. A.	18	Cz	1.0351	Sujeto 3	Niños T. A.	8	C4	1.1721
Sujeto 2	Niños T. A.	19	Cz	1.2076	Sujeto 3	Niños T. A.	9	C4	0.5707
Sujeto 2	Niños T. A.	20	Cz	1.2246	Sujeto 3	Niños T. A.	10	C4	1.1883
Sujeto 2	Niños T. A.	21	Cz	1.1467	Sujeto 3	Niños T. A.	11	C4	1.0227
Sujeto 2	Niños T. A.	22	Cz	1.2143	Sujeto 3	Niños T. A.	12	C4	1.0372
Sujeto 2	Niños T. A.	23	Cz	0.9887	Sujeto 3	Niños T. A.	13	C4	1.0304
Sujeto 2	Niños T. A.	24	Cz	1.1447	Sujeto 3	Niños T. A.	14	C4	0.7698
Sujeto 2	Niños T. A.	1	Pz	1.0890	Sujeto 3	Niños T. A.	15	C4	0.7597
Sujeto 2	Niños T. A.	2	Pz	1.0618	Sujeto 3	Niños T. A.	16	C4	0.7649
Sujeto 2	Niños T. A.	3	Pz	1.1737	Sujeto 3	Niños T. A.	17	C4	1.0354
Sujeto 2	Niños T. A.	4	Pz	1.1127	Sujeto 3	Niños T. A.	18	C4	0.6256
Sujeto 2	Niños T. A.	5	Pz	1.2549	Sujeto 3	Niños T. A.	19	C4	0.7981
Sujeto 2	Niños T. A.	6	Pz	1.0620	Sujeto 3	Niños T. A.	20	C4	0.6271
Sujeto 2	Niños T. A.	7	Pz	1.1633	Sujeto 3	Niños T. A.	21	C4	0.9214
Sujeto 2	Niños T. A.	8	Pz	1.0880	Sujeto 3	Niños T. A.	22	C4	0.9321
Sujeto 2	Niños T. A.	9	Pz	1.1412	Sujeto 3	Niños T. A.	23	C4	1.0815
Sujeto 2	Niños T. A.	10	Pz	1.1494	Sujeto 3	Niños T. A.	24	C4	0.8402
Sujeto 2	Niños T. A.	11	Pz	1.0198	Sujeto 3	Niños T. A.	1	P3	0.8321
Sujeto 2	Niños T. A.	12	Pz	1.1780	Sujeto 3	Niños T. A.	2	P3	0.6922
Sujeto 2	Niños T. A.	13	Pz	1.0460	Sujeto 3	Niños T. A.	3	P3	0.8291
Sujeto 2	Niños T. A.	14	Pz	1.1293	Sujeto 3	Niños T. A.	4	P3	0.9646
Sujeto 2	Niños T. A.	15	Pz	1.1936	Sujeto 3	Niños T. A.	5	P3	1.1010
Sujeto 2	Niños T. A.	16	Pz	1.2009	Sujeto 3	Niños T. A.	6	P3	0.7584
Sujeto 2	Niños T. A.	17	Pz	1.2240	Sujeto 3	Niños T. A.	7	P3	0.9834
Sujeto 2	Niños T. A.	18	Pz	1.0180	Sujeto 3	Niños T. A.	8	P3	1.1366
Sujeto 2	Niños T. A.	19	Pz	1.2376	Sujeto 3	Niños T. A.	9	P3	0.7341
Sujeto 2	Niños T. A.	20	Pz	1.2038	Sujeto 3	Niños T. A.	10	P3	1.1629
Sujeto 2	Niños T. A.	21	Pz	1.1698	Sujeto 3	Niños T. A.	11	P3	0.9232
Sujeto 2	Niños T. A.	22	Pz	1.1625	Sujeto 3	Niños T. A.	12	P3	1.0612
Sujeto 2	Niños T. A.	23	Pz	1.0627	Sujeto 3	Niños T. A.	13	P3	1.1304
Sujeto 2	Niños T. A.	24	Pz	1.0017	Sujeto 3	Niños T. A.	14	P3	0.8958
Sujeto 3	Niños T. A.	1	C3	0.8395	Sujeto 3	Niños T. A.	15	P3	0.7854
Sujeto 3	Niños T. A.	2	C3	0.6662	Sujeto 3	Niños T. A.	16	P3	0.8069
Sujeto 3	Niños T. A.	3	C3	1.0001	Sujeto 3	Niños T. A.	17	P3	0.8798
Sujeto 3	Niños T. A.	4	C3	0.8499	Sujeto 3	Niños T. A.	18	P3	0.6086
Sujeto 3	Niños T. A.	5	C3	0.9762	Sujeto 3	Niños T. A.	19	P3	0.8111
Sujeto 3	Niños T. A.	6	C3	0.7787	Sujeto 3	Niños T. A.	20	P3	0.6576
Sujeto 3	Niños T. A.	7	C3	1.0411	Sujeto 3	Niños T. A.	21	P3	0.8088
Sujeto 3	Niños T. A.	8	C3	1.1086	Sujeto 3	Niños T. A.	22	P3	0.9793
Sujeto 3	Niños T. A.	9	C3	0.6773	Sujeto 3	Niños T. A.	23	P3	0.9121
Sujeto 3	Niños T. A.	10	C3	1.1637	Sujeto 3	Niños T. A.	24	P3	0.8441
Sujeto 3	Niños T. A.	11	C3	0.9303	Sujeto 3	Niños T. A.	1	P4	0.9369
Sujeto 3	Niños T. A.	12	C3	1.1108	Sujeto 3	Niños T. A.	2	P4	0.6899
Sujeto 3	Niños T. A.	13	C3	1.0854	Sujeto 3	Niños T. A.	3	P4	0.8678
Sujeto 3	Niños T. A.	14	C3	0.7795	Sujeto 3	Niños T. A.	4	P4	0.9318
Sujeto 3	Niños T. A.	15	C3	0.9172	Sujeto 3	Niños T. A.	5	P4	1.0756
Sujeto 3	Niños T. A.	16	C3	0.9878	Sujeto 3	Niños T. A.	6	P4	0.7000
Sujeto 3	Niños T. A.	17	C3	0.9867	Sujeto 3	Niños T. A.	7	P4	0.9001
Sujeto 3	Niños T. A.	18	C3	0.5959	Sujeto 3	Niños T. A.	8	P4	1.1760
Sujeto 3	Niños T. A.	19	C3	0.9186	Sujeto 3	Niños T. A.	9	P4	0.6433
Sujeto 3	Niños T. A.	20	C3	0.6570	Sujeto 3	Niños T. A.	10	P4	1.0067
Sujeto 3	Niños T. A.	21	C3	0.8142	Sujeto 3	Niños T. A.	11	P4	1.0455
Sujeto 3	Niños T. A.	22	C3	1.0145	Sujeto 3	Niños T. A.	12	P4	0.9445

ANEXO 5

Sujeto	Grupo	Segmento	Derivación	Entropía	Sujeto	Grupo	Segmento	Derivación	Entropía
Sujeto 3	Niños T. A.	13	P4	1.1235	Sujeto 4	Niños T. A.	3	C3	1.3528
Sujeto 3	Niños T. A.	14	P4	0.7603	Sujeto 4	Niños T. A.	4	C3	1.3785
Sujeto 3	Niños T. A.	15	P4	0.6932	Sujeto 4	Niños T. A.	5	C3	1.3749
Sujeto 3	Niños T. A.	16	P4	0.7579	Sujeto 4	Niños T. A.	6	C3	1.3896
Sujeto 3	Niños T. A.	17	P4	1.0493	Sujeto 4	Niños T. A.	7	C3	1.2028
Sujeto 3	Niños T. A.	18	P4	0.6970	Sujeto 4	Niños T. A.	8	C3	1.3298
Sujeto 3	Niños T. A.	19	P4	0.8360	Sujeto 4	Niños T. A.	9	C3	1.3827
Sujeto 3	Niños T. A.	20	P4	0.6973	Sujeto 4	Niños T. A.	10	C3	1.3182
Sujeto 3	Niños T. A.	21	P4	1.0677	Sujeto 4	Niños T. A.	11	C3	1.3359
Sujeto 3	Niños T. A.	22	P4	0.7738	Sujeto 4	Niños T. A.	12	C3	1.3198
Sujeto 3	Niños T. A.	23	P4	1.0681	Sujeto 4	Niños T. A.	13	C3	1.3729
Sujeto 3	Niños T. A.	24	P4	0.7474	Sujeto 4	Niños T. A.	14	C3	1.3885
Sujeto 3	Niños T. A.	1	Cz	0.9234	Sujeto 4	Niños T. A.	15	C3	1.2567
Sujeto 3	Niños T. A.	2	Cz	0.5461	Sujeto 4	Niños T. A.	16	C3	1.3692
Sujeto 3	Niños T. A.	3	Cz	0.9812	Sujeto 4	Niños T. A.	17	C3	1.3037
Sujeto 3	Niños T. A.	4	Cz	0.8726	Sujeto 4	Niños T. A.	18	C3	1.3649
Sujeto 3	Niños T. A.	5	Cz	1.1152	Sujeto 4	Niños T. A.	19	C3	1.2882
Sujeto 3	Niños T. A.	6	Cz	0.7829	Sujeto 4	Niños T. A.	20	C3	1.3454
Sujeto 3	Niños T. A.	7	Cz	1.0332	Sujeto 4	Niños T. A.	21	C3	1.2508
Sujeto 3	Niños T. A.	8	Cz	1.1511	Sujeto 4	Niños T. A.	22	C3	1.3280
Sujeto 3	Niños T. A.	9	Cz	0.6019	Sujeto 4	Niños T. A.	23	C3	1.4036
Sujeto 3	Niños T. A.	10	Cz	1.1624	Sujeto 4	Niños T. A.	24	C3	1.3802
Sujeto 3	Niños T. A.	11	Cz	0.8887	Sujeto 4	Niños T. A.	1	C4	1.4470
Sujeto 3	Niños T. A.	12	Cz	1.0115	Sujeto 4	Niños T. A.	2	C4	1.3496
Sujeto 3	Niños T. A.	13	Cz	1.0684	Sujeto 4	Niños T. A.	3	C4	1.3111
Sujeto 3	Niños T. A.	14	Cz	0.7806	Sujeto 4	Niños T. A.	4	C4	1.4054
Sujeto 3	Niños T. A.	15	Cz	0.8646	Sujeto 4	Niños T. A.	5	C4	1.3777
Sujeto 3	Niños T. A.	16	Cz	0.8983	Sujeto 4	Niños T. A.	6	C4	1.3599
Sujeto 3	Niños T. A.	17	Cz	1.1040	Sujeto 4	Niños T. A.	7	C4	1.4002
Sujeto 3	Niños T. A.	18	Cz	0.5803	Sujeto 4	Niños T. A.	8	C4	1.4552
Sujeto 3	Niños T. A.	19	Cz	0.8639	Sujeto 4	Niños T. A.	9	C4	1.3380
Sujeto 3	Niños T. A.	20	Cz	0.6159	Sujeto 4	Niños T. A.	10	C4	1.3238
Sujeto 3	Niños T. A.	21	Cz	0.8510	Sujeto 4	Niños T. A.	11	C4	1.2550
Sujeto 3	Niños T. A.	22	Cz	0.9841	Sujeto 4	Niños T. A.	12	C4	1.4727
Sujeto 3	Niños T. A.	23	Cz	1.1360	Sujeto 4	Niños T. A.	13	C4	1.4224
Sujeto 3	Niños T. A.	24	Cz	0.8784	Sujeto 4	Niños T. A.	14	C4	1.3920
Sujeto 3	Niños T. A.	1	Pz	0.9716	Sujeto 4	Niños T. A.	15	C4	1.3944
Sujeto 3	Niños T. A.	2	Pz	0.6554	Sujeto 4	Niños T. A.	16	C4	1.2826
Sujeto 3	Niños T. A.	3	Pz	0.9295	Sujeto 4	Niños T. A.	17	C4	1.4008
Sujeto 3	Niños T. A.	4	Pz	0.8734	Sujeto 4	Niños T. A.	18	C4	1.4056
Sujeto 3	Niños T. A.	5	Pz	1.0672	Sujeto 4	Niños T. A.	19	C4	1.3553
Sujeto 3	Niños T. A.	6	Pz	0.7715	Sujeto 4	Niños T. A.	20	C4	1.3828
Sujeto 3	Niños T. A.	7	Pz	0.8548	Sujeto 4	Niños T. A.	21	C4	1.2914
Sujeto 3	Niños T. A.	8	Pz	1.0943	Sujeto 4	Niños T. A.	22	C4	1.4201
Sujeto 3	Niños T. A.	9	Pz	0.7166	Sujeto 4	Niños T. A.	23	C4	1.3684
Sujeto 3	Niños T. A.	10	Pz	1.0755	Sujeto 4	Niños T. A.	24	C4	1.3888
Sujeto 3	Niños T. A.	11	Pz	0.9171	Sujeto 4	Niños T. A.	1	P3	1.3777
Sujeto 3	Niños T. A.	12	Pz	0.9589	Sujeto 4	Niños T. A.	2	P3	1.4024
Sujeto 3	Niños T. A.	13	Pz	1.0677	Sujeto 4	Niños T. A.	3	P3	1.2931
Sujeto 3	Niños T. A.	14	Pz	0.8237	Sujeto 4	Niños T. A.	4	P3	1.3938
Sujeto 3	Niños T. A.	15	Pz	0.6407	Sujeto 4	Niños T. A.	5	P3	1.4241
Sujeto 3	Niños T. A.	16	Pz	0.7386	Sujeto 4	Niños T. A.	6	P3	1.4109
Sujeto 3	Niños T. A.	17	Pz	0.9856	Sujeto 4	Niños T. A.	7	P3	1.0930
Sujeto 3	Niños T. A.	18	Pz	0.5729	Sujeto 4	Niños T. A.	8	P3	1.2931
Sujeto 3	Niños T. A.	19	Pz	0.8600	Sujeto 4	Niños T. A.	9	P3	1.3805
Sujeto 3	Niños T. A.	20	Pz	0.6558	Sujeto 4	Niños T. A.	10	P3	1.2929
Sujeto 3	Niños T. A.	21	Pz	0.8764	Sujeto 4	Niños T. A.	11	P3	1.3276
Sujeto 3	Niños T. A.	22	Pz	0.8430	Sujeto 4	Niños T. A.	12	P3	1.2655
Sujeto 3	Niños T. A.	23	Pz	0.9961	Sujeto 4	Niños T. A.	13	P3	1.3951
Sujeto 3	Niños T. A.	24	Pz	0.7870	Sujeto 4	Niños T. A.	14	P3	1.2526
Sujeto 4	Niños T. A.	1	C3	1.4015	Sujeto 4	Niños T. A.	15	P3	1.2415
Sujeto 4	Niños T. A.	2	C3	1.2946	Sujeto 4	Niños T. A.	16	P3	1.2884

ANEXO 5

Sujeto	Grupo	Segmento	Derivación	Entropía	Sujeto	Grupo	Segmento	Derivación	Entropía
Sujeto 4	Niños T. A.	17	P3	1.3165	Sujeto 4	Niños T. A.	7	Pz	1.0807
Sujeto 4	Niños T. A.	18	P3	1.3487	Sujeto 4	Niños T. A.	8	Pz	1.3030
Sujeto 4	Niños T. A.	19	P3	1.2950	Sujeto 4	Niños T. A.	9	Pz	1.3617
Sujeto 4	Niños T. A.	20	P3	1.3542	Sujeto 4	Niños T. A.	10	Pz	1.1862
Sujeto 4	Niños T. A.	21	P3	1.2979	Sujeto 4	Niños T. A.	11	Pz	1.3701
Sujeto 4	Niños T. A.	22	P3	1.3287	Sujeto 4	Niños T. A.	12	Pz	1.3046
Sujeto 4	Niños T. A.	23	P3	1.3060	Sujeto 4	Niños T. A.	13	Pz	1.3585
Sujeto 4	Niños T. A.	24	P3	1.1814	Sujeto 4	Niños T. A.	14	Pz	1.2116
Sujeto 4	Niños T. A.	1	P4	1.3968	Sujeto 4	Niños T. A.	15	Pz	1.2684
Sujeto 4	Niños T. A.	2	P4	1.3572	Sujeto 4	Niños T. A.	16	Pz	1.1924
Sujeto 4	Niños T. A.	3	P4	1.2353	Sujeto 4	Niños T. A.	17	Pz	1.3207
Sujeto 4	Niños T. A.	4	P4	1.3548	Sujeto 4	Niños T. A.	18	Pz	1.2752
Sujeto 4	Niños T. A.	5	P4	1.3687	Sujeto 4	Niños T. A.	19	Pz	1.2608
Sujeto 4	Niños T. A.	6	P4	1.4053	Sujeto 4	Niños T. A.	20	Pz	1.3553
Sujeto 4	Niños T. A.	7	P4	1.2915	Sujeto 4	Niños T. A.	21	Pz	1.1000
Sujeto 4	Niños T. A.	8	P4	1.3646	Sujeto 4	Niños T. A.	22	Pz	1.1881
Sujeto 4	Niños T. A.	9	P4	1.4029	Sujeto 4	Niños T. A.	23	Pz	1.2774
Sujeto 4	Niños T. A.	10	P4	1.3393	Sujeto 4	Niños T. A.	24	Pz	1.2149
Sujeto 4	Niños T. A.	11	P4	1.3117					
Sujeto 4	Niños T. A.	12	P4	1.3950					
Sujeto 4	Niños T. A.	13	P4	1.3762					
Sujeto 4	Niños T. A.	14	P4	1.1648					
Sujeto 4	Niños T. A.	15	P4	1.3416					
Sujeto 4	Niños T. A.	16	P4	1.2948					
Sujeto 4	Niños T. A.	17	P4	1.3597					
Sujeto 4	Niños T. A.	18	P4	1.3310					
Sujeto 4	Niños T. A.	19	P4	1.3670					
Sujeto 4	Niños T. A.	20	P4	1.3514					
Sujeto 4	Niños T. A.	21	P4	1.1954					
Sujeto 4	Niños T. A.	22	P4	1.4243					
Sujeto 4	Niños T. A.	23	P4	1.3102					
Sujeto 4	Niños T. A.	24	P4	1.4249					
Sujeto 4	Niños T. A.	1	Cz	1.3931					
Sujeto 4	Niños T. A.	2	Cz	1.3114					
Sujeto 4	Niños T. A.	3	Cz	1.3036					
Sujeto 4	Niños T. A.	4	Cz	1.3982					
Sujeto 4	Niños T. A.	5	Cz	1.3512					
Sujeto 4	Niños T. A.	6	Cz	1.4298					
Sujeto 4	Niños T. A.	7	Cz	1.2528					
Sujeto 4	Niños T. A.	8	Cz	1.4040					
Sujeto 4	Niños T. A.	9	Cz	1.3852					
Sujeto 4	Niños T. A.	10	Cz	1.2579					
Sujeto 4	Niños T. A.	11	Cz	1.2996					
Sujeto 4	Niños T. A.	12	Cz	1.3845					
Sujeto 4	Niños T. A.	13	Cz	1.3686					
Sujeto 4	Niños T. A.	14	Cz	1.3739					
Sujeto 4	Niños T. A.	15	Cz	1.3651					
Sujeto 4	Niños T. A.	16	Cz	1.2789					
Sujeto 4	Niños T. A.	17	Cz	1.3168					
Sujeto 4	Niños T. A.	18	Cz	1.2713					
Sujeto 4	Niños T. A.	19	Cz	1.3455					
Sujeto 4	Niños T. A.	20	Cz	1.3254					
Sujeto 4	Niños T. A.	21	Cz	1.2412					
Sujeto 4	Niños T. A.	22	Cz	1.2678					
Sujeto 4	Niños T. A.	23	Cz	1.3649					
Sujeto 4	Niños T. A.	24	Cz	1.3621					
Sujeto 4	Niños T. A.	1	Pz	1.2961					
Sujeto 4	Niños T. A.	2	Pz	1.3818					
Sujeto 4	Niños T. A.	3	Pz	1.1024					
Sujeto 4	Niños T. A.	4	Pz	1.2984					
Sujeto 4	Niños T. A.	5	Pz	1.2667					
Sujeto 4	Niños T. A.	6	Pz	1.3378					